



This is a digital copy of a book that was preserved for generations on library shelves before it was carefully scanned by Google as part of a project to make the world's books discoverable online.

It has survived long enough for the copyright to expire and the book to enter the public domain. A public domain book is one that was never subject to copyright or whose legal copyright term has expired. Whether a book is in the public domain may vary country to country. Public domain books are our gateways to the past, representing a wealth of history, culture and knowledge that's often difficult to discover.

Marks, notations and other marginalia present in the original volume will appear in this file - a reminder of this book's long journey from the publisher to a library and finally to you.

Usage guidelines

Google is proud to partner with libraries to digitize public domain materials and make them widely accessible. Public domain books belong to the public and we are merely their custodians. Nevertheless, this work is expensive, so in order to keep providing this resource, we have taken steps to prevent abuse by commercial parties, including placing technical restrictions on automated querying.

We also ask that you:

- + *Make non-commercial use of the files* We designed Google Book Search for use by individuals, and we request that you use these files for personal, non-commercial purposes.
- + *Refrain from automated querying* Do not send automated queries of any sort to Google's system: If you are conducting research on machine translation, optical character recognition or other areas where access to a large amount of text is helpful, please contact us. We encourage the use of public domain materials for these purposes and may be able to help.
- + *Maintain attribution* The Google "watermark" you see on each file is essential for informing people about this project and helping them find additional materials through Google Book Search. Please do not remove it.
- + *Keep it legal* Whatever your use, remember that you are responsible for ensuring that what you are doing is legal. Do not assume that just because we believe a book is in the public domain for users in the United States, that the work is also in the public domain for users in other countries. Whether a book is still in copyright varies from country to country, and we can't offer guidance on whether any specific use of any specific book is allowed. Please do not assume that a book's appearance in Google Book Search means it can be used in any manner anywhere in the world. Copyright infringement liability can be quite severe.

About Google Book Search

Google's mission is to organize the world's information and to make it universally accessible and useful. Google Book Search helps readers discover the world's books while helping authors and publishers reach new audiences. You can search through the full text of this book on the web at <http://books.google.com/>



A propos de ce livre

Ceci est une copie numérique d'un ouvrage conservé depuis des générations dans les rayonnages d'une bibliothèque avant d'être numérisé avec précaution par Google dans le cadre d'un projet visant à permettre aux internautes de découvrir l'ensemble du patrimoine littéraire mondial en ligne.

Ce livre étant relativement ancien, il n'est plus protégé par la loi sur les droits d'auteur et appartient à présent au domaine public. L'expression "appartenir au domaine public" signifie que le livre en question n'a jamais été soumis aux droits d'auteur ou que ses droits légaux sont arrivés à expiration. Les conditions requises pour qu'un livre tombe dans le domaine public peuvent varier d'un pays à l'autre. Les livres libres de droit sont autant de liens avec le passé. Ils sont les témoins de la richesse de notre histoire, de notre patrimoine culturel et de la connaissance humaine et sont trop souvent difficilement accessibles au public.

Les notes de bas de page et autres annotations en marge du texte présentes dans le volume original sont reprises dans ce fichier, comme un souvenir du long chemin parcouru par l'ouvrage depuis la maison d'édition en passant par la bibliothèque pour finalement se retrouver entre vos mains.

Consignes d'utilisation

Google est fier de travailler en partenariat avec des bibliothèques à la numérisation des ouvrages appartenant au domaine public et de les rendre ainsi accessibles à tous. Ces livres sont en effet la propriété de tous et de toutes et nous sommes tout simplement les gardiens de ce patrimoine. Il s'agit toutefois d'un projet coûteux. Par conséquent et en vue de poursuivre la diffusion de ces ressources inépuisables, nous avons pris les dispositions nécessaires afin de prévenir les éventuels abus auxquels pourraient se livrer des sites marchands tiers, notamment en instaurant des contraintes techniques relatives aux requêtes automatisées.

Nous vous demandons également de:

- + *Ne pas utiliser les fichiers à des fins commerciales* Nous avons conçu le programme Google Recherche de Livres à l'usage des particuliers. Nous vous demandons donc d'utiliser uniquement ces fichiers à des fins personnelles. Ils ne sauraient en effet être employés dans un quelconque but commercial.
- + *Ne pas procéder à des requêtes automatisées* N'envoyez aucune requête automatisée quelle qu'elle soit au système Google. Si vous effectuez des recherches concernant les logiciels de traduction, la reconnaissance optique de caractères ou tout autre domaine nécessitant de disposer d'importantes quantités de texte, n'hésitez pas à nous contacter. Nous encourageons pour la réalisation de ce type de travaux l'utilisation des ouvrages et documents appartenant au domaine public et serions heureux de vous être utile.
- + *Ne pas supprimer l'attribution* Le filigrane Google contenu dans chaque fichier est indispensable pour informer les internautes de notre projet et leur permettre d'accéder à davantage de documents par l'intermédiaire du Programme Google Recherche de Livres. Ne le supprimez en aucun cas.
- + *Rester dans la légalité* Quelle que soit l'utilisation que vous comptez faire des fichiers, n'oubliez pas qu'il est de votre responsabilité de veiller à respecter la loi. Si un ouvrage appartient au domaine public américain, n'en déduisez pas pour autant qu'il en va de même dans les autres pays. La durée légale des droits d'auteur d'un livre varie d'un pays à l'autre. Nous ne sommes donc pas en mesure de répertorier les ouvrages dont l'utilisation est autorisée et ceux dont elle ne l'est pas. Ne croyez pas que le simple fait d'afficher un livre sur Google Recherche de Livres signifie que celui-ci peut être utilisé de quelque façon que ce soit dans le monde entier. La condamnation à laquelle vous vous exposeriez en cas de violation des droits d'auteur peut être sévère.

À propos du service Google Recherche de Livres

En favorisant la recherche et l'accès à un nombre croissant de livres disponibles dans de nombreuses langues, dont le français, Google souhaite contribuer à promouvoir la diversité culturelle grâce à Google Recherche de Livres. En effet, le Programme Google Recherche de Livres permet aux internautes de découvrir le patrimoine littéraire mondial, tout en aidant les auteurs et les éditeurs à élargir leur public. Vous pouvez effectuer des recherches en ligne dans le texte intégral de cet ouvrage à l'adresse <http://books.google.com>



GUIDE DES EXCURSIONS
DU
VII CONGRÈS GÉOLOGIQUE
INTERNATIONAL.

The Branner Geological Library



LELAND • STANFORD • JUNIOR • UNIVERSITY

100
J.C. Boanne
B
Jnf 24. 1897
GUIDE

DES EXCURSIONS

DU VII CONGRÈS

GÉOLOGIQUE INTERNATIONAL

(Avec 39 planches, nombreuses figures, cartes locales et une
carte géologique de la Russie d'Europe
à l'échelle de $1/6,300,000$).



ST. PÉTERSBOURG.

Imprimerie de M. STASSULÉWITSCH, Was. Ostr., 5 ligne, 28.

1897

St

210545

Печатано по распоряженію Геологического Комитета.

210545

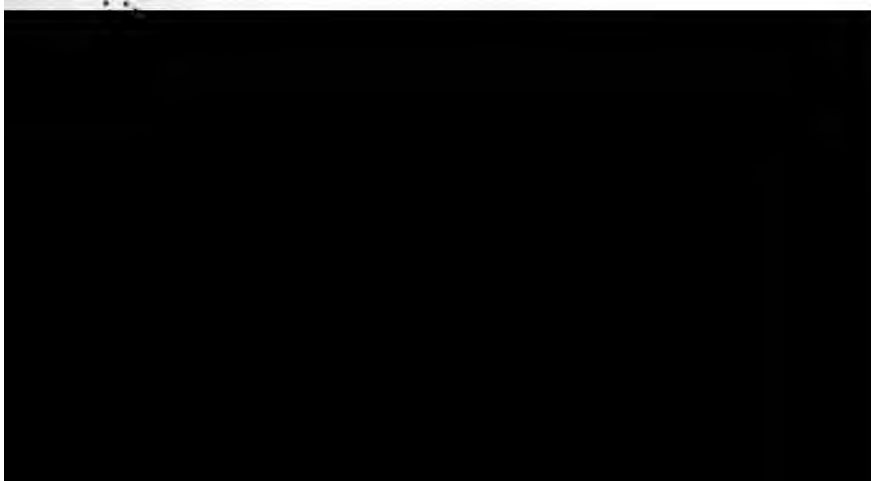


TABLE DES MATIÈRES.

Préface.

- I. Les environs de Moscou, par S. Nikitin.
- II. De Moscou à Oufa (Viâ Miatchkowo, Riazan, Penza, Syzran, Samara), par S. Nikitin.
- III. A partir de la ville d'Oufa jusqu'au versant oriental de l'Oural, par Th. Tschernyschew.
- IV. Die Mineralgruben bei Kussa und Miass von A. Arzruni.
- V. Versant oriental de l'Oural d'Ourjom à Ekathérinebourg, par A. Karpinsky.
- VI. Les gisements d'or du système de Kotchkar dans l'Oural du sud, par N. Wyssotsky.
- VII. La ville d'Ekathérinebourg et quelques-uns de ses environs, remarquables au point de vue d'archéologie préhistorique, par O. Clerc.
- VIII. Gisement de minéraux d'Eugénie-Maximilianovna, par A. Karnojitzky.
- IX. Le chemin de fer de l'Oural dans les limites des districts miniers de Taguil et de Goroblagodat, par Th. Tschernyschew.
- X. Chemin de fer de l'Oural, par A. Krasnopolsky.
- XI. De Perm à Nijny-Novgorod, par A. Stuckenberg, S. Nikitin et W. Amalitzky.
- XII. Excursion durch Estland, von F. Schmidt.
- XIII. Les excursions en Finlande, par J. J. Sederholm et W. Ramsay.
- XIV. De Moscou à Koursk (viâ Podolsk, Toula, Aleksine, Orel), par S. Nikitin.
- XV. De Koursk au bassin du Donetz et la ville de Kharkow, par N. Sokolow et Th. Tschernyschew.
- XVI. Le bassin du Donetz, par Th. Tschernyschew et L. Lou-touguin.

IV

- XVII. Les eaux minérales du Caucase, par K. Rougt
- XVIII. De Wladikavkaz aux gisements de naphte de
A. Konchin.
- XIX. Excursion géologique aux environs de Kislo
Kislowodsk à l'Elbrous, par N. Karakase
guéwitch.
- XX. Voyage géologique par la Volga de Kazan à
A. P. Pavlow.
- XXI. Excursion au sud de la Russie (Variante C).
low et P. Armachevsky.
- XXII. De Wladikavkaz à Tiflis par la Route Militaire
par F. Loewinson-Lessing.
- XXIII. Excursion zum Genal-dongletscher, von Cons
und Boris Kolenko.
- XXIV. De Tiflis à Bakou. Gisements de naphte de
A. Konchin.
- XXV. De Souram à Koutaïs par le chemin de fer
par S. Simonowitch.
- XXVa. Excursion à Tkwibouli, par S. Simonowitch.
- XXVI. De la station Mikhaïlowo, par Borjom et Abas
station Rion, par A. Konchin.
- XXVII. Les environs de Koutaïs et la vallée de la rivière
Koutaïs et l'arête Mamisson, par S. Simon
- XXVIII. Excursion zum Zeigletscher, von N. Karakase
sikow.
- XXIX. La Mer Noire, par N. Androussow.
- XXX. Environs de Kertch, par N. Androussow.
- XXXI. Itinéraire géologique par le Kara-Dagh, par
- XXXII. Le jurassique à Soudak, par Constantin de
- XXXIII. Itinéraire géologique d'Alouchta à Sébastopol
Bakhtchissarai et Mangoup-Kalé. La descri

ment. L'itinéraire général est due à N. C.





PRÉFACE.

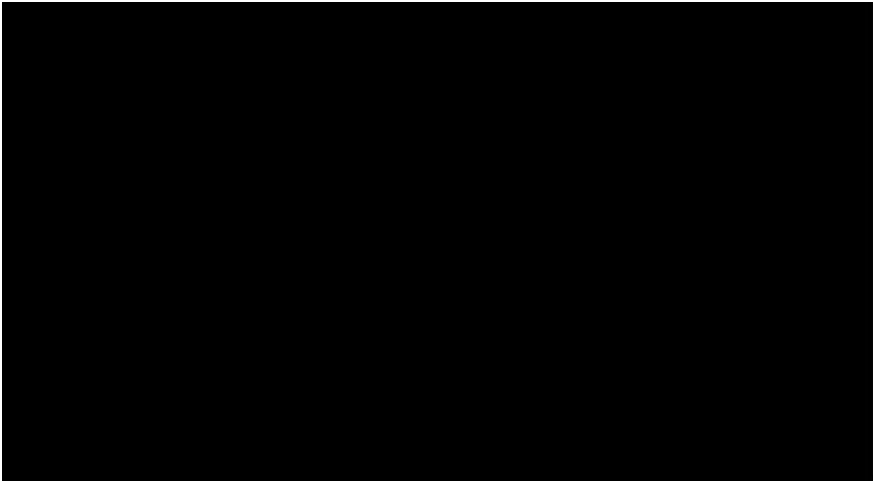
L'ouvrage que nous présentons à nos lecteurs est consacré aux excursions qui se feront avant et après la VII Session du Congrès Géologique International. Il est le résultat du travail commun de presque tous les géologues russes qui ont spécialement étudié l'une ou l'autre partie du vaste territoire de la Russie et qui ont consenti à offrir, dans des esquisses sommaires, les traits les plus essentiels de la structure géologique des régions qui ont été particulièrement l'objet de leurs recherches. La difficulté d'organiser de grandes excursions auxquelles pourraient prendre part un grand nombre de personnes, dans des régions où l'on trouve peu d'hôtels ou dans lesquelles ils font même complètement défaut, et le manque de moyens de locomotion à distance des chemins de fer, ont été la cause principale que jusqu'au commencement de l'été de 1896 il a été impossible d'assurer d'une manière certaine si l'on pourrait réaliser les excursions qu'on avait en vue. Ainsi, par exemple, il n'eût pas été possible de songer à faire une excursion dans l'Oural au nombre de 200 géologues, si l'on n'avait pas réussi à terminer, en 1896, la ligne du chemin de fer qui réunit Tchéliabinsk à Ekathérinebourg.

VI

Une autre circonstance non moins importante qui n'a pu être éclaircie que dans ces derniers temps, c'était la possibilité d'obtenir des trains spéciaux pour les excursions des géologues. Le réseau des chemins de fer s'accroît avec une telle rapidité en Russie et exige tant de locomotives et de wagons que les usines ne parviennent pas à en fournir une quantité suffisante, de sorte qu'il devenait d'une très grande difficulté d'en consacrer un assez grand nombre aux besoins des excursions. Si nous avons eu le bonheur de vaincre toutes ces difficultés, ce n'est que grâce à **Sa Majesté l'Empereur** qui a daigné ordonner de mettre à notre disposition le nombre de locomotives et de wagons qui serait jugé nécessaire.

Non moins difficile était-ce d'arriver à organiser les excursions en voitures, surtout dans l'Oural et sur la route militaire de Géorgie.

Dans la première de ces régions tous les moyens de transport se concentrent exclusivement dans les villages où se trouvent les usines et les mines, et sans la bienveillante coopération des administrations des districts miniers et des propriétaires d'usines (MM. Balachew le prince Biélosselsky-Biélozersky, MM. Démidov



Ce que nous venons de dire explique les raisons pour lesquelles ce ne fut qu'en automne de 1896, après le tour de tous les directeurs d'excursions des voyages réparatifs qu'ils avaient faits dans les différents rayons de l'Empire, qu'il a été possible d'élaborer le programme définitif des excursions que l'on se proposait de faire.

On croyait d'abord que le guide ne formerait qu'un petit volume suivi d'un nombre restreint de cartes et de coupes; mais au fur et à mesure que l'on se mit à l'œuvre, le guide prit bientôt des proportions auxquelles nous ne nous attendions pas, et est devenu tout un volume contenant plus de 660 pages, bon nombre de figures, de coupes et de cartes.

Imprimer avec suite la grande masse des matériaux qui ne sont arrivés à la rédaction qu'à partir du mois de février, était chose tout à fait impossible. Le Comité d'organisation décida, en conséquence, de diviser le guide en 34 chapitres, en consacrant à chacun d'eux le nom de son auteur et en donnant aux divers chapitres une dénomination différente. Ce mode de publication offre cet avantage que chaque chapitre, numéroté en chiffre romain, peut facilement se détacher du livre et être ainsi d'un usage très commode pendant les excursions.

Si l'on prend en considération toutes ces circonstances et la nécessité où nous étions de faire traduire notre travail en français et en allemand, on comprendra facilement que le guide n'ait pu paraître qu'avec un retard d'un mois après l'époque fixée dans notre troisième circulaire.

Nous avons tâché de conserver partout au guide le même caractère. Chacun des chapitres contient la liste des principaux ouvrages concernant le rayon étudié, l'esquisse sommaire physico-géographique et géologique de la région à parcourir, et la description des points les

VIII

plus remarquables de l'itinéraire. Tout intéressant qu'eût été, pour les personnes qui viennent en Russie pour la première fois, de trouver, dans le guide, d'autres données caractéristiques de chacune des régions, telles que des notions détaillées sur l'ethnographie, l'histoire moderne et ancienne du pays, sur sa faune, sa flore etc., il a fallu les exclure du livre pour la raison qu'elles en auraient considérablement augmenté les dimensions et qu'elles en eussent encore par là retardé la publication.

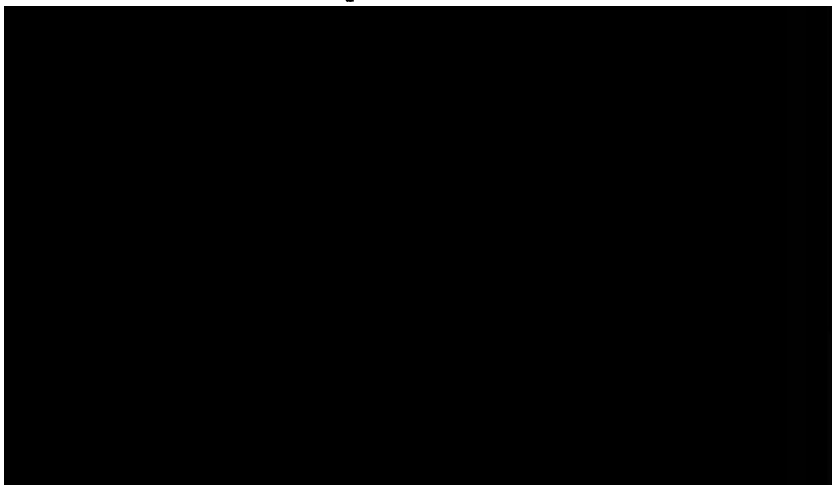
L'ordre des chapitres a été mis, autant que possible d'accord avec celui des excursions proposées par le Comité dans sa première et sa seconde circulaire, et les descriptions des excursions parallèles sont numérotées d'après les chiffres suivants:

A l'excursion de l'Oural sont consacrés les chapitres II, III, IV, V, VI, VII, VIII, IX, X, XI;

à celle de l'Esthonie le chapitre XII;

à celle de Finlande le chapitre XIII.

L'excursion de Moscou à Wladikavkaz, qui comprend les variantes A (Kharkow, Bassin du Donetz, Eau minérales ou Grozny); B (Wolga); C (Dniepr) est décrite dans les chapitres suivants:



pitres XXIV, XXV, XXVa; la variante Borjom, au chapitre XXVI. A cette série de chapitres se rapporte aussi le chapitre XXVII, qui donne la description du voyage au glacier de Mamisson.

Pour donner aux excursionnistes une idée de l'histoire de la Mer Noire, le chapitre XXIX contient un résumé sommaire des connaissances acquises, surtout dans les derniers temps, sur cette question.

L'excursion en Crimée se trouve aux chapitres XXX, XXXI, XXXII et XXXIII.

Il nous reste encore à mentionner que les esquisses géologiques des environs de Moscou et de St. Pétersbourg sont contenues dans les chapitres I et XXXIV.

Quelques-uns des chapitres présentent non seulement le remaniement de tout le matériel littéraire publié jusqu'ici, mais contiennent encore des données toutes nouvelles, qui paraissent pour la première fois dans notre guide.

Dans les directions principales des excursions, les matériaux sont groupés de manière à donner une description ininterrompue du territoire traversé jour et nuit, sans arrêts, par les excursionnistes.

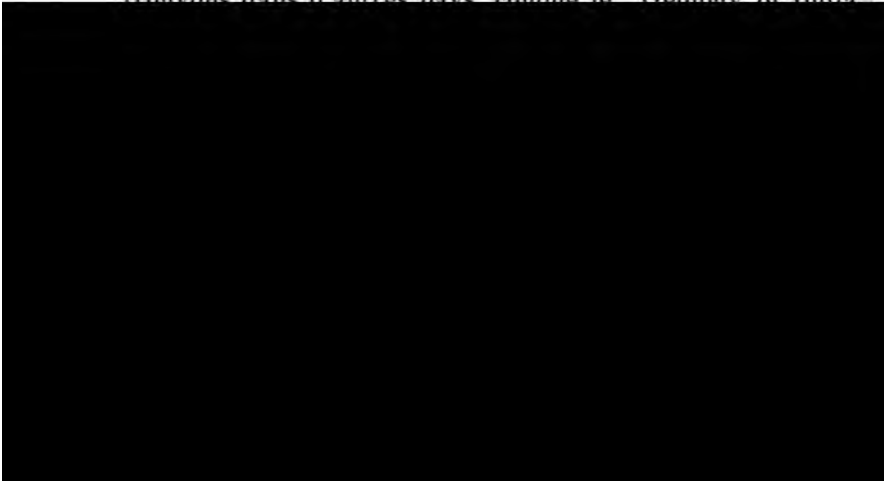
Pour abréger autant que possible le texte du guide nous y avons ajouté un grand nombre de coupes géologiques et de cartes, mettant en regard la structure des rayons décrits ¹⁾. Pour représenter encore plus claire-

¹⁾ Dans la description de quelques-uns des gisements métallifères et des gîtes de minéraux nous nous sommes vu parfois obligés de nous servir de données recueillies depuis longtemps, exactes il est vrai, mais ne répondant plus aux affleurements, tels qu'ils existent aujourd'hui. Ainsi par exemple, dans le chapitre IV où nous faisons la description des mines d'Ahkmat et de Nicolaïé-Maximilianovsk, nous donnons les coupes relevées en 1870 par A. Karpinsky; dans le chapitre IX la carte du Blagodot présente l'état des mines en 1888 etc.

ment le caractère des localités parcourues, nous donnons toute une série de dessins, sous forme de tableaux détachés, en partie phototypiques ¹⁾, en partie zincographiques.

Nous ajoutons, en outre, une carte géologique de la Russie européenne à l'échelle de 1 : 6300000, à la rédaction de laquelle ont principalement pris part MM.: A. Karpinsky, S. Nikitin, N. Sokolow, A. Mikhailsky et Th. Tschernyschew. Dans son ensemble cette carte est une copie réduite et simplifiée de celle qui a été publiée en 1892, à l'échelle de 1 : 2520000, par le Comité Géologique, mais complétée et corrigée d'après les résultats obtenus par les recherches de ces dernières années.

En publiant ce volume, dédié aux membres du VII Congrès Géologique International, nous nous croyons en droit de dire que cette publication est la première de ce genre qui paraît en Russie. Le lecteur y trouvera le résumé de toutes les notions géologiques dispersées dans des journaux spéciaux. Il va sans dire que notre guide ne peut entrer en ligne de comparaison avec des compendiums géologiques aussi parfaits que ceux que nous trouvons dans d'autres pays comme le *Geology of India*.*



nies dans les musées de St. Pétersbourg, Moscou, Kiew, Charkow, Kazan, et autres villes. Mais sachant que ces musées publieraient des catalogues détaillés, spécialement destinés aux membres du Congrès, de toutes les collections qu'ils renferment, nous avons cru qu'il devenait inutile de les ajouter au guide.

Le livre-guide que nous offrons aux géologues est devenu si volumineux que l'on comprendra qu'il ne pourra être réimprimé, comme cela se faisait après les Sessions précédentes, dans les Comptes rendus du Congrès.

La rapidité avec laquelle ce guide a dû être fait nous fera pardonner les défauts de style et d'impression qui ont pu se glisser dans l'ouvrage.

Au nom des différents auteurs de cet ouvrage, nous nous faisons un devoir d'exprimer toute notre reconnaissance à M. Moser, qui a bien voulu se charger de la traduction française de la plus grande partie du guide et au baron Ed. Toll, qui a fait la traduction de quelques-uns des chapitres publiés en allemand.

Au nom du Comité d'organisation:

Th. Tschernyschew.





I

LES ENVIRONS DE MOSCOU

PAR

S. NIKITIN.

De Smolensk à Moscou.

Les voyageurs qui viennent d'Allemagne et d'Autriche pour se rendre à Moscou en passant par Smolensk, franchissent le matin les limites du gouvernement de Moscou un peu avant d'arriver à la petite station de Borodino, laissant à gauche le vaste champ, devenu célèbre par la bataille qui s'y livra en 1812 et qui ouvrit à Napoléon la route de notre vieille capitale. Jusqu'à la ville la voie ferrée suit presque tout le temps, parallèlement à la vallée de la Moskwa, le terrain du partage des eaux, au milieu des paysages tout typiques de la Russie moyenne. Devant les yeux s'étend une plaine parsemée de collines, les unes aplaties, les autres plus ou moins élevées, de forme et de direction irrégulières, traversée par des ravins à pente douce où coulent de petits ruisseaux. Il y a tout lieu de croire qu'avant d'être cultivée, toute cette région était couverte de forêts, mélangées d'arbres à feuilles caduques (bouleaux, trembles) et de sapins (*Picea excelsa*) sur les sols plus ou moins argileux, ou de forêts de pins (*Pinus sylvestris*) dans les endroits arénacés. On ne trouve de prairies naturelles que dans les vallées fluviales. La culture humaine a modifié ici l'aspect de la contrée en faisant disparaître une partie considérable des forêts qu'elle a remplacées par des champs labourables et de prés en partie boisés.

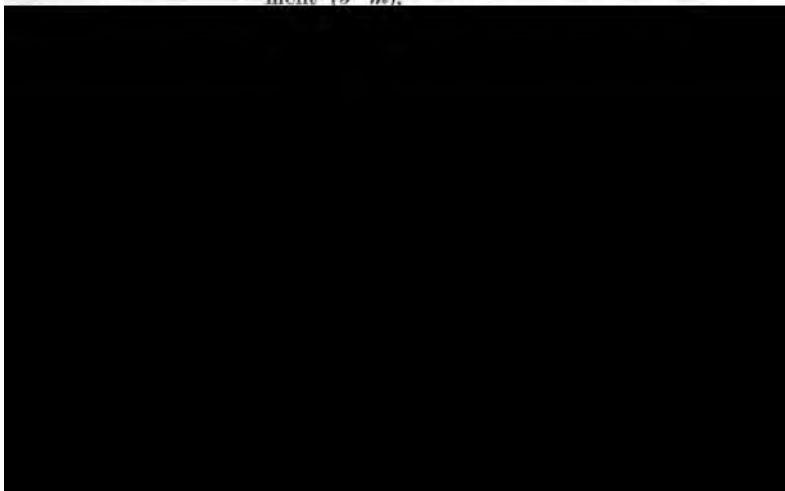
Le sol sous-argileux, peu fertile, gris ou gris-brunâtre, de peu d'épaisseur, çà et là remplacé par un sol sous-sableux de même couleur, est plus ou moins pénétré d'une matière pulvérulente, connue sous le nom de „podsol“ (Voir p. 10).

Toute la contrée est la région du développement, immédiatement sous le sol, d'une argile morainique à blocs, sableuse ou marneuse, d'un brun rougeâtre (Q_1^1b), non stratifiée, plus ou moins abon-

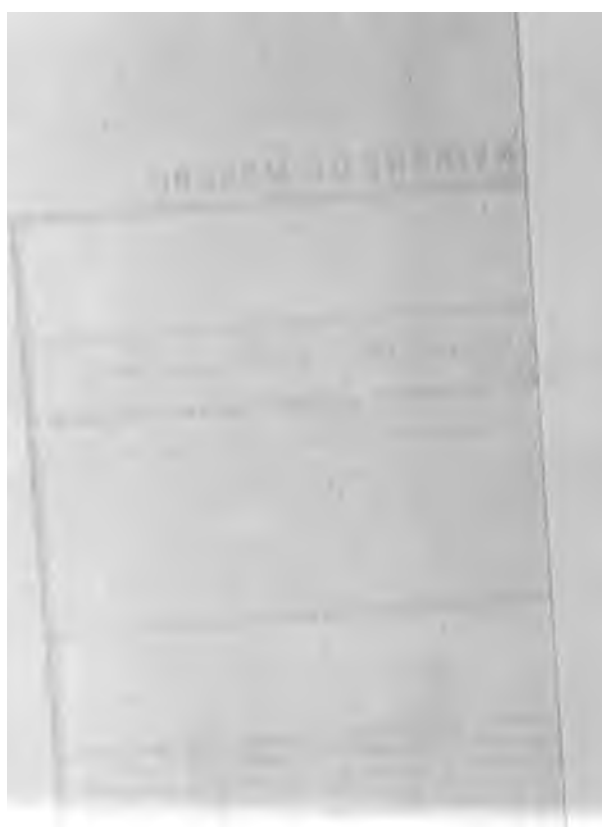
dante en blocaux et gravier erratiques, provenant soit des r
tallines de Finlande et du gouv. d'Olonetz, soit des roches
taires de la région située entre les gouvernements d'Olonetz e
cou (de préférence calcaires et silex du système carbonifère).
gile constitue fréquemment le sous-sol du terrain de la Russie
qui avait été occupé par la grande glaciation scandinavo-russe.
cette roche passe directement au Geschiebelehm inférieur
morainique inférieure des allemands (du type saxonien ou du
la première glaciation). Aux points où les vallées fluviales a
fondes et les tranchées artificielles ont mis à nu la base de l
blocaux, émerge une assise de puissance variable, composée d
plus ou moins jaunes ou rouges, interstratifiés de gravier et d
de la même composition pétrographique que les blocaux de l'argil
nique (les cailloux des roches sédimentaires locales prédominent
le sable inférieur à blocaux (Q_1^a) des auteurs russes.
tranchées du chemin de fer on ne le voit apparaître de dessous
morainique qu'entre les stations Moukhina et Koubenka. Quel
lines, dont une près de la station Chelkovka, permettent d'ob
troisième membre des dépôts glaciaires de la Russie moyenne,
à blocaux supérieur non stratifié (Q_1^c), d'ailleurs faiblement
loppé dans cette localité, recouvrant par endroits l'argile mo

Le long de la voie ferrée on ne voit pas d'affleurements d
originaires plus anciennes que les quaternaires jusqu'à la desce
la vallée de la Moskwa, non loin de Moscou. Mais des inves
faites le long de la rivière et des forages y ont relevé, sous le
glaciaires, les sédiments suivants à peu près horizontaux et
loqués, que nous énumérons du haut en bas:

- 1) couches des étages volgiens, supérieur et inférieur,
moins conservées (JCr);
- 2) couches du jurassique supérieur jusqu'au callovien i
ment (J^cm);



Quart
Plein 2 nd
Plein 1 ^{re}
Tertio et ritaci
Gault (3 ^{re})
Procomien
Procomien





La colline du Kremlin. Aperçu sur la géologie de la ville de Moscou.

Moscou est située dans une région couverte de collines, traversée par la vallée de la Moskwa au cours sinueux, par ses affluents gauches, la Yaouza et la Néglinnaya (coulant sous les rues de la ville dans un canal voûté), et par quelques autres cours d'eau et ravins de peu d'importance. Dans la partie septentrionale de la ville les collines atteignent 160 m. de hauteur absolue, le niveau normal de la Moskwa étant à l'extrémité du quartier sud à 116 m. au dessus de la mer. Entre toutes ces collines le Kremlin, par sa position centrale et son importance historique comme ancienne citadelle ou bourg, occupe sans contredit le premier rang, quoiqu'il n'ait que 150 m. de hauteur. De la terrasse du Grand-Palais s'étend une vue immense sur le „Zamoskvo-rétchié“, partie basse du sud de la ville, séparée de la partie principale, côté nord, par la large vallée de la Moskwa. Le Kremlin lui-même est circonscrit du côté de l'est par la vallée de la Yaouza, au delà de laquelle s'élève la colline du sud-est; du côté occidental il est bordé par la vallée de la Néglinnaya, derrière laquelle s'élève la colline où se trouve le Musée public; plus loin on aperçoit la vaste plaine „Dévitchié polié“, aux abords de laquelle la majestueuse cathédrale du Sauveur (Sobor Khrista Spassitélia) frappe le regard. Enfin, plus loin encore, vers l'ouest, dominent „les Montagnes des Moineaux“ (Worobiewy Gory) sur la rive droite de la Moskwa.

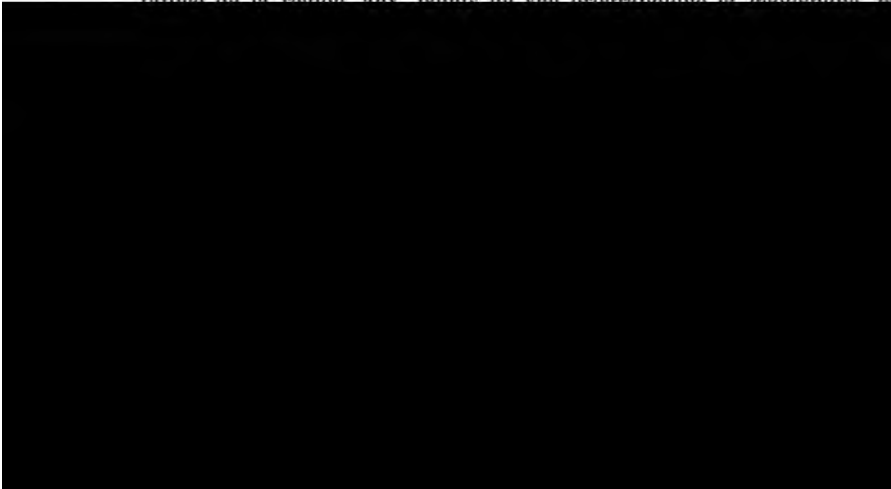
La constitution du terrain de Moscou est assez bien connue, grâce aux investigations géologiques faites dans les environs de la ville et à nombre de forages (plus de 150), exécutés pendant les derniers quinze ans sous le contrôle plus ou moins constant de l'auteur de cette esquisse, enfin grâce aux travaux de canalisation et de l'alimentation en eaux de la capitale. Quelques collines sont couvertes par l'argile morainique à blocs (Q_1^b), plus ou moins érodée et emportée presque sur toute l'étendue de la ville, de sorte que les sables à blocs inférieurs (Q_1^a) se trouvent soit immédiatement sous le sol et le remblai, soit recouverts des produits également sableux de l'éluvion; les seules exceptions sont: a) les vallées fluviales largement comblées par les alluvions; b) les collines mentionnées, recouvertes par-dessus les sables d'argile morainique; c) les élévations dans la partie sud-est de la ville au delà de la Yaouza, où l'on observe, sur l'argile morainique, le sable caillouteux supérieur non stratifié (Q_1^c). En dessous des dépôts posttertiaires se disposent les diverses assises mésozoïques, indiquées dans la coupe géologique générale de Moscou (voir plus loin), et le calcaire carbonifère moyen de l'étage moscovien, qui forme la base rocheuse sur laquelle la ville est bâtie.

La colline du Kremlin, constituée par tous ces dépôts, présente en haut le sable inférieur qui passe aux assises parfaitement conservées des étages volgiens et jurassiques. Les forages ont rencontré le calcaire carbonifère à la hauteur de 0 à 8 m. au-dessus du niveau normal de

la rivière. C'est ce même calcaire qui supporte le fondement des principales églises, entre autres de la cathédrale du Sauveur (Khram Spas-sitélia) et les culées des ponts. Le forage le plus profond, fait dans une des collines de la ville, à la hauteur absolue de 144 m., a traversé 21,4 m. de dépôts argilo-arénaux quaternaires et mésozoïques, 180,7 m. des calcaires de l'étage moscovien, 74 m. des calcaires de la section inférieure du carbonifère, 49 m. de l'étage argilo-arénaux houillifère de la même section du système carbonifère, enfin 135 m. de calcaires et de marnes dévoniens; ici le forage a été arrêté sans qu'on ait trouvé l'eau dévonienne qu'on cherchait. La ville profite largement des eaux artésiennes, fournies sous une pression assez forte par plusieurs horizons aquifères dans les calcaires moscoviens. L'alimentation en eau principale exploite à 20 kilom. de la capitale des sources de la nappe aquifère des sables inférieurs à blocs.

Environs de Moscou.

Les environs de Moscou, de même que tout le gouvernement de Moscou et les parties limitrophes du gouvernement de Wladimir ont été étudiés, depuis la naissance de la science géologique en Russie, par de nombreux géologues, dont nous ne citerons, dans l'ordre de leur apparition, que les noms les plus connus de Fischer von Waldheim, Rouiller, Murchison, Trautschold. Plus tard l'auteur de cette revue, chargé par le Comité Géologique de la levée géologique de la région, l'a étudiée en détail pendant nombre d'années. Les résultats de ses recherches ont été publiés dans les trois volumes suivants des „Mémoires du Comité Géologique“: Carte géologique générale de la Russie, feuille 57; Vestiges de la période crétacée dans la Russie centrale; Dépôts carbonifères dans la région de Moscou. (Vol. V Nos 1, 2 et 5). Le premier de ces livres contient, outre la description détaillée de la région, aux points de vue géographique et géologique, le



A. Michalski, Die Ammoniten der unteren Wolga-Stufe. Mém. du Com. Géol., Vol. VIII, № 2. (Description détaillée du groupe dominant des fossiles de l'étage volgien inférieur).

K. Bogoslovsky, Der Rjazaner-Horizont, seine Faune, seine stratigraphischen Beziehungen und sein wahrscheinliches Alter. Materialien zur Geologie Russlands. 1896, Bd. XVIII. (Bien que les matériaux dont l'auteur s'est servaient été recueillis dans le gouvernement limitrophe, c'est une étude toute spéciale et très exacte sur la paléontologie et la géologie de l'horizon qui joue un rôle si important dans la question de l'âge respectif des sédiments passant du jurassique au crétacé de la Russie centrale).

Pour ce qui est des dépôts quaternaires des environs de Moscou, des monographies originelles n'ayant pas paru dans le courant des dernières années, il n'y a guère qu'une revue des données, publiée dans les travaux du „Congrès Internat. d'Archéologie et d'Antropologie, Session de Moscou, 1892“, qui ait une valeur générale:

S. Nikitin, Sur la constitution des dépôts quaternaires en Russie et leurs relations aux travaux résultant de l'activité de l'homme préhistorique.

Quelques notes sur les dépôts quaternaires des environs de Moscou, publiées après 1890, communiquent soit des détails peu importants, soit des faits trop peu étudiés ne présentant que des idées provisoires.

La coupe générale des environs de Moscou, dont les éléments ont été puisés dans la littérature citée, réclame quelques explications:

Le calcaire carbonifère des environs de Moscou est le représentant typique de la section moyenne de ce système en Russie ou de l'étage moscovien (C_2). Cet étage est très abondant en fossiles dont près de la moitié se retrouvent en formes identiques dans les assises inférieures du système carbonifère de l'Europe occidentale, tandis que les autres ont été rencontrés pour la première fois dans le moscovien. (Voir pour les détails la description des affleurements de Dorogomilowo, Miatchkowo, Podolsk).

Les assises de ce calcaire plus ou moins altérées et chimiquement modifiées et, dans la partie orientale du gouv. de Moscou, les calcaires encore plus altérés de la section supérieure du carbonifère (étage gshélien), supportent directement le callovien moyen (J_2^3). Les conglomérats de ce niveau contiennent assez souvent des fossiles plus ou moins usés du carbonifère, à côté d'Ammonites, de Bélemnites et d'autres formes spéciales au callovien moyen.

La succession des zones du jurassique de la Russie moyenne jusqu'au kimméridgien inclusivement est si parfaitement analogue à celle des zones jurassiennes de l'Europe occidentale, surtout du nord et de l'ouest de la France, qu'il est très difficile d'indiquer des divergences sérieuses, ni provinciales, ni zonales: on n'observe une certaine

différence que dans la faune des divers faciès en dépendance de composition pétrographique des roches. (S. Nikitin. Ueber die Beziehungen zwischen der russischen und der westeuropäischen Jur. Neues Jahrb. Geol. 1886, Bd. II.—S. Nikitin. Excursions dans les musées et les terrains mésozoïques de l'Europe occidentale, Bul. Soc. Belge de Géol. 1889, t. III.—N. Neumayer und V. Uhlig, *Erdgeschichte*, II Auflage).

Le séquanien des environs de Moscou (J_2^s) ne peut pas être divisé en zones nettes, de sorte que l'oxfordien supérieur et le kimméridgien inférieur (zone à *Opp. tenuilobata*) y sont intimement liés paléontologiquement et pétrographiquement.

Le kimméridgien (J_3^s) est à peine marqué près de Moscou; on n'observe d'ailleurs aucune limite, ni pétrographique ni stratigraphique entre cet étage-ci et le volgien inférieur qui le surmonte. Il est probable que nous avons affaire ici à des argiles noires kimméridgiennes dépourvues de fossiles, qui font le passage à des argiles semblables la base du volgien. Plus loin vers l'est, dans la région de la Volga moyenne, le kimméridgien (le kimméridgien moyen) à *Hoplites eudoxus* et *Aspidoceras acanticum* passe directement au volgien inférieur.

Dans la question sur l'âge et la position du volgien inférieur et du supérieur et, surtout, sur le parallélisme de ses divers horizons avec les formations correspondantes de l'Europe occidentale, les géologues russes ne sont pas encore d'accord. L'auteur de cette revue, qui revient la dénomination de l'étage volgien et par conséquent la détermination de ses limites, soutient le point de vue suivant: Soit le nom de volgien on doit comprendre la totalité des dépôts qui dans la Russie du centre et du nord, se trouvent entre les couches du kimméridgien à *Hoplites eudoxus* et celles du néocomien moyen (la partie inférieure du néocomien supérieur) ¹⁾ à *Olcostephanus versicolor*. Ces deux niveaux qui font la base et le toit du volgien ne s'observent nettement qu'en certains points de la Volga moyenne. L'absence de quelques-uns des horizons du volgien, tantôt des inférieurs tantôt des supérieurs, qu'on remarque en beaucoup d'endroits de la Russie, trouve son explication dans une des raisons suivantes: ou bien à tel point donné le dépôt de certains niveaux n'a pas eu lieu, ou les niveaux, absents aujourd'hui, ont existé, mais ont été remaniés et érodés dans la suite; ou bien encore, et cela arrive le plus souvent, tel niveau ne peut être distingué, étant faiblement développé et sans fossile. Le kimméridgien de Moscou est dans le dernier cas; le manque du néocomien moyen à *Olcost. versicolor* et de l'horizon le plus élevé de l'étage volgien supérieur à *Olcost. polyptychus* s'explique par les deux premières raisons. Ces deux zones sont parfaitement développées sur la Volga et au nord de la Russie, alors que le niveau à *Hoplites rjasnensis* n'apparaît à Moscou, comme le kimméridgien, qu'en vestiges à peine perceptibles.

¹⁾ Etage hauterivien.

Pour ce qui est de la faune renfermée depuis la base du volgien jusqu'à la zone à *Olcost. polyptychus* inclusivement, elle se distingue par une rare constance de son type général qui a très peu de commun avec le type de la faune du kimméridgien et du néocomien. Les fossiles dominants sont les *pelecypodes* et les *gasteropodes*; la plupart de leurs espèces se trouvent en formes identiques à tous les niveaux des dépôts volgiens sans en excepter l'horizon à *Olcost. polyptychus*. Les plus remarquables sont les *Aucelles* dont les mêmes formes remplissent aussi bien l'étage volgien inférieur que le haut de l'étage supérieur (horizon à *Hoplites rjasanensis*). Les *Cephalopodes* offrent deux types très distincts d'*Ammonites* et de *Bélemnites* qui permettent de reconnaître facilement les étages inférieur et supérieur du volgien. Dans l'inférieur prédominent *Perisphinctes* des groupes *ergati*, *Nikitini* etc., *Belemnites absolutus*; dans le supérieur: *Olcostrophanus* des groupes *subditus* et *polyptychus*, *Orynoticeras* du groupe *catenulatum*, *Belemnites russiensis-lateralis*, remplissant en formes analogues ou à peine nuancées toutes les assises du volgien supérieur, l'horizon à *Olcost. polyptychus* y compris. Parfois, principalement au niveau à *Hoplites rjasanensis*, viennent s'y ajouter des *Hoplites* étrangers, paraissant appartenir au type méridional.

Précisant le volgien comme remplaçant les horizons supérieurs du jurassien et les inférieurs du néocomien, S. Nikitin juge prématuré, vu l'état actuel des connaissances géologiques, de paralléliser les divers niveaux du volgien avec ceux des assises de l'Europe occidentale; d'un côté la faune des différences zones du volgien n'est encore ni décrite ni suffisamment étudiée, d'un autre côté bien des détails relatifs aux dépôts correspondants de l'Europe occidentale sont jusqu'à présent inconnus, ou insuffisamment éclaircis. La parallélisation des zones du volgien, fondée uniquement sur l'étude partielle de quelques-uns des fossiles qu'elles contiennent, conduirait nécessairement à des résultats illusoires, d'autant plus que l'exactitude des définitions paléontologiques en usage laisse souvent beaucoup à désirer. Aussi les tableaux de corrélations ne doivent-ils être regardés que comme essais provisoires, susceptibles à toutes les modifications que de nouvelles découvertes pourront leur faire subir.

La précision de l'âge des dépôts volgiens a été beaucoup facilitée par les découvertes récentes de M-rs Nikitin¹⁾ et Pavlov²⁾ dans les assises inférieures du portlandien de l'Angleterre et de la France septentrionale, de quelques formes d'*Ammonites* et de *Bélemnites*, analogues à celles qu'on trouve dans la partie inférieure de l'étage volgien, et d'un autre côté, par la découverte de plusieurs formes d'*Ammonites*, de *Bélemnites*, d'*Aucelles* etc. du volgien supérieur, dans le Hils allemand, dans les horizons inférieurs du néocomien et quelques horizons stratigraphiquement peu déterminés, séparant en Angleterre le

¹⁾ Excursions dans les musées etc.

²⁾ Etudes sur les couches jurassiques etc.—Argiles de Speeton etc.

portlandien du néocomien moyen. Mais un des faits les plus précieux pour la détermination de l'âge des assises volgiennes, fait signalé par S. Nikitin et étudié par M-r Bogoslovsky dans le travail qu'il vient de publier, est la présence dans l'horizon à *Hoplites rjasanensis* de toute une série d'*Ammonites* très proches, quoique non tout à fait identiques, à celles du tithonique le plus supérieur et du berriasien (zone à *Hoplites Boissieri*).

S. Nikitin est de l'opinion que l'ensemble des dépôts volgiens présente un type paléontologique et géologique spécial (type du nord), qui n'entre ni dans la classification, ni dans la terminologie acceptées dans l'Europe occidentale. Des traces du volgien se retrouvent en Angleterre, mais là, comme en Russie, elles attendent une étude paléontologique approfondie qui, certainement, ne se contentera pas de la connaissance des *Ammonites* et des *Bélemnites*.

M-r Bogoslovsky à qui appartient la définition stratigraphique de l'horizon très instructif à *Hoplites rjasanensis* et l'étude de sa faune, est du même avis que nous sur l'âge respectif des dépôts volgiens, leur indépendance originale et le rapport qu'ils offrent avec les formations de l'Europe occidentale; toutefois il propose de terminer le volgien supérieur par l'horizon à *Olcost. nodiger* qui serait en même temps le dernier niveau du jurassien, de mettre provisoirement l'horizon à *Hopl. rjasanensis* à la base du néocomien et de considérer le niveau à *Olc. polyptychus* et *Olc. hoplitoïdes* comme principale assise inférieure du néocomien. (La divergence avec notre point de vue, on le voit, n'est que formelle).

M-r Pavlov, tout en étant d'accord que les sédiments du volgien inférieur reposent constamment sur le kimméridgien à *Hoplites eudoxus*, a cependant, jusqu'à ces derniers temps, classé la totalité des dépôts volgiens dont nous avons parlé plus haut, dans le système jurassique, auquel il rattachait aussi une partie du néocomien de l'Europe occidentale (*Berrias. Hils. conglomerat* etc.) en supposant l'existence

le niveau supérieur de la zone à *Hoplites rjasanensis* et la zone à *Olc. polyptychus*, ne se rapporterait non au jurassique, mais au néocomien inférieur du système crétacé; la lacune entre le volgien supérieur et le néocomien moyen à *Olc. versicolor* ne serait pas générale, mais seulement locale (comme nous l'avons signalé depuis bien longtemps); les couches du volgien supérieur formeraient une seule zone, celles de l'inférieur en formeraient trois etc.

Le néocomien moyen à faune marine de la région de la Volga moyenne (horizon à *Olc. versicolor*), développé à travers toute la Russie de l'est, depuis la Crimée et le Caucase jusqu'à la région de la Petchora, n'a pas été trouvé dans les environs de Moscou; il y est remplacé par des sables à flore du crétacé inférieur (très voisine de la flore du Wealdien).

Le néocomien supérieur à faune marine, dont l'affleurement le plus proche s'observe à 150 klm. à l'est de Moscou, n'a jusqu'à présent été trouvé plus près de la ville qu'à un seul endroit. Comme le néocomien moyen, il est en sa plus grande partie remplacé par des sables qui représentent peut-être des horizons encore plus élevés.

Après des lacunes considérables viennent les dépôts posttertiaires ou quaternaires, que nous divisons en dépôts pléistocènes (Q_1) et modernes (Q_2). Comme le montre la coupe générale, la contrée était occupée, durant la première moitié du pléistocène, par un glacier qui y a laissé la moraine profonde Q_1b . Cette moraine repose très souvent, mais non partout, sur les sables à blocs erratiques inférieurs stratifiés Q_1a . Au-dessous on observe çà et là des sédiments typiques d'eau douce, avec débris végétaux qui pourraient bien avoir commencé à se déposer déjà à la fin de la période tertiaire. Quant à quelques autres dépôts d'eau douce que la plupart des géologues avaient placés autrefois à la base du quaternaire, les opinions sont aujourd'hui doubles. En tout cas, il est hors de doute qu'aux environs de Moscou et dans toute la Russie centrale il n'existe qu'un seul étage morainique à blocs et que, les traces de glaciations répétées ou de grandes oscillations du glacier y faisant absolument défaut, il ne peut être question de dépôts interglaciaires. Nombre de preuves directes et indirectes montrent que les dépôts morainiques y datent de la première moitié du pléistocène et de l'époque de la première ou la grande glaciation de la Scandinavie et de l'Allemagne (d'après la terminologie de Torell, Penck, Berendt etc.).

La seconde moitié du pléistocène se caractérise par la formation, dès la retraite du glacier, des sables à blocs erratiques supérieurs non stratifiés (Q_2c), produits par l'éluvion et le délavage. D'autres sédiments stratifiés, sableux ou argileux, formés aux dépens de la moraine éluvionnée, se sont déposés en même temps dans les larges vallées fluviales et les dépressions; là où la moraine a été entièrement emportée, les sables stratifiés supérieurs (Q_2a) se mélangent avec les sables inférieurs (Q_1a) en un ensemble de sédiments sableux qu'il est impossible de séparer. Bien plus rarement apparaissent dans les environs de Moscou des dépôts loessiformes de même origine, adossés à différents

veaux contre les pentes élevées; habituellement ce sont des sédiments de nature poussiéreuse non stratifiés ou à peine schisteux, qui offrent la structure, la composition et les autres qualités du loess. Au même étage se rapportent dans la Russie moyenne les principaux dépôts d'eau douce, fluviaux (en terrasses) ou lacustres (β), avec mammoth, rhinocéros et abondants restes de forêts à feuilles caduques.

Les sédiments quaternaires modernes (Q_2) offrent dans toute cette région deux types distincts: tantôt ce sont des alluvions fluviales, tantôt des alluvions lacustres ou des alluvions de ravins et de pentes peu inclinées. Vers le haut des pentes et sur les espaces plus ou moins élevés et plats, les alluvions passent graduellement, par l'intermédiaire de dépôts de ruissellement, aux divers produits d'alluvion. Sur ces plateaux on observe souvent des tourbières et une formation spéciale, très répandue dans la zone forestière (en dehors de la limite du tcherno zem) de la Russie du nord et du centre, connue en Russie sous le nom de „podsol“. Le podsol est une substance finement pulvérisée, farineuse à l'état sec, qui, mouillée, prend l'aspect et les propriétés d'une argile faiblement plastique. Le podsol est de la silice presque pure (jusqu'à 88%), pulvérulente et faiblement mélangée d'argile, très pauvre en zéolites et en calcaire, mais parfois assez riche en FeO et MgO . La réaction est acide; la substance organique accuse le plus souvent l'acide crenique (Krensäure) et ses composés. Le podsol doit son origine à la décomposition organique du sol dans un milieu acide et humide. Il pénètre le sol et s'assemble en lit plus ou moins épais entre le sous-sol et le sol proprement dit. Là où le sous-sol est sableux, le podsol est parfois accompagné de l'ortstein (alios).

Worobiewy gory (Montagnes des Moineaux).

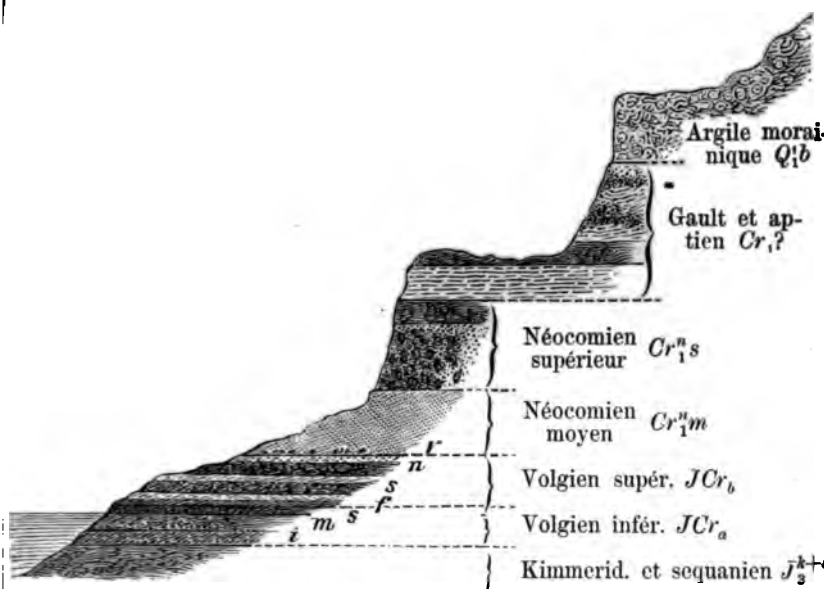
Les Montagnes de Worobiewo, aussi célèbres dans l'histoire naturelle que dans l'histoire politique, sont situées au-delà de la limite sud-occidentale de Moscou. En réalité toutes ces „montagnes“ ne forment qu'une seule colline, élevée en bord escarpé jusqu'à 90 m. au-dessus de la rivière Moskwa (206 m. au-dessus du niveau de la mer). Sur une longueur considérable la rivière a creusé le versant nord-est de cette colline en forme de fer à cheval. Du côté sud la colline s'élève peu à peu en un plateau, coupé par de profonds ravins, qui atteignent 235 m. d'altitude.

On y arrive soit par le tramway qui traverse le quartier Zamoskworétchi en passant devant le Jardin Impérial et le Palais d'été Nikolskouchnoïé, soit par un des petits bateaux à vapeur qui partent du Kremlin, soit enfin par le train qui traverse le Diévitchi Polié. Du belvédère du restaurant au sommet de la colline une vue splendide s'ouvre sur la ville et ses faubourgs, le Kremlin au centre, le Diévitchi Polié au premier plan, et plus loin, au nord-est, sur la vaste et sinieuse vallée de la Moskwa. La continuation de la vallée vers l'est est cachée par l'aile orientale des montagnes. La superposition alterne

sante de dépôts argileux et sableux, une puissante nappe aquifère sur les argiles en bas, enfin le creusement annuel de la base par la crue du printemps, sont cause que le flanc escarpé de la colline, en forme de fer à cheval, présente une série de terrasses d'éboulement, actuellement couvertes de forêts.

A cause de leur hauteur les Worobiewy gory ont conservé, mieux que n'importe où aux environs de Moscou, la série des dépôts mésozoïques qui séparent le jurassien du crétacé.

Coupe de Worobiowo.



Cette coupe idéale ne se voit nulle part en entier le long de la Moskwa. La série supérieure des couches se fait le mieux observer au grand ravin qui, à partir du bout oriental du village, descend vers la rivière en faisant avec celle-ci un angle droit. Malheureusement le ravin coupe du haut en bas les éboulements échelonnés, de sorte que les dépôts ne se présentent point dans leur position primitive et que les couches inférieures de la coupe, depuis le néocomien moyen jusqu'au pied de l'escarpement, restent cachées. Au commencement de l'été, pendant la baisse des eaux, on aperçoit dans la berge et aux endroits secs du lit de la rivière plusieurs niveaux des dépôts volgiens et jurassiens, le séquanien à *Cardioceras alternans* y compris; mais dans la seconde moitié de l'été la digue de la ville fait remonter l'eau et ces horizons redeviennent invisibles. En aval, près de l'usine Andréevskaïa, l'eau couvre également le bas d'un très bel affleu-

reiment de trois horizons du volgien supérieur qui renferment une rare abondance de fossiles bien conservés. Quand l'eau est basse, le lit est pour ainsi dire pavé de concrétions phosphatiques du volgien inférieur.

Environs du cimetière de Dorogomilowo.

En traversant la Moskwa au centre de la ville, nous entrons dans le faubourg de l'ouest, appelé Dorogomilowo. Si l'on y dépasse l'ancienne barrière de la ville et qu'on tourne à droite, on arrive, sur la rive droite, entre le cimetière et le pont du chemin de fer de Smolensk, à un affleurement des couches inférieures des dépôts jurassiques et à d'anciennes carrières qui exploitent le calcaire carbonifère. Nous avons donc là les niveaux de la coupe, qui à Worobiowo n'affleurent pas ou sont couverts par l'eau. Lorsque les carrières sont en action, on peut voir les parois verticales artificielles de l'étage volgien inférieur JCr_6 , du séquanien J_3^a , de l'oxfordien J_3^0 , chacun avec ses fossiles caractéristiques. L'oxfordien présente des concrétions argileuses, parfois siliceuses et marneuses, à *Cardioc. cordatum*. Le callovien sous-jacent y est dépourvu de fossiles. Le calcaire carbonifère à la base plonge dans l'eau; on en retire des dalles contenant fréquemment une abondante faune de la zone à *Product. longispinus*, *Productus punctatus*, *Spirifer lineatus*, *Enteleles Lamarcki*. Un des horizons inférieurs du calcaire est riche en *Fusulina cylindrica*, en *Crinoides*, *Archaeocidaris rossica* etc. Vers le haut l'assise du calcaire carbonifère est parfois intercalée de marnes et d'argiles rougeâtres ou verdâtres, considérées autrefois comme restes des dépôts permien (Trautschold). Cette argile renferme les fossiles du même carbonifère moscovien. Dans les sondages exécutés dans la ville, elle se montre distinctement recouverte de calcaires contenant exactement la même faune.

En face, sur la rive gauche, un peu en aval du cimetière et dans la vallée même, plusieurs carrières exploitent des calcaires carbonifères identiques à ceux de la rive droite. La coquille caractéristique des horizons plus inférieurs de l'étage moscovien, *Spir. mosquensis*, ne s'y rencontre pas encore.

Mniowniki.

Un vaste champ qui sert de camp militaire, s'étend à l'ouest et au nord-ouest de la ville entre la Moskwa, la ligne du chemin de fer de Smolensk et la chaussée de Pétersbourg. Ce champ, appelé Khodynskoïe polié, est traversé par le petit ruisseau Khodynka. Tout cet espace est couvert des sables à blocs inférieurs (Q_1^a) abondant par endroits en blocs et galets erratiques. Le côté nord-est est bordé par une bande continue d'argile morainique, dont on ne trouve que des lambeaux au milieu du champ. Il est hors de doute qu'à l'époque de la retraite du

glacier cette argile, exposée à un fort délavage et à l'érosion, fut remplacée par les dépôts de sable stratifié (Q^2a) réunis en tout avec les sables inférieurs (Q^1a) qui dans les coupes s'enfouissent sous l'argile morainique. Par endroits, p. ex. sur la rive gauche de la Moskwa, entre le village Chélépikha et le confluent de la Khodynka, ces sables offrent de fortes accumulations de blocs erratiques. Parfois on y observe, surtout vers le bas, des couches sous-jacentes d'argile stratifiée et de marne. Des traces de dépôts lacustres et fluviatiles locaux s'observent çà et là à des niveaux bien plus élevés que les eaux du printemps n'en atteignent aujourd'hui.

Dans les bords creusés de la Moskwa apparaissent, tantôt sur l'une, tantôt sur l'autre rive, de très beaux affleurements du volgien et en partie du séquanien. Les horizons supérieurs de ces affleurements jusqu'à celui à *Olcost. nodiger* inclusivement (JCr^2) étaient détruits, sur une partie considérable du terrain, avant l'époque et à l'époque même du dépôt des sables quaternaires inférieurs. Le creusement continu de la rive et l'abondance de sources dans la partie supérieure de l'étage volgien inférieur (JCr^2) ne cessent d'anéantir les beaux affleurements d'autrefois, tout en y mettant à nu de nouveaux. Ainsi p. ex. les affleurements près du village Khorochowo, célèbres du temps de Rouiller et de Murchison, n'existent plus. Aujourd'hui la meilleure coupe s'observe entre le confluent de la Khodynka et le village Mniovníki au débouché du grand ravin Stoudiony. Au lieu d'une description nous en donnons la coupe (p. 14).

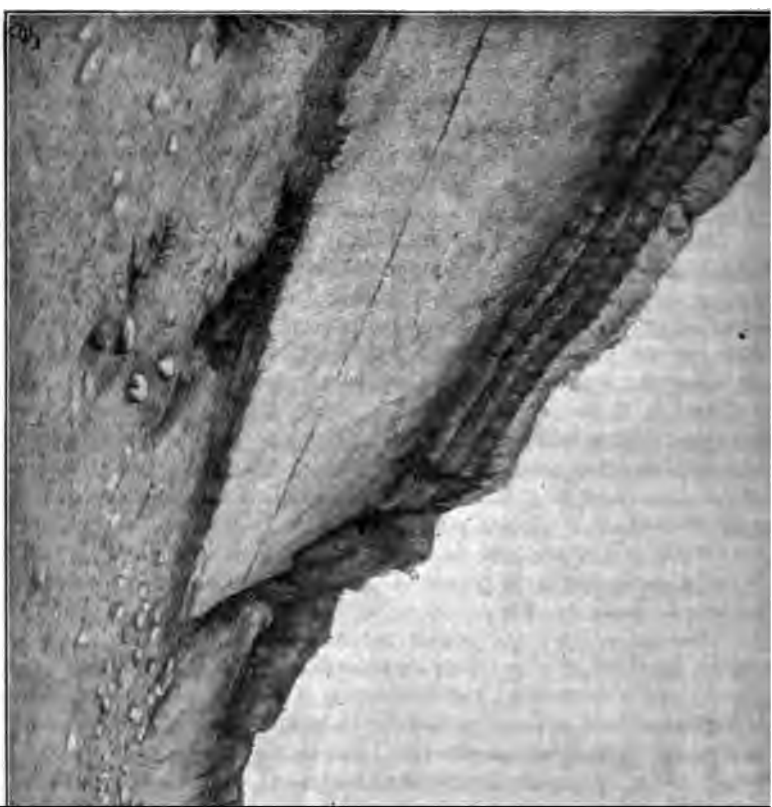
Ajoutons qu'outre une grande netteté de tous les horizons, l'étage volgien inférieur, avec ses deux couches de concrétions phosphatiques, offre ici une rare richesse paléontologique et que les mêmes ammonites du groupe *virgati* se trouvent indistinctement et en quantité égale dans les concrétions phosphatiques les plus inférieures et dans les argiles supérieures (JCr^2). La coupe se termine en bas par de l'argile qui se continue jusqu'au séquanien (J_s^1). Cette argile, souvent glauconieuse vers le haut, passe insensiblement au sable glauconieux argileux du volgien inférieur qui la surmonte. Les fossiles caractéristiques séquaniens ne se rencontrent qu'à un mètre de distance de la couche inférieure des concrétions phosphatiques que l'on considère ordinairement comme base de l'étage volgien.

Tatarowo-Troïtzkoïé.

La route de Troïtzkoïé se dirige de Mniovníki vers le village Khorochowo, situé au sommet d'un grand escarpement à pente rapide, qui forme la rive gauche de la Moskwa. Nous avons déjà dit qu'actuellement les affleurements près de ce village sont cachés sous des éboulements et des fragments de roches. Cependant on y voit çà et là affleurer quelques parties de la coupe de Mniovníki que nous venons d'examiner. Ces affleurements sont en partie couverts des sables des niveaux supérieurs de l'étage volgien supérieur, en partie d'argile morainique.

$JGr_b \left\{ \begin{array}{l} s \\ m \end{array} \right.$
 $JGr_a \left\{ \begin{array}{l} m \\ i \end{array} \right.$
 I

J_2



Coupe générale de Miovin

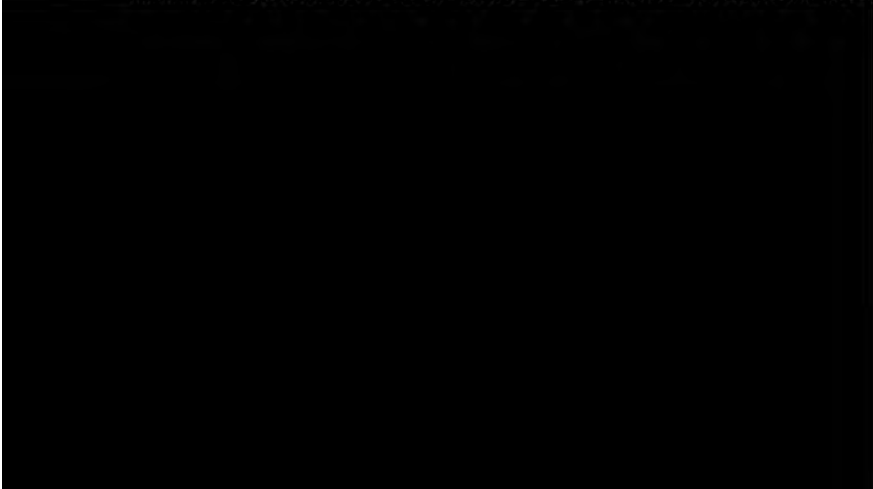
A un kilomètre environ en amont du pont de Tatarowo, où la route traverse la rivière, on arrive, sur la rive droite, à une autre série d'affleurements du volgien, malheureusement à moitié cachés sous les éboulis de la puissante assise des sables à blocs inférieurs. La succession des couches se laisse observer presque aussi difficilement qu'à Troïtchowo; plusieurs horizons sont extraordinairement riches en fossiles bien conservés, surtout celui des concrétions phosphatiques de l'étage volgien inférieur. Dans de nombreux ravins latéraux on peut voir en outre les traces des horizons paléontologiques plus supérieurs, développés à Worobiewo. Un des géologues amateurs a dernièrement signalé la présence en ce lieu de vestiges de la zone à *Hoplites rjasanensis*, mais sans donner ni la coupe ni la description exacte de l'endroit où il a fait sa découverte. Toutefois quelques-unes de ses indications font supposer que les *Hoplites* s'y trouvaient en position secondaire parmi les galets erratiques.

Les couches du volgien supérieur sont surmontées dans les coupes de la rive par une puissante assise des sables volgiens supérieurs qui constituent la plaine, en plusieurs points boisée, s'étendant vers les villages Yékaterinovka et Troïtskoïé. Vers le sud, à un kilomètre à peu près de la rivière, se dressent des collines, dont la hauteur absolue atteint 200 m. Ces collines consistent en une argile morainique (Q_{1b}), de dessous laquelle émergent par endroits les sables inférieurs (Q_{1a}), des sables blancs et des grès meuliers quartzeux. A juger d'après leur position et les restes de flore (celle du crétacé inférieur), ces grès doivent correspondre à la partie du néocomien, disposée au-dessus de la zone à *Hoplites rjasanensis*. Faute de données plus positives, leur âge ne peut être déterminé d'une manière plus exacte. (La question de leur position et de leur âge est examinée en détail dans notre livre: „Vestiges de la période crétacée“).

En suivant la rivière dans la direction du village Troïtskoïé on arrive à l'endroit où le prof. Rouiller a trouvé en 1844 le limon arénacé marneux lacustre qu'il a décrit pour la première fois. Dans ce limon a été trouvé un squelette presque entier de mammouth parmi les nombreux restes de la faune et de la flore forestière et marécageuse contemporaines, caractéristiques pour les parties plus méridionales de la Russie centrale. Ce dépôt lacustre, surmonté par des sables à galets, y a été trouvé recouvrant immédiatement les dépôts mésozoïques. Mr. Rouiller, et après lui une série d'investigateurs, lui a attribué l'âge tertiaire, ou, d'après le point de vue moderne, l'âge préglaciaire, tout en admettant l'existence du mammouth dans la Russie centrale non seulement à la seconde moitié du pléistocène, ce qui a été constaté dans plusieurs localités, mais aussi à l'époque préglaciaire. Il y a une vingtaine d'années, on pouvait encore voir l'affleurement des limons marneux à Troïtskoïé dans le même état que Mr. Rouiller l'avait décrit. Malheureusement les conditions locales ont changé depuis: la rivière s'est rapprochée du profil de l'affleurement: le massif des limons, en glissant vers la rivière, a recouvert les alluvions caillouteuses et le

galets des roches cristallines du lit de la rivière, ce qui a à tel point disloqué et changé la suite des dépôts du profil, qu'on n'en voit aujourd'hui que des lambeaux. Un des jeunes investigateurs, Mr. Kristafowitch, a fait exécuter, il y a quelques années, des fouilles considérables dans cet affleurement. La découverte de galets cristallins au-dessous du limon marneux l'a engagé à publier une note ¹⁾ dans laquelle il a proposé de considérer ces galets comme restes de la moraine de la première glaciation, les limons à mammouth comme couches interglaciaires, les sables qui les recouvrent et notre argile morainique comme dépôts de la seconde glaciation. L'article de Mr. Kristafowitch, bien qu'il fût en pleine contradiction avec les résultats des recherches de autres investigateurs russes, provoqua une certaine sensation parmi les géologues de l'étranger qui s'occupent du quaternaire. Depuis lors Mr. Kristafowitch a plusieurs fois changé d'avis sur la succession et les relations de ces dépôts. La dernière note aussi préliminaire que celle qu'il a publiées précédemment sur les dépôts quaternaires des environs de Moscou, montre que non seulement il n'y reconnaît plus la présence de dépôts de la seconde glaciation, mais qu'il rapporte aujourd'hui les limons de Troitzkoïé aux formations postérieures à notre argile morainique.

Selon notre opinion, l'emplacement actuel des affleurements à Troitzkoïé ne peut jouer de rôle décisif dans la question de l'Âge du mammouth de la Russie centrale. En effet, les conditions locales sont telles que les sables inférieurs au gravier des roches cristallines sous le limon ainsi que les sables supérieurs qui le recouvrent, occupent peut-être une position secondaire et que leur sédimentation peut n'avoir eu lieu à aucune des époques de la période glaciaire. S'il venait à être démontré que les sables inférieurs à galets cristallins avaient en effet, in situ supporté l'assise des limons de Troitzkoïé, ce qui est encore loin d'être prouvé, le mammouth de Moscou perdrait son intérêt original comme mammouth préglaciaire, et ne serait qu'un nouvel exemple de la po



II

DE MOSCOU A OUFÀ.

(VIA Mlatchkowo, Riazan, Penza, Syzran, Samara)

PAR
S. NIKITIN.

De Moscou à Kolomna sur l'Oka ¹⁾.

Le chemin de fer de Riazan contourne la partie nord de la ville de Moscou et se dirige vers le sud-est parallèlement au cours de la Moskwa, traversant plusieurs de ses affluents gauches peu considérables. La contrée est peu élevée et relativement plate; les faibles ondulations du sol sont des flots de l'argile morainique qui, érodée et enlevée à présent sur la plus grande partie du terrain, le couvrait autrefois tout entier. La formation dominante est le sable à blocs inférieur stratifié (Q₁a) intimement lié à sa surface avec les produits d'éclavion sableux, déposés après l'érosion de l'argile morainique. Par endroits ces formations sont remplacées par des marais à tourbières et les alluvions des petites rivières. Conformément à la composition du terrain, les sols à podsol présentent ici deux types distincts, l'un sous-argileux, l'autre sous-sableux, les deux d'un gris pâle. Le dernier type, qui prédomine, est toujours accompagné de forêts de pins (*Pinus sylvestris*), tandis que les terres sous-argileuses sont plutôt couvertes de bois de bouleaux, de trembles et de quelques autres arbres à feuillage caduc, alternant avec des champs labourés et des prés dans les vallées d'alluvion.

Presque jusqu'à la station Bykowa les petites tranchées du chemin de fer, les puits et les sondages permettent de voir, sous les sables à

¹⁾ La littérature géologique sur cette partie de la région est indiquée dans les trois mémoires de M-r Nikitin mentionnés plus haut.

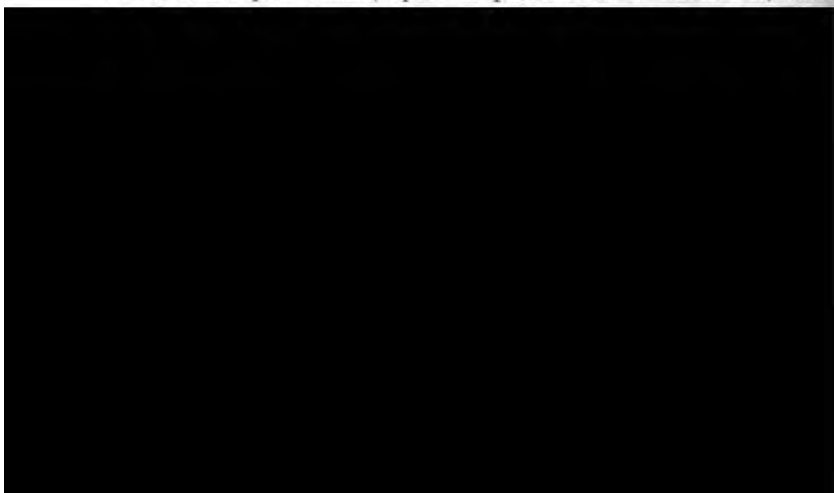
blocaux, des sables stratifiés plus au moins purs et blancs, qui se rapportent déjà aux zones supérieures du volgien supérieur. Vers sud et le sud-ouest de la station Lioubertzy on aperçoit du chemin à travers des collines boisées de plus de 180 m. d'altitude; sur l'une d'elles s'élève l'église du village Kotelniki, visible de très loin. De là les collines forment sur une grande distance vers le sud la pente générale de la vallée de la Moskwa. Leur surface, presque partout dépourvue de la couverture quaternaire, se compose de sables et de grès partiellement modifiés en quartzite. Les quartzites renferment les ammonites typiques de la zone à *Olcosteph. nodiger* et *Oxynot. subclypeiformis*. Par endroits les forêts sont couverts de blocs de quartzite, ce qui donne à cette contrée des environs de Moscou l'aspect étrange d'un pays montagneux.

Vers le sud, à dix kilomètres de la station Bykowa, est situé le village Miatchkowo, célèbre par la richesse en fossiles parfaitement conservés que l'on trouve dans la section moyenne du calcaire carbonifère, le calcaire moscovien typique.

Miatchkowo.

Bientôt après la station Bykowa la route entre dans un vaste élargissement de terrain alluvial lacustre de la vallée de la Moskwa, à l'endroit de la jonction de cette rivière avec son affluent gauche, la rivière Pekhorka. Cette vallée, avec ses lacs et les anciens lits de rivières, les uns déjà alluvionnés, les autres commençant à disparaître, avec les nouveaux lits qui changent chaque année, est inondée tous les printemps sur une étendue de plusieurs kilomètres, pendant la fonte des neiges. En été elle offre à côté d'endroits marécageux des prairies splendides.

A partir du village Ostrovtzy la route s'élève sur le bord primitif de la vallée pour entrer, après un parcours de 4 kilomètres, dans



où le terrain est beaucoup plus bas et où la partie supérieure des dépôts mésozoïques est plus ou moins détruite et emportée. Derrière l'extrémité inférieure du village on aperçoit en partie l'argile à blaux et les sables à gravier qu'elle recouvre. Les sables s'amincissent peu à peu vers l'extrémité supérieure du village où les dépôts jurassiques sont directement recouverts par la couche végétale. Des restes des étages miocènes ne se sont conservés que sous la partie inférieure du village, mais ils sont aujourd'hui presque inaccessibles à l'observation du géologue. C'est pour cette raison que je n'ai pas pu y observer les représentants du volgien supérieur (JCr_4). Mr. Trautschold fait mention d'un sable argileux brunâtre qui se rapporte probablement à cet endroit-ci et qui renfermait *Aucella mosquensis* Keys., *Ammonites aciculatus* Fisch. De nos jours ces affleurements ne sont surmontés que par un sable argileux et glauconieux, noir ou vert, avec des concrétions de phosphate de chaux (JCr_4) noire ou verdâtre. J'y ai recueilli: *Perisphinctes miatschkoviensis* Wischn., *Perisph. virgatus* Buch., *Perisph. apicatus* Wischn., *Aucella Pallasii* Keys., *Lyonsia Alduini* d'Orb., *Lima Fischeri* d'Orb., *Lima consobrina* d'Orb., *Ostrea plastica* Trd., *Rhynchonella Loxiae* Fisch., et quelques autres formes.

Plus bas vient une assise du plus haut intérêt, composée d'argiles grises et noires, stratifiées, avec intercalations d'un schiste argileux brun foncé, combustible, et par places d'abondantes concrétions marneuses. La série de ces couches correspond en général à l'oxfordien et au séquanien et atteint 8 à 10 m. d'épaisseur. Plusieurs années de suite j'ai étudié en détail chacun des horizons de cette localité classique, le calcaire ne pouvant être exploité qu'après l'enlèvement des argiles jurassiques superposées, les coupes verticales très nettes de ces formations se renouvelaient chaque année sur une grande étendue, de sorte que j'ai pu y récolter une riche collection paléontologique. L'étude de la fréquence et de la succession des fossiles dans les diverses couches de l'assise m'a conduit à la conclusion très importante pour l'histoire de l'époque jurassique dans la Russie centrale, qu'il existe une liaison entre les couches à *Cardioceras cordatum* et celles à *Card. alternans*, liaison résultant non-seulement de la continuation de la faune des conchifères et gastropodes d'une couche à l'autre, mais aussi du changement graduel et du passage de quelques formes d'unes à d'autres.

Les dépôts jurassiques présentent ici à la base une marne brune ou brun gris, et une marne argileuse, avec grains d'oolithe ferrugineuse. Actuellement cette formation s'observe le mieux dans les carrières en amont du village. Là elle n'a guère plus de 0,5 m. d'épaisseur et repose directement sur un conglomérat composé de blocs de calcaire carbonifère roulés, plus ou moins silicifiés et cimentés par une argile marneuse et ferrugineuse. Dans les carrières, à un niveau plus bas, la marne devient plus argileuse et partiellement plus sableuse; même temps elle renferme moins de grains d'oolithe ferrugineux et est presque tout à fait sa faune callovienne caractéristique. Grâce

à mes propres fouilles, j'ai réussi à y ramasser une faune relativement très riche, nettement distincte de celle des argiles superposées. Cette faune prouve que, malgré la faible épaisseur du dépôt, nous avons devant nous les représentants des horizons moyen et supérieur du callovien: *Stephanoceras coronatum* Brug., *Perisphinctes mosquensis* Fisch., *Perisph. scopinensis* Neum., *Cosmoceras Duncani* Sow., *Cosm. ornatum* Schloth., *Cosm. Gulielmi* Sow., *Peltoceras* sp., *Belemnites Puzosi* d'Orb., *Belemn. Beaumonti* d'Orb.; des gastéropodes assez nombreux, pas encore décrits: *Ostrea semideltoidea* Lah., *Lima mosquensis* Nik., *Lima strigillata* Laube, *Aricula inaequivalvis* Sow., *Pseudomonotis subechinata* Lah., *Exogyra spiralis* Trd., (Goldf.), et une série de conchifères non décrits; *Rhynchonella Orbignyana* Opp., *Rhynch. postacutiscosta* Nik., *Rhynch. varians arcuata* Quenst., *Rhynch. personata* Buch., *Terebratella pseudotrigonella* Trd., *Waldheimia Trautscholdi* Neum., *Acrochordocrinus insignis* Trd.

Dans l'assise du calcaire carbonifère (C.) sous-jacent on peut admettre la succession des couches suivantes:

Calcaire blanc verdâtre, se divisant en menus fragments—0,3 m.
Calcaire verdâtre compact, argileux—0,7 m.

Calcaire jaune dolomitique à cassure conchoïdale et dolomie pure qui renferment une grande quantité de dents de poisson et très peu de coquilles. À l'état frais la pierre est très compacte et dure, mais après moins d'un an d'exposition à l'air elle se désagrège complètement en menus fragments. Les cavités contiennent beaucoup de cristaux de calcite et de dolomie; dans les fissures on trouve souvent de belles dendrites ramifiées. La puissance de la couche est de—2,5 à 3 m.

Calcaire grisâtre compact, à cassure grossière, irrégulière—1,5 à 2 m.

Calcaire blanc, tendre, compact, à cassure granitique, clivable

Les calcaires blancs tendres renferment souvent des concrétions siliceuses et des cavités tapissées de cristaux de quartz: quelquefois on trouve aussi de la calcédoine grise.

Le calcaire blanc et les lits intercalés des marnes verdâtres lacées mentionnées sont particulièrement fossilifères. Cependant le seul étage moscovien du calcaire fournit ici une richesse de formes si grande que n'importe où dans la Russie centrale, ne semble pas résulter de l'abondance en fossiles effectivement très grande, que de nos recherches soignées faites en ce lieu et de la facilité avec laquelle des fossiles bien conservés se laissent recueillir dans ces roches. De là mes collections contiennent:

Dents et plaques osseuses de poissons:

Cladodus lamnoides Trd., *Clad. montifer* N. et W., *Clad. lamnoides* N. et W., *Clad. divergens* Trd., *Psamnodus augustus* Roman., *Psamnodus augustus* β *specularis* Trd., *Psamnodus augustus* γ *curvatus* Trd., *Poecilodus concha* Trd., *Poecilodus limbatus* Trd., *Poecilodus* *montis* Trd., *Orodus cinctus* Ag., *Orodus inaequilaterus* Trd., *Heterodus montis-cani* Trd., *Solenodus crenulatus* Trd., *Psephodus minor* Trd., *Deltodus laminaris* Trd., *Dactylodus concavus* Trd., *Poecilodus longus* Trd., *Petalodus destructor* N. et W., *Cymatodus stultus* Trd., *Tomodus argutus* Trd., *Ostinaspis Barboti* Roman., *Ostin. acuta* N. et W., *Ostin. coronata* Trd., *Ostin. simplicissima* L. Plusieurs formes d'ichthyodorulites et d'autres débris de poissons parfaitement déterminés.

Parmi les crustacés on rencontre deux formes de *Phillipsia*. Quelques-uns des lits de marne intermédiaires sont riches en *Ostracodes* non encore déterminés.

Céphalopodes: *Nautilus mosquensis* Tzvet., *Orthoceras compressum* Fiebig., *Orthoc. Delumbanum* Fiebig.

ductus lineatus Waag., *Pr. semireticulatus* Mart., *Pr. longispinus* Sow., *Prod. punctatus* Mart. *Chonetes pseudorariolata* Nik., *Streptorhynchus crenistria* Phill., *Strept. senilis* Phill., *Enteleles Lamarcki* Fisch., *Meekella eximia* Vern., *Orthis Michelini* Lew. (*Orth. resupinata* Trd. non Mart.), *Spirifer mosquensis* Fisch., *Spirifer Strangwaysi* Vern., *Spir. incrassatus* Eichw., *Spir. lineatus* Mart., *Spir. fusciger* Keys., (*Spir. tegulatus* Trd.), *Spirigera ambigua* Sow.

Echinodermata: La première place, pour leur bel état de conservation, est occupée par les crinoïdes, qui se trouvent uniquement dans les couches intermédiaires de marne. Ma collection, réunie pendant nombre d'années que j'ai visité Miatchkovo, renferme de magnifiques spécimens de *Poteriocrinus multiplex* Trd., *Poteriocr. bijugus* Trd., *Hydriocrinus pusillus* Trd., *Cromyocrinus simplex* Trd., *Cromyocr. geminatus* Trd., *Cromyocr. ornatus* Trd., *Phialocrinus patens* Trd., *Stemmatocrinus cernuus* Trd., *Forbesiocrinus incurvus* Trd., *Platocrinus* sp.?

Parmi les autres échinides c'est l'*Archaeocidaris rossica* qui domine par l'abondance de débris, le plus souvent des plaques disjointes et des épines. Je possède toutefois quelques testes écrasés et l'appareil dentaire de cet oursin. Ma collection contient les exemplaires uniques de *Lepidestes luccis* et *Calliastes mirus*, décrits par Trautschold.

Les *Bryozoaires* de ma collection sont: *Fenestella veneris* Fisch., *Fenest. bifurcata* Fisch., *Fenest. angusta* Fisch., *Fenestella elegantissima* Eichw., *Fenest. virgosa* Eichw., *Polypora martis* Fisch., *Polyp. dendroides* McCoy., *Ascopora nodosa* Fisch., *Archaeopora inaequabilis* Trd., *Fistulipora labiata* Keys.

Les *coraux*: *Botlrophylum conicum* Fisch., *Petalaxis Portlocki* E. & H., *Petalaxis stylaris* Trd., *Phillipsastrea Humboldti* Fisch., *Phillips. Freieslebeni* Fisch., *Aulopora macrostoma* Fisch., *Chaetetes radians* Fisch.

Le calcaire à fusulines m'a fourni la faune suivante:

Cladodus montifer N. & W., *Psammodus angustus* Roman., *Psammodus angustus* B. *specularis* Trd., *Psephodus minus* Trd., *Tomodus argutus* Trd., *Poecilodus concha* Trd., *Ostinaspis Barboti* Roman. et quelques restes de poissons qui sont encore à déterminer, *Phillipsia* sp.? et d'abondantes *Ostracodes*. *Nautilus acanthicus* Tzvet., *Naut. dorsoarmatus* Abich., *Naut. mosquensis* Tzvet., *Naut. Rouilleri* Kon., *Naut. bilobatus* Sow., *Naut. chesterensis* M. & W., *Orthoceras laterale* Phill., *Orth. compressiusculum* Eichw.

Des *Gasteropodes*, *Conchiferes*, *Heteropodes* si mal conservés que le genre seulement peut être reconnu et encore, le plus souvent, d'une manière douteuse: *Dentalium*, *Euomphalus*, *Bellerophon*, *Pleurodomaria*, *Murchisoni*, *Chemnitzia*, *Loxonema*, *Aviculopecten*, *Conocardium (uralicum?)* *Cardiomorpha (sulcata* Vern.?) *Arca*.

Productus semireticulatus Mart., *Prod. punctatus* Mart., *Meebela eximia* Vern., *Enteletes Lamarki* Fisch., *Orthis Michelini* Sow., *Spirifer mosquensis* Fisch., *Spirifer Strangwaysi* Vern. *Archaeocidaris rossica* Buch., *Fenestella bifurcata* Fisch., *Polypora papillata* McCoy, *Coscilium sellaeforme* Trd., *Chaetetes radians* Fisch., *Chaet. Fischeri* Stuck., *Aulopora macrostoma* Fisch., *Siringopora parallela* Fisch., *Bothrophyllum conicum* Trd., *Azophyllum novum* Trd., *Rossophyllum novum* Stuck.

Fusulina cylindrica Fisch., *Bradyina nautiliformis* Möll., *Endothyra crassa* Br., *Fusulinella sphaeroidea* Ehrb., *Fusulinella Bradyi* Möll., *Cribrostomum patulum* Br., *Cribr. Bradyi* Möll., *Idrotaxis conica* Ehrenb.

Comme l'indique le nom du calcaire, les foraminifères y prédominent, surtout *Fusulina cylindrica* Fisch.; puis vient *Bradyina nautiliformis*, et, partiellement, *Cribrostomum patulum* Br. A la formation du calcaire ont également pris part *Archaeocidaris rossica*, *Bothrophyllum conicum* et différents débris spécifiquement indéterminables de coraux, de bryozoaires et de brachiopodes.

Notons encore *Nummulina antiquior* Rouill., forme très originale et intéressante, appartenant également au calcaire à fusulines, qui n'y a été observée que vers 1840. Depuis elle n'y a plus jamais été retrouvée.

Il résulte de ce que nous avons dit que le calcaire à fusulines ne diffère de l'assise superposée que par sa structure et par l'abondance de foraminifères. Le calcaire jaunâtre compact et le calcaire blanc tendre qui viennent en dessous sont très pauvres en débris paléontologiques et n'offrent point de formes spéciales. Ici aussi prédominent *Spirifer mosquensis*, *Productus semireticulatus*, *Enteletes Lamarki*, *Bothrophyllum conicum*, *Archaeocidaris rossica* et des membres du tige de crinoides; bref, les formes caractéristiques de l'étage moscovien du calcaire carbonifère de la Russie centrale se trouvent à Miatchkovo sans intervalle du bas en haut de la coupe.

Sur la rive droite, plus basse, des carrières sont ouvertes entre les villages Tchintzowo et Nijné-Miatchkovo. Il se comprend de soi-

même que nous devons y voir des dépôts en tout parallèles à ceux de la rive gauche que nous venons de décrire. En effet, au sommet, nous y retrouvons l'argile à blocs, en dessous le sable à blocs inférieur, plus bas des restes plus ou moins intacts du jurassique, à la base le calcaire. Cependant il ne m'est jamais arrivé d'observer dans les carrières de bonnes coupes d'ensemble. Le jurassique y est presque totalement enlevé, ce qui était à prévoir, vu la position relativement basse de l'endroit et l'accumulation d'argile morainique.

De vastes carrières actuellement en exploitation s'étendent en fait des carrières en aval de Miatchkovo à partir du confluent de la Pakha jusqu'au village Tiajino et plus loin, sous celui-ci, sur plus d'un kilomètre.

À deux verstes environ en aval du village Tiajina on voit dans la vallée, large en ce point, une colline arrondie, connue sous le nom de „Borovskoi kourgan“ et décrite dans le temps par Rouiller. Il est hors de doute que la base de ce monticule est constituée par le calcaire carbonifère, bien que la surface supérieure de celui-ci occupe là un niveau plus bas qu'ailleurs. Les couches de ce calcaire parfaitement horizontales à Miatchkovo et Tiajina ne laissant point présumer de plongement vers le nord-est, la cause de cet abaissement de niveau est à chercher dans l'érosion plus ou moins intensive de la surface de calcaire à une époque antérieure à la déposition des assises jurassiques superposées. Ces dernières, des argiles noires, sont visibles çà et là dans le ravin au pied du kourgan. La plus grande partie de la colline consiste en sables jaunes stratifiés, passant à des grès ferrugineux (Cr_6). Ce kourgan est le seul témoin de la dénudation des formations du volgien supérieur, conservées sur toute l'étendue entre Miatchkovo et Kotelniki. Les sables volgiens ont été érodés et emportés comme nous l'avons vu partout près de Miatchkovo, et le Borovskoi-kourgan lui-même est entouré de part et d'autre des assises de l'argile à blocs couchées à un niveau relativement plus bas que la colline. Très probablement le kourgan n'a pu se conserver que grâce à une plus grande

l'étage moscovien, mais qui n'offrent rien d'autre que ce qu'on a vu à Iatchkovo. L'excursion y passe la nuit.

Gouvernement de Riazan.

Conformément au programme, l'excursion traversera la plus grande partie du gouvernement pendant la nuit. Géologiquement le gouvernement est assez bien étudié, bien qu'il n'en existe point de description générale. Les mémoires les plus complets et les plus récents sont :

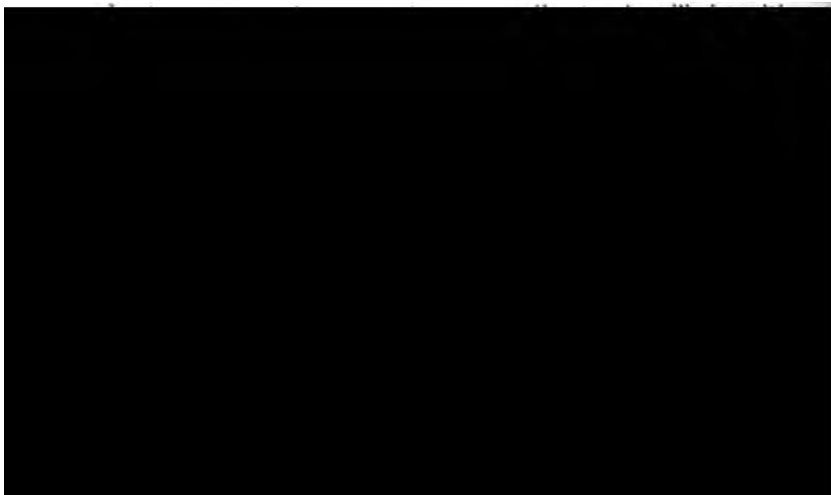
- les dépôts carbonifères: A. Struve. Die Schichtenfolge in den Carbon-Ablagerungen im südlichen Theil des Moskauer Kohlenbeckens. Mém. de l'Acad. des Sc. de St. Pétersbourg, 1886, t. 34, № 6, avec une carte.
- le jurassique: Lahusen. Die Fauna der jurassischen Bildungen des Rjasanschen Gouv. Mém. du Comité géol. Vol. I, № 1, 1883.
- les dépôts volgiens: S. Nikitin. Vestiges de la période crétacée dans la Russie centrale. 1888, Mém. du Com. Géol., Vol. V, № 2, avec une carte.—N. Bogoslovsky. Der Rjazan-Horizont und seine Fauna. Materialien zur Geologie Russlands, 1896, Bd. XVIII.

Les dépôts jurassiques présentent ici un développement complet callovien et de l'oxfordien inférieur, avec le même type de faune dans l'Europe centrale. Les dépôts volgiens sont intéressants par développement des deux niveaux les plus supérieurs, la zone à *Hors-rjasanensis* et la zone à *Olcosteph. hoplitoides*. Par la faune monites dans le premier de ces niveaux et par leur position stratigraphique (définie grâce aux travaux de Bogoslovsky) ces deux horizons portent le caractère du néocomien inférieur, tout en étant intimement liés à la série des dépôts volgiens par les autres fossiles qu'ils contiennent. Il est intéressant aussi de remarquer que les horizons plus élevés du volgien et les parties supérieures des dépôts jurassiques disparaissent peu à peu du nord au sud, de manière que dans la partie centrale du gouvernement, le long de la rivière Pronia, l'horizon *Oplites rjasanensis* repose immédiatement sur l'oxfordien, et encore plus loin, vers le sud de la ville de Skopine, sur le callovien. Dans les calcaires carbonifères on observe également et dans la même direction la sortie successive à la surface d'abord des horizons les plus élevés de l'étage moscovien, puis des divers horizons des calcaires et la section inférieure à *Productus giganteus* (au sud de la rivière Pronia), enfin de l'étage houillifère inférieur (aux environs de Riajsk et Skopine). Le type de toutes ces formations carbonifères et le placement successif des zones sont à peu près les mêmes que ceux qui seront montrés aux géologues participant après le Congrès aux excursions dans le gouv. de Toula. Les dépôts quaternaires offrent également dans la partie nord du gouvernement le même caractère que

près de Moscou, mais dans les parties sud et sud-est, à partir de riv. Pronia, ils changent peu à peu, quoique les dépôts à blocs (argiles morainiques et sables) s'y retrouvent aussi: les blocs provenant des roches cristallines et quartziteuses de la Finlande de la région d'Olonetz se rencontrent parfois en accumulations considérables plus loin vers l'est, presque jusqu'à la ville de Penza, mais les dépôts qui les contiennent atteignent rarement un développement puissant. Le sous-sol est habituellement constitué par les formations de la seconde moitié du pléistocène et les dépôts plus récents des argiles loessiformes marneuses, par places du loess typique, plus souvent par des argiles brunes grossières, sableuses faiblement stratifiées, dites „argiles des terrasses“ parce que plus loin, vers l'est de la Russie, elles forment les terrasses supérieures plus anciennes, des vallées fluviales. Ces formations de puissance irrégulière, plus épaisses sur les pentes des vallées et des ravins, disparaissant sur les terrains qui font le partage des eaux, doivent être considérées comme dépôts de ruissellement et d'alluvions pluviales combinés avec les dépôts éoliens. La prédominance tantôt des phénomènes éoliens tantôt des phénomènes d'alluvion, a donné à ces dépôts une grande variété de composition et de structure, depuis le loess fin, pulvérulent, typique, jusqu'aux „argiles des terrasses grossièrement stratifiées.

Les dépôts quaternaires gardent ce caractère vers l'est jusqu'à la Volga, à la différence que dans les gouvernements de Riazan, Tambov et dans la partie occidentale du gouv. de Penza, presque jusqu'à la ville de Penza, on observe toujours à la base des restes plus ou moins distincts de l'argile morainique et des sables à blocs. Vers l'est de Penza les dépôts loessiformes et les formations argileuses sableuses „des terrasses“ reposent directement sur les roches du paléogène, du crétacé et d'âge plus ancien.

Tous ces dépôts, argiles morainiques, argiles loessiformes et argil



, alors que le contraire n'a pas été prouvé jusqu'à présent.

tout le parcours entre la riv. Pronia dans le gouv. de Riazan
lga ces deux types de sols alternent constamment. La zone tra-
par le chemin de fer, appelée région des forêts et des steppes,
ait jadis des bandes de terrain couvertes d'herbes de steppe, à
forêts à feuilles caduques. Il y a des raisons de croire que dans
pour l'existence les forêts y prenaient naturellement peu à peu
s sur les steppes. Cependant, au commencement de ce siècle, encore
noire des vieillards, la plupart des steppes ont été remplacées par
mps cultivés. On commençait même à abattre et détruire les forêts,
me nouvelle loi a dernièrement mis fin à la destruction des
la Russie du centre et du sud; aujourd'hui les forêts peuvent
upées, mais il est défendu de convertir les espaces déboisés en
s d'autre nature.

sol des vallées fluviales est de provenance alluviale ou
geuse, celui des dunes et de leurs alentours est sablonneux, gé-
nent couvert de forêts de pins.—Quant aux dépôts originaires
s, entre Riazan et Riajsk, où le train arrivera le matin, ils
nt rien de remarquable. La contrée est plate ou faiblement on-
labourée ou boisée. Une plaine à tchernozem, avec bocages de
, de trembles, de bouleaux et de tilleuls, et parsemée de hameaux
s'étend au-delà de Riajsk. De là le train s'engage sur la grande
errée qui va vers l'est, à Samara, à l'Oural et plus loin dans
eur de la Sibérie. A la limite orientale du gouvernement de
l, la ligne du chemin de fer traverse quelques petites rivières
t dans de larges vallées à bords bas.

Commencement de Tambour et de Rameau

et oligocène). Ces dépôts présentent deux séries de roches: en haut des sables et des grès quartzeux avec couches intermédiaires d'argile en bas principalement des argiles siliceuses, des schistes, des grès argileux et des marnes. Toutes ces roches sont recouvertes par les argiles des terrasses ci-dessus indiquées. Le peu d'adhésion des dépôts de la série supérieure et la pente rapide des rivières ont donné libre champ au travail de l'érosion. Le paysage compliqué par des montagnes d'érosion est d'un aspect pittoresque. La stratification est presque horizontale.

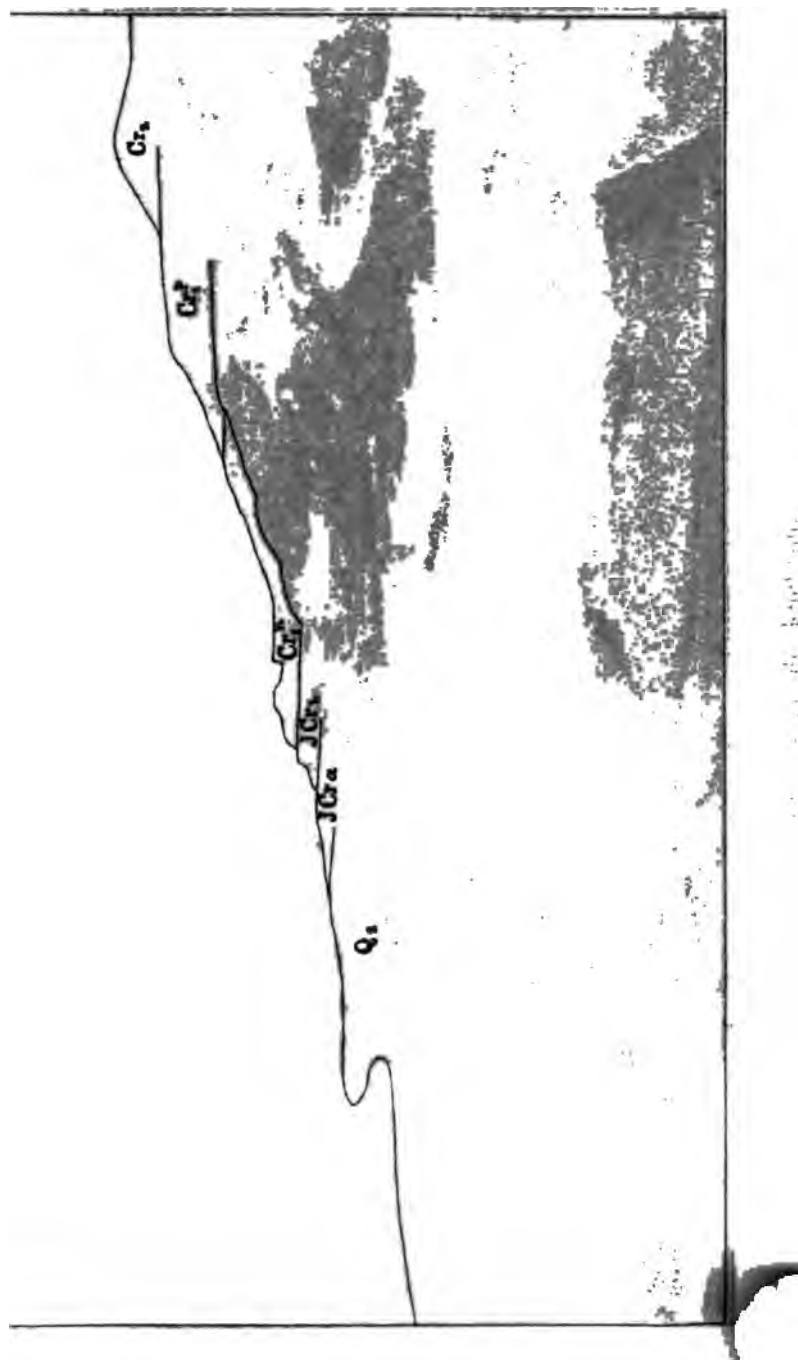
Après la station Kanadeï la voie ferrée traverse la riv. Syzran et monte une petite élévation. Du côté droit blanchissent au loin les montagnes crétacées de Syzran. La voie descend dans la large vallée de Syzran et le paysage devient monotone. Presque jusqu'à la station Riepievka le train court sur les sables tertiaires, parallèlement à la ligne de la faille à droite. Encore au-delà de cette station la vallée prend l'aspect d'une baie. Il y a toutes les raisons de croire qu'à l'époque de la plus grande extension de la Mer Caspienne celle-ci a pénétré jusque-là. La mer y a laissé des traces sous forme de dunes.

Le long de la rivière Syzran et de ses petits affluents, ainsi que dans les ravins vers l'aval, on peut voir à droite, c'est-à-d. au sud de la faille, l'apparition successive des roches de plus en plus anciennes. Avant le village Kanadeï ce sont les roches du crétacé supérieur qui apparaissent, puis celles du crétacé inférieur, plus loin les dépôts volgiens, près de Riepievka celles du callovien et enfin, tout près de la ville de Syzran, le carbonifère supérieur. La ligne du chemin s'élève sur les hauteurs dominant la ville qui sont constituées par les dépôts jurassiques et volgiens.

Syzran-Kachpour.

La ville de Syzran est située partie sur la rive primitive assez élevée, constituée comme nous venons de le dire, partie sur une ancienne terrasse qui doit son existence tant à trois petites rivières tombant par une seule embouchure dans la Volga qu'à l'ancien golfe caspien. Le premier affleurement du calcaire carbonifère se voit sur la rive droite de la riv. Syzran près du moulin à eau, à côté du monastère. Le même calcaire (C_3) constitue le sommet des Jégouli et la montagne Tzarev-Kourgan (voir plus bas). A Syzran ce calcaire est pauvre en fossiles. On n'y trouve que de rares coraux et, à 8 m. au-dessus du niveau de l'eau, des fusulines typiques qui donnent à la roche un aspect poreux. Quatre mètres plus bas on aperçoit une couche typique de calcaire pénétré d'asphalte.

En suivant le chemin qui mène du village Obrastzowo à Kachpour on voit le long du bord escarpé de la vallée de la Volga une série d'éboulements jurassiques (callovien, oxfordien, kimméridgien), des dépôts du volgien inférieur et du supérieur. Par places les éboulis sont



et oligocène). Ces dépôts présentent deux séries de roches : des sables et des grès quartzeux avec couches intermédiaires d'en bas principalement des argiles siliceuses, des schistes, des gileux et des marnes. Toutes ces roches sont recouvertes par les terrasses ci-dessus indiquées. Le peu d'adhésion des dépôts de la série supérieure et la pente rapide des rivières ont donné champ au travail de l'érosion. Le paysage compliqué par des modes d'érosion est d'un aspect pittoresque. La stratification est presque horizontale.

Après la station Kanadei la voie ferrée traverse la riv. Syzran monte une petite élévation. Du côté droit blanchissent au loin les tagnes crétacées de Syzran. La voie descend dans la large vallée de Syzran et le paysage devient monotone. Presque jusqu'à la station pievka le train court sur les sables tertiaires parallèlement à l'axe de la faille à droite. Encore au-delà de cette station la vallée a l'aspect d'une baie. Il y a toutes les raisons de croire qu'il s'agit de la plus grande extension de la Mer Caspienne celle-ci a existé jusque-là. La mer y a laissé des traces sous forme de dunes.

Le long de la rivière Syzran et de ses petits affluents, au fond des ravins vers l'avant, on peut voir à droite, c'est-à-d. au sud de la faille, l'apparition successive des roches de plus en plus anciennes. Avant le village Kanadei ce sont les roches du crétacé supérieur, puis celles du crétacé inférieur, plus loin les dépôts jurassiques, près de Nepievka celles du carbonifère et enfin, tout près de la ville de Syzran, le carbonifère supérieur. La ligne du chemin de fer sur les hauteurs dominant la ville est constituée par les jurassiques et volgiens.

Syzran-Kachpour.



La colline de Kachpour.



ont été masqués par des maisons, des jardins et des vergers. La coupe la plus détaillée, donnée en 1883 par Mr. Pavlov (Mém. n. St. Pétbg. XIX, p. 116 etc.), a été complétée par nous (du crétacé etc. p. 108). Dans les travaux postérieurs sur la Kachpour revient plusieurs fois aux couches et zones de la coupe (différents dans chaque article) du jurassique supérieur néocomien de l'Europe occidentale: jusqu'au dernier temps l'auteur prétendait toujours un grand hiatus dans ces couches à la base de la zone à *Ole. versicolor*, c'est-à-dire entre le jurassique et le crétacé de l'est de la Russie. L'auteur de cette coupe contraire soutenait que la coupe de Kachpour présentait la continuité des dépôts volgiens qui dans la Russie centrale lient la zone lacune le jurassique au crétacé, remplaçant les horizons supérieurs du premier et les plus inférieurs du dernier. Dans son dernier article Mr. Pavlov ne voit plus de hiatus à Kachpour et dans la partie considérable des dépôts volgiens supérieurs au néocomien abaisse la limite du jurassique et revient ainsi au point de l'auteur¹).

La figure ci-dessous donne l'aspect général de la montagne de Kachpour vue du débouché de la vallée de la Kachpourka.

En haut, à gauche de l'église, nous voyons la seule colline menant à l'érosion. Elle est formée de marnes blanches et grisâtres (Cr₂) et contient des restes d'*Inoceramus*. Vers le bas la colline forme une saillie couverte d'herbe et d'arbres. On y voit les indices indistincts des horizons plus inférieurs du crétacé²). Au milieu de la saillie on trouve entre autres des concrétions de l'aptien (Cr₁') à la base de *Deshayesi* d'Orb. La saillie suivante est occupée par des

Coupe générale de Kachpour.

	Quaternaire Q_1^l ou Crétacé supérieur Cr_2 .		Argile arénacée des terrasses.	Marnes blanches crétacées	Debris d'Ir
	Quaternaire Q_1^k (dépôts caspiens) ou Aptien Cr_1^p .		Sables argi- leux, con- glomérat et ga- lets.	Argiles foncées ferrugineuses en partie arénacées.	<i>Hoplites</i> 1
	Néocomien supé- rieur et moyen. Cr_1^n		Argile noire à concrétions cal- careuses et ferrugineuses. Argile noire à concrétions cal- careuses et phosphateuses. Argile noire, en partie arénacée, à concrétions pyriteuses.		<i>Venulites mord</i> <i>crassites</i> <i>Ammonites</i> du <i>Decheni</i> ; <i>Inoc.</i> etc <i>Olcost. versicolo-</i> <i>recta</i> , <i>Belemniti-</i> <i>derianu</i>
Volgien supérieur.	JCr_b	p	Sable et grès friables gris ver- dâtre; conglomérats de fossi- les et concrétions phosphati- ques.		<i>Belemn. laterali-</i> <i>quadratus</i> ; <i>A</i> groupes <i>Olcost.</i> 1 <i>hoplitoides</i> , <i>Olc-</i> <i>gi</i> ; <i>Aucella volg-</i> <i>mis</i> , <i>Keyser</i>
		r	Sable et grès grisâtres argileux à concrétions de fossiles, passant en bas aux schistes bruns bitu- mineux.		<i>Belemn. lateral</i> <i>Aucella volgen</i> <i>Ammonites</i> des <i>subditus</i> et <i>Hop-</i> <i>ists</i>
		n	Grès gris calcaireux; marnes, conglomérats.		<i>Olcost. nodiger</i> , <i>Oxynticeras</i> si <i>Belemn. lateral</i> <i>Aucella volg</i>

ce n'est pas le callovien moyen comme à Moscou, mais le callovien inférieur à *Macrocephalites macrocephalum*, *Cadoceras Elati*. Les sondages ont montré que les argiles du callovien inférieur aréées des calcaires carbonifères par des couches de sable d'âge

1.

dislocation qui a causé la faille des Jégouli dans la direction ENE, a fait prendre à toutes les couches aux environs de la

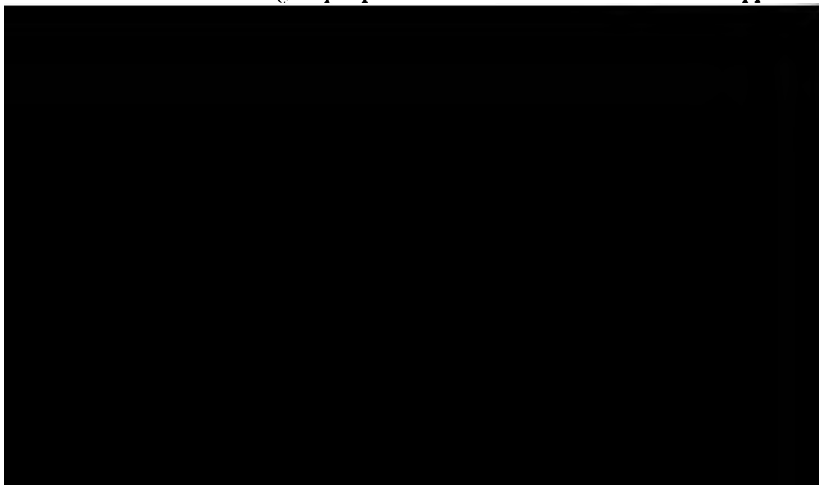
Syzran et du village Kachpour un plongement considérable SSE. En suivant la rive de la Volga à partir de Syzran jusqu'à et plus loin vers l'aval du fleuve, on voit successivement plonger le niveau de l'eau des formations de plus en plus supérieures. Quelques kilomètres vers le sud de Kachpour tous les dépôts vont longent définitivement sous l'eau et on ne voit plus dans les que les divers étages du crétacé inférieur et du supérieur, recouverts couches du paléogène.

L'examen des hauteurs situées près de Kachpour et aux alentours il résulte que les dépôts du crétacé supérieur et même de ont été en plus grande partie détruits et emportés par l'érosion. ment ils sont remplacés par les dépôts quaternaires. Parmi ces on observe adossées les argiles arénacées des terrasses une formation plus ancienne composée de sables argileux, conglomérats et galets des différentes roches du crétacé. Cette formation est disposée sur les hauteurs de la rive droite de la Volga et des environs de ce bord élevé, de même que dans la vallée du cours de la riv. Syzran, son origine ne peut être interprétée par une fluviatile. Aussi sont-ce des dépôts littoraux de l'ancien caspien. Près Kachpour la formation de ces anciens sédiments se laisse très bien observer au sommet tournée vers la Volga et du ravin au sud du moulin à vent derrière le village et du

Batraki.

Aussitôt que le train a dépassé Syzran, il descend des hauteurs qui bordent cette ville. Sur 20 kilom. à peu près il longe la rive droite de la Volga sur une terrasse formée par les éboulements des dépôts permians et jurassiques qui reposent ici sur le calcaire carbonifère. Pendant assez longtemps le train passe le long du village Batraki, connu par l'abondance en fossiles bien conservés du callovien et de l'oxfordien, et par un sondage de 446 m. de profondeur qui n'a cependant traversé que le calcaire carbonifère. Pour pouvoir prendre connaissance des horizons supérieurs de ce calcaire, le train s'arrêtera près du grand pont de la Volga, une des constructions monumentales de ce genre en Russie. Ce pont à 1485 m. de longueur. Le calcaire de Samarskaïa Louba a servi de matériel de maçonnerie. Les dépôts carbonifères se composent là de calcaires compacts plus ou moins dolomitiques, pénétrés d'asphalte comme à Syzran, et contenant des Fusulines. Au haut passent en dolomies jaunes friables. La dolomie paraît être directement recouverte par les argiles jurassiques, alors que plus à l'aval, près de Batraki, les argiles jurassiques sont séparées du calcaire carbonifère par des sables d'âge indéterminé, probablement aussi callovien. En amont au contraire les calcaires à Fusulines plongent sous l'eau, séparés du jurassique d'abord par les calcaires à gros *Schwagerina* qui constituent les sommets des Jégouli, ensuite par les calcaires du système permien dont on peut voir les affleurements sur la rive droite de la Volga jusqu'au vaste élargissement de la vallée en forme de lac en face de la ville de Samara. Nous prendrons connaissance de la structure de ces dépôts permians aux belles coupes au-delà de Samara, où ils forment les montagnes de Sok.

Après avoir traversé le pont, le chemin de fer entre dans la large vallée de la Volga qui passe insensiblement aux basses steppes tra-



ins. Les sédiments caspiens au contraire sont d'une épaisseur importante et ne se rencontrent qu'en flots, de sorte que sur les hauteurs couvertes de forêts de chênes, soit passant à la steppe (aujourd'hui entièrement labourée), on peut immédiatement sous le tchervoir les dépôts permien.

Aux environs de Samara les couches supérieures des dépôts sont formées de calcaires compacts avec intercalations et amas de silex. Les couches inférieures des calcaires, partiellement lutitiques, sont par places abondantes en fossiles permien, le plus souvent de petits *lamellibranches*, *gastéropodes* et *brachiopodes* tels que *Coranus* (*Cl. Pallasi* Vern. et autres), *Modiola* sp., *Schizodus* sp. Vern., *Avicula speluncaria* Schl., *Gervillia ceratophaga* Schl., *Leda speluncaria* Gein., *Turbo Burtasorum* Golow., *Margarita subangulata* Vern., *Tourbonilla volgensis* Golow., *Productus* *crinitus* Vern., *Dielasma elongata* Schl. etc.

Aux bas vient une assise puissante d'un calcaire bréchiforme très original, formé de fragments de calcaire, liés par un ciment calcareux. Cette formation, dépourvue de fossiles, affleure pour la première fois à 4 kilom. vers l'amont de Samara. S'élevant de plus en plus, elle atteint 25 mètres d'épaisseur dans les falaises de la rivière. Enfin la plus grande partie supérieure des montagnes de Sok. Quelques kilomètres avant d'arriver au confluent du Sok, le calcaire bréchiforme vient se montrer de dessous le calcaire bréchiforme. De même que dans les montagnes Jégouli, l'horizon supérieur présente le même aspect à *Schwagerina*, preuve que les montagnes de Sok, plongeant vers le SE. sont le prolongement des Jégouli. Comparant l'élévation et l'âge des horizons correspondants du calcaire carbonifère dans les montagnes de Jégouli et dans celles de Sok, nous nous convain-



des montagnes de Sok-Vallée de la Volga.

à étudier en détail la constitution. Il est à remarquer que la stratification de la colline, faiblement mais distinctement inclinée vers l'W, semble porter la trace de l'aile nord de l'anticlinale de la colline de Jégouli. Les calcaires bréchiformes et le calcaire à *Schwagerina* y manquent.

La colline du Tzar présente, du haut en bas, la succession de dépôts suivante:

- e) Calcaire à *Fusulina longissima* Moell. et autres grosses Fusulines, *Spiriferina Saranae* Vern., *Productus Villiersi* d'Orb. etc.
- d) Calcaire à *Bellerophon*, de grands *Spirifer* pas encore déterminés, *Nautilus* sp., *Orthoceras* sp.
- c) Dolomie à *Productus Cora* d'Orb.
- b) Calcaire à *Productus scabriculus* Mart., *Camaroph. crumena* Mart., *Meekella eximia* Eichw. etc.
- a) Calcaire à coraux et bryozoaires.

La comparaison de cette faune avec celle de la section supérieure (C_2) du calcaire carbonifère au versant occidental de l'Oural russe, étudiée par Mr. Tschernyshev, et avec la faune de l'étage schélien près de Moscou, montre leur complète analogie, même pour la succession des horizons. Ainsi le Tzarev-Kourgan est-il constitué par les mêmes calcaires de la section supérieure du carbonifère qui forment la majeure partie des Jégouli, à la seule différence qu'à la base des Jégouli commence à paraître une faune identique avec celle des horizons les plus supérieurs de la section moyenne ou de l'étage moscovien. Un puits artésien au pied du Tzarev-Kourgan a traversé 212 mètres de ces calcaires.

Après la colline du Tzar, les hauteurs constituées par les calcaires carbonifères passent à la rive droite de la Volga, après avoir produit un rétrécissement de la vallée, connu sous le nom de „Portes de Samara". Cette chaîne de calcaires suit le fleuve sur le parcours d'environ 30 kilom., ayant en face, pour bordure gauche de la vallée, les dépôts argilo-arenacés d'un vaste bassin quaternaire lacustre, le bassin de Bolgary, qui s'y étalait à l'époque de la plus grande extension de la mer Caspienne. Sur la pente de la vallée les sédiments de ce bassin sont recouverts par les dépôts des terrasses et par des sables amoncelés souvent en dunes plus ou moins boisées.

Les Jégouli s'étendent sur la rive droite en escarpements plus ou moins couverts de forêts (pin, chêne, tilleul), sauf quelques rares points laissés à nu par la nature ainsi que quelques carrières de pierres de construction et de chaux. De profondes et rameuses vallées d'érosion donnent à ces escarpements un aspect très pittoresque. Les berges des vallées laissent voir les mêmes horizons du calcaire carbonifère que nous avons vus à la colline du Tzar, couronnées par les calcaires à *Schwagerina*. Au débouché des vallées latérales on voit çà et là des couches de conglomérats argileux et de cailloux, adossées contre le calcaire à 140 m. de hauteur absolue. Ces dépôts doivent être considé-

rés comme sédiments littoraux du bassin de Bolgary. En pénétrant par une vallée latérale des Jégouli, dans l'intérieur de la contrée on voit les calcaires carbonifères s'abaisser peu à peu vers le sud et se recouvrir, comme aux montagnes de Sok, de calcaires permien que surmonte une assise de sables et de grès friables d'un âge encore peu déterminé. Par places cette assise arénacée est pénétrée d'un goudron minéral assez liquide, qu'on extrait là en rechauffant les fragments de la roche.

De Samara à Oufa.

Jusqu'à ce dernier temps on a relativement eu peu de données littéraires sur cette vaste région le long de la ligne magistrale du chemin de fer d'Oural et de Sibérie. Les anciens travaux de Wangenheim von Qualen ¹⁾ et de Murchison ²⁾ étaient presque les seuls ouvrages dont on disposât et encore l'exposé des rapports mutuels et de la succession des roches était-il peu clair et plein de contradictions. Ce ne furent que les explorations détaillées du Comité Géologique, qui établirent d'une manière définitive la coupe générale et l'ordre de succession des dépôts. Les résultats de ces recherches n'ont pas encore été publiés en entier; jusqu'à présent n'ont paru que des comptes-rendus préliminaires ³⁾ et ⁴⁾.

La carte géologique de la Russie d'Europe au $1/2520000$, publiée par le Comité Géologique, et les feuilles 110, 129, 128 de la carte topographique spéciale de Russie, au $1/420000$, publiée par la Section de topographie de l'Etat-major général, peuvent servir pour s'orienter sur ce parcours.

Entre Samara et Oufa le train parcourt la steppe transvolgienne et tchernoziem typique, d'un aspect montueux dans la région des vallées d'érosion, et les larges plateaux élevés du partage des eaux. Les montagnes d'érosion sont surtout pittoresques au district de Bélébéï et aux bords de la vallée de la Dioma. Nulle part dans la Russie centrale n

II

aire.	Q_2	Tchernozem, éluvions etc.	Alluvions des ravins et des pentes, alluvions fluviales.	
	Q_1	Argile arénacée des terrasses.		
		Dépôts argileux caspiens <i>k</i> .		<i>k</i> . Une faune saumâtre et d'eau douce à <i>Cardium</i> , <i>Hydrobia</i> , <i>Dreissena</i> , <i>Paludina</i> etc.
Lacunes.				
PT	<i>b</i>	Groupe rouge des grès, des sables argileux aux intercalations des argiles et des marnes de même couleur, rarement verdâtres et bleu claire.	Les deux groupes contiennent par places une faune de conchifères (d'eaux probablement saumâtres) décrites sous les noms génériques de <i>Unio</i> , <i>Anthraxia</i> , <i>Najadites</i> , <i>Palaeomutela</i> ¹⁾ .	
	<i>a</i>	Groupe rose des marnes et des argiles irisées (roses, bleues et verdâtres) aux intercalations des grès et des sables des mêmes teintes.		
	<i>f</i>	Groupe brun des grès, marnes et calcaires.	Quelques lamellibranches, <i>Alo-risma elegans</i> King. etc.	
	<i>c</i>	Groupe gris des calcaires schisteux et des marnes intercalées de grès friables.	Une riche faune de conchifères et de gasteropodes: <i>Macrodon Kingianum</i> , <i>Osteodesma Kutorgana</i> , <i>Modiolopsis Pallasi</i> , <i>Murchisonia subangulata</i> , <i>Leda speluncaria</i> , <i>Turbonilla altenburgensis</i> etc., en outre les ostracodes: <i>Bairdia</i> , <i>Estheria</i> , <i>Lingula orientalis</i> . Les écailles de poissons. <i>Palaeoniscus</i> , <i>Acrolepis</i> .	
	<i>d</i>	Groupe des grès et des calcai-	Une faune riche en brachiopo-	



II

maire.	Q_2	Tchernozem, éluvions etc. / Alluvions des ravins et des pentes, alluvions fluviales.	
	Q_1	Argile arénacée des terrasses. Dépôts argileux caspiens <i>k</i> .	<i>k</i> . Une faune saumâtre et d'eau douce à <i>Cardium</i> , <i>Hydrobia</i> , <i>Dreissena</i> , <i>Paludina</i> etc.
Lacunes.			
PT	b	Groupe rouge des grès, des sables argileux aux intercalations des argiles et des marnes de même couleur, rarement verdâtres et bleu claire.	Les deux groupes contiennent par places une faune de conchifères (d'eaux probablement saumâtres) décrites sous les noms génériques de <i>Unio</i> , <i>Anthraxasia</i> , <i>Najadites</i> , <i>Palaeomutela</i> ¹⁾ .
	a	Groupe rose des marnes et des argiles irisées (roses, bleues et verdâtres) aux intercalations des grès et des sables des mêmes teintes.	
	f	Groupe brun des grès, marnes et calcaires.	Quelques <i>lamellibranches</i> , <i>Alo- risma elegans</i> King. etc.
	e	Groupe gris des calcaires schisteux et des marnes intercalées de grès friables.	Une riche faune de conchifères et de gasteropodes: <i>Macrodon Kingianum</i> , <i>Osteodesma Kutorgana</i> , <i>Modiolopsis Pallasi</i> , <i>Murchisonia subangulata</i> , <i>Leda speluncaria</i> , <i>Turbonilla altenburgensis</i> etc., en outre les ostracodes: <i>Bairdia</i> , <i>Estheria</i> , <i>Lingula orientalis</i> . Les écailles de poissons. <i>Palaeoniscus</i> , <i>Acrolepis</i> .
	d	Groupe des grès et des calcai-	Une faune riche en brachiopo-

droite de la Dioma, telles que Sater-taou, Toktar-taou, Yarych-taou et d'autres, constituées par les seuls dépôts permien, nous frappent par la netteté bien tranchée de leurs formes d'érosion et le franc aspect des deux groupes, le gris en haut, le rouge en bas.

Le groupe gris se montre pour la dernière fois au sommet nu de Yarych-taou, la dernière de ces montagnes. Ensuite, suivant toujours le bord gauche de la vallée de la Dioma, la voie ferrée entre dans une région d'un aspect tout différent, tant orographique que géologique: le pays devient plat, onduleux et les pentes des collines arrondies sont très faiblement inclinées. On ne voit plus de coupes géologiques nettes. En de rares points seulement on aperçoit jusqu'à Oufa, dans les vallées transversales, des affleurements discontinus des groupes permien inférieurs ($c + b + a$) qui composent la coupe géologique générale de la ville d'Oufa. L'apparition du groupe rouge vers le haut des coupes, les marnes irisées étant en dessous; a fait rapporter par plusieurs géologues les environs d'Oufa à la région du développement de l'étage supérieur des marnes irisées (étage tartarien), erreur que les coupes des rivières Ik et Dioma ont définitivement éclaircie en permettant de constater l'exhaussement et l'affleurement successif, vers le nord-est, de dépôts plus en plus anciens.

III

A PARTIR

DE LA VILLE D'OUFA

jusqu'au

versant oriental de l'Oural

PAR
TH. TSCHERNYSCHEW.

La première partie du trajet à l'est, depuis Oufa jusqu'à la station Acha, ressemble en beaucoup, tant géologiquement qu'orographiquement, à la région située à l'ouest de la riv. Biélaïa. Au delà d'Acha la voie ferrée s'engage dans la région de l'Oural et des dépôts paléozoïques franchement disloqués qui la constituent. Nous aurons en conséquence à esquisser séparément chacune des parties de l'itinéraire général.

La ville d'Oufa et le trajet jusqu'au pied de l'Oural.

La région traversée par la ligne du chemin de fer comprend la 128-me feuille de la Carte géologique générale de la Russie d'Europe, définitivement dressée mais non encore imprimée, et la 128-me feuille de la carte spéciale au 1/420000, publiée par la Section topographique de l'Etat-Major. Jusqu'ici il n'a pas encore paru de description complète de la géologie du pays. Les seules données littéraires sont les suivantes:

Th. Tschernyschew. Recherches géologiques faites au gouvernement d'Oufa en été 1885 (russe), Bull. du Comité Géologique, Vol. V, pp. 13—38.

Th. Tschernyschew. Compte-rendu préliminaire d'une excursion dans les gouv. d'Oufa et de Viatka (russe), Bull. du Comité géologique, Vol. VI, pp. 7—24.

A. Lawrsky. Geologische Untersuchungen am Fl. Belaja im Gouv. Ufa (russe), Travaux de la Société des Naturalistes Kazan. Vol. XVIII, livr. 4.

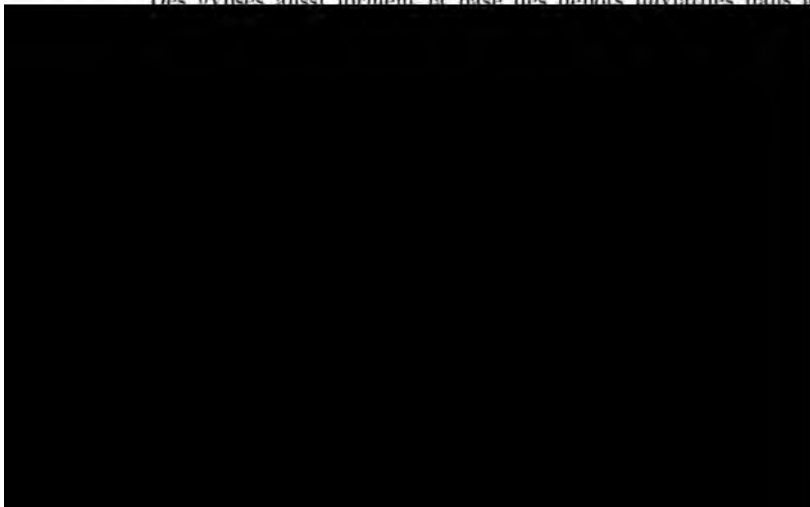
L'orographie relativement simple de la contrée, constituée par dépôts permians et permo-carbonifères généralement horizontaux, trouve son explication dans l'érosion. La région est traversée dans le sens du méridien par trois rivières importantes—la Biélaïa, l'Oufa, le Sinouïa—dont les larges vallées alluviales sont séparées par deux plateaux s'étendant dans la même direction.

A l'extrémité méridionale du premier de ces plateaux, baigné à l'ouest par la Biélaïa, à l'est par l'Oufa, est située la ville d'Oufa. Aux abords de la ville le plateau s'abaisse rapidement, en plusieurs points par des parois verticales, vers les vallées alluviales des rivières qui l'entourent.

Pour connaître la structure du plateau, il suffit de jeter un coup d'oeil sur une des coupes très nettes et très complètes près du pont du chemin de fer, non loin du cimetière tartare d'Oufa. On y voit haut en bas:

a) Calcaire gris	1,5 mt.
b) Grès brun rougeâtre et gris pénétré de gypse	2,0 „
c) Calcaire argileux intercalé de gypses.	6,5 „
d) Marnes arénacées d'un brun rougeâtre ou grises; grès gris pénétrés de gypse	6,0 „
e) Calcaire argileux, par places pénétré de gypse, intercalé de lits de gypse.	1,5 „
f) Gypse avec lits intercalés de calcaire, jusqu'au bas de l'escarpement.	70,0 „

Des gypses aussi forment la base des dépôts fluviaux dans le



zechstein inférieur de la Russie du nord et du centre, disposé sous l'assise inférieure permienne rouge.

La gare d'Oufa est située dans la vallée alluviale de la Biélaïa devant la montée au plateau dont nous avons parlé. La dissolution facile des gypses et des roches gypsifères est cause d'un affaissement continu de la voie, de fréquents éboulements et d'effondrements en forme d'entonnoirs qui exigent de l'administration de grandes dépenses et beaucoup de soins pour garantir la stabilité de la voie.

Après avoir gravi la pente, la ligne tourne brusquement à l'est pour se diriger vers la rivière Oufa qu'elle traverse près de la station Ourakowa. De là, jusqu'à la station Iglino, la voie traverse la terrasse supérieure des anciens dépôts fluviaux, composés en leur plus grande partie d'une argile d'un jaune brun, plus ou moins sableuse et calcari-fère, et de conglomérats. On trouvera les détails sur le caractère et le mode de formation de ces dépôts dans l'esquisse du terrain à l'est de la station Acha.

A partir de la station Iglino la ligne s'élève insensiblement sur la hauteur qui fait le partage des eaux de l'Oufa et du Sim. Le zechstein inférieur dont nous avons parlé la constitue dans la partie occidentale, tandis que la partie orientale est formée par les dolomies et calcaires qui constituent le haut des dépôts permo-carbonifères de l'Oural. Le caractère de ces derniers et les relations qu'ils présentent avec les dépôts d'Artinsk sous-jacents seront décrits dans l'esquisse suivante. Noin loin de la rivière Oulou-Teliak et avant d'y arriver, la voie descend dans la vallée de la riv. Sim qu'elle longe jusqu'au pied de l'Oural.

De la station Acha jusqu'au versant oriental de l'Oural.

Le chemin de fer, à l'est de la station Acha, traverse la partie la plus pittoresque de l'Oural du sud dans la direction générale NNE. La ligne parcourt d'abord le canton minier de Simsk, propriété de Mr. Balacheff, puis le canton de Kataw-Ivanow et une partie de celui de Tourézan qui appartiennent au prince Biélosselsky-Biélosersky: ensuite viennent les terres bachkires qu'elle traverse, et enfin le canton minier de Slatoust, propriété de la couronne.

Pour s'orienter dans l'orographie et la géologie du pays traversé par la voie ferrée, on pourra se servir de la description récente de cette région faite par Th. Tschernyschew ¹⁾ et de celle du canton minier de Slatoust, faite par J. Mouchkétow ²⁾. On y trouvera aussi la liste des notes, mémoires etc. concernant cette partie de l'Oural. La carte géologique la plus complète est la 139-me feuille de la Carte

¹⁾ Mémoires du Comité Géologique, Vol. III, N° 1, 2, 3, 4.

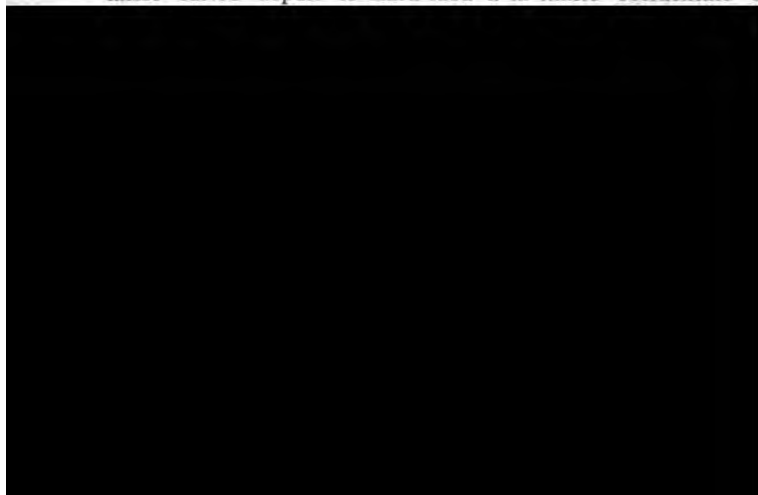
²⁾ J. Mouchkétow. Matériaux pour la connaissance de la structure géognostique et de la richesse minérale du canton minier de Sla-

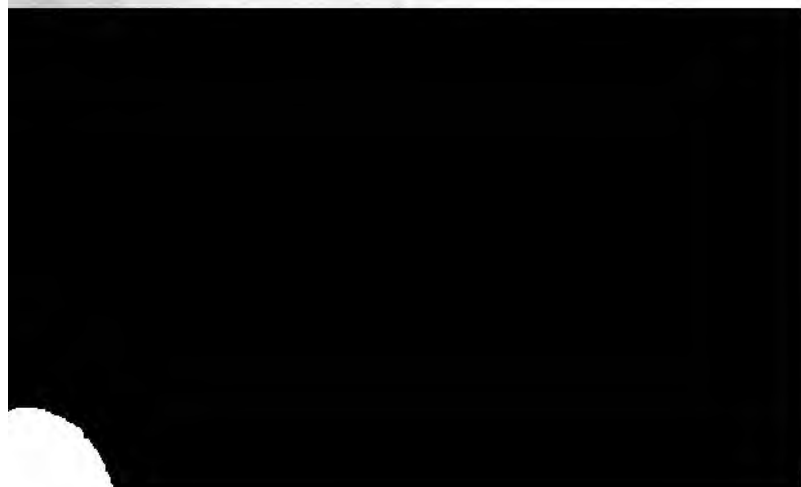
géologique générale de Russie, publiée par le Comité Géolo-
meilleure carte topographique qui se trouve en vente est c
Section topographique de l'Etat-Major, au $\frac{1}{420000}$ (10 verstes
anglais). Il existe encore une carte au $\frac{1}{420000}$, mais elle ne se

Il suffit de jeter un coup d'oeil sur la carte pour s'aper-
la direction dominante des chaînes de l'Oural du sud est NN
(voir la carte, pl. A). L'ensemble des données géologiques m
la région montueuse à l'ouest de l'Oural central ou Oural-tao
région typique de montagnes plissées et que les différentes
tions du terrain sont le résultat d'un même mouvement qui
une série de plis parallèles et de failles. La dénudation p
n'ayant presque nulle-part obscurci le rapport mutuel des n
génétiqument liées, il est aisé de voir que souvent des arêtes,
l'une à côté de l'autre, sont des parties d'un même pli ou d'u
faille, séparées par une profonde vallée fluviale. Lorsque no
rons le tracé du chemin de fer, nous aurons plusieurs fois
d'attirer l'attention sur des exemples de ce rapport mutuel d'
parées, offrant la même coupe géologique dans les deux vers
vallée.

Dans tout l'Oural, le versant des arêtes tourné vers le pl
des couches, est généralement peu incliné et bien accessible, t
le versant opposé, relativement escarpé, est couvert d'immens
lements et offre d'abondantes sources. Les pics pittoresques
sur la crête des arêtes sont presque exclusivement constitué
grès du dévonien inférieur et des quartzites, roches fort ca
résister aux agents de dénudation.

Nous avons dit que la direction dominante des chaînes c
du sud est NNE—SSW; mais dans la zone répondant à peu
milieu de la feuille 139 de la Carte géologique générale de
y a passage au E—W et WNW—ESE. Cette orientation des c
laisse suivre depuis le Kara-taou à la limite occidentale d





us le cours supérieur, les rivières coulent avec grande vitesse es vallées longitudinales, délimitées par les versants parallèles ètes. Dans cette partie du cours les roches originaires sont arement mises à nu.

cours moyen, les rivières prennent brusquement une direction iculaire à celle des chaînes: pendant des dizaines de verstes les deviennent souvent des gorges profondes aux parois abruptes, de 100 mètres et davantage: les eaux qui coulent avec la même qu'au cours supérieur, sont parfois gênées par de grands éboulis t des rapides mugissants.

ans la partie inférieure, les rivières se caractérisent par la len- lativement calme de leur cours, par leur peu d'affluents pauvres t par les affleurements relativement rares des roches originaires la largeur des vallées alluviales. Ces vallées sont parsemées de d'anciens lits (staritzky) et de lacs et présentent des terrasses ion fluviale nettement dessinées.

es remarques faites, nous pouvons passer à la caractéristique som- des diverses formations géologiques participant à la constitution ural du sud.

es esquisses précédentes du trajet de Samara au pied de l'Oural onné la caractéristique générale des dépôts permien qui s'éten- en large bande à l'est de la Russie jusqu'au pied occidental de l. La coupe s'y termine par l'assise de calcaires tachetés et de ies formant la base du système permien dans le sens de Mur- on. En dessous vient une assise puissante, désignée sur les cartes Russie d'Europe sous le nom de permo-carbonifère.

ur l'espace du développement du permo-carbonifère on distin- l'Oural du sud deux horizons: l'horizon calcaréo-dolomitique. é sur les cartes par le signe *CPc*, et l'horizon d'Artinsk, mar-

glomérats, calcaires, marnes et schistes variés. La faune de cet horizon, décrite par Mrs. Karpinsky ¹⁾, Krotow ²⁾ et Tschernyschew ³⁾, est caractérisée par des ammonitides originaux, d'un grand intérêt depuis la découverte de formes semblables au Darvas, en Sicile, au Texas et en d'autres lieux, et par l'abondance en brachiopodes dont l'étude a permis d'établir le rapport des diverses subdivisions de *Productus* limestone du Salt-Range avec les dépôts paléozoïques de l'Oural.

Les dépôts carbonifères de l'Oural du sud sont exclusivement représentés par des calcaires qui se divisent en trois sections.

La section supérieure constitue principalement la vaste région, connue sous le nom de plateau d'Oufa, qui s'adosse à son extrémité méridionale à la chaîne du Kara-taou. Cette région typique du développement de la section supérieure (*C₂*) des dépôts carbonifères a permis d'établir le schème de ses subdivisions, schème qui dans la suite s'est trouvé être applicable tant au nord et au centre de la Russie qu'au bassin du Donetz.

c. Calcaires blancs ou d'un gris pâle du type de Tastouba, Yaroslavka et Kasarmensky-kamen sur la riv. Sim. Ces calcaires offrent une faune abondante: *Griffithides Roemeri* Moell., *Griffithides Gruenwaldti* Moell., *Brachinetopus uralicus* Vern., *Agathiceras uralicum* Karp., *Dielasma plica* Kut., *Diel. Moelleri* Tschern., *Diel. truncatum* Waag., *Diel. itaitubense* Derby, *Diel. trochylus* Eichw., *Diel. pentagonum* Kut., *Diel. curvatum* Tschern., *Diel. dubium* Tschern., *Spirifer panduriformis* Kut., *Spirifer rectangulus* Kut., *Spirifer lyra* Kut., *Mentzelia corculum* Kut., *Spiriferina ornata* Waag., *Spiriferina Saranae* Vern., *Spiriferina Panderi* Moell., *Martinia Sokolovi* Tschern., *Rhynchonella Wangencheimi* Pand., *Rhynch. Hoffmani* Krot., *Rhynch. granulum* Eichw., *Pugnax Keyserlingi* Moell., *Pugnax Uta* Marcou, *Camarophoria sella* Kut., *Camaroph. pinguis* Waag., *Camaroph. plicata* Kut., *Camaroph. superstes* Vern., *Notothyris nucleolus* Kut., *Not. Warthi* Waag., *Hemiptychina sub-*

■ Tschern., *Probosc. Kutorgae* Tschern., *Marginifera uralica* Tschern., *Marg. splendens* Norw. et Pratt., *Marg. involuta* Tschern., *Marg. (?) Aagardi* Toula, *Marg. timanica* Tschern., *Conocardium nivicum* Vern., *Fusulina Verneuli* Moell., *Fusulina longissima* Moell., *Schicagerina princeps* Ehr. etc.

■ b. Calcaires argileux et oolitiques, abondants en *Productus Coru* Orb. (horizon à *Prod. Coru*), accompagnés de *Griffithides scitulus* Meek et Worth., *Dielasma curratum* Tschern., *Diel. bovidens* Morton, *Diel. millepunctatum* Hall., *Hustedia remota* Eichw., *Spirifer cameratus* Morton, *Spiriferina Saranae* Vern., *Rhynchopora Nikitini* Tschern., *Camarophoria crumena* Mart., *Meekella striatopunctata* Cox., *Chonetes variolata* d'Orb., *Rhipidomella juresanensis* Tschern., *Rhipidomella uralica* Tschern., *Productus longus* Meek., *Productus semistriatus* Meek., *Pr. fasciatus* Kut., *Pr. multistriatus* Meek., *Pr. porrectus* Kut., *Pr. Inca* d'Orb., *Prod. Gruenewaldti* Zettl., *Productus timanicus* Stuk., *Prod. orientalis* Tschern., *Prod. nivicus* Tschern., *Pr. Konincki* Vern., *Marginifera uralica* Tschern., *Marg. involuta* Tschern., *Marginifera (?) Aagardi* Toula, *Fusulina Verneuli* Moell. etc.

■ c. Au haut, calcaire corallien formé en entier de *Petalaxis timanicus* Stuck., *Columnaria solida* Ludw., *Syringopora parallela* Tsch., et renfermant en abondance *Omphalotrochus Whitneyi* Meek, accompagnés de *Productus Konincki* Vern. Keys., *Pr. d. porrectus* Meek., *Dielasma bovidens* Morton, *Rhynchopora Nikitini* Tschern., *Dielasma Moelleri* Tschern. etc. Au bas, calcaire gris rosé, plein de *Spirifer cameratus* Morton, *Productus semistriatus* Meek., *Prod. orientalis* Tschern., *Prod. fasciatus* Kut., *Prod. lobatus* Sow. mut. *rusiensis* Tschern., *Camarophoria crumena* Mart., *Derbya crassa* Meek et Hayd. etc.

La section moyenne (C_2) des dépôts carbonifères de l'Oural du Nord est composée de calcaires à *Spirifer mosquensis* Fisch. Au point de vue de la faune il est aussi facile de les distinguer des calcaires de la section supérieure que de ceux de la section inférieure. Cependant ils sont si étroitement alliés à ces derniers, tant pour l'extension de leur développement que pour leur caractère pétrographique, qu'il a été très difficile de les indiquer sur la carte à l'échelle de 10 verstes et que sur les cartes publiées par le Comité Géologique il a fallu marquer les deux sections inférieures par le même signe C_1 .

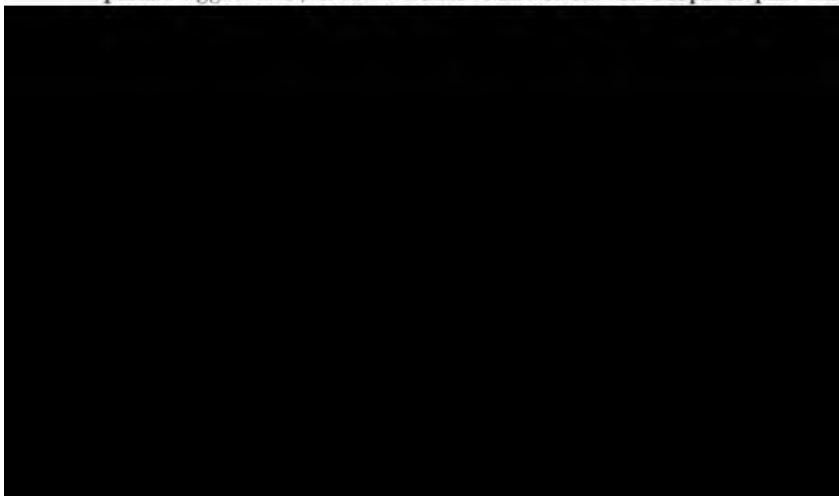
La section inférieure C_1 , également composée de calcaires, se divise en deux horizons: a —calcaires d'un gris foncé; b —calcaires d'un gris rosé clair ou blancs. Dans les coupes qui offrent les deux horizons, les calcaires b reposent sur les calcaires a . Au point de vue paléontologique les calcaires a et b ne présentent pas de différence essentielle, mais ils peuvent être distingués en partie d'après des indices pétrographiques assez constants, en partie par le développement relatif de l'une ou de l'autre forme. Quant à l'horizon inférieur a , il est caractérisé par d'abondants coraux *Syringopora gracilis* Keys. Litho-

stroton affine Mart., *Lithostroton caespitosum* Mart. et par de nombreux restes de *Productus giganteus* Mart. et *Chonetes papilionacea* Phill.: en nombre moindre on y trouve *Productus striatus* Fisch. Au midi de l'Oural on rencontre dans cet horizon exclusivement *Athyris squamigera* de Kon. et *Phillipsia globiceps* Phill. L'horizon *b* abonde en *Productus striatus* Fisch., accompagnés de *Productus giganteus* Mart., *Productus semireticulatus* Mart., *Productus corrugatus* M'Coy, *Athyris variabilis* Moell., *Athyris expansa* Phill.

Dans la partie septentrionale de l'Oural les explorations récentes ont donné la possibilité de distinguer une double subdivision de la division inférieure C_1 . A la base de cette division C_1 se trouvent *a* des dépôts de grès et d'argiles, interstratifiés par endroits de couches de houille. Au point de vue paléontologique ces dépôts sont principalement caractérisés par des restes végétaux (*Stigmaria ficoides* Brgn., *Noeggerathia tenuistriata* Goepp. etc.), et par des restes d'animaux très rares. Encore plus bas on peut observer, sous les horizons inférieurs de ces grès argileux, une couche de calcaires, caractérisés par *Productus mesolobus* Phill., *Chonetes papilionacea* Phill., coraux etc. souvent abondants. Au-dessus de *a* s'étend une couche de calcaire *b* à *Productus giganteus* Mart., *Productus striatus* Fisch., *Chonetes papilionacea* Phill., *Athyris expansa* Phill., *Athyris variabilis* Moell. etc.

Dans la partie de l'Oural que nous considérons, il y a développement de toutes les trois sections du système dévonien. (Voir pour la description détaillée les monographies précitées, Mémoires du Comité Géologique, Vol. III, N° 1, 3). Au versant occidental de cette partie de l'Oural, le dévonien supérieur est exclusivement représenté par l'étage inférieur D_3 , correspondant par la faune à l'Ibergerkalk ¹⁾.

La composition pétrographique du dévonien supérieur est assez uniforme, des calcaires d'un gris clair, parfois fortement dolomisés, parfois agglomérés, étant la roche dominante. La coupe la plus com-



de l'inférieur— D_1^1 —plus varié au point de vue pétrographique, se compose de diverses marnes, de schistes, de grès et seulement en partie de calcaires.

L'étage supérieur D_2 offre deux horizons: l'horizon supérieur D_2^b (*Spirifer Anosofi* Vern. renferme une faune très riche et correspond à l'horizon à *Stringocephalus* de l'Europe occidentale; l'horizon inférieur D_2^a à *Pentamerus baschkiricus* Vern. et *Pentamerus pseudobaschkiricus* Tschern. ne semble pas être plus âgé que l'horizon à *Alveola*. Généralement les calcaires D_2^b sont immédiatement superposés aux calcaires D_2^a , mais par places ils sont séparés de ces derniers par une mince assise de grès quartzeux.

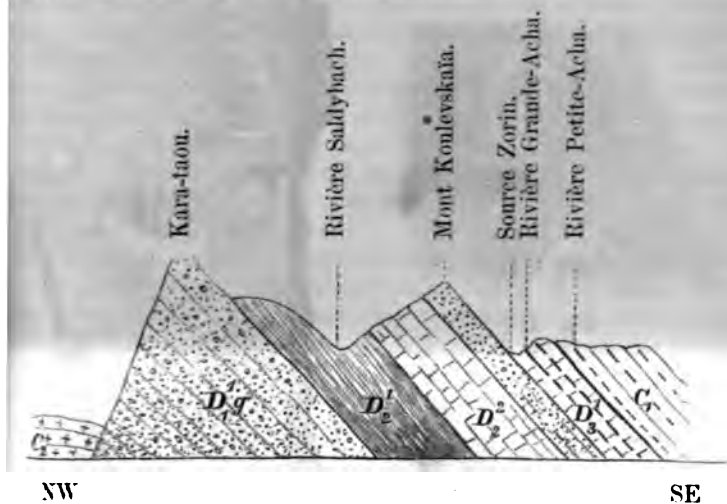


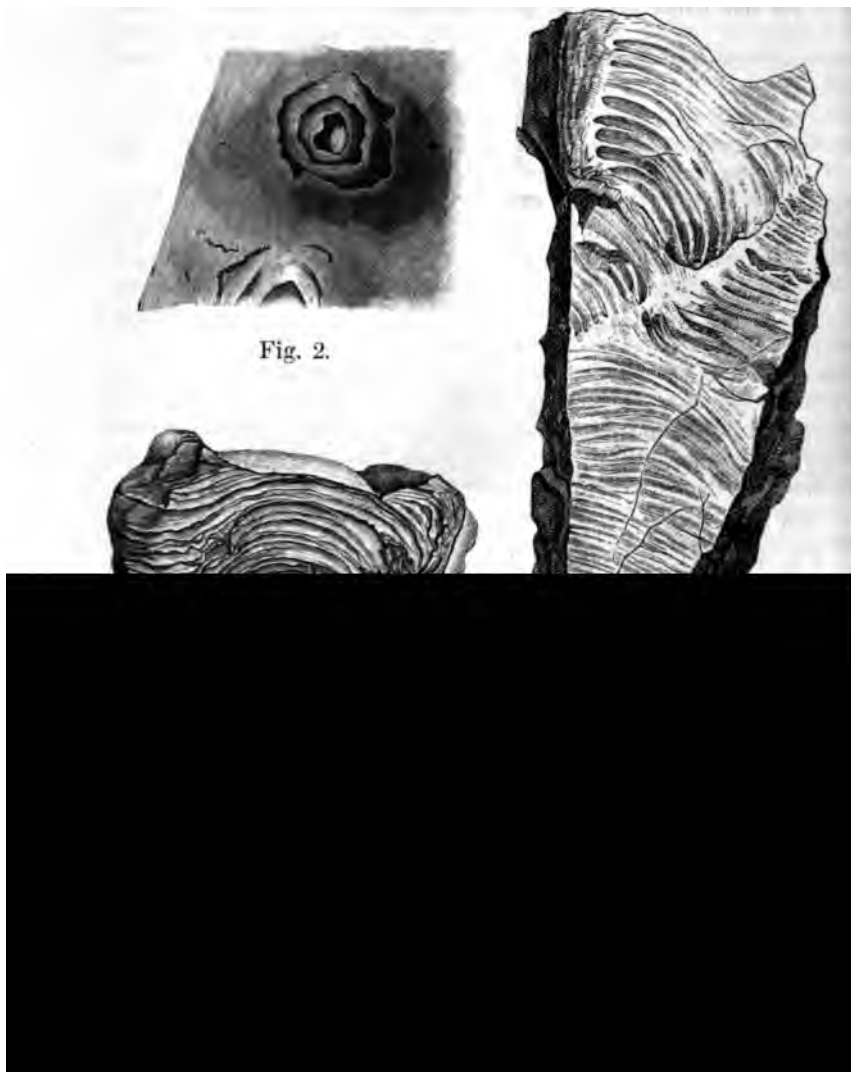
Fig. 1. Coupe transversale de la partie sud-ouest de la chaîne Kara-tau.

La variété dominante des calcaires D_2^b est un calcaire gris foncé, presque noir, qui dégage sous le choc du marteau une odeur de naphte plus ou moins forte. En certains endroits ce calcaire passe à des dolomies, en d'autres il se présente aggloméré ou finement feuilleté.

L'étage D_1^1 , dépourvu de fossiles, est composé de grès habituellement d'un gris vert, plus rarement jaunes ou bruns et, en grande partie, par des marnes diversement colorées et des schistes. Le changement fréquent de la couleur des plus minces couches des marnes rougeâtres, verdâtres ou grises, les a fait appeler marnes rubanées. Les calcaires D_2^b , de même que les calcaires et les marnes D_1^1 , présentent assez souvent une structure très originale qui s'exprime sur la surface des couches par des rangées de saillies sphériques disposées comme des feuilles de chou (fig. 2) et, dans les coupes verticales, soit par des cônes s'amincissant vers le haut (fig. 3) formés de lames rebondies, soit par des cylindres (fig. 4), composés également de lames rebondies, mais du

même diamètre. La description détaillée de cette structure et du mode de formation se trouve dans la description de l'Oural du sud (travaux du Comité Géologique, t. III, N° 4, pp. 232—235).

Le dévonien inférieur de l'Oural du sud se distingue par une grande variété pétrographique. Les formations les plus développées sont des grès quartzeux sans feldspath, des arkoses et des conglomérats. Ces roches constituent les arêtes des chaînes parallèles les plus considérables de l'Oural du sud. Dans les hauteurs situées vers l'est on observe la transition graduelle des grès, des arkoses et des conglomérats.



t nous parleront plus loin, ne sont que des roches modifiées du dévonien inférieur.

La coupe la plus instructive du dévonien inférieur de l'Oural du prolonge au sud de la ligne du chemin de fer depuis la chaîne du Zigalga jusqu'à l'Avniar, transversalement à la direction du Zigalga et traversant les rivières Yourézan, Avniar et Biélaïa. Cette coupe fait voir (fig. 5) la principale masse de l'assise des grès quar-
 D_1g entre deux assises schisteuses dont l'inférieure repose directe-
 ment sur les calcaires les plus anciens D_1c à faune caractéristique. La
 partie dominante de l'assise schisteuse inférieure est un schiste noir
 lustré, réfléchissant à la surface d'un gris d'acier quelquefois soyeux.
 Souvent on peut observer le passage de ces schistes à des va-
 micacées et chloriteuses, très riches en magnétite et fer oxydé.
 L'argenteuse de quartz, les schistes passent à des quartzites micacées
 argileux. Par places le schiste noir argileux présente des inclusions
 de cristaux de pyrite et des pseudomorphoses de pyrite en limonite.
 Le schiste noir est associé dans la partie inférieure de l'assise D_1g
 à un schiste sériciteux, à peu près de la même composition que le noir,
 plus pauvre en matière carbonneuse et par conséquent d'une
 couleur plus claire.

Quand on a acquis une certaine habitude, il est facile de distin-
 guer les schistes inférieurs, disposés sous l'assise de quartzites et de
 les schistes qui surmontent cette assise. Ces derniers, de
 structure et composition très variées, n'ont jamais ce reflet de
 surface plane, mais ils passent aussi, bien que très rarement et dans
 des cas exceptionnels, à des schistes chloriteux et ottrélitiques. Leur
 couleur, parfois rubanée, varie entre le gris foncé, presque noir, jusqu'au
 brunâtre, verdâtre et rougeâtre.

Les grès marneux, des marnes et des calcaires occupent un rang
 élevé dans l'assise D_1g .

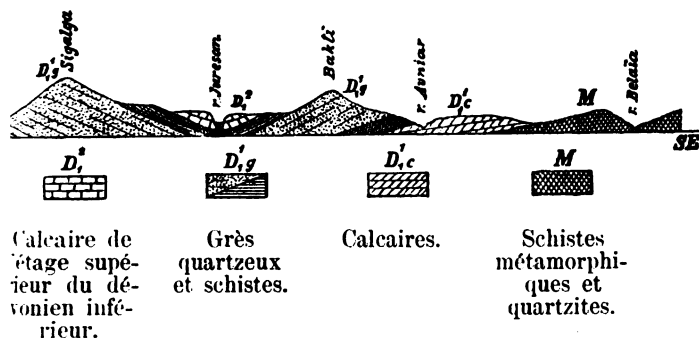


Fig. 5.

Une série de roches D_1g (fig. 5) sépare, comme nous l'avons dit, les assises de calcaires essentiellement différentes au point de vue géologique. Les calcaires supérieurs (D_1i), dont le type est déve-

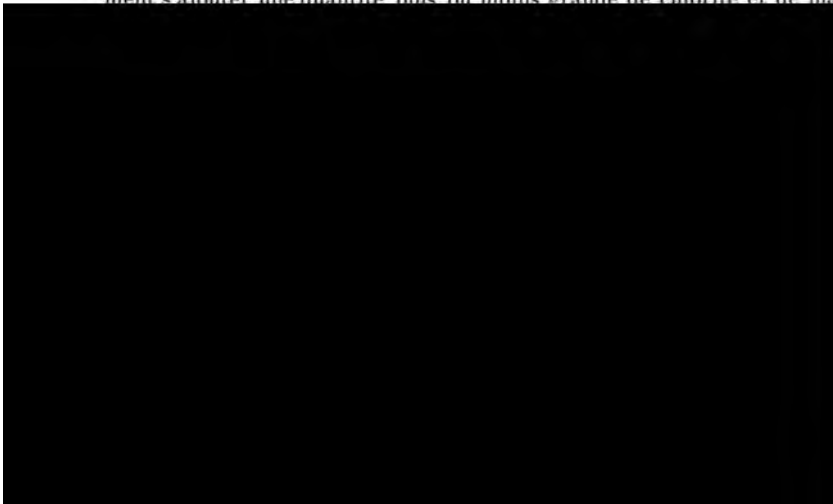
loppé dans la vallée de l'Yourézan, renferment des couches subordonnées de schistes argileux et de grès marneux. Leur caractère paléontologique est décrit dans le mémoire „Die Fauna des unteren Devon a Westabhange des Ural“, par Th. Tschernyschew¹⁾. Cet horizon est surtout caractéristique par l'abondance en *Leperditia Barboti* Schmid et petits trilobites du genre *Cyphaspis*, pentamères (*Pentamerus fasciculatus*, *Pentamerus baschkiricus*), restes de conchifères (*Conocardium crenatum* Stein., *Buchiola sercostata* Roem.) et autres formes.

Les calcaires inférieurs *D₁c*, recouverts de l'assise *D₁g* et disposés souvent entre des roches métamorphiques (cours supérieur de la Biélaïa), se distinguent par des nuances plus claires et une structure massive. Leur faune (décrite dans le travail sus-cité de Th. Tschernyschew) se distingue par une grande variété de formes: nombreux restes d'ostracodes, céphalopodes, *Platyceras*, représentants de *Hercynella* (*Hercynella bohémica* Barr.), conchifères originales (*Vlasta*, *Dalila* brachiopodes de

Les calcaires *D₁c* apparaissent principalement dans la vallée de la rivière Biélaïa et de ses affluents, où ils présentent des affleurements plus ou moins importants au milieu des roches métamorphiques. Dans les parties plus septentrionales de l'Oural, ces calcaires, bien qu'ils affleurent en plusieurs points, sont entièrement muets au point de vue paléontologique.

L'Oural-taou, la chaîne maîtresse de l'Oural qui fait le partage des eaux, de même que des bandes de terrain considérables à l'ouest et à l'est de lui, sont constitués par les roches cristallines schisteuses *M* qui, comme nous l'avons dit, sont en relation intime avec les dépôts indubitablement paléozoïques, et qui ne sont elles-mêmes que des roches modifiées d'âge paléozoïque.

La roche la plus développée parmi celles du groupe *M* est un schiste micacé composé de quartz et de mica, auquel vient ordinairement s'ajouter une quantité plus ou moins grande de chlorite et de ma-



de qui se trouve en inclusions considérables dans les parties méridionales de l'Oural-taou.

Les micaschistes du district de Zlatoust renferment parfois beaucoup d'inclusions de grenats et de staurotide.

Le micaschiste et le schiste micacé chloriteux sont intimement liés, par des transitions graduelles, aux quartzites correspondants, très répandus dans la bande des schistes métamorphiques. Les quartzites présentent une série de variétés dues à la transformation et à la modification; la variété la plus proche des grès dévonien, son type, est un aggrégat de quartz avec inclusion de quantités plus ou moins grandes de tourmaline et d'orthose. La disparition graduelle de l'orthose et sa substitution au mica blanc produit le passage visible du quartzite au quartzite micacé et au micaschiste. Des changements semblables s'observent dans les conglomérats qui deviennent conglomérats micacés, le ciment se chargeant de mica blanc (muscovite).

A côté des micaschistes on trouve très souvent dans l'assise *M* des schistes chloriteux dont quelques-uns, riches en épidote, peuvent être appelés schistes épidoto-chloriteux.

Le schiste amphibolique, une réunion d'amphibole et de quartz, contient parfois l'amphibole en si petite quantité que la roche mérite le nom de quartzite amphibolique.

Sur le versant ouest de l'Oural (district de Zlatoust) on observe aussi un développement considérable de roches amphiboliques plus ou moins nettement schisteuses, à structure cataclastique, qui sont le produit des changements dynamo-métamorphiques des roches massives (diabases et gabbros).

Les épidosites, très répandus dans le district de Zlatoust et, plus au sud, dans la région de la riv. Biélaïa, sont à considérer de pair avec les schistes cristallins.

Outre les schistes mentionnés, la région cristalline *M* comprend une série de roches argilo-schisteuses qui présentent dans leur composition divers rapports quantitatifs des éléments allogéniques et autigéniques. Ces roches montrent tous les passages des phyllites typiques aux schistes argileux clastiques du dévonien inférieur, développés dans les parties plus occidentales de l'Oural du sud; à mesure que l'on pénètre dans la région affectée par les procès orogéniques les plus intensifs, la quantité de matière autigénique augmente dans les schistes argileux.

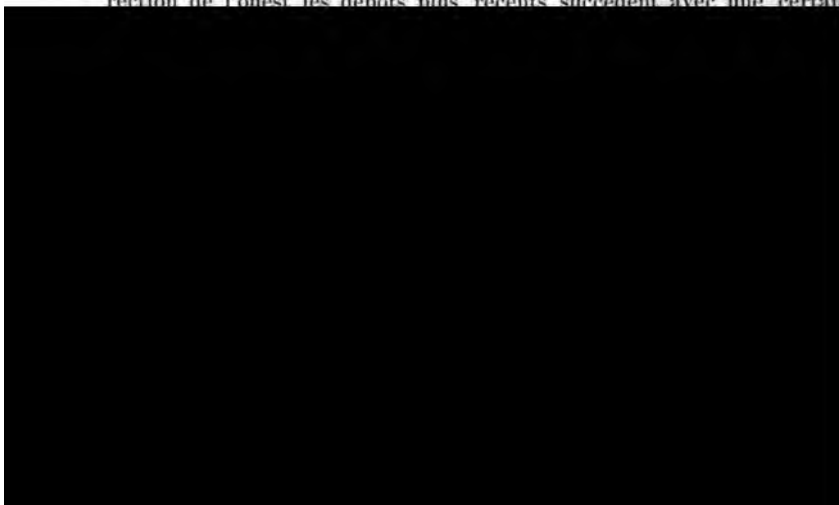
Les roches massives sont uniquement représentées par des granites et des diabases. Les premiers affleurent en bandes plus ou moins considérables dans le canton minier de Zlatoust, auquel appartient également le plus grand nombre d'affleurements de diabase.

Parmi les granites on y distingue des gneisso-granites et des granites de l'aspect du rappakiwi. Les gneisso-granites présentent une structure cataclastique nette; on y reconnaît: orthose, plagioclase, quartz, biotite, muscovite, amphibole, magnétite, grenat et épidote; ce sont des granitites dynamo-métamorphosées. De grands cristaux (souvent des macles de Karlsbad) d'orthose rougeâtres à bordure d'un

vert pâle comme dans le rappakiwi, tranchent sur la pâte à gros grain des granites de l'aspect du rappakiwi, composée d'orthose, de plagioclase, de quartz, d'amphibole et de magnétite; ces cristaux ne diffèrent de ceux du rappakiwi qu'en ce que la bordure n'est pas de l'oligoclase, mais de l'orthose. Ces granites traversent les dolomies du dévonien moyen en filons et par conséquent ils ne peuvent être plus anciens que celles-ci.

Les diabases se trouvent intercalées en nappes, filons et massifs dans les dépôts dévoniens inférieurs et moyens. De belles coupes donnent la possibilité d'étudier tous les détails des effets du contact de roches massives avec les roches sédimentaires. L'influence du contact tant dans les roches sédimentaires (calcaires et schistes) traversées par les diabases, que dans le magma de la diabase, se traduit par des phénomènes d'endomorphisme: le calcaire et le schiste durcissent au contact au point d'opposer une forte résistance au choc du marteau; en même temps le schiste argileux perd sa structure lamellaire et acquiert une séparation verticale qui le fait diviser en petits parallélépipèdes. Parfois aussi il est rubané le long de la ligne de contact. L'apparition du minéral chloritique à la surface de la stratification et de la séparation des roches sédimentaires est incontestablement l'effet d'une influence hydro-chimique ultérieure, survenue après le refroidissement et la dé cristallisation du magma diabasique. Quelquefois on voit la même fissure traversant la roche, tant sédimentaire que massive, remplie sur tout son long d'une substance chloritique. A un mètre environ du contact on peut observer dans la diabase toutes les modifications de structure, depuis la vitreuse jusqu'à holocristalline, sous l'effet des différentes conditions de consolidation du même magma à diverses distances du contact¹⁾.

En considérant la distribution des dépôts d'âge différent au versant occidental de l'Oural du sud, on s'aperçoit facilement que dans la direction de l'ouest les dépôts plus récents succèdent avec une certaine



de voir l'horizon inférieur grès-marno-schisteux D_1^c et deux horizons supérieurs, l'un, D_2^a , à *Pentamerus baschkiricus*, l'autre, D_2^b , à *Spirifer Anosovi*. Le dévonien supérieur D_3 est surmonté en concordance par les calcaires carbonifères qui bordent en bande plus ou moins étroite le vaste développement des horizons sus-cités du dévonien, le séparant des dépôts permo-carbonifères d'Artinsk *CPg*. La disposition et les relations stratigraphiques des dépôts du versant occidental de l'Oural sont des indices évidents de ce que la mer qui avait baigné le pied de l'Oural durant toute la période paléozoïque, s'est retirée très lentement vers l'ouest, et que les forces orogéniques n'ont pas agi d'un coup.

Toutes les rivières importantes du versant occidental de l'Oural parcourent dans leur cours supérieur des vallées longitudinales tant synclinales qu'isoclinales; ensuite elles entrent, par un brusque coude vers l'ouest, dans les vallées transversales, coulant transversalement à la stratification des roches qui constituent la région montagneuse. L'ensemble des données géologiques de la région semble indiquer que toutes les vallées transversales sont des vallées d'érosion. Un des faits les plus intéressants en rapport avec le soulèvement graduel des chaînes et la formation des vallées transversales est celui, que l'Oural central ou Oural-taou, qui sert de faite de partage des rivières sibériennes et européennes et qui est en même temps le pli le plus ancien parmi les plis parallèles formant l'Oural, est considérablement moins haut que les chaînes plus occidentales Irémel, Zigalga, Ourenga, Nourgonche, Taganai etc. Cependant toutes les rivières importantes, bien qu'elles prennent naissance à des hauteurs relativement faibles, traversent ces chaînes occidentales beaucoup plus élevées, ayant des deux côtés de leurs vallées exactement la même disposition des couches.

Il nous reste à dire quelques mots sur le caractère des dépôts posttertiaires dans cette partie de l'Oural ¹⁾. Il convient avant tout d'attirer l'attention sur l'absence complète dans cette région (comme en général sur toute l'étendue de l'Oural, jusqu'à la limite extrême au nord de la population à domicile fixe) d'indices certains de glaciers. Les vestiges incontestables d'anciens glaciers commencent sur la parallèle 61 et se continuent jusqu'au Yougorsky-Char. Dans toute la région vers le sud le caractère des dépôts posttertiaires dépend soit d'un procès éluvial qui s'y est effectué (transformation mécanique et chimique des roches originaires „in situ“), soit d'un procès alluvial (action d'enlever les matériaux par l'érosion et de les déposer dans les vallées). Le caractère des vallées fluviales est très différent, comme nous l'avons déjà dit, dans la région des dépôts d'Artinsk et dans celles des dépôts plus anciens. Ici les vallées fluviales se présentent en gorges profondes.

¹⁾ Outre la description sus-citée de l'Oural du sud par Th. Tschernyschew, voir le travail du même auteur: Aperçu sur les dépôts posttertiaires en connection avec les trouvailles des restes de la culture préhistorique au nord et à l'est de la Russie d'Europe (Congrès International d'Archéologie et d'Antropologie, XI session, Moscou. Vol. I. p. 35—56).

pauvres en formations alluviales, tandis que là elles sont relativement larges, avec deux terrasses fluviales distinctes, une supérieure p ancienne, postpliocène, et une inférieure, formée de dépôts alluviaux plus récents.

La terrasse supérieure est essentiellement constituée par une argile jaune brunâtre ou brune jaunâtre, plus ou moins sableuse et calcifère, presque toujours nettement schisteuse. Parfois elle est poreuse et contient des concrétions calcaires et forme des parois escarpées rappelant le loess; cette circonstance lui a fait donner par les explorateurs de l'Oural l'épithète d'argile loessoides. Outre l'argile brune on trouve dans ces terrasses des argiles d'un gris bleuâtre et des galets d'un aspect de conglomérats. Il n'est pas rare de rencontrer dans les dépôts de terrasses supérieures des restes de vertébrés éteints (*Elephas primigenius*, *Rhinoceros tichorhinus*, *Rhin. Merkiti*, *Bos priscus*, *Bos taurus*, *Ovis moschatus* etc.).

La composition pétrographique de la terrasse inférieure se distingue par sa grande variété de formations: diverses argiles, sables, galets, tufs calcaires, tourbes. Comparativement à la première terrasse, la seconde se dessine souvent en brusque saillie.

Je juge impossible de m'arrêter cette année-ci à l'histoire de la formation des terrasses fluviales. La question est d'ailleurs suffisamment traitée dans les articles sus-cités. J'observerai seulement que les résultats, fournis par les explorations du système de la rivière Biélaïa ne laissent aucun doute sur les relations qui existent entre les terrasses supérieures et les dépôts de la transgression caspienne postpliocènes. Ces données permettent d'avancer que les dépôts des terrasses supérieures se rapportent à une époque où la mer Caspienne jouait le rôle d'une digue qui amenait l'exhaussement du niveau de la Karakoum et de la Biélaïa avec leurs affluents, et le décroissement de la rapidité de leur cours et de leur force érosive. A mesure que la mer Caspienne se retirait, la force érosive de nos fleuves devait augmenter, d'où l'

Le type des minerais de fer (fer oligiste et fer spathique) surtout éloppés dans l'horizon D_1^g , sera décrit quand nous parlerons du gisement de Bakal (description de l'itinéraire). De même, un chapitre spécial étant réservé aux mines minérales de l'Oural du sud, nous n'en disons rien ici.

Description de l'itinéraire.

1-er jour.

Après avoir suivi la terrasse supérieure postpliocène de la rive du Sim, la voie ferrée s'engage, au delà de la station Ourman, dans la région des calcaires carbonifères supérieurs constituant les montagnes Kyssy-taou et Oulou-taou, qui occupent le coin formé par le confluent du Téliak et du Sim. Le versant de ces montagnes, vêtu de forêts, laisse en plusieurs points les calcaires de l'horizon C_3^c à *Schwagerina*. À gauche de la voie, à une distance d'environ $1\frac{1}{2}$ kilom., affleurent des dépôts d'Artinsk CPg (marnes et couches intercalées de calcaire à fusulines) recouvrant le calcaire C_3^c à *Schwagerina*. Bien que cet affleurement soit si près du chemin de fer, et comme il n'y a pas de sentier qui y mène, il faut plusieurs heures d'une marche pénible pour y revenir à travers la forêt vierge.

Après avoir franchi la montagne Kyssy-taou, le chemin de fer descend sur la terrasse supérieure postpliocène du Sim qu'elle traverse jusqu'à la station Acha.

Bientôt la ligne entre dans une gorge, parcourue par le Sim. Le paysage entourant change d'un coup: à gauche, gênant le cours du Sim, se dressent les montagnes Worobiinya, à droite s'élève l'Ajigardak, laissant voir jusqu'à l'usine de Miniar une coupe ininterrompue des dépôts paléozoïques de l'Oural.

Pendant les deux premières verstes la voie ferrée traverse de puissantes saillies de calcaire C_3 . À gauche du Sim et au sud de la voie le calcaire plonge sous les grès, marnes, argiles schisteuses et calcaires de l'étage d'Artinsk (CPg). L'affleurement le plus grandiose du calcaire à *Schwagerina* se présente dans le Kazarmensky-Kamen, à paroi escarpée du côté du Sim. Une étroite saillie entre le Kazarmensky-Kamen et la rivière laisse passer le chemin de fer. Des couches de calcaires, toutes remplies de fossiles bien conservés, se dressent en parois abruptes le long de la voie.

On y trouve: *Phillipsia Gruenewaldti* Moell., *Agathiceras cf. valicum* Karp., *Conocardium uralicum* Vern., *Dielasma plica* Kut., *cf. Moelleri* Tschern., *Notothyris nucleolus* Kut., *Hemiptychina laevis* Waag., *Spirifer panduriformis* Kut., *Sp. rectangulus* Kut., *Sp. cameratus* Morton., *Spiriferina ornata* Waag., *Spir. Panderi* Moell., *Spir. saranae* Vern., *Hustedia remota* Eichw., *Rhynchonella Wangencheimi* Pand., *Rhynch. Keyserlingi* Moell., *Rhynch. maculatum* Eichw., *Camarophoria plicata* Kut., *Cam. pinguis* Waag.,

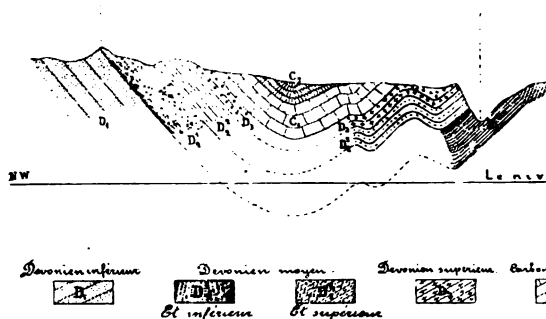
Pugnar granum Tchern., *Mentzelia rostrata* Kut., *Martinia Sokolovi* Tchern., *Reticularia ligandis* Waag., *Chonetes uralica* Moell., *P. d'Orb.*, *Pr. Gruenewaldti* Krot., *Pr. semistriatata* Tschern., *Pr. Cora* d'Orb., *Pr. tenuilincatus* Shum., *Proboscidea genuina* Kut., *Prob. Kuto*

En peu avant d'arriver à l'embouchure de la peut voir le calcaire carbonifère supérieur C_3 rem par les schistes et grès de l'étage inférieur D_2 du faille qui les sépare se voit des deux côtés du Sin sud-occidentale des montagnes Worobiinyia et du le sud de la rivière, au bout sud-occidental de P.

Plus loin, depuis l'embouchure de la riv. la station Miniar, le chemin de fer longe la riv coule ici dans une vallée synclinale dont voici la

M Worobiinyia.

Sim.







abondent en *Productus giganteus* Mart. et *Chonetes papilionacea* Sch. Les calcaires agglomérés gris clair du dévonien supérieur D_1 , également pauvres en fossiles, renferment par places *Spirifer archiaci* Murch., *Productella subaculeata* Murch., *Schizophoria striatula* Schloth., *Orthothetes umbraculum* Schloth. etc. L'étage supérieur du dévonien moyen D_2 , composé aussi de calcaires et de dolomies, est incomparablement mieux caractérisé au point de vue paléontologique; outre des individus typiques de *Spirifer Anosofi* Vern. il renferme par endroits en abondance d'autres formes. Les calcaires les plus proches du chemin de fer, en aval de l'embouchure de la rivière Chaouwloma-Elga, sont particulièrement riches en fossiles; on y trouve en profusion *Spirifer Maureri* Holz., *Athyris concentrica* Buch., *Atrypa reticularis* Linn., *Atrypa aspera* Schloth., *Rhynchonella subtetragona* Schnur, *Camarophoria formosa* Schnur, *Schizophoria striatula* Schloth., *Rhipidomella eifliensis* Vern., *Pennamurus galeatus* Dalm., *Stropheodonta interstitialis* Phill., *Productella subaculeata* Murch., *Pseudocrania obsoleta* Goldf. etc.

En aval du confluent du Chalachow et du Sim on voit des coupes nettes des dolomies D_2 à structure à lames rebondies dont nous avons fait mention dans l'esquisse générale (pp. 9—10).

A une verste en aval de l'embouchure de la Biarda jaillit au bas de l'escarpement une source connue sous le nom de „Propachtchy“ (Perdu). Ce nom provient de ce que la source devient périodiquement plus forte et plus faible: tantôt elle tarit presque entièrement, se perdant sous la voie du chemin de fer, tantôt, grossissant peu à peu, elle arrive à son maximum pour recommencer ensuite à diminuer et reprendre son premier état. Ce phénomène se répète à des intervalles réguliers. Entre la plus forte crue et le plus grand abaissement de l'eau il se passe à peu près 3 minutes.

Près de l'embouchure de la Biarda on voit les calcaires D_2 superposés à D_1 . A l'amont de l'embouchure on trouve de part et d'autre du Sim une série de très belles coupes de l'étage D_2 . Les roches dominantes de cet étage sont des marnes d'un gris verdâtre ou rouges et des grès argileux. Ces marnes, de couleurs différentes à la surface exposée à l'air, ont donné le nom aux montagnes des environs: Zéliomaïa (Verte), Krassnaïa (Rouge), Sinaïa (Bleue), Biélaïa (Blanche) etc. Paléontologiquement l'étage D_2 est muet. Au pied des hauteurs constituées par D_2 est située la station Miniar.

2-me jour.

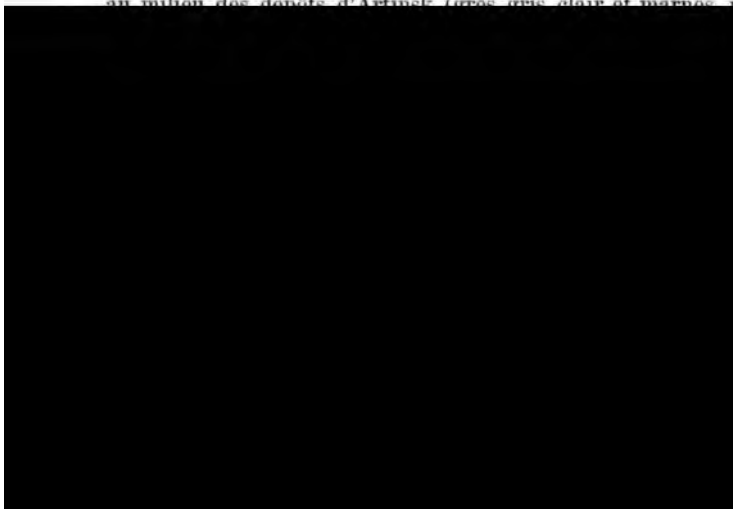
Les environs de l'usine de Miniar sont une des localités les plus pittoresques sur le versant occidental de l'Oural du sud. L'usine, située au confluent des rivières Miniar et Sim, est entourée de toutes les côtes de hauteurs qui descendent escarpées vers l'étang de l'usine. Le panorama général (voir la planche B) pris de l'élévation au bord oriental du lac, fait très bien voir le caractère et la structure de

ce lieu. A droite on aperçoit l'embouchure du Miniar, en les parois abruptes du calcaire dolomitique gris clair D vers le nord. Dans le village à droite du Sim on voit à nu. Plus à gauche on voit au loin les escarpements des monts Sinaïa et Sinaïa qui sont composées des marnes et calcaires. Les mêmes roches constituent la montagne Pojarnaïa qui se présente à gauche en forme de cap. Au second plan on voit l'Ajigard par les grès quartzeux et les arkoses du dévonien inférieur. En amont du Miniar les calcaires dolomitiques D_2 plongent dans les calcaires du dévonien supérieur D_3 et ceux-ci, à leur tour, dans les dépôts carbonifères.

La vue de l'usine de Miniar fait clairement voir que les vallées du Sim et du Miniar sont des vallées d'érosion.

Le parcours de l'usine de Miniar à la station se distingue très peu de ce que les excursionnistes auront vu. La voie suit le cours sinueux du Sim qui coule dans une vallée profonde, constituée dans sa première partie par des dépôts de grès dévoniens inférieurs D_1g , on peut observer en haut, le long du chemin de fer, l'étage D_1 , les calcaires D_2 , les calcaires à *Spirifer Archiaci* D_3 et les calcaires inférieurs C_1 . De même qu'à l'aval de l'usine de Miniar les dolomies D_2 présentent par places la structure à lames rebordées très nette. A deux verstes vers l'aval de la Kaloslérka les calcaires C_1 renferment en abondance des foraminifères *parva* Möll., *Fusulinella Struvii* Möll., *Archæodiscus Karstii* et des restes de *Productus striatus* Fisch., *Chonetes* p. Phill. etc.

En amont de l'embouchure de la Kaloslérka, la rivière coule au milieu des dépôts d'Artinsk: grès gris clair et marnes.



Pl. C.





angée de collines que domine une élévation conique, connue sous le nom de Chélyvaguina Chichka. Toutes ces collines sont composées de dépôts d'Artinsk, de grès, de marnes et de calcaires qui affleurent dans les ravins entre les collines. La vallée elle-même est formée d'alluvions fluviatiles d'une puissance considérable.

Les bords pittoresques du lac de l'usine de Simsk (voir pl. C) offrent une coupe classique pour l'étude des dépôts d'Artinsk et des sédiments carbonifères sousjacents. Comme le fait voir la carte (fig. 7), le lac de Simsk fait une vive courbure vers le sud, en répétant plusieurs fois la même coupe des dépôts d'Artinsk et des sédiments carbonifères. Un rocher conique d'un aspect original se dresse au milieu de l'étang, joint au bord septentrional par un isthme très étroit. Si l'on suit le bord orien-

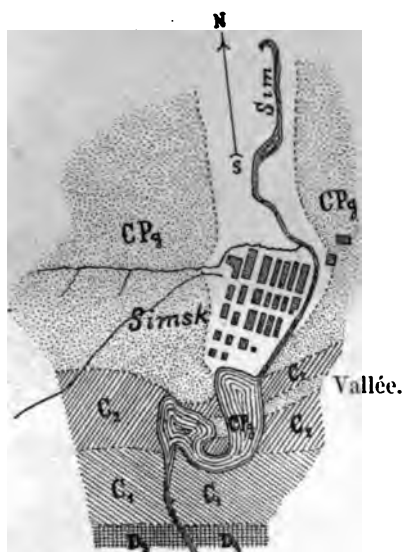


Fig. 7.

tal du lac, on voit près de la digue une belle coupe (fig. 8) de l'escarpement des dépôts d'Artinsk, offrant des alternances de marnes, de grès marneux et de calcaire qui se brisent en minces dalles. Quelques-unes des couches de grès et de marne gréseuse contiennent une faune très riche et variée de céphalopodes, mais toutes les coquilles sont déformées et aplaties. Cette faune qui a été décrite par A. Karpinsky¹⁾ présente les formes suivantes: *Parapronorites tenuis* Karp., *Parapronorites latus* Karp., *Parapronorites Majsisoviczi* Karp., *Medlicottia* sp., *Medlicottia artiensis* Gruen., *Gastrioceras Nikitini*

¹⁾ A. Karpinsky.

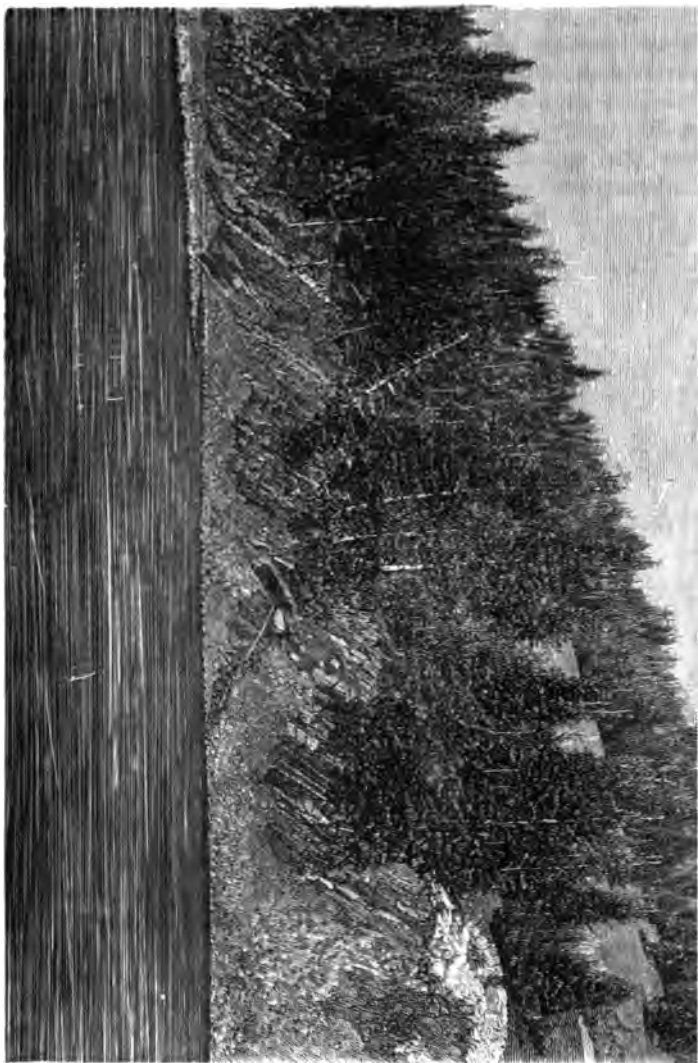


Fig. 8. Dépôts d'Artinsk près de la digue de l'usine de Simsk.

Karp., *Agathiceras uralicum* Karp., *Popanoceras Lahusenii* Karp., *Paraceltites* (?) sp.

Les calcaires qui alternent avec les grès consistent par places presque en entier en grosses fusulines (*Fusulina Verneuxi* Moell.). Près de la même digue on voit apparaître de dessous les grès d'Artinsk et en concordance avec lui le grès carbonifère qui contient, avec coquilles de *Fusulina Verneuxi* Moell., *Productus semireticulatus* Mart., *Productus longispinus* Sow., *Martinia glabra* Mart., des restes de *Delasma* et de *Spirifer* (du type de *Spirifer mosquensis* Fisch.).

Plus loin au sud une profonde vallée transversale descend vers le lac. Le penchant méridional de cette vallée laisse voir à nu un calcaire gris foncé compact, tout rempli de restes de *Productus semireticulatus* Mart., *Productus longispinus* Sow., *Productus pustulosus* Phill., *Orthothetes crenistria* Phill., *Schizophoria resupinata* Mart. etc.

Le bord escarpé de l'extrémité sud du lac est constitué par un calcaire cristallin blanc avec nombreux *Chonetes papilianacea* Phill., *Productus giganteus* Mart. et *Productus striatus* Fisch.

Lorsque de l'autre côté de la digue on suit le bord nord du lac, on aperçoit le long du chemin des affleurements du même calcaire carbonifère qu'on a vu à l'est, à l'extrémité de la digue. A 40 mètres à peu près au-dessus de l'eau, ce calcaire est recouvert des dépôts d'Artinsk qui se continuent jusqu'à la route postale, aujourd'hui abandonnée.

L'isthme étroit qui relie l'élévation conique au milieu du lac au bord nord, offre du côté occidental une coupe très curieuse des dépôts d'Artinsk refoulés en plis complexes, adossés au sud au calcaire

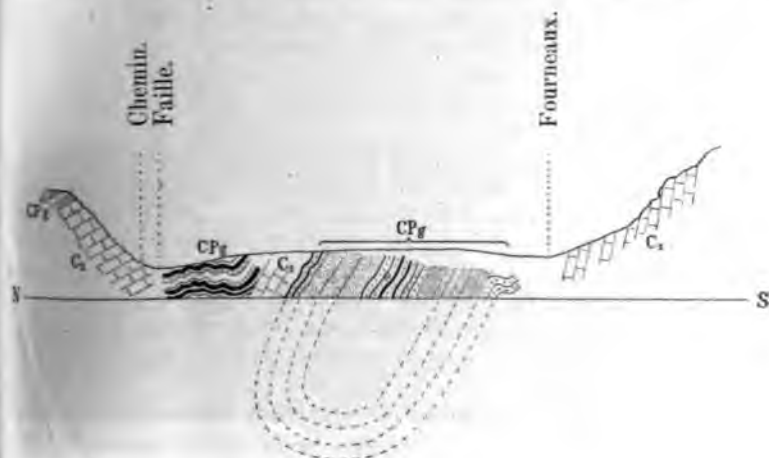


Fig. 9

carbonifère dont les couches presque verticales sont identiques avec le calcaire au sud de la vallée latérale près du rivage oriental du lac. La figure schématique (fig. 9) montre la disposition des couches

d'Artinsk de l'isthme entre les calcaires carbonifères déchirés par une grande faille.

La vallée transversale qui vient descendre de l'est vers le lac (fig. 7), en séparant les deux assises de calcaires mentionnées plus haut, correspond aux dépôts d'Artinsk de l'isthme au rivage oriental de l'étang.

Si l'on suit la Sim vers l'amont, on peut voir une coupe des calcaires carbonifères, identique avec celle du bord occidental du lac. Le caractère des roches pittoresques qui font la bordure de l'étang, est très bien représenté sur la fig. 10.

Non loin du confluent de la Kouriak avec la Sim on peut voir des affleurements d'un calcaire aggloméré gris clair, identique avec les calcaires dévonien supérieurs qu'on a déjà vus sur le parcours entre Miniar et la station de Simsk.

Pour terminer la description des environs de l'usine de Simsk, nous ferons remarquer que cette partie de la vallée du Sim présente un des exemples les plus instructifs d'une vallée d'érosion.

Retour le soir à la station Simsk.

3-me jour.

A partir de la station Simsk la ligne du chemin de fer suit la vallée de l'Eralka. Cette rivière coule entre des dépôts d'Artinsk du même type que ceux dont nous avons déjà pris connaissance. D'abord on voit des deux côtés de la ligne de belles forêts de pins, mais bientôt elles font place à des champs et des prairies ondulés. Le paysage garde cet aspect jusqu'à la descente dans la vallée de la rivière Berdiach. Là, à 5 verstes du village bachkir Yakhia, situé non loin de la frontière du canton minier de Simsk, nous rencontrons de nouveau les calcaires carbonifères. Les meilleures coupes de ces calcaires commencent au village Yakhia. De là les excursionnistes se rendront à pied à la station Oust-Kataw.

Au village Yakhia on aperçoit dans de bonnes coupes le calcaire compact gris foncé C_2 , légèrement incliné vers SW 250° et contenant en abondance *Productus semireticulatus* Mart., *Prod. longispinus* Sow., *Prod. corrugatus* McCoy, *Orthothetes crenistria* Phill., *Athyris ambigua* Sow., *Reticularia lineata* Mart. etc. En aval du village Yakhia ce calcaire est superposé à un calcaire gris foncé à grosses *Euomphalidae* et nombreux *Productus giganteus* Mart. bien conservés. La première tranchée au-delà du village Yakhia offre la meilleure coupe de ces calcaires.

Après avoir franchi le pont, la voie ferrée entre dans une autre tranchée profonde, au haut de laquelle les calcaires, agglomérés par places, présentent une nuance plus foncée, tandis que vers le bas ils sont d'un gris clair. Les deux abondent en coquilles de *Productus striatus* Fisch. Les couches sont inclinées vers W et plongent sous le calcaire précédent à *Productus giganteus* Mart.

La tranchée suivante met à nu un calcaire gris dolomisé D_3 à



Fig. 10. Calcaires carbonifères au bord du lac de Simsk.

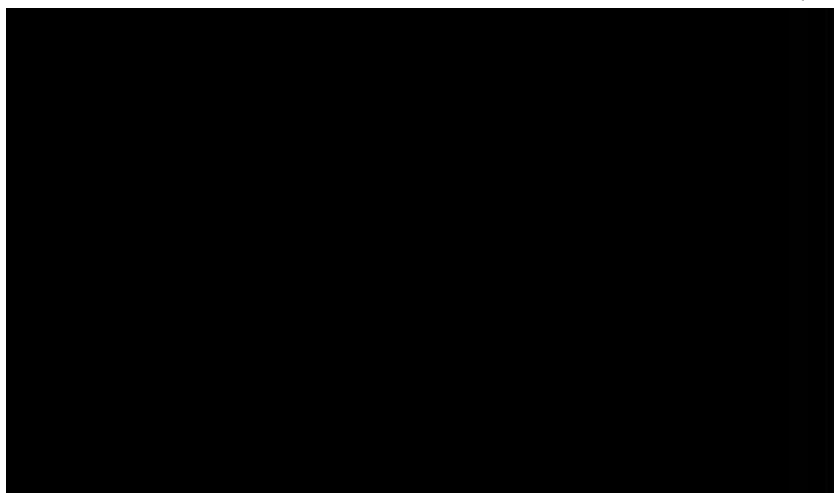
Spirifer Whitneyi Hall., couché sur le calcaire gris foncé compact et aggloméré D_2^3 à *Spirifer Anossofi* Vern.

Ces derniers calcaires se montrent sur tout le parcours suivant du Berdiach qui, faisant un coude aigu, ne coupe que l'assise D_2^b . Des roches pittoresques, dont les couches manifestent le même plongement vers l'ouest, accompagnent le cours de la rivière jusqu'à sa jonction avec la Yourézan. La vallée de la Yourézan, qui offre à l'amont de l'embouchure du Berdiach un bel exemple de vallée d'érosion, est bornée d'une part et d'autre de murailles presque continues de calcaires *Spirifer Anossofi* se continuant jusqu'à Oust-Kataw.

Les rives de la rivière près de l'usine d'Oust-Kataw sont devenues classiques pour la richesse et la variété des fossiles qu'elles renferment. Outre *Spirifer Anossofi* Vern. qui s'y trouve en masse et en bonne conservation, les formes les plus habituelles des calcaires d'Oust-Kataw sont: *Bellerophon tuberculatus* Fer. et d'Orb., *Platyschisma uchtensis* Keyserl., *Platyschisma kirchholmiensis* Keyserl., *Spirifer canaliferus* Valenc., *Spirifer elegans* Stein., *Spir. subcompressatus* Tschern., *Atrypa alinensis* Vern., *Atrypa reticularis* Linn., *Atrypa desquamata* Sow., *Atrypa aspera* Schloth., *Rhynchonella livonica* Buch., *Camarophoria megistana* Le Hon, *Pentamerus galeatus* Dalm., *Schizophoria striatula* Schloth., *Productella Hallana* Walcott, *Lingula subparallela* Sandb., *Cyathophyllum caespitosum var. brevisseptata* Frech, *Alveolites suborbicularis* Lam. etc.

De l'autre côté de la rivière on voit à nu des grès argileux d'aléou et des schistes argileux d'un gris verdâtre ou bruns, plongeant sous les calcaires précédents. Ces schistes et grès D_2^1 constituent la montagne Chikhan près de l'usine d'Oust-Kataw et les montagnes Kikdenaïa et Vichnovaïa au sud.

Après l'examen des coupes d'Oust-Kataw les excursionnistes reviendront à la station et y passeront la nuit.



station Wiazowaïa les ex-
ces quittent le chemin de
continue jusqu'à la sta-
la par un terrain exclusi-
posé des calcaires gris
et D_3 , desquels on a suf-
pris connaissance. Les géo-
irront aller en voitures,
ge Perwoukhina, à la mine
Le chemin, peu fréquenté
essant, traverse une con-
euse et franchit les arê-
a et Chouida qui offrent
ion nette des assises dé-
inférieures et moyennes,
par une série de failles
s. La tectonique de la
re la station Wiazowaïa
ge Perwoukhina est repré-
la coupe (fig. 11) et n'e-
d'explication.

ir du village Perwoukhina
détourne vers le nord-est
rser une large cuvette,
l'ouest par l'arête Chou-
chissant une série d'élé-
olées, séparées les unes
par des vallées transver-
lesquelles des ruisseaux
joindre la rivière Bou-

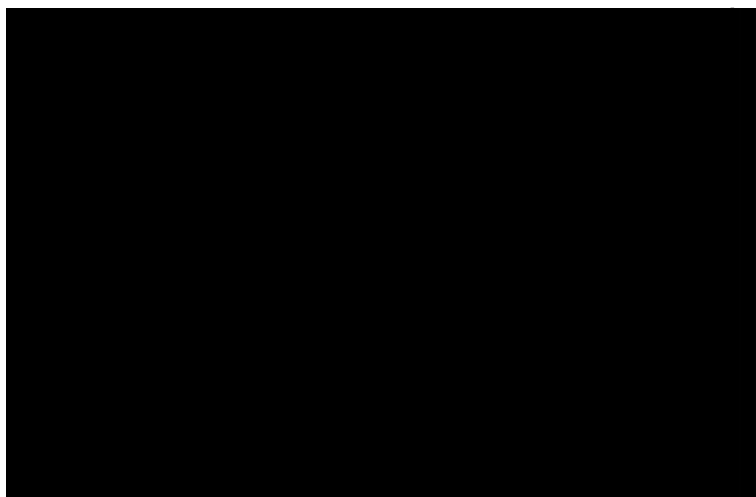
tir du village Perwoukhi-
in entre aussitôt dans la
déposés du dévonien infé-
et schistes traversés par
s) et, se continuant sur
ental du Chouida, suit à
même direction que les
niens inférieurs qui con-
crète. Au village Roud-
ouvre une vue magni-
s alentours: à gauche se
s rochers de l'arête Chou-
f déchiqueté; à gauche se
montagne Irkouskan à
non moins capricieuse:
étale la vallée de la

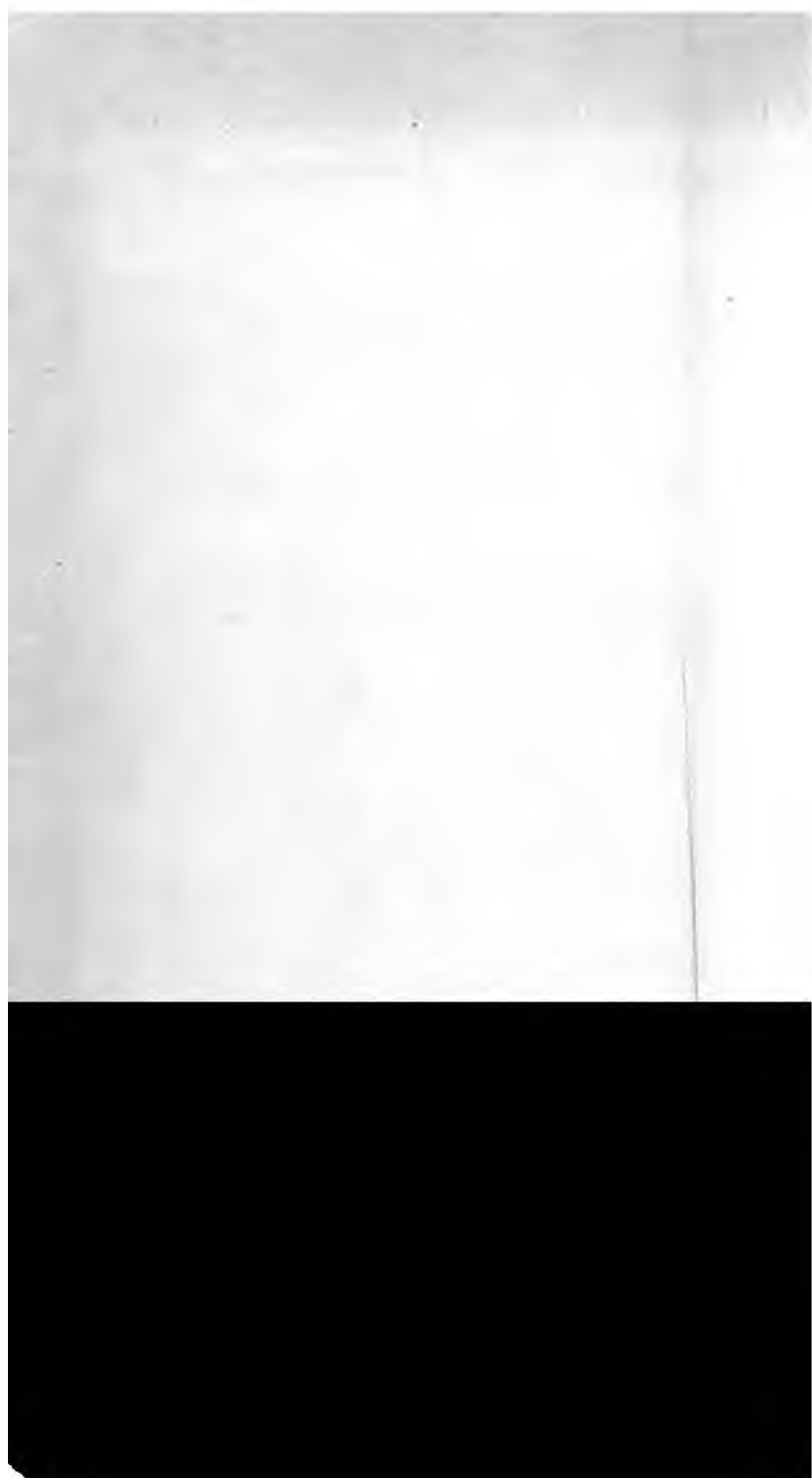
Fig. 11.



Boulanka, fermée au nord par la montagne Boulantikha qu'on trouve comme une partie arrachée du Chouida. Ces trois lieux sont du plus haut intérêt pratique à cause de leur richesse en excellent minerai de fer desservant les cantons miniers de Kataw, de Yourézan et de Satkinsk. Les mines s'exploitent depuis un siècle et demi, mais jusqu'ici les travaux se font uniquement à ciel ouvert. Bien des années s'écouleront encore avant qu'on d'entamer des travaux souterrains. Les plus de 100.000 tonnes de minerai, fournies annuellement par les mines de Bakal, se fondent à de Simsk et de Nikolaïewsk (appartenant à Mrs. Balachew), à Iwanowsk et de Yourézan (appartenant au prince Biélosselsky), de Satkinsk (propriété de la Couronne). L'exploitation des mines de Bakalsk, insignifiante comparativement à leur richesse, s'explique en ce que tous les travaux métallurgiques dans la région minière est divisée en différentes parts appartenant à Balachew, au prince Biélosselsky-Biélosersky et à la Couronne. On n'est que dans les principaux centres d'exploitation de chaque propriétaire que l'on trouve des bâtiments assez vastes pour la nuit. Une de ces maisons est située sur le versant occidental de Boulantikha; elle appartient à la Couronne. La seconde, sur le versant occidental de l'Irkouskan, appartient à Mrs Balachew. La troisième est placée sur le versant oriental de l'Irkouskan, près de Okhriono-Iwanovsk, dont le prince Biélosselsky-Biélosersky est propriétaire. C'est dans ces trois maisons qu'on se propose les excursions pour la nuit.

5-me jour.





oncellements de grès d'un blanc de neige et de quartzites qui descendent dans les vallées latérales, offrent un aspect très original; de ces trainées de pierres ressemblent à de vrais cours d'eau, tant le caractère de leurs sinuosités rappelle les véritables torrents.

Ces chaînes qui entourent les mines de Bakal offrent à peu près la même succession des couches du dévonien inférieur $D_1 g$, c'est-à-dire haut en bas:

- a) Quartzites et grès constituant les crêtes.
- b) Schistes diversement colorés (gris clair, gris jaunâtre, verdâtre et rougeâtre) renferment des assises subordonnées de calcaires gris dolomisés, souvent d'une puissance considérable.
- c) Schistes quartziteux, schistes sériciteux, dolomies noires et grises et schistes argileux, formant le lit de la série métallifère des gisements de Bakal.

Ces roches sont traversées de diabases sous forme de dykes et massifs, ou s'étalant en nappes au milieu des roches schisteuses. Les diabases sont le plus souvent altérés sous l'influence de phénomènes hydrochimiques ou dynamo-métamorphiques.

Les masses minérales (fer oligiste, fer spathique) sont exclusivement concentrées dans les limites de l'horizon b où les gîtes minéraux, sous forme de strates, atteignent parfois une puissance de 40 mt. et en outre; quelquefois d'ailleurs le minerai se présente en nids.

Il suffit d'un coup d'oeil rapide sur ces gisements pour se convaincre de la liaison intime qui existe entre les gîtes minéraux et les calcaires dolomitiques et suivre pas sur pas la transition des calcaires en fer spathique et du fer spathique en fer oligiste. Au début de l'exploitation des mines de Bakal on n'en retirait que du fer oligiste qu'on trouvait à une faible profondeur sous la surface du sol; depuis, à mesure que les travaux avançaient dans les profondeurs, on y rencontrait le fer spathique avec passage au calcaire dolomitique.

La carte jointe (fig. 12) et la coupe transversale de l'Irkouskan et du Boulandikha (fig. 13) pourront servir d'illustration à la distribution des dépôts dévoniens inférieurs et à leur tectonique dans le rayon minier. Le profil joint fig. 13 fait clairement voir que l'Irkouskan et le Boulandikha présentent dans leur vue d'ensemble deux plis anticlinaux, déchirés par une série de failles allant le long des chaînes. Grâce à cette constitution, les mêmes masses minérales se retrouvent en lambeaux sur plusieurs points, ce qui complique considérablement l'exploitation. La rivière Boulanka coule dans une vallée synclinale, formée par le versant oriental du Boulandikha et le flanc occidental de l'Irkouskan.

Le rapprochement de toutes les données concernant la structure du Boulandikha et de l'arête Chouida, dans le versant de laquelle sont disposées les mines Ouspenskié, fait croire que la portion nord de l'arête Chouida était originairement une partie du Boulandikha, arrachée et poussée dans la suite vers l'ouest.

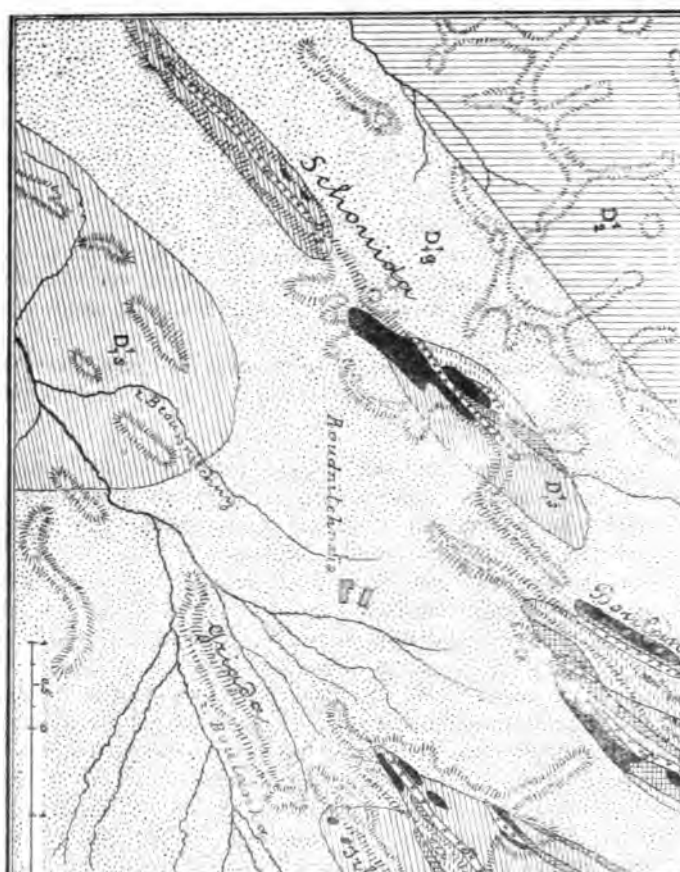


Fig. 12. Carte géologique des environs des mines de Bakalsk.

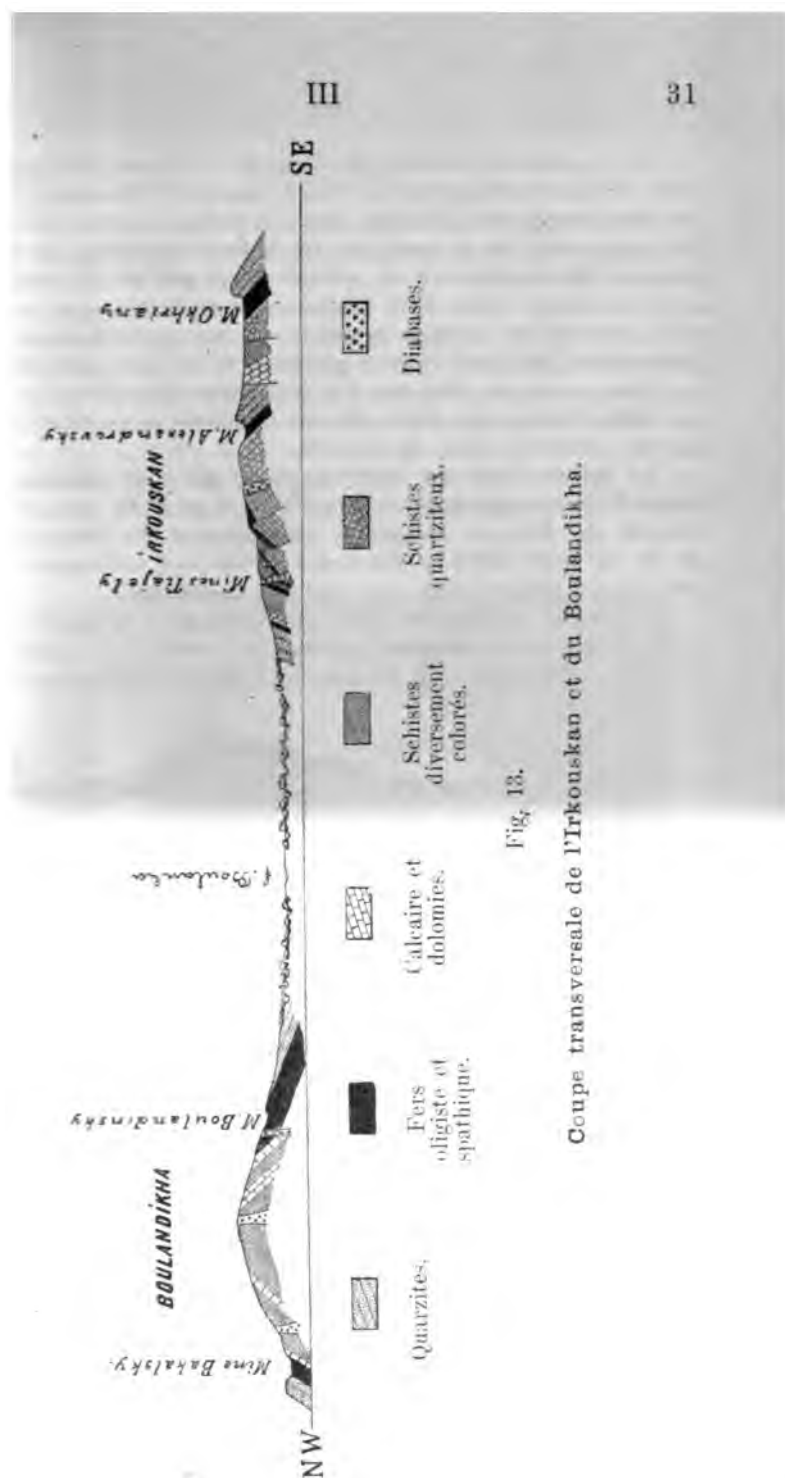


Fig. 13.

Coupe transversale de l'Irkouskan et du Boulandikha.

On commencera l'examen des mines par la mine Okhriany (propriété des mines de Kataw, sur le versant oriental de l'Irkouskan). Ensuite on visitera la mine Alexandrovsky, située sur le même versant vers l'ouest. De l'autre côté de la montagne, sur le flanc occidental, se trouvent les mines de M-rs Balachew, connues sous le nom de Tiajolya. Après avoir traversé la vallée de la Boulanka, les géologues examineront la mine Boulandinsky (mêmes propriétaires), sur le versant oriental du Boulandikha. La mine Bakalsky (propriété de la Couronne), située sur le versant occidental, offre une très belle coupe géologique.

Après l'examen des mines, les excursionnistes se rendront le même jour en voitures à l'usine de Satkinsk.

Le chemin, beaucoup mieux entretenu que celui qui mène de la station Wiazowaja aux mines, mais uniforme au point de vue géologique, traverse sur tout son parcours le développement de l'étage inférieur D_1^2 du dévonien moyen et des roches dévoniennes inférieures, traversées par des diabases dont on a déjà pris connaissance.

Les bords de l'étang de l'usine de Satkinsk, constitués par des calcaires dolomitisés finement stratifiés D_1^2 , offrent de belles coupes de filons et de nappes de diabases injectées dans les calcaires. Une



Fig. 14. A — calcaires et dolomies, δ — diabases.

coupe classique dans le village même de l'usine fait nettement voir le caractère de la disposition des filons de diabase et les diverses modifications que le contact des roches éruptives a exercées sur les roches sédimentaires. La figure 14 représente le schéma de l'affleurement.

6-me jour.

Entre la station Souléïa et Zlatooust la voie ferrée longe d'abord, dans la direction nord-est, le versant occidental de l'arête Souléïa, en traversant un développement de l'étage D_2^1 et des dépôts dévoniens inférieurs D_1^1g . Avant d'arriver à la rivière Bolchafa-Satka la voie tourne brusquement vers l'est, perpendiculairement à la direction des chaînes isolées. A l'aval du confluent de la Berdiaouch avec la Bolchafa-Satka, on peut voir dans les deux rives de la Berdiaouch, près du pont du chemin de fer, un affleurement de marnes de couleur brune rougeâtre D_2^1 , injectées de filons de diabase. A partir de l'embouchure de la Berdiaouch la voie se poursuit vers l'est dans la vallée de cette rivière. Sur le parcours jusqu'à la station Berdiaouch on voit plusieurs fois reparaître les calcaires D_2^1 . Non loin de cette station se trouve



Fig. 15. *a* — granites porphyroïdes (rappakiwi); *b* — calcaires et dolomies.

une coupe, partie artificielle, partie naturelle, qui permet de voir entre des dolomies D_2^1 de puissants filons de granite porphyroïde à gros grain, ressemblant beaucoup au rappakiwi finlandais. Les gros cristaux d'orthose, souvent des macles de Karlsbad, ont une bordure également d'orthose et atteignent 1,5 cm. de diamètre. Lors de la construction du chemin de fer on pouvait très bien observer le rapport entre les dolomies dévoniennes et les rappakiwi dans une des tranchées, où l'on voyait d'une manière très distincte l'alternance de ces roches représentée sur la figure 15.

Entre les stations Berdiaouch et Toundouch la voie traverse un terrain constitué uniquement par des calcaires dévoniens et des dolomies D_2^1 (fig. 16). Ces dernières manifestent assez souvent une structure à lames

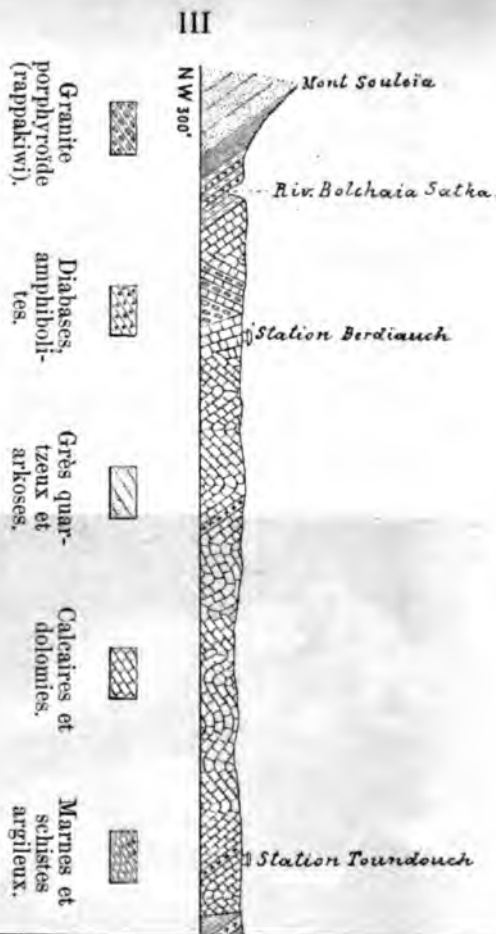
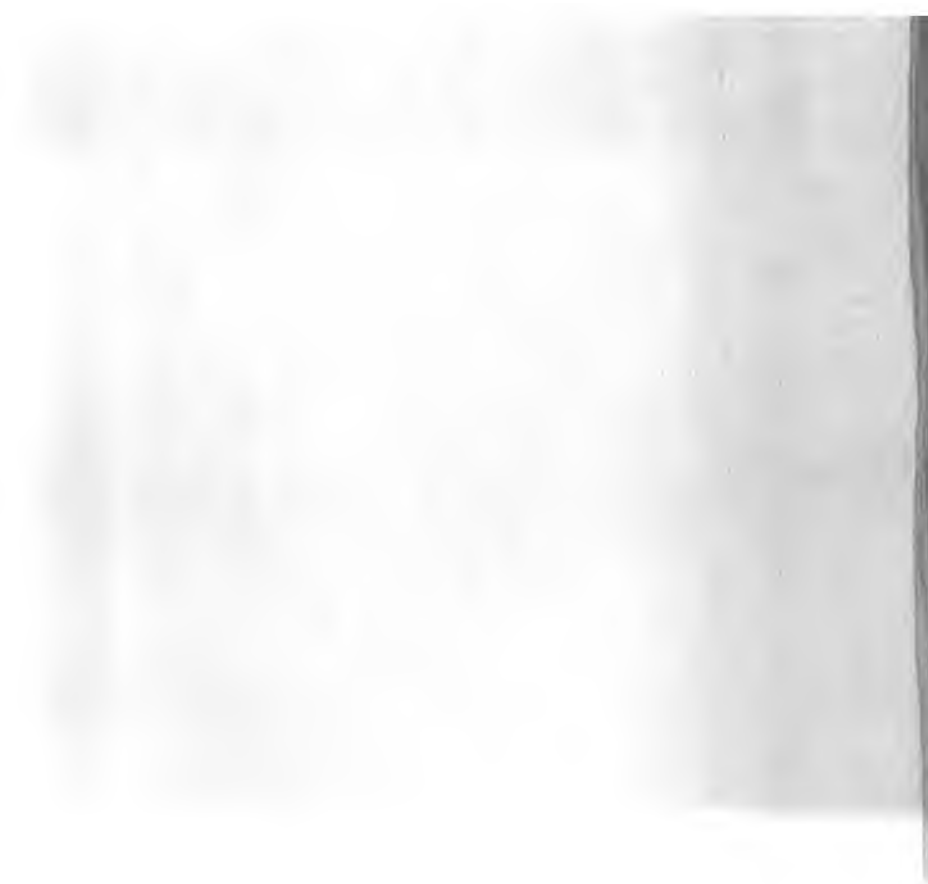


Fig. 16.

Coupe transversale le long du chemin





Pl. F.

MALY TAGANAI

DURAL TAQU





dies analogue à celle que nous avons vue entre la station Acha et de Simsk. Par endroits les calcaires renferment des assises subordonnées de schiste chloriteux et des nappes de diabases. On en voit un peu tout près de la station Toundouch. Au village Medwédiowa comme une coupe très complexe, composée de calcaires, schistes et grès argileux et sériciteux, micaschistes, diabases, amphibolites et gneiss, le tout refoulé en plis aux ailes fort inclinées et déchirés par des failles (fig. 16). À l'ouest du village Medwédiowa les schistes et grès argileux et sériciteux dévonien inférieur, ainsi que les diabases subordonnées, sont brusquement remplacés vers l'est par les calcaires D_2^2 , injectés de filons de diabase dans les basses couches. Dans la direction de l'est, les tranchées de la voie ferrée permettent d'observer une série de plis des schistes dévoniennes moyennes et inférieures, les dernières offrant un caractère pétrographique essentiellement différent: les calcaires y prennent l'aspect d'un marbre cristallin; l'assise schisteuse y consiste en sa grande partie en schistes micacés et chloriteux, intercalés d'amphibolites et de gneiss parfois riches en grenats. L'étude comparative des coupes montre que ces amphibolites et gneiss sont des roches massives comprimées (dynamo-métamorphosées), diabase et granite (granite). Les coupes les plus nettes et les plus intéressantes sont fournies par la tranchée de la 283-me verste (à partir d'Oufa) en amont de la rivière Goubenka, et par celle de la 289-me verste, creusée dans une excavation dite Cap Mychliaïevsky. L'une et l'autre font distinctement voir les rapports mutuels des fréquentes alternances de micaschistes, amphibolites et de gneiss. Une troisième tranchée, semblable aux précédentes, se trouve sur la 294-me verste, non loin de la station Zlatoust.

Les relations mutuelles des roches massives, tant cristallines que schisteuses et comprimées, et des quartzites d'Ourenga et de Kossotour se découvrent d'une manière parfaite dans les coupes près de la ville de Zlatoust, où les excursionnistes se rendront après leur arrivée à cette station.

La ville de Zlatoust est située dans la vallée pittoresque de la rivière Aï qui suit, vers l'amont de la ville, la même direction NNE que l'Ourenga. Dans la ville même, au point où l'Ourenga fait un brusque coude vers le nord-ouest, une immense digue retient les eaux de l'étang de l'usine de Zlatoust. Une gorge pittoresque, bornée au nord par l'arête Kossotour, au sud par l'Ourenga, débouche immédiatement dans la digue. Le caractère des alentours de Zlatoust est très bien rendu par les deux vues ci-jointes (voir pl. E, F), dont l'une a été prise à l'ouest, l'autre au sommet de l'Ourenga.

L'étude des coupes du Kossotour et de l'Ourenga montre qu'au point de vue géologique ces deux arêtes font un tout et que les mêmes roches sont disposées en parfaite symétrie des deux côtés de la vallée de l'Aï. La figure 17 représente la coupe de l'Ourenga à partir de la chapelle vers E. Sur la coupe on peut voir: a —des micaschistes et grosses inclusions de grenat (almandine) plongeant sous un angle

de 60° vers SE 120° et sous l'amphibolite—*b*—plus ou r
L'étude de ces amphibolites, faite sur un grand nombre
ces, prouve d'une manière indiscutable que ces roches
massives (diabases), modifiées par des effets dynamique
nent, dans l'ordre ascendant: *a*₁ — micaschistes à petits gr

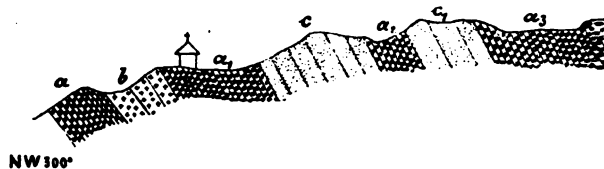


Fig. 17. Coupe schématique de l'Ourengé

zites micacés contenant des grenats, *a*₂ — micaschistes à
quartzites gris compacts, *a*₃ — micaschistes grenatiformes
du quartzite.

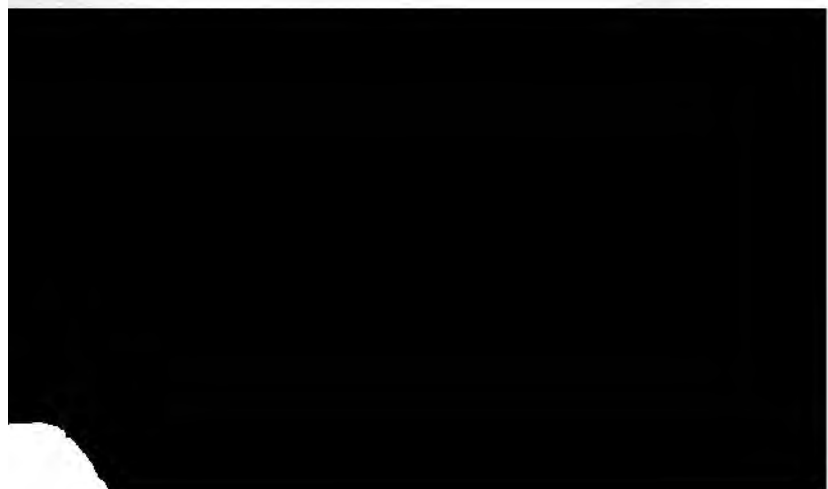
La coupe schématique du Kossotour, fig. 18, montre
supérieure les mêmes roches *a*, *b* *a*. En dessous
diabase avec indices nets de texture cataclastique; *a*
consistant en biotite, muscovite, quartz et épidote, ave
sions de grenat; *β*₂ — roche massive (diabase) forteme
fermant en abondance des produits secondaires (biotite,



Pl. G.

Maly-Taganai.





ée, séparée de l'extrémité nord du Kossotour par la vallée de la rivière chaïa-Tessma, s'appelle Bolchoï-Taganaï. A l'est de cette dernière on trouve le Srédny-Taganaï (Taganaï moyen) et encore plus loin vers l'est — le Maly-Taganaï (Petit Taganaï). Un haut plateau joint ce dernier à l'Oural ou Oural-taou. Le même plateau s'étend entre le Maly-Taganaï, le Srédny-Taganaï et le Bolchoï-Taganaï et c'est de là que vient le partage des eaux: la rivière Kioulim qui traverse l'Oural et fait partie du système des rivières sibériennes, en descendant vers le nord; la rivière Tessma, affluent de l'Aï, y prend son cours vers le sud.

La coupe passant transversalement par les trois Taganaï et l'arête de l'Oural (fig. 19) montre que toutes ces montagnes sont de constitution identique, offrant la même succession des couches, si l'on se dirige de leurs arêtes vers l'est. La crête de ces arêtes, souvent d'un profil capricieux, consiste en quartzites blancs, divisés en séparation

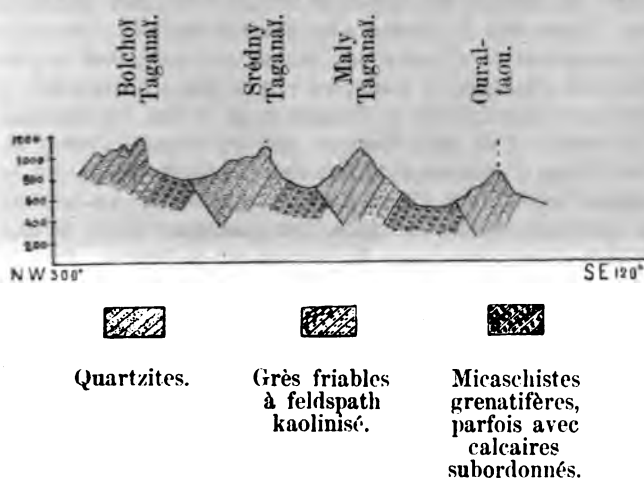


Fig. 19.


verticale dans plusieurs directions et plongeant dans toutes les arêtes mentionnées vers NW 300° sous un angle de 65 à 75°. Du côté oriental les arêtes s'abaissent en muraille presque verticale, permettant de voir à leur pied des grès quartzeux blancs et friables qui contiennent des grains d'un feldspath kaolinisé. Ces grès reposent sur une puissante assise des roches grenatiformes dont nous avons déjà pris connaissance dans les coupes du Kossotour et de l'Ourenga près de Zlatoust. À certains points on remarque, intercalées entre les roches métamorphiques, des assises subordonnées de calcaires, le plus souvent dolomitiques. De cette manière l'étude détaillée de notre coupe démontre que les Taganaï offrent une même succession de roches déchirées par une série de failles. Il est également hors de doute que les quartzites Taganaï correspondent complètement aux quartzites et grès du dévien inférieur que nous avons déjà rencontrés sur notre route aux

mines de Bakal et dans leurs alentours. Il en résulte indubitablement que les roches métamorphiques qui supportent les quartzites des Taganaï sont les mêmes roches élastiques modifiées du dévonien inférieur, développées dans les parties plus occidentales de l'Oural.

Le chemin qui conduit de Zlatooust au Grand Taganaï suit la droite de la Tessma et, quoique peu commode, il peut être parcouru par de légers équipages. Le trajet comparativement difficile commence après la traversée de la Tessma (à une dizaine de verstes de Zlatooust) où le chemin commence à s'élever sur l'extrémité sud du Bolchoï-Taganaï jusqu'au point appelé Niémetskoïé Stanowichtché. De là il faut aller à pied par un sentier longeant tout le temps le flanc oriental de la montagne et traversant une série d'éboulis qui descendent comme de gigantesques torrents de pierres dans la vallée longitudinale entre le Bolchoï et le Srédny-Taganaï.

Après un parcours de 5 verstes on atteint le sommet pittoresque du Taganaï, connu sous la dénomination de crête Otkliknoï (voir pl. H). Du haut de ce sommet on a devant soi, par un ciel clair, tout le panorama de l'Oural de Zlatooust. A l'ouest on voit les monts Nasiamskia et plus loin les monts Cherlinskaïa et Fofanskaïa et, à l'est, les contours tranchés du Srédny et du Maly-Taganaï, derrière lesquels s'étend la large bande de l'Oural (l'Oural-taou) avec sa cime la plus élevée, l'Issyl, et avec les sommets Ouralskaïa et Alexandrovskaa plus au sud. Au-delà de l'Oural on voit distinctement la chaîne des montagnes Ilmen et une série de ces lacs si caractéristiques du versant est de l'Oural. En l'absence de brouillard on aperçoit du Grand-Taganaï le mont Yourma qui, depuis Humboldt, était erronément considéré comme nœud d'où l'Oural se diverge en trois embranchements. En réalité le Yourma est situé à l'ouest de l'Oural Central ou Oural-taou, et n'est qu'une chaîne comme le Taganaï, l'Ourenga, le Nourgouch etc.

Au pied même de la Crête Otkliknoï on peut voir des affleurements de diabases





III. Guide des excursions du VII Congrès Géolog. Internat.





Yonest.



Depuis Medwédiowa à l'usine de Koussinsk, se présentera sous un aspect tout nouveau. Vers le nord de Medwédiowa le chemin traverse d'abord une allée longitudinale dite Steppe de Tchouwach, qui sépare la montagne Lipowala de la montagne Tchouwachskaia. Malgré l'absence de coupes nettes, les affleurements dans les rives de l'Al, de l'Artuch et d'autres petits cours d'eau traversant la Steppe de Tchouwach, permettent de constater que celle-ci est constituée par les mêmes calcaires qu'on a déjà vus sur le parcours de la station Toundouch au village Medwédiowa.

Après avoir traversé la Steppe de Tchouwach, le chemin s'élève sur la montagne Lipowala composée d'arkoses du dévonien inférieur qui, commençant à paraître presque au pied oriental de la montagne, s'étendent jusqu'au versant occidental.

Près de l'usine de Koussinsk il y a affleurement de calcaires dolomitisés plongeant vers SE et constituant la montagne Silitour. On les voit très bien dans les rives de la rivière Al et de son affluent, la Koussa. Tout près de l'usine, sur le chemin de Medwédiowa, une très belle coupe permet d'observer une alternance de calcaires dolomitisés et de nappes de diabase concordant avec la stratification des calcaires. Cet affleurement est intéressant en ce que l'on peut suivre, dans la structure de la diabase, le passage graduel de la pâte, parfaitement vitreuse au contact avec les calcaires, à la porphyrite et à la diabase aphanitique et même à la diabase normale nettement granulée. La roche sédimentaire présente au contact une texture compacte à cassure conchoïdale; la forte teneur en chlorite lui donne une couleur verte; parfois aussi elle devient grossièrement schisteuse, susceptible de se cliver transversalement.

Entre les calcaires se montrent des assises intermédiaires de schistes argileux verts ou rouge de brique.

Les alentours de l'usine de Koussinsk sont encore intéressants par la présence de belles coupes de calcaires à lames rebondies dont nous avons parlé dans la caractéristique générale des dépôts dévoniens de l'Oural du sud (pp. 9—10). Dans les coupes transversales les lames sont le plus souvent disposées en cones, tandis que la disposition cylindrique y est assez rare.

Quant à l'âge de ces calcaires, les matériaux paléontologiques, recueillis jusqu'ici le long de la rivière Al, n'admettent pas de doute que les calcaires appartiennent au dévonien moyen (horizons D_2b à *Spirifer Anosofi* et D_2a à *Pentamerus baschkiricus*). Un point classique pour l'abondance en fossiles, appelé „Batyrsky Myss“ est situé à 10 verstes vers l'ouest de l'usine de Koussinsk. A côté de *Spirifer Anosofi* Vern. on y trouve surtout *Dechenella Romanovskyi* Tchern., *Spirorbis omphalodes* Goldf., *Bellerophon tuberculatus* Fer. & d'Orb., *Platyschisma uchtensis* Keys., *Macrocheilus subcostatus* Schloth., *Lucina proavia* Goldf., *Lucina antiqua* Goldf., *Stringocephalus Burtni* Defr., *Spirifer pseudopachyrinchus* Tchern., *Atrypa reticularis* Linn., *Atr. desquamata* Sow., *Atr. aspera* Schloth., *Rhynchonella*

procuboides Kayser, *Rhynch. primipilaris* Buch, *Pentamerus galeatus* Dalm.

Pour la nuit les excursionnistes seront de retour à Zlatooust.

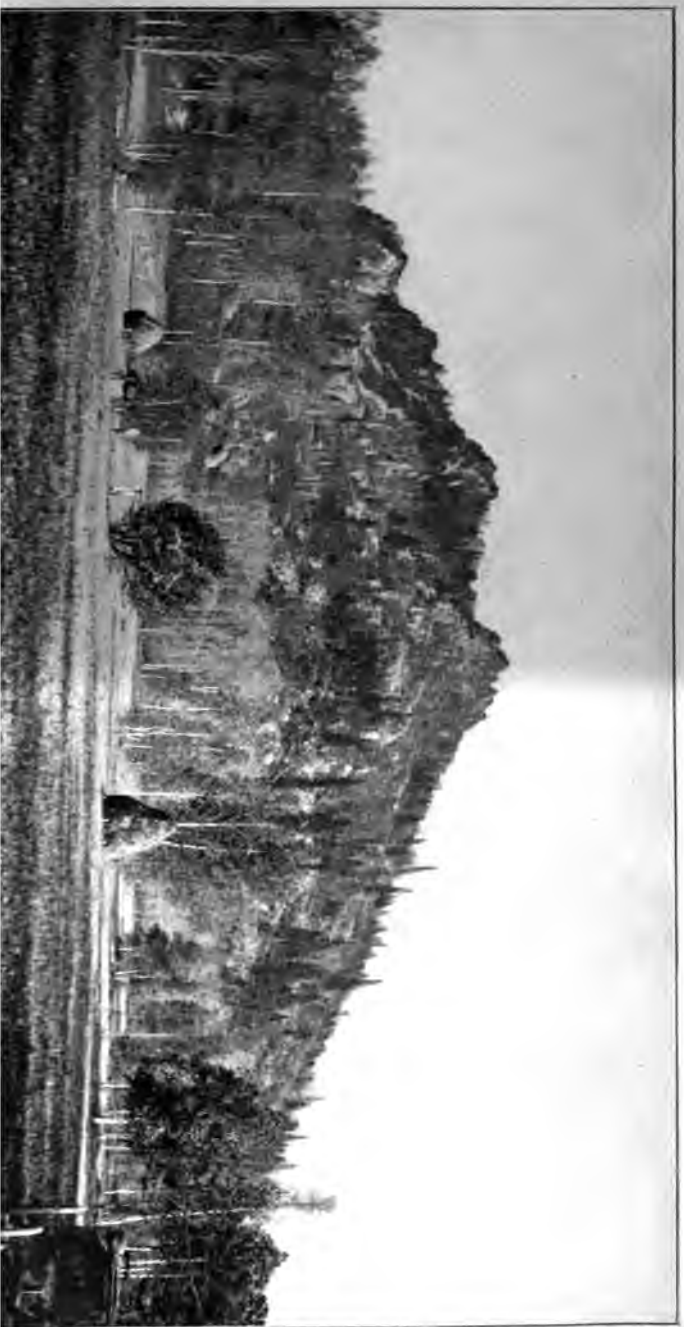
9-me jour.

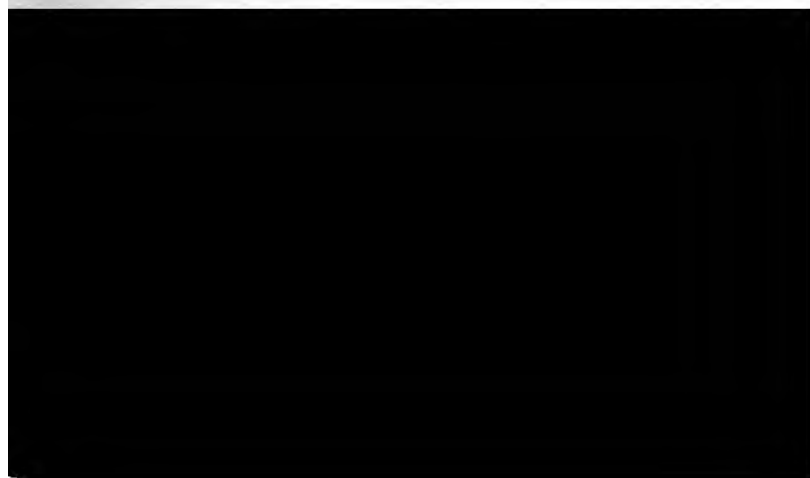
De Zlatooust au faite de l'Oural.

Après avoir traversé la rivière Tessma, la voie ferrée tourne au sud et suit, sur le parcours de 5 verstes, une direction parallèle à la grande route postale de Miass. Une série de mines de fer, la plupart abandonnées, est disposée des deux côtés de la route et plus loin vers le sud. Le minerai de ces mines est enfermé entre des calcaires dolomisés et des roches métamorphiques (micaschistes et quartzites), les calcaires constituant le toit des gisements stratifiés de fer oligiste. Les roches qui accompagnent le minerai sont fortement disloquées, parfois verticales, mais leur direction se maintient partout près de NE 30°. Batrologiquement les calcaires dolomisés correspondent aux calcaires *D₁c* du cours supérieur de la Biélaïa et des mines de Bakal.

Vers l'est du chemin de fer les micaschistes sont traversés par des granites, décrits par I. Mouchkétow. Ces granites présentent une masse à grain moyen, composée d'orthose d'un rose pâle, de quartz d'un gris mat et de mica d'un blanc argenté. L'académicien Kupfer y a observé des inclusions de cristaux de grenat, de béryl verdâtre et de tourmaline bleue.

En commençant à gravir la pente de l'Oural, le chemin de fer fait deux grands zigzags vers le nord-est et le sud-ouest; sur ce parcours il traverse en plus grande partie un développement de roches à grenat, analogue à celui que nous avons vu près de Zlatooust dans les coupes du Kossotour et de l'Ourenga. A une distance de trois verstes de la station Ourjounka qui est construite presque sur le faite même





IV
DIE MINERALGRUBEN
bei
KUSSA UND MIASS¹⁾
VON
A. ARZRUNI.

Die Mineralgruben des südlichen Urals, oder genauer des Berg-
bezirks von Zlatoust lassen sich sowohl räumlich, als auch ihrer

¹⁾ Bei Abfassung des nachstehenden Ueberblicks wurde nicht nur möglichst ergiebig die recht umfassende Litteratur benutzt, sondern auch eigene, wenn auch flüchtige Beobachtungen an Ort und Stelle im Jahre 1886 und in verschiedenen Sammlungen verwerthet, von denen genannt werden mögen: die des Kais. Berginstituts, der Kais. Universität, die Privatsammlungen der Herren S. N. Kulibin, Norpe und Sokolowsky zu St. Petersburg, die des Mineralogischen Museums der Kgl. Universität zu Berlin, ferner selbstgesammeltes und in der Sammlung des Mineralogischen Instituts der Kgl. Technischen Hochschule zu Aachen niedergelegtes Material. Manche Angabe beruht auf freundlichen Privatmittheilungen der Herren Kulibin, Lösch, Norpe u. A.

Zum Verständniss wiederkehrender russischer Ausdrücke sei erwähnt: Gorá (*fem.*) = Berg; Kop' (*fem.*) = Grube, eigentlich Steinbruch, Bergbau vom Zeitwort kopat' = graben; Jáma (*fem.*) = Kaule, Ausbuchtung; Kliutsch (*mas.*) = Quelle, Bach.

Da eine einheitliche Transscription russischer Laute mit lateinischen Lettern nicht besteht, so sei über die hier gebrauchte bemerkt, dass von der Bedeutung der deutschen Lettern und ihrer Aussprache nur in folgenden Fällen abgewichen worden ist:

s = romanisch s = deutsch sz; z = franz. z = deutsch s; ž = franz. j, bezw. g vor e und i; c in einigen Personennamen = deutsch z; y ist für russisch ѣ gebraucht worden, mit Ausnahme der Namenendung auf „sky“ wo es ii oder ij entspricht. Wo es anging, wurde der Gebrauch von j vermieden und durch i ersetzt, um nicht zu einer von der im Deutschen üblichen abweichenden Aussprache zu verleiten.

Entstehung, also ihrem geologischen und mineralischen Charakter nach, in zwei grössere Gruppen theilen.

Die einen liegen westlich von der Hauptkette des Uralgebirgs im Gebiete der metamorphischen Schiefer oder an der Ostgrenze des unteren Unterdevons, und diese Lagerstätten lassen sich auffassen als Contactbildungen zwischen den devonischen Thonschiefern und den krystallinen Schiefern eingelagerten, Kalken mit massigen Gesteinen der Hornblende-Feldspathreihe (Dioriten). Die anderen, östlich von der Hauptkette gelegenen, sind gebunden an eine zu dieser parallel verlaufende Erhebung, die Ilménéberge, und an die sie zusammensetzenden massigen Gesteine der Orthoklasfamilie, und tragen, je nachdem, ob sie im Granit oder Syenit, namentlich Eläolithglimmersyenit liegen, einen verschiedenartigen Character.

Ausserhalb dieser beiden Gruppen von Minerallagerstätten stehen Vorkommnisse, wie das des Baryts in den devonischen Thonschiefern eines westlichen Ausläufers der Tschuwäschskaia Gorá oder diejenige des Cyanits, Stauroliths und Granats im Glimmerschiefer des Tagana-Berges oder des Chloritschiefers des Kossotúr. Während die zuerst erwähnte Lagerstätte mitten im Devon liegt, unterscheiden sich die letzteren schon dadurch von dem Vorkommen der Mineralgruben, da hier die Minerale gesteinsbildend, und zwar nur accessorisch auftreten und nur durch lokale Anreicherung augenfällig werden.

Die Gruben der ersten Gruppe vertheilen sich auf drei parallele Höhenzüge. Die westlicheren sind die an der Schischimskaia Gorá gelegenen. Von N nach S vorschreitend führen sie die Namen: Paraskiewie-Jewgéniewskaia Kop', Barbótowskaia Jáma und Schischimskai Kop'. Nordöstlich von dieser Erhebung erstreckt sich die Tschuwäschskaia Gorá und an deren W-Abhang liegt sowohl die soeben erwähnte Barytgrube, als auch die von M. F. Norpe entdeckte und als Redkortzew'sche bezeichnete Perowskitgrube. Endlich noch weiter nach NO und etwa in der Breite des Hüttenwerkes Kussa im Norden an

umskaia Gorá ist theils Talk-, theils Chloritschiefer, durchbrochen dyedrisch abgesondertem Diorit. Zahlreiche Minerale treten in beiden auf, wobei die Contactzone aus derbem weissem oder am Granat, grünem oder braunem Vesuvian und körnigem Epidiosit) besteht. Hier und da tritt als eigenthümliches Gestein menge von grünrauem Chlorit und weissem Granat auf. Jede ruben hat ihre charakteristischen Minerale und Associationen.

Die Paraskówie-Jewgéniewskaia Grube wurde von dem ingenieur W. I. Redikórtzew im Jahre 1868 am SW-Abhang schimskaia Gorá erschlossen und nach der Gemahlin des Bergmanns des Uralgebirges, Paraskówia Jewgéniewna Iwanówa be-

Die Kenntniss der Minerale dieser Grube verdanken wir in Linie dem Professor P. W. Jereméiew, welcher 1869 die ersten reibungen lieferte. Das herrschende Gestein ist ein graugrüner und Chloritschiefer mit Einlagerungen von Hornblende. Die ist lediglich in ihren oberen Theilen und zwar durch fünf fe aufgeschlossen, welche nach Muschkétow ungefähr in der ung NO h 1 ausgestreckt liegen. Beobachtet wurden folgende ale ¹⁾.

Amphibol, Tremolit und Hornblende, ohne Endigungen im Chloriefer.

Chlorit, in gebogenen, rosettenartig gehäuften Aggregaten blätter- und schuppiger Krystalle, auf dichtem Chlorit.

Epidot, dunkelbräunlich grüne nach (100) flache Krystalle, mit a Ende aufgewachsen auf einem derben Gemenge von Granat, vian oder Epidot, neben Titanit und Diopsid; manchmal ist der ot röthlich braun, von gewöhnlichem Habitus.

Granat, derb und in braunen Krystallen mit vorhergehendem (112), rgeordnetem (110) und einem zurücktretenden Triakisoktaeder.

Ilmenit, derb und in dicktafelförmigen Krystallen, häufig ober- dlich in rehbraunen Perowskit umgewandelt, auf derbem Magne- begleitet von hellem Klinochlor, bzw. Chlorit, kleinen oktaëdri- n Krystallen von Magnetit. Popów fand (1876) als Zusammen- ung des Ilmenits $11 FeTiO_3 + 17 MgTiO_3 + 1 MnTiO_3$. Das Um- lingsproduct hält A. Karpinsky, ebenso wie Popów, für Pe- skit und ist der Ansicht, dass auch das mit dem Namen „Leu- en“ bezeichnete Umwandlungsproduct häufig Perowskit sein dürfte. Magnetit, derb, als Unterlage fast aller anderen Minerale; in en oktaëdrischen Krystallen, als letzte Bildung, allen übrigen Mi- len aufsitzend.

Pyroxen, Diopsid, hellgrün, mit hellgrünem Titanit und grünem ot.

¹⁾ Bei der Aufzählung der Minerale wurde die alphabetische Rei- dge gewählt, wobei solche, die einer natürlichen Gruppe ange- t unter dem Gruppennamen (z. B. Amphibol, Feldspath, Glim- Pyroxen u. s. w.) aufgeführt werden.

Spinell, Chlorospinell, bläulich smaragdgrüne angeblich kupferhaltige Krystalle von der Gestalt 111, 110, mit grünlichweissem Strich auf Chloritschiefer mit allen anderen Mineralen vergesellschaftet, manchmal mit dem röthlichbraunem Epidot (oder Zoisit?) auf einer derben Talk- oder Agalmatolith- oder Leuchtenbergitähnlichen Mineral (nach Stufen in der Sammlung des Bergingenieurs Norpe).

Titanit, grünlichgelbe Krystalle, ähnlich denen des St. Gotthard.

Vesuvian, hellgrün in weissem derbem Granat eingewachsen, täuschend ähnlich den weiter unten anzuführenden von der Barbótovskaia Jáma. Sehr selten! Ebenso selten ist der sogen. *Talkapatit* ähnlich wie er in Sammlungen von der Schischfmskaia Kop' vertreten ist ¹⁾.

P. W. Jereméiew, welcher sich um die Kenntniss der Pseudomorphosen grosse Verdienste erworben hat, beobachtete neuerdings solche von Klinochlor, Vesuvian und Granat nach Epidot.

Wie vielfach am Ural beobachtet wurde, treten mehr oder weniger ausgesprochene Ansammlungen von Kupfererzen in Verbindung mit Granatfels auf. In gleicher Weise hat man an der Paraskóvskaja Jewgéniewskaia Grube Spuren davon angetroffen, was, wie Muschketóv berichtet, zur Anlage eines noch jetzt kenntlichen Kupferschachtes Anlass gegeben hat.

b) Die Schischfmskaia Grube liegt südlich von der vorigen am südlichen Abhange einer steilen Kuppe und ist bereits im Jahr 1833 durch P. N. Barbot de Marny erschlossen worden. Die beiden hier vorwiegend auftretenden Gesteine sind: ein dichter Talkschiefer und ein polyedrisch zerklüfteter und abgesonderter Diorit, theils feinkörnig bis dicht, theils soweit grobkörnig, dass die Bestandtheile Plagioklas und Hornblende deutlich wahrnehmbar sind. Der im Diorit eingesprengte Pyrit ist theilweise oder ganz in Limonit umgewandelt während das Gestein selbst z. Thl. stark epidotisirt ist. Am Contact beider Gesteine hat sich eine durch die grosse Mannigfaltigkeit ihrer

pseudomorph sein. Jereméiew beobachtete Serpentinpseudomorph nach Apatit. Die manchmal recht grossen Krystalle des Talk sind häufig gebogen, gebrochen und die Theile mit Gestein (Talk) aneinander gekittet, nicht selten sind die Krystalle sterngruppirt und von frischem Apatit begleitet.

gleit, als körniger Kalk, in späthigen Massen; nach Jereméiew pseudomorph nach Vesuvian.

Chloritgruppe: 1) Leuchtenbergit, ist zuerst auf dieser Lattete entdeckt worden; enthält oft Einschlüsse von Granat (Kornit) und Körner eines anderen nicht bestimmten Minerals in schweissen vierflächigen Säulchen, begleitet von Hydrargillit, Talk u. a., auch pseudomorph nach Epidot. 2) Klinochlor, z. Thl. pseudomorph nach Vesuvian, wobei die Umwandlung von innen beginnend nach aussen fortschreitet.

Diaspor, ähnlich dem von Jordansmühl in Schlesien, mit röthlichem Apatit und späthigem Kalk.

Epidot ist hier nur pseudomorph nach Olivin bekannt oder, unter Erhaltung seiner Form, in andere Substanzen umgewandelt (Leuchtenbergit, Speckstein u. s. w.).

Granatgruppe: 1) Kalkthongranat (Rumiantzowit), mit späthem Kalk, rosarothem Apatit und Hornblende; 2) Kalkeisengranat in kleinen schönen anatasbraunen Dodekaëdern oder grösseren Stallen von der Gestalt 112, 110, auf körnigem, derbem gelbem oder rothem Granat (Granatfels) mit Magnetit (110), Klinochlor; (auch weissem Diopsid?) Nach Iwanow kommt er auch grünschwartz vor. Hydrargillit, am häufigsten in Höhlungen von Xanthophyllit kleinen Magnetitkryställchen, in tafelförmigen Krystallen, auch pseudomorph nach Olivin.

Ilmenit, in Calcitschnüren eines untergeordneten feldspath- und ilmenhaltigen Schiefergesteins.

Magnetit, in Oktaëdern oder Dodekaëdern, mit Granat und Chloritell im Talkschiefer ein- und auch aufgewachsen.

Perowskit, mit Chlorospinell und Xanthophyllit in schwarzen Felsen.

Pyroxen, feinkörnig, dunkelgrün, von Schnüren feinkörnigen Granats durchsetzt, mit Klinochlor; auch weiss? (Diopsid).

Spinell, Chlorospinell, dunkelsmaragdgrün mit gelbem Granat dichtem Talk (Speckstein; — nach Norpe Agalmatolith, was wohl richtig).

Talk, Speckstein, dicht oder als Pseudomorphose nach Leuchtenbergit, Epidot, Olivin mit deutlich erhaltener Gestalt (001, 120, 121, 101, 100).

Titanit, braune gekrümmte Krystalle in Chloritschiefer.

Turmalin, schwarz, mit Einschlüssen von Magnetit, in Chloritschiefer (Angabe von Hermann!)

Vesuvian, dicht, hellgelb, kolophonitähnlich oder in grünen Kry-

stallen, die in ihren äusseren Schichten manchmal rothbraun sind, in körnigem Kalk.

Xanthophyllit, mit hellem Chlorit in kugeligen Aggregaten; v Magnetit einschliessend, mit einem apfelgrünen Kern, welcher nach Norpe Agalmatolith sein könnte; eher Leuchtenbergit.

Nicht verbürgt sind die Angaben über Vorkommen von Chondrit (Kokscharow), von Mesotyp (nach einem Exemplar in der Sammlung des Berginstituts zu St. Petersburg), in Gestalt nadelförmiger Krystalle in bläulichem späthigem Kalk, mit röthlichem Apatit und derbem Vesuvian, von Diopsid (nach einem Exemplar in dem Berliner Mineralogischen Museum, wahrscheinlich von der Grube Achmatowskaia), welcher mit Klinochlor auf körnigem Kalk sitzt.

Zwei kleine Gruben befinden sich in der Nähe der Schischimskaia: die eine, Titanitgrube genannt, enthält den räthselhaften Völkner (Hydrotalkit) in Serpentin mit Chromeisen und schuppigem Talk; die andere, Wtóroschischimskaia, d. h. zweite Schischimskaia, führt sehr hellgrünen Vesuvian.

c) Barbóowskaia Jáma. Diese Grube liegt auf derselben Kuppe wie die Schischimskaia, aber hoch oben und ist ebenfalls von P. Barbó de Marly und zwar auch im Jahre 1833 aufgeschlossen worden. Das Charakteristische für sie ist ein derber weisser oder röthlichweisser Granat, in welchem rundum ausgebildete schöne kleine hellgrüne säulenförmige Vesuviankrystalle eingewachsen sind. Untergeordnet tritt späthiger Kalk auf. Manchmal ist der Vesuvian in grösseren braunen Krystallen, von Klinochlor begleitet. Hermann giebt noch zu Drusen vereinigte erbsengelbe Vesuviankrystalle an, welche auf demselben derben Granat aufgewachsen sein sollen. A. grosse Seltenheit findet sich Chlorospinell von smaragd- oder pistaciengrüner Farbe. G. Rose's Angabe „Berösowaja Gorá“ kann nicht richtig sein; die von ihm herrührenden Stücke der Berliner Sammlung stammen entschieden alle von der Barbóowskaia Jáma her. Eben

allinischen Kalke liegt, welche, nach Muschkétow die Glimmerfer und Gneisse überlagern.

a) Die Barytgrube wurde im Jahre 1826 von dem damaligen vater des Hüttenwerkes Kussa, Achmátow, aufgeschlossen. Wiechiedene andere Gruben dieser Gegend, war sie zunächst zur Gewinnung von Brauneisenstein angelegt. Sie liegt etwa 5 Werst NNO dem Dorfe Medwiédewa, im W. der Tschuwáschskaia Gorá gegen Lipowaia Gorá (Lindenberg) zu, in einer zwischen beiden Bergen diesen parallel verlaufenden Bodeneinsenkung, welche den Namen Tschuwáschskaia Step' (Tschuwáschen-Steppe) führt. Die in der Literatur anzutreffenden verschiedenartigen Fundortbezeichnungen: Lipowaia Gorá, Tschuwáschskaia Gorá, Tschuwáschskaia Step', Medwiédewa Gorá, Medwiédewskii Priisk beziehen sich alle auf eine und dieselbe Stelle. Ausgeschlossen ist es freilich nicht, dass auch andere, unter gleichen geologischen Verhältnissen befindliche, Brauneisengruben ebenfalls Baryt führen mögen; ja es scheint dies sogar zuzutreffen in der 8 Werst südlich vom Dorfe Medwiédewa, am rechten Ufer des flusschens Kuwaschá gelegenen Kuwáschinskaia Brauneisengrube, in welcher, nach Jereméiew, weisser und braungelber krystallisirter Baryt auf derbem Schwerspath mit Limonit und Quarz vorkommt.

G. Rose, welcher den Baryt „vom Dorfe Medwiédewa“ beschreibt, führt sein Zusammenvorkommen mit Letten und Brauneisenerz nesterweise in Thonschiefer hervor; ebenso den ungewöhnlichen Habitus der Krystalle, ihre Streckung nach der Axe des Spaltungsprismas. Die Krystalle sind sehr flächenreich, namentlich in der Prismenzone, welche durch cylindrisch gewölbt, ihr Querschnitt aber einem Linsenquerschnitt ähnlich erscheint. Nur den Flächen dieser Zone haftet eisenhaltiger Thon an, der den Krystallen eine gelbliche Färbung verleiht, während sie sonst farblos sind. Später wurden Krystalle eines weiten, nach der Axe a gestreckten Typus von gelblich grünlischer Farbe gefunden. Die derben Massen sind bläulich und häufig von Limonit-Pseudomorphosen nach Pyritwürfeln begleitet.

Nach Muschkétow soll hier, wie Aufzeichnungen im Archiv besagen, auch Coelestin vorgekommen sein, was indessen, wie er ausdrücklich bemerkt, zweifelhaft erscheint, weil es von keiner Seite bestätigt worden ist.

b) Die Redikórtzew'sche Perowskitgrube. Diese Grube wurde von M. F. Norpe im Jahre 1878 erschlossen; er führte indessen wohl seine Absicht, eine Beschreibung des Vorkommens zu liefern, nicht aus. Die erste Beschreibung rührt von I. W. Muschkétow her, nach welchem, wie bereits erwähnt, das herrschende Gestein grobkörniger Kalk ist, in welchem feinschiefriger Chloritschiefer untergeordnete Einlagerungen bildet. Auch für die Lage dieser Grube giebt es mehrere Bezeichnungen: Norpe nennt den Berg Medwiédewa Gorá, Muschkétow — Tschuwáschskaia Gorá, ebenso Jereméiew. Mélnikow scheint die Grube bald Redikórtzew'sche (z. B. in seiner Abhandlung über die Nikoláie-Maximiliánowskaia Grube), bald Muschkétow-

sche—nach Stücken in der Sammlung des Kais. Berginstituts zu St. Petersburg zu urtheilen—zu bezeichnen.

Die Minerale, welche von diesem Fundort her bekannt geworden sind, sind folgende:

Amphibol, als hellgrüner feinstrahliger harter Aktinolith, als feinfaseriger bräunlichweisser oder grünlichweisser Byssolith. Die Unterlage bildende Chlorit ist sehr feinschuppig, oft eisenschwarz, rostfleckig, mit späthigem Kalk. Perowskit, in hexaëdrischen Krystallen, an denen übrigens noch 111, 110, ein Tetrakishexaëder, ein Ikosaëder und ein Triakisoktaëder auftreten. Die Krystalle sind vollkommen schwarz halbmimetisch glänzend, vielfach mit Aetzstreifen versehen. Eine bei Antónow in Zlatoust 1886 erworbene und aller Wahrscheinlichkeit nach derselben Grube entstammende Stufe zeigt als einzige Form der auf einem schuppigen Chlorit sitzenden Perowskitstelle das Dodekaëder, dessen Flächen indessen stark gewölbt sind und zu einem steilen Tetrakishexaëder gebrochen erscheinen.

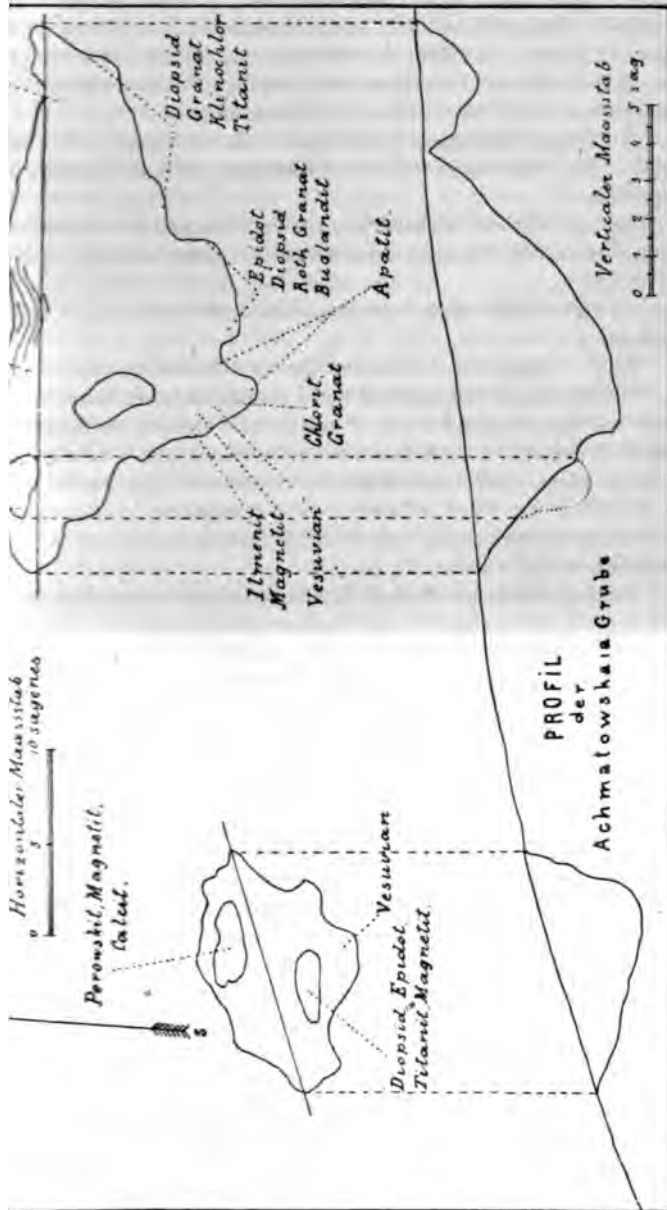
Muschkétow zählt als weitere Minerale auf die mir nicht zu Gesicht gekommenen: Klinochlor, Diopsid, Granat, Magnetit und Xanthophyllit, während Mélnikow Epidot in feinen Nadeln erwähnt. N. Jereméiew kommt Magnetit pseudomorph nach Perowskit vor.

3) Oestliche Reihe an der Názemskaia Gorá.

Die petrographische Beschaffenheit dieses der Uralhauptkette ebenfalls parallelen Hügels und seiner Ausläufer ist im grossen Ganzen durchaus derjenigen der Schischminkaia Gorá ähnlich. Auch hier sind metamorphische Schiefer der Chlorit- und Talkreihe die herrschenden Gesteine, mit welchen Diorite in Contact treten.

a) Achmátowskaia Kop'. Diese am äussersten nördlichen Ende der Názemskaia Gorá gelegene Grube ist im Jahre 1811 von Achmátow, Verwalter des Hüttenwerkes Kussa, angelegt worden. Während G. Rose das Hauptgestein kurzweg als Talkschiefer aufführt, entwirft Muschkétow ein weniger einfaches Bild von den Lagerungsverhältnissen¹⁾. Die Gruben—ich sah deren zwei, Muschkétow erwähnt sogar drei—waren 1886 in solchem Maasse verschüttet—die kleine war sogar vollkommen eingestürzt—dass es einer längeren Zeit bedurft hätte, um durch neue Aufschlüsse ein klares Profil zu erhalten. Mineralsucher- und Gräber hatten, um die Verhältnisse womöglich noch unkenntlicher zu machen, das ihrige beigetragen, indem sie nicht nur den grösseren Bruch, sowie die Halden durchwühlten, sondern auch einen Theil des Materiales der Halden wieder in den Bruch zurück geschüttet hatten. Unter diesen Umständen konnte ich nur die Gegenwart von Talk- und Chloritschiefer und von Serpentin feststellen. Es mag dah

¹⁾ Ich selbst besuchte die Fundstätte nur flüchtig, verweilte an ihr nur kurze Zeit und konnte mir daher eine klare Vorstellung über die Lagerungsverhältnisse nicht bilden.



...the

—

• • • • •

•

10

•

^a $\chi^2 = 1.0$, $df = 1$, $p = .32$.
^b $\chi^2 = 1.0$, $df = 1$, $p = .32$.
^c $\chi^2 = 1.0$, $df = 1$, $p = .32$.

1. *Chlorophyll *a** and *Chlorophyll *b** were determined by the method of Arar and Collins (1971).

• •

•

[REDACTED]

St. Grand
Livin
unell
Magnell

Xanthophyllid
Perowskii



terigen Aggregaten in grobkörnigem Syenit; Rutil in langen Stäben mit Chlorit und Calcit (Original Etiquette von Kämmerer). Es dürfte der Punkt im Názemskaia-Berg bekannt oder zu sein, wo der im Berliner Museum befindliche Zoisit gefunden worden ist.

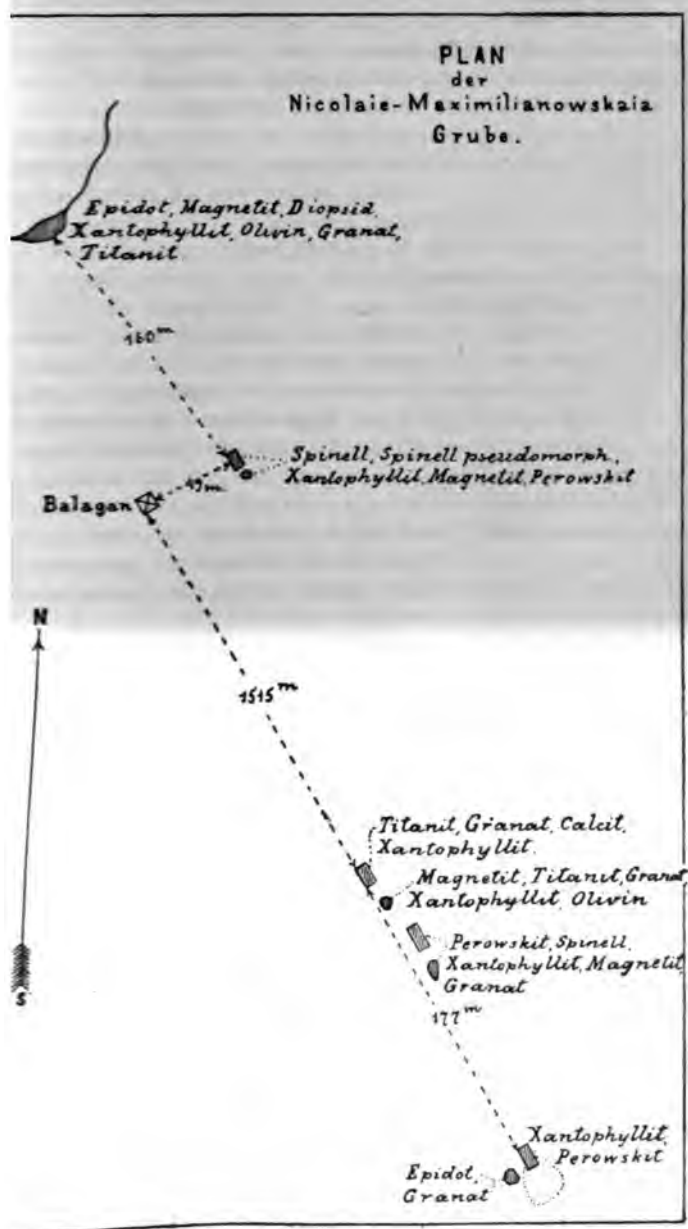
b) Die Nikoláie-Maximiliánowskaia Grube wurde im Jahre 1867 in einem der Názemskaia Gorá parallelen, NW von der gelegenen und Magnútnaia Gorá bezeichneten langgestreckten Grube durch W. J. Redikórtzew angelegt und zu Ehren des Herzogs Nikolai Maximilianowitsch von Leuchtenberg benannt. Es ist keine einheitliche Grube, sondern eine NO—SW, also in der Streichrichtung des Hügels selbst verlaufende Reihe von etwa 17 Schichten. Deren Gesamterstreckung rund 300 m. ist. Nach Muschkétow ist der Bau des Hügels ein symmetrischer, indem sämtliche NO—streichenden und SO, also nach innen, unter 45°—50° einfallende Schichten nach beiden Seiten eines aus körnigem Kalk gebildeten mittleren Theils dieselbe Aufeinanderfolge zeigen: Talk- und Chlorschiefer, Hornblendeschiefer, „schiefriger Diorit“. Derselben Ansicht hält sich auch Mélnikow, welcher die Gruben vier Jahre später, als sie von Muschkétow besucht wurden, d. h. 1882, weiter aufgesucht hat. Dagegen bezeichnet Norpe (Privatmittheilung) den „schiefrigen Diorit“ als Gneiss und erwähnt keinen Talkschiefer. Ob hier dynamometamorpher, verdrückter Diorit oder ein wirklicher Hornblendegneiss vorliegt, mag dahingestellt bleiben. Jedenfalls ist die Lagerstätte stark metamorphosirt, worauf schon die Epidotbildung hinweist und vor allen Dingen das Auftreten zahlreicher Minerale im Contact der Schiefer und der eingelagerten Kalke, sowie in den Kalken selbst in der Nähe der Berührungsflächen. Ich selbst sah, als ich nach weiteren vier Jahren (1886) die Lagerstätte besuchte, bei dem ungünstigen Zustande, in welchen die Aufschlüsse gerathen waren, nur Chlorschiefer und darin eingelagerten grobkörnigen, bröcklichen, bläulichen Kalkstein.

Die Mineralführung ist, wenn man von den beinahe überall vorkommenden gemeinsten Species Epidot, Granat und Chlorit absehen, fast in jedem Schurf eine andere, und Mélnikow mag vielleicht recht haben, wenn er drei „Gänge“ annimmt: einen östlichen, vorwiegend durch Epidot gekennzeichneten, einen mittleren, welchem Perowskit, Waluiewit und Klinochlor eigen sind, und einen westlichen, durch Titanit neben Granat charakterisirten. Die Minerale, welche hier, in der Gesamtheit der Schürfe gefunden wurden, sind:

Amphibol, Hornblende, gesteinsbildend im Hornblendeschiefer dunkelgrün.

Brucit, bis 1,5 cm. grosse Tafeln im Perowskit-Schurf.

Chlorit, Pennin, Klinochlor, bräunlichgrün in verschiedenen Tönen bis grünlich-weiss. Für ein Mineral der Chloritgruppe hat man wohl nicht gut charakterisirten Xanthophyllit (Waluiewit) gehalten.



daher bei einem sogen. „Chlorit“ Nikoláiew Xanthophyllit-Zusammensetzung fand!

Epidot, vorwiegend in dem nördlichsten, an der Epidot-Sopka (=Epidotkuppe) gelegenen Schurf, honiggelb, hellgrüngelb, braun, braungrün, häufig vollkommen durchsichtig.

Granat, rothbraun oder grünlich mit Chlorit auf bröckelichem Kalk, durch das Auftreten von (102) von dem Granat Achmátow'schen Grube zu unterscheiden; ausserdem kommt ein schwarzer Granat vor.

Ilmenit, in tafelförmigen Krystallen.

Magnetit, Oktaeder in Chloritschiefer eingewachsen; mandelsteinförmig nach Spinell.

Olivingruppe: Forsterit, im bläulichen Kalk, hellbraungelb, wurde früher für Apatit gehalten, welcher in diesen Grängen gänzlich fehlt, oder bisher wenigstens nicht beobachtet worden ist.

Perowskit, braun, durchscheinend, entweder im grobkörnigen Kalk des Perowskitschurfes, oder von Klinochlor begleitet im Spinell.

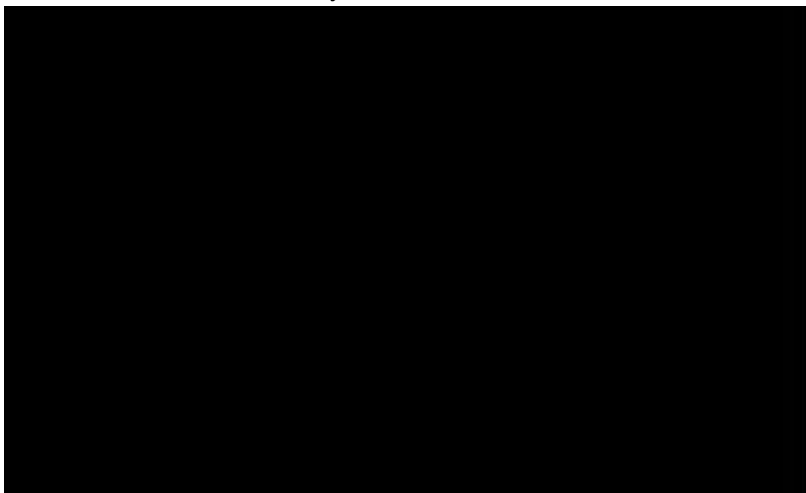
Pyroxengruppe: Diopsid, graugrün grossblättrig oder stengeligen Aggregaten.

Spinellgruppe: Ceylonit, schwarzbraun fast nur das Oktaeder selten und stets untergeordnet das Dodekaeder zeigend; auch in den Grängen nach (111), mit eingelagertem Klinochlor; pseudomorph nach Klinochlor; auf und in Chloritschiefer und Kalk. Mélnikow fand ein Krystallbruchstück von rund 10½ kg. Gewicht! (Sammlg. d. Berginstituts zu St. Petersburg).

Titanit, röthlichweiss, röthlichgelb in und auf Chlorit, mit Einschlüssen von Granat—dann rothbraun—und Chlorit.

Vesuvian, dunkelölgrün in pyramidalen Krystallen in körnigem Kalk und Klinochlorschiefer des Perowskitschurfes.

Xanthophyllit, var. Walujewit, ölgrün in körnigem Kalk Thl. in tadellosen Krystallen.



It zu St. Petersburg (Beschluss vom 5 April 1887) aufgefordert in bestehenden Mineralgruben des Bergwerkbezirks Zlatoust die Aufzucht zu erweitern und die Gewinnung der Minerale zu fördern. Bis zum Herbst desselben Jahres langten Sendungen bei der Mineralogischen Gesellschaft an, sodass Professor Jereméiew schon in der Novembersitzung interessante Exemplare vorlegen konnte; und im Jahre 1888 war die Anlage der neuen Grube vor sich gegangen.

Eine Beschreibung der geologischen Verhältnisse liegt noch nicht vor, hingegen lassen die gewonnenen Minerale und ihre Associationen ähnliche Bedingungen schliessen, wie sie in den benachbarten Gebieten herrschen. Die einzigen Angaben in der Litteratur rühren von Jereméiew her und sind in den Sitzungsprotokollen der Mineralogischen Gesellschaft enthalten. Sie beziehen sich auf folgende Minerale: Perowskit, braun, durchsichtig. Granat, braun, auf derbem Magnetit, Klinochlor, Magnetit, Titanit, Vesuvian, Diopsid in grossen Krystallen auf derbem Magnetit aufgewachsen. Von Interesse sind orientirte Verwachsungen von Perowskit und Ilmenit, wobei 100 des ersteren mit 0001 des zweiten in eine Ebene fallen oder einander parallel liegen. Von Pseudomorphosen wurden beobachtet: Magnetit nach Perowskit; Vesuvian nach Diopsid; Granat nach Titanit, mit z. Thl. erhaltenem Kern von grasgrüner Titanitsubstanz; Vesuvian, Granat und Klinochlor nach Epidot.

Unzweifelhaft ist das ganze Gebiet mineralreich, denn schon im Jahre 1886 führte mich Herr Pancerzinski zu einem etwa 1 1/2 Werst von der Nikoláie-Maximiliánowskaia Grube entfernten Magnetitlager, in welchem kleine Mengen Erzes für die Hütte Kussa gewonnen wurden und welches auch andere Minerale führt. Der Magnetit ist titanitartig und bildet mit derbem Granat und Chlorit ein eigenartiges Gestein, welches als Unterlage für aufgewachsene Granat- und Chloritkrystalle dient.

II. Die Mineralgruben östlich von der Uralkette.

Das ehemalige Miasser Hüttenwerk (= Miasskií Zawód) gegenwärtig kurzweg Miass genannt—SO ist die officielle Bezeichnung und Schreibweise—liegt 30—35 Werst SO von Zlatoust, an der Grenze zwischen metamorphischen Schiefern und älteren Orthoklasgesteinen, welche die hier beginnenden und fast genau nach N auf eine Erstreckung von beiläufig 60 Werst sich hinziehenden Ilménberge (= Ilmén'skii Góry) zusammensetzen.

Die Orthoklasgesteine sind z. Thl. NS streichende gneissartige Granite mit WO streichenden Pegmatit-Gängen und Nestern, z. Thl. echte Syenite, z. Thl. sog. Miascite G. Rose's (richtiger ist die Form der russischen Geologen: Miaskit und noch besser: Miassit) unter welchen er eläolithführende und eläolithfreie unterscheidet. Sie dürften wohl als Eläolithbiotitsyenite und Biotitsyenite bezeichnet werden.

Endlich würde noch der untergeordnet auftretende „Weisse G. Rose's zu erwähnen sein, welcher nicht etwa als Granulit, sondern wohl als gangförmiger Granit aufzufassen wäre. Neben diesen, mit andern mineralisch und offenbar auch genetisch verwandten, Gesteinen hatte schon im Jahre 1829 G. Rose auf dem Rücken des Zuges königen Kalk angetroffen, dessen Auftreten auch von späteren Beobachtern angeführt wird, aber unaufgeklärt geblieben ist.

Alle genannten Gesteine—die Orthoklasgesteine, wie der körnige Kalk—sind durch die Mannigfaltigkeit der Minerale, welche sie enthalten, ausgezeichnet, von denen indessen einige ausschliesslich an eine oder andere Gesteinsart gebunden sind.

Der Gneissgranit bietet in seiner mineralischen Zusammensetzung nichts besonders Bemerkenswerthes; wohl verdient es aber hervorgehoben zu werden, dass im pegmatitischen Ganggranit der Orthoklas vielfach durch grünen Mikroklin (Amazonit) ersetzt wird. Die Syenite, welchen eine geringere Verbreitung zukommt, bestehen aus röthlichem Orthoklas und dunkelgrüner Hornblende; manchmal, so im nördlichen Theile der Ilménberge, ist die Hornblende eine aus Augit entstandene secundäre, sodass diese Abart der Syenite mit Recht von Jeremien die Bezeichnung Uralitsyenit erhalten hat. In den Biotitsyeniten (G. Rose's „eläolithfreie Miascite“) tritt die Hornblende nur untergeordnet auf und ist durch einen dunklen braunschwarzen Biotit vertreten. In den Eläolithbiotitsyeniten, den eigentlichen Miassiten ist helle, graue, grünliche oder röthliche Eläolith, neben Orthoklas und Biotit, ein Hauptgemengtheil des Gesteins, während als Nebengemengtheile anzusehen sind: blauer Sodalith, rosarother Cancrinit, brauner oder gelbbrauner Zirkon, und wohl auch schwarzer metallisch glänzender Ilmenit und spargelgrüner Apatit. Die Miassite sind den Gneissgraniten untergeordnet, scheinen durch sie durchgebrochen zu sein, theils stock-, theils gangförmig die höchsten Felsen des Gebirgszuges zu bilden. Vorwiegend den westlichen Abhang der Ilménberge zusa-

In Gruben trifft man östlich der Niaschewka, an der sogen. Kosáia (Schräger Berg), auch weiter nördlich bis zum Dorfe Seliánkina, am rechten Ufer des Miassflusses, so die von Muschkétow aufgedeckte „neue Korundgrube“. Ohne verschiedene Gruben mit zu berücksichtigen, zählt Mělnikow deren 88 auf, während in Wirklichkeit die Zahl 120 kaum genügen dürfte. Die meisten von ihnen werden mit dem Namen des herrschenden oder wichtigsten Minerals, verbunden mit dem des Entdeckers, unter dessen Leitung der Schurf eröffnet wurde, benannt, z. B.: „Barbot de Marly's Korundschurf“, J. Redikortzew's (2-ter) Columbischurf“ u. s. w. Manche führen mehrere Namen, von denen aber wohl immer nur der eine den Mineralgehalt bekannt ist.

Die ersten Mineralfunde in den Ilméubergen wurden bereits im XIII Jahrhundert gemacht. So entdeckte der Kosak Prútow den ersten Topas. Systematisch nach Mineralen zu suchen und sie durch Aufarbeiten zu gewinnen wurde erst in den 20-er Jahren dieses Jahrhunderts begonnen, als zunächst der Lübecker Händler Menge dieses Gebiet kam und dann von der russischen Staatsregierung benannte „farbige Parteien“ unter der Leitung geeigneter Bergingenieure hinausgeschickt wurden¹⁾. Bei sorgfältigen Schürfungen hat es sich herausgestellt, dass bei den meisten Gängen namentlich deren Mitte mineralreich ist, was vielleicht mit der Füllung der Gänge von aussen nach innen und unbehinderter Krystallisation nach der Axe des Ganges zu zusammenhängt.

Obwohl einzelne Minerale für bestimmte Gesteine charakteristisch sind, sind die meisten an eine bestimmte Gesteinsart nicht gebunden. Eine Klassifikation der Minerale nach den sie enthaltenden Gesteinen würde daher unvermeidlich zu Wiederholungen führen, weshalb auch hier die alphabetische Anordnung beibehalten werden möge.

Aeschynit, in einem Gemenge von rothem oder weissem Orthoklas, weissem Albit und schwarzem Biotit, mit Zirkon, oft einem Orthoklas oder Zirkonkern einschliessend, an der Tscheremschánka, auch mit Orthit und Monazit; im Ilméner Wald, in den Razderischin'schen Gruben, in grossen gut ausgebildeten Krystallen, mit ebenso ausgezeichneten Krystallen des Monazits. Von hier stammt der grösste Krystall, der er ist 6 cm. lang und befindet sich in der Kotschubéi'schen Sammlung zu St. Petersburg.

Amphibol: 1) Sogen. Kupfferit; smaragdgrüne, chromhaltige ($12\% Cr_2O_3$), feinstrahlige Aggregate, angeblich in Granit (?) eingewachsen. 2) Hornblende, grossblättrig, dunkelgrün, mit tombakbraunem Biotit und eingewachsenen kleinen hellbraunen undurchsichtigen pyramidalen Zirkonkrystallen, an der Tscheremschánka. 3) Schwarze

¹⁾ „Farbige Partie“ (Tzwetnáia Pártia) nannte man eine unter dem Befehl eines Bergingenieurs stehende Anzahl von Arbeitern, welche nach „farbigen Steinen“ (Tzwetnyie Kámní) d. h. werthvollen Mineralen (Beryll, Turmalin, Topas, Zirkon, Korund u. s. w.) zu suchen hatten.

Hornblende mit geflossener Oberfläche, vergesellschaftet mit grossen Orthoklaskrystallen, körnigem Kalk und Apatit — unweit des Dorfes Seliánkina. Sonst treten verschiedene Amphibolvarietäten gesteinsbildend (im Syenit u. s. w.) oder im Seifengebirge (weisser und grauer Tremolit) auf.

Apatit, 1) als Spargelstein in grossen bis 8 cm. langen gelben an den Kanten abgerundeten Krystallen in Miassit; 2) im körnigen Kalk mit Ilmenit an den Quellen der Tscheremschánka und in grossen Krystallen mit Zirkon am Sawcliew Kliútsch. Manchmal in solcher Menge, dass der körnige Kalk kaum sichtbar ist; 3) mit Schwarzer Hornblende und Orthoklas (Syenit) und mit Kalk beim Dorfe Seliánkina. Alle ilménischen Apatite enthalten kaum Spuren von Chlor, also fast reine Fluorapatite.

Beryll, weitverbreitet in den Topasgruben am NO-Ufer des Ilmen-Sees, z. B. der Kotschëw'schen, Trubéïew'schen u. a., im Ganggraben auf Quarz oder Amazonit, mit Topas, Phenakit u. s. w.; an den Seen Jelántschik, Miássowo, Wschíwoie, Argazí, Tschórnoie. Der Beryll hellgelb, grünlich, smaragdgrün (nach Lissénko am See Jelántschik bläulich, auch trübe, undurchsichtig; manchmal in recht grossen bis zu 2 kg. schweren Krystallen. Die schönsten, bis 1½ Zoll langen, finden sich in den Lobatschëw'schen Gruben, zwischen den Seen Ilmen und Argaiásch.

Cancrinit, von G. Rose nach dem russischen Finanzminister Grigori Cancrin benannt; im Miassit, als Nebengemengtheil, in rosaroten, zerdrückten Massen oder kurzstengeligen Aggregaten, welche nach einer Zone angehörenden und unter 120° sich kreuzenden, Ebenen (Flächen eines hexagonalen Prismas) spaltbar sind.

Chiolith, grünlich, mit Kryolith und angeblich Fluorit in der Topasgrube № 5 (auch „Kryolith-Topas-Grube“ genannt) im SW des Wschíwoie Sees, im Amazonit führenden Pegmatit. Ich beobachtete zerdrückte Partien eines bläulichen, an Fluocerit erinnernden Minerals. In demselben Schurf, aber nicht unmittelbar mit den Fluoriden vergesellschaftet treten auf: Muscovit, Topas, Phenakit, Ilmenorutil u. a. Das als „Chodnewit“ bezeichnete Mineral ist nach Groth ein Gemenge von Chiolith und Kryolith.

Columbit, G. Rose's „Mengit“ z. Th., Brooke's „Ilmenit“, in dünnen schwarzen prismatischen Krystallen, mit Samarskit und grünlichgrauem Zirkon (Malakon) in weissem Feldspath oder im Amazonit oder auf plattig zerklüftetem, stellenweise grünlich-bläulichem Quarz. Sonst von allen verbreiteteren Mineralen der Topasschürfe begleitet. In der Blum'schen Grube und vielen anderen.

Desmin (?), strahlig, bläulich, mit Phenakit auf Amazonit in der Gasberg'schen Phenakitgrube im NO des Wschíwoie See. Sonst auch als „blauer Albit“ in der Litteratur aufgeführt.

Eläolith: Hauptbestandtheil des Miassit: graulichweiss, oder rötlichweiss, meist in unregelmässig begrenzten krystallinischen Massen, selten krystallisiert, dann aber nur in der Combination 1010. 000

Rose sah bis zollgrosse Krystalle. Begleiter des Eläoliths sind: schwarzer Orthoklas, schwarzer Biotit, blauer Sodalith, rosarother Canadit, brauner oder hellgelber Zirkon, spargelgrüner Apatit und schwarzmetallglänzender Ilmenit, selten brauner Titanit.

Epidot in P. N. Barbot de Marny's Grube am Tschórnoie See. Syenit, stengelig und auch in Krystallen deren kleinere hellgrün durchsichtig sind (Pistacit), mit gelbem Feldspath verwachsen, in Menge von Titanit, Magnetit, Apophyllit und Skapolith begleitet. Die beiden letzteren Minerale sind nicht verbürgt. Eine andere Angabe Menge's ist: in derbem Granat im Gneiss.

Feldspathgruppe: Orthoklas, Bestandtheil des Miassits, Gneissgranits, Ganggranits (Pegmatits), Syenits; in allen Farben von weiss, gelb, bis roth. Selten in Krystallen: in der K. D. Romanów'schen Grube an der Niáschewka, gegenüber Rożkow Klütsch, bläulichgrau in Hornblendegneiss; in Drusenräumen des Miassit; an der Ostseite des Ilménsees mit eingewachsenem Samarskit (nach G. Rose und Söchting).

Mikroklin, theils als Amazonit, theils fleischroth, fast in allen Theilen des Ilmén Waldes, als Hauptgemengtheil des Gänge und Gneiss bildenden Schriftgranits. Manchmal in recht grossen schönen Krystallen von blaugrüner Farbe; derbe, einheitlich krystallinische Krystalle von Amazonit erreichen bis zu 17 cm. Länge. Albit, an vielen Stellen, sowohl im Granit als auch im Miassit, meist nur krystallinisch (Steinbildend), selten in kleinen Krystallen; auch in kugeligen und nierenförmigen Aggregaten auf Amazonit, z. B. in der Prútow'schen Topasgrube am Ostufer des Ilménsees.

Fluorit, violblau, in grünem Chiolith, in der Topasgrube № 5 am Wschwoie See (nach einer Stufe in der Sammlung des kais. Bergakademiats zu St. Petersburg). G. Rose, welchem die Menge'sche Zirkongrube an der NO-Seite des Ilménsees als Fundort angegeben wurde, fügt hinzu: „also im Miassit“. Mélnikow ergänzt diese Angabe mit dem Hinweis auf die Cancrinitgrube, in welcher der Fluorit im Miassit eingeschlossen und auch in Krystallen vorgekommen sein soll.

Glimmergruppe: 1) Biotit, sehr verbreitet im Miassit wie im Granit. Im ersteren ist nach Striżów ein Krystallfragment von 62,5 kg. Gewicht gewonnen worden. In der Striżów'schen Grube säulenförmige Krystalle. An der Tscheremschánka tombak-braun mit breitstengeligem Amphibol. Am Ostufer des Ilménsees, richtiger am Ostrande des angrenzenden Sumpfes wurde grossblättriger Biotit gewonnen, wobei Blätter bis zu 50 cm. Länge und 30 cm. Breite geschnitten werden konnten. In der Goligúzw'schen Topasgrube, östlich vom Ilménsee, finden sich Biotitfasern mit halbkugelter Oberfläche und concentrisch schaligem Bau; sie sind bei den Mineralgräbern allgemein unter der Bezeichnung „Barbótowy Gláski“ („Barbot's Äuglein“) bekannt. 2) Muscovit, ebenfalls weit verbreitet, namentlich im Pegmatit des Ilmén Waldes und an der Kosáia Gorá (Schräger Berg) östlich von der Niáschewka; hier mit Einschlüssen von Granatkrystallen und ro-

then Haematitblättchen; z. Thl. grossblättrig und wurde in eig. dafür angelegten Gruben gewonnen.

Granat, von sehr mannigfaltiger Zusammensetzung, in verschiedenen Gruben und verschiedenen Gesteinen: in der durch die gross. Mannigfaltigkeit ihrer Minerale bekannten Blum'schen Grube im Ilménér Wald fand Th. N. Tschernyschew Manganthongranat, grossen braunen Ikositetraëdern (112) im Topas führenden Ganggranit. Manganthongranat war übrigens schon Lissénko im Jahre 1859 lebhaft rothen Krystallen (112) aus der „Umgegend von Miass“ bekannt. Eisenthongranat im „Weissstein“ auf der Höhe des Ilménberg am See Miassowo mit schwarzem Turmalin und Quarz in Granit u. vielfach in den Gruben zwischen den Seen Tschórnoie, Miassowo u. Jelantschik. Am Tschórnoie-See derb mit grünem Epidot und Skapolith (?).

Graphit: am Ufer des Sees Jelantschik in losen abgerollten Stücken „aus dem See ausgeworfen“ (?); am linken Ufer der Tscheremschán eingesprengt und in kleinen Nestern in Granit.

Helvin, in Amazonitgranit unweit des Ostufers des Ilménsees: schaligen, krystallinen, braunrothen, früher für Granat gehaltenen Massen. Später ist er auch in Albit eingewachsen angetroffen worden. Die Angabe Muschkétow's, welcher auf seiner Karte eine „Helvin-Grube“ am Tschórnoie-See verzeichnet, dürfte auf einem Versehen beruhen.

Ilmenit, Menge's „Tantalit“; als Nebengemengtheil des Miass allgemein verbreitet, nicht nur in Orthoklas, Eläolith und Biotit, z. Thl. wohl ausgebildeten Krystallen eingewachsen, sondern auch selbst Biotitblätter und Apatitkörner umschliessend; in grossen abgerundeten Krystallen im körnigen Kalk des Ilméngrates, mit honiggelbem Zinkon, Apatit u. s. w., in Ganggranit, als Begleiter von Topas nicht häufig.

Korund scheint vorwiegend auf das Gebiet der Niaschewka u. ihres Zuflusses beschränkt zu sein, wo er theils in Granit mit Mus-

archsiehtig und schön gefärbt, um als Edelstein verschliffen werden können. Im Ilmener Wald ist Korund in einem einzigen, W von Kryolithgrube gelegenen Schurf, in grünlich grauen oder braunen zu 1 Zoll langen Krystallen neben Zirkon angetroffen worden.

Kryolith, mit Chiolith als Nest im Amazonitgranit in der Topasgrube № 5 im SW des Wschíwoie See.

Magnetit, an verschiedenen Punkten, in Granit, Gneiss, Amphibiegneiss, in Oktaëdern von manchmal ansehnlicher Grösse, z. B. in der Epidotgrube am Tschórnoie See, in den Zirkon- und den Korundgruben an den Zufüssen der Niáschewka u. a. O.

Martit erwähnt Jereméiew (1888) aus einer der Aeschynitgruben. Molybdänit, am linken Ufer der Tscheremschánka in Syenit (helllicher Orthoklas, schwarze Hornblende), in breiten Blättern, z. Thl. Ocker von strohgelber Farbe umgewandelt. Nicht verbürgt ist ein erstes Vorkommen im Osten des Ilménsees, 1 Werst vom Wschíwoie entfernt.

Monazit (und Monazitoid). Brooke's „Mengit“; an der Tscheremschánka in einem Gemenge hellen Orthoklases und schwarzen Biotit mit Magnetit, Orthit und Pyrochlor; in schönen Krystallen im Syenit des Ilmener Waldes (heller Orthoklas, Muscovit) mit Zirkon und gut krystallisirtem Aeschynit; in dem quarzführenden Ganggranit (heller Orthoklas, Albit, grauer Quarz, wenig Biotit), der ebenfalls im Ilmener Wald gelegenen Topas- und Beryllgruben, namentlich in der mineralreichen Blum'schen Grube, mit Samarskit, Columbit, Ilmenorutil, Granat, Topas, Phenakit u. s. w., in den Lobatschew'schen Gruben zwischen den Seen Ilmén und Argaiásch, mit und in Beryll. Der Monazit ist rothbraun, manchmal recht dunkel, stets in vereinigten Krystallen. Die Mineralgräber nennen seine Krystalle „Klópiki“, was „kleine Wanzen“ bedeutet. In zersetztem Zustande nimmt der Monazit eine gelbbraune Farbe an. In der Helvingrube finden sich grosse Krystalle von „Monazitoid“.

Orthit (Uralorthit) an der Tscheremschánka, von Zirkon, selten von Titanit begleitet, in Granitgängen in tafelförmigen Krystallen oder auch häufiger in derben, pechschwarzen Massen, welche von den Mineralgräbern „Tschewkinit“ genannt werden. An der Niáschewka wurde Tschewkin's Anwesenheit eine Masse von 6,4 Kg. Gewicht gefunden. Am Uzków Kliútsch wurde der erste ilmenische Orthit gefunden. Im Ilmener Wald in rothem Granit mit hellfarbigem Beryll.

Phenakit auf Amazonit, mit Topas, Biotit, blauem Desmin (?), Ilmenorutil u. a. in Granitgängen, fast ausschliesslich in den Gruben des Ilmener Waldes, namentlich in der Blum'schen, in der Topasgrube № 5 (der Kryolithgrube), in der Gasberg'schen Phenakitgrube, in der K. D. Romanówsky'schen Beryllgrube a. d. Niáschewka, wo die Krystalle grösser als sonst wo waren, in der Strizów'schen Topasgrube, in den Lobatschew'schen Gruben zwischen den Seen Ilmén und Argaiásch u. a. O. mehr. Der Habitus der Krystalle ist ein stumpf rhomboëdrischer, nicht prismatisch, wie bei den Krystallen aus den

Smaragdgruben an der Tokowaia, dafür sind die ilménischen Krystalle viel kleiner, namentlich winzig, wenn sie zu Krusten zusammengefaßt einzelne Flächen der Amazonitkrystalle überziehen.

Pyrochlor, in rothbraunen, vorwiegend das Oktaëder allein zugehenden Krystallen, manchmal mit 112 und 113 combinirt; in Gangen, welche hellen, röthlichweissen, perlhutterartig glänzend Orthoklas, Albit und schwarzen Biotit führen. Fast stetiger Begleiter ist brauner oder honiggelber Zirkon, manchmal Apatit, Aeschyner Magnetit, Hornblende, wo die Gänge syenitisch werden. Hauptsächlich am linken Ufer der Tscheremschánka; nach Lissénko auch an den in die Niáschewka mündenden Bächen; Uzków Kliútsch und Topka.

Quarz, als Gemengtheil der Granitgänge mit Orthoklas und Amazonit zu Schriftgranit verwachsen. In Krystallen selten, so in den Lobatschew'schen und diesen benachbarten Gruben, zwischen den Selénimén und Argaiásch, ferner in der Goligúzow'schen Grube und anderen, als Rauchquarz, Morion, mehr oder weniger gefärbt, manchmal von beträchtlicher Grösse, bis zu 5 Fuss lang. Amethyst ist als Gänge am Ostufer des Sees Jelántschnik, unweit der Fundstätte des Gips angetroffen worden.

Rutil (Ilmenorutil) mit Topas, Phenakit auf Amazonit in vielen Gruben des Ilménér Waldes; in der Blum'schen, den Lobatschew'schen in schöneren Krystallen. Eigenthümlich gedrungen pyramidal schwarze Krystalle mit halbmatalischem Glanze, meist Zwillinge nach (101), seltener nach (301). Nach Jereméiew in dünnen Schichten braunroth, sogar gelblich durchscheinend. Ausserhalb der Ilméngegend ist der Ilmenorutil nirgends angetroffen worden. Gewöhnlicher Biotit ist sehr selten, in dem ilménischen Grubengebiet scheint er nur an einer Stelle bekannt geworden zu sein, in einem Syenitgang unweit der Trubéiew'schen Grube, mit Hornblende und gelbem Apatit; sonst ist er in den Goldseifen z. B. beim Dorfe Seliánkina vorhanden; Gneiss, in blonden „syenitisch“ sich durchkreuzenden Nadeln.

raunates mit dunkelgrünen Epidotkrystallen und strahligen
m von Skapolith in der Sammlung des Kais. Berginstituts
anz wohl dem Epidotschurf am Tschórnoie See entstammen.
ann erwähnt den Skapolith von einer Aeschynitgrube östlich
nsee, was indessen später von keiner Seite bestätigt wird.

olith, Kämmerers „Cancrinit“, Gmelin's „blauer Eläolith“,
seinem Gemenge mit Cancrinit und Eläolith von Menge
N. Barbot de Marny für Dichroit gehalten. Wesentlicher
heil des Miassit, meist in schön saphirblauen krystallinischen
als Seltenheit kommen auch Krystalle vor. So besitzt die
g des Kais. Berginstituts zu St.-Petersburg einen smalteblauen
derkrystall von 2 cm. Grösse. Die am Nordrande des Ilmén-
ler Strasse von Miass nach den Seen Miássowo und Kisia-
egende Sodalithgrube ist recht gut aufgeschlossen.

nit, im Miassit nicht häufig als Nebengemengtheil, in braun-
stallen, z. B. in der Cancrinitgrube; in Granitgängen an der
nschánka mit Pyrochlor, Zirkon und Apatit, gelblichbraun
gesprochen braun; manchmal im Syenit derselben Gegend und
reitestengeliger Hornblende; in einer besonderen Grube nahe
Molybdänits aufgeschlossen, ebenfalls braun in grossen unvoll-
len Krystallen, z. Thl. in derben schaligen Massen; beim Dorfe
t nördlich von Miass, im Syenit, nach G. Rose; in der Nähe
des Seliánkina im Uralitsyenit Jereméiew's. Noch nördlicher,
Ischkul, nach Lissénko, unmittelbar unter der Dammerde
ortem Feldspath. Selten ist Titanit im Ilménér Wald, so in
Titanit*-Grube, hart am Ostrande des den Ilménsee umgeben-
pfes, anscheinend in einem Syenitaustritt, in gelbbraunen
en. Der Fundort ist übrigens nicht vereinzelt.

as, sehr verbreitet in vielen Gruben des Ilménér Waldes. Die
e sind meist farblos, seltener schmutzig gelblich; in der Grösse
hsehnnd, etwa zwischen 1 und 2½ cm. im Durchschnitt, viel-
hebblich grösser: in einer der Lobatschéw'schen Gruben,
die schönsten, klarsten ilménischen Topase geliefert haben,
in Krystall im Gewichte von 400 g. gewonnen. Nach Lissénko
in den alten Gruben sogar Krystalle bis zu 4 kg. angetroffen;
Blum'schen Grube ebenfalls bis zu 400 g. schwere Topase
gesammelt. Angeblich sollen einige Krystalle zu 1000—3000
eschätzt worden sein. Neben flächenreichen Krystallen finden
h Stücke ohne regelmässige äussere Flächenbegrenzung. Ein-
nadelförmiger schwarzer Turmalinkrystalle in Topaskrystallen
nicht zu den Seltenheiten, obwohl der Turmalin selbst in den
ben Gruben wenig verbreitet ist. Die ersten Topase wurden
I Jahrhundert durch den Kosaken Prútow gefunden und erst
ter folgten weitere Funde, nachdem Anton Kotschëw im
24 an der Stelle zu schürfen begann, wo jetzt die nach ihm
Grube liegt. Durchweg ist das Muttergestein Pegmatit, haupt-
Amazonitpegmatit.

Tschewkinit. Dieses die Metalle der Cer-Gruppe enthaltende Eisenoxydulsilicat, welches G. Rose nach dem Director des Bergcommissariats (jetzt Berginstitut) in St. Petersburg, General Tschewkín benannt, kommt anscheinend nur in „sammetschwarzen“ derben Massen vor, welche mit Orthoklas verwachsen. Strizów's Angaben über die Fundstätte des Tschewkinites stimmen ziemlich gut mit denen des Orthits überein, welcher ja auch derb angetroffen wird und in diesem Zustande von den Mineralgräbern als „Tschewkinit“ bezeichnet wird. Vielleicht sind beide identisch? Das grosse Stück der Kais. Berginstituts-Sammlung zu St. Petersburg hat sich nach Nikoláiew als Magnetit herausgestellt.

Turmalin, nur schwarz, im Ganzen wenig verbreitet, namentlich nicht in gut ausgebildeten Krystallen, dagegen wohl in nadelförmiger Einschluss in Topas. Ausgebildete Krystalle sind bekannt auf Amazonit führendem Ganggranit, so in der Goligúzow'schen Grube an Topas und Granat in der Totschilnaia mit gelblichem und bläulichen Beryll, in den zwischen den Seen Ilmén und Argaiásch gelegenen L. batschew'schen und den benachbarten, mit Topas, Beryll, Phenakyt u. s. w.

Uralit tritt eigentlich nur als Gesteingemengtheil in den Ural-syeniten der Gegend des Dorfes Seliánkina auf. In der Sammlung des Kais. Berginstituts befindet sich ein schöner grosser Krystall mit stark ausgebildeten 110 und 100 und zurücktretendem 010, mit kleinen Zwillingskrystallen auf hellrosarothem Orthoklas (Die Etiquette trägt die Aufschrift Coll. Menschúin № 182¹⁴ 56).

Zirkon, sehr verbreitetes Mineral; wurde von Menge 1826 gefunden; kommt sowohl im Miassit, als auch in Syenit und Granit vor. Seltener und vorwiegend im Ganggranit auftretend ist die, unbenutzte Weise mit dem besonderen Namen „Malakou“ belegte, trübe Varietät. Der Zirkon des Miassit in Krystallen von manchmal ansehnlicher Grösse und bis 400 g. schwer ist graugelb, hellgelb undurchsichtig oder honiggelb und vollkommen durchsichtig. Letzterer bildet kleinere Krystalle und ist fast immer mit Biotit vergesellschaftet.

Glütsch wurde neben Zirkon der erste ilmenische Orthit gehier trifft man neben dem gewöhnlichen Zirkon auch weissen in Krystallen. An der Ostseite des Ilménsees ist der Zirkon der, durch rothen Orthoklas charakterisirten, Granitgänge, typischer Begleiter des Aeschynits, aber auch von Monazit und Metit begleitet (Razderischin's Gruben). In den eigentlichen amazonit gekennzeichneten Topasgängen tritt der zersetzte, blasse graubraune oder nelkenbraune undurchsichtige sogen. auf, meist nicht in einheitlichen Krystallen, sondern in Aggregaten in der Columbitgrube fast genau in der Mitte des Ostufers des Ilménsees und dicht am Rande des Sumpfes.

VERSANT ORIENTAL DE L'OURAL

D'Ourjom à Ekathérinebourg.

PAR

A. KARPINSKY.

Avant de nous engager sur le versant oriental de l'Oural et avant de passer à la description de notre itinéraire, nous donnerons quelques notions générales sur l'orographie et la structure géologique du versant est de la chaîne.

Géographie principale concernant les vastes régions du versant oriental de l'Oural.

Blas. Reise durch verschied. Provinz. d. Russ. Reichs, 1773, II.

Rose. Reise nach dem Ural etc. I, 1837; II, 1842.

Karpinsky. Sur les sables aurifères (russe). 1840.

Shourowski. La chaîne de l'Oural. 1841 (russe).

Archison, de Verneuil, count Keyserling. Geology of Russia I, II.

Mann. Der Nördliche Ural 1853—56.

Englitzky et Antipow. Description géologique de la partie méridionale de l'Oural. 1854—1855 (russe).

Antipow. Sur les gîtes de minerais dans l'Oural, Journ. des mines (russe). 1860.

Karpinsky. Geolog. Karte d. Ostabhanges d. Ural. 1884, Journ. d. mines 1880 I. Sédiments tertiaires du Versant Oriental de l'Oural. Bull. de la Soc. Ouralienne d'amat. d'hist. nat. 1883, VII, livr. 3.

Aperçu des richesses minérales de la Russie d'Europe. Paris 1878. Edition russe 1881.

- Hofmann. Materialien zur Anfert. d. geol. Karte d. K. Bergw.
district. d. Ural-Gebirge. St. Petersburg. 1870.
- Tschernyschew. Die Fauna d. Unteren Devon am Ostabhang
Ural. Mémoires du Com. Géol., IV, N° 3, 1893.
- Fedorow. Recherches géologiques dans la partie septentrionale
l'Oural en 1884—1886. Journ. d. mines (russe) II; 1884, I
I et II. Id. en 1887—1889. Journ. des mines 1896, II.

Les nombreux embranchements plus ou moins parallèles du versant ouest de l'Oural forment d'une manière relativement peu sensible le passage de la partie centrale de la chaîne à une région faiblement ondulée de la partie cis-ouraliennne de la Russie d'Europe. Au contraire, au versant est de la chaîne et à une faible distance de l'axe, la région perd presque tout à coup son caractère montagneux, sorte que la majeure partie de ce versant, bien que sa structure géologique réponde à une région montagneuse très complexe, présente sous le rapport orographique, une région si plate que le relief en est plus uniforme que celui de la plupart des plaines de la Russie européenne.

Cette région de plaine s'abaisse peu à peu vers l'est; la pente pendant n'en est pas forte. Ainsi Ekathérinebourg se trouve à une hauteur qui ne dépasse pas 180 m. au-dessus de Tioumen, et la station Mias à 111,3 m. au-dessus de Tchéliabinsk.

Presque partout cependant la région plane ne confine pas immédiatement à la chaîne principale de l'Oural, mais à ses embranchements. Ceux-ci occupent ordinairement une bande de terrain relativement étroite, s'étendant le long de l'arête régulière assez haute, pour aller se confondre presque aussitôt avec la plaine.

Tels sont, entre autres, les monts Ilmen. Du pied oriental de ces montagnes s'étend une région presque entièrement plate, alors que l'espace qui les sépare de la chaîne centrale de l'Oural est très ra-

visé et parsemé d'élévations relativement peu hautes et peu régulières.

saît en trois branches, dont l'occidentale serait l'Ourenga, milieu l'arête principale de l'Oural, et l'orientale les monts Ilmen; en réalité cependant les monts Ilmen ne sont pas étroitement liés aux hauteurs reconnues comme extrémité nord de l'Oural; les montagnes sont éloignées du Yourma de plus de 20 kilomètres, qu'elles en sont par des chaînes intermédiaires.

À l'extrémité nord, c'est-à-dire au point traversé par la Miass, les monts Ilmen perdent leur nom, mais continuent de l'autre côté de la Miass et s'étendent sous le nom de montagnes Tchébourinsky et se prolongent en bandes parallèles vers les montagnes Agardiach (au bord de la Miass) et plus loin, vers les montagnes Sobatchia. Les arêtes qui sont le prolongement septentrional des montagnes Sobatchia, s'abaissent fortement par endroits et disparaissent totalement, comme par exemple sur la parallèle de l'usine de Krasnoyarsk où elles semblent particulièrement basses en comparaison des montagnes voisines Sougoumak; ensuite elles s'élèvent de nouveau pour former les monts Borzovsky et atteindre une altitude considérable dans les monts Potanina et Wichniowy dont la hauteur dépasse celle de la Miass, peu éloigné de là.

Par endroits, la chaîne en question présente une arête se distinguant des autres d'une manière très tranchée; parfois elle se divise en bandes parallèles; ailleurs elle prend le caractère d'un plateau de montagnes isolées, comme cela se rencontre assez souvent dans les monts Ilmen et en général dans les hauteurs formées d'alternances de granite et de gneiss.

De cette manière les monts Ilmen proprement dits et les hauteurs voisines ne forment en réalité qu'une seule arête. Quoique cette arête soit interrompue par des rivières et qu'elle s'abaisse fortement par endroits, elle a partout une seule et même direction générale et sous ce point de vue géologique, comme nous le verrons plus tard, elle est bien plus uniforme que l'arête principale de l'Oural.

La carte ci-jointe (p. 4) indique le rapport mutuel des trois chaînes susdites de l'Oural.

La répartition des eaux est soumise à la différence des versants de l'Oural. La plupart des rivières du flanc occidental de l'Oural, dans leur cours supérieur, des vallées longitudinales, appartiennent à l'axe de la chaîne. Au versant est, au contraire, toutes les rivières, à l'exception de quelques-unes, par exemple la Kama, se dirigent à partir de leurs sources dans le sens de la pente; certaines d'entre elles ne s'écartent de cette ligne qu'à une distance assez considérable de l'arête. Une différence plus grande en fait remarquer dans les eaux non courantes. Les lacs, si peu nombreux sur le versant européen de l'Oural, se rencontrent par milliers sur le versant oriental, et en si grande quantité qu'il est rare de trouver autant sur pareil espace. Les lacs, il va sans dire, sont très disséminés et la région qu'ils occupent, s'étendant au loin,

ns la direction de l'Asie, s'approche presque, par endroits (notamment de Kichtym), de la ligne même du partage des eaux. La forme relative du relief du versant oriental est quelque peu marquée par les vallées des cours d'eau. Malgré certaines différences, on peut cependant remarquer des traits communs au caractère de ces vallées.

Leur cours supérieur, ces rivières, tant dans les avant-monts de l'Oural que dans la région plane, passent par des terrains généralement marécageux, et leurs rives ne montrent guère d'affleu-



transversale au cours supérieur des rivières du versant oriental de l'Oural. Vallées marécageuses. Les roches affleurent principalement au sommet des élévations entre les rivières.

En revanche, dans leur cours moyen, renfermé dans la région des roches originaires apparaissent souvent. D'abord elles ne se voient que dans les rives, qu'en certains points isolés, deviennent de plus en plus fréquentes et vont enfin se confondre en un affleurement continu.

Le lit de telle rivière s'encaisse ici dans une étroite vallée rocheuse qui prend souvent l'aspect d'une véritable gorge, de 40 m. et même davantage. Cette partie du cours, montrant l'évidence la structure géologique compliquée de la contrée, conforme à son relief, présente un grand contraste avec les parties adjacentes qui séparent les rivières. La contrée qui paraît ordinairement plate et s'incline qu'à proximité des rivières où elle s'abaisse brusquement par des escarpements rocheux.

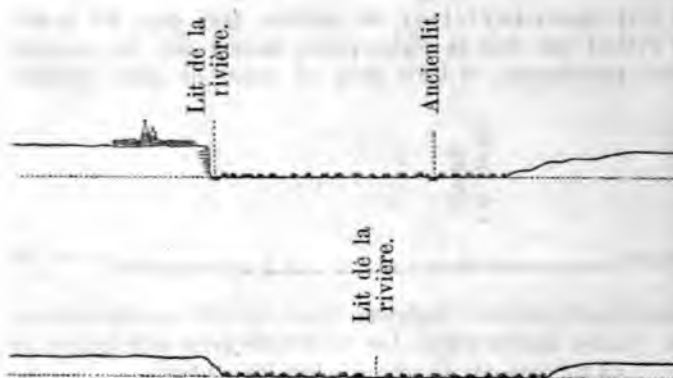


au cours moyen. Vallées étroites avec affleurements rocheux.

Si donc, l'étroite bande longeant les cours d'eau y présente un caractère essentiellement différent de la contrée environnante.

Le cours inférieur, la partie plate de la vallée marécageuse, d'une largeur plus ou moins considérable, se termine par des pentes aux contours ordinairement arrondis, coupées parfois par des

ravins. La rivière, serpentant dans la vallée et s'approchant de la terrasse droite, tantôt de la gauche, y creuse des escarpements ou moins élevés, souvent verticaux, qui laissent voir les couches horizontales des roches tertiaires et des alluvions. Ça et là on trouve dans la vallée les restes d'anciens lits, dits „staritsa“.



Coupes au cours inférieur. Vallées larges. Terrasses formées de dépôts horizontaux de tertiaires et quaternaires.

Dans les rivières plus importantes du versant est de l'Oural, la Toura, la Taguil, la Nitza, l'Irbis, la Pechma, l'Isset, la Sinara, la Miass, l'Ouwelka, l'Oui, la Togouzak—c'est le cours inférieur le plus étendue. Sa limite occidentale coïncide presque avec la limite occidentale de la contrée occupée par les dépôts tertiaires (carte géologique du versant oriental de l'Oural). Le cours inférieur de ces rivières est ordinairement le moins long.

Les vallées des affluents ressemblent, comme on peut s'en

fur et à mesure que l'on s'éloigne des ramifications de l'Ontaractère des lacs change de plus en plus, ce qui permet de er plusieurs types de lacs, liés d'ailleurs entre eux par des for-
més médiateurs

re les ramifications de l'Oural et tout près de la limite des paragneuses et planes du versant oriental de l'arête, sont disséminés des lacs qui se distinguent par les caractères suivants:

Il se trouvent épars dans une région constituée essentiellement des roches cristallines formant sur les bords des îles et des rochers en plus ou moins grand nombre. Leur contour, leur forme, leur disposition, leur disposition, dépendent habituellement de

On pourra trouver les principales données sur les lacs du versant de l'Oural dans les ouvrages suivants:

tschikow. Topographie d'Orenbourg. St. Pétersb. 1762; 2-me édit. 1880.

пѣхин. Journal de voyage à travers différentes provinces de l'empire Russe. 1872.

itchkow. Journal de voyage dans la steppe Kirgiz-Kaizak. St. 1772.

II. 1712. Mas. Reise durch verschiedene Provinzen Russlands. 1783.

Ueck. Beiträge zur topographischen Kenntniss des Russischen Reichs. St. Petersburg. 1875.

ermann. Versuch einer mineral. Beschreib. d. Uralischen Geb. 1789.

pow. Description foncière du gouvernement de Perm. Perm. 1804.

bou. Descrip. orogr. et stat. du gouv. d'Orenbourg. Moscou. 1837.

Kom... Les lacs saumâtres de Tchéliabinsk. Journ. d. mines. 1859.

ysel. Matériaux pour la géographie et la statistique du gouv.
m. St. Ptb. 1864.

ich. Description des lacs salés, situés au-delà de la ligne des
s de l'arrondissement d'Orenbourg. Nouv. du gouv. d'Oufa. 1866.

la direction des roches cristallines schisteuses qui constituent la trée. Sur cette même direction aussi se trouvent des enfilades de ordinairement renfermés dans une bande, formée par les mêmes r (voir sur la carte p. 4 les lacs: Silatch, Soungoul, Kéréty, Kasl tiach et Bolchaïa-Nanoga, Miassowo, Terenkoul, Petit- et Grand siagath, Yélowofé, Tchébarkoul).

Tous ces lacs atteignent souvent une profondeur considérable, quelquefois à proximité de leurs bords. La plupart (presque tous) d écoulement. L'eau en est toujours douce.

Un tout autre caractère ont les lacs de steppe qui sont plus é de la partie centrale de l'Oural; ils offrent un type contrastant : plètement avec celui des lacs des montagnes. Le nombre en est grand et l'espace sur lequel ils sont dispersés est très considérab s'étend au loin à l'est.

Ces lacs-ci se trouvent dans une région occupée par les d tertiaires stratifiés horizontalement. Les contours en sont simpl leur profondeur, malgré leurs dimensions considérables, est ordi ment très petite. Près des bords on remarque parfois des terrasse contours amollis, témoignage que les lacs occupaient autrefois une due beaucoup plus grande. Ni dans la direction de leur plus gr étendue, ni dans leur groupement on n'observe aucune régularité.

Presque tous les lacs de steppe sont sans écoulement. Beas d'entre eux sont à eau douce; dans d'autres l'eau est saumâtre et lée; il y en a même où le sel se dépose. Dans quelques-uns des c'est NaCl qui domine, dans d'autres il est associé à des quantités ou moins fortes de sel de Glauber et de sels magnésiaux ¹⁾.

Presque tous ces lacs portent des traces évidentes d'une dimi ou d'un dessèchement qui se sont produits peu à peu.

La limite orientale du terrain cristallin occupée par ces l type I est séparée de la limite occidentale de la région des dépôts tiaires avec ces lacs de steppe, par une bande de terrain compos

tant sédimentaires que massives et clastiques (tufs). Les lacs inés sur cette bande se distinguent par certains caractères de des régions cristalline et tertiaire, formant ainsi un type inter-ire. Comme les lacs de steppe, ils ont des contours relativement s, des bords peu sinueux et plats. Les rochers isolés qui s'y élè-à et là, rappellent les lacs de la partie centrale de l'Oural. Comme ces derniers, la direction longitudinale des lacs de la bande inter-ire coïncide avec celle des roches (Chablich, Kroutogouz etc.) tionnant, ici aussi, les files de lacs que l'on y observe parfois (Soun-Tcherwianoïé, Chablich, Grand et Petit Kouyach'. L'eau y est douce ès rarement, faiblement saumâtre. Quelques-uns de ces lacs ont un ement, les autres n'en ont pas.

En parlant de l'hydrographie du versant oriental du l'Oural, il est isible de passer sous silence les marais.

Les marais, nous l'avons dit plus haut, sont surtout développés les vallées, aux cours supérieur et inférieur des rivières et près rds des lacs. Il y en a qui sont d'anciens lacs, couverts aujourd'hui age. Parfois les petits lacs se couvrent comme d'un manteau é de plantes marécageuses entrelacées, sous lequel ils continuent existence; cela se présente surtout sur les bords; des parties s'en chent et sont emportées par le vent sous forme d'îles flottantes.

Indépendamment des marais qui sont en liaison évidente avec des , de grands espaces marécageux se trouvent sur les bandes situées e les rivières. Assez souvent les marais sont disposés sur le versant ètes, quelquefois assez raides.



Exemple d'un espace marécageux entre les rivières (non loin des sources de la Petite-Reft).

Pour compléter la caractéristique du versant asiatique de l'Oural, il est encore nécessaire d'en mentionner les terrains salins. Les couches et enduits de sel qui se forment par un temps sec sur la surface du sol, et qui revêtent parfois même les plantes caractéristiques des terres salines d'une frange de sel, ont leur plus grand développement dans la région des lacs salins; mais des enduits peu importants se rencontrent aussi à l'ouest et même à une hauteur assez considérable.

Les variations dans la répartition et le nombre des lacs salins dépendent pas seulement de l'eau s'infiltrant dans le sol, mais aussi du vent qui répand le pulvérin salé. Les particules de sel emportées par le vent dans les lacs, s'y agglomèrent pour ainsi dire en un seul point et par un temps plus ou moins long. C'est la seule partie de sel qui se trouve dans les rivières par une de ces voies) qui est emportée évidemment au-delà des limites du territoire salin.

Il a été dit plus haut qu'en jetant un regard sur la carte géologique on peut se rendre compte aussitôt de la différence de la constitution des versants occidental et oriental de l'Oural. Entre les dépôts sédimentaires du versant ouest les roches massives occupent des espaces relativement limités, affleurant surtout à une faible distance de l'axe de l'arête. Au versant oriental, au contraire, se développent principalement diverses variétés de roches cristallines massives ou schisteuses, entre lesquelles les roches sédimentaires normales ne paraissent que sur des espaces isolés de petite étendue. Et encore les roches massives y sont-elles souvent accompagnées de tufs, presque entièrement inconnus sur le flanc ouest de l'Oural. Les lambeaux des dépôts normaux n'apparaissent ordinairement qu'en bandes ayant presque toujours la direction du méridien et qui, tout en n'ayant qu'une largeur fort limitée, s'étendent sur des dizaines de kilomètres; telle est par exemple la bande des dépôts carbonifères qui passe près de l'usine Kanskaya et court loin vers le nord.

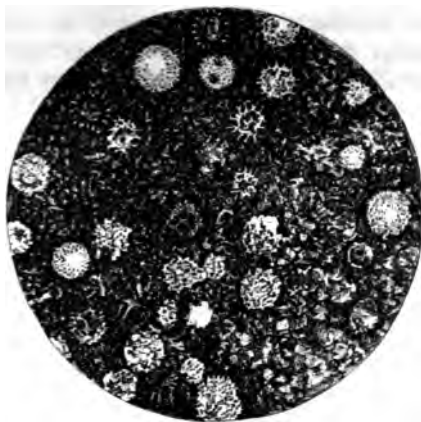
Siniatchikha dans l'arrondissement d'Alapaïew; Nijny-Taguil; à de Kouchwa, par ex. sur la rivière Izwestka; usines Bogoslov-
t Pétropavlovsky etc.).

Les tufs accompagnant les porphyrites contiennent aussi des res-
surgiques (*Pentamerus sp.*, *crinoides* etc.).

Les tufs sont très développés dans l'Oural du sud, où ils sont sou-
interstratifiés de couches de jaspe contenant des radiolaires en
abondance que le jaspe peut être considéré comme vase à radio-
s transformée.

Les radiolaires du jaspe ouralien ont été d'abord découverts par
Tschernyschew, et la description en a été faite par Rüst dans
ouvrage „Beitr. z. Kenntn. d. foss. Radiolarien“ (Palaeontographica,
XVIII, 1892, p. 107). Un fait digne de remarque c'est la présence
des jaspes de minerai de manganèse. La suite des tufs et jaspes
donc à peu près la même composition que les sédiments pélagi-
et terrigènes de la mer profonde.

Malheureusement il est encore difficile de déterminer à quelle sub-
division du système dévonien appartiennent les sédiments à radio-



Jaspe rouge. D'après Tschernyschew.

Au dévonien moyen du versant est de l'Oural semblent se rappor-
ter les calcaires à coraux et stromatopores (domaines Kamensky, Ir-
bity) peut-être aussi le calcaire du village Kadinskaja sur l'Isset
Bruevvaldtia latilinguis Schnur., *Rhynchonella procuboides* Kays.,
Strophomena striatula Schloth., *Pentamerus galeatus* Dalm. etc.), et les
trilobites près du village Pokrovskoïé dans le district d'Irbity
Strophomena fecundus Barr., *Anarcestes lateroplatus* Beyr., *Pleuro-
maria subcarinata* A. Roem., *Tentaculites acuaris* Richt. etc.)

Parmi les dépôts qui sont à classer dans le dévonien supérieur, se
surtout remarquer les calcaires du lac Koltouban (*Monticoceras*

intumescens Beyr., *Spirifer disjunctus* Sow., *Sp. Archiaci*, *Rhinchonella coboïdes* Sow. etc.), de Werkhneouralsk (*Pha. Schlotheimi* Bronn., *Goniatites (Prolobites) cf. delphinus*, *Clymenia n. sp.*, *Cl. striata* Münster etc. ¹⁾), du village Sosnolova Bobrovka (district d'Irbit), ainsi que les grès et les schistes à *Eutomis serratostrata* Sandb. *Cardiola retrostrata* Buc

Le système carbonifère du versant est de l'Oural se compose de dépôts suivants, en commençant par ordre d'ancienneté:

- 1) Argiles schisteuses, schistes argileux, grès et conglomérats avec intercalations de houille et concrétions de sidérite. Les restes organiques sont presque exclusivement des plantes: *Lepidodendron Glinckanum* Eichw., *raficoides* Brgn., etc. ²⁾. Parfois les roches sont finement métamorphosées et les schistes carbonifères sont remplacés en graphiteux avec vestiges de plantes (*S. raficoides* Brgn. etc.)
- 2) Calcaire à *Productus giganteus* Nart., *Pr. striatus* coraux etc.).
- 3) Calcaire des horizons supérieurs, se rencontre rarement sans liaison visible avec le calcaire à *Productus giganteus*. Dans cet horizon peuvent être classés les calcaires de Tymka, à faune décrite en partie par Verneuil: *Productus Marianum* M. V. K., *Pronotites cyclolobus* v. *uralensis* etc. On a trouvé plus de 100 espèces de coraux dont beaucoup ne sont pas encore décrites.
- 4) Ordinairement les calcaires à *Productus giganteus* sont placés vers le haut par un calcaire schisteux ou conglomérat grossier dans lequel les fragments de coraux de différente grandeur (souvent à *Productus giganteus*) sont liés par un ciment également calcaire. Les coraux se remplacent par des grès recouverts de m

liyna au NE de Tchéliabinsk, et, dans l'Oural moyen, près Chédansk à l'est d'Ekathérinebourg et de l'usine Kamensky. Des flots semblables ont également été découverts dans l'Oural du nord, près de l'extrémité sud de la chaîne, dans le district d'Orsk. En effet, sur le versant est de l'Oural du nord on trouve encore des fossiles du jurassique supérieur à Ammonites, découvertes en 1834, et du crétacé inférieur et du crétacé supérieur à *Baculites* et autres. Les roches du crétacé supérieur à *Belemnites mucronata*, *Grypaea* etc. se rencontrent aussi à l'extrémité sud de l'Oural, dans la partie centrale de la chaîne. (Dans la steppe au-delà de l'Oural le crétacé supérieur a été récemment découvert sur l'Aiat, affluent gauche de la rivière Tobol.)

Les sédiments tertiaires du versant oriental des monts Oural sont remarquables. Commencant à 50—150 kilomètres de l'axe de la chaîne, ils s'étendent en couches horizontales qui vont au loin, en s'élevant, dans l'intérieur de la Sibérie. Les roches dominantes de ces dépôts, dans leur zone la plus voisine de l'Oural, sont des grès possédant parfois des propriétés très originales, et surtout une roche formée d'un mélange intime d'une substance argileuse amorphe avec de la silice également amorphe. Cette argile siliceuse occupe un espace considérablement grand. Ainsi elle règne près de l'Irbît, de Kamychlow, de Tobolsk etc. Elle se montre sous la forme de roche compacte d'un blanc ou foncé, quelquefois un peu jaunâtre, dont les variétés typiques ont la propriété de se désagréger en petits morceaux à arêtes vives et à surfaces bizarrement sinueuses.

Les fossiles sont extrêmement rares dans ces dépôts. A côté de débris de squelettes, de spicules d'éponges et de radiolaires, on y a trouvé des coquilles de *Lingula* n. sp., des empreintes de coquilles de *Lima* *truncata* sp., l'éponge *Botroclonium* *Spasski* Hinde etc. Différentes considérations ont amené les géologues russes à rattacher ces dépôts à l'éocène.

A l'E de la zone de l'argile siliceuse, ce sont des grès assez faiblement cimentés qui sont le plus répandus, accompagnés de sables et de galets.

On a trouvé dans ces dépôts nombre de restes bien conservés de poissons: *Lamna elegans* Ag., *Lamna cuspidata* Ag., *Lamna denticulata* Ag., *Otodus macrotus* Ag., *Notidanus serratissimus* Ag. etc.: *Perca minor* Ag., *Actobatis* sp.; l'ichthyodolite *Myliobates* etc. En plus, on y a rencontré des restes de mollusques; l'espèce la plus intéressante, *Cyprina*, ressemble beaucoup à *Cyprina perovskii* v. Koen. On voit en outre: *Modiola* n. sp., *Psammobia* (?) n. sp. *Fusus* *staminea* cf. *gracilis* da Costa, *Fusus multisulcatus* Nyst et *Nassa* sp.

¹⁾ Comme nous l'avons déjà fait observer plus haut, les flots isolés de roches tertiaires, échappés à l'érosion, émergent parfois beaucoup plus près de la principale ligne de partage de l'Oural.

Ces dépôts se classent dans l'oligocène.

Au nombre des dépôts les plus remarquables du système tertiaire, au versant est de l'Oural, se rapportent, outre les sables développés au nord de la 61-me parallèle, des sables et platinifères, ces derniers appartenant exclusivement à la formation des serpentines et à leurs roches primitives. Intimement liés aux serpentines et à leurs roches primitives, la saignée desquelles les placers platinifères doivent leur existence, ceux-ci n'offrent pas un développement aussi étendu que les aurifères.

Les dépôts aurifères de l'Oural forment des masses stratigraphiques, parfois très minimes, peuvent aller jusqu'à 4 mètres d'épaisseur et même davantage. L'épaisseur la plus ordinaire est de 0,5 m. et 1 m. Leur longueur, ordinairement de 20 à 40 m., parfois 200 et même 500 m. Il est rare qu'ils soient plus longs. On connaît cependant quelques-uns qui ont 4 1/2 klm., 6 klm., 12 klm. (placers du district Bogoslovsk). La largeur des placers est parfois de 2 à 4 m.; habituellement elle compte de 20 à 40 m. et parfois jusqu'à 100 m. et davantage. Quelquefois on a trouvé les placers immédiatement sous la terre végétale ou sous le gazon, mais toujours elles sont recouvertes d'une roche stérile, d'une couche alluviale dépourvue d'or, appelée „tourbe“, parce que les premiers placers trouvés dans l'Oural étaient souvent recouverts d'une véritable tourbe. L'épaisseur de cette couche est ordinairement de 0,5 m. à 4 m. et en certains cas atteint 20 m. et même davantage. Les placers gisent ordinairement sur une roche dure ou quelque peu désagrégée, dite „plotik“, et, rarement, une couche alluviale ne contenant point d'or, superposée dans certains cas à une seconde couche aurifère qui repose immédiatement sur le „plotik“.

Les placers aurifères se trouvent à l'ordinaire dans les vallées et des ruisseaux ou dans des vallons et des thalwegs.

du cours d'eau qui a participé à la formation du placier. La teneur en or dans les placiers exploités varie dans l'Oural entre 0,57 et 2,6 gr. par tonne. Une teneur plus forte se rencontre rarement et arrive surtout dans les petits placiers ou dans de petites parties de placiers plus considérables (quelquefois environ 16 kilogr. par tonne). L'or est presque toujours accompagné de magnétite qui, au lavage, est sous forme de sable, appelé „Schlich“, et plus rarement sous forme d'oligiste, d'ilménite et de chromite. Le plus souvent on rencontre aussi du quartz, très souvent du platine et du grenat et quelquefois du zircon, du disthène, des diamants etc.

La richesse des placiers ne semble pas toujours dépendre de la nature des roches voisines. Dans l'Oural, les gîtes les plus sérieux et les placiers les plus productifs semblent être propres aux régions occupées par des grünschiefer et des schistes cristallins talqueux, chloriteux. Les moins productifs sont les espaces occupés par le granite, le gneiss micacé, ce qui d'ailleurs se présente rarement.

On a remarqué quelquefois que les placiers, gisant sur les calcaires, sont particulièrement riches. En ce cas la surface des calcaires est recouverte et présente comme des haquets naturels dans lesquels l'or se dépose lors du lavage des sables.

Les placiers de l'Oural se rapportent aux dépôts posttertiaires. En ce cas ce sont des dépôts récents qui contiennent parfois des objets trouvés de main d'homme; en partie—des dépôts postpliocènes renfermant des restes de mammouths, de rhinocéros etc. Presque tous sont situés sur le versant est, très peu sur le versant occidental ou sur la ligne de partage.

Parmi les roches cristallines stratifiées du versant est de l'Oural les plus importantes: gneiss à biotite, à muscovite, à deux micas, amphibolique, ouralitique etc.; schistes micacés, chloriteux, talqueux, amphiboliques, siliceux etc. (p. ex. à disthène); diverses phyllites et quartzites. Parmi les schistes cristallins on rencontre des calcaires et des marbres (marbres), parfois avec restes organiques. La listvénite de la vallée de la rivière Rose, composée principalement de magnésite ferrugineuse (serpentine) mélangée de talc et de quartz, n'est le plus souvent que le produit d'une transformation de calcaire. Parmi les roches massives sont à citer: granites (granitite, granite amphibolique etc.), diverses syénites (syénite néphélinique à biotite) porphyres quartzeux, feldspathiques, porphyre à orthose, diorite, gabbro, norite, diabase, différentes gabbros, péridotites très variées, roches à diallage et d'autres composées sous la dénomination de pyroxénites; serpentine, roche originale, composée de corindon et d'anorthite. Beaucoup de ces roches ont été soumises à un métamorphisme dynamique plus ou moins fort auquel sont dues, entre autres, leur existence les schistes verts et les schistes micacés.

Les rapports mutuels des diverses formations du versant oriental de l'Oural sont assez confus à cause de la dislocation de tous les dépôts, à l'exception de ceux du tertiaire, du posttertiaire, du crétacé.

supérieur, rare dans cette région) et du traversement des roches sédimentaires par les massives.

Toute cette région est constituée par les roches citées ci-dessus qui apparaissent communément en bandes ayant à peu près la direction du méridien, à l'exception toutefois de la partie orientale, où il y a développement de dépôts tertiaires. Les roches que nous venons d'énumérer alternent fréquemment entre eux, tantôt pour ainsi dire normalement, dans l'ordre de leur ancienneté, tantôt sans aucun ordre régulier. La direction des bandes correspond à celle de la stratification. Les couches ne s'inclinent ordinairement, pas dans le sens de la plongée, mais approximativement vers l'ouest. La disposition des roches en bandes, troublée d'ailleurs en plusieurs points, dépend du plissement des roches, du traversement des roches sédimentaires par des bandes de roches massives, et, partiellement, des divers degrés de changement de métamorphisme des mêmes dépôts. La prédominance de l'inclinaison des couches vers l'ouest est due principalement au plissement clinal.

Il semblerait qu'avec leur éloignement de l'axe de l'arête, les dépôts anciens feraient place à des dépôts plus récents, que la stratification serait moins dérangée et que le métamorphisme devrait être de plus en plus faible. En traits généraux il en est effectivement ainsi, néanmoins, sur le versant oriental, jusqu'au méridien où les dépôts tertiaires apparaissent en nappe ininterrompue, relativement puissante, les différentes formations alternent sans aucun ordre, tant sous le rapport chronologique que sous celui du degré du changement qu'elles ont eu à subir. Comme certaines données semblent le prouver, ces dépôts conservent la même allure sur une distance considérable vers l'ouest, restant tout le temps cachés sous les dépôts tertiaires de plus en plus épais.

Pour donner une idée plus précise de la structure géologique des parties abrasées du versant asiatique de l'Oural, où les dépôts sédimentaires

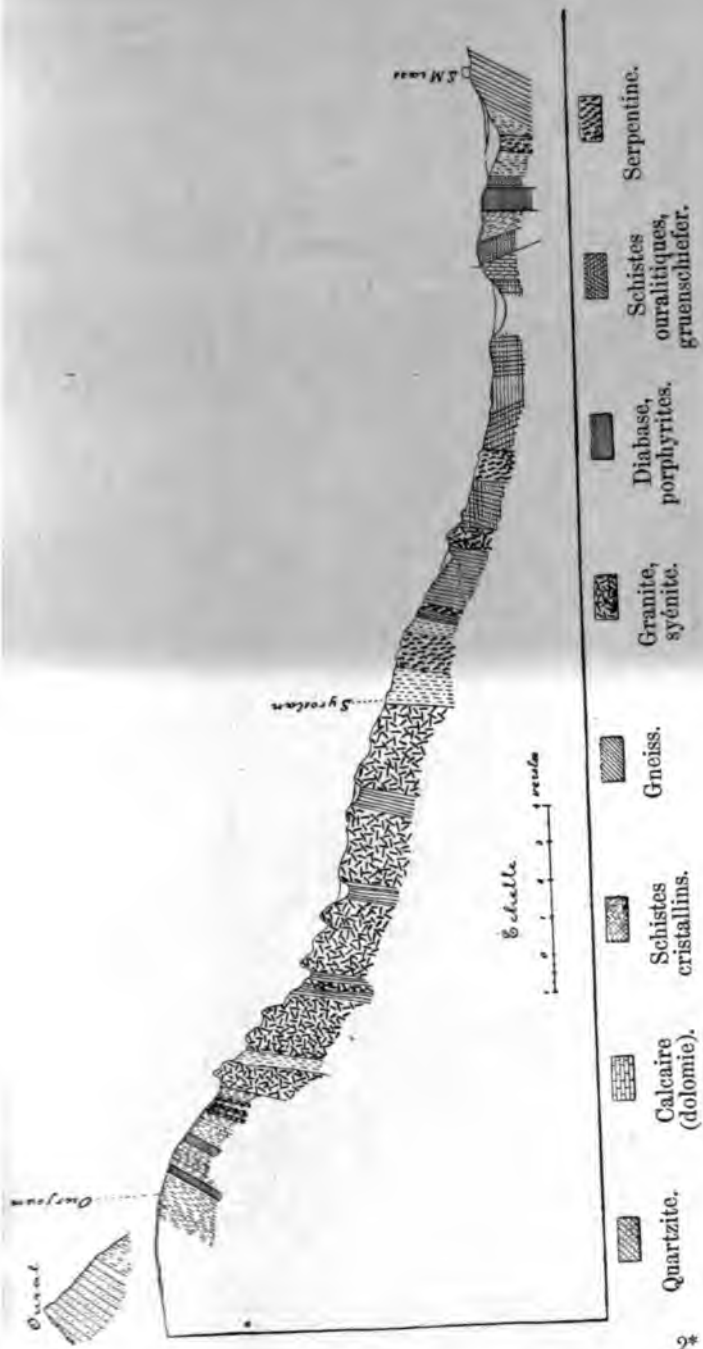
(paléogène), et une partie considérable des dépôts a dû s'y former dépens des roches plus anciennes faisant alors saillie au-dessus du niveau actuel de la contrée.

La différence que l'on observe dans la structure géologique des deux versants de l'Oural se reflète sur la distribution, dans ces régions, des richesses minérales.

Ainsi les gisements stratifiés, tels que les gîtes de limonite, de cuprifères et de houille, se trouvent surtout sur le versant occidental de l'Oural, tandis que les gisements en filons et en amas se rencontrent principalement sur le versant oriental, où se présentent presque indépendamment des gîtes de magnétite, d'or, de fer chr et de minerais de cuivre. Parmi les gisements stratifiés, les plus seuls sont propres à l'est de l'Oural et cela est tout naturel grâce au lien qui les rattache aux gîtes primitifs.

D'Ourjoum à Miass.

Bientôt après la station Ourjoum commence la descente du versant oriental de l'arête. La coupe adjointe montre la structure géologique de la contrée le long du chemin de fer, l'espace étant proportionnellement réduit là où la voie ferrée se déroule en zigzags. La coupe fait voir que les micaschistes, brusquement inclinés vers l'W (où ils sont recoupés par des filons de diabase métamorphosée et renferment des couches de marbre (dolomies), parfois fétide, à cristaux de quartz et vestiges de restes organiques. Près de leur limite est, les micaschistes sont traversés par des filons de granite et de porphyre (tranchée à la 775-me verste) et sont ensuite remplacés par des roches granitiques (ça et là accompagnées de gneiss), assemblage de granite à biotite (granitite), comme dans l'Oural, de granite sans mica (ap



la chlorite, le quartz, la calcite, l'épidote etc. Près du pont de la Syrostan les schistes sont interrompus par du granite, puis par de la péridotite et plus loin, à la 806-me verste, ils renferment du calcaire offrant dans la tranchée un contact irrégulier.

A la 807-me verste viennent se montrer des schistes argileux et des felsites, remplacés bientôt par des schistes verts entre lesquels affleure une porphyrite augitique. Plus loin, les alluvions dans la vallée Miass recouvrent les roches sous-jacentes jusqu'à la station du même nom où apparaissent des gneiss à biotite et à amphibole avec des filons de granite à gros grain.

La structure géologique de la contrée, entre les stations Ourjou et Miass, est plus compliquée qu'elle ne le paraît le long de la voie ferrée. Sur l'ancienne route postale passant à proximité, se remarquent souvent, jusqu'au village Syrostan, des affleurements de gneiss que l'on ne trouve pas à côté du chemin de fer, et, sur une distance de 70 verstes entre le village Syrostan et Miass, espace se distinguant particulièrement par sa complexité, les roches alternent plus de 70 fois.

Presque toute la région comprise entre Syrostan et les montagnes Ilmen, au pied desquelles est située la station Miass, est aurifère. Le centre de ce rayon aurifère est le village Miass (usine de Miass), situé non loin de la station du chemin de fer au pied des montagnes Tchachkovsky, rameau de la chaîne Ilmen. Les montagnes Tchachkovsky sont constituées par des gneiss, en partie par des granites traversés çà et là de nombreux filons de diverses variétés de granite et de filons de quartz. Sur les pentes assez raides de ces montagnes exploitait autrefois les sables aurifères, évidemment formés par la destruction du gneiss dont le produit est resté sur place.

Les gneiss sur lesquels est construit Miass, sont traversés, dans les limites du village, par de la péridotite et, dans sa partie ouest, sont remplacés par du schiste siliceux (Kieselschiefer) et par de la phyllite.

Parmi les placers du district de Miass on visitera celui qui

Rose l'appellation de miaskite, remplacé ensuite par le terme heureux de syénite néphélinique (éleolithique)¹). La miaskite est seulement caractéristique de la partie de la chaîne qui porte le nom de monts Ilmen, mais aussi de son prolongement nord, où elle se trouve dans les montagnes Baïksky, Sobatotanina et Wichniowala (voir la carte, page 4). Dans ce prolongement nord des monts Ilmen on rencontre encore une autre roche, formée d'anortite et de corindon, roche qui doit être considérée comme un type distinct et non comme un mélange fortuit.

Le gisement primitif de cette roche remarquable qu'on n'a considérée longtemps que par des fragments, fut découvert en 1848 lors de la visite de Stchourovsky de l'Oural, et, dans ces derniers temps a été soigneusement étudiée par Morozéwicz. En outre, un gisement important de cette roche fut découvert à 3 ou 4 klm. de Kaslinsky; des fragments en ont été trouvés aussi dans la montagne Sobatchia, à une distance d'environ 20 klm. vers le sud de m.

En outre cela, dans les gneiss, non seulement des monts Ilmen, mais dans leur prolongement nord, on a trouvé des filons d'une roche composée essentiellement d'orthose et de corindon; cette roche peut être considérée comme analogue aux syénites, le corindon étant équivalent pétrographique de la biotite.

Les traits curieux des monts Ilmen, dans leur sens le plus large, et ces montagnes, sur une étendue d'environ 150 klm., sont plus riches et mieux caractérisées que l'arête principale de l'Oural, qui, à la même distance, offre tantôt des quartzites et des micaschistes, tantôt du granite et du gneiss, tantôt enfin des serpentines qui dans ce cas les roches prédominantes.

La miassite ou syénite néphélinique à biotite (Biotitnephelin) occupe dans les monts Ilmen plusieurs espaces dont le plus considérable se trouve près du lac Ilmen. Là, comme dans presque tous les autres endroits, se développent surtout des variations grenues et micacées de miassite, traversée par des filons de miassite à très gros grain, dont le volume des éléments sera indiqué plus bas.

Dans la composition des syénites néphéliniques des roches d'Ilmen entrent: kalifeldspaths: orthose typique, microcline ou microperthite, néphéline (éléolite), parfois plagioclase (albite), biotite, quelquefois hornblende ou augite. Sous forme d'éléments accessoires on y trouve: la sodalite, la cancrinite, le zircon, la titanite etc.

La plupart des variations gneissiques sont produites par des mouvements dynamiques dont les traces se remarquent assez nettement dans les variations grenues ¹⁾.

La syénite qui contient parfois de la microperthite, se trouve dans une certaine relation avec les roches dont nous venons de parler.

Les monts Ilmen, personne ne l'ignore, sont célèbres par leurs gisements de minéraux, exploités au nombre de plus de 150. Les exploitations se concentrent aux alentours du lac Ilmen. Les principales d'entre elles sont indiquées sur notre carte. Elles ont été si brièvement décrites, au point de vue minéralogique, par le professeur Runi, qu'il ne nous reste qu'à en donner ici la description géologique.

¹⁾ Je cite ici les analyses non encore publiées, faites par M. Runi.

	I.	II.	III.
	Miaskite grenue près du lac Ilmen.	Miaskite schisteuse du mont Sobatchia.	Miaskite schisteuse du mont Wichniowal
SiO_2	52,03	56,26	54,17
TiO_2	0,99	0,47	0,98
Al_2O_3	22,34	23,59	23,25

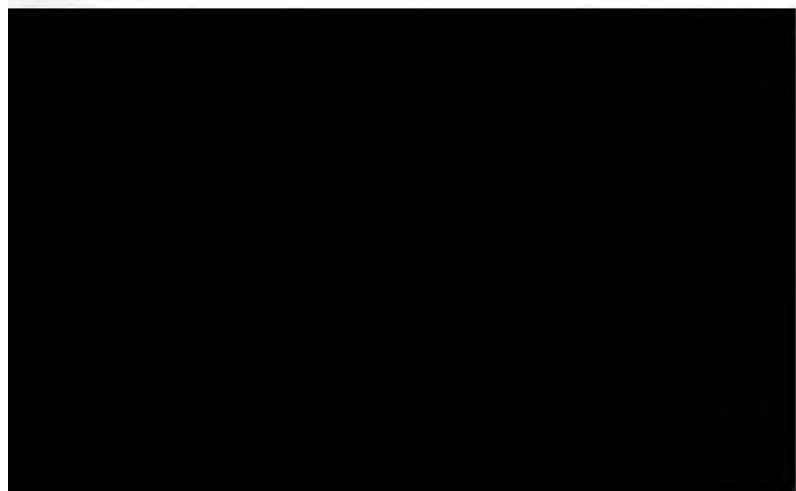
de des excursions du VII Congrès Géolog. Internat. Pl. A.



Montagnes Ilmen et vallée de la riv. Miass. Vue prise de vallée de Sotmonovsk.



La région des lacs et la plaine sibérienne. Vue prise du mont Potanina.



uns des gisements se trouvent dans la miassite, d'autres onnés aux syénites ou sont renfermés dans les gneiss. miers de ces gisements offrent des filons pégmatoïdes et ns au milieu d'une miaskite schisteuse ou grenue. Outite à gros grain, on a parfois rencontré dans ces filons des veines de calcaire cristallin (N° 6 et 16). Les filons sésent quelquefois un grain très gros; les individus des eignent souvent 10 cm. et davantage. Une fois même on cristal de biotite pesant 62,67 kilogr. Dans le gisement on odalite, cancrinite, zircon, titanite, ilménite, apatite fluorine. ns les plus répandus et les plus remarquables pour la va-inéraux qu'ils renferment, sont ceux d'un granite original iverse le gneiss.

nite typique des filons consiste en amazonite (microcline), rtz gris, incolore, parfois noir, et biotite. Il n'est pas rare leur verte de l'orthose est absente et cela se remarque non dans les différentes parties d'un même filon, mais encore individu. La présence de l'albite n'est pas partout égale; e même dans certains filons; quelquefois, mais rarement, domine sur l'orthose. Une certaine combinaison du quartz zonite produit parfois une belle pegmatite graphique.

che renferme des cavités à parois tapissées de cristaux for-es éléments du granite et l'on y rencontre de plus de très taux d'amazonite, d'albite, de mica, à côté de cristaux de roche. avités sont remplies d'une matière argileuse, souvent blanche, e, qu'on appelle „salo“ (graisse). Dans cette substance on s cristaux bien développés de topaze et d'autres minéraux. aux se recroisent du reste aussi comme enracinés dans la attachés aux parois.

e les topazes on rencontre encore dans les filons les cristaux aux suivants: béryl (aigue-marine), phénacite, tourmaline, . samarskite, monazite, monazitoïde, helvine, grenat, malacon, hiolite etc.

filons de syénite micacée, composée d'orthose, de plagioclase, e et parfois de muscovite, qui traversent les gneiss, renfer-minéraux très variés: zircon, pyrochlore, aeschynite, mona-lquefois apatite, sphène, magnétite, ilménite.

mines se distinguent d'après l'abondance des minéraux qui y ent; telles sont les mines de zircon, de pyrochlore, d'aeschy-e monazite.

filons de zircon contiennent souvent ce minéral en quantité idérable. Dans la mine, indiquée sur la carte sous le N° 12, vé un cristal de zircon du poids de 3,58 kilogr. Dans la 23 on a trouvé un échantillon de roche avec 40 grands cri-zircon.

incipal gîte de pyrochlore forme un filon (N° 12) épais de ètre. Ce minéral y est accompagné de zircon et d'apatite.

Les gîtes des monts Ilmen.

- | | |
|--|---|
| 1, 2. Zircon, ilménite. | 44. Muscovite. 45. Muscovite. |
| 3. Sodalite, ilménite, zircon. | 46—48. Muscovite. |
| 4. Ilménite, zircon. | 49. Monazite. |
| 5. Zircon, sodalite. | 50. Topaze, béryl, phénacite, samarskite, grenat. |
| 6. Apatite, zircon, sodalite, ilménite, calcite. | 51. Aeschynite, zircon, n. |
| 7. Zircon. | 52. Topaze, béryl (aigue marine), nacite, tourmaline, cristal de roche et quartz. |
| 8. Ilménite, zircon, grands cristaux de biotite. | 53, 54. Topaze, béryl (aigue marine), topaze. |
| 9. Cancrinite, sodalite, ilménite, fluorine, sphène. | 55. Aigue marine, topaze. |
| 11. Zircon, apatite, ilménite, sodalite. | 57. Columbite, grenat, n. |
| 12. Zircon. | 58. Béryl, grenat, columbite. |
| 12'. Zircon, apatite, pyrochlore, sphène. | 59. Topaze, phénacite, calcite. |
| 12". Ouralorthite. | 60. Biotite sphérique, n. |
| 12'''. Aeschynite, zircon. | nat, columbite. |
| 13. Amphibole avec zircon et biotite. | 61. Béryl, topaze, columbite. |
| 14 Graphite. 15. Molybdénite. | 62. Béryl, topaze, tourmaline. |
| 15'. Sphène, apatite, pyrochlore. | 63. Columbite, monazite, n. |
| 16. Zircon, ilménite, apatite. calcite. | 64. Columbite, malacon. |
| 16', 17, 18. Zircon, magnétite. | 64'. Helvine, monazitoid. |
| 19. Zircon, ilménite. 20, 21. Zircon. | 65. Sphène. 66. Biotite. |
| 22. Zircon, ouralorthite. 23, 24. Zircon. | 68. Corindon, mica blanc, zircon. |
| 25, 26. Corindon, magnétite. | 69. Criolite, chiolite, topaze, aigue marine, columbite, phénacite (?). |
| 27. Béryl. 28. Ouralorthite. | 70. Topaze, béryl, phénacite. |
| 29. Corindon. 30. Ouralorthite. | |
| 31. Corindon, aeschynite, zircon, muscovite. | |

Carte des gîtes de minéraux dans les monts Jimen.



Outre les filons de syénite à biotite on rencontre dans ce ravin dans les gneiss, des filons d'une roche à orthose et à muscovite, parfois avec passage à une syénite à biotite; quelquefois vient s'ajouter le quartz, formant alors un granite à muscovite. En dehors de l'orthose (et de la micropertite) on rencontre aussi la plagioclase. Souvent la muscovite forme des cristaux, parfois allongés et transparents dans la direction des axes latéraux (N° 45). Dans les mêmes filons on trouve de l'aeschynite, de la monazite, du zircon, de la magnétite. Parmi les gites on distingue, d'après la prédominance de tels ou tels minéraux des filons et des mines de mica blanc, de monazites et d'aeschynite. D'un grand intérêt aussi sont des saillies rocheuses de filons de syénite à muscovite avec aeschynite. Les feuillets de muscovite qui hérissent la roche lui donnent un aspect „velu“ (N° 51). La mine d'aeschynite et de monazite, exploitée déjà dans le siècle passé pour en extraire la muscovite (N° 43), est la plus importante des exploitations dans les monts Ilmen.

A peu près de la même nature que les filons à syénite micropertite sont les filons de corindon dont la roche est composée de feldspathes, de biotite et de corindon; ce dernier est ici l'équivalent pétrographique du mica. Parmi les parties constituantes ce sont souvent l'orthose et le corindon qui prédominent.

Quelquefois les filons de telle combinaison ont une salbande de syénite à biotite (N° 31).

Le corindon diaphane se rencontre dans la mine N° 33. Dans la mine 68 on a parfois trouvé un corindon de magnifique couleur saphir. La couleur bleue est également propre au corindon provenant d'un gisement original, récemment découvert par M-r. Chichinsky sur le chemin du village Tourgoyak ou village Karassi.

Les filons à corindon renferment parfois aussi de la muscovite, de l'aeschynite, du zircon et de l'ilménite.

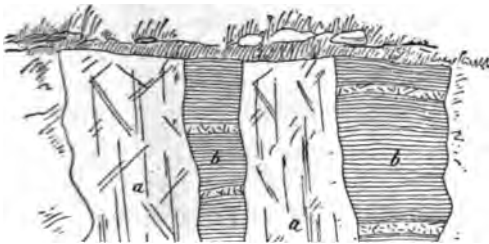
A la série des filons recoupant les gneiss se rapportent encore

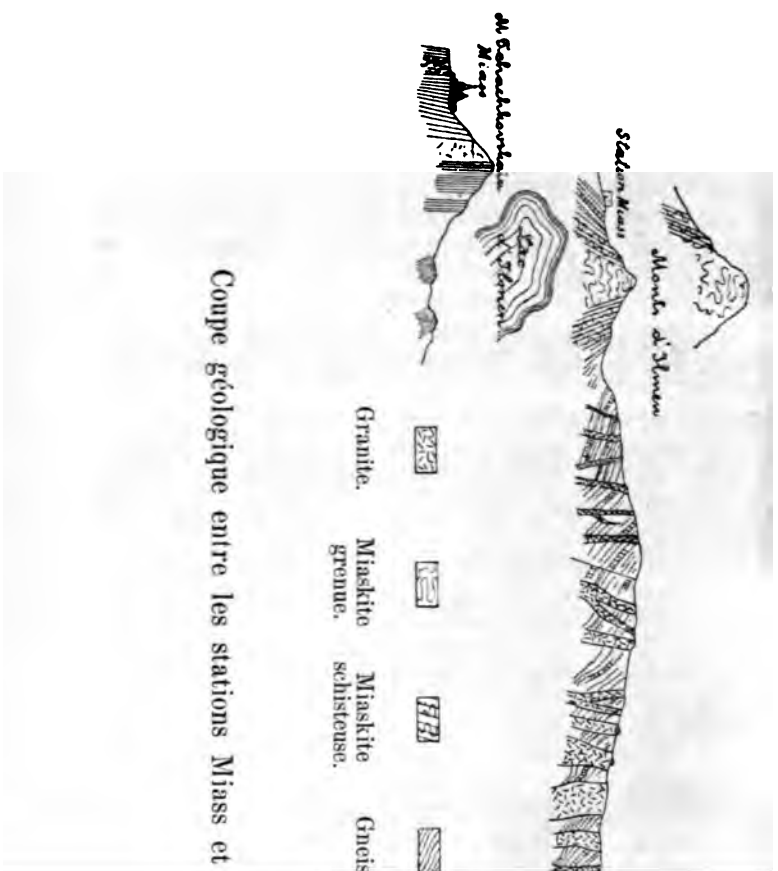
it formés de graphite ou de deux ou plusieurs couches de graphite alternant avec du feldspath, quelquefois avec uartz au centre.

mines indiquées sur la carte on ne pourra visiter, dans urson, que celles qui sont les plus proches du chemin

age de la voie ferrée et dans la région de la syénite né-
nt situées les mines de sodalite et d'ilménite qui forment,
une miaskite schisteuse, des filons de miaskite à gros
t 3), avec grands cristaux de biotite, et un gisement de
ns une miaskite grenue.

région occupée par la miaskite, le chemin de fer tra-
ace marécageux et s'engage dans une région de gneiss.
tranchée y traverse une ancienne mine de columbite où
filon de granite à amazonite, s'étendant vers le NE. La
ait accompagnée de malacon et l'amazonite s'y distinguait
couleur.

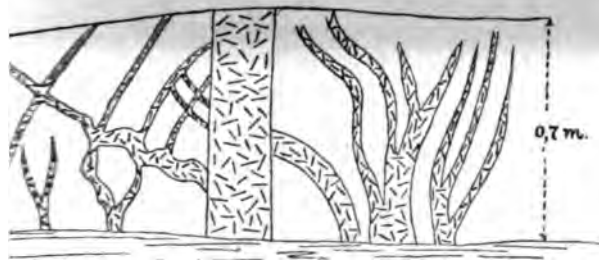




Coupe géologique entre les stations Mass et

phérique de la grandeur d'une tête humaine. De plus ce
nt de grands cristaux de monazitoïde.
autres mines près de la voie ferrée, on se propose de
lites de Lobatchow, et celles qui sont dans le voisinage.
rent des filons de granite amazonitique, traversant les
direction W—E. Les cristaux d'amazonite y ont atteint
sieur des filons est de 0,5 m. à 2 m. et même 3,5 mètres.
ntre de très beaux cristaux de topaze, allant jusqu'au
gr. Dans un des nids on a trouvé 16 grands cristaux de
n y a extrait en outre de magnifiques cristaux de beryl,
d'ilménorutile et de columbite.

ss amphiboliques et biotitiques affleurent sur tout l'es-
end jusqu'au lac Tchébarkoul et même plus loin. Les fi-
ite à amazonite, de même que tous les autres mentionnés
eviennent bientôt imperceptibles, mais les filons de granite
inaire (à biotite) se présentent en plus grand nombre et
lumineux, jusqu'à ce qu'enfin le granite devient prédominant
(n. 28). Les gneiss pincés entre les masses des granites contien-
nentes injections de granite et d'innombrables filons et veines.



Filons de granite dans le gneiss.

à de la station Tchébarkoul la région devient plus unie et
ments sont plus rares.

klm. en-deçà de la station Tchébarkoul apparaissent des
liceux, interrompus par une serpentine; puis viennent se
s schistes chloriteux, talqueux et argileux. Les schistes sont
emplacés par des grûnsteins: porphyrites augitique et ouraliti-
ites, transformées çà et là par le dynamométamorphisme en
ralitiques.

oin sur la route, les roches se rencontrent à peu près dans
me où elles sont représentées sur la carte géologique du
ental de l'Oural, ou sur la feuille 139 de la Carte géologique
e la Russie, avec cette différence cependant que la serpen-
talcaire qui affleurent au nord et au sud de la voie ferrée,

n'affleurent pas dans le voisinage immédiat de la ligne ou ne se montrent que comme produit de leur altération superficielle ¹⁾.

Les granites et gneiss réapparaissent à la 867-me verste et rompus, des deux côtés de la station Poletaiéwa (entre les versts 867 et 877), par des sorties de porphyrites augitique et ouralitique; ils dominent et affleurent fréquemment à partir de la 893-me verste jusqu'à la station Tchéliabinsk.

Cà et là, à côté de la voie ferrée, on exploite l'or de plusieurs de filons.

Les gîtes aurifères des environs de Tchéliabinsk.

Le granite développé dans les environs de Tchéliabinsk est exploité dans d'importantes carrières à une distance d'environ 5 km au sud de la ville. C'est le granite ordinaire de l'Oural à biotite (albite), traversé par des filons de granite dépourvu de mica, de granite et de granite amphibolique.

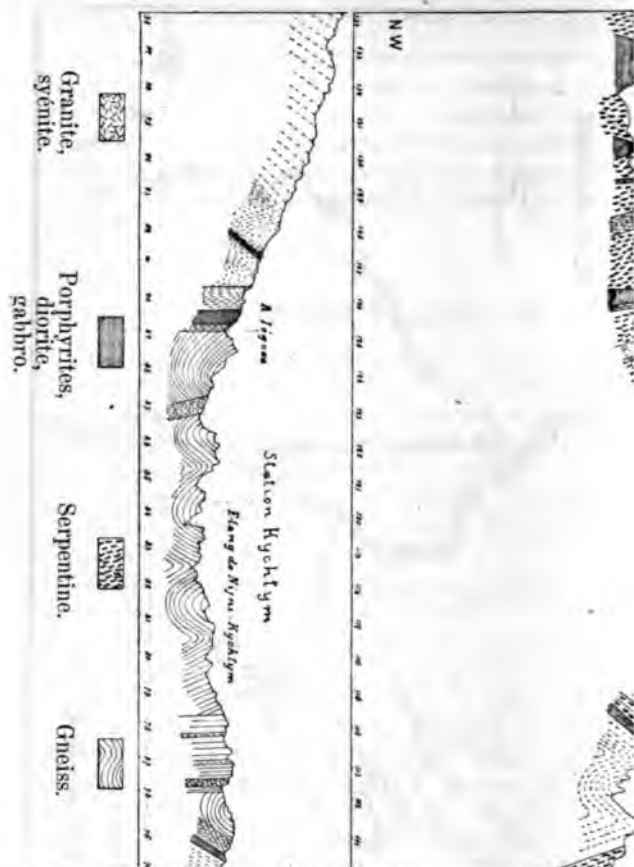
Près de Tchéliabinsk on a commencé, ces dernières années, l'exploitation des filons aurifères. Les mines se trouvent en majeure partie à 16—20 kilom. au SW de la ville.

Ces gisements, fort peu étudiés jusqu'ici, ont quelque ressemblance avec ceux de Kotchkar.

La roche dominante y consiste en granites très altérés à la surface. Dans la région on a également trouvé de la bérésite typique, des porphyres, de la diabase, des tufs de porphyrites, du jaspe et la contrée est traversée, principalement dans la direction NW, par des fentes et des failles. Ces fentes, dont le remplissage est d'une matière granitique cataclastique, sont accompagnées de filons aurifères consistant habituellement en quartz blanc opaque, teint par du fer oxydé hydraté. La puissance des filons, vari-

- 3) " Kamenna.
- 4) " Préobrajenska.
- 5) " Abramovska.
- 6) " Sédovska.
- 7) " Sadoubrovskaja.
- 8) " Aganinska.
- 9) " Bogatyrevska.
- 10) " Krasna.
- 11) " Parallelna.
- 12) " Pavlovskaja.
- 13) " Guéorguievskaja.
- 14) " Spizinska.
- 15) " Boutakovska.
- 16) " Pervouinskaja.
- 17) " Soubotinska.
- 18) " Voronkova.





est renfermé dans un granite formé d'orthose, de plagioclase, de quartz et de micropégmatite. En contact immédiat avec le filon (ordinairement au toit) se trouve le produit du granite encaissant, plus ou moins schisteux et dynamométamorphosé (cataclastique), pénétré partiellement de quartz secondaire.

Le filon se dirige vers NNE avec une faible inclinaison vers NW 15°. Sa puissance atteint de 0,7 à 1,35 m. La teneur en or qui se répartie assez régulièrement dans le quartz, est de 10 à 13 gr. par tonne.

De Tchéliabinsk à Kichtym.

A partir de Tchéliabinsk, dans la direction du chemin de fer vers Ekathérinebourg, le granite peut être suivi sur une distance de 8 kilom. Dans la tranchée près du pont de la Miass, cette roche se voit traversée par des filons ramifiés de diorite quartzifère ¹⁾.

Le granite supporte des argiles posttertiaires rouges et jaunes, recouvertes de tchernoziem. A partir de la 7-me verste jusqu'à la 52-me avoir quitté Tchéliabinsk, les argiles couvrent presque partout les roches plus anciennes. Ce n'est qu'en quelques rares endroits que se voit surgir des îles, échappées à l'érosion, de conglomérats terribles et de grès (12,20 et 43 verstes), et qu'apparaissent une argile glauconieuse à glauconie (44 verste), un kaolin avec veines de quartz (42 v.), produit de l'altération du granite sous-jacent, une diorite? (42 v.), une porphyrite dioritique (lac Kissiagatch) et une porphyrite bradorique (46 v.). Depuis la 50-me verste de pareils affleurements deviennent de plus en plus fréquents. En premier lieu viennent se montrer des roches aphanitiques et d'autres roches massives altérées élastiques. A la 64-me verste affleure une porphyrite uralitique qui passe, grâce au dynamométamorphisme, à un schiste uralitique. Ensuite apparaissent de la serpentine, du schiste chloriteux et, enfin, le gneiss et du granite, alternant d'abord avec les schistes chloriteux uralitiques prédominant plus loin. C'est sur ces roches qu'est construite l'usine Kichtymsky. Les gneiss sont tantôt biotitiques, tantôt amphiboliques, et souvent grenatifères ²⁾. La direction de toutes les roches cristallines stratifiées avoisine celle du méridien. La tectonique de la contrée est représentée sur la coupe géologique, p. 32.

Nous donnons sur la fig. p. 34 l'affleurement du gneiss dans la tranchée située près de la station Kichtym.

¹⁾ La description, les coupes géologiques et la carte de la région traversée par le chemin de fer Tchéliabinsk-Ekathérinebourg sont données d'après les recherches de Morozéwicz.

²⁾ Entre les gneiss de la 77-me verste M. Morozéwicz a découvert une diorite à glaucophane.

Affleurement de gneiss près de la gare



ment propre à ce district. Parmi les autres espèces pétrographiques on peut citer une roche ouralitique originale, des pyroxénites et des gisements fort intéressants d'or, de fer, de cuivre, de fer chromé, il y a encore des gîtes de minéraux: corindon rutile, perowskite, kaemmerérite etc.

Bibliographie principale.

- . Reise n. d. Ural. II, p. 144.
- son, de Verneuil, Keyserling. Geology of Russia. I, ch. XVIII.
- sky. Rech. géol. dans l'Oural. Bull. du Com. géol. 1883, II, 193.
- . Description géologique des districts de Kichtym et de Kaslinsk. Travaux de la Société des naturalistes de Kazan. 1884. XIII b. 3.
- vicz. Rech. géol. le long du chemin de fer Tchéliabinsk-Elkathérinebourg. Bull. Com. géol. 1897.
- phie détaillée v. chez Zaitzew.

ce district on se propose de visiter, outre la contrée voisine n de fer, le Songomak. Du sommet de cette montagne s'ouvre magnifique tant sur la plaine sibérienne (pl. B) que sur la montagneuse de l'Oural. Le Songomak offre aussi un immense point de vue géologique, par la nature de sa roche qui n'a été déterminée que grâce à l'étude microscopique.

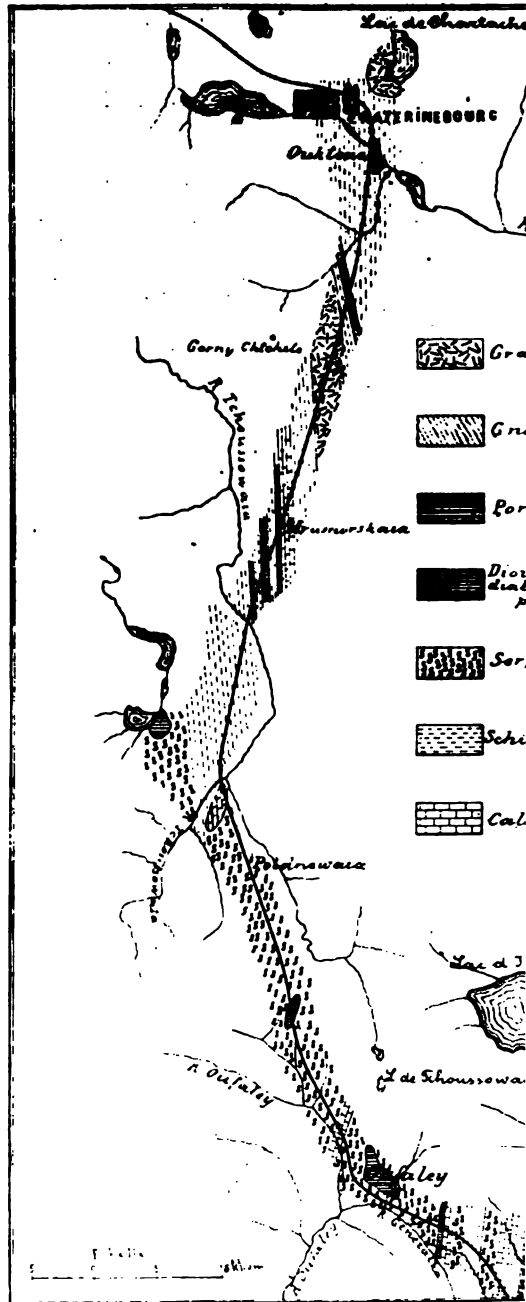
de Kichtym et le lac Songomak, on ne voit affleurer que des gneiss dioritique et amphibolique traversés, au nord du lac, par des dykes plus ou moins serpentinisés. Au même endroit apparaissent, sous des irrégulières, des masses de composition granitique et syé-

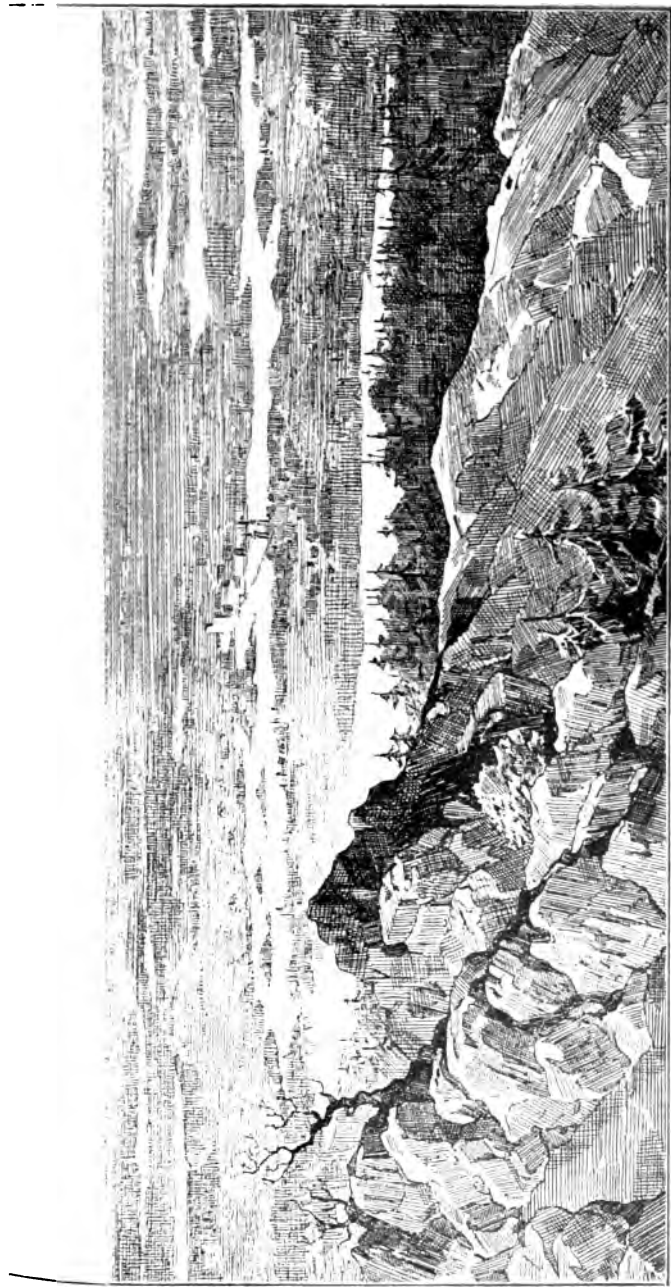
de schistes chloriteux, talqueux etc., entre lesquels on trouve, la 91-me verste, du porphyre ouralitique, parfois transformé. Un fait remarquable, c'est qu'à la fin de la 99-me verste les schistes changent la direction (inclin. W) qu'ils avaient dans le sens du Sud, en prenant celle de la parallèle (inclin. S), mais pour reprendre tout d'une demi-verste, leur première direction. Au-delà de la 105-me verste, près de laquelle il y a développement de diverses espèces de schistes étudiés en détail par Morozéwicz, viennent s'y ajouter des schistes qui prédomineront après la 115-me verste. La tranchée expérimentale même montre, avec de la serpentine, des schistes talqueux et chloriteux. Le schiste chloriteux contient de grands cristaux de chlorite, le schiste talqueux des nids d'actinolite radiée d'un vert émeraude, et la serpentine d'assez nombreux filons d'asbeste. Le tout est recouvert d'une couche de tourbe allant jusqu'à 3 mètres. La serpentine est développée plus loin renferme, à l'extrémité de la tranchée, du marbre. La même chose a lieu à la 135-me verste. Sur les nombreuses collines de serpentine on observe des noyaux de gabbro, ou de gabbro-diorite, et d'autres roches qui donnent naissance à la serpentine.

À l'ouest de l'Oural, le chemin de fer traverse une contrée relative, dont la surface argileuse couvre sans doute la même série. Elle forme la ligne la plus élevée du faite de partage entre les bassins de l'Ob et de la Tchoussowaïa. Cette roche est plus d'une fois remaniée, elle est composée de schistes chloriteux et talqueux (v. la carte p. 38).

On retrouve à peu près le même caractère dans la contrée comprise entre la partie du chemin de fer, qui traverse, sur une distance de 20 verstes, les dépôts de la vallée de la Tchoussowaïa et qui se termine au point d'affleurements de roches sous-jacentes (').

On voit que sur la rive droite de la rivière, que nous parcourons





Plaine sibérienne vue du mont Sougomak.



deutsch. geol. Gesellsch. 1885, XXXIV, p. 865.
Der Goldbergbau d. Umgeb. v. Berezovsk. Berg u.
Lüttenm. Zeitung. 1892, № 6, p. 45; № 7, p. 57; № 10,
p. 83; № 16, p. 145.
Oblastische von Berezov und Mias am Ural. Arch. f. pract.
Geol. II, 1895, 529.

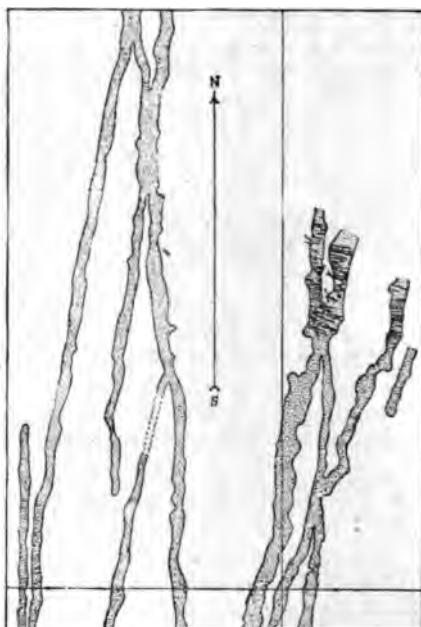
endue est occupée presque toute entière par des couches,
ou fortement inclinées, de schistes chloriteux, de listvé-
nistes talqueux et argileux, se dirigeant dans le sens du mé-
roches sont souvent accompagnées de serpentine et elles
pénétrées d'un réseau de filons presque verticaux, dits
bérésite. La bérésite qui se rencontre presque toujours
téré, offre tantôt un granite à grain fin, tantôt un por-
me felsite, tantôt elle diffère peu du greisen. Dans ce der-
le est probablement un produit secondaire ¹⁾).

ons de bérésite dont la puissance varie entre 2 m. et 20,
n., (à la jonction des filons leur épaisseur est encore plus
nt généralement la direction du méridien, tout en suivant
parfois la parallèle (v. la carte p. 40 où sont représentées
ations des filons, leurs jonctions etc.). Quelques-uns de ces
été constatés sur une longueur de plus de 8 kilomètres.

bandes" de bérésite sont recoupées obliquement (WE) par
très inclinés ou verticaux de quartz aurifères dont la puis-
linairement minime, peut s'élever à 0,7 m. et rarement à 1 m.
ement ces filons ne sortent pas de la bérésite, mais parfois
t aussi dans la roche voisine et s'étendent même jusqu'à la
bérésite la plus rapprochée. On peut se faire une idée du

le quartz et dans la pyrite, parfois aussi dans les autres qui accompagnent les filons, p. ex. dans la galène.

Près de Bérczovsk, dans les horizons supérieurs, les r presque toujours altérées, de sorte que le fer oxydé h porosité des filons de quartz paraissent être le résultat d'u ment des minéraux sulfurés, surtout de la pyrite. La bérésit forme assez souvent en une masse argileuse de couleur clair



e, magnétite, patrinite, pyrite, tennantite, tétraédrite; te, beudantite, lindheimite (bleinière), calédonite, cérusite, chrisocolle, goethite, hémalite, turjite, jossaitte, jarroldite, leadhilite, limonite, linarite, malachite, melanochroïte, pyrophyllite, scorodite, soufre, torbernite, vanadinite, wad, wulfénite.

Les gîtes de Bérézovsk sont disposés sur les mêmes roches qui contiennent les gîtes primitifs de l'or, c'est-à-dire sur un «plotik» argileux, chloriteux et argileux; la listvénite et la listvénite sont souvent traversées de bérésite. Ces roches sont ordinairement.

On exploite, près du village, un placer déjà mis au jour dans une mine souterraine. Une couche d'argile sableuse de 8 mètres, recouvre la couche aurifère dont la puissance est jusqu'à 4 mètres et qui repose sur un schiste traversé avec bandes de bérésite.

On exploite aussi le gisement de Pychminsk, situé au NE de l'usine de Bérézovsk.

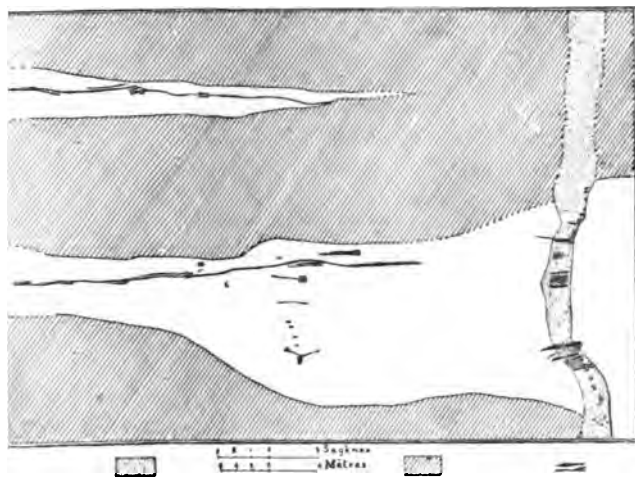
Bibliographie:

1. c. pp. 147 et 169.

c. p. 545.

y. Description de la mine de Pychminsk. Courrier de l'industrie de l'or, Tomsk. 1892, p. 119 etc.

in se compose de filons de microgranite, de porphyre et de felsite (d'une puissance de 4 à 10 m.) inclinés raide-



Porphyre.

Serpentine. Filons aurifères.

ment vers l'W, traversant la listvénite (ma
serpentine qui est la roche prédominante.
alternent avec des bandes de listvénite, les
dans le sens de la parallèle. Les nombreux
dans les porphyres ont la même direction,
épais (jusqu'à 0,7 m.) et se prolongent rare
sines. Ceux qui pénètrent la listvénite sont
plus rares et plus fins.

La figure représente la coupe, quelque
ment à une profondeur de 30 mètres. Les fi
contenant parfois une quantité notable de li
c'est la dolomie qui y prédomine. Les filon
versent habituellement la listvénite et sont
L'or, dans les filons, est accompagné de p
galène et des produits de leur oxydation. La
1 et 211 gr. par tonne. La moyenne de l'or
mières cinq années de l'exploitation est d'er

A la surface, connue aussi aux environs
se sont transformées en une matière argileu
et au „krassik“.

D'Ekathérinebourg à la frontière du

Après avoir traversé la région constitu
roches schisteuses développées dans les en
le chemin de fer s'engage, à une distance
gare de cette ville, dans une large bande de
suit sur un parcours d'à peu près 35 kilom.
nord et parcourt les dépôts voisins près d
cette bande granitique qui s'étend dans le



Pl. C.





VI
LES GISEMENTS D'OR
DU SYSTÈME DE KOTCHKAR
dans l'Oural du sud.
PAR
N. WYSSOTSKY.

Bibliographie.

- et de Marny. Esquisse géognostique de quelques remarquables placers aurifères dans la chaîne de l'Oural. Journ. d. mines. 1875. N° 6.
- achevsky. Observations géognostiques sur les placers aurifères de la rivière Sanarka. Journ. d. mines. 1861. T. IV.
- novsky, prof. Notes minéralogiques et géologiques. Mém. Soc. Minér. Lt. Pétersb. 1868, série II.
- ibin. La mine d'argent Mikhaïlovsky. Mém. Soc. Minér. St. Pétersbourg, XI, série 2.
- chkétow, prof. Description sommaire des filons d'or au système de Kotchkar. Mém. Soc. Minéral. St. Pétersbourg 1878. T. XIII, série 2.
- insky, acad. Esquisse des gisements de minéraux utiles dans la Russie d'Europe et l'Oural.
- arte géologique du versant est de l'Oural, 1884.
- arte géologique de la Russie d'Europe, feuille 139, 1885.
- ikow. Excursion géognostique le long des rivières Ouwelka et Oui. Mém. Soc. Minér. 1884. T. XIII.
- uni. Mineralogisches aus dem Sanarka Gebiet im Süd-Ural. Berlin, 1886.

Davy. Esquisse historique sommaire
Kazantsew. Sur les minerais d'or
T. XXIII, livr. 7-e.
Posepny. Archiv für praktische Geologie

La région du système de Kotchal de l'Oural, à une distance d'environ 360 à 400 gites aurifères au cours supérieur des petites rivières Kamenka et Sanarka.

L'exploitation de l'or date de 1867. Dans la suite ces placers sont devenus précieux—cyanite, béryl, topaze rose, etc.—qui y accompagnent l'or.

Les gisements primitifs de l'or datent de 1867. On a commencé à les exploiter et ils sont moins productifs.

Dans ces derniers temps les filons ont produit 1,300—1,425 klgr. d'or, tandis que les placers ont produit 350 klgr. La production totale de l'or est d'environ 47,060 klgr., dont 25,160 klgr. des placers et 21,900 klgr. des filons (depuis 1867 on ajoute 450 klgr. d'argent).

Le plus grand nombre des mines est dans un espace qui n'a pas plus de 50 kilomètres NW du système (voir la carte adjointe).

Quant à la structure géologique de la région aurifère est disposée au nord-ouest, qui suit la direction du méridien. Quant à la structure géologique, le changement des roches est très complexe.



2

Davy. Esquisse historique
 Kasanov. Sur les mines
 T. XXIII. 1867
 Pouchet. Archiv für geol.

La région du système
 tal de l'Ural, à une distance
 NNE. Les 300 à 400 mètres
 au nord supérieur des points
 Kamenka et Sankta.

L'exploitation de l'or
 placers situés dans la zone
 Dans la suite ces placers
 précieux—cristallin, bédouin
 des etc.—qui y accompagnent.

Les placers précieux
 1867. On a commencé à les
 verser moins productifs.

Dans ces derniers
 1,300—1,425 kgr. d'or, 100
 300 kgr. La production
 d'environ 47,000 kgr., 100
 placers et 21,900 kgr. d'or
 ajouter 400 kgr. d'argent.

Le plus grand nombre
 un espace qui n'a pas plus
 NW du système (voir la carte).

Quant à la structure
 que la région aurifère est
 tique qui suit la direction.

avec la direction des couches.
Les filons exploités varient entre 0,05 et 2 mètres (épaisseur). Les filons consistent en quartz opaque dans lequel on rencontre des inclusions et des veines de calcite et de chlorite) en quantités variables remplissant parfois toute la fente. Les calcédoines sont représentées par du mispickel, de la pyrite et de la stibine et de la galène.

Dans la partie du terrain minier la roche première est transformée parfois même jusqu'à une profondeur de 20 à 30 mètres en une masse semblable à de la calcédoine d'un blanc rosé, (dans les parties dynamométriques de tabac); le quartz au contraire est devenu des produits de l'oxydation des calcédoines: oxydes de manganèse et de cuivre, çà et là de l'arséniosidérite; on y trouve aussi des mispickels sous l'aspect d'embolite $2 AgCl + 3 Ag Br$, cette dernière attribuée à l'action de l'eau de la mer dans la région dans la première moitié de la période.

La teneur en or est de 5 à 13 gr. par tonne. L'expérimentation a prouvé que les filons sont plus riches vers le haut, quoique la teneur est inégalement (on y trouve parfois de petites veines étirées, de rognons etc.); plus bas la teneur est plus également répartie: l'or s'associe généralement aux calcédoines et sa quantité augmente proportionnellement à la quantité de calcédoine (les analyses ont constaté une teneur en or de 5 à 13 gr. par tonne. L'or contient de l'argent (jusqu'à 10 p. 100) dans les filons au jour la quantité d'argent est



la forme de lentilles plus ou moins volumineuses entre ce granite et la bérézite, tantôt enfin, mais plus rarement, elles traversent la bérézite. En conséquence de ces conditions de gisement, les filons présentent à leur tour un réseau de filons (plus de 50) versés ou du moins très inclinés, plus ou moins parallèles entre eux, vers W, SW ou SE.

Les modifications ultérieurement subies par les mouvements de déformation se rapportent de petits rejets dans le plan de stratification, mais rarement, en croix avec la direction des couches.

La puissance des filons exploités varie entre 0,05 et 2 mètres (jusqu'à 3—4 m. et davantage). Les filons consistent en quartz opaque ou verdâtre dans lequel on rencontre des inclusions et des veines de calcédoines (par places de calcite et de chlorite) en quantités variables, mais remplissant parfois toute la fente. Les calcédoines sont principalement représentées par du mispickel, de la pyrite gélée de chalcoppyrite, de la stibine et de la galène.

Dans la plus grande partie du terrain minier la roche première est recouverte à la surface, parfois même jusqu'à une profondeur de 20 à 30 mètres. Le granite est transformé en une masse semblable à de la terre grasse au toucher, d'un blanc rosé, (dans les parties dynamomorphosées d'un brun de tabac); le quartz au contraire est despongieux et contient les produits de l'oxydation des calcédoines: pyrites, parfois des oxydés de manganèse et de cuivre, çà et là de l'armacosidérinite et de l'arséniosidérinite; on y trouve aussi des minerais haloïdes d'argent sous l'aspect d'embolite $2 AgCl + 3 Ag Br$, la formation peut être attribuée à l'action de l'eau de la mer qui avait couvert cette région dans la première moitié de la période quaternaire.

La teneur moyenne en or est de 5 à 13 gr. par tonne. L'expérience a montré que les filons sont plus riches vers le haut, quoique parfois il y soit disséminé inégalement (on y trouve parfois de petites lentilles sous forme de fils étirés, de rognons etc.); plus bas la teneur diminue tout en devenant plus également répartie; l'or s'associe généralement aux calcédoines et sa quantité augmente proportionnellement à celle du mispickel (les analyses ont constaté une teneur en or de 40 à 400 gr. par tonne. L'or contient de l'argent (jusqu'à 10 %); vers la sortie des filons au jour, la quantité d'argent est minime.

Le granite désagrégé qui entoure les filons de quartz sert aussi quelquefois d'objet d'exploitation, car dans le voisinage des filons aussi il contient habituellement des inclusions et des veinules de calcédoine et de quartz.

Les divers gîtes se ressemblent presque en tout. Dans la plupart des exploitations on a jusqu'ici mis en œuvre la zone de la désagrégation superficielle qui permet d'extraire l'or par des procédés simples, comme le cassage et l'amalgamation. Pour les minerais de calcédoines extraits d'une profondeur de 25 à 140 m., on opère la sépara-

tion des calcédoines à l'aide de „stossherd“ ou de „frue vanner“ on les traite au chlore ou à la cyanure de potassium.

Parmi les exploitations les plus considérables qui ont atteint une profondeur de 70 à 140 m. nous citerons: les puits Mitrofanovsky (40 m.) et Woskressensky (80 m., à la mine Ouspensky) de Zélenkow et les puits Gavriilo-Arkhanguelsky (70 m.) et Loukochinsky (73 m.) des frères Podwintsew; les puits Woskressensky (56 m.), Pavlovsky (70 m.) et Alexandrovsky (63 m.) de Tarassow et C-ie; le puits Pavlovsky (30 m.) de Drojilow etc.

Dans la mine Mitrofanievsky on travaille des filons paradiablastiques Mitrofanievskaja et Yevguénié-Pétrovskaja. Le premier présente plusieurs masses lenticulaires se dirigeant vers le NNE avec une orientation presque verticale vers le N. Il se trouve sur trois plans parallèles à la bérézite et les parties dynamo métamorphosées du granite qui forment ordinairement le mur. Dans les horizons supérieurs, le filon se divisait en plusieurs ramifications peu épaisses et relativement peu profondes, mais à la profondeur de 35 et 140 m., il offre une puissance moyenne de 2½ mètres. Au-dessous du niveau des eaux du sol, c'est-à-dire à une profondeur de 20 à 28 m., on a rencontré de la pyrite et du pickel contenant de 5 à 10% d'or. D'après les analyses quelques-unes de ces calcédoines contiennent de 40 à 400 gr. et davantage d'or par tonne, cependant par le traitement mécanique et l'amalgamation on n'obtient que 5 à 10 gr. Les calcédoines aurifères pénètrent en quantité notable les roches encaissantes. On a observé dans les filons des traces de failles (surfaces polies de glissement) suivant le plan de tectonification, et à la profondeur de 105 m. on a rencontré, dans la partie E de la mine, un croiseur peu considérable.

Le filon Yevguénié-Pétrovsky est joint au filon Mitrofanievsky par une galerie de 63 m. creusée à la profondeur de 105 m. Les conditions de gisement y sont à peu près les mêmes: des lentilles de quartz ayant à la partie la plus bombée 0,2 à 0,5 m. d'épaisseur.

bérézite avec le granite dynamométamorphosé, ou bien dans ce r. Un des puits les plus profonds qui travaillent ces filons est les Gavriilo-Arkhanguelsky des frères Podwintsew (70 m.). Les filons que l'on y exploite sont parfois accompagnés d'un troisième. Leur épaisseur est de 0,2 à 2 m. Dans la partie supérieure du (dans les roches désagrégées) jusqu'à la profondeur de 50 m., la moyenne en or était de 10¹/₂ gr. par tonne; plus bas, quand on rencontre les calcédoines (plus souvent pyrites, plus rarement mispickels), la quantité d'or tombait jusqu'à 8 gr., et à la profondeur de 100 m. jusqu'à 4 gr., les calcédoines (environ 4% du remplissage) contiennent de 20 à 25 gr. d'or par tonne. Dans le puits Woskressensky (des mines Yekathérinebourgsky (Tarassow et C^{ie}) on ne trouve qu'un seul filon principal, accompagné de plusieurs filons latéraux. La puissance du filon est très inégale: tantôt il atteint 3 m. d'épaisseur, tantôt il s'étire ou se divise en un faisceau de veinules. La teneur en or oscille entre 4 et 10¹/₂ gr. par tonne; après le lavage aux bords il reste à peu près 75% de calcédoines contenant jusqu'à 10 gr. par tonne. Le haut des filons, jusqu'à la profondeur de 10 à 12 m., est très riche (en certains points plusieurs kilogrammes). Par ailleurs on observe dans le filon de petits rejets produits par de minces veines de quartz stérile qui sont venus le croiser.

Le filon Pavlovskaja est travaillé, à une profondeur de 50 m., par deux puits disposés l'un à côté de l'autre, appartenant aux mines Yekathérinebourgsky (Tarassow et C^{ie}) et Ioanno-Predtetchensky (Ivanow). Le filon se dirige E—NE, avec plongement N, sous un angle de 70—60°. Son épaisseur est inégale; tantôt elle va jusqu'à 10 m., tantôt elle n'est plus que de 1/2 m. et devient même nulle. La teneur des lentilles varie entre 1 et 10 m. Les conditions de gisement ressemblent à celles des filons précédents. Dans les parties supérieures désagrégées la teneur en or était de 10—30 gr. par tonne. À l'apparition, à la profondeur de 30—35 m., de calcédoines, elle baissait jusqu'à 7—10 gr., la teneur, d'après les analyses, étant de 20 gr. par tonne dans les mispickels.

Les gisements secondaires de la région appartiennent au type placers restés in situ après leur formation ou n'ayant subi qu'un érosionnement peu considérable. Dans la plupart des cas ils sont en relation intime avec les gîtes filoniens; ainsi, par exemple, la longueur du grand nombre des petits placers de surface, couchés immédiatement sous la nappe végétale, correspond exactement à la direction des filons auxquels ils passent graduellement à une certaine profondeur. Dans le placer plus considérable qui occupe une large vallée plate et ses environs (voir la carte adjointe) les parties les plus riches étaient formées en bandes transversales correspondant aux affleurements des gîtes aurifères. La structure du placer est la suivante: une couche inférieure d'argile tenace bigarrée sans or, épaisse de 4 à 12¹/₂ m., recouverte d'une couche de 1 à 1¹/₂ m. de sable à gros grain argileux, renfermant des fragments de quartz et de granite roulés et contenant de l'or avec

une teneur moyenne, dans sa partie inférieure, de $1\frac{1}{2}$ à même teneur s'observe dans la partie supérieure, désagrégée qui sert de base aux sables. Quant à l'âge de ces dépôts en partie modernes, en parties postpliocènes (restes de mammifères, de cheval etc.).



VII

LA VILLE D'EKATHÉRINEBOURG

et

**quelques-uns de ses environs, remarquables au point
de vue d'archéologie préhistorique**

PAR

O. CLERC.

Ekathérinebourg (longitude 30° 17' 30". E de Poulkowa, latitude 56° 50' 9",74), chef-lieu de district et de diocèse, 43 mille habitants en grande majorité russes; les éléments mongols (tatars de Ka-) et finnois (votiaks et zyrianes) s'accroissent rapidement depuis quelques années.

Fondée sur l'emplacement actuel, en 1723, par le général Hennin nommée par lui en l'honneur de l'impératrice Catherine I-re, son auguste protectrice, elle avait en 1726 l'aspect et les dimensions d'une petite forteresse, où l'administration minière de l'Oural et l'usine étaient à l'abri d'un coup de main de la part des Bachkirs. A cette époque remonte la fondation de l'„Ecole d'arithmétique“ qui, après diverses transformations, donna naissance à l'école de district, aujourd'hui l'école municipale, et à l'école moyenne des mines. En 1735 fut installé un atelier pour la frappe de monnaie de cuivre; les premières monnaies étaient carrées et peu portatives, celle d'un rouble pesant près d'un kilo. Cette cour des monnaies, fermée vers 1870, a été transformée depuis en ateliers de remonte et de construction de matériel roulant du chemin de fer de l'Oural. En 1781, lors de la création de la lieutenance de Perm, Ekathérinebourg fut élevé au rang de chef-lieu de la province de l'Isète (ou Issète). Cette ville, où fut l'administration à la fois civile et militaire des mines dont elle fut le centre, joua un assez grand rôle dans la répression de la ré-

volte de Pougatcheff, qui, du reste, n'osa pas s'attaquer à si forte partie. La grande route de Sibérie, qui de Perm passait autrefois plus au nord par Solikamsk et Verkhotourié, fut dirigée en 1763 Kougour sur Ekathérinebourg et Tumène, ce qui contribua beaucoup à augmenter l'importance commerciale de ces villes au détriment des anciens centres de colonisation.

La ville compte actuellement environ 6,000 maisons d'habitation, la plupart en bois, 15 églises orthodoxes (sans compter les nombreuses églises du monastère), 1 luthérienne, 1 catholique romaine, 1 église et 2 chapelles de vieux-croyants, 1 maison de prière israélite, 1 mahométane; elle est la résidence de l'évêque d'Ekathérinebourg, 1 diocèse comprenant toute la moitié transouraliennne du gouvernement de Perm.

Les principales administrations de l'Etat sont:

1. La Direction générale des mines et usines de l'Oural, à laquelle sont subordonnés:

a) Le Laboratoire chimique où s'opère la fonte de tout l'oreille cueilli dans l'Oural.

b) La Direction centrale des forêts affectées aux usines.

c) L'Ecole des mines.

2. La Fabrique Impériale de pierreries, célèbre par ses gravures en jaspe, rhodonite, etc.

3. L'Observatoire magnétique et météorologique de 1^{er} rang fondé en 1835.

4. Le gymnase classique, fondé en 1860.

5. Le comptoir de 1^{er} rang de la Banque d'Etat.

6. Le Tribunal d'arrondissement civil et criminel, sans parler des administrations communes à toutes les villes de district: trésorerie, postes et télégraphes, etc.

Etablissements entretenus aux frais de la ville ou du zemstvo (états ruraux) ou des deux ensemble:

s du VII Congrès Géolog. Internat.

Pl. A.



société de bienfaisance.
 tion de la société de la Croix-Rouge.
 tion de la société de sauvetage sur les eaux.
 tion de la société protectrice des animaux.
 iété d'aviculture.
 iétés de coopération, contre l'abus des spiritueux, de vélocipé-
 le chasse, de tir, etc.
 reles dramatiques, cercle musical, deux clubs, société de
 rs.

ssiles pour enfants.
 gazettes quotidiennes. L'«Oural» et le «Correspondant d'affaires».
 ournal hebdomadaire «Le Moniteur diocésain».
 ublications non périodiques:

Bulletin de la Soc. our. d'amateurs des sc. naturelles.

Bulletin de la Soc. our. de médecine.

Rapports annuels de diverses sociétés et établissements.

typographies, 2 chromo-lithographies, plusieurs ateliers photo-
 ques; succursales des banques de Sibérie, de Volga-Kama; ban-
 municipale; comptoirs de banque etc., agences d'assurances, de
 ort, etc.

oulins à vapeur, ateliers et fabriques de tout genre, entre au-
 se fabrique nouvelle et assez considérable d'horloges dites de
 t-Noire. Eclairage électrique de la ville et d'un certain nom-
 magasins et de maisons privées; téléphone; etc.

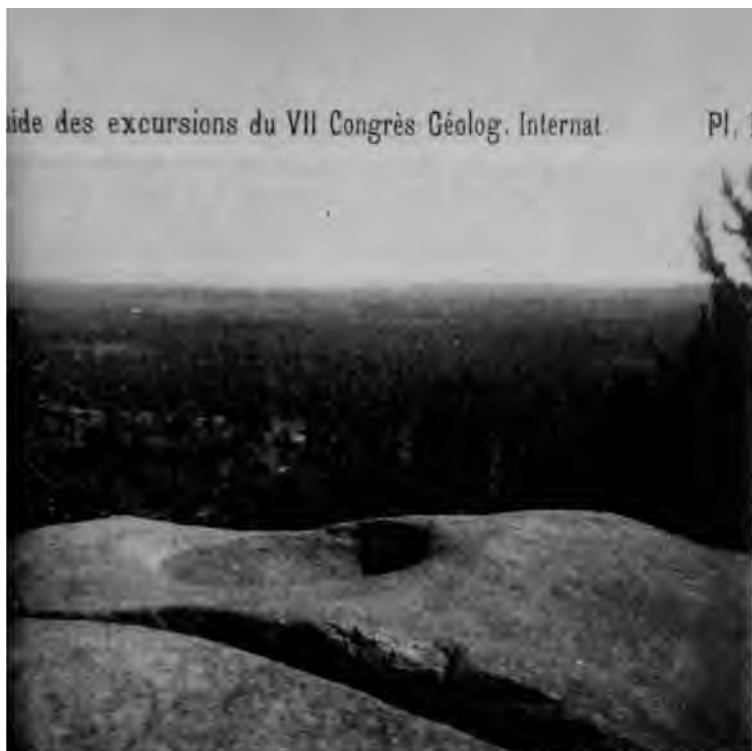
ne industrie particulière à la ville et à quelques localités des en-
 , c'est la taille et le polissage tant des pierres précieuses ou
 recieuses (rubis, saphir, émeraude, alexandrite, topaze, déman-
 grenat, améthyste, béryl, aigue-marine, cristal enfumé et incol-
 etc.), que celle d'objets en jaspe, rhodonite, marbre, porphyre, etc.
 ommerce considérable en gros et en détail. D'abord la prolonge-
 du chemin de fer de l'Oural jusqu'à Tournai a porté un rude
 à Ekathérinebourg pour le commerce de transit entre la Sibérie
 rope, puis la construction du Transsibérien est en voie d'y met-
 , ce qui oblige les uns à déplacer le centre de leurs opérations,
 tres, à affecter leurs capitaux à d'autres entreprises.

es „tentes de pierre“ — Kamennyia palátki — de Chartache sont
 chers de granite gris, couronnant une colline à 2—3 kilomètres E
 thérinebourg. Le granite (nettement stratifié) forme ici une cou-
 ou pli anticlinal dirigé de l'WSW à l'ENE, dont la crête seule
 ou moins résisté aux influences atmosphériques.

le principal intérêt que présentent ces „tentes de pierre“ touche
 à l'archéologie préhistorique qu'à la géologie proprement dite.
 echerches opérées au pied et dans les fentes de ces rochers, d'a-
 par un chercheur d'or (1889—90), puis par MM. Serghéeff et
 s (1891), et enfin par moi, ont amené la découverte d'une assez
 e quantité de fragments de poterie ornementée, d'armes et d'é-
 le pierre, d'une perle en cristal de roche, de fragments d'os, etc.,

qui se trouvent au Musée d'Ekathérinebourg. M. le baron de Baye, qui a visité avec moi cette localité en 1895, la qualifie de gisement de l'époque néolithique. La découverte subséquente d'une petite pointe de flèche en bronze à trois arêtes, à une petite distance et en compagnie de tessons du même genre, me fait pencher pour l'opinion de Michel Malakhoff, qui rapportait la plupart des gisements transouraliens de ce genre à la fin de l'époque néolithique, au moment où le bronze, quoique connu, n'est encore un métal très précieux. Ce qui ajoute à l'intérêt de ces trouvailles, c'est que M. Serghéeff, ayant soulevé quelques-unes des dalles granitiques de ces tours soi-disant naturelles, a trouvé dessous des débris de vases de poterie, d'ossements, etc. Dans une courte notice que la Société Impériale d'Archéologie de St-Petersbourg m'a fait l'honneur d'imprimer dans ses Travaux (1896), je me suis permis d'émettre la supposition que ces rochers auraient servi de lieu de sacrifice et même de tour de signaux, et la question suivante, que MM. les Membres du Congrès voudront bien, je l'espère, trancher sur place : „ces rochers doivent-ils être considérés comme une formation géologique, ou bien peut-on admettre une participation de l'homme à leur surélévation dans un but quelconque?“ La grosseur des dalles ne saurait être invoquée contre cette hypothèse, vu que les éléments des monuments dits cyclopéens ou mégalithiques sont souvent plus volumineux encore. Ensuite, l'écuelle située au sommet n'est-elle que le résultat de l'érosion du granite par les agents atmosphériques?

Ce qui prouve que la présence d'un gisement préhistorique à l'intérieur de „tentes de pierre“ n'est pas une circonstance fortuite, mais bien le résultat d'une coutume générale à cette époque, c'est la découverte par M. Serghéeff (1891) de restes analogues au „Tchertowo gorodichto“ (formation granitique semblable à celle-ci, mais de dimensions beaucoup plus grandioses, au sommet d'une montagne non loin du lac Ikskoïé, puis par moi aux Kamennïa palátki de Chabry (1895—1900).



1. Ecuelle au sommet de l'une des «tentes de pierres» de Chartache.



Fig. 2. Extrémité NE des «tentes de pierres» de Chartache.



et mêmes des rochers: *Cystopteris fragilis*, *Polypodium officinale* (petites dimensions, et, seulement du côté du nord, une petite plante rare, la *Parictaria micrantha* var. *debilis*). Parmi les représentants de la faune, je ne mentionnerai que l'*Isodactylium Schrenckii* (*amandrella uralensis*), qui, à peine la neige fondue, opère sa ponte dans les mares le long du chemin, mais sort de l'eau et disparaît aux environs bien avant le milieu de l'été, de même que son congénère, le *lon cristatus*.

En suivant plus loin le chemin qui mène à Bérézovski, on jettera un coup d'œil sur les carrières de granite du pied de la colline, puis arrivera au bord du lac de Chartache, où l'on pourra observer le début d'un phénomène de géologie contemporaine, dont je n'ai encore donné la description nulle part, du moins pour ce qui concerne les régions lacustres.

L'espace me manquant d'énoncer ici le cours des investigations géologiques (1890—96) qui m'ont obligé de m'occuper de cette question, je me bornerai à formuler les thèses suivantes: 1° La glace qui a recouvert nos lacs une épaisseur de 0,7 à 1,5 mètre ou même plus, dont la profondeur de l'eau est moindre, surtout près des bords, elle a englobé une partie du fond. 2° A la fonte des neiges, le niveau du lac s'élève, la glace ascend avec l'eau et soulève la partie du sol qui fait corps avec elle; en même temps il se forme autour du banc massif de glace une ceinture d'eau libre dont la largeur dépend de la plus ou moins grande inclinaison des rives. 3° Sous la poussée des vents, cette immense lentille de glace, d'abord entière, puis en vastes bancs séparés par des fissures, voyage à la surface du lac; si le vent est assez fort, les glaces du large poussent celle du bord et la font glisser ou taper sur la rive, où elle forme, surtout si elle y rencontre un obstacle suffisant (falaise, rangée d'arbres, etc.), des amas considérables. 4° En fondant, cette glace dépose sur la rive une véritable moraine, composée de tous les objets durs qu'elle avait englobés; l'eau reprend à l'occasion une partie de ces matériaux, mais les plus lourds restent, et avec le temps il en résulte une ceinture solide sur les rives contre lesquelles les vents dominants accumulent le plus de blocs.

Le niveau du lac Chartache ayant été abaissé de plusieurs mètres, il y a une soixantaine d'années, la ceinture morainique lacustre, antérieure à cette époque, se trouve maintenant à sec et peut être aisément suivie tout le long de la rive S et SE, où elle est généralement recouverte de forêt ou de buissons. Comme on y rencontre des objets préhistoriques du même genre que sur la colline, on peut en inférer que le niveau de ce lac était resté assez constant depuis des siècles, jusqu'au moment où l'on a tenté de le vider pour dessécher les mines de Bérézovski.

Il va sans dire que la composition pétrographique des rives donne aux moraines lacustres une structure et un contenu très variable; ici ce sont des blocs de granite et du sable quartzeux,—au lac Irbitskié,

près du contact des limites des districts d'Ekathérinebourg, de Mychlow et d'Irbite, elles ne sont formées que de sable contenant des fragments usés de tuffeau, et offrent l'aspect et le type de dunes concentriques, espèces de sentiers plus ou moins praticables au bord du milieu du vaste marais tourbeux qui occupe une partie de l'ancien lit du lac;—au lac Karassié II, à 30 verstes E de la ville, à en juger d'après la description de MM. Dm. Mamine et Constantin Thaddée, la moraine lacustre a l'aspect d'une jetée ou môle longeant le rivage marécageux, et fait à bras d'homme, où ils ont recueilli de riches matériaux archéologiques (voir au Musée historique de Moscou et au Musée d'Ekathérinebourg): peut-être en effet les habitants de ce lieu ont-ils perfectionné l'œuvre de la nature.

Palkino

est un hameau situé sur les terres de même la comtesse de Stenbock-Fermor, sur la rivière Icète (ou Issète), à l'endroit où le barrage des forges de Werkh-Issetsk la transforme en un étang ou lac artificiel de 12 verstes environ de longueur, parsemé de fort jolies îles grasses, présentant, ainsi que les montagnes et les collines voisines, ces entassements de dalles, connus dans la région sous le nom générique de „Kamennaya palatki“ (tentes de pierre) lorsqu'ils atteignent des dimensions un peu considérables ¹⁾. Le hameau se compose d'une trentaine de maisons et d'une petite chapelle en bois, disposées de part et d'autre de la rivière, dont la rive gauche s'élève en côte assez abrupte, tandis que la droite forme une langue de terre ferme qui, sur un assez court espace, sépare le lit de la rivière du vaste marais remplissant tout le fond de la vallée. Un pont de bois, suffisamment élevé pour permettre non-seulement le flottage du bois, mais aussi le passage des remorqueurs à vapeur, réunit les deux rives. La tradition locale

te formant le dos de la montagne à l'ouest du hameau, au-dessus du gorodichtché; elles y étaient soigneusement enveloppées d'abord d'une terre décomposée par le temps, puis d'un fourreau en écorce de bouleau, assez bien conservée. Ces messieurs découvrirent aussi le dit gorodichtché, ou enceinte fermée d'un rempart en terre entouré d'un fossé, et trouvèrent, entre autres objets, un moule en pierre tendre qui avait servi à couler des objets en métal.

Ce n'est qu'en 1875 que quelques-uns de mes élèves, entre autres M. Malakhov, firent quelques recherches à ce gorodichtché, avec la recommandation expresse de rapporter tout ce qu'ils y trouveraient; ils ne rencontrèrent point d'objets en métal, mais bien des fragments de poterie ornementée et d'outils ou armes en pierre. Dès lors, tantôt avec M. Malakhov, nous fîmes des fouilles réglées, qu'il a décrites en détail, d'abord dans le journal «Древняя и новая Россия» (1879), puis dans son rapport définitif (1883, encore inédit) à la Société Impériale de Géographie. Des investigations subséquentes ont amené la découverte d'une multitude d'objets en pierre éclatée, taillée ou polie (silex, jaspé, quartz, grès, granite, schiste), de milliers de fragments de poterie ornementée, de quelques moules et de deux ou trois objets en cuivre (bronze) semblant avoir servi d'ornements à des haras de cheval. En 1888 une collection complète de tous les ornements de poterie alors connus de cette station préhistorique, systématisée par M. Malakhov et moi, fut donnée au Musée historique de Moscou, et la Société Impériale d'Archéologie de cette ville en a publié une partie (1895 (avec 3 pl. en phototypie). Rien qu'en achetant chaque été que les habitants, surtout les enfants, recueillent de fragments et d'objets en cultivant les potagers et les champs voisins, j'ai rassemblé une grande quantité de matériaux, que j'espère distribuer à divers moments, quand j'aurai eu le temps de les classer.

La population a dû être beaucoup plus dense ici autrefois qu'à présent, ce dont on peut juger par le fait que des restes de même nature se rencontrent dans tous les environs de Palkino et sous le village même (comme j'ai pu m'en assurer pendant les basses eaux de 1893—1895) sur un espace de plusieurs verstes carrées, quoique en moindre abondance que dans le voisinage même du hameau actuel. Dans une forêt voisine, on a retrouvé des restes de fourreaux primitifs, avec des monceaux de scories, provenant, dit-on, d'un atelier de cuivre très ferrugineux, qu'on suppose provenir de la mine maintenant inondée de Pychuninsko-Klutchevski, située à 15—17 verstes de distance.

L'abondance des objets en pierre travaillée, parmi lesquels ceux en pierre polie sont en infime minorité (la plupart faits d'une roche verdâtre imitant le néphrite, mais beaucoup moins dure), et des objets richement ornementés de dessins géométriques, tandis que la terre est agrémentée d'un mélange de mica, ou de talc, ou de schiste pilé, etc., et la présence d'un nombre restreint d'objets en cuivre, ont conduit d'abord M. Ma-

lakhov, puis les autres savants qui ont visité ensuite ce gisement pour placer son origine vers la fin de l'âge de la pierre, au moment où le cuivre commençait à être connu. La couche de terre contenant les restes de cette culture est très peu profonde; aussi les rares objets qu'on y a rencontrés étaient-ils trop détériorés pour pouvoir être définis.

Jusqu'ici aucune sépulture préhistorique n'a été découverte dans cette région.

La flore des environs de Palkino est très variée, et MM. les amateurs de botanique pourront profiter de l'occasion pour recueillir des espèces qu'on ne trouve pas partout, p. ex.: *Nymphaea pycnantha* Ait., *Nuphar pumilum* Sm., *Arabis Gerardii* Bess., *A. pendula* Led., *Stellaria Bungeana* Fendl., *Cerastium pilosum* Led., *Geranium pseudo-sibiricum* J. Mey., *Astragalus fruticosus* Pall. var. *cinereus* Trautv., *Lathyrus pisiformis* L., *Hedysarum elongatum* Fisch., *Agrimonia pilosa* Led., *Bupleurum aureum* Fisch., *Pleura sparganii* Hoffm., *Cacalia hastata* L., *Saussurea discolor* DC., *Chamaenerion sibirica* L., *Mulgedium sibiricum* Less., *Adenophara polymorpha* Led., *Utricularia intermedia* Hayne, *Androsace neglecta* (Muhl.) Kryl., *Castilleja glandulosa* Kryl., *Castilleja pallida* Kunth., *Lythrum polymorphum* Led., *Salix myrtilloides* L., *S. Lapponum* Led., etc., etc.

A environ une verste au nord du hameau, l'on pourra visiter une autre station préhistorique, analogue aux „Kamennyya palatki” de Chartache.

VIII

GISEMENT DE MINÉRAUX

EUGÉNIE-MAXIMILIANOVNA.

PAR

A. KARNOJITZKY.

Les gisements d'Eugénie-Maximilianovna, découverts et étudiés en 1903, sont situés à l'ouest et au nord-ouest du village Palkina ¹⁾, à l'embouchure de la rivière Isséta, presque au sommet de l'arête de partage entre les bassins de la Volga et de la Caspienne. Ces gisements, au nombre de 20—21, occupent un triangle dont l'aire superficielle d'environ 24 verstes carrées. En dehors de quelques minéraux problématiques, trouvés en quantité trop insuffisante pour être définitivement déterminés (disthène, béryl de couleur lilas, kosogorite etc.), on y a rencontré: aiguemarine (bc) ²⁾, vésuvianite (bc); essonite et almandine; épidote (en grande quantité ordinaire, jaune, pouchkinite; axinite (bc); yttrite; titanite (bc); clinoclase (p); pierre des Amazones; crocote en cristaux gigantesques (bc); amphibole; cristal de roche; pyrite transformée en oligiste brun.

Les gisements se trouvent dans une région de développement de granites. La roche dominante est un feldspath pauvre en mica, et dépourvu d'amphibole, que la composition pétrographique et la structure rapprochent le plus souvent du granite (montagnes Medvedev, Seljka etc.), rarement de la syénite (montagne Yélowaïa), et qui occupe principalement la surface des collines en formant à leur base de puissantes accumulations de dalles dites „palatki“ (tentes). Le feldspathique est accompagnée d'une roche très riche en am-

à une distance de 15 verstes environ d'Ekathérinebourg.

Les lettres bc (beaucoup) et p (peu) indiquent la fréquence relative des minéraux.

phibole, voisine parfois de l'amphibolite (mont Me parfois du gneiss amphibolique (Medwejka, Pourite (Séwernaïa Yélowaïa), qui occupe des horizons roche feldspathique, bien qu'en plusieurs points des variations indépendantes peu élevées.

Les minéraux énumérés plus haut sont le résultat du métamorphisme. Ils se trouvent habituellement à une certaine distance du contact des roches feldspathiques et amphiboliques, et sont toujours accompagnés d'épidote ou d'épidosite. Dans ces endroits les minéraux accompagnent les cristaux de dolomite, les endroits où la dolomie vient en contact avec le granite, la surface de la colline étant formée de granite.

Voici les gisements qui offrent le plus d'intérêt :

Montagne Medwejka—essonite jaune, rosée et verte.

Montagne Yélowaïa (Grande mine Yevguénievskaya)—axinite, pouchkinite et titanite.

Montagne Poup (Mine Iwano-Rédivortsevo)—dote, clinocllore.

Montagnes Séwernaïa-Yérémeïevskaïa — aegirine, sphène, grenat, épidote yttrotantalite, zones etc.



IX

CHEMIN DE FER DE L'OURAL

dans les limites des districts miniers de Taguil
et de Goroblagodat.

PAR

TH. TSCHERNYSCHEW.

Le chemin de fer d'Oural relie Ekathérinebourg à Perm. Il entre dans le district de Taguil 3 verstes au-delà de la station Anatolskaïa, traverse jusqu'à l'usine de Kouchwa, en suivant, dans la direction normale, la ligne du méridien. Après avoir dépassé cette usine, il se brusquement vers l'ouest et, faisant plusieurs zigzags, il s'élève à l'arête de l'Oural qu'il franchit entre les stations Ouralskaïa et Oupéïskaïa (d'Europe).

Nous avons concernant ces districts miniers bon nombre de données géologiques, éparses dans les journaux et ouvrages spéciaux, mais ici il n'en existe aucune description détaillée. Les travaux du Service Géologique, exécutés dans les districts de Taguil et de Goroblagodat, sont terminés depuis 5 ans, mais la carte géologique et la description s'y rapportant ne sont pas encore publiées. Voici la liste des ouvrages dans lesquels on trouvera les renseignements les plus complets:

Rose. Mineralogisch-geognostische Reise nach dem Ural, dem Altai und Kaspischen Meere. Bd. I. 1837, pp. 302—352.

Hofman. Materialien zur Anfertigung geologischer Karten der Kaiserlichen Bergwerks-Districte des Ural-Gebirges. 1870, pp. 177—218.

Antkiewicz. Compte rendu des recherches géologiques exécutées le long du chemin de fer des mines de l'Oural (en russe). Journal des Mines. 1880, t. II, p. 325.

- Th. Tschernýschew. Recherches géologiques dans l'Oural 1888 (en russe). Bulletins du Comité Géologique 1889, p. 121—143.
- A. Krasnopolsky. Compte rendu préliminaire des recherches dans les domaines Werkhné-Tourins Tourinskaïa et Bisserskaïa (en russe). Bulletin Géologique. Vol. IX, pp. 177—191.
- A. Krasnopolsky. Compte rendu préliminaire des recherches dans les domaines Pétrokamensk et Wladinsk (en russe). Bulletins du Com. Géologique pp. 105—115.

M. Démidow, propriétaire du district minier de Nijni des districts métallifères les plus vastes et les plus riches vers 1830, le célèbre géologue Le Play à faire la carte géologique de la description détaillée de ses domaines. L'administration possède actuellement une carte géologique manuscrite, mais Le Play n'ayant pas été imprimé, basée sur les explorations et complétée par des recherches ultérieures.

La feuille 137, à l'échelle $1/420000$, publiée par la section géologique de l'Etat-Major, pourra servir de guide dans l'itinéraire que nous allons suivre.

Sous le rapport orographique, nous nous trouvons dans les parties plus méridionales du versant est de l'Oural. On y trouve deux régions essentiellement différentes: celle des hauteurs et celle des vallées. Les hauteurs, quoique se dirigeant généralement dans le sens du méridien, sont séparées par de profondes dépressions. La structure pétrographique des roches et leurs rapports mutuels ne sont pas les mêmes partout. On peut remarquer dans l'ensemble de la configuration orographique s'observe sur toute la limite du district de Nijni-Taguil et la station (d'Asie) dans le district Gorskagodat. La structure de

ces dernières, des schistes et calcaires cristallins et des mar-
a dévonien inférieur.

La région des granites typiques, formés d'orthose, de microcline, de
et de muscovite, est située à l'est de la voie ferrée. Elle n'est
trée dans notre carte.

Tant aux syénites, développées surtout au sud de l'usine de
wa, elles sont représentées sur notre parcours par des variétés
bolique, augitique et diallagique. Tant par l'étendue de leur dé-
vement que par leur composition, les syénites sont étroitement
avec les variétés du groupe des gabbros. Cette liaison est même
ite qu'il est très difficile de les marquer sur la carte séparément.
e rayon que nous décrivons appartient aux régions classiques:
trouve tous les divers gabbros et leurs variétés (gabbros à oli-
sans olivine, gabbros ouralitiques, gabbro-diorites, amphibolites
le passage de la structure parfaitement massive à la structure
oïde, gneissique, la transition insensible des gabbros et des gabbro-
es, par une série de phases intermédiaires, à des roches diallagi-
et amphibolo-diallagiques, composées de seuls bisilicates. Ces pas-
se s'observant non seulement dans un même affleurement, mais en-
dans un même fragment de roche, on ne peut se refuser à l'évi-
qu'il existe ici des combinaisons compliquées de la masse à feldspath
celle sans feldspath que Reyer a proposé d'appeler „Schlieren“.
se un des points les plus instructifs pour l'étude de la structure
blieren, nous indiquerons le massif situé dans le domaine de l'usine
schinsky dont les sommets sont connus sous les noms de Sinaïa,
na, Golaïa, Nojowotchnaïa etc. Les mêmes roches constituent,
à la frontière des districts de Taguil et Goroblagodat, la montagne
itnaïa qui doit son nom à la faculté de ses roches de faire for-
t dévier l'aiguille aimantée. Ce n'est d'ailleurs pas en Russie
que ce phénomène a été constaté pour des roches dépourvues
mérite en quantité notable ¹⁾.

Les gabbros forment une large bande s'étendant dans le sens du
n, à l'est des schistes cristallins qui forment l'Oural central et
affleurements longent le chemin de fer sur une grande distance.

L. Andreae et W. Koenig. Der Magnetstein von Frankenstein
Bergstrasse. Abh. d. Senkenbergischen Naturforsch. Ges. Frankf.
V. 1888, 61—79.

Odonne et A. Sella. Contributo allo studio delle roccie mag-
nella Alpi centrali. Rendiconti R. Accad. de Lincei (4). VII,
t. 1891; Osservazioni et considerazioni sulle roccie magneticha.
7—151. 1891.

Montemartini. Composizioni chimica et mineralogica di una
erpentinoza di Borsonasca (Riviera Ligure). Atti d. R. Accad.
ze di Torino. 35. № 4, 209—212. 1889—1890.

Folgheraiter. Origine del magnetismo nelle roccie vulcaniche
io. Rend. Accad. Linc. Roma, 5. III. Gem. 2. Fasc. 2. 1894.

Distribuzione del magnetismo nelle roccie vulcaniche del Lazio.
sc. 4. 117—1222; Orientazione ed intensita del magnetismo per-
nelle roccie vulcaniche del Lazio. Ibid. Fasc. 5. 165—172.

Les serpentines, résultat de la transformation des roches à diorite et des péridotites, occupent la même région que les péridotites. Ainsi que dans les autres parties de l'Oural, la serpentinitisation des roches et le passage des bisilicates à une matière bastitique y est en liaison avec l'intégration de masses de fer chromé formant parfois des amas d'une grande importance pratique, et avec la précipitation de la roche de l'or et du platine.

Les porphyres, largement développés à l'est du chemin de fer dans les domaines de Kouchwa et de Taguil, moins répandus à l'ouest, sont tantôt quartzifères, tantôt dépourvus de quartz (orthophyres). Dans la bande de terrain attenante à la voie ferrée, les porphyres quartzifères sont relativement peu développés. Les porphyres dépourvus de quartz présentent un grand développement dans les limites des domaines de Kouchwa. Ce sont ces porphyres-ci qui constituent presque seuls les montagnes Blagodat (près de l'usine de Kouchwa) et Warkaïa (près de l'usine Nijné-Taguil). Nous y reviendrons plus bas, dans la description des excursions.

Quant aux porphyrites—augitophyres (Augitporphyrit), porphyrites à ouralite, labradorophyres (Labradorporphyrit), diabasophyres (Diabasporphyrit)—elles ont un grand développement le long de la voie ferrée et sont accompagnées de leurs brèches et tufs correspondants. Les brèches sont formées de fragments de porphyrite, réunis par une matière également porphyritique. Les tufs offrent quantité de variétés, souvent nettement schisteuses, avec passage à des schistes verts (Grünschiefer); ils sont formés de fragments tantôt petits, tantôt gros, de porphyrite, de schiste siliceux, quelquefois de calcaire, de cristaux de morceaux de plagioclase et d'augite, le tout soudé par un ciment calcaireux, chloriteux ou porphyritique.

Les espaces occupés par les brèches et roches tufogènes cadrent à un tel point avec ceux du développement des porphyrites qu'il est possible de les marquer avec exactitude que sur une carte à

er: „Die Fauna des unteren Devon am Ostabhange des Ural“¹⁾.
 ont les formes suivantes: *Calymene* sp., *Entomis pelagica* Barr.,
rotomaria kuschvensis Tschern., *Pleur. ventricosa* Eichw., *Pla-*
as cultellus Tschern., *Plat. elongatum* Hall., *Subulites urali-*
Tschern., *Euomphalus subalatus* Vern., *Oxydiscus scutiger*
aw., *Murchisonia Demidoffi* Vern., *Merista passer* Barr., *Spi-*
e pentameriformis Tschern., *Sp. kuschvensis* Tschern., *Sp.*
okuschvensis Tschern., *Atrypa kuschvensis* Tschern., *Atr.*
acula Maur., *Atr. reticularis* Linn., *Atr. marginalis* Dalm.,
echonella kuschvensis Tschern., *Pentamerus parvulus* Tschern.,
t. integer Barr., *Pentamerus striatus* Eichw., *Pent. vogulicus*
rn., *Orthis pseudotenuissima* Tschern., *Callicrinus uralicus*
chern., restes de *Receptaculites*.

Sous le rapport minéral, la partie de l'Oural que nous décrivons,
 une richesse et d'une variété remarquable. En dehors des gisements
 connus de magnétite des montagnes Blagodat et Wyssokaïa, les
 trentes parties des domaines de Kouchwa et de Nijné-Taguïlsk
 est toute une série de gisements de minéral de fer, les uns en ex-
 citation, les autres intacts. Les excursionnistes prendront une con-
 naissance détaillée du type de ces gisements à la visite des montagnes
 Blagodat et Wyssokaïa. Pour ce qui est du gisement de cuivre de la
 Médnoroudiansk, située à côté de l'usine Nijné-Taguïlsk, nous en
 la caractéristique sommaire dans la description des excursions.
 aussi nous parlerons du caractère des gisements de manganèse dans
 calcaires du dévonien inférieur mentionnés plus haut.

Les cantons miniers de Nijné-Taguïlsk (propriété de MM. Démidow)
 de Goroblagodat (propriété de la Couronne) offrent un intérêt émi-
 dans l'étude des gisements de l'or et du platine. Les gisements
 se présentent tantôt sous l'aspect de filons quartzifères et d'inclu-
 dans la roche-mère, tantôt sous forme de sables aurifères des
 alluvial et éluvial. Les filons quartzeux traversent principalement
 schistes métamorphiques, alors que les inclusions d'or ne se ren-
 dent que dans les porphyrites et les serpentines.

Ce sont surtout cette partie-ci de l'Oural et les parties plus sep-
 tionales du district de Goroblagodat qui fournissent la platine, ce
 essentiellement russe. Depuis 1824, année de la découverte dans
 des sables platinifères, les gisements restés jusqu'aujourd'hui

les riches sont ceux de la région des rivières Martian et Tchaouch,
 la partie sud-ouest du district, et du bassin de la rivière Iss, dans
 maine de Nijné-Tourinsk. Jusqu'à ce dernier temps le platine se
 exclusivement des sables. Mais depuis que l'on a constaté la
 ce d'inclusions de platine dans le fer chromé des placers et dans
 des serpentines à olivine, tous les géologues russes et étran-
 sont d'accord pour reconnaître que c'est dans les péridotites et
 serpentines, produit de leur transformation, qu'il faut en cher-

cher le gîte primitif. Ce fut en 1892 que des ouvriers découvrirent par hasard le premier gisement originaire de platine dans le district de la rivière Martian au district Nijné-Taguisk. L'étude de ce gisement faite par le prof. Inostranzew est venue ensuite permettre de confirmer l'hypothèse première de l'existence, dans l'Oural, d'un gîte dans une roche-mère.

Cette esquisse sommaire faite, nous passerons à la description de notre itinéraire et des excursions dans les districts de Nijné-Taguisk et de Goroblagodat.

Itinéraire.

Après avoir quitté Ekathérinebourg, les excursionnistes se rendent près de la station Anatolskaïa, dans les limites du district de Taguisk. Comme l'indique notre carte géologique (pl. A) je prendrai pour guide, la voie ferrée traverse successivement, entre les stations Anatolskaïa et Nijné-Taguil, une zone de gabbros plus ou moins métamorphosés et une bande relativement étroite de syénite. Ensuite, jusqu'à Nijné-Taguil, la région des porphyrites et des tufs qui les accompagnent, comprimés à un haut degré et par conséquent des variétés que beaucoup d'explorateurs de l'Oural ont citées sous le nom de schistes verts (Gruenschiefer).

Nijné-Taguisk et la montagne Wyssokaïa.

Bibliographie:

Les ouvrages mentionnés plus haut de G. Rose et de S. Konti
H. Müller. Berg- und Hüttenm. Zeitung. 1866, p. 185.



la direction du méridien. Plus bas que la digue, la Taguil fait tour vers l'est et, à 6 verstes de l'usine, reçoit à gauche la Wyia également barrée, forme le bassin de la fonderie de cuivre de k. Dans le terrain relativement plat, occupé par les villages Ta et Wyisk, se dessinent nettement deux hauteurs: l'une, située à st, immédiatement derrière la digue, s'appelle Lyssaïa gora (Mont), l'autre, plus considérable, la montagne Wyssokaïa (Montagne) est située à l'ouest du village et renferme les riches gîtes de métallurgique qui approvisionnent les usines de Nijné-Taguïlsk, Nié-ly, Alapaïevsky, Werkh-Issetsky, Soukhsoumsky et Révdinsky. Pour faciliter l'orientation dans la structure géologique des envi- Nijné-Taguil, nous ajoutons une petite carte (fig. 1) indiquant les différentes variétés des roches constituant de l'endroit.

La visite de la montagne Wyssokaïa sera l'objet de la première en dans les environs de Nijné-Taguïlsk.

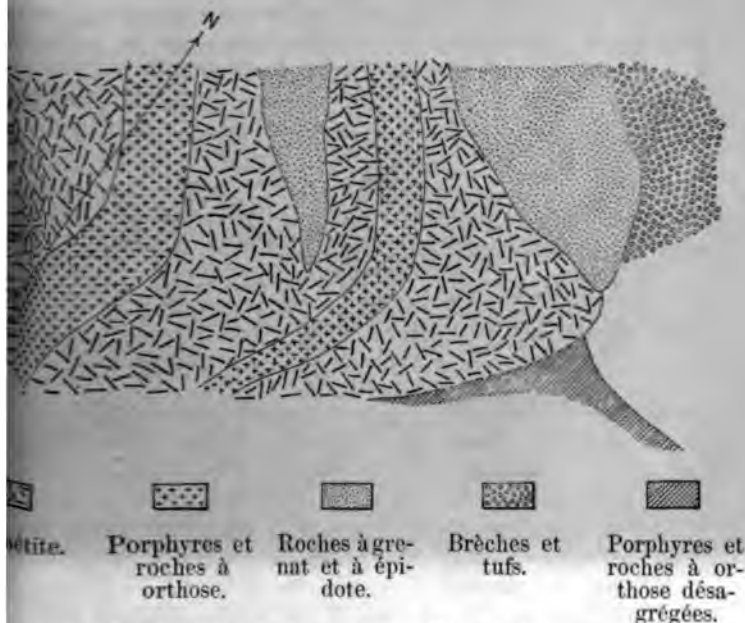
Les porphyres dépourvus de quartz, très variés dans la structure et le rapport de la quantité des éléments constitutants, sont la dominante de la montagne Wyssokaïa. On reconnaît dans ces roches le passage de la texture porphyrique typique à cristaux développés d'orthose et parfois de plagioclase et d'augite, d'une part, les syénites à augite ou ouralite holocristallins, d'autre part à des roches orthose compactes. La corrélation intime des éléments de la structure et de couleur diverses, se fait voir en partie par la texture rubanée ou tachetée de la roche offrant un bel exemple de la composition des „schlieren“.

La composition des roches dont les principales parties constituant sont l'orthose, la plagioclase et l'augite, varie selon le minéral qui y domine. Quelques-unes de ces roches, surtout les compactes, ne contiennent presque point d'augite et ne sont composées, à l'état frais, d'orthose et de plagioclase. Vers le flanc abaissé des gîtes métallurgiques, et parfois au milieu d'eux, on observe un intéressant phénomène de transformation des porphyres et syénites, notamment leur remplacement ultérieur et graduel par l'épidote, le grenat, la calcite, la biotite, la biotite et la muscovite: les éléments constitutants primitifs sont successivement remplacés par d'autres (l'augite—par le grenat; l'épidote; l'orthose—par le mica; le plagioclase—par l'épidote) de sorte que les roches nouvelles peuvent être appelées d'après les éléments qui les constituent: épidoto-grenatiques, calcito-grenatiques, etc. Ces transformations se laissent surtout bien observer dans la formation de la montagne Wyssokaïa qui fait partie de l'usine de Taguil. Là, le mur des roches épidoto-grenatiques à gros cristaux bien développés de grenat renferme des couches de brèches dont la pâte, composée de feldspath et de calcite, englobe des fragments de porphyre et de feldspath.

Les relations mutuelles des masses métallifères et des roches qui les accompagnent, indiquent qu'elles sont de formation simultanée et que les gîtes de fer magnétique se sont isolés du magma des roches à



Le caractère des gîtes métallifères, filons irréguliers ou en-
ents, avec passage insensible à la roche encaissante, est repré-
sur le plan schématique (fig. 2).



2. Plan de la partie de la montagne Wyssokaïa appartenant à l'usine Taguil.

ans toute la montagne Wyssokaïa les masses du fer magnétique
roches presque toujours nettement stratifiées qui les accom-
et, accusent un plongement général vers le SE et l'E. Ce schème
ive cependant compliqué par des rejets et des failles, bien ob-
les à l'extrémité ouest de la montagne, dans les terrains des
Néwiansky, Alapaïevsky et Werkhissetsky, ainsi qu'à l'extrémité
r le terrain de l'usine Revdinsky. Ici deux failles, visibles en
ecoupent les puissants gîtes métallifères et les roches qui les
ent en se rapprochant l'une de l'autre vers le bas. La première
ge vers NW et le rejet semble s'être transmis sur toute la lon-
de la montagne. Les relations entre ces deux failles sont repré-
par le croquis schématique fig. 3.

Malheureusement l'absence d'une bonne carte topographique de la
me Wyssokaïa ne permet pas d'en rendre la tectonique d'une
e aussi claire que celle de la montagne Blagodot.

Le terrain de Taguïlsk est intéressant, comme nous l'avons dit
ut, en ce qu'il permet d'observer les roches bréchiformes for-
la base de la série des couches métallifères de la montagne

Wysokaïa. Là aussi on peut se rendre compte de l'action géante qui se produit dans les roches à orthose et qui a pour la formation d'épaisses couches d'argile blanchâtre, et rosâtre bant des blocs de fer magnétique. Le fer provenant de Wy distingue généralement par sa pureté et ses excellentes qualités tallurgiques. Très souvent on y observe le passage du fer m à la martite, minéral très abondant à Taguïlsk.

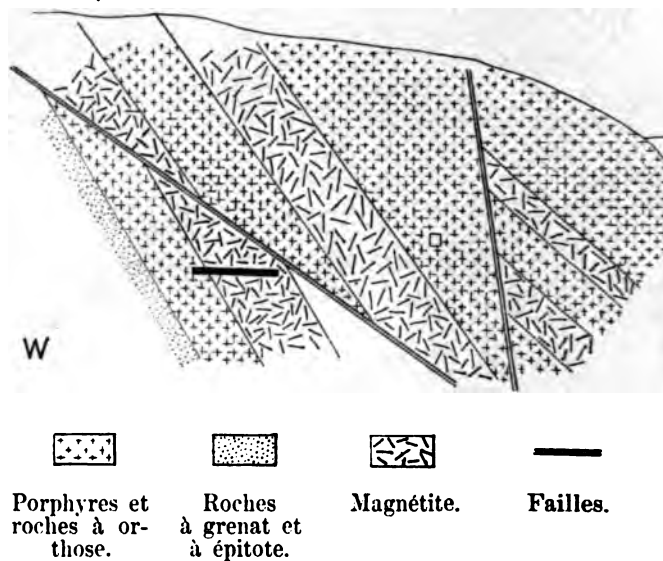
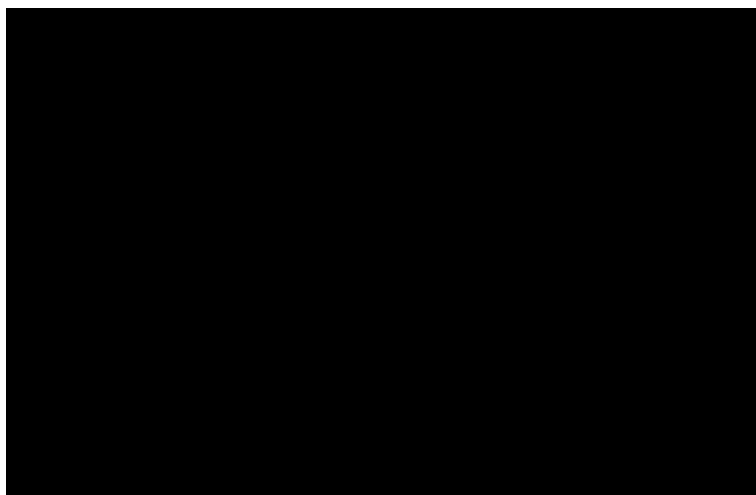


Fig. 3. Coupe transversale schématique de la mine Revd



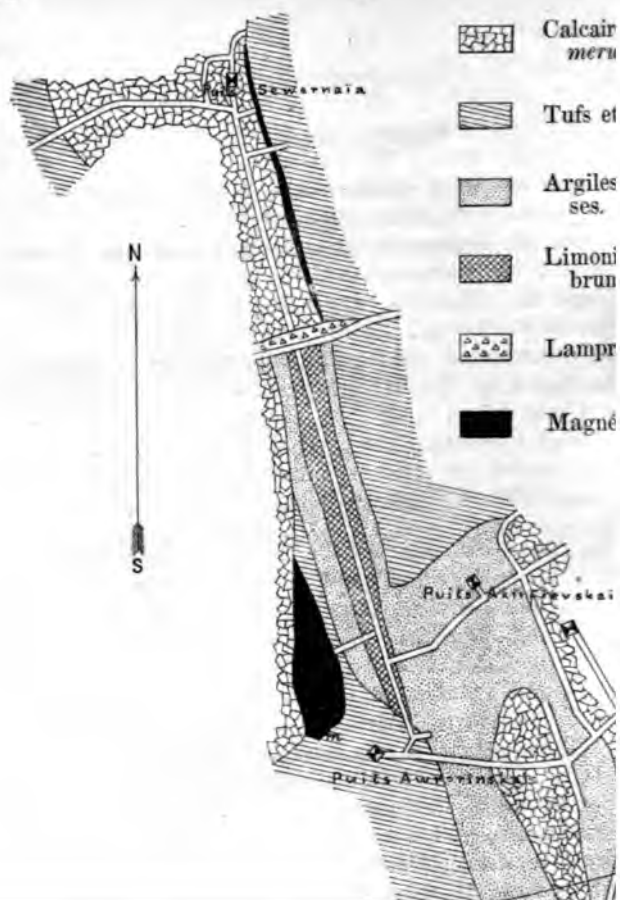
Médnoroudiansk.

- ayer. Le gisement de cuivre de Roudiansk (en russe). Journ. des mines. 1876, t. III, 290—299.
- ayer. Ueber die Kupfererzlagerstätte Mednorudjansk am Ural. Oesterreich. Zeitschr. 1877, №№ 36, 37.
- ladki. Chemisch-geologische Bemerkungen über die Erzlagerstätten Mednorudjansk und Wyssokaïa Gora bei Nischni-Tagil am Ural (en russe). Journ. des mines. 1888, t. I, pp. 96—123.
- éméew. Observations sur les gîtes cuprifères du versant est de la chaîne de l'Oural (en russe). Journ. des mines. 1859, t. IV, p. 76.
- et Berg- und Hüttenm. Zeitung. 1866, № 22.
- epinsky. Aperçu des richesses minérales de la Russie d'Europe. 1878.

mine de Médnoroudiansk, située au sud de Wyssokaïa Gora, le gisement métallifère très curieux, contenant tout à la fois du magnétique et du minerai de cuivre.

au lieu de passer à la description du gisement même, nous dirons quelques mots des roches qui l'entourent. Comme le fait voir notre carte géologique, toujours de Nijné-Taguïsk (fig. 1), deux bandes de calcaires s'étendent vers le SSW, à partir du ruisseau Roudianka qui traverse de l'est l'espace occupé par la mine de Médnoroudiansk. L'extrémité nord de la bande occidentale aboutit, au bord sud de la mine Taguïsk, sur la montagne Wyssokaïa. C'est entre ces bandes que se trouve le gîte de cuivre. Les roches enfermées entre les calcaires sont tout à côté de l'enceinte de la mine, à l'ouest de cette dernière, aux bords de la mine et dans l'ancien cimetière, affleurent des brèches (tufs) composées de fragments de porphyrite, de gabbro-aphanitique, de schiste et de calcaire, réunis par un ciment chloritique imprégné de calcite. A 30 mètres au nord du bord oriental de la mine (à 50 m. environ du puits nord), se trouve l'extrémité de la montagne Wyssokaïa, dite Issetskaïa (Issetsky outchanka). On exploite le fer magnétique à ciel ouvert. Ce terrain est traversé dans le sens du méridien par les brèches mentionnées plus

par des brèches semblables et des tufs affleurent aussi à l'est de la mine de cuivre, dans les rues du village minier, tandis qu'au sud-est on trouve un calcaire compact gris formant comme de petites plates-formes. Plus loin vers l'est, dans la direction de la montagne Lyssaïa, on ne voit se montrer les schistes verts et les brèches attenants au pied oriental de la montagne. Le Mont-Chaube lui-même est formé de roches augitiques et diabasiques qui ont été soumises à une forte déformation et plongent presque verticalement (environ 80°) vers l'ouest.



relations mutuelles des roches renfermant les gîtes de Médnoroudianek. Elles présentent sous une forme bien plus compliquée si l'on considère les travaux souterrains qui, en plusieurs endroits, découpent la direction générale des couches. En se basant sur les données obtenues par les travaux miniers, il est possible de repré-

Coupes transversales de Médnoroudianek.

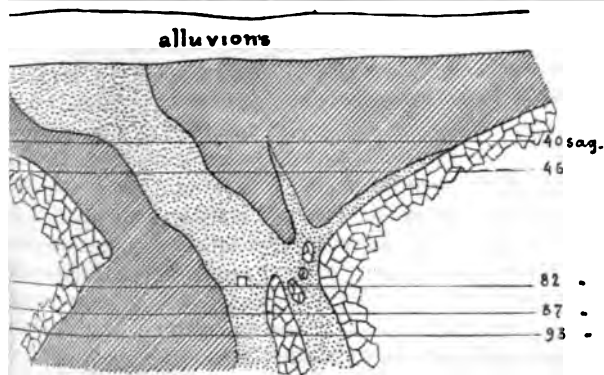
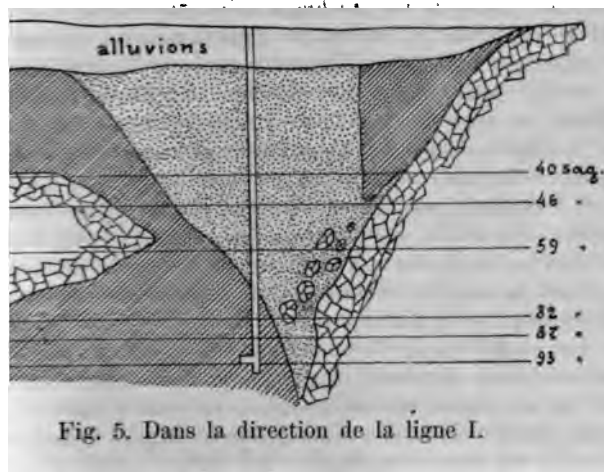


Fig. 6. Dans la direction de la ligne II.

Mêmes signes que la coupe horizontale (fig. 4).

Le tableau général du gisement (fig. 4, 5, 6). La fig. 4 donne le plan horizontal du gîte au niveau de 93 sagènes. Les figures 5 et 6 donnent la coupe transversale sur les lignes I—I et II—II, indiquées sur le plan (fig. 4 ').

Les fig. 4, 5, 6 sont tirées de l'ouvrage de P. Gladki, *Chemische Bemerkungen etc.*

Ces dessins font voir que les deux bandes de calcaire qui affleurent à la surface, se distinguent aussi dans les coupes des mines et qu'elles ferment les mêmes schistes verts et tufs mentionnés plus haut (4^{tière}). Comme l'ont montré les travaux souterrains, les schistes et les brèches des horizons les plus bas que l'on a atteints jusqu'ici ont subi de forts changements sous l'influence d'agents hydrothermaux et ont été transformés en produits secondaires. Ces changements ont surtout affecté la partie sud de la mine, nettement séparée de la partie nord par un puissant filon de lamprophyre, oblique à la direction générale du gisement. Le long du gisement s'aligne une bande d'oligistes bruns argileux et d'argiles, qui divise la série des roches de Médnoroudiansk en deux moitiés, l'une au nord-est, l'autre au sud-est. Dans la coupe verticale, les oligistes bruns et argiles se présentent en remplissant un espace sous forme de fente, irrégulièrement bornée à l'est et à l'ouest, fente dans la direction de laquelle se serait produite la rupture des roches accompagnée d'un faille, si l'on admettait la thèse de l'ingénieur des mines Mayer, directeur de la mine pendant de longues années. De nombreuses surfaces polies, observées dans la mine et le mur de la fente, semblent venir à l'appui de cette hypothèse. Les argiles jaune d'ocre (surtout dans les horizons supérieurs) travaillées encore du temps du servage ¹⁾ sont riches en minéraux de cuivre oxydé; des masses de malachite ont donné dans le temps la grande célébrité à ces mines de Médnoroudiansk. Outre la malachite, les argiles ont depuis longtemps attiré l'attention des minéralogistes par d'autres oxydes de cuivre que l'on y trouve: taguilite, aspérolite, socole et démidovite; la mélaconite, la cuprite, le cuivre natif et le bornite rencontrent plus rarement. A leur contact avec les calcaires, les argiles deviennent plus riches en combinaisons de cuivre. Du nombre de ces combinaisons de cuivre, la chalcopryrite, se trouve dans la partie nord de la mine, le plus souvent imprégnée dans la malachite, indiquée sur le plan de la mine (fig. 4) par la lettre *a*.

lés il est facile de recueillir des fossiles, accumulés par en-
grande quantité (*Pentamerus vogulicus* Vern., *Atrypa reti-*
inna, *Murchisonia Demidoffi* Vern., *Pleurotomaria ventri-*
hw., *Euomphalus subalatus* Vern.

terminer notre esquisse sommaire du gisement de Médno-
ajoutons encore que l'ensemble de tous les faits connus
à conclure qu'au contact des calcaires et des roches ren-
gisement, il se produit une réaction chimique: d'une part
dissolution des calcaires et du résidu indissoluble il se forme
loppe argileuse, d'autre part se fait le dépôt des combinai-
sures. Le cuivre est apporté au lieu où se produit la réaction
aux qui lavent le calcaire.

Excursion à la mine de manganèse,

arriver à la mine de manganèse, située au nord de l'usine
Lébiajaïa, il faut franchir deux fois la rivière Taguil. A la première
les rives de la Taguil montrent les mêmes tufs plus ou moins
les dont les excursionnistes auront déjà pris connaissance en
Médnoroudiansk. Dans le village Wyssk, le long du chemin
l'église, affleurent des calcaires identiques à ceux de Médno-
L'église s'élève sur ces calcaires. Un affleurement plus im-
les calcaires s'observe à la seconde traversée de la rivière.
ait nettement le rapport existant entre les calcaires et les
contenant de gros fragments de porphyrite et de schiste. Les
plongent SW 115°—75°, appuyés sur des brèches qui appa-
l'ouest du chemin. A partir de ce pont, le chemin s'élève
douce jusqu'à la mine de fer magnétique Lébiajaïa. Le gise-
exploité dans deux vastes fosses. Le caractère du gîte est
ent analogue à celui de la montagne Wyssokaïa. Ici aussi le
tique présente souvent des surfaces polies, résultat du frot-
tuel des couches lors de la formation des failles.

é la forte teneur pour cent en fer pur, Lébiajaïa s'exploite
tion moindre que Wyssokaïa, d'une part à cause des condi-
favorables d'exploitation, d'autre part à cause de la présence
minéral de mélanges nuisibles (calcédoine de cuivre et apatite)
d'une matière assez inégale. L'apatite forme le plus souvent
s compactes macroscopiques de couleur rouge qu'un œil peu
endrait facilement pour du feldspath. En certaines mines on
fois l'apatite combinée en proportion égale avec la ma-

distance d'environ une verste vers le nord-ouest de Lé-
située la mine de manganèse, découverte par l'ingénieur
M. Sapalsky. La mine est exploitée dans deux fosses dont
du sud, ressemble à un profond ravin, allongé du nord-
ud-est, tandis que celle du nord a des contours irréguliers.

La paroi méridionale de la fosse sud montre des calcaires clairs et blancs—*a*—(fig. 7) plongeant vers le SW avec une inclinaison de 60° et contenant un grand nombre de *Atrypa kuschvensis* Tschern., *Spirifer kuschvensis* Tschern., *Sp. pseudokuschvensis* Tschern., *Entomis pelagica* Barr., tiges de crinoides et de coraux. Ces calcaires recouvrent une dolomie blanche—*b*—superposée à un calcaire breux—*c*—. Ensuite, en contact immédiat avec le calcaire *c*, un minerai de manganèse reposant sur des schistes jaunes, rosés et lacés qui affleurent dans la paroi septentrionale de la mine. Ces schistes apparaissent les mêmes calcaires que l'on voit criblés de tiges de crinoides et de coraux.

La seconde fosse fait voir les mêmes calcaires enclavés dans des schistes et le minerai de manganèse.

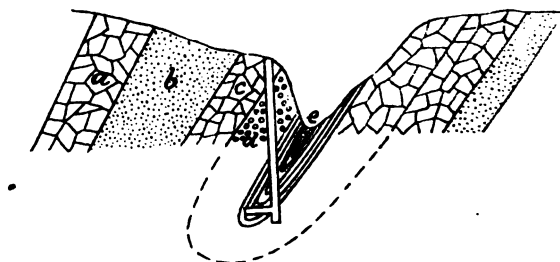


Fig. 7.

Il est à supposer que dans l'ensemble on a affaire, dans la première fosse, à un pli synclinal couché, des deux côtés duquel les calcaires se sont symétriquement disposés, enclavant les schistes (schéma 7). On voit distinctement, malgré les éboulis, que les schistes sont pliés en concordance avec les calcaires qui les en-

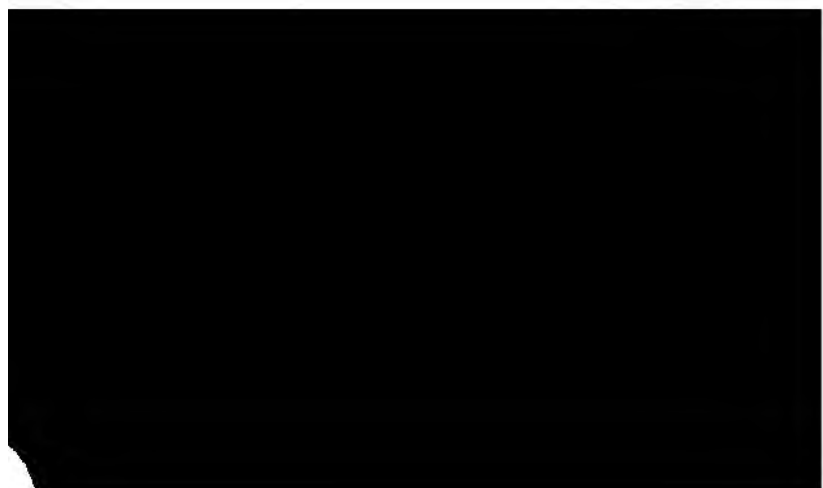




Mont Simiata. Vue prise de l'usine Barantchinsk



Mont Siniata, Affleurement des gabbros et des roches à diallage (Schlieren).



syénites et de tufs correspondants, plus ou moins comprimés armés en schistes verts. De là, la voie se continue jusqu'à la rivière Taguil, à travers une région de porphyres et de porphyriques. Plus à l'ouest, entre le chemin de fer et la Taguil, les syénites occupent une grande étendue, affleurant le long de la voie dans une série de rochers pittoresques. Les mêmes syénites, sur une petite distance, par la voie ferrée après la traversée de la Taguil. D'ici jusqu'à la station Laïa et par delà, jusqu'à la station Barantcha, la voie traverse un développement de gabbros et de roches à diallage. A l'ouest de la voie, dans les confins du district de Koudat, on voit se dresser un grand massif dont les sommets portent les noms de Golaïa (Mont nu), Tolstaïa (Mont gros), Nojovka (Mont noir). La montagne Siniaïa (pl. B) domine l'extrémité est du massif. Cette montagne offre des exemples extrêmement instructifs de la structure des roches à diallage à la structure des „schlieren“. Souvent le même fragment de roche offre les combinaisons les plus variées, les parties contenant le feldspath nettement observable, et de autres parties consistant presque uniquement en diallage et amphibole. On peut y recueillir une belle collection d'échantillons illustrant le passage graduel de la diallage à l'amphibole et, en même temps, le passage du gabbro normal à un gabbro dioritique de structure schlieren. La route carrossable plus ou moins franche.

La route carrossable assez mal entretenue conduit à la montagne Siniaïa. On s'y rend de la station Barantcha par l'usine Baratchinsky, il ne reste plus que deux verstes à faire pour arriver au pied de la montagne. Sur les petites collines qui s'élèvent au sud de l'usine, on voit affleurer, des deux côtés de la route, des gabbros et gabbros à structure franchement gneissique. C'est sur ces roches aussi qu'est établie la route qui gravit la montagne Siniaïa. Il est à remarquer cependant que là les roches offrent tantôt une structure gneissique nette, tantôt elles en sont totalement dépourvues. Le gabbro gabbro-diorite sont accompagnés de blocs épars de roches à diallage.

Les meilleures coupes de Siniaïa-gora s'observent dans des carrières abandonnées qui mettent en évidence la liaison intime des roches à diallage avec les gabbros. Les „schlieren“ se montrent surtout sur les surfaces désagrégées où le gabbro gris tranche vivement sur la masse foncée et brillante des roches à diallage (pl. C). Que nous avons pas affaire ici à des filons de gabbro perçant la roche à diallage, résulte du fait qu'en brisant des fragments dans diverses directions, les parties consistant en gabbro se montrent étalées dans la direction du filon et se confondant avec elle à un tel point que même au microscope il est impossible d'apercevoir de limite sensible entre les deux. La planche C, représentant la plus grande des carrières, fait très nettement voir les taches irrégulières de couleur claire (gabbro) se détachant sur le fond foncé de la roche à diallage.

Le sommet de la montagne Siniaïa, connu sous le nom de „Kou-

driawy-Kamen" est presque exclusivement formé d'un diallage à gros grain, chargée par places d'une quantité notable d'olivine. Le gabbro y joue un rôle tout à fait secondaire. Le volume des éléments de diallage dans la roche du Koudriawy-Kamen varie, pouvant aller de la grosseur d'un pois jusqu'à un diamètre de 1 cm. Au microscope on voit distinctement la structure microperthitique de la diallage avec l'ouralite. Le nom Kamen (Pierre-crêpue), répond parfaitement aux contours des rochers dominant la montagne. Grâce à la séparation des affleurements de la roche à diallage présentent des aspects pittoresques de blocs parallélopipédiques, pareilles à celle figurée sur la planche II.

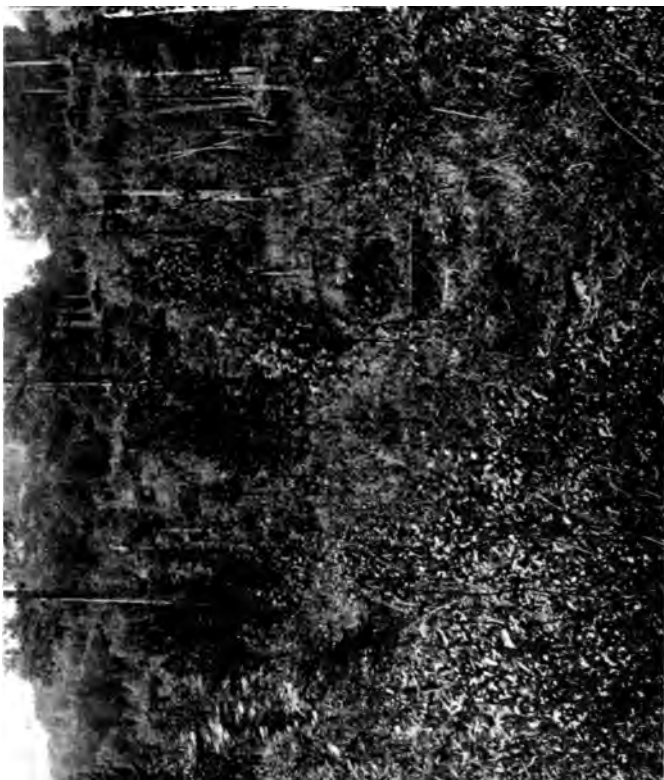
Du haut du Koudriawy-Kamen ¹⁾ qui domine toute l'environnante, s'ouvre une magnifique vue sur les cimes de la montagne. Au nord on aperçoit la montagne Koudriawy-Kamen encaignant l'usine Nijné-Tourinsky et la montagne Taguil; à l'est la vue s'étend au loin dans la direction de la mer d'Azov; à l'ouest se dessine le relief de l'Altaï s'écartant peu ici de la ligne du méridien.

Du Koudriawy-Kamen les excursionnistes retourneront à Barantcha, d'où ils se rendront à l'usine de Koudriawy-Kamen. La route de la région traversée dans ce parcours est indiquée sur la carte géologique jointe au guide (pl. A). Le long de la route on voit point de bonnes coupes.

L'usine de Kouchwa et la montagne Blagovest

Voir les ouvrages mentionnés de G. Rose, Hofman et Helmersen. La montagne Magnitnaïa dans l'Oural (en russe). Journ. des mines, 1838, t. III.





Koudrawy Kanen.









Le Blagodat vu de l'est.

mine. La partie ouest du village s'étend sur la vaste plaine basse de Kouchwa, tandis que dans la partie est le terrain s'élève d'une manière notable vers la montagne Blagodat. Aussitôt après le village et dans ses limites, on voit affleurer des porphyrites augitiques et des cristaux d'augite, transformés parfois en ouralite. Au nord-ouest de Kouchwa, on voit la porphyrite accompagnée de brèches qui consistent de gros fragments, souvent à angles tranchants, de schiste et de calcaire gris rosâtre et de quartz.

Une route parfaitement entretenue et longue d'environ 2 verstes relie l'usine de Kouchwa sur la montagne Blagodat qui se détache de la chaîne des hauteurs environnantes en s'étendant dans la direction ouest. À l'ouest le Blagodat confine à une colline peu élevée qui porte le nom de Blagodatka (Petit-Blagodat) et qui est constituée de porphyrites déjà mentionnées, à l'est—une petite rangée de collines séparant le Blagodat du vaste marais Saldinskoïé.

Sur la ligne du méridien la longueur totale du Blagodat est d'environ 2 verstes. Sa hauteur est de 1154 pieds au-dessus du niveau de la mer et d'environ 500 pieds au-dessus du niveau de l'étang de l'usine de Kouchwa. Au sommet les pentes sont relativement raides, vers l'ouest elles sont plus douces. La montagne a deux sommets dont l'un, vers le sud, est plus haut, dominé par une chapelle et un monument en l'honneur du Vogoule Stepan Tchoumpin que la tradition dit avoir découvert les gisements de fer magnétique du Blagodat.

Toutes les mines sont concentrées sur la pente occidentale et la face ouest de la montagne (pl. E) et chacune d'elles est désignée par un numéro d'ordre. Autrefois on en comptait 13. Aujourd'hui les exploitations situées près de la crête sont réunies en une seule grande mine, principal centre d'extraction du minerai ¹⁾.

Les nombreuses coupes des exploitations permettent d'observer partout la netteté désirable des particularités des roches constituant le Blagodat, et la tectonique de la montagne.

La roche dominante de la montagne Blagodat, de même que celle de la montagne Wyssokaïa dans le district de Taguil, nous l'avons désignée dans l'esquisse générale, sont des orthophyres dépourvus de quartz, sur la pâte desquels tranchent des cristaux d'orthose et parfois de plagioclase ou d'augite. Ces porphyres offrent toutes les transitions possibles, tant aux syénites augitiques et ouralitiques à gros cristaux qu'aux roches à orthose parfaitement compactes, semblables par leur aspect extérieur, comme l'a déjà remarqué G. Rose, aux Hallitsoïdes suédois. Les roches des deux montagnes affectent fréquemment la structure des schlieren. La microstructure, la prédominance de feldspath dans la pâte et parmi les éléments porphyriques, enfin la teneur notable en natrium, rapprochent la plupart des roches de la mon-

¹⁾ La carte de la montagne Blagodat, jointe à notre esquisse, est une copie diminuée de la carte composée par M. Tschernyschew en 1881. Les exploitations №№ 1, 2, 4, 5, 6 se sont aujourd'hui confondues en une seule mine.

tagne Blagodat ¹⁾ du groupe des porphyres augitifères sans qu'après M. Gumbel, on a nommés cératophyres.

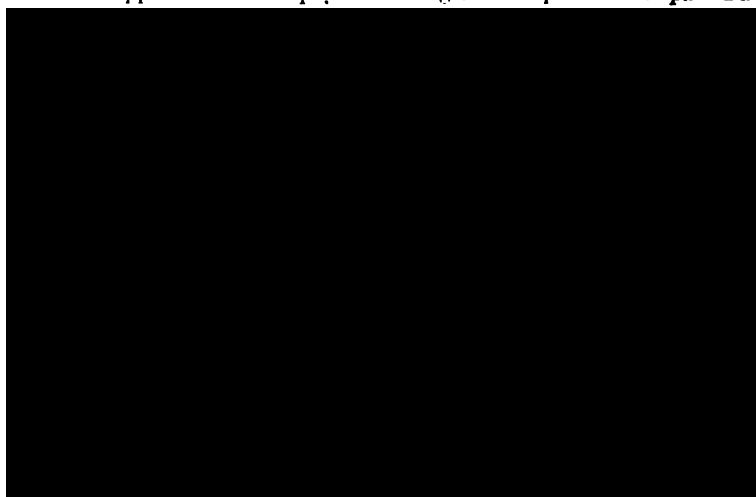
Dans le Blagodat, de même que dans la montagne Wys orthophyres du côté abaissé des masses minérales s'enrichissent de grenat, d'analcime, de calcite, de chlorite, et passent à des roches épidoto-grenatiques, calcito-grenatiques, etc. L'apparition de ces roches est en liaison avec la disparition des amas de fer magnétique, circonstance constatée par tous les miniers exécutés dans le Blagodat.

Dans bien des cas, les roches du Blagodat portent des caractéristiques d'un remaniement mécanique qu'elles ont subi sous l'influence d'agents géo-dynamiques: l'écrasement des parties conglomératiques, l'extinction nuageuse, le recourbement et le déplacement relatif des parties d'un même minerai.

Les fers magnétiques du Blagodat se présentent sous les formes de minerais dits „rouges“ et d'autres, dits „bleus“. Les minerais rouges sont abondants en paillettes de chlorite verte, disséminées dans la roche. Près de la surface la chlorite est détruite et le minerai de fer est facilement fusible. Il va sans dire qu'à mesure que l'on va plus avant en profondeur, le minerai rouge se remplace par le minerai bleu.

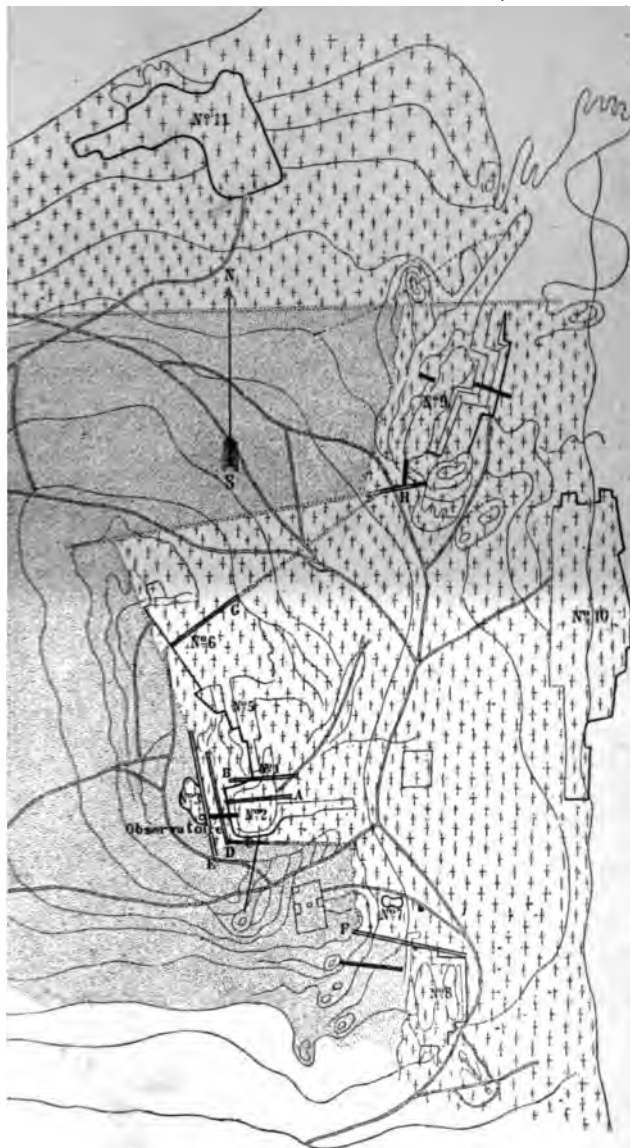
Dans la masse des minerais on rencontre souvent des cristaux considérables dont les parois sont couvertes de cristaux bien formés de fer magnétique qui offrent des combinaisons de l'octaèdre et du tétraèdre (432 et 654), décrites par M. Ierofejew ²⁾. A côté des cristaux de magnétite on observe des cristaux de grenat rouge sous forme d'icosaédraèdre (211) ou de combinaisons de rhomboèdre (110) et d'icosaédraèdre (211).

Les gisements de fer magnétique se rencontrent sur toute la surface orientale du Blagodat et jusqu'à son sommet, partout où il y a développement d'orthophyres. Les gîtes ne présentent pas d'all



CARTE GÉOLOGIQUE DU MONT GLAGODAT

Dressée par Th. Tschernyschew.



Porphyres,
roches à
orthose et
syénites.



Failles
observées.



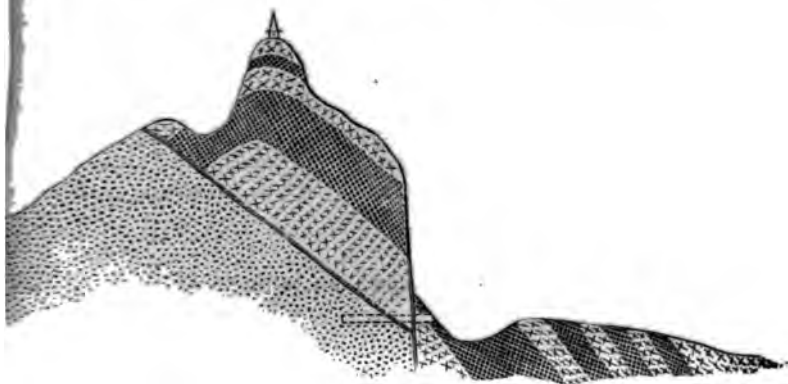
Failles
supposées.



Galeries.



ratés, près de l'observatoire et dans la mine № 3, vers le W. La direction générale du pli coïncide avec celle de la crête de la montagne. Les masses minérales dont la direction correspond à peu près à la direction du Blagodat, plongent en concordance avec les porphyres. Ce n'est pas ici le lieu d'entrer dans les détails de la constitution de la montagne; nous dirons donc seulement que ce schéma est souvent compliqué par des failles se dirigeant dans le sens méridien. La coupe transversale du Blagodat (fig. 8) en donnera



E

Fig. 8. Coupe transversale du Blagodat.

e. Grâce à une de ces failles (voir sur la carte, pl. F, la faille *F*), nous voyons une interruption dans le gîte principal de la mine de la pente orientale. Une autre grande faille (sur la carte, la faille *E*) a causé le rejet des roches du mur du gisement (épidoto-grenatiques) jusque sur la surface de la pente occidentale de la montagne. Une deuxième série de fissures, celles-ci transversales, se dirigent de l'E à l'W ou du SSE au NNW. Les rejets et les failles qui sont produits dans ces fissures-ci (carte, *A, B, C, F, G, H*) s'observent nettement dans la grande fosse et dans les mines № 8 et 9. À cause de ces rejets, les différentes parties d'une seule et même série de roches se trouvent repoussées vers l'est. Certaines données autorisent à supposer que les gîtes № 7 et 8 ne sont que des parties repoussées vers l'est du gisement № 2. De même, il est probable que le gîte № 1 est la continuation du № 5 d'autrefois, rejeté vers l'est.

Les plis et failles se dirigeant dans le sens du méridien sont de plus ancienne date que les rejets et failles transversales. C'est pour ces roches à épidote et grenats, apparues sur le versant occidental du premier mouvement, ont été plus tard refoulées en plusieurs endroits jusqu'au pied de la pente orientale (Comparer la carte

Les masses minérales ont subi les mêmes ruptures que les roches encaissantes. C'est la raison que l'on trouve des lambeaux de matière enfermés dans les brèches qui remplissent les fentes. Au même phénomène sont dûs les miroirs du fer magnétique, résultat du frottement mutuel des parois lors de la formation des failles.

Comme le fait voir la carte géologique (pl. A) un vaste développement de roches porphyriques pinçant d'étroites bandes de calcaires s'étend à l'est et au sud du Blagodat. Les calcaires contiennent une assez riche faune souvent bien conservée. Ce sont surtout les calcaires du dévonien inférieur (hercynien) le long de la rivière Kazan. Izvestka, à une distance de 4 verstes vers le sud-est du Blagodat, abondent en fossiles. L'auteur de la présente esquisse en a décrit les suivants: *Calymene* sp., *Entomis pelagica* Barr., *Pleurotomaria kuschnensis* Tschern., *Merista passer* Barr., *Spirifer pentamerifolius* Tschern., *Spir. kuschnensis* Tschern., *Spir. pseudo-kuschnensis* Tschern., *Atrypa kuschnensis* Tschern., *Pentamerus parvulus* Tschern., *Pent. integer* Barr., *Orthis pseudotenuissima* Tschern.

De Kouchwa au faite de l'Oural.

Après Kouchwa le chemin de fer se maintient pendant quelques verstes dans la direction nord, puis, avant d'atteindre la rivière Tura, il tourne brusquement vers le nord-ouest.

La carte jointe à cette esquisse (pl. A) montre presque sur toute l'étendue qui sépare Kouchwa de la station Asiatskaïa, le développement exclusif de porphyres accompagnées de tufs et de brèches. Les rives de la Tura, qui coule au nord de la voie ferrée, sont classées pour l'étude de ces roches. Les brèches, composées de porphyrite, présentent un intérêt particulier. Sur la pâte, formée de plagioclase

et micacés) qui constituent la partie centrale de l'arête de la station Oural'skaïa, située sur le faite même, la voie traverse la Toura pour la dernière fois et va s'approcher des rivières descendant la pente du côté de l'Europe et qui aboutissent aux bassins de la Kama et de la Volga ¹⁾.

monument historique portant d'un côté l'inscription „Europe“, de l'autre „Asie“, érigé au faite de l'Oural sur la route qui mène de l'usine Sérébrianka, reste à 20 verstes environ vers le sud du chemin de fer.



X

MIN DE FER DE L'OURAL

PAR

A. KRASNOPOLSKY.

De la falte de l'Oural jusqu'à la station Tchoussowala.

La voie ferrée franchit l'Oural à 493,1 mt. au-dessus du niveau de la mer, loin des sources de la Liéwala Toura et du Tiskoss (affluent de la Koiwa) et à la distance de Perm de 255 verstes. Du falte la voie descend peu à peu le long du Tiskoss vers la rivière Koiwa jusqu'à la station Yéropéiskala (248-me verste) 375,3 mt., à Oust-Tiskoss (239-me verste) 299,2 mt., et sur le pont de la Koiwa (237-me verste) à l'altitude absolue. Longeant ensuite la rive droite de la Koiwa, elle atteint près de la station Tioplala-gora (245-me verste) 237,9 mètre d'altitude absolue; de là elle oblique vers NW pour monter par une pente rapide sur une chaîne parallèle à l'Oural, où elle atteint à la 249-me verste le maximum de son élévation — 469,7 mètres.

La première tranchée à partir du falte de l'Oural présente des rochers argileux et chloriteux dirigés dans le sens du méridien avec un pendage vers l'est, alternant avec des quartzites micacés et des schistes graphiteux.

La tranchée peu profonde sur la 249-me verste laisse voir des rochers très altérés. Des deux côtés de la station Yéropéiskala il y a un développement de schistes chloriteux d'un gris verdâtre. A 4 verstes de la station, vers le nord, s'étendent le long de la Sévernaïa, affluent du Tiskoss, des placers assez importants qui reposent sur les rochers chloriteux plongeant NE 80° / 50°.

Le guide de la partie du chemin de fer de l'Oural qui comprend le trajet entre le falte de l'Oural et Perm, de même que celle du embranchement de Lounievsk, a dû être fait sans aucun travail géologique, uniquement d'après les recherches exécutées vers 1885.

Des quartzites gris parfois friables, intercalés de schistes désagrégés, sont mis à nu dans les tranchées des verstes :

Dans la tranchée suivante, assez longue, mais peu profonde, 243-me verste, on voit d'abord des argiles jaunes et rouges, puis des quartzites gris clair plongeant $E \angle 75^\circ$, enfin, dans la tranchée, des dolomies noires à grain fin, intercalées de bancs de calcite plongeant en concordance avec les quartzites.

Sur la 242-me verste, le long de la rive droite de l'affluent du Tiskoss, à l'aval du pont du chemin de fer, on voit un affleurement de dolomies noires semblables à celles de la station de Krestowozdwiensk, mais mal conservées : moules de gastéropodes, *Cyathophyllus*, etc. Les mêmes dolomies sont développées au nord de là, au village de Krestowozdwiensk sur la rivière Poloudenka (affluent du Tiskoss) où elles forment le lit des placers devenus célèbres par les fossiles qu'on y a trouvés ¹⁾.

Plus loin, dans les tranchées entre la 242-me et la 243-me, ainsi que le long de la rive gauche du Tiskoss, se montrent des schistes argileux noirs plus ou moins altérés; dans la tranchée 243-me ces schistes plongent $SW \angle 55^\circ$, alternant à l'aval avec des dolomies noires, à la sortie avec des schistes argileux d'un gris foncé.

Sur la 239-me verste on voit près de la station Oukoula des quartzites gris clair, inclinés vers le SW et interstratifiés avec des schistes chloriteux et argilo-chloriteux. Des schistes argileux ou chloriteux avec pendage plus ou moins fort vers WSW s'observent au delà de la Koiwa, entre la 236-me et la 229-me verste, ainsi qu'aussi des roches sur la rive de la rivière.

Sur la 230-me verste on aperçoit dans une forêt épaisse, vers l'ouest de la ligne, les escarpements rocheux du Doukha qui n'est que la continuation méridionale de la Téploga.

¹⁾ Le meilleur chemin pour arriver aux placers de Krestowozdwiensk est celui qui commence à la station Tioplaïa-gor et qui se trouve à une distance de 7—8 verstes vers le NE. Les fossiles ont surtout été trouvés dans le vallon de l'Adolphe, affluent de la Poloudenka, à une verste environ à l'aval du village, et dans le lit de la Poloudenka, dans les limites du village même. Le lit est formé de dolomie noire qui présente un plongement fort prononcé vers le sud. On y a trouvé à côté de beaux exemplaires de *Favosites*, *Gastropods* sp. etc., des restes organiques assez nombreux, mais surtout de moules de gastéropodes, lamellibranches, brachiopodes. Dans les schistes argileux noirs et les schistes chloriteux qui couvrent le plateau de l'Oural entre la Poloudenka et la Sévernaïa, on trouve des schistes talco-chloriteux qui les remplacent, à l'aval de la Koiwa à l'aval de la Poloudenka. Vers le nord on voit le développement de schistes chloriteux (éminences dites Oural) et vers le sud—de schistes argileux ou chloriteux et de schistes argileux affleurant sur la montagne plate Kalantcha. Le chemin qui conduit de la station aux placers.

en approche plusieurs fois: sur la 228-me verste en face de Tioplogorsk, sur la 225-me près de la station Tioplaia-gora, ne au-delà de la station. Douplianoi-kamen et Tioplaia-gora usés par des gabbros.

es petites tranchées des verstes 223—215 on observe des ileux et chloriteux.

avoir atteint sur la 215-me verste l'altitude maximale de la voie ferrée suit quelque temps le faite du partage des fluents gauches de la Wéjaï et des affluents droits de la descendre rapidement, sur le parcours de 43 verstes, jusqu'à Pachya, à l'altitude de 293,4 mt.; ensuite, sur le parcours entre les stations Pachya et Arkhipovka, le profil devient ne, variant entre 283,3 mt. (139-me verste) et 359,9 mt. stej). A partir de la station Arkhipovka la ligne descend e étroite de l'Arkhipovka à la rivière Tchéoussowaïa; sur de 15 verstes le profil s'abaisse graduellement et presque lle de 313,8 à 119,7 mètres.

es petites tranchées entre la 215-me verste et la station observe plusieurs variétés de schistes talco-argileux gris et eux gris verdâtre (verstes 213, 210, 207, 206, 201, 200, 196) plus ou moins rapidement vers SW, et traversés par des artz. Sur les verstes 213 et 205 on aperçoit entre les schissements de diabase.

ecourant la 205-me verste on voit près de la ligne, vers le montagne de peu de hauteur, Saranovskaïa-gora. Cette monstituée par de la serpentine, n'est pas moins connue par les ments de fer chromique qu'elle renferme, que célèbre chez ogues à cause des nombreux ouvarovites qu'on y a trouvés. les tranchées entre les verstes 189—185 on voit des schistes oirs. Après la station Biélala on observe, dans la tranchée 4-me verste, des grès gris clair à arkose et à grain grossier in, des schistes argileux d'un gris verdâtre alternant avec des ent stratifiés. Les mêmes grès et schistes argileux gris clair, NW, se voient dans les tranchées des verstes 183—178. Sur 177-me on aperçoit des grès blancs à arkose et des quartzites fortement inclinés vers SW.

ommencement de la verste 177 et sur le parcours des verstes on voit des calcaires gris clair compacts ou gris foncé cri-
*D*₂ — à *Cyathophyllum* sp.

etite tranchée de la 173-me verste montre à son commence-argiles ferrugineuses d'un rouge foncé et du minerai de fer ouge et oolitique et, à la fin, des calcaires argileux gris clair es compacts, par places cristallins — *D*₃ — à *Cyrthia Mur-*
z, *Atrypa reticularis*, *Orthis striatula* etc.

parcours de la 170-me verste, près de la station Pachya, on eux côtés de la voie des calcaires gris clair à grain fin dentiques aux calcaires dévoniens supérieurs des environs de

XVII. I
XVIII. I

XIX. I

XX. V

XXI. V

XXII. D

XXIII. E

XXIV. D

XXV. D

XXVa. Es

XXVI. De

XXVII. Le

XXVIII. Ex

XXIX. Ia

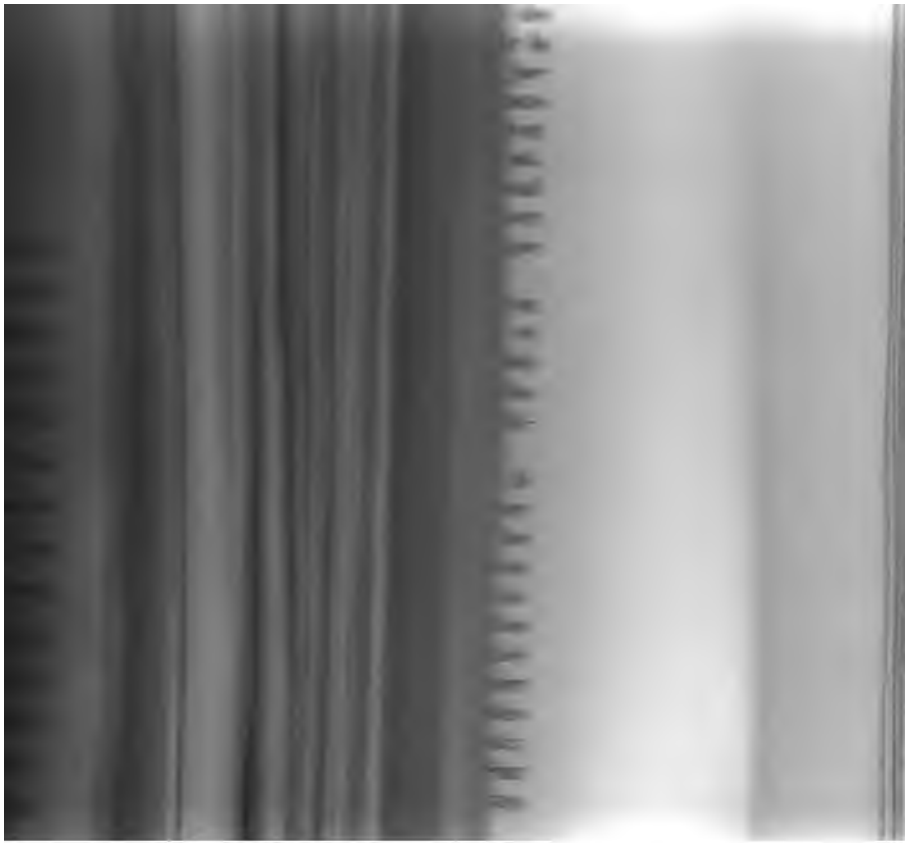
XXX. Ea

XXXI. Itio

XXXII. Le

XXXIII. Itin

XXXVI. Kur



l'usine Arkhanguélo-Pachyisky (au NW) et de l'usine Koussié-Adrovsky (au SE).

Au-delà de la station Pachya la ligne ferrée entre dans un gion de développement de dépôts carbonifères qu'elle traverse jusqu'à la station Vsiéswiatskaïa. Les affleurements les plus intéressants du parcours sont: 1) une tranchée sur la 167-me verste, où l'on voit des grès quartzeux blancs, des schistes argileux gris foncé et des grès gris carbonifères, intercalées de minces lits de houille; 2) une tranchée de peu d'étendue sur la 166-me verste, qui laisse voir des grès gris compacts ou à grain fin — C_7b — à *Spirifer mosquensis*, *ductus* *Cora*, *Pr. semireticulatus*, *Pr. Humboldtii*, *Chonetes conraris*, *Fusulinella sphaeroidea* etc. Le reste du parcours jusqu'à la station Vsiéswiatskaïa ne montre que des affleurements très peu remarquables de grès blancs quartzeux, à grain fin, et des argiles — C_1 .

Sur la 147-me verste, après la station Vsiéswiatskaïa, nous retrouvons les grès dévoniens schisteux gris verdâtre et plus loin, près la rivière Polowinka, sur la 145-me verste, les grès blancs à grain fin appartiennent probablement à l'horizon C_1 . Dans la tranchée de la 142-me verste on observe de nouveau des grès dévoniens gris verdâtres disposés presque verticalement dans la direction NW 145 et, dans la tranchée de la 141-me verste et des deux côtés de la 139-me, les C_1 , tantôt à gros grain, tantôt à grain fin. Dans l'espace entre ces deux derniers affleurements se montrent, dans la tranchée de la 141-me verste, les calcaires compacts ou à grain fin de couleur grisâtre qui, en raison des observations faites le long de la Tchoussowaïa, sont rapportés à l'horizon C_2 .

Dans la tranchée de la 138-me verste, dans les fossés près la station Arkhipovka et le long de la ligne jusqu'à la 123-me verste on observe des alternances de grès gris verdâtre ou rougeâtre à grain fin et de schistes fortement refoulés vers NW 150°. Sur la 131-me verste ces schistes et grès dévoniens typiques sont séparés par une sorte

longeant vers NE, s'explique par un plissement renversé

affleurements du grès permocarbonifère sont si peu considérables que pendant la descente rapide du pont de la voie ferrée que pendant la descente rapide du pont de la station Yermak il est assez difficile de les apercevoir. Les affleurements des ces grès et du calcaire C_2 s'observent beaucoup plus loin de la Tchoussowaïa, entre Arkhipovka et Wachkour. Les grès permocarbonifères qui renferment en abondance des restes d'Ammonoites caractéristiques, y plongent NE $65^\circ \angle 35^\circ$, c'est à dire vers l'aval de la Tchoussowaïa. Couchés directement sur le calcaire C_2 qui se trouve au jour vers l'aval de la Tchoussowaïa, les grès permocarbonifères plongent vers l'amont sous ce même calcaire C_2 incliné en conséquence, à son tour, disparaît plus loin sous les calcaires de l'horizon qu'on voit affleurer en remontant la rivière.

À l'est-nord de la station Tchoussowaïa, située dans la vallée de la Tchoussowaïa, on voit, dans un monticule plus ou moins couronné, des affleurements de gypse blanc subordonné aux dépôts permocarbonifères.

II. L'embranchement de Lounievskaïa.

À la station Tchoussowaïa et le pont de la Wilwa on observe les affleurements de la voie ferrée des grès permocarbonifères, des conglomérats et des gypses. Quelques affleurements insignifiants de ces roches se montrent le long de la ligne dans une petite colline près de la station (où il y a des gypses) et plus loin, sur la 3-me verste. Un bel affleurement de grès calcarifères gris jaunâtre — CP_g — s'observe, du côté de la voie, sur la pente douce d'une élévation peu considérable qui est situé le village de l'usine de Tchoussowaïa. Cette colline connue sous le nom de mont Yélowik, est constituée par des grès, riches à cause des nombreux restes végétaux bien conservés que l'on y trouve.

À la 5-me verste on voit près du pont de la Wilwa de petits affleurements d'un calcaire blanc — C_1 — à *Productus striatus*.

À l'ouest de la Wilwa jusqu'à la rivière Tchornaïa la voie traverse la vallée fluviale de l'Ousswa et de la Wilwa; plus loin elle longe la rive gauche; bien que la contrée devienne de plus en plus élevée, on ne remarque pas d'affleurements jusqu'à la station Tchornaïa. Au-delà de la station, sur la 20-me verste, on retrouve, à droite, les grès calcarifères gris jaunâtre CP_g accompagnés de conglomérats, plongeant NE $\angle 65^\circ$. Les calcaires de la section supérieure du système permocarbonifère surgissent plus loin de dessous les grès qui les recouvrent dans une concordance de pendage. Entre les verstes 20—22 ces roches forment de part et d'autre de la Tchornaïa des escarpements qui plongent vers SW $50-60^\circ \angle 50-70^\circ$. Sur la 22-me verste les roches de la rive gauche sont traversées par un tunnel.

Le percement de ce tunnel (long de 65 sagènes) un peu courbé ne pu être évité, semble-t-il, par le creusement d'une tranchée et l'établissement d'un mur de soutènement, comme on l'a fait par exemple à la 21-e verste. Les calcaires blancs, gris clair et gris foncé, qui s'étendent entre les verstes 20—22, sont très abondants en fossiles. Un arrêt de courte durée à n'importe quel point de ce parcours permettra de cueillir une riche collection de *Productus granulatus*, *Pr. longispinus*, *Pr. Villiersi*, *Sp. striatus*, *Camaroph. plicata*, *Conocardium urale*, *Columnaria laevis*, *Fusulina Verneuli*, *Polypora orbicularis* etc.

Au-delà du tunnel le chemin de fer suit la direction NW des calcaires C_2 qui plongent entre la 22-me et la 24-me verste vers $60^\circ \angle 60^\circ$, et entre la 26-me et la 29-me vers SW $60^\circ \angle 30^\circ$. Ici il y a développement de calcaires d'un gris clair finement stratifiés, puis de calcaires compacts à *Fusulina Verneuli*, *Chonetes* etc. *Prod. longispinus* etc.

Sur la 30-me verste ces calcaires se remplacent brusquement par des schistes d'un gris verdâtre et des grès dévoniens, plongeant vers NE $65^\circ \angle 80^\circ$; les mêmes schistes et grès s'observent plus loin dans la direction de la 31-me verste. Sur le parcours de la 32-me verste on voit de deux côtés de la ligne des grès blancs à arkose, probablement dévoniens; puis, pendant les deux verstes suivantes, les grès blancs finement granulés C'_1 ; ces derniers plongent NE $65^\circ \angle 70^\circ$ comme le fait voir la carte à droite de la ligne sur la 34-me verste.

Près de la station Basskaïa il n'y a pas d'affleurements; plus loin, sur le parcours de la 38-me et de la 39-me verste, des puits montrent des argiles grises ou d'un gris jaunâtre — C'_1 — intercalées de couches et de concrétions de silex. Sur les verstes 40, 41, 42, 43 on voit des grès blancs finement granulés — C'_1 — plongeant vers le SW (à l'arrière de grès sur la 41-me verste). Sur la 44-me verste on observe des calcaires blancs compacts — C'_2a — à *Productus striatus*, *Pr. longispinus*, *Athyris planosulcata* etc. et sur la verste suivante des cal-

ne finement stratifiés— C_1b —(à *Prod. Cora*, *Ch. variolaris*, *sphaeroidea*), avec plongement vers l'est très fort, mais à la 55-me verste on retrouve des deux côtés de la ligne les C_1a à *Productus striatus*.

À la 56-me verste traverse de nouveau les calcaires C_1b , tandis que de cette verste et presque sur tout le parcours de la 57-me apparaît les calcaires C_1a plongeant vers SW; au bout de la 58-me les derniers sont remplacés par les calcaires gris compacts C_1b également SW et renfermant des concrétions siliceuses et *Sp. mosquensis*.

Courant les verstes 60—62 on voit, des deux côtés de la ligne, des affleurements des calcaires C_1 . Des affleurements plus considérables ces calcaires le long de la 63-me et de la 64-me verste et dans la vallée de la Bérestenka, laissent voir des calcaires blancs ou d'un blanc gris à *Fusulina Verneuli*, *Camuropho-* etc., plongeant SW $70^\circ \angle 30-40^\circ$.

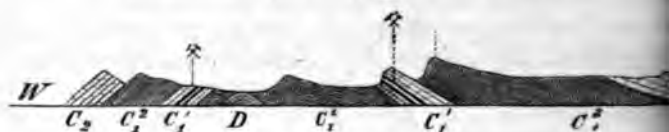
À la 65-me et la 68-me verste la voie traverse une contrée parsemée de grès, parsemée sur la 68-me verste de blocs de grès. Les mêmes grès apparaissent dans la tranchée de la 69-me verste. Dans la tranchée suivante et plus loin reparaissent les calcaires à fin C_1b , à *Sp. mosquensis*, *Ch. variolaris*, mais à la fin de la 70-me verste et dans les tranchées de la 71-me se montrent les calcaires compacts ou finement granulaires C_1a à *Prod. striatus*, SW $75^\circ \angle 40^\circ$.

À l' commencement de la 72-me verste on voit à droite de la voie le grès quartzeux C_1 , à gauche, c'est-à-dire vers l'ouest, des affleurements du calcaire blanc C_1a . Dans les tranchées de la 73-me et de la 74-me verste et des deux côtés de la ligne il y a affleurements des calcaires— C_1b —gris clair, finement granulaires ou compacts, ceux, à *Sp. mosquensis*, plongeant SW $75^\circ \angle 50^\circ$. Plus loin, à la station Kosswa, ces calcaires font place aux calcaires de la série inférieure du système carbonifère à *Fusulina Verneuli* etc., plongeant SW $75^\circ \angle 50^\circ$.

Les calcaires, en tout semblables aux précédents, affleurent à gauche de la voie, sur la rive droite de la rivière Kosswa. De là la voie ferrée plonge vers l'est en longeant la rivière et en croisant la stratification des calcaires C_1 qui se voient près du pont, sont remplacés dans la tranchée suivante (76-me verste) par des calcaires gris compacts à *Sp. mosquensis* émergant de dessous avec pendage SW $85^\circ \angle 50^\circ$. À l'amont de la Kosswa on retrouve le calcaire de l'horizon *Prod. striatus*, plongeant SW $75-85^\circ \angle 40-60^\circ$. Ces calcaires sont de hauts rochers assez pittoresques sur la rive gauche—en face de la maison du gérant des mines de Lioubimow,—sur la rive droite, on voit la forge des mines, et à la seconde tranchée de la 76-me verste. Dans la tranchée les calcaires C_1a sont remplacés par les argiles interstratifiées d'argiles, de schistes carbonifères et de houille, plongeant avec pendage SW $80^\circ \angle 40^\circ$. Les mêmes grès affleurent

aussi sur la 77-me verste près de la sortie des galeries Iwanov Nikolaïevskaïa etc. Les roches de cette suite carbonifère renferment un gisement de houille de Nijné-Goubakhinsk (mines de Lioubimow) couvert au commencement de ce siècle. Le gisement présente une alternance de grès blancs quartzeux, finement granulaires, de grès gris argileux, d'argiles grises schisteuses, de schistes noirs charbonnés et de houille, le tout plongeant SW $80^\circ \angle 45-55^\circ$. Il y existe

Mines de Lioubimow. Mines de Zakharovsky. Mont Krémennaïa.



couches de houille, mais on n'en exploite que deux: la couche supérieure, dite Iwanovsky (galeries Iwanovskaïa, Nikolaïevskaïa, Iwetskaïa), épaisse de 4,6 m., est séparée en deux par un lit intermédiaire de grès argileux de 0,4 m.; la couche inférieure, dite Timonovsky (galeries Ekathérininskaïa, Alexandrovskaïa) est d'une puissance de 1,8 m.

Depuis les mines de Lioubimow jusqu'à la station Goubakhinsk, le parcours de la 79-me verste on n'observe aucun affleurement. La structure géologique de la contrée se laisse apercevoir dans la partie gauche de la Kosswa. A l'amont des mines de Lioubimow on y aperçoit émerger de dessous l'assise des grès carbonifères C_1' des calcaires foncés C_1' , interstratifiés de minces lits de schiste argileux noir; ces calcaires fortement courbés, plongeant NW 165° affleurent aussi à l'embouchure de la Liéwikha. Au-delà de l'embouchure de la Liéwikha, en face des casernes Lazariévskia, il y a un affleurement de

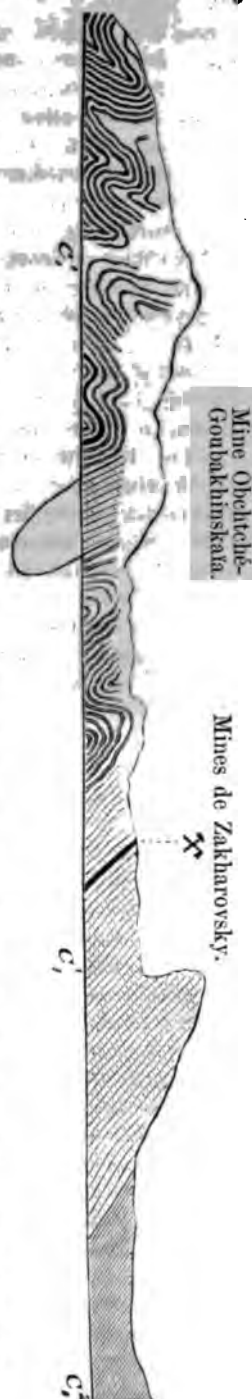
verste) montrent des calcaires fin, plus ou moins grossièrement — à *Prod. mesolobus*, (*Ch. Har-* intercalés de minces lits de schiste. Ces calcaires, dirigés NW 175°, en plusieurs plis à flancs très parfois presque verticaux. Les mêmes à *Prod. mesolobus* et *Ch. pa-* se voient très bien dans la tranche de la 79-me verste où ils présentent un pli anticlinal à flancs très inclinés, ord vers W avec plongement fort, E 85° \angle 75°.

À l'intervalle entre cette tranchée-ci et la 79-me verste, on voit, à gauche c'est-à-dire sur la rive droite de la rivière, de grands rochers escarpés, composés de calcaires C₁ pliés en forme

de S. La 4^{me} tranchée présente ces calcaires abondants *Pr. mesolobus* et coraux) un double pli au flanc occidental peu incliné (35°), au flanc oriental plus incliné. Les couches plus ou moins épaisses de C₁ sont interstratifiées de minces schistes noirs ou gris; vers le bas de la tranchée les lits sont plus épais et deviennent charbonneux.

À l'extrémité de la tranchée la voie longe une pente où l'on voit entre les éboulis des affleurements un grès quartzeux finement granuleux ferrugineux, d'argiles charbonneuses ou noires et de schistes argileux. Tout au bas de la pente on voit les anciennes mines de la mine de fer Obchtché-Goubakinskaya, abandonnée aujourd'hui. A la base de la pente, au bord même de la Kosswa, se trouve une galerie de recherche qui paraît avoir pour but la reconnaissance de la houille déjà découverte au siècle

passé. La 4^{me} tranchée de la même 79-me verste voit les calcaires gris foncé ou noirs à *Prod. mesolobus* etc. pliés dans la direction NW 170°, d'abord avec plongement E 170°, dans le sens opposé, W \angle 50°. Les couches de calcaire sont séparées par de



minces lits de grès quartzeux gris finement stratifié, et de schistes gileux gris foncé ou noir.

La tranchée suivante, au commencement de la 80-me verste, montre encore les calcaires gris à grain fin C_1^1 à *Productus mesolobus papilionacea* etc. Ces calcaires dont le plongement est NE 80° \angle s'enfoncent directement sous les grès C_1' qui les recouvrent en concordance parfaite et qui affleurent au débouché de la tranchée et loin, à droite de la voie ferrée.

La ligne se continue sur une demi-verste sans tranchée, après laquelle, à gauche les mines de l'ing. des mines Zakharovsky, puis les travaux entrepris à la recherche de houille de Kizél, enfin de hauts rochers constitués par le grès quartzeux blanc finement granulaire C_1' plongeant NE 80° \angle 23° .

Sur la rive gauche de la Kosswa les mêmes grès constituent la montagne Krestowaïa.

Le gisement de houille dans l'aile orientale du pli antérieur de Goubakhinsk a été découvert en 1879 par l'ingénieur des mines Zakharovsky. Jusqu'ici on n'y a exploré que deux couches de houille, la supérieure, Nikolaï, à $1\frac{1}{2}$ —2 m. d'épaisseur, et l'inférieure, Krestowaïa, 0,7 mètre.

Vers l'est les grès houillifères de l'aile orientale de ce pli sont remplacés par les calcaires gris foncé à grain fin ou compacts C_2 qui les recouvrent directement plongeant NE 75° \angle 25° et contenant *striatus*, *Pr. giganteus* etc. Ces calcaires sont mis à nu dans la tranchée à la fin de la 80-me verste et le long des deux rives de la Kosswa, où ils constituent des escarpements élevés; les montagnes Krestowaïa et Pechtchéra.

Les mêmes calcaires gris foncé C_2^1 à *Prod. striatus* se trouvent dans la petite tranchée près du poteau de la 80-me verste et, plus loin, sur la 81-me. Leur plongement est partout NE 75° \angle 20° .

À droite de la 82-me verste il y a affleurement de calcaires

village ce cours d'eau disparaît pour ne reparaitre que près

la 96-me verste il n'y a pas d'affleurement le long de la grande tranchée de la 96-me verste montre des grès quart-
ant granulaires C'_1 plongeant NE $80^\circ \angle 80^\circ$, intercalés d'ar-
jaunes ou noires.

voie ferrée tourne vers le nord et suit cette direction jusqu'à
erste en passant devant le village Artiémévka. Sur tout ce
voit des fragments et des rocs de grès quartzeux C'_1 .

avoir dépassé le village Artiémévka, on voit à l'ouest de la
onge la rivière Poloudenny-Kizél, des argiles ocreuses jaunes
plus ou moins corrodées, renfermant des nids plus ou moins
le limonite (mine de Kizél). Vers l'ouest de l'assise métal-
urent les couches presque verticales d'un grès quartzeux
vec des argiles interstratifiées de lits de houille, tandis que
est-à-dire plus près de la Poloudenny-Kizél, il y a affleure-
alcaires C'_2 à *Prod. giganteus*. Ce calcaire se montre par
ans la 5-me et la 3-me portion (délianka) de la mine de
la rive gauche de la rivière, au-dessus de l'église de l'usine.
la petite et la grande tranchée de la 104-me verste on ob-
alcaires gris finement granulaires — D_2 — à *Pentamerus basch-*
avosites Goldfussi etc. qui semblent être la continuation sud
gne Chipitchnaïa quel'on voit s'élever au nord, derrière l'étang
e. L'affleurement de ces calcaires est peu considérable dans
tranchée, celle-ci entamant aussitôt des couches d'abord

rticales, puis plongeant E $\angle 70^\circ$, de grès quartzeux finement
blanc, gris clair ou teinté de fer — C'_1 — alternant avec des
versement colorées.

Et après cette tranchée la voie traverse la Poloudenny-Kizél
re la rive gauche de la Kizél; jusqu'à la station il n'y a
anchées. — Remarquons encore que des calcaires C'_1 à *Cho-*
drensis, plongeant NW $120^\circ \angle 75^\circ$, affleurent au bord gauche
de la mine de Kizél, près de l'embouchure de la Poloudenny
le là, vers l'amont, sur la rive droite (vers l'est de l'église).

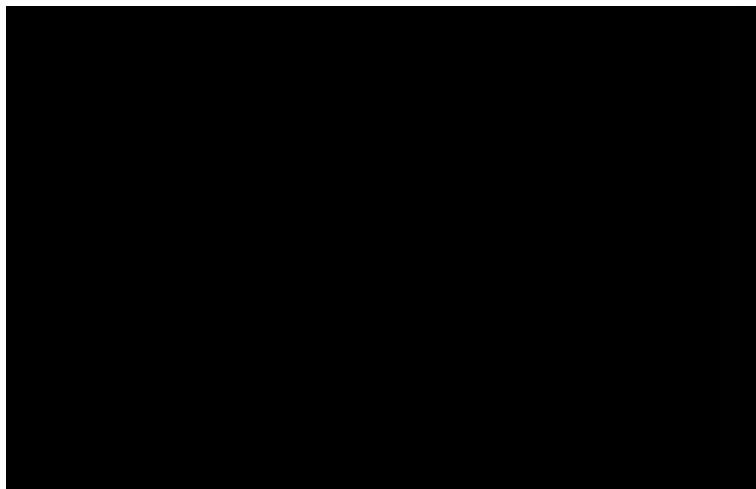
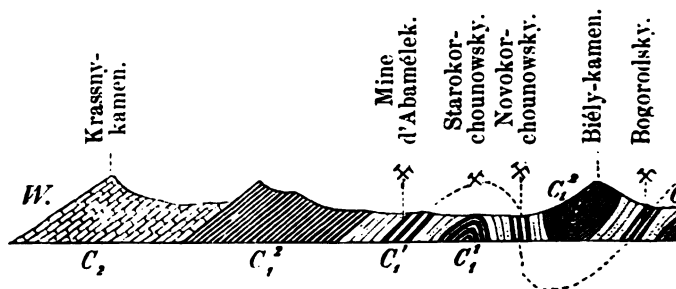
de l'usine même de Kizél, située sur la rive droite de la ri-
même nom, on voit des grès quartzeux plus ou moins fine-
tifiés C'_1 , dirigés avec un plongement presque vertical vers

Ces grès contiennent des couches subordonnées de houille
maxima 0,7 m.) exploitées autrefois dans la mine dite Za-
Ce gisement de houille, découvert en 1790, est le premier qui
uvé sur le versant occidental de l'Oural. Vers l'ouest, un peu
des hauts fourneaux, en face des écuries de l'usine, ces grès
lacés par des calcaires C'_1 à *Pr. mesolobus*, gris foncé et très
granulaires, le plus souvent grossièrement stratifiés et alter-
iellement avec de minces couches d'argile schisteuse grise.
res plongent d'abord vers l'est; puis ils se replient en arrière
lage vers W jusqu'à 30° , formant de cette manière un pli

anticlinal. Ils occupent un espace peu considérable vers l'aval pour faire de nouveau place, en face de la scierie, aux grès C_1 dans lesquels on trouve des couches de houille jusqu'à 1 m. d'épaisseur, avec pendage fort vers le W (Bogorodsky priisk). Les C_1 s'observent le long de la 106-me verste, après la station Kizel.

Sur la rive droite de la Kizél, à l'aval de la mine Bogorodsky, se dressent des calcaires gris compacts ou finement granulaires *Prod. striatus* plongeant NW $105^\circ \angle 40^\circ$, qui constituent des rochers assez élevés, connus sous le nom de Biély-kamen (Pierre blanche). La continuation méridionale de ce calcaire s'observe le long de la 107-me verste.

Vers l'aval de la Kizél ces calcaires n'occupent pas plus de 100 verstes: ensuite, après un plongement vers NW 105° , plus profond, ils sont de nouveau remplacés par les roches houillifères C_1' . Ce sont encore les grès blancs quartzueux, les gileux gris foncé, les schistes argileux gris etc. qui surgissent. Sur la rive droite de la Kizél le gisement de houille de chounowsky. Les mêmes grès se trouvent du côté gauche de la Kizél le long de la voie ferrée: on les y voit au bout de la 107-me verste plongeant SE $100^\circ \angle 50^\circ$.



des galeries de la mine d'Abamélek, les grès houillifères plous les calcaires *C_{7a}* compacts ou finement granulaires gris par places gris foncé qui les recouvrent avec pendage vers NW 40°. Ces calcaires, qui renferment de nombreux fossiles (*Pr. gi-* *Pr. striatus*, *Chonetes papilionacea* etc.), constituent sur la rive gauche une série de rochers.

Ces calcaires, identiques à ceux du Biely-Kamen, sont remplacés à l'aval de la Kizél par des calcaires *C_{7b}* à *Sp. mosquensis*, gris, compactes, interstratifiés de lits et de concrétions de silice, qui affleurent, dans un plan W \angle 35°, sur la rive droite près du point où la rivière change brusquement de W au S.

Encore plus loin, vers l'ouest, ces calcaires sont remplacés par ceux de la section supérieure du système carbonifère qui se montrent sur la rive droite de la Kizél dans le Krassny-Kamen (Pierre rouge).

Sur la 114-me verste le chemin de fer passe devant de beaux rochers de cette Pierre, constituée par des calcaires *C₈* à *Camarophoria* etc., *Pr. semireticulatus*, *Lithostrotion Portlocki* etc. plongeant dans l'eau \angle 25°. Le long de la voie les calcaires de la section supérieure du système carbonifère (des blocs) s'observent déjà au bout de la 112-me et de la 113-me verste. Sur le parcours entre les grès de la 112-me verste et la 111-me, on n'observe aucun affleurement.

À commencement de la 115-me verste on voit dans une petite tranchée et dans la rive droite de la Kizél des calcaires gris siliceux—plongeant NW 115° \angle 20°. Un affleurement des mêmes calcaires habituellement riches en restes organiques (*Pr. Cora*, *Pr. semireticulatus*, *Camarophoria plicata*, *Fusulina Verneuli* etc.) s'observe à l'écart près du pont de la Kizél, sur la rive droite et des deux côtés de la voie (verstes 116 et 117).

Sur la 118-me verste apparaissent des grès gris calcarifères *CP_g*. Les mêmes grès, alternant avec des schistes argileux, affleurent à droite de la voie sur la 119-me verste, près du village Kossala-gora, et dans une grande tranchée de la 120-me verste, où ils plongent vers l'E \angle 10°.

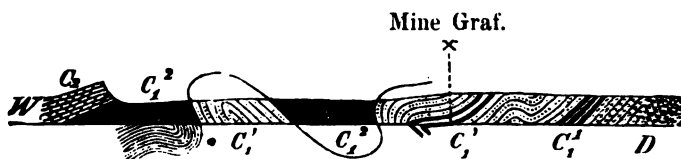
Après avoir quitté cette tranchée, la voie descend peu à peu dans la vallée de la Lytwa pour s'approcher de l'usine d'Alexandrovsk. Deux grandes tranchées, l'une sur la 122-me, l'autre sur la 125-me verste, offrent les grès calcarifères gris *CP_g*.

Un embranchement du chemin de fer conduit de la station Alexandrovskaja aux mines de houille de Lounievsk, ayant à gauche la gare Lounva. Les 6½ verstes qui séparent la station Alexandrovskaja de la station Lounievskaja, offrent une pente presque continue de 62,4 m., avec de grandes tranchées considérables. La ligne est établie à côté du chemin de fer principal qui mène de l'usine aux mines. Le seul affleurement des grès s'observe à 3 verstes de la station Alexandrovskaja, sur la rive gauche de la Lounwa, à l'aval de l'embouchure de l'Ivanovka, où un escarpement assez élevé, à droite de la voie, fait voir un calcaire *C₂* plus ou

moins siliceux, plongeant NW $115^{\circ} \angle 15^{\circ}$ (à *Fusulina Ver*
nocardium uralicum, *Camarophoria plicata*, *Prod. semi*
Spiriferina saranae etc.).

Plus loin ces calcaires affleurent aussi sur la rive d
Lounwa où ils forment les hauts escarpements boisés du
Kamen (Pierre trouée) et des rochers assez pittoresques en
station. Ils y plongent NW $\angle 10-25^{\circ}$ et renferment d'assez
restes organiques.

Vers l'amont de la Lounwa, jusqu'à la fabrique de bri
y a affleurement, sur la rive droite, d'un calcaire gris foncé
très finement granulaire C_1^1 — à *Productus giganteus*. Plus
caire est remplacé par des grès blancs quartzeux C_1^1 qui aff
la rive droite de la Sévernaïa Lounwa (Lounwa du Nord),



Coupe le long de la Lounwa du Nord.

la fabrique de briquettes, et se continuent en pli anticlinal, c
une série de sondages, jusqu'à la cour de triage, pour faire
place aux calcaires C_1^1 à *Prod. giganteus* plongeant vers
derniers calcaires s'étendent le long du tramway qui relie,
droite de la Sévernaïa Lounwa, la cour de triage à la mi
mais à 120 sagènes à l'aval du débouché de la galerie de
ils sont remplacés par des argiles, des schistes argileux et des

la stratification, causée par un refoulement très fort et irrégulier des couches. Ainsi, par exemple, les couches Nikitinsky et Anatolievsky I (mine Grégoire) ne sont que la continuation directe des couches correspondantes Andreïevsky et Anatolievsky II (mine Iliodor); les couches Grafsky I et II (mine Graf) correspondent probablement aux couches Nikitinsky et Anatolievsky, de même que les couches Gorskoy et Nikolaïevsky (mine Warwara).

III. De la station Tchoussowafa à Perm.

À l'issue de la station Tchoussowafa la voie ferrée traverse la rivière Tchoussowafa (117 verste), pour se continuer, sur la rive droite, vers Lyswa, après avoir traversé la riv. Lyswa (104 verste), la voie se dirige, par la Tchoussowafa et la Kontamych, vers la rivière Sylwa qu'elle traverse à la 47-me verste. De là, longeant la rive gauche de la Sylwa, elle arrive à la Tchoussowafa qu'elle suit jusqu'à la Kama. Sur la rive droite de celle-ci, elle atteint enfin la ville de Perm.

Sur tout ce parcours, de 119 verstes les tranchées sont rares et profondes; n'entamant que des dépôts permocarbonifères, permians et triasiques, elles sont assez uniformes et sans intérêt au point de vue géologique.

Entre les stations Tchoussowafa et Lyswa, la ligne traverse une série de dépôts permocarbonifères. Entre autres on voit des grès calcaires d'un gris jaunâtre dans les petites tranchées des verstes 116 et 117 et des gypses, subordonnés à ces grès, dans la tranchée au commencement même de la 117-me verste.

Bientôt après la station Lyswa la voie s'engage dans le rayon des grès permians. Dans les tranchées des verstes 95, 94, 92 (vallée du Jouk), 91, 62, 59, 55 (puits), 55—49, on observe des grès calcaires fins et granulaires d'un gris jaunâtre, plongeant d'abord faiblement vers le W, devenant ensuite horizontaux; ils alternent avec des argiles siliceuses ou des schistes argileux et des marnes grises sableuses.

Les tranchées de la 37-me et la 36-me verste, sur la rive gauche de la Sylwa, laissent voir des grès calcaires friables gris (parfois faiblement rougeâtres) et des marnes siliceuses grises qu'ils recouvrent.

De la station Liady jusqu'à la station Liévchino la ligne suit le long de la rive gauche de la Tchoussowafa. On y voit sur la rive gauche et la 27-me verste des grès calcaires gris, des marnes grises siliceuses et, en bas, aux abords de la voie, des gypses: à la 29-me et la 26-me verste on aperçoit des marnes grises finement litées, alternant, au premier point, avec des grès calcaires gris. Des marnes semblables s'observent aussi plus loin dans le coteau, à la 18-me verste. Un long affleurement de ces marnes grises, çà et là recouvertes — P_1^a — les montre recouvertes (17-me verste) de grès calcaires friables — P_1^b — alternant avec des argiles d'un rouge foncé.

Entre les stations Liévchino et Motowalikha la voie suit la droite de la Kama; des affleurements ne s'observent que sur la 1^{re} et la 11-me verste, notamment des grès calcarifères friables gris. Ensuite le chemin de fer entre dans la vallée de la Kama où il y a pour la première et unique fois sur tout le parcours, une ligne de plus de $5\frac{1}{2}$ verstes de longueur. La large vallée de la Kama, bordée à l'est, à une distance de 1—2 verstes de la rivière, par une colline plus ou moins élevée, au bas de laquelle est établie la route postale de Perm à Solikamsk. En suivant cette route, on observe la pente de la colline, près de la rivière Yézowa, des gisements considérables de tuf calcaire abondant en restes végétaux.

Plus loin, entre les villages Malaia-Yézowaia et Motowilikha, on a affleurement dans cette colline de grès gris, parfois rayés, friables, quelque peu calcarifères — P_1^a — couchés horizontalement et alternant avec des argiles marneuses d'un rouge brun et de minces strates de marne grise. Près de Motowilikha la colline est découpée par la profonde vallée des rivières Motowilikha et Iwa. Du côté droit de la vallée, dans une colline connue sous le nom de Wychka, affleurent des grès calcarifères, verdâtres ou gris rougeâtre P_1^b , alternant avec des argiles marneuses d'un rouge foncé et de minces strates de marne gris clair, le tout recouvert d'argile sableuse d'un brun jaunâtre et de galets.

A partir de Motowilikha et jusqu'à Perm, la rive gauche de la Kama forme avec affleurement presque continu, une pente au bas de laquelle est établi le chemin de fer. Ainsi que près de Motowilikha on observe des grès calcarifères plus ou moins friables de couleur verdâtre ou gris rougeâtre, alternant avec des argiles marneuses rouge foncé ou grises, et recouverts de dépôts postpliocènes: argile ou moins sableuse d'un brun jaunâtre, sable argileux jaune ou gris. Aux affleurements près de Perm et de Motowilikha les couches permienes montrent un plongement faible, mais parfaitement visible.

XI

LE PERM A NIJNY-NOVGOROD

PAR

STUCKENBERG, S. NIKITIN et W. AMALITZKY.

Kama à partir de la ville de Perm jusqu'à son confluent avec la Volga

PAR

A. Stuckenberg.

La Kama qui coule de Perm à son embouchure par une assez large vallée, rejoint la Volga à une faible distance en aval du village de Rodskoïé. Tout cet espace est en sa majeure partie formé de dépôts permien dont les horizons les plus élevés appartiendraient, d'après l'opinion de plusieurs géologues russes, déjà au commencement de l'époque triasique. Le quaternaire n'y présente qu'un développement relativement restreint.

Les coupes du système permien (P) dans des rives de la Kama laissent voir les trois étages. L'étage inférieur n'offre qu'un seul horizon moyen (P_1b), tandis que l'étage moyen (P_2) et le supérieur (P_3) sont plus ou moins complets. Les horizons les plus élevés de l'étage (P_3) sont parfois, comme nous l'avons dit, attribués au trias et dans ce cas tout l'étage supérieur est marqué par les lettres PT (par suite sur les cartes du Comité Géologique).

L'étage inférieur (P_1b) est formé de grès gris ou d'un gris brunâtre, interstratifiés d'argiles plus ou moins marneuses de couleur rouge ou rouge brunâtre, abondant souvent en concrétions calcaires. On trouve de très rares restes de conchifères, accompagnés de débris fréquents de plantes. Cette assise se montre d'une puissance de 30 m. dans les coupes près de Perm, Ossa, Ochansk, Sarapoul et disparaît définitivement vers l'aval, près d'Elabouga.

L'étage moyen du système permien (P_2) se compose de calcaires dolomiques et calcaires marneux gris et renferme des restes organiques propres au zechstein de l'Allemagne. Il affleure en coupes incomplètes dans les rives de la Kama, entre son embouchure et le confluent de la Volga. A Elabouga on le voit nettement superposé à l'étage inférieur (P_1).

L'étage supérieur (P_3 , ou PT) se montre entre Sarapoul et le confluent de la Kama, recouvrant parfois l'étage moyen. Il consiste principalement en argiles et marnes d'un rouge diversement nuancé, passant avec des couches de couleur blanche, verdâtre ou grise. Les restes organiques (des conchifères) y sont très rares.

Les dépôts postpliocènes (Q_1) qui affleurent dans les rives de la Kama, sont représentés en partie par une terrasse fluviale et en partie par des sédiments déposés dans le bassin caspien de la période ou plutôt, ce qui est plus exact, dans une série de lacs qui ont été en communication avec ce bassin. Ces dépôts affleurent entre Téli et l'embouchure de la rivière, de préférence dans la rive gauche. Cette terrasse postpliocène est composée d'argiles brun jaunâtre, auxquelles viennent parfois s'associer des sables. Les dépôts caspiens, à part ceux de même nature que ceux de la terrasse postpliocène, sont plus saibles. Ces couches contiennent d'assez fréquents restes de mollusques, encore de nos jours à l'est de la Russie. Les formes d'eau douce saumâtre sont parfois accompagnées de formes marines caspiennes. Ici et là on trouve dans les dépôts postpliocènes des ossements de mammoth et d'autres animaux de la même époque. Il n'y a pas très longtemps que l'on a trouvé sur la rive droite de la Kama, en amont de Laïchew, le squelette assez complet d'un mammoth; en aval de cette ville, dans le voisinage du confluent de la Kama avec la Volga, on a fréquemment trouvé des os isolés de mammifères postpliocènes.

La ville de Perm.

choussowaïa, dans une montagne dite Tchourbina. Cet horizon, calcaires marneux gris en dalles, interstratifiés de gypse et de grès rougeâtre, y supporte l'assise P_1b composée de grès gris verdâtres stratifiés d'argile brun rougeâtre.

La basse et déserte rive droite, vis-à-vis de la ville, est formée de postpliocènes, sables argileux gris et gris brunâtre avec lits de grès et de dépôts récents. A une faible distance en aval de Perm, ces sables superposés à l'assise permienne P_1b , dans la composition de laquelle entrent des grès partiellement cuprifères.

Embarcadere Nytwinskaïa.

Près de l'embarcadere, les dépôts permien (P_1b) viennent se montrer dans la rive droite en aval du confluent de la Nytw. On y voit:

Sable jaunâtre avec galets, jusqu'à	0,25 m.
Argile rouge brunâtre schisteuse, plus ou moins marneuse, contenant des concrétions calcaireuses; la totalité des couches atteint	3 "
Grès gris, souvent schisteux, jusqu'à	0,5 "
Grès gris avec minces couches et nids d'une argile schisteuse à restes végétaux (<i>Calamites Kurtorgae</i> etc.), jusqu'à	6 "
Conglomérat de galets: porphyres, granite, jaspe, quartzite etc.	1 "
Grès gris passant au conglomérat, jusqu'à	0,75 "
Conglomérat de même composition que le précédent, jusqu'à	0,5 "

Okhansk.

En amont de la ville d'Okhansk, la rive droite de la Kama, en se recouvrant de forêts, permet de voir:

Argile schisteuse d'un brun rougeâtre, çà et là avec concrétions calcaires et lits intercalés de grès friable rougeâtre, jusqu'à	10 m.
Grès gris et gris brunâtre, passant au conglomérat, jusqu'à	6 "

La plupart des maisons de la ville d'Okhansk sont disséminées sur une terrasse postpliocène, composée d'une argile brun jaunâtre, haute d'environ 10 mètres.

Ossa.

Ossa est disposée à une faible distance de la rive gauche de la Kama sur une terrasse postpliocène, formée d'une argile brun jaunâtre.

L'étage moyen du système Les couches permianes dolomiques et calcaires marneuses sont représentées par des argiles de couleur grise propres au zechstein de l'ouest. Elles viennent à l'horizon *P₁b*.
 A Elabouga on le voit dans les rives de la K₁ boisée, montre en face de la ville.
 L'étage supérieur *P₁b*.
 fluant de la K₁
 principalement en
 nant avec l'embarcadere de l'usine Wotkinsky.
 restes de

En la proximité de l'embarcadere on voit, le long de la K₁, descendre à la rivière:

P₁b. Argile rougeâtre arénacée.

Grès gris, par places d'un brun rougeâtre, jusqu'à 8

Grès gris passant à un conglomérat, jusqu'à 2

Argile schisteuse rougeâtre et gris verdâtre, jusqu'à 2

Un horizon de source.

Argile schisteuse rougeâtre avec taches verdâtres, jusqu'à 50

Grès gris surgissant de-dessous les éboulis et passant à un conglomérat, jusqu'à 5

Argile rougeâtre, interstratifiée de lits d'argile gris verdâtre, jusqu'à 5

Sarapoul.

A une faible distance en amont de la ville on voit a dans une coupe presque verticale, haute d'environ 30 mètres



rdâtre.	0,75 m.
se rougeâtre avec lits interstrati-	
ès et d'argile verdâtre, jusqu'à	1 "
e	0,5 "
ougeâtre	2 "
.	0,75 "
âtre avec lits interstrati-	
verdâtre.	1,25 "
.	0,75 "
meuse rougeâtre, interstratifiée de grès	
verdâtre, jusqu'à	2 "
ulis, jusqu'à.	8 "

Karakoulino.

e droite de la Kama montre près de Karakoulino une assise sous le rapport pétrographique, à celle de Sarapoul, qu'on rencontre souvent pour l'étage supérieur du système permien et désigne par les lettres *PT*. Dans les argiles marnenses du étage ou d'un gris verdâtre, on a trouvé des restes de conchies écailles de poissons.

Tikhia gory.

du village Tikhia gory affleurent les roches suivantes:

ile rouge, interstratifiée de lits de grès gris verdâtre	4 m.
s brunâtre, interstratifié de marne grise, environ	1 "
caire gris clair renfermant des morceaux de charbon fossile et des empreintes indistinctes de plantes.	0,5 "
s friable brunâtre, environ	1 "
s argileux gris brunâtre avec minces lits intercalés de charbon. Eboulis, jusqu'à	0,25 "
caire gris clair à <i>Pseudomonotis garforthensis</i> , <i>Modiolopsis Teplofi</i> , <i>Productus Cancri</i> , <i>Dielasma elongata</i> etc., jusqu'à	1 "
oulis, jusqu'à.	0,5 "
caire blanc schisteux avec restes de <i>Lingula orientalis</i> , jusqu'à	3,5 "
caire blanc finement stratifié, jusqu'à	1 "
oulis, de dessous lesquels se montre par places une argile rougeâtre, jusqu'à	12 "

Ainsi, près de Tikhia gory commence à apparaître l'étage moyen (P_2).

Elabouga.

Non loin d'Elabouga, vers l'aval, la rive droite de la Kar
la coupe suivante:

	jusqu'
P_2 . Calcaire oolithique à <i>Productus Cancrini</i> , <i>Allo-</i> <i>risma elegans</i> etc.	2,5
Calcaire stratifié rougeâtre ou gris verdâtre à <i>Lingula orientalis</i>	0,75
Eboulis	1
Calcaire siliceux gris	
Calcaire gris, interstratifié de marne grise ou bleuâtre, à <i>Lingula orientalis</i>	10
P_1b . Argile plus ou moins marneuse, rouge et gris verdâtre.	2
Grès gris verdâtre	0,25
Grès brun rougeâtre	2
Eboulis, de dessous lesquels se montrent des argiles marneuses	4
Grès gris verdâtre et brun rougeâtre, intercalé d'argile rouge	10,25
Grès gris brunâtre	0,75
Argiles marneuses rouges et grises, interstrati- fiées de grès gris brunâtre.	4

Sentiaki.

jusqu'



Calcaire gris stratifié	0,5 m.
Marne gris avec minces lits charbonneux.	0,25 "
Calcaire gris stratifié	1,25 "
Calcaire gris à restes végétaux	0,5 "
Calcaire gris et gris bleuâtre à écailles de poissons	1 "
Marne gris verdâtre à restes végétaux.	0,5 "
Eboulis	5 "
Calcaire gris à <i>Productus Cancrini</i> , <i>Modiolopsis Pallasi</i> etc.	15 "

Tchistopol.

Tchistopol est situé sur la rive gauche de la Kama. Dans la ville on peut observer l'assise permienne et des roches postpliocènes. Les dépôts permien sont mis à nu dans les coupes de la rive droite à source Tamara. On y voit:

	environ
PT). Marne rubanée de couleur rose	0,25 m.
Marne rougeâtre interstratifiée de marne verdâtre.	0,25 "
	jusqu'à
Marne d'un blanc sale, avec couches rouges	4 m.
Marne blanche	3 "
Marne gris foncé.	0,5 "
Marne grise, interstratifiée de couches blanches.	12 "

Les dépôts permien s'allongent de Tchistopol à Zmiéwo.

Les dépôts postpliocènes peuvent être observés par exemple à la rive Berniajka, où affluent:

	jusqu'à
1. Sable jaune brunâtre à <i>Paludinidae</i> , avec minces strates d'argiles	3 m.
Eboulis	6 "
Sable grossier gris et brunâtre, avec fragments de roches permien et contenant <i>Paludina achatina</i> , <i>Pimpura</i> , <i>Hydrobia caspia</i>	0,5 "
Eboulis	6 "

À 3 verstes environ de Tchistopol, au nord du village Danaouka, on voit:

	jusqu'à
2. Conglomérat de fragments de roches permien, passant à un grès gris brunâtre, à <i>Paludina achatina</i> , <i>Dreissena polymorpha</i> etc.	4 m.
3. Marne grise.	6 "

Grès gris clair	0,25
Marne grise et verdâtre	2
Grès gris	0,5
Marne blanche	10
Marne gris jaunâtre, avec restes de conchi- fères	2
Calcaire blanc poreux	2
Mince lit de houille.	
Calcaire grisâtre à <i>Productus Cancrini</i> . . .	2,5

Ostolopowo.

A l'ouest du village Ostolopowo, situé sur la rive gauche Kama, à une vingtaine de verstes en aval de Tchistopol, on dans un ravin l'assise postpliocène suivante:

<i>Q</i> ₁ . Argile brun jaunâtre, avec restes de <i>Cardium</i> <i>edule</i> , <i>Adacna plicata</i>	3
Sable gris et gris brunâtre	0,5
	envir
Argile brun foncé	0,25
Sable gris argileux	6,5
Sable gris jaunâtre à galets.	2

A la sortie du ravin des dépôts postpliocènes on voit a les couches permienes suivantes:

<i>P</i> ₂ . Marne grise.	4
Grès friable jaune grisâtre	0,5
Grès gris foncé	1,5
Marne blanche avec lits de calcaire	3
Calcaire oolithique à fossiles du zechstein	

calcaire marneux blanc jaunâtre.	0,25 m.
ypse blanc et gris.	2,5 "

Laïchew.

Les ravins à proximité de Laïchew affleure une assise assez épaisse de dépôts postpliocènes—sables avec lits de galets et d'argile et là on voit cette assise (Q_1) superposée à des couches permianiques (P_1 et P_2).

La Volga entre la Kama et Nijny-Novgorod.

PAR

A. Stuckenberg, S. Nikitin et V. Amalitzky.

Sur le trajet entre le confluent de la Kama et Nijny-Novgorod, et à une grande distance vers l'amont et l'aval, les deux rives de la Volga offrent un contraste orographique complet qui a de tout temps frappé les observateurs. Sauf quelques localités où le lit de la rivière s'élève considérablement à gauche, la rive droite présente une suite ininterrompue d'escarpements et d'affleurements de roches primitives. La rive gauche au contraire forme une vallée alluviale qui, se déployant sur plusieurs kilomètres dans l'intérieur du pays, s'échelonne doucement sur les terrasses quaternaires. Là où les affluents de la Volga viennent se jeter au fleuve principal du côté gauche, leurs vallées se continuent en vastes espaces, semblables à des bassins lacustres, qui ont leur origine à l'écoulement barré des eaux de neige et des crues du printemps. Au confluent de la Kama, le cirque lacustre s'étend sur la Volga à 25 kilom. en amont de Laïchew et s'étend au nord jusqu'à Spassk et aux ruines de l'ancienne ville de Bolgary. A la jonction de la Kama avec la Volga, les eaux occupent aux mois de mai un bassin si étendu que du bateau à vapeur il est parfois difficile d'en apercevoir les bords. Le niveau de l'eau est alors à plusieurs mètres au-dessus de son état normal. Mais au mois d'août les visiteurs du Congrès verront les deux rivières rentrées dans leurs lits et le niveau de l'eau aura atteint son minimum; il arrive par conséquent cette saison, que les bateaux à vapeur, se cherchant passage par le chenal sinueux qui se déplace continuellement, échouent au fond. Le bas niveau de l'eau y est surtout embarrassant pour le pont, dans la direction de Nijny-Novgorod et au-delà. Au point de vue géologique, les rives de la Volga comprises dans le cadre de notre trajet appartiennent aux localités les mieux étudiées de la Russie. Leur description est surtout due aux géologues de l'Université de Kazan. On trouvera les détails essentiels dans les ouvrages suivants:

- N. Golovkinsky. Mat. pour la géol. de la Russie, pul
Min. St. Ptbg. Vol. I. 1869.
P. Krotow. Trav. Soc. Nat. Kazan, t. XI, liv. I. 1862.
S. Nikitin. Bull. Com. Géol. 1886, t. V. N° 6.
B. Dokoutchalew, V. Amalitzky, V. Sibirtzev
l'appréciation des sols du gouv. de Nijny-N
XIII; avec une carte géologique, 1886.
A. Netchaew. Trav. Soc. Nat. Kazan. t. XXV, livr. 3.
A. Stuckenberg, P. Krotow, A. Netchaew et autre
logique du gouv. de Kazan. 1893.

Dans les limites du gouvernement de Kazan la rive
Volga est formée de dépôts permien. Le système permien
senté tant par l'étage moyen (P_2) que par le supérieur
couches supérieures, classées par beaucoup de géologues
le commencement de la période triasique, sont figurées
(par exemple celles du Comité Géologique) sous le nom
périeur de marnes bigarrées ou étage tartarien
et marquées par les signes PT .

L'étage moyen du système permien — le représenté
stein — se compose de calcaires et dolomies, partiellement
ture oolithique, avec couches interstratifiées de silex et
ou moins considérables, ou accumulations, de gypse. Cet étage
tient presque partout de nombreux restes organiques et
du zechstein d'Allemagne, surgit de dessous l'étage supérieur
Bogorodskoïé (confluent de la Kama) et Kozlovka (en
vière Ilét, à 30 kilom. en aval de la ville de Svajsk).

L'étage supérieur, P_3 ou PT (étage tartarien), consistant
ment en marnes diversement colorées (rouges, rosées, blanches,
dâtres et gris verdâtre), accompagnées de minces lits de
de argiles de couleurs variées et de grès. Cette assise
lifère ne contient guère que des conchifères.

de la Kama et la ville de Kazan, des dépôts lacustres

Bogorodskoyé.

roite permet de voir, près de l'embarcadere du village
la stratification suivante:



rne rouge clair et rouge brunâtre.

gris verdâtre.

ne finement stratifié gris, à taches brunes, contenant des
moules de conchifères.

riable brun avec strates blanches.

grise finement stratifiée.

s.

hes qui sont ici cachées par les éboulis, se montrent à
stance en aval. On y observe:

ne grisâtre finement stratifié	0,75	m.
riable	0,75	"
grise	0,25	"
s	2,5	"

ne saillie rocheuse se montrent, entre les affleurement pré-
couches suivantes:

ne finement stratifié salissant, gypsifère .	0,5	m.
ne finement stratifié grisâtre, à restes de conchifères	2	"

Argile grise marneuse, interstratifiée de gypse et contenant de nombreux <i>Lingula orientalis</i>	0,5 m.
Calcaire oolithique gris, abondant en fossiles caractéristiques du zechstein	10,5 m.

Un calcaire analogue à ce dernier affleure immédiatement au niveau de l'eau à 2—3 verstes en amont du village Bogorodskoï.

Krasnowidowo.

Près de Krasnowidowo on observe au confluent de la Yanassa la coupe suivante:

$\left. \begin{array}{l} PT \\ P_2 \end{array} \right\}$



P. (PT) Marna bruno-pourpre.

0,25 m.

re blanc salissant à <i>Productus Cancrini</i>	
etc.	3,25 m.
finement stratifié brun grisâtre . . .	1 "
re blanc salissant	2,5 "
brune, à restes de conchifères et gastéropodes.	0,25 "
brune	0,25 "
re gris jaunâtre à petits conchifères et gastéropodes.	0,5 "
brune	0,25 "
ire finement stratifié salissant, gypsifère. . .	2,5 "
ire grisâtre contenant de nombreux restes de conchifères et de gastéropodes. . .	— "
ire friable	0,5 "
re verdâtre à taches brunes, contenant des écailles des poissons et des ostracodes .	0,25 "
ire grisâtre	4,5 "

Wiazowoïé-Kozlovka.

kilomètres en amont du confluent de la Swiaga et à 1,5 km. **Wiazowoïé**, on voit saillir en paroi continue les calcaires percés par les marnes irisées qui les recouvrent. Ces affleurements persistent presque sans interruption vers l'amont, jusqu'au village Kozlovka, montrant d'une manière très nette le rapport mutuel et la continuité des deux étages. Près de Wiazowoïé, les hauteurs sont occupées par un groupe typique marneux rubané et irisé *I/T* qui s'abaisse progressivement jusqu'à 35 m. au-dessus du niveau normal de la base calcaire P_2 qui vient plus bas, commence par un calcaire passant à une oolithe dolomitique gypsifère et silicifère, contenant des conchifères et gastéropodes du groupe supérieur des couches de Kazan et de Samara (P'_2)¹⁾: *Macrodon Kingianum*.

Kutorghana, *Modiolopsis Pallasi*, *Murchisonia subangulatus obscurus*, *Leda spluncaria* etc.

plus bas vient une alternance de calcaires tendres siliceux ou gris, masqués dans leur majeure partie soit par des dépôts par des alluvions et du gravier fluviaux. Cependant, près de l'eau, on voit affleurer des calcaires dolomitiques (P_2^d) avec les brachiopodes caractéristiques des horizons plus inférieurs du chert de Kazan et de Samara: *Productus Cancrini*, *Unifera*, *Spiriferina cristata*, *Diclasma elongata*.

On ne se rencontre ici pour la dernière fois. Toute l'assise passe peu à peu dans la direction de Kozlovka et, à une distance de 1,2 km. en aval de ce village, nous rencontrons pour la

guide II (De Samara à Oufa).

dernière fois le calcaire oolithique (P_2^c) à conchilifères et des, à 5 mètres au-dessus du niveau de l'eau en été. Les côtes ne montrent plus que le groupe des marnes roses rubanées.

Ce dernier groupe, variant pétrographiquement, mais en général sa couleur rouge, sillonnée de bandes verdâtres ou grisâtres, va nous suivre jusqu'à Nijny-Novgorod et nuer bien plus loin au-delà de cette ville. Voici quelques coupes que l'on verra:

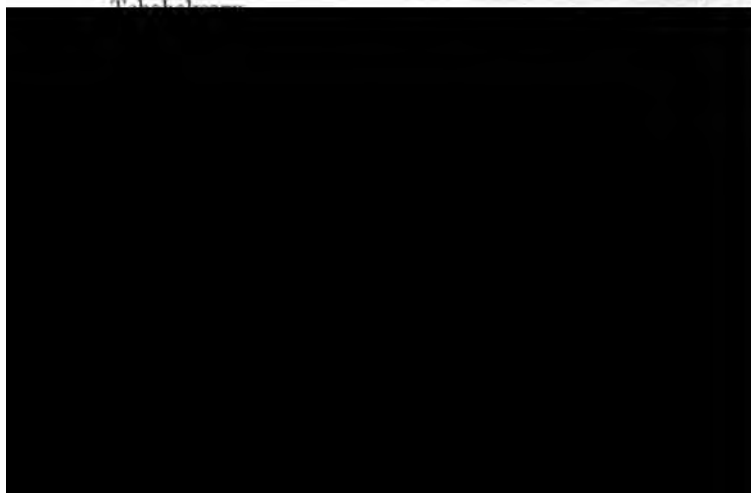
Tchéboksary.

A un kilomètre en amont de la ville, la rive droite de la Volga présente la coupe suivante:

Q_2 . Argile brune	1
P_3 (PT) Marne rose et rouge clair avec calcaire blanc salissant	1
Grès friable gris verdâtre	0,25
Grès friable gris jaunâtre, interstratifié de marne d'un rouge nuancé	10
Grès friable gris	8
Conglomérat	0,25
Marne rubanée, interstratifiée de grès d'un gris verdâtre, à <i>Palaeomutelu solenoides</i> , <i>P. semilunulata</i> , <i>Oligodon Zitteli</i> etc.	6,25
Eboulis	2

Cette coupe est divisée en deux moitiés dont l'inférieure, comprenant les six premières couches, est séparée de la supérieure par un petit intervalle.

Une coupe semblable s'observe à deux kilomètres de Tchéboksary.



(1) Marne rouge claire, avec couches verdâtres et grises	15	m.
Grès gris clair	2	"
Marne brun rougeâtre, avec couches gris verdâtre	3	"
Grès friable gris brunâtre	1	"
Eboulis	1	"
Eboulis, de dessous lesquels apparaît une marne grisâtre	6	"

rives de la Volga entre Kozmodémiansk et Nijny-Novgorod.

La rive droite entre Kozmodémiansk et Nijny-Novgorod est formée de dépôts permien supérieurs, mésozoïques et postpliocènes; les premiers de ces dépôts prédominent dans tous les affleurements et sont recouverts presque toujours par les derniers.

Le permien supérieur (P_3 ou PT) atteint une puissance de 100 m. et davantage. Il est développé en une série ininterrompue de couches: grès, conglomérats et, plus rarement, calcaire. La prédominance dans la série de tels ou tels dépôts permet d'y distinguer les horizons suivants, de haut en bas:

- A. Argile et marnes avec couches interstratifiées de calcaire.
- B. Sables et conglomérats avec marnes subordonnées.
- C. Marnes avec sables et grès subordonnés.
- D. Grès et sables avec marnes subordonnées.
- E. Mêmes roches avec couches de calcaires et conglomérats.

Dans toutes les coupes les horizons B et C sont le plus nettement et le mieux exprimés; l'horizon A est dans la plupart des cas masqué par les horizons inférieurs, le plus souvent masqués par des glissements et éboulements, ne sont bien visibles que près des villages de Barmina, Biélogorka. La faune est représentée par de nombreux mollusques conchifères du groupe des *Anthracosidae*, surtout les genres *Palaeomuteta*, *Oligodon* et *Palaeoanodonta*, par de rares arthropodes, *Estheria*, *Palaeoniscidae*, *Ceratodus*, *Stegocephali*. Les végétaux sont généralement mal conservés.

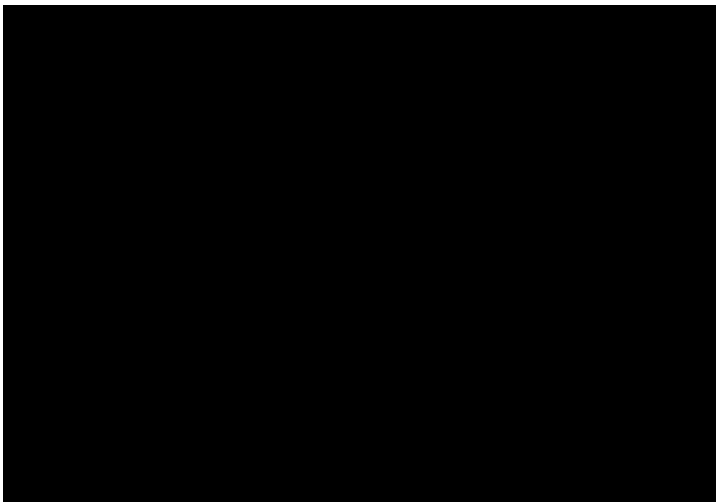
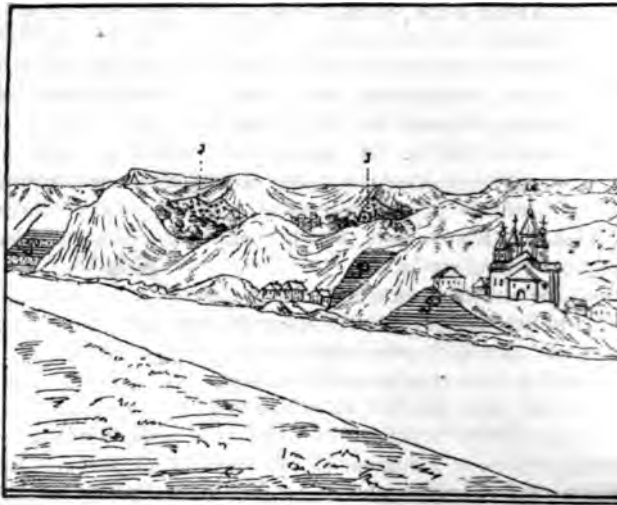
Les dépôts jurassiques et volgiens recouvrent, en îlots isolés, la partie permienne des environs d'Issady, Barmina et Wassilssoursk. Ils sont composés de grès gris foncé avec couches subordonnées de sable, de calcaire et de calcaire. Leur âge se rapporte au callovien inférieur, au kimméridgien et au volgien.

Le postpliocène est représenté par des limons jaunes loessoïdes et par un petit nombre de rares galets de roches cristallines.

Issady.

(Fig. 5).

En aval l'Issady la pente droite de la vallée de la un cirque énorme, dans la partie supérieure duquel on bateau à vapeur, des affleurements jaunes, le plus souv loessolde (Q_1), des affleurements gris du jura (J_2), à par les broussailles, et, en-dessous, les affleurements de miennes (P_2 ou PT). Le jura, d'un intérêt exceptionn



Argile grise du callovien inférieur gypsifère à empreintes de *Cadoceras*.

Les dépôts permien supérieurs consistent en:

Marnes diversement colorées.

Sables et conglomérats avec marnes subordonnées.

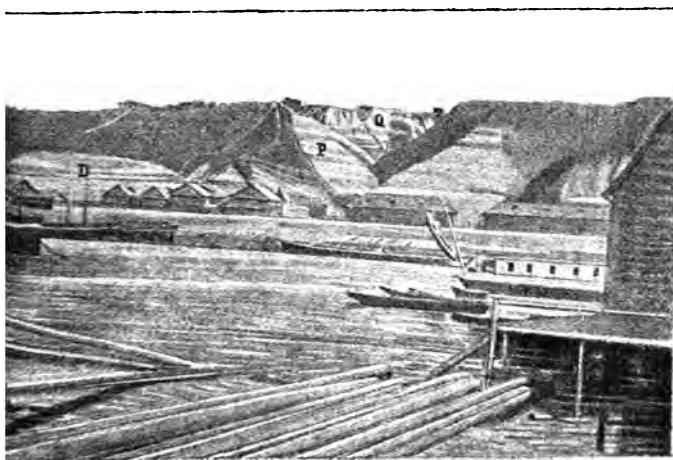
Marnes interstratifiées de calcaire.

Nijny-Novgorod-Issady.

Si les affleurements de l'ancienne rive droite, entre les embarcadères Nijny-Novgorod et d'Issady, celui en aval de Takinsky (Taraï) est parfaitement visible du bateau, mérite une attention particulière. On y voit apparaître les horizons moyen et inférieur des roches permien et arénacées permien, notamment les séries: C) marneuse, D) marneuse, E) marno-calcaire. Les coupes les plus complètes sont près d'Issady.

Nijny-Novgorod.

La ville est située sur le haut et assez rapide versant droit de la rive gauche du confluent de la Volga avec l'Oka. Du côté de la Volga, le versant est en partie couvert de végétation, en partie de maisons, de jardins etc.; du côté de l'Oka au contraire, une série de beaux



Rive droite de l'Oka à Nijny-Novgorod.

ce qui permet de déterminer la structure géologique du terrain. Les coupes les plus caractéristiques, l'une dans le ravin Yarilo, l'autre dans le ravin près du Camp. La première des coupes s'observe

tout près de la ville, en face de l'embarcadère des bateaux de l'Oka, dans l'énorme ravin Yarilo, au débouché duquel : maison des gardes des anciens dépôts de sel.

La figure donne une idée générale du ravin et du l'Oka. De beaux affleurements se présentent sur toute la l deux pentes du ravin et de ses environs; la coupe la plus montre dans la pente gauche (sud-occidentale) du ravin, al profils les plus nets et les plus accessibles se trouvent sur devant (orientale) et la pente droite (nord-orientale), celle- un glissement très distinct qui permet de juger du cara l'origine des nombreux glissements et failles locales aux a la ville. Au fond du ravin coule un ruisseau, alimenté pa nappes aquifères. Ce ravin peut servir de type de tous les Volga et de l'Oka, dans lesquels l'érosion est encore en plei



le conglomérat de cet horizon contient des moules de *Palaeomutela* etc.

puissants dépôts de marnes diversement colorées, interstratifiées de calcaires et de plusieurs couches de sables et de grès.

les couches supérieures de cette assise il y a une mince calcaire fortement désagrégé, renfermant de nombreux coquilles parfaitement conservés de diverses *Anthracosidae*, surtout des *Palaeomutela Keyserlingi*, *Palaeoanodonta Fischeri* et Ces mêmes coquilles se rencontrent également dans les autres calcaires et marnes, mais très mal conservées, et sous forme intérieurs.

horizons inférieurs des dépôts permien se montrent le plus vers l'amont et vers l'aval du ravin, par exemple dans la se trouve à une distance de 30—40 mètres en aval du ravin. se terminer en coin, entre des marnes diversement colorées, de grès et conglomérat, dans laquelle on rencontre des et autres restes de ganoïdes, accompagnés de moules de con-

vient de commencer l'examen de la localité au quai de l'Oka nter ensuite par le sentier de la pente droite à la plate-forme là on descendra dans le ravin où l'on pourra observer le li-soïde et on remontera par la pente gauche. Du haut du plateau s'étend au loin dans les vallées de la Volga et de l'Oka et terrasses de la pente gauche de la vallée.



XII

EXCURSION DURCH ESTLAND

VON

F. SCHMIDT.

Die Teilnehmer der Excursion versammeln sich zunächst in Riga am 1. (13.) August und begeben sich von hier längs der baltischen Eisenbahn bis Reval, Jurjew (Dorpat) und Baltischport. Von dort Excursionen ins Land hinein und an die Küste des Finnischen Meerbusens. Bleibt Zeit übrig, so ist noch eine Excursion auf die Insel Dago projectirt. Das ganze Gebiet der Excursion gehört zum Silurischen und Silurischen System, deren Ablagerungen ausserdem von jüngeren posttertiären Bildungen überdeckt werden. Nur bei Jurjew wird das Gebiet des alten rothen (devonischen) Schiefersteins berührt.

Geologische Uebersicht.

Die wichtigsten Arbeiten über unsere cambrisch-silurische Schichten sind folgende:

- Ch. Pander, Beiträge zur Geologie Russlands.
- Die betreffenden Abschnitte der Geologie Russlands von Murchison, de Verneuil und Graf Keyserling.
- F. Schmidt, Untersuchungen über die silurische Formation von Estland, N.-Livland und Oesel. Archiv für Naturkunde Liv-, Est- und Curlands. Ser. I. Bd. II.
- L. Nieszkowski, Versuch einer Monographie der in d. silurischen Schichten der Ostseeprovinzen vorkommender Trilobiten. Archiv für Naturk. Liv- Est- und Kurlands. Ser. I Bd. I mit Zusätzen Bd. II.
- A. Kupffer, über die chemische Constitution der baltisch silurischen Schichten Arch. 1-ste Ser. Bd. V.

1873. W. Dybowski, Monographie der Zoantharia sclerodermatogosa aus d. Silurform. Estlands. N. Livlands und Insel Gotland. Arch. Ser. I. Bd. V.
1878. A. v. d. Pahlen, Die Gattung *Orthisina*. Mém. de l'Acad. Imp. des sciences de St. Pétersbourg.
- 1881—1894. F. Schmidt, Revision der ostbaltischen silurischen lobiten. Mém. de l'Acad. Impér. des sciences de St. Pétersbourg. Sér. VII.
1888. F. Schmidt, Ueber eine neuentdeckte untercambrische Fauna in Estland. Mém. de l'Acad. Impér. des sciences de St. Pétersbourg.
- 1872 u. 1882. F. Schmidt, Miscellanea silurica. I. II. Mém. de l'Acad. Impér. des sciences de St. Pétersbourg.
1882. F. Schmidt, On the Silurian (and Cambrian) strata of the Baltic provinces of Russia. Quarterly Journal.
1885. Dr. Gerhard Holm, Bericht über geologische Reisen in Estland, N.-Livland und im St. Petersburger Gouvernemeut in den Jahren 1883 und 1884. Verhandl. d. Kais. Min. Gesellsch.
1895. A. Mickwitz, Ueber die Gattung *Obolus*. Eichw. Mém. de l'Acad. Impér. des sciences de St. Pétersbourg. Sér. VII.
- Geologischen Karten des Gebiets sind von F. Schmidt und V. Grewingk geliefert worden.

Ausserdem verschiedene Schriften von Eichwald, Kuter, G. v. Helmersen, Volborth, Grewingk in den Schriften der Kaiserl. Akademie der Wissenschaften, der Société des naturalistes de Moscou, den Verhandl. der Kaiserl. Mineralog. Gesellschaft und dem Archiv für Naturkunde Liv-, Est- und Curlands.

Unser Silurisches und Cambrisches System bildet ein niedriges Plateau, das im N. im sogenannten Glint schroff abbricht und

sschliesslich aus Kalkbildungen aufgebaut ist. Unsere Cambri-
 chichtenreihe ist nicht vollständig; wir haben nur Vertreter des
 en und obersten Cambriums anderer Gegenden. Die tiefsten zu
 ausgehenden Schichten am Fuss des Glints werden von dem
 u Thon“ gebildet, der bis 100 Meter mächtig ist und auf einem
 mächtigen Sandstein lagert, der, wie Bohrlöcher bei St. Pe-
 rg nachgewiesen haben, direkt auf finnischen Gneiss folgt. Die
 en Schichten des blauen Thons wechseln mit dünnen Sandstein-
 ten, die grüne Körner führen, dann werden die Sandsteinlager-
 tiger; sie beginnen mit Lagen, die durch eigenthümliche Spuren
 Organismen ganz den Charakter des schwedischen Eophyton-Sand-
 tragen. In diesem sind nun neardings auch typische Petrefak-
 tes letzteren: *Mickwitzia monilifera* und *Medusites Lindströmi*
 alen. Etwas tiefer haben wir unseren *Olenellus Mickwitzi*, mit
 zusammen *Folborthellen* und *Platysoleniten* vorkommen. Im
 dlichen blauen Thon, und zwar nur in den oberen Schichten,
 en wir nur die letztgenannten Fossilien, zu denen in letzter Zeit
Hyolithenform gekommen ist. In tieferen Lagen des blauen Thons
 en wir nur unsichere Algenabdrücke (*Laminarites*) und im unte-
 Sandstein gar nichts. Unser Vertreter des Eophytensandsteins wird
 oben zu ärmer an Petrefakten und kommt darin dem schwedi-
 a Fucoidensandstein gleich, der ja auch fast ohne Petrefakten ist.
 er Vertreter des Fucoidensandsteins lässt sich längs dem ganzen
 t und seiner östlichen Fortsetzung bis zum Wolchow nachweisen.
 wird bedeckt von dem für unser Gebiet charakteristischen *Ungu-*
 - oder *Obolensandstein*, der aus vielfach diagonal geschichteten
 lagern besteht und von zahllosen Bruchstücken verschiedener
 men des Genus *Obolus* Eichw. erfüllt ist, die gegenwärtig von
 m Ingenieur Mickwitz ausführlich beschrieben sind. Ausserdem
 men in dieser Schicht die den *Discinen* verwandten Gattungen
Wersenia Pand. und *Keyserlingia* Pand. vor. Der Unguliten-
 stein ist von sehr verschiedener Mächtigkeit und wechsellagert
 st mit dünnen Schichten des Dictyonemaschiefers, der hier ge-
 stlich in unserem Gebiet über dem Sandstein noch ein mächtiges
 zusammenhängendes Lager bildet, mit dem zugleich unsere *cambr-*
 en Bildungen abschliessen. Durch diesen *Dictyonemaschiefer* wird
 das Alter des Obolensandsteins als *obercambrisch* bestimmt, oder
 dem oberen Theil der *Olenuszone* angehörig. Der Fucoidensand-
 stein mit dem Eophytensandstein und dem blauen Thon muss zum
 en Cambrium oder der *Olenelluszone* gerechnet werden. Viel-
 ist der *blaue Thon* mit dem unter ihm lagernden Sandstein
 zu einer älteren *trilobitenlosen* *cambrischen* (oder präcambri-
 -) Stufe zu rechnen.

Unser *untersilurisches* System besteht, wie wir schon gesagt ha-
 ans einer ganzen Reihe von Kalkstufen. Die unterste Stufe B
 nur am Glint selbst zu Tage. Nur in ganz schmalen Streifen
 sie die Oberfläche an Stellen, wo der Glint in mehreren Ter-

rassen abfällt. Sie zerfällt in mehrere Unterabtheilungen. haben wir den Grünsand, B_1 , der fast am ganzen Glinthener Mächtigkeit entwickelt ist, der oben meist aus mächtigen lehmigen Schichten besteht. Er ist erfüllt von Nern, die sich meist als Steinkerne von Foraminiferen ersedem kommen in ihm *Conodonten*, *Salterellen*, *Lingul* Obolusarten *O. lingulaeformis* Mickw. und *O. siluricus*.

Darauf folgt als B_2 der Glauconitkalk in mächtigen mehrere Meter dick sind und im Osten oft dolomitisch ist meist von grauer Farbe, wird aber nach unten oft r spricht so dem unteren rothen Orthocerenkalk Schwedens hat er von zahlreich in ihm vorkommenden grünen Stei Foraminiferen und kleinen Gasteropoden. Zwischen den finden sich dünne Mergelschichten, die von kleinen Brachi *Orthisina plana*, *Orthis obtusa*, *parva*, *Parambonites ret* erfüllt sind. Von Trilobiten finden sich in den tieferen St züglich *Megalaspis planilimbata* Ang. und *limbata* Ang. ren Grenze herrscht der ächte *Asaphus expansus* vor sich verliert; im O. aber, besonders in der Umgebung von burg und am Wolchow, ein besonderes mergeliges Niveau stellenweise sehr reich an Petrefakten ist. Ueber dem Exp folgt, besonders im Osten, die untere Linsenschicht B_3a , geligem Kalk mit zahlreichen grossen Thoneisenlinsen. Charakterformen können namentlich *Asaphus raniceps*, *scheri* und *Lycophoria nucella* Dalm. angeführt werden.

Darauf folgt nun der ächte Vaginatenkalk B_3b , der ganze Gebiet erstreckt und meist aus festem Kalk oder steht. Westlich von Reval geht er in Kalksandstein über, sonders charakterisirt durch zahllose Orthoceren, der *A munc* und *vaginatum*, zu denen *Euomphalus qualteriatus locator* Eichw. u. a. sich gesellen. Der häufigste Trilobit

mus reicht. Sie besteht aus zwei Abtheilungen D_1 , die
und D_2 , die Kegel'sche Schicht. Die erstere ist mergelig
h kieselhaltig, sie enthält namentlich als Charakterformen
pseudohemicranium Nieszk. und *Mastopora concava* Eichw-
sche Schicht besteht meist aus festen Kalken, für die be-
lige *Chasmops*-formen wie *bucculenta* Sjögr. und *maxima*
nend sind, und ausserdem *Orthosina anomala*, *Strophomena*

Cyclocrinites Spasskii u. a. Die Wesenberger Schicht E
eine gang schmale Zone ohne Unterabtheilungen. Sie tritt
ler unteren Pljussa auf und lässt sich durch ganz Estland

Sie besteht aus dichten gelblichen Kalken mit dünnen
n dazwischen, die von zahlreichen Fossilien erfüllt sind, von
amentlich *Lichas Eichwaldi* Nieszk., *Encrinurus Seebachi*
ops wesenbergensis m., *Leptaena sericea*, *Strophomena*
inführe. Hier beginnt auch die Gattung *Isotelus*, während
Asaphi mit der Kegel'schen Stufe abschliessen.

zt nun die mächtige Zone F , die nur in Estland vertreten
det den Abschluss der Unteren Silurperiode und lässt sich
terabtheilungen die *Lykholmer* F_1 und die *Borkholmer* F_2
e erstere nimmt eine beträchtliche Breite ein und zerfällt
in eine nördliche untere F_1a und eine südliche obere Ab-
 F_1b . Die erstere besteht aus weissen oft sehr festen kiesel-
alken, die noch etwas an das Wesenberger Gestein erinnern
t neben sonstigen zahlreichen Fossilien noch wenig Korallen.
ie obere Abtheilung F_1b aus grauen mergeligen Gesteinen
l eine grosse Mannichfaltigkeit von verschiedenen Korallen.
Helioliten, *Halysiten*, *Favositen* u. s. w. aufweist. Eine be-
ische Form ist *Syringophyllum organon* L. Die Borkhol-
t F_2 ist wenig mächtig, bildet die obere Decke des Unter-

die Jördensche Schicht, die in ihrer Fauna sehr wenig Verbindung mit dem höchsten Unter-Silur zeigt. Es sind mergelige dünn geschichtete Kalke mit zahlreichen Korallen und Brachiopoden, unter denen ich namentlich *Leptocoelia Duboysii*, *Orthis Davidsoni* und *Stromena pecten* anführe. Dann kommt, als G_2 , eine Muschelbank, ganz aus Schalen des *Pentamerus borealis* Eichw. bestehend, in die sich nur wenig Korallen mischen. Die Pentamerenschicht ist bedeutend mächtiger als im W. Die letzte Schicht G_3 , oder die Raiküllsche Schicht, besteht aus festen Kalken oder Dolomiten, die vielfach als Bausteine gebrochen werden. Sie enthält in ihrem obersten Theil viel Korallen; ausserdem sind namentlich eigenthümliche Leptocoelien, *L. Keyserlingi* m. zu nennen. Die Schicht ist besonders reich entwickelt beim Gute Raiküll, das dem berühmten Geologen, dem Alexander Keyserling gehörte, dem Mitarbeiter von Murson und Verneuil, in deren Werk über die Geologie Russlands. Stufe G entspricht grösstentheils dem Englischen Llandovery. Stufe H findet sich nur im SW von Estland. Sie besteht meist aus mergeligen Kalken, die zahlreiche Korallen führen, denen sich ein grosser *Pentamerus*, der *Pentamerus estonus* beigesellt, der viel Ähnlichkeit mit manchen Formen des *P. oblongus* Sow. hat. Eine mächtige Auflagerung der Stufe H auf G ist nirgends beobachtet, dagegen bildet die Stufe I , ober der unteren Oeselschen Schicht eine mächtige Stufe über H . Sie ist im äussersten SW des Festlandes von Estland und im N der Insel Oesel entwickelt, wo sie an manchen Stellen in steilen Abstürzen zum Meere abfällt. Ihre tieferen Stufen sind mergelig, die höheren bilden meist mächtige dolomitische Bänke. Die Fauna der unteren Oeselschen Zone stimmt grösstentheils mit dem Westlichen überein. Ich brauche nur u. a. *Encrinurus punctatus*, *Orthoceras mulatum*, *Orthis elegantula* zu nennen. Ihre Schichten neigen allmählig von N nach S und SW und werden hier von denen der obersten Oeselschen Zone, K , bedeckt, die vollkommen dem Englischen

Jahren 1883 und 1884². In letzter Zeit hat auch der bekannte Geologe Dr. Gerhard de Geer unser Gebiet besucht und seine gleichzeitige Erhebung, die Isanabasen bei uns verfolgt (s. seinen Bericht: om quartära nivåförändringar vid Finska viken in Geol. Föreläsningar 1894 p. 684).

Vir unterscheiden jetzt in unseren glacialen und postglacialen Abhängungen etwa folgende Bildungen:

1) Die alte Grundmoräne oder der Geschiebelehm, der sich über das ganze Gebiet erstreckt.

2) Unter ihm auf dem anstehenden Silurischen System erkennen wir die Glacialerschrammen, die die Richtung des Vordringens des nordischen Gletschers anzeigen.

3) Endmoränen der letzten Vereisung in besonderen Rücken im nördlichen Theil des Landes oder als Gruppen von unregelmäßigen aus ungeschichtetem Material, die etwa den amerikanischen Moränen entsprechen.

4) Die aufgewählte Oberfläche des silurischen Bodens oder den Localmoränen (in Deutschland „Localmoräne“).

5) Die Äsar, Ablagerungen aus Strömen innerhalb der Eisdecke, deren Entstehung noch nicht vollständig aufgeklärt ist.

6) Den Blätterthon, *hvarfveg lera*, den Absatz des spätglacialen Thons ganz entsprechend analogen schwedischen Bildungen.

7) Die alten Uferwälle: a) des alten spätglacialen Meeres, die in Finnland oft arktische Muscheln führen, bei uns aber immer ganz organische Ueberreste sind.

b) die Uferwälle des geschlossenen Süßwasserbakens der Ostsee, Ancycluszeit, die zuerst bei uns im westlichen Estland und auf den Inseln nachgewiesen wurden, noch bevor durch ihr Auftreten auch auf der W-Seite der Ostsee ihre Bedeutung vollständig erkannt war, mit Süßwassermuscheln: *Ancylus fluviatilis*, *Lymnaeus ovatus*, *Unio*, *Pisidium*.

c) Die Uferlinien und Ablagerungen der jetzigen Ostseefauna, die erst im W unseres Gebiets weit ins Land hineinreichten, mit *Cardium edule*, *Mytilus edulis*, *Tellina baltica*, *Mya arenaria*, zu denen Anfang noch *Littorina littorea* hinzutritt.

Gang der Excursion.

Auf der ganzen ersten Strecke der baltischen Eisenbahn von St. Petersburg bis Ligowo kann man den Gint als deutliche Terrasse im Süden sehen. Am N.-Abhang dieser Terrasse liegt noch das astronomische Observatorium von Pulkowa, und westlich davon sieht man ein paar Berge hervortreten, die sogenannten Duderhofschen Berge. Die erste Strecke der Bahn bis Ligowo verläuft nahe am Meeresufer und zeigt an der Bahn selbst keine geologisch interessanten Abhänge. Auf der zweiten Strecke, von Ligowo bis Krasnoje Selo, das Land schon merklich an, da die letztgenannte Station schon

in einer Ausbuchtung des Glints liegt. Das Land ist zuer
 sieht stellenweise mächtige Lager von glacialelem Blocklehm
 rem marinem Sande bedeckt. Der Blätterlehm (hvarfveg ler)
 nach W den Blocklehm bedeckt, ist hier noch nicht an
 der Umgebung von Krasnoje Selo wird das Land hügelig
 gehören alle Glacialbildungen an, und an Bachufern treten
 Entblössungen von Cambrischen Schichten auf, aber nie
 der Nähe der Bahn. Gleich hinter Krassnoje Selo pass
 kleine Seen, die gutes Quellwasser für St. Petersburg lie
 Fusse der schon früher erwähnten Duderhofschen Berg
 durch Faltung der Silurschichten (Etagen B und C_1) ent
 Am Fusse der Berge passiren wir eine solche Falte, in
 namentlich den Glauconitkalk (B_2) erkennen kann. Weit
 Land eben und steigt nur allmählig an; bei der Station
 man einen Steinbruch in dolomitischem Kalk, dem Echin
 kalk (C_1) angehörig. Dann passirt man den Bach Ischor
 Ufern weiter westlich, bei Pudosch, ein bekanntes Lager
 gem Süßwasserkalk sich ausbreitet, in dem ausser Süßw
 lier auch Rennthiergeweihe gefunden worden sind. Bei
 Station, Gatschina, kommen wir durch mächtige Lager vo
 lehm, der an den Seiten der Bahn aufgeschlossen ist un
 auf der Kegelschen Stufe D_2 auflagert, die hier durchweg
 besteht. An der Bahn, die jetzt mehrere Stationen über
 und Wolossowo bis über Moloskowitz, durch etwas hochg
 rain führt, sieht man an mehreren Stellen Steinbrüche in
 stein, die recht reich an wohl erhaltenen Steinkernen von 1
 z. B. *Platystrophia lynx*, *Strophomena Assmussi*, *Orthis*
 und *Paramboniten* sind; auch schöne Stücke von Trilobi
 lich aus den Gattungen *Chasmops* und *Lichas* finden si
 Seite der Bahn, auf dem waldigen Terrain in der Umgebu
 tion Jelissawetino sieht man zahlriche unregelmässige H
 unregelmässigen, oder gewicht, gewolltem, lokalem Kalk

schiefer und der silurische Grünsand (B_1) sind hier nur schwach an. Weiter abwärts findet sich auch der cambrische blaue Thon. In Jamburg und Narva treten in einigen Entblössungen Dolomit der Stufe des Echinospaeritenkalks auf, die stellenweise von hohen Sanddünen bedeckt werden.

Wir kommen nun nach Narva am mächtigen Narovastrom. 2 Werst östlich der Stadt bildet die Narova einen etwa 12 F. hohen Wasserfall über die oberen Glintschichten, der in zwei Arme getheilt ist, welche eine Insel einschliessen. Beide Arme sind von Fabriken eingegrenzt und man muss besondere Aussichtspunkte suchen, um eine Übersicht des Falls zu gewinnen. Weiter abwärts bis zur Stadt hat die Narova sich ein tiefes Bett in die Silurschichten gegraben, in welchem, fast bei der Eisenbahnstation, wir folgende Schichten unternehmen können:

C_1b Echinospaeritenkalk, dolomitisch	3 m.
C_1a Obere Linsenschicht	0,3 m.
B_1b Vaginatenkalk, dolomitisch,	3 m.
B_1a Untere Linsenschicht,	0,3 m.
B_2 Glauconitkalk	3,3 m.
B_3 Glauconitsand mit Concretionen von bituminösem Kalk mit Dictyonema	0,2 m.
A_1 Rother Ungulitensand, discordant geschichtet	2,6 m.
A_2 Weisser Fucoidensandstein mit kugeligen Sandconcretionen	4,2 m.

Der blaue Thon tritt erst weiter unterhalb am Flussufer hervor. Von Narva bis Waiwara fährt man durch ebenes Land, in welchem stellenweise Steinbrüche im meist dolomitischen Echinospaeriten sichtbar werden. Zwischen der Station Korff und Waiwara sieht man die aus der Ebene hervorragenden drei Waiwaraschen Berge, die auf der Höhe des Glints aufgelagert sind. Die beiden östlichsten bilden schichtete Hügel aus Kalktrümmern, ähnlich denen von Jellissawar, an ihrem Fusse erkennt man alte Uferwälle, welche die Glintse überragen. Der dritte, westlichste Berg wird ganz von einem neuen Uferwall gebildet, an dessen S-Abhang hart an der Bahn Balzungen angelegt sind, welche die Schichtung deutlich zeigen.

Von der Station Waiwara fährt man zum Badeort Sillamäggi, der etwa 1/2 Meile von der Station entfernt ist. Der Weg führt längs des Söttchen Bachs, an dessen Ufern man deutliche Durchschnitte der oberen Glintschichten sieht. Am Strande, westlich von Sillamäggi, tritt der Glint hart ans Meer und bleibt so mit kleinen Unterbrechungen bis zum 30. Werst. Der Glint verläuft hier über die Höfe: Peuthof, Toila, Toila, Ontika, Sackhof und bietet an vielen Stellen die besten Durchschnitte. Am reinsten sind wohl die Profile gleich dem von Sillamäggi bei Peuthof. Hierher gehört auch das Profil, welches Richardson in seiner Geology of Russia als cliffs near Waiwara bezeichnet, und das unter diesem Namen in viele Handbücher über-

gegangen ist. Am Meeresstrande trifft man hier fast überall den Cambrischen Thon A_1 mit dünnen Einlagerungen von glauconitischem Sandstein. Darüber kommen mächtige Sandsteinlager ohne Petrefakten, die dem schwedischen Fucoidensandstein verglichen werden. An der unteren Grenze desselben zum blauen Thon sind hier Spuren der cambrischen schwedischen Medusiten (*Medusites Lindströmi* Linn.) anstehend gefunden worden und auch einmal ein wohlerhaltenes Exemplar desselben am Strande von Sakhof, freiliegend, durch die H. v. Toll auf Kuckers.

Am Glint dieser Gegend unterscheiden wir gewöhnlich den aus Kalkschichten bestehenden verticalen Theil, der bis 10 m. hoch ist und aus den mächtigen Bänken des Echinospaeritenkalks besteht, dieser tritt oft nicht in ganzer Masse an den Glint selbst, — der aus dem Vaginatensandstein (B_1) und des Glaukonitkalks (B_2) besteht. Darin befinden sich zwei dünnere Schichten erfüllt mit phosphorhaltigen Thoneisenlinsen, die obere Linsenschicht (C_1a) zwischen dem Echinospaeriten- und dem Vaginatensandstein und die untere, gewöhnlich aus etwas grösseren Linsen, an der Grenze des letzteren und des Glaukonitkalks. Unter dem letzteren, der in seinen tieferen Lagen lehmig wird, folgt der meist oben lehmige, unten sandige Glauconit sandstein. Die Mächtigkeit sehr variirt, und der ebenfalls stark variirende sandige Dictyonemaschiefer. Unter diesem, oft noch durch dünne Lagen Schiefers unterbrochen, kommt der ächte Ungulitensand, der in seinen Lagen ganz von Obolen erfüllt ist, und unter diesen endlich das mächtigste Glied der ganzen Reihe, der hier vollkommen petrefaktenleere Vertreter des schwedischen Fucoidensandsteins, der überaus mächtig wird, aber selten in reinen Profilen zu sehen ist, da er in einzelnen Theilen von Vegetation bedeckt ist.

Von Waiwara nach Jewe fahren wir durch ein Waldgebiet, das besonders reich an zerstreuten erratischen Granitblöcken ist. Von der Station Jewe erreicht man nach N. den Glint bei Chudleish.

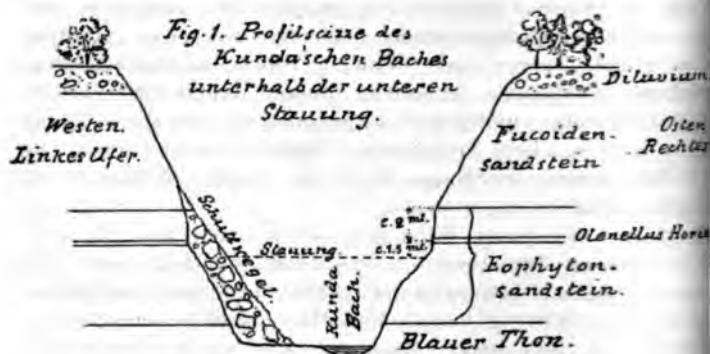
h die Bildung eines Flussbettes durch Unterwaschung und der oberen Schichten des Glints schön beobachten. Nach wir bei Isenhof und der Kirche Luggenhusen ein Fluss- them sich die ganze Reihenfolge der Schichten vom Cam- h die Stufen *B*, *C* und *D* bis zur Wesenberger Schicht sst. Zwischen den Stationen Sonda und Kappel haben wir e des Dorfes Uljast den Durchschnitt eines schönen Äs, das aus übereinandergreifenden Schichten von grossen gerollten besteht, unter denen vielfach Proben des Kuckers'schen ers vorkommen. Jenseit der Station Kappel beim Dorfe rt der Zug durch einen Einschnitt der Jewe'schen Zone, noch reichlich aufgehäuft Material dieser Schicht zu hier wurde im Sommer 1873 das einzige Exemplar von *iris Pahleni* m. gefunden.

mmen jetzt nach *Wesenberg*, wo wir beim Raggafer'schen a reichen Steinbruch der Wesenberger Zone, *E*, haben, der gelbem und blauem Gestein besteht, das in wenig mächtigen rochen wird, die durch dünne Mergellager geschieden wer- en man eine grosse Mannigfaltigkeit von Fossilien findet, Brachiopoden und Trilobiten, wie *Lichas Eichwaldi*, *Chas- bergensis* u. a. In einigen Gräben in der Nähe der Stadt late Sommerhusen steht auch die Kegel'sche Schicht *D*₂, an es aber hier keine guten Aufschlüsse. An der neuangelegten Wesenberg nach Kunda beim Dorfe Allafer haben wir einen schnitt in die *Jewe'sche* Schicht.

wir von *Wesenberg* nach *Kunda*, so passiren wir bei Pöd- die *Jewe'sche* Schicht; hinter Iess in einem Morastgraben wieder auf die Kuckers'sche Schicht und beim Dorfe Ojaküll here Stufe des Echinospaeritenkalkes, der hier fast frei da- rossen Steinbrüche liefern wenig Fossilien. Am häufigsten *as regulare* und verwandte Formen. Beim Schloss Kunda wieder auf einen Eisenbahndurchschnitt, der hier den Va- *B*₃, blosslegt, in welchem gute Exemplare von *Orthoceras* nd *vaginaturn*, *Euomphalus qualteriaturn* u. a. gefunden

Thale des Kunda'schen Bachs haben wir einen schönen t unseres Cambriums, der von Ingenieur A. Mickwitz irt worden ist. Hier wurde der *Olenellus Mickwitzi* m. hier hat auch schon Linnarsson die früher für Pflanzen- en Bildungen des schwedischen Eophytonsandstein—*Cru- w.* nachgewiesen; hier hat auch Nathorst gesammelt lich die *Mickwitzia monilifera* höher hinauf in dem bis- ten leeren „Fucoidensandstein“ verfolgt, als wir bisher an- ten. Diese Schaaen kommen hier nur als schwache aber doch deutlich wiedergebende Abdrücke auf den Schicht- s lockeren glauconithaltigen Sandsteins vor, unter welchem phytonsandstein zu bezeichnenden, petrefaktenreicheren ginnen. Der Fucoidensandstein ist ziemlich frei von Thon,

daher durch lässig für Wasser und meist von gelber Farbe, während die als Eophytensandstein zu bezeichnenden Schichten thonig sind, hier immer feucht und von grauer Farbe erscheinen. Die oberste des Eophytensandsteins besteht aus einem harten meist dolomithonigen Sandstein, dessen Oberfläche oft von einem Conglomerat



Mickwitzia monilifera gebildet wird. Zu dieser gesellen sich Bruchstücke des *Olenellus Mickwitzi* m. und Spuren von noch nicht näher bekannten Brachiopoden (etwa an *Discinen* oder *Acrothele* erinnert). Etwa 2 m. unter dieser Bank und 1½ m. über dem Wasserspiegel der unteren Stauung fand Mickwitz das Hauptlager des *Olenellus*, eine 5—10 cm. dicken weichen glauconitischen Sandschicht, bestehend aus Bruchstücken des *Olenellus* erfüllt ist, von dem es bisher nicht gelungen ist ein vollständiges Kopfschild, geschweige denn ein ganzes Exemplar zu erhalten. Weiter unten zur Grenze des blauen Thons findet man die Abdrücke der *Crusiana*, *Fraena* etc. in den thonigen Sandsteinschichten; endlich tritt im Niveau des Baches der reine



Fig. 2.

Profilskizze des Kunda'schen Glintes vom Meere bis zum Mergellager.

sten Stufe, der oberen Linsenschicht, am Glint zwischen Malla Kunda hervor. Fig. 2 giebt eine Uebersicht der hiesigen Schichten. Auf der Höhe des Glints, etwas landeinwärts, erkennen wir einen ausgebildeten alten Uferwall, hinter welchem in der Nähe des Schiffs am rechten Flussufer, ein grosses Moor (ein alter verwachsener Sumpf) sich hinzieht, das sowohl in archäologischer als in geologischer Hinsicht viel interessante Resultate geliefert hat. Zu oberst liegt eine

<i>Torf</i>	0.30 mt.
<i>Wiesenmergel.</i>	0.90 mt.
<i>Sand</i>	0.09 mt.
<i>Thon</i>	0.51 mt.
<i>Thon mit Moosen und Myriophyllum</i>	0.45 mt.
<i>Thon, zu unterst mit Sandstreifen und arktischen Pflanzen, Salix polaris, S. herbacea, Dryas octo- petala etc.</i>	
	3 mt. +
<hr/> <i>Moräne.</i>	

Fig. 3. Profilskizze des Kunda'schen Mergellagers.

Torfschicht, darauf kommt eine 1 m. mächtige Lage von Wiese, die von Süßwassermuscheln erfüllt ist. Er geht nach unten in ebenfalls muschelreichen Süßwasserthon über. Da früher, sowohl Kalk als der unterliegende Thon zum Zweck der Cementherstellung reichlich ausgebeutet wurden, so war es möglich, aus beiden I

en Schicht bildet, und sich durch einige eigenthümliche Formelementlich Trilobiten auszeichnet, wie *Chasmops Wrangelli*, *Liconica* u. a. Weiter im S tritt hier überall die Jéwesche Schicht auf der Strecke von Haljal bis Kawast auch eine deutliche Schicht bildet, an deren Fuss die oberste alte marine Terrasse des Jämschen Meeres dieser Gegend in einer Höhe von c. 250 Fuss ansteigt. Höher hinauf haben wir nur unveränderten Geschiebe- auf dem Wege von Haljal nach Wesenberg passirt man ein aber hohes und leicht zugängliches Äs, das unter dem Namen Schimäggi bekannt ist.

Die Gegend von Wesenberg ist reich an Äsar und kann in dieser Hinsicht als typisch für unser Gebiet gelten. Die alte Burg ruine liegt auf dem Äs und dieses zieht sich mit kleinen Unterbrechungen noch eine längere Strecke nach S hin. Am schärfsten ausgeprägt ist es bei Karitz, wo das Signal auf der Höhe über 100 Fuss über das anstehende Gestein erhaben ist, und doch findet man Proben des Wesenberger Gesteins auf der Höhe des Äs. Es hat eine ganz typische Form, es ist hoch, schmal, mit steilen Abhängen und verläuft in engen Windungen entsprechend einem alten Flusslauf. In Schweden ist auch die Ansicht, dass die Äsar Ablagerungen des alten Inlandsees bildeten, die beim Verschwinden des Eises zurückblieben, zurückgeführt.

Der Weg von Wesenberg ist ein Abstecher nach Süden, nach Borkholm, bis zur Grenze des Obersilur projectirt. Die Fahrt geht grösstentheils durch das Äs-Gebiet: in der Ferne sieht man verschiedene Äsar. Das anstehende Gestein tritt in der Nähe der Strasse nicht zu Tage. Man kommt zunächst auf der Strasse nach Jurjew, beim Karjakrug biegt man nach Borkholm ab; der Weg führt durch ein hochgelegenes Wäldchen, in dem an mehreren Stellen kleine Felspartien der Borkholmer Schicht entblösst sind; man findet hier zahlreiche wohlerhaltene Korallen der Borkholmer Schicht. Das Schloss Borkholm liegt sehr schön am kleinen See, der die Quelle des Walgejöggi oder Loxaflusses bildet. Im Walde, in der Nähe des Gutes, ist das Borkholmer Niveau, in einem Steinbruch sehr schön aufgeschlossen. Oben liegt weisser Kalk, darunter braune kieselige oder mergelige Schichten, dann an Petrefacten, unten ein mächtiges Dolomitlager, das einen guten Kalkstein liefert. In der Nähe finden sich auch schon Steinbrüche des Mererenschalk, G_2 , mit *Pentamerus borealis*, so auch bei Konoval. Ein grosses Äs, das schon an der baltischen Bahn bei Errinal beginnt, setzt sich bis hierher fort und trägt zur Verengung der Gegend bei. In einer breiten Schlucht bei Errinal, an der Grenze oben der Pentamerenschalk ansteht, und im Grunde die Jämschen Schicht, setzt sich später dieses Äs weiter nach Süden fort. Von Borkholm zur Station Ass oder Tamsal an der Bahn nach Jurjew, so passirt man an der Bahn den Durchschnitt einer Schicht, dann den Pentamerenschalk, die Jördensche, G_2 , und die Jämsche Schicht. Bei der Station Taps, wo die Jurjewer Bahn sich

abzweigt, steht schon die Lyckholmer Schicht, F_1 , an. man in einem Steinbruch an der Bahn bei der Station besonders häufig *Porambonites gigas*, *Lingula quadrata gigas* Eichw. gefunden sind.

Weiter kommt man durch hügeliges Terrain zur Sten-
tenhof, wo man einzelne sandige Hügel sieht, die zu e
Ås gehören. Von Charlottenhof bis Kedder führt die Ba
ohne geologisch merkwürdige Stellen. Von der Station
sick finden sich in den Gräben an den Seiten der Bah
liegenden Brüchen zahlreiche Fossilien aus der Kegels
namentlich *Orthisina anomala*, *Orthis testudinaria* u.
Rasick. Hinter Rasick, bei Sammomä, passiert man ei
der Jeweschen Schicht, D_6 , und bei der letzten Station
man schon auf den Vertreter der Kuckerschen Schie
nahe an den Rand des Glints, bis zum sogenannten r
thurm reicht. Von hier an sieht man oben auf dem Glin
Namen Laaksberg führt, zahlreiche Steinbrüche in festen
nosphaeritenkalk, der von lockeren gelblichen Schichten
die einen Uebergang zur Kuckerschen Schicht bilden
Fossilien sind. Am Abhang des Glints selbst sind Stein
ginatenkalk B und Glauconitkalk B_2 angelegt. Unte
man in einigen Einschnitten auch die tieferen Lager,
den Dictyonemaschiefer und den Ungulitensand seher
Cambrischen Schichten treten am Meere, in einer untere
thonigen Terrasse des Glints bei Marienberg hervor, in we
Mickwitz das Lager des *Mickwitzia*-Conglomerats un
Schicht mit *Secnella discinoides* F.Schm. entdeckt hat. Am
sieht man Sandsteinblöcke, die Spuren von *Olenellus*
Volborthella tenuis enthalten, sowie *Platysoleniten*. D
len finden sich auch in Nestern im blauen Thon bei d
Westbatterie am Meeresstrande und besonders reichlich

Reval aus ist eine Excursion zum Wasserfall des Jaggowals, unweit der Kirche Jegelecht und des Gutes Kostifer. Hier unter dem Fall ein schöner Durchschnitt der Glinthiersehe ist. Von Reval fährt man zuerst wieder den Laaksa, auf der alten St. Petersburger Strasse. Hier ist am Wegehchnitt zu sehen, in welchem man namentlich den Ungulitensand Dictyonemaschiefer erkennen kann. Oben auf der Fläche bald den alten Uferwall, der aus groben geröllten Gestein besteht und darauf 10 Werst von der Stadt, bei Hirro, den neuen Bach (sogenannt nach dem alten Kloster an seiner Mündung). Hier steht im Niveau des Flusses der Fucoidensandstein. Hier sieht man Geschiebelehm und ganz oben ein Lager von Lehm, das hier aber einer älteren fluviatilen Ablagerung angehört werden muss, und nicht der Ancyclusperiode. Auf dem weissen Sand sieht man wiederholt dem Echinospaeritenkalk angehörige Schichten, auch der Vaginatensand kommt gleich hinter dem Vorschein. Bei der 14. Werst passirt man einen neuen Kanal, der den Uferwall durchschnitten und das Wasser des Maart'schen Baches abführt hat. Unter der Brücke über den Jegelecht'schen Bach, unweit der Kirche Jegelecht, sieht man den Bach aus Klüften im Fels hervorkommen und dem Hauptfluss, dem Jaggowal'schen Bach, sich anschliessen. Oberhalb der Brücke ist das Flussbett nur angedeutet. Nur ein wenig weiter fließt das Wasser auch hier. Der Jegelecht'sche Bach mündet unweit des Gutes Kostifer, auf einer Fläche, durch zahlreiche Vertiefungen in die Erde. Auf dieser Fläche sieht man zahlreiche Vertiefungen und ausgewaschene Felspartien, die an eine Karst-Landschaft

erinnern. Man auf der Landstrasse weiter, so biegt man 2 Werst von der Kirche Jegelecht zum Dorfe Joa ab, wo der Jaggowalsche Wasserfall mit 22 Fuss hohen Wasserfall bildet. Ist wenig Wasser im Fluss, so ist das Flussbett oberhalb des Falles einen interessanten Einschnitt. Hier anstehenden Schichten des Vaginatensandes sieht man die oberen Linsenschicht grosse Flächen einnehmen, und verschiedene *Orthoceren*, *Lituites* u. s. w. in ihrer ursprünglichen Lage auf dem alten silurischen Meeresboden sehen kann. Hart unter dem Wasserfall sieht man folgendes Profil:

1. Linsenschicht mit <i>Orth. Barrandei</i> Dew.	0,3 m.
2. Vaginatensand, unten mit viel Kalkspathdrusen	3,2 "
3. Linsenschicht. Grauer mergeliger Kalk	0,2 "
4. Tonitkalk, oben Kalkschichten, unten mit viel	
5. Mergeligen Zwischenlagen	3,1 "
6. Tonitsand, lehmig oder mergelig	0,8 "
7. Dictyonemaschiefer bis zum Wasser.	0,4 "

weiter den Fluss hinab, sieht man unter dem Dictyonemasand den Ungulitensand hervortreten, der hier am Flussufer die Uferablösung für diese Stufe bildet, die wir in unserem Ge-

biet haben. Ausser *Obolus Apollinis* kommen hier noch die vielen Arten der Unterabtheilung *Schmidtia* Volb., ausserdem *Serlingia* Pand. vor. Der grösste Theil des Materials der Morphologie der Gattung *Obolus* von Ingenieur Mickwitz ist an dieser Lokalität gesammelt worden. Weiter abwärts am Fluss treten mehrere Enthlössungen des Fucoidensandsteins ohne Petrefakten in den obersten Schichten desselben wurden einige bituminöse gefunden, die Spuren von Trilobiten enthielten.

Von Reval aus wird wahrscheinlich noch ein Besuch am Gute Sack gemacht werden, in dessen Nähe Steinbrüche im südlichen Theil der Kegel'schen Schicht, der Wassalemschen Schicht liegen. Hier herrschen Crinoidenkalke vor, besonders einzelne Platten von *Hemicosmites*, ausserdem Stromatoporen und verschiedene Chaetetiden. Der Hemicosmitenkalk bildet weiter im Wassalems, feste Lager eines politurfähigen Kalkes, der viel Treppenstufen, Grabkreuze, Tischplatten u. a. verarbeitet wird.

Auf dem Wege nach Sack passirt man eine Sandregion, die aus umgearbeiteten oberen Schichten eines breiten Äs entstanden ist. Hier wurden auf einer Sandfläche, die voll von kleinen Geröllen liegt, zahlreiche Kantengeschiebe oder sogenannte Dreikanten Ingenieur Mickwitz gefunden, deren durch Sandschliff entstandenen Kanten in bestimmten Beziehungen zu den herrschenden Schichten stehen.

Von Reval nach Baltischport geht es auf der baltischen Küste zuerst durch das schon erwähnte Sandgebiet bis zur Höhe der Dünen bei Nömme; von dort geht es wieder abwärts zum Paeskelbach, wo ein kleiner Einschnitt in die Kegel'sche Schicht gemacht wird. Im Bereich dieser Zone bleibt man auch beim nächsten Punkt, Friedrichshoff, und bei der Station Kegel. Bei der nächsten Station, Lodensee, ist man schon im Bereich der Jewe'schen Schicht, die in der Nähe des Gutes Pölküll einen Einschnitt zeigt.

Höhe hinauf Ostseemuscheln, wie *Mytilus edulis*, *Cardium* *Vellina baltica* findet.

Die Ostseite der Bucht bietet stellenweise schöne Durch-
 schnitte hier ein Profil von der Spitze bei Packerort und
 nahe dem S.-Ende des Ostufers von Leppiko bei Leetz
 terem nur für die tieferen Schichten, da die oberen schwer
 sind.

ort:

osphäeritenkalk.

atenkalk, einen Kalksandstein bildend.

onitkalk.

onitsand, oben mergelig, unten sandig. 5,5 m.

onemaschiefer 3 "

litensandstein, z. Th. mit dünnen Zwischen-

schichten von Dictyonemaschiefer 3,5 "

densandstein, locker, bis zum Meeresniveau 2,5 "

Enze des Ungulitensandsteins zum Fucoidensandstein pflegt
 zu sein. An manchen Stellen findet man an der Ober-
 letzteren zahlreiche feste Sandsteingeschiebe.

bei Leetz:

osphäeritenkalk, grauer harter Kalk 1,1 m.

Linsenschicht, nur 2 Schichten 0,3 "

atenkalk, Kalksandstein, theilweise brec-

knartig mit Bruchstücken von sandigem

lk und schwarzen Phosphoritknollen 1,7 "

onitkalk. Feste Bänke mit mergeligen

ischenschichten 1,7 "

onitsand, mit festen Concretionen, in de-

Obolus siluricus Eichw. vorkommt 1 "

nemaschiefer 2 "

jectirte Excursion nach der Insel Dago findet entweder
 n Reval oder Baltischport über Hapsal statt, oder zu
 das westliche Estland. Im letzteren Fall fährt man zu-
 Reval per Eisenbahn bis zur Station Kegel und von dort
 ekt 70 Werst weit direct nach Hapsal, oder mit Postpferden
 ationen Liwa und Risti. In jedem Fall wird unterwegs
 auf dem Gute Piersal, beim Landrath A. v. zur Mühlen
 ein Steinbruch der Lyckholmer Schicht mannigfaltige
 umentlich an Korallen, Gastropoden und Brachiopoden in
 lt, und ausserdem zum erstenmal in einem alten Uferwall
 auna im Jahre 1867 entdeckt wurde. Der direkte Weg
 bietet sonst nicht viel Interessantes, ausser einigen klei-
 ungen, die zur Kegel'schen Schicht gehören, und dem
 on früher erwähnten Steinbruch bei Wassalem.

n Wege über Liwa und Risti fährt man zuerst einige

Werst in der Niederung des Kegel'schen Baches, dann steigt beim Gute Thula auf den hohen Uferrand hinauf, der hier auch der Wassalem'schen Schicht besteht. Hier oben passirt man einen alten Uferwall mit Ancylosfauna. Der *Ancylus* selbst ist immer zu finden, aber auf *Lymnaeus ovatus* kann man jetzt rechnen. 2 Werst vor der Station Liwa haben wir etwas seit vom Wege auf einer Anhöhe den grossen Steinbruch von Oddal, dem weissen Kalk der unteren Lyckholmer Schicht *F_{1a}*, der eifrigem Suchen sehr mannigfaltige Ausbeute gewährt an Trilobiten (*Chasmops Eichwaldi*, *Isotelus* und *Lichas*), Gastropoden und Crinoiden. Zwischen den Stationen Liwa und Risti fährt man gute Zeit auf einem alten Moränenwall, zu dessen beiden Seiten ausgedehnte Stümpfe hinziehen. Der Wall verläuft bald gleichmässig, bald tritt er in einzelnen Höhen hervor, die mit zahlreichen Eichenblöcken gekrönt sind. Die bekannten Glacialforscher U. de Geer und auch Prof. Wahnschaffe aus Berlin haben die Moränenatur dieses Höhenzuges anerkannt. Der Zug geht der Station Risti vorbei und noch etwa 10 Werst weiter auf der Hapsal-Strasse, hier aber immer gleichmässig ohne isolirte Höhen. Von Hapsal aus kann, wenn Zeit übrig bleibt, auch ein Steinbruch der Lyckholmer Schicht unter dem Gute Neuenhof beim Krüge Rannakäl, dem etwas weiter gelegenen Hügel Pattakomäggi besucht werden, auch ein Ausflug nach S. und SW. in das tiefste Obersilurgebiet, Weissenfeld, wo der *Pentamerus borealis* vollständig vorkommt, nach dem alten Felsufer bei Pullapae gemacht werden.

Die Fahrt nach der Insel Dago findet von Hapsal nach dem Landungsplatz Helterma auf dem Dampfer Progress statt. Auf Dago entwickelt sich das höchste Untersilur, namentlich die Lyckholmer Schicht, und die tiefste Obersilur entwickelt. Das Letztere wird allein besucht werden können, da es in der Nähe unseres Centralpunktes, des Gutes Neuenhof, dem Grafen E. v. Ungern-Sternberg gehörig, ansteh-

cheinlich wird schon in den ersten Tagen der Excursion ein Abstecher nach Jurjew (Dorpat) gemacht werden. Da Hin- als die Rückfahrt grösstentheils bei Nacht gemacht ist über die Geologie der durchfahrenen Strecke hier nicht viel. Wie schon früher erwähnt, sehen wir von Taps an zuerst Limmerschicht, F_1 , dann die Borkholmer, F_2 , und das tiefste die Jördensche Schicht, G_1 , und die Schicht mit *Pentalis*, G_2 , die bis zur Station Ass reicht. Von hier, über die Jakke, Wäggewa bis Laisholm befinden wir uns in glacialen und passiren verschiedene grössere Äsar, auch die OW vor d. Station Wäggewa. In der Nähe der Station Laisen sich Steinbrüche der Raiküllschen Schicht, G_3 , später wieder ausschliesslich durch glaciales Gebiet, das sich in der Ueberfahrt über den Embach durch besonders zahlreiche auszeichnet. In Jurjew selbst haben wir die Sammlungen des Naturforschervereins zu nennen. In der ersten u. a. die Uebersicht über alle Ablagerungen der Ostsee besonders hervorzuheben sind die vom verst. Prof. H. Assmengebrachten devonischen Fischreste, die von ihm und bearbeitet wurden. Früher gab es an den hohen alten Ufern in der Stadt selbst schöne devonische Profile. Jetzt sind abgebaut und man muss schon eine Ausfahrt zu den 2—3 km von der Stadt entfernten Sandgruben beim Dorfe Arrokküll annehmen. Es werden bei Dorpat nur Fischstücke von *Heterostius* v. *Homostius*, *Osteolepis* u. a. gebrachiopoden nur *Lingula bicarinata* Kut.



XIII

EXCURSIONS EN FINLANDE.

PAR
J. J. SEDERHOLM et W. RAMSAY.

De Helsingfors à Tammerfors.

Helsingfors, capitale du grand-duché de Finlande, est situé sur qu'elle dans le Golfe de Finlande. Il a environ 80,000 habitants. La ville présente avec ses rues larges et ses nombreux édifices un aspect d'une ville européenne moderne. Par places on voit même des roches de gneiss (schistes granitisés); les fleuves qui baignent la côte sont pour la plupart constituées par la même roche ou par du granite gneissique.

Entre Helsingfors et Hyvinkää le chemin de fer parcourt une argile glaciaire, souvent couverte d'une argile postglaciaire. Dans les dunes littorales on trouve des coquilles *Litorina*, *Cardium*, *Tellina* etc.

La plaine est traversée par des rivières et parsemée de collines et de petits rochers. A Hyvinkää le chemin de fer traverse la moraine terminale dite Salpausselkä, qui y forme une ligne basse, composée essentiellement de sable. Une crête parallèle à cette colline, de même formation, est traversée au sud de la ville par une tranchée qui montrait autrefois une alternance de couches stratifiées de sables à grains de diverse grosseur, indépendamment de gravier anguleux, lavé, et de moraine typique, déposée sous l'influence des oscillations du bord de l'inlandsis. Aujourd'hui la plaine est recouverte par des éboulis, ne se laisse observer qu'avec difficulté. Au nord de Hyvinkää les graviers de moraine prédominent et on trouve plusieurs „åsar“ dont le plus grand est celui de Tavastehus. Le chemin de fer traverse au nord de la station de Parola, et il y a de beaux effondrements („åsgropar“).

La voie s'engage ici dans la contrée de la Finlande centrale, semée de lacs dont on aperçoit plusieurs le long du chemin de fer.

La ville et l'ancien château de Tavastehus se voient à l'est du chemin de fer. Au nord de la ville, on aperçoit à l'est le château de Carlberg.

Tammerfors, ville de fabriques de 28,000 habitants, a une situation admirable sur l'isthme qui sépare les lacs de Näsijärvi de Pyhäjärvi, dont les hauteurs respectives sont de 94,6 et de 100 mètres. L'isthme est formé par un „ås“ (pr. ose) de gravier haut et escarpé, qui atteint sa plus grande hauteur à l'ouest de Tammerfors. Au point, nommé Pynikki, la vue s'étend sur toute la contrée environnante. On observe là des terrasses et des lignes de rochers anciens qui se poursuivent jusqu'au sommet.

L'écoulement du Näsijärvi tranche cet „ås“ en formant les rapides de Tammerfors qui font mouvoir toutes les fabriques de la ville, dont quelques-unes sont très grandes.

A l'est de la ville il y a des briqueteries, qui utilisent l'argile feuilletée glaciaire.

La géologie des environs de Tammerfors.

PAR

J. J. Sederholm.

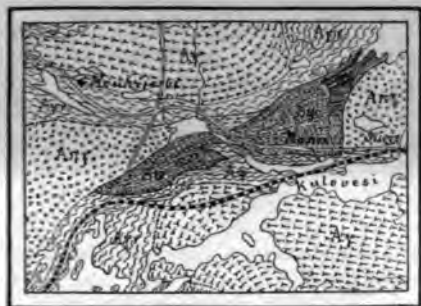
Les roches archéennes des environs de Tammerfors peuvent être réparties en trois divisions, qui sont de haut en bas :

- 1) Granite post-bothnien.
- 2) Schistes bothniens.
- 3) Terrain de gneiss pré-bothnien.

schistes se distinguent par leur caractère à la fois cristallin et détritique. Ils sont souvent représentés par des phyllades typiques qui se rapprochent tantôt des argillites, tantôt passuellement aux micaschistes à grain fin, contenant souvent quartz; dans ce cas ils offrent un caractère gneissique.

Les phyllades du Näsijärvi se manifestent, par leur stratification distincte et leur structure interne, comme formation d'une argile métamorphique, intercalée de couches minces d'un grès argillite (leptitique). Les phyllades contiennent souvent une matière carbonneuse, quelquefois accumulée en bandes minces, dont les auteurs ont fait penser à une origine organique.

La "leptite" plus typique ($B\psi$) d'une couleur rougeâtre et sans mica (toujours du mica blanc), apparaît dans un petit gîte à l'ouest de Tammerfors. Elle y montre une alternation de lits originairement horizontaux et d'assises qui possédaient une stratification oblique.



Carte au 1:400,000 de l'affleurement de la leptite de Suoniemi à Tammerfors. $B\psi$ = leptite, $B\phi$ = phyllade de la formation Näsijärvi, $A\psi$ = phyllades et micaschistes, $A\gamma$ = gneiss, $A\gamma\gamma$ = granite porphyroïde du terrain pré-bothnien.

Les schistes d'un vert foncé, riches en amphibole (le plus souvent hornblende), et en plagioclase qui y forment des cristaux porphyroïdes presque aussi répandus que les phyllades. Ces roches, porphyroïdes ($B\gamma$), sont des tufs métamorphiques de roches archéennes. Quelquefois on y trouve des lits intercalés de roches éruptives, notamment des porphyrites à ouralite ou des porphyrites à plagioclase et à orthose qui ont été, à l'état originare, identiques aux basaltes, aux andésites et aux basaltes modernes. Une roche porphyritique semblable traverse aussi la région en filons.

Les conglomérats (Bx) à ciment cristallin sont celles qui ont le plus grand intérêt parmi les roches bothniennes. Ils y for-

ment des intercalations et on les y trouve en plus grande quantité que dans aucun autre système aussi ancien.

On les peut étudier le mieux sur les bords du lac et surtout dans la petite baie de Hormistonlahti, contre quatre couches verticales d'une épaisseur respectivement de 200—300 m et 20 m. On les peut suivre vers l'est pendant 30 kilomètres; à l'ouest du Näsijärvi, on les retrouve à une distance de 4 kilomètres, dans la paroisse d'Ylöjärvi, et toujours dans le même horizon géologique (voir la carte).

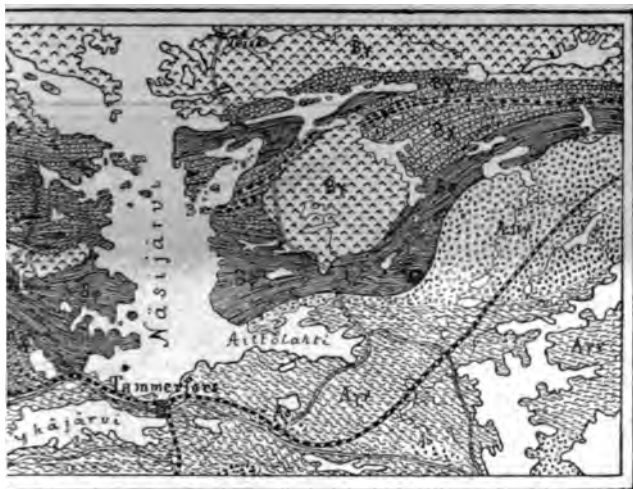
Les galets de ce conglomérat archéen sont de dimensions très variable, les plus grands ayant un diamètre de 0,5 m, les plus petits étant microscopiques. Ils sont le plus souvent bien conservés, sous une forme diverse, selon leur nature pétrographique. La plupart consistent en diverses roches effusives porphyritiques, "toïde", phyllade et leptite, toutes ces roches affleurant au sud du conglomérat. Mais on y trouve aussi deux variétés de syénite quartzifère et une diorite quartzifère.

Le ciment du conglomérat est cristallin, mais au microscope il révèle un caractère originairement élastique. Il est composé de ces fragments des mêmes roches, qui forment les galets, des fragments de plagioclase, d'augite ouralitisée, d'olivine, de biotite etc., et de minéraux secondaires, surtout de feldspathoïde et de biotite.

Les couches de conglomérat alternent avec un schiste noirâtre, très riche en ouralite, qui est le tuf métamorphisé d'une roche effusive basique. Toutes les couches sont verticales.

Au nord de ces couches de conglomérat, on rencontre, au point de Kämmeenniemi, une nouvelle couche conglomératique épaisse de 20 mètres. Si cette couche, ainsi que les tufs effusifs affleurant au nord, ont été originairement superposés au conglomérat archéen, ils ont été ultérieurement déplacés.

e (B_1) qui affleure au nord des schistes, montre toujours des contact indiquant son âge plus récent. Il traverse les schistes filons et la pénétration se montre souvent si intime que sur quelques centaines de mètres la roche de contact peut être transformée en filon ou schiste granité. On peut surtout bien constater d'une telle roche intermédiaire sur la rive ouest au contact nord de l'affleurement des schistes de Tam-



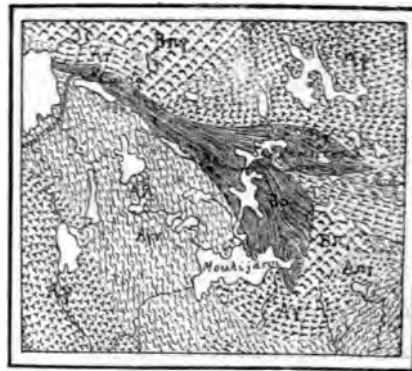
au 1:400,000 des environs du Lac Näsijärvi. $B\gamma$ = granien, $B\chi$ = porphyritoïde, Bx = conglomérat, $B\varphi$ = micaschistes, $B\psi$ = leptite de la formation bothnienne; $A\pi\gamma$ = granite porphyroïde, $A\sigma$ = diorites et périodimicascchiste, $A\gamma\eta$ = gneiss du terrain prébothnien.

a rive orientale où l'on rencontre des phénomènes anaptyrtoïde, riche en ouralite, se montre transformé en sive, semblable à une diorite. Dans une autre zone de rive, les schistes sont changés, sur une distance de plus de la ligne de contact, en une roche schisteuse, raptynite, riche en feldspath qui semble avoir cristallisé du granite environnant. Ce granite aussi montre un contact endogène, zone qui se manifeste par une struc-

ture à la fois porphyrique et micropegmatitique évidente, qu'une partie dissimulée par le métamorphisme que la roche a subi lors de sa solidification.

Le granite contient en plusieurs endroits des bandes d'allongées et, partout, des fragments très nombreux. Ces enclaves sont en général fortement granitisées et présentent dans leur structure d'un „gneiss à filons“ ou d'une diorite. Mais ces enclaves montrent encore çà et là la structure et la composition minérale des schistes de Tammerfors et contiennent quelquefois des fragments indubitables, preuve incontestable de l'origine sédimentaire de l'englobée. Très souvent, comme par exemple au nord de l'une de ces enclaves, on offre l'aspect d'une vraie diorite de structure variable.

Les schistes qui affleurent dans les paroisses de Suoden et de Lavia à l'ouest de Tammerfors, sont partiellement plus



dans les plaques minces, leurs limites sont confuses par suite de l'abondance de nombreux minéraux secondaires. Toutefois on peut apercevoir, parmi les galets, des représentants de quelques-unes des roches qui affleurent dans la formation sous-jacente de gneiss, entre autres le "gneiss de Lavia" (A¹). Cette roche porphyroïde schisteuse, quand elle est bien conservée, un tuf ou une roche effusive, à laquelle un fort métamorphisme a fait prendre l'aspect d'un schiste.

Il est très intéressant de constater ici les preuves les plus positives de la discordance entre les schistes bothniens de Lavia et les gneiss du terrain sous-jacent qui offrent presque le même caractère graphique. A Lavia on observe en effet le contact net du granite (A¹), traversant les schistes du terrain des gneiss, avec les schistes de Lavia; dans la zone de contact le granite présente le caractère d'une brèche qui, plus près des schistes, prend l'aspect d'un tuf fondamental. Evidemment la surface du granite a été érodée par l'action atmosphérique avant la déposition des schistes, à l'état métamorphique, forment maintenant les schistes de Lavia et de Tammerfors. Le même phénomène se répète en plusieurs endroits de la même région, bien que dans une forme moins

prononcée. On trouve de nombreux schistes à l'ouest de la Finlande, formés, de même que les schistes de la région de Tammerfors, dans l'intervalle entre les grandes époques de l'éruption des granites archéens de ces contrées. On leur a donné le nom de formations bothniennes. A cette série de formations se rapportent également les porphyrites à ouralite de Kalvola à l'ouest de Tavastehus et de Pellinge près de Hangö. Le caractère effusif de ces roches archéennes accompagnées de schistes, ne peut être méconnu. De plus, on doit probablement y rattacher aussi les schistes qui affleurent à Ylivieska, dans le gouvernement de Varsina, et peut-être aussi quelques formations de la Suède du nord. Tous ces schistes, dont les couches sont toujours à peu près horizontales, sont abondamment intercalés de conglomérats.

Dans les parties voisines de la côte du Golfe de Finlande, le terrain est composé de roches archéennes d'un âge différent, mais qui, à la même époque et intimement pénétrées par les granites archéens, on peut trouver en plusieurs endroits des débris de roches archéennes dont la composition originaires est assez bien connue et peut être reconnue.

Le terrain ayant ainsi subi des dislocations intenses à une époque antérieure à la déposition des couches bothniennes, on ne peut leur attribuer leur âge pré-cambrien, surtout si l'on prend en considération les couches des roches cambriennes et siluriennes de la rive opposée, au sud du même golfe, sont à peu près horizontales. Il est à remarquer aussi que les grès pré-cambriens de Hangö et de Kauhajoki et les roches granito-porphyriques, dites

„rapakivi“, qui affleurent en massifs très étendus dans le Finlande, ne manifestent déjà aucun indice de dynamométisme.

L'âge pré-cambrien des roches mentionnées étant prouvé fait qu'on les a rencontrées sous forme de galets dans un ruisseau à la base du cambrien fossilifère, il est évident que l'érosion dans cette région était terminée bien avant la cambrienne.

Mais l'âge des schistes bothniens semble pouvoir être d'une manière encore plus précise. Dans la partie est de la Finlande on trouve une série de sédiments plissés plus anciens qu'à Kivi, mais plus récents que les granites archéens du type qui pénètrent les schistes de Tammerfors. Ainsi ceux-ci sont situés de la base du groupe paléozoïque par deux formations (du rang d'un système) et trois discordances.

Ils sont, de plus, si intimement liés au terrain fondamental, dit archéen, du sud de la Finlande, qu'il est absolument impossible de les séparer de celui-ci. Aussi leur présence en plusieurs endroits n'a-t-elle rien d'étonnant pour ceux qui ont fait des investigations sur ce terrain, de telles roches s'y trouvant à plusieurs endroits. Dans ce cas la formation de Tammerfors est celle où la nature sédimentaire et métamorphique des vrais schistes cristallins archéens se manifeste le plus d'évidence.

Comparativement à la simplicité qui règne ailleurs en Finlande, les formations glaciaires des environs de Tampere sont assez complexes.

Les stries glaciaires présentent ici plusieurs systèmes. Les directions prédominantes sont S. 25°—30° E. et S. 60°—65° (frappé au N—W.). Au sud de Tammerfors on observe de même S. 25°—30° E. et parfois N. 65° E. (à 146 km. S. de Tampere).



de la rive, se dirige vers le sud-est. On trouve
arju un petit âs dont les sinuosités, qui rappellent ceux d'un
1, semblent indiquer l'origine des âsar.

le glacière (l'argile à Yoldia) de cette contrée offre sou-
ouches annuaires très épaisses. Dans la contrée au nord-
ville; on a trouvé une argile déposée dans la „Mer à Ancy-
douce.

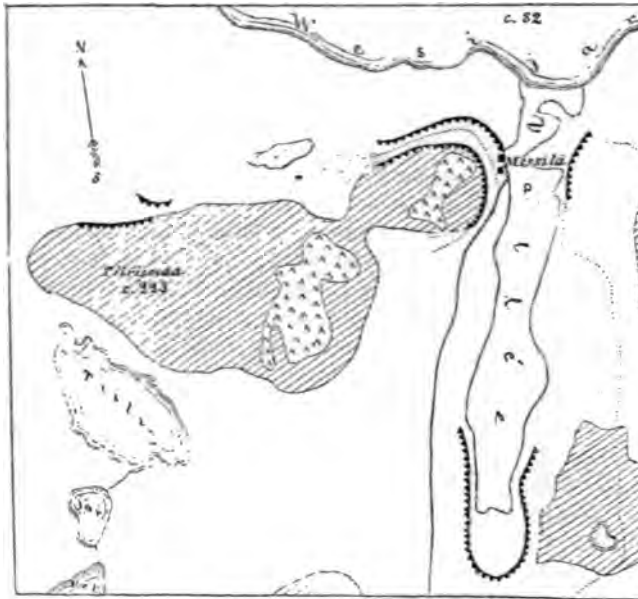
t dans cette contrée on trouve des terrasses formées par la
ie à Yoldia. Quelques roches sur la rive orientale du Näs-
nettent de constater que la mer y a atteint le niveau absolu
7 m. Au-dessous de ce niveau les roches sont tout à fait
à l'action des lames; mais au-dessus de la ligne nettement
ce niveau, les crevasses sont pleines de gravier de mo-
même gravier recouvre le sommet des roches.

Itinéraire.

de Tammerfors on visitera les affleurements de schiste etc
x rives du Näsijärvi, accessibles en bateau à vapeur. Le
our on ira par le chemin de fer à Siuro, puis en voiture
rès de la voie ferrée se trouvent les beaux rapides de No-
située une fabrique.

rétera à Mauri et en plusieurs endroits de la paroisse de
ni pour visiter les affleurements de schiste etc. Après
à Lavia, on retournera le troisième jour, par le même
Tammerfors et on ira le jour suivant à Lahtis, où on ar-
oir.

ne s'arrêtent que quand ils atteignent une ligne marquant de grandes accumulations de sable et de gravier roulé, qui va du N.—E. du Ladoga vers le N.—W., dans la contrée de Jänisjärvi. Ce n'est que du côté est de cette formation, qui est une sorte de moraine terminale, qu'on trouve des stries appartenant à un système plus ancien, allant du N.—N.—W. au S.—S.—E. Ainsi



0 1 Km

à l'est des terres de Messilä s'étend le fond de l'an-
glais. Il est rempli de nombreux blocs roulés et lavés,
ions de galets et de sable. Tout près des maisons, bâ-
errasse formée par érosion de la mer à Yoldia, l'an-
lu rivage (156 m) se dessine sous forme d'un amas de
En d'autres lieux près de Messilä, cette ligne de rivage
ar de petites accumulations de galets et de gravier. Aux
qui entourent les embouchures des anciens golfes, ces
aux sont rangés l'un à côté de l'autre en lignes sous
ail („spits“).

e de la moraine au-dessous de la „limite marine“, dif-
de celle qui est au-dessus. La première, qui avait été
tion des vagues, est dépouillée de ses éléments les plus
ère contient encore, même dans les parties superficielles,
s typique des dépôts glaciaires.

l saillie de la moraine le noyau d'un quartzite archéen
a protégé de l'érosion et qui forme l'endroit le plus
de la Finlande (223 m). Promenade à son sommet, Tii-
on jouit d'une vue splendide sur le lac de Vesijärvi et ses

Lahtis et départ pour la ville de Kotka.

De Lahtis à Hogland.

ion de Nyby le Salpausselkä atteint sa plus grande hau-
s de la contrée plate qui l'entoure. Au nord de Kouvola
fer le traverse par une tranchée de 12 m de profon-
dine terminale y montre une stratification très distincte



L'île de Hogland s'élève à peu près à l'endroit où le Golfe de Finlande a sa plus grande largeur. Isolée au milieu de la mer, elle s'aperçoit de loin: les cimes des monts de Pohjoiskorkia (106 m), Haukkavuori (147 m) et de Lounatkorkia (158 m) se dessinent sur l'horizon comme trois flots, mais à mesure qu'on s'en approche, les parties plus basses se font voir et ses monts apparaissent réunis: le Hogland, long de 11 km et large de 1,5 à 3 km, se présente comme un grand massif rocheux devant les yeux du spectateur.

Son versant occidental est escarpé: le versant oriental a des pentes plus douces et a ainsi offert des lieux favorables à l'habitation: c'est là que sont situés les deux villages de l'île: le Suurikylä avec 500 habitants environ, et le Kiiskinkylä avec 250 habitants. L'île de Hogland possède trois phares et une station de pilotes.

Traits principaux de la géologie de l'île de Hogland

PAR

Wilhelm Ramsay.

L'intérêt de la géologie de l'île de Hogland tient à ce qu'un si petit espace, se trouvant au milieu de la mer, se trouvent représentés dans un espace aussi limité les divers types de roches de la Finlande. En même temps on peut y voir de beaux exemples de l'érosion glaciaire et des vestiges des transgressions des mers quaternaires.

La partie la plus considérable de l'île, c'est-à-dire l'ensemble des grands monts qui s'élèvent à l'est d'une ligne de petits vallons, depuis la pointe de Hailiniemi et le rocher de Valkeakallio, est formée de gabbro à quartz (microgranites porphyriques et porphyres quartzifères). L'âge de cette roche est le pré-cambrien et correspond à celui du gabbro dit rapakivi du sud de la Finlande. Les

CARTE GÉOLOGIQUE de l'île de HOGLAND



- 1 Pohjoisherkia.
- 2 Majokallio.
- 3 Purjokallio.
- 4 Someriuono.
- 5 Naakkavuori.
- 6 Lounaherkia.
- 7 Walkekallio.
- 8 Pohjoisrivi.
- 9 Hailiniemi.

of
cent

ige

ine

ristalline



Le granite appartiennent par conséquent à des formations beaucoup plus récentes que celles des gneiss, des schistes cristallins et du ro. Conformément à leur âge plus récent, elles montrent au microscope une structure encore franchement élastique, malgré la cristallisation d'une grande quantité de mica blanc et d'autres minéraux, sous l'influence du métamorphisme régional, tandis que les schistes, traversés par le granite, sont complètement cristallins. De même que les couches de ceux-ci et les formations du gabbro, le quartzite et l'eurite sont disloqués et plissés.

Les plis abradés du quartzite ancien sont recouverts en discordance par un conglomérat consistant en grès et en grands galets de quartzite et formant une couche sur les sommets des rochers de Majakallio et de Somerinvuori. Il plonge faiblement vers l'est, mais plus loin ne montre plus de traces du métamorphisme régional. Un quartzite à grain fin, dont on voit un affleurement au pied du versant occidental du rocher de Majakallio, est contemporain du conglomérat.

Une autre roche plus récente que le conglomérat est une porphyrite à labrador (diabase porphyrique). On la voit dans le Majakallio reposer sur le quartzite le plus récent; dans le rocher de Majakallio ce diabase porphyrique et un tuf qui l'accompagne, renferment des enclaves de granite et de quartzite du conglomérat.

La plus récente de toutes les roches de Hogland, le porphyre à quartz (microgranites et micropegmatites porphyriques) a rempli une partie de l'est des parties les plus anciennes de l'île, et les recouvre en plusieurs endroits. Il contient souvent des enclaves d'autres roches, et dans le mont de Loumatkorkia, qui est plein d'enclavements de quartzite et de porphyrite à labrador. Ceux-ci, de même que les couches de porphyrite recouvertes par le porphyre à quartz, ont subi un métamorphisme sous l'influence de la roche encaissante. Ce porphyre, qui souvent d'une structure microgranitique et micropegmatitique et de grands cristaux d'orthose et de quartz, devient felsitique et vitreux près de la ligne de contact avec les roches antérieures. Dans quelques lieux on trouve sous le porphyre des couches de tuf. Le tuf est constitué par la matière provenant du porphyre et par les débris du diabase porphyrique, du granite etc., formant ensemble des roches éruptives.

Le porphyre de l'île de Hogland n'est qu'un reste de couches plus anciennes qui, de la même manière que les masses du Arapakivi" au sud de la Finlande, ont rempli de grandes dépressions. Evidemment les mouvements verticaux de l'écorce terrestre ont eu lieu après la formation du porphyre, et l'île de Hogland est restée comme un massif isolé. Les failles principales qui l'entourent sont cependant couvrées par la mer, mais des ruptures se sont produites dans leur voisinage. Elles se sont manifestées par des brèches de friction dans le porphyre, sur le rivage oriental et dans quelques roches de la côte occidentale.

Pour former de ce butoir l'île de Hogland, il a suffi d'un dernier travail de sculpture a été achevé par l'action des glaces au temps glaciaire. Les glaces se sont propagées du SSW, direction des stries et des faces moutonnées des rochers.

L'inlandsis disparu, l'érosion marine commença son travail. L'île de Hogland a été en grande partie submergée sous la mer à Yoldia, le lac à Ancylus et la mer à Litorina. A la transgression de ces mers il s'est formé de grands amas de blocs de galets et de sable, accumulés en monticules, en terrasses, cordons littoraux. D'après M. Berghell, le niveau de la mer trouvait à 86 m au-dessus de la mer actuelle, celle du lac à 61 m et celle de la mer Litorina à 38 m.

Itinéraire.

Descente à Suurikylä. Visite au promontoire de Kappi où on verra la brèche de friction dans le porphyre.

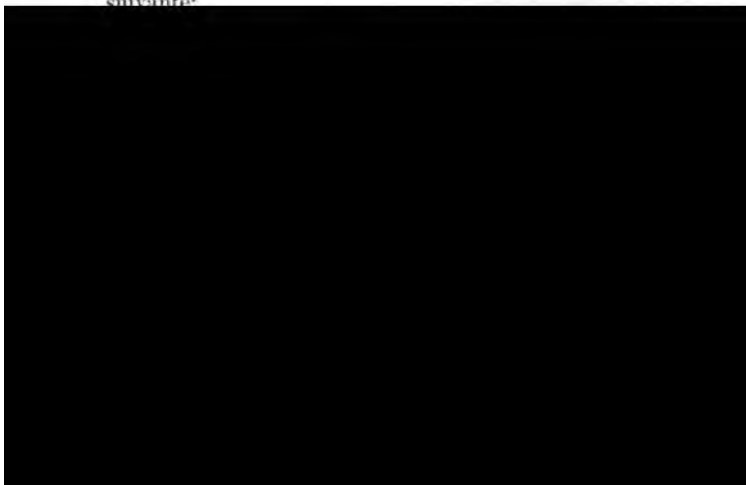
Promenade de Suurikylä à la pointe de Pohjoisrivi: on verra diverses espèces de porphyre à quartz et l'action actuelle de la mer sur le rivage.

Ascension du mont de Pohjoiskorkia: Porphyre à quartz, lignes de rivage se montrant sous forme d'accumulations de blocs et de galets; une grotte du temps de la mer à Yoldia.

Pohjoiskorkia: vue générale de l'île et de sa constitution.

Marche de Pohjoiskorkia au rocher de Majakallio: on verra d'abord la limite de la mer à Yoldia (à 86 m, d'après M. Berghell) et puis un grand espace couvert des accumulations formées par la transgression de cette mer.

Sur la face occidentale du rocher de Majakallio on verra la face suivante:



n, au sommet du mont de Lounatkorkia: Porphyre à quartz
laves de granite et de porphyrite à labrador.
art de l'île de Hogland en bateau à vapeur pour Wiborg.
Wiborg à St. Pétersbourg par chemin de fer.

Excursion à Imatra.

PAR

J. J. Sederholm

de Saint-Pétersbourg et Wiborg, le chemin de fer parcourt une
à les formations quaternaires règnent exclusivement.
ys plat, nivelé par l'action des vagues, avait été couvert par
etique à Yoldia; les quelques îlots qui en émergeaient sont
ard'hui entourés de terrasses indiquant les plus hauts ni-
s par la mer.
de Wiborg on aperçoit les premières roches du sous-sol

Wiborg et St-André, on passe dans le grand affleurement du
de Wiborg (voir p. 11), dont les roches désagrégées se mon-
out près du chemin de fer. Près de la station de St-André,
se la limite de cet affleurement; on y constate un grand con-
re les granites archéens fortement dynamométamorphiques
kivi exempt de toute trace de métamorphisme.

-André on traverse le large et imposant fleuve „Wuoksi“, que
de fer suit dès lors sur un parcours de quelques kilomètres
natra.

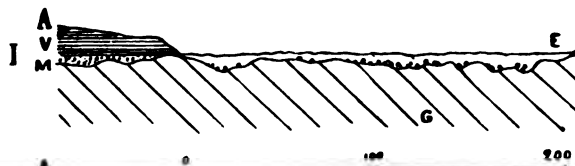
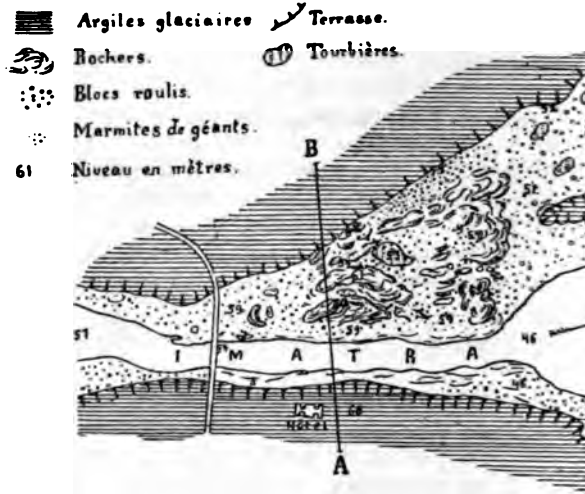
s eaux puissantes du Wuoksi se resserrent dans une étroite
etiligine, longue de 350 m et d'une largeur moyenne de
. Sur cet espace le niveau s'abaisse de 9—10 m. La pente est
à amont et en aval de la gorge, ce qui donne pour tous
es une différence de niveau de plus de 15 m. Ces rapides sont
s par leur puissance, plutôt que par leur hauteur. On évalue
d'eau à 450—700 m³ par seconde et la puissance des rapides
e 100,000 chevaux-vapeur.

le bord est de la gorge que les rapides ont creusée dans le
meissique dans un sens parallèle à sa schistosité, on trouve le
de l'Imatra, qui était 4—6 fois plus large et dont le fond
—8 m au-dessus du niveau des rapides actuels.

ce terrain est rocheux et en grande partie couvert de blocs
lets; on y observe des marmites de géants très nombreuses.
glaciaire, qui se dresse en falaise à l'est de ce terrain, a été
autrefois, mais fut déblayée au moment où se forma le fleuve.
rapides commencèrent à creuser successivement leurs lits dans
e qui présente des fissures nombreuses facilitant l'érosion. A
que s'approfondissait la gorge qui suit la rive haute de l'est, le

fleuve quittait son ancien lit; il coule maintenant au 1
peu profond d'âge postglaciaire.

Les rapides de l'Imatra, qui ont dû autrefois m^{er}
maintenant, le nom de cataracte ou chute d'eau, sont d



de la carte géologique de Finlande, sont les restes de ce lac. Actuellement ces lacs, comme l'a constaté dernièrement M. Bergson, sont séparés du lac de Salma par une barre, haute de 5 mètres. Sous l'influence du soulèvement inégal du sol, la nappe d'eau du lac s'éleva de plus en plus au sud, jusqu'à ce qu'il atteignit, au nord, le sommet de la crête Salpausselkä et la perça. C'est alors que l'ancien écoulement cessa et que se forma le fleuve Vuoksi.

Si toute la gorge eût été excavée par les rapides, la masse des déblayées s'évaluerait à environ 150,000 m³, quantité très considérable, même si on la répartit sur un temps de 5,000 à 10,000 ans. À une distance d'un kilomètre au sud des rapides, on trouve sur la rive est du Vuoksi les „pierres d'Imatra“, connues de tous les touristes. Ces pierres qu'on recueille au bord de l'eau sont des concrètes de marne, formées dans l'argile glaciaire qui se dresse en falaise au bord du lac.

À 6 kilomètres au sud de l'Imatra est situé le rapide de Wallinkylä, que beaucoup de voyageurs préfèrent à l'Imatra à cause de ses paysages pittoresques et de sa pente plus forte.

À 7 kilomètres au nord de l'Imatra, et à une distance de 7 kilomètres, le lac de Saimaa étale sa grande nappe d'eau parsemée de milliers d'îles. Le lac Saimaa est le plus grand et le plus caractéristique des lacs de la Finlande — le „Pays des Mille Lacs“ — et on peut le parcourir en bateau à vapeur jusqu'à Kuopio et Iisalmi, situés à 400 kilomètres environ de l'Imatra.

Tableau de l'équivalence des roches précambriennes de la
méridionale par J. J. Sederholm.

	Région au nord du Golfe de Fin- lande.	L'île de Hogland (d'après M. W. Ramsay).	Région du lac
Formations algonkiennes (ou groupe archéozoïque)	Formations jot- niennes	<i>Diabase à oli- vine.</i> Grès des environs de Björneborg. <i>Rapakivi</i> de Ny- stad, d'Alande, de Wiborg. <i>Gabbros (anor- thosites)</i> de Jaala.	<i>Diabas</i> <i>ide</i> de Grès de <i>Rapak</i>
	Discordances.		
	Formations ja- tuliennes	Font défaut	Quartzite ancienne et eurite
	Discordances.		
Formations ar- chéennes supé- rieures	<i>Granite</i> affleu- rant au nord de Tammerfors. <i>Granite rouge</i> <i>gneissique</i> de la		
		<i>Granite rouge.</i>	<i>Granit</i>





Bibliographie.

l'énumère ici que les publications possédant un intérêt général qui concernent spécialement les contrées qu'on visitera.

Lithographie et stratigraphie des roches anciennes.

Jon. Joh. Gunnar: Till frågan om de baltiska postarkäiska eruptivens ålder. Geolog. Fören. Förh. Stockholm. Bd. 18. 1896. P. 58.

1, Hugo: Beskrifning till kartbladet № 33. Wiborg. Finlands Geol. Und. (Sous la presse).

Benj. Frosterus: Finl. Geol. Und. Beskrifning till kartbladet № 28. Sakkijärvi.

E. und Deecke, W.: Ueber Geschiebe aus Neu-Vorpommern u. Rügen. Mitth. des naturw. Ver. für Neu-Vorpommern und Rügen. 23 Jahrg. 1891.

e Fortsetzung. Ibid. 23 Jahrg. 1896.

us, Benj.: Ueber ein neues Vorkommen von Kugelgranit unfern Wirvik bei Borgå in Finland, nebst Bemerkungen über ähnliche Bildungen. Tschermaks Min. u. Petrogr. Mitth. Bd. XIII. 1892.

er einen neuen Kugelgranit von Kangasniemi in Finland. Bull. Comm. géol. de la Finlande, № 4. 1896.

m, A. G.: Om postarkäiska eruptiver inom det svenskt-finska urberget. Geol. Fören. Förh. Stockholm. Bd. 15. 1893. P. 209.

g, K. Ad.: Beskrifning till kartbladet № 3. Finl. Geol. Und. 1881.

krifning till kartbladet № 6. Finl. Geol. Und. 1883.

krifning till kartbladet № 8. Finl. Geol. Und. 1885.

krifning till kartbladet № 27. Fredrikshamn. Finl. Geol. Und. 1895.

f, Boris: Ellipsoidische Einsprenglinge des finländischen Rapakiwi-Granites (en langue russe, résumé en allemand). Труд. Им. Сиб. Общ. Естествоиспыт. 1897.

y, Wilhelm und Berghell, Hugo: Das Gestein von Iiwaara in Finnland. Geol. Fören. Förh. Bd. XIII, p. 300. Stockholm 1891.

l Nyholm, E. T.: Cancrinitsyenit und einige verwandte Gesteine aus Kuolajärvi. Bull. Comm. Géol. de la Finlande, № 1. Helsingfors. 1895.

holm, J. J.: Beskrifning till kartbladet № 18, Tammela. Finl. Geol. Und. 1890.

- Sederholm, J. J.: Ueber die finnländischen Rapakwigesteine. *Min. und Petrogr. Mitth.* Bd. XII. Wien. 1891.
- Studien über archaische Eruptivgesteine aus dem südwestlichen Finnland. *Tschermaks Mineralogische und Petrographische Mittheilungen.* Bd. XII. Wien. 1891.
- Om bärggrunden i södra Finland. *Fennia*, 8, № 3. (Deutsch öfversatt). Helsingfors. 1893.
- Ueber einen metamorphosirten präcambrischen Quarzporphyrit in der Provinz Åbo. *Bull. Comm. Géol. de la Finlande.* № 2. 1896.
- Om indelningen af de prekambryska formationerna i Sverige. *Geol. Fören. Förh.*, Bd. XIX, Stockholm, 1896.
- Ueber eine archaische Sedimentformation im südwestlichen Finnland. *Bull. Comm. Géol. de la Finlande*, № 6 (sous le titre: Contiendra une description détaillée de la géologie des environs de Tammerfors).
- Törnebohm, A. E.: Om användandet af termerna arkeisk och arkisk på skandinaviska förhållanden. *Geol. Fören. Stockholm.* Bd. 18, ss. 285—299.
- Ungern-Sternberg, Th. von: Untersuchungen über den Rapakivigranit. *Inauguraldissertation.* 1882.
- Wiik, F. J.: Om skifferformationen i Tavastehus län. *Bidrag till kännedom af Finlands natur och folk*, utg. af Finska Vetenskapsakademien. Hft. 26. Helsingfors. 1874.
- Öfversigt af Finlands geologiska förhållanden. *Akad. afh.* Helsingfors. 1876.
- Om brottstycken af gneis i gneisgranit från Helsingfors sockerbruk. *Bidrag till kännedom af Finlands natur och folk.* Hft. 46. Helsingfors. 1876.
- Om äldre Finlands primitiva formationer. *Bidrag till kännedom af Finlands natur och folk.* Hft. 47. Helsingfors. 1876.

Formationes quaternariae.

- n, Gunnar: Svenska växtvärldens historia. Stockholm 1896.
- l, Hugo: Geologiska iakttagelser, hufvudsakligast af kvartärbildningarna, längs Karelska järnvägens två första distrikt och Inästrabanan. (Deutsches Referat) Fennia, 4, № 5. 1891.
- ogiska iakttagelser längs karelska järnvägen. II. (Deutsches Referat) Fennia, 5, № 2. Helsingfors 1892.
- bör Tammerfors-Kangasalaåsen uppfattas? (Deutsches Referat) Fennia, 5, № 3. 1892.
- achtungen über den Bau und die Configuration der Randmoränen im östlichen Finnland, Fennia, 8, № 5. 1893.
- ag till kännodomen om södra Finlands kvartära nivåförändringar. (Deutsches Referat) Fennia, 13, № 2. 1896. Bull. du Comm. géol. de la Finlande, № 5. 1896.
- r, Gerard: Quarternary changes of level in Scandinavia. Bull. Geol. Soc. Am., Vol. 3, 1891.
- kvartära nivåförändringar vid Finska viken. Geol. Fören. Förh. Stockholm. Bd. XV, 1894.
- ndinaviens geografiska utveckling efter istiden. Stockholm 1896.
- rus, Benj.: Några iakttagelser angående skiktade moräner samt rullstensåsar. (Deutsches Referat), Fennia, 3, № 8. 1890.
- rsen, G. v., Studien über die Wanderblöcke und die Diluvialgebilde Russlands. Mém. de l'Acad. Imp. des Sciences de St-Petersbourg. VII Sér. T. XIV, № 7. 1869.
- , R.: Tavastmons och Tammerforsåsens glacialgeologiska betydelse. Geogr. Fören. Tidsk. 1891.
- aeontologisk-växtgeografiska studier i norra Satakunta. Vetensk. meddel. af Geogr. Fören. i Finland, III, 1896.
- vastmons erosionsterrasser och strandlinier. (Deutsches Referat) Fennia 12. № 7. Helsingfors 1896.
- tkin, P. A.: Письма чл.-сопр. П. А. Крапоткина во время геологической поездки по Финляндии и Швеции, 1871.
- исометрическая карта южной Финляндии къ послѣд. о ледник. пер. Зап. по Общ. геогр. Т. VII.
- ie, Henr.: Studier öfver Baltiska Hafvets kvartära Historia. Bihang Svenska Vet. Akad. Handl. Bd. 18, II, № 1. 1892.
- eliminary Report on the physical geography of the Litorina-Sea. Bull. Geol. Instit. of Upsala. Vol. II, № 3. 1894.
- rst, A. G.: En växtförande lera från Wiborg i Finland Geol. Fören. Förh. Stockholm. Bd. XVI, 1894.
- nskiöld, Nils: Beitrag zur Kenntniss der Schrammen in Finnland. Acta Soc. Scient. Fennicae, Tome VII. 1860.
- y, Wilhelm: Ueber den Salpausselkä im östlichen Finnland. Fennia, 4, № 2. Helsingfors 1891.

- Ramsay, Wilhelm: Till frågan om det sen glacials hafvets utsträckning i södra Finland. Bibang af V. Hackman och J. Sederholm (Résumé en français). Fennia, 12, № 5. Helsingfors 1896. Bull. du Comm. géol. de la Finlande, № 3.
- Rosberg, J. E.: Ytbildningar i ryska och finska Karelen skild hänsyn till de Karelska randmoränerna. (Öfversikt) Referat) Fennia, 7, № 2. 1892.
- Sederholm, J. J. Om istidens bildningar i det inre af Finland. (Referat) Fennia, 1, № 7. 1889.
- Segercrantz, W.: Några förekomster af postglacialt skalgrus i Finland. Fennia, 12, № 8. 1896.
- Sieger, R. Seeschwankungen und Strandverschiebungen in der Ostsee. Zeltschr. d. Gesellsch. für Erdkunde. Berlin 1893. № 1 u. № 6.

XIV.

DE MOSKOU A KOURSK

(via Podolsk, Toula, Aleksine, Orel)

PAR

S. NIKITIN.

La ligne du chemin de fer de Koursk, quittant Moscou à l'est ville, va traverser la vallée de la rivière Yaouza pour descendre la large vallée de la Moskwa et se prolonger le long de son bord, limité par les sables inférieurs stratifiés contenant des blocs erratiques. La rive droite de la Moskwa est ici composée des mêmes dépôts volgiens, volgiens et pléistocènes, qu'on a déjà vus aux environs de Mniiovniki). Le volgien est aussi en grande partie détruit; le que n'arrive, au niveau de l'eau, que jusqu'au séquanien (J_3^s) à alternans. Le haut est occupé par les sables inférieurs (Q_1^a) et le morainique brun rougeâtre à blocaux (Q_1^b) qui, puissamment appuyée ici, s'étend au loin vers le sud en recouvrant toute la sur le pays le long de la voie ferrée. Ce n'est que vers la rivière près de Serpoukhow, que l'argile disparaît par endroits, pour place aux sables inférieurs. Le sol et la végétation de la contrée sont à peu près le même type que nous avons décrit dans la première page de notre guide des environs de Moscou.

Juger d'après les sondages et d'après les coupes des bords des ruisseaux voisins, il paraît hors de doute que les dépôts quaternaires mentionnés couvrent des restes plus ou moins bien conservés de dépôts volgiens massifs dont l'épaisseur diminue progressivement vers le sud. La Pakhra et ses affluents plus ou moins importants montrent déjà des calcaires carbonifères de l'étage moscovien (C_7).

Voir le guide I (Environs de Moscou).

Podolsk.

Quelques kilomètres avant d'arriver à la ville de Podolsk, la ferrée traverse la rivière Pakhra, la haute rive gauche de laquelle montre, immédiatement en aval du pont du chemin de fer, une coupe des calcaires de l'étage moscovien (C_2) atteignant 24 mètres de hauteur. Actuellement ces calcaires sont largement exploités par la Société de la fabrique de ciment. Bien que les galeries d'extraction soient creusées que dans les horizons exploités, l'ensemble des coupes de la rive permet de reconstituer la succession suivante des couches :

Argile morainique, environ 3 mètres.

Calcaire jaunâtre dolomitique, brisé en morceaux.

Couche interstratifiée marneuse, verdâtre.

Calcaire corallien jaunâtre à *Syringopora parallela*, *Aulopora macrostoma*, *Chaetetes radians*, *Bothrophyllum complanatum*, *Fenestella veneris*, *Polypora martis* etc.

Dolomie argileuse verdâtre.

Marbre jaune podolien. Sous cette appellation on désigne un calcaire compact, dur, facilement polissable, contenant de nombreux restes de coraux, cidarides, foraminifères transformés en calcite, qui donne à toute la couche une structure cristalline et une fausse structure tercalations spathiques.

Dolomie verdâtre argileuse.

Pierre à socle, tendre, blanche.

Des restes passablement rares de *Spirifer mosquensis*, *Prodromella semireticulatus* et *Archaeocidaris rossica* se rencontrent tant dans le marbre jaune que dans la pierre blanche à socle. Dans ce dernier horizon nous avons de plus trouvé, dans une carrière située à 6 km. vers le NW, une riche faune de céphalopodes décrits par M. T.

Serpoukhow sur l'Oka.

Les alentours de cette ville sont d'un grand intérêt pour le géo-étudiant les dépôts carbonifères du bassin de Moscou. On peut observer en plusieurs endroits la transition directe des calcaires de moscovien (C_2) à l'assise des calcaires de la section inférieure C_1). La partie supérieure de cette section inférieure a reçu dans la littérature géologique des derniers temps le nom d'étage de Serpoukhow ($C_1^2 c$) ou sous-étage à *Spirifer Kleini*. L'étage présente en fait des argiles grises et rose rougeâtre, contenant en profusion *Productus lobatus* Sow., *Athyris ambigua* Sow., *Spirifer Kleini* Fisch.: et de bas, les argiles passent à des calcaires gris compacts dolomitiques et dolomies, dans lesquels les formes citées sont accompagnées d'une série de fossiles propres au Mountain-limestone de l'Europe occidentale, tels que *Orthis resupinata*, *Martinia glabra*, *Streptorhynchus tria*, *Productus Cora*, *Pr. punctatus*, *Pr. scabriculus* etc. Le plus prédominant dans les assises plus inférieures *Productus giganteus* rencontre encore rarement dans cet étage-ci. La carrière classique pour l'étage de Serpoukhow, malheureusement abandonnée aujourd'hui et couverte d'éboulis, était située à proximité de la voie ferrée, à gauche, entre la station Serpoukhow et près du village Zaborié. On y pouvait observer la transition entre des marnes et argiles rouges ou verdâtres, à *Spirifer moscovensis* et *Archaeocidaris rossica*, à des argiles rouilleuses à *Productus lobatus* et *Athyris ambigua*, passant à leur tour à des calcaires dolomitiques qui fournissent une riche faune variée du Mountain-limestone.

Un forage, enfoncé non loin de Serpoukhow, sur la rive de l'Oka, du village Podmokloïé, a traversé 33 m. des calcaires de la section inférieure (une partie considérable de l'étage de Serpoukhow) et arrive en ce point au-dessus de la bouche du puits et 60 m. de la surface argilo-argilacé carbonifère (C_1). Le sondage a été poussé jusqu'à pénétrer dans les calcaires du dévonien supérieur. De la comparaison des profonds sondages, exécutés à Moscou, Podolsk et Serpoukhow, il résulte que dans la succession des dépôts des étages du bassin de Moscou le carbonifère moscovien occupe la place au-dessus du Mountain-limestone et non au-dessous, comme le croyaient plusieurs géologues (Sut-chold, Koninek et d'autres). De plus, la comparaison des résultats obtenus par les sondages, de même que les données hypsométriques, ont démontré que toutes les couches du bassin de Moscou

) Pour la question sur la limite de ces dépôts, voir: S. Nikitin. Les carbonifères dans la région de Moscou. Mém. Com. Géol. Vol. V. Pour la structure de la section inférieure: A. Struve. Die Schichtfolge in den Carbonablagerungen im südlichen Theil des Moskauer Beckens. Mém. Acad. St. Pbg. T. XXXIV. N° 6. 1886.

offrent un plongement faible, mais distinct, des bords du bassin vers le centre, et que les dépôts plus anciens apparaissent à la surface aux bords du bassin.

Gouvernement de Toula.

Après avoir gravi la pente de la vallée de l'Oka qui sépare le gouvernement de Moscou du gouv. de Toula, la voie ferrée va jusqu'à Toula, et plus loin vers le sud, la région du développement de tous les dépôts carbonifères énumérés plus haut. L'horizon supérieur conserve sur une assez longue distance vers le sud, presque jusqu'à la station Laptewa, les traces de l'étage moscovien C_2 qui fait défaut dans le bassin de la rivière Oupa, sur la rive de laquelle se trouve la ville de Toula. Sur le parcours entre Serpoukhov et Toula, on observe un changement essentiel du type du quaternaire, notamment le remplacement des dépôts à blocs erratiques par le type méridional des argiles des terrasses et des argiles loessoïdes. Néanmoins la vallée de l'Oka ne fait point la limite de ces dépôts, de même qu'elle n'a point servi de frontière au grand glacier scandinavo-russe, comme présument les auteurs de certains ouvrages récents, zoologiques et géologiques, dans le but d'expliquer certaines particularités qui distinguent la faune et la flore de la vallée de l'Oka, et en général du gouvernement de Toula, de la flore et de la faune du gouv. de Moscou. De cette manière on peut encore aujourd'hui observer au nord du gouv. de Toula, dans les tranchées du chemin de fer—p. ex. en-deçà et au-delà de la station Swinskaja—de puissants dépôts typiques d'argile moraine d'un brun rougeâtre à nombreux blocs erratiques, recouvrant immédiatement la surface désaltérée des calcaires carbonifères. Des blocs erratiques de roches cristallines se trouvent encore bien plus loin vers le sud, dans les districts d'Aleksine, de Krapivna et de Wénew.

la majeure partie des dépôts de l'étage à *Productus giganteus* est considérée comme sédiments de la mer ouverte.

L'étage houillifère se compose d'une alternance d'argiles et de lits plus ou moins considérables de charbon fossile. Il est remarquable que ce charbon, malgré son origine ancienne, se rapproche, par sa composition chimique et autres qualités, plutôt de la lignite que des véritables houilles. Parmi ces charbons on rencontre assez communément bog-head, une espèce de houille riche en huiles minérales. L'industrie houillère du bassin de Moscou est, actuellement tombée en décadence: d'un côté les qualités relativement mauvaises du charbon de Moscou ne lui permettent pas de concourir avec les houilles du bassin du Donetz, d'un autre côté l'emploi de la naphte-bougie du Caucase devient avec chaque jour plus fréquent dans les usines, usines et chemins de fer de la région moscoviennne.

Dans le bassin de l'Oupa et en beaucoup d'autres points, on observe la base de l'étage houillifère, et sur les calcaires indubitablement crétacés, des calcaires contenant une faune dont l'ensemble est en partie celui de la faune carbonifère.

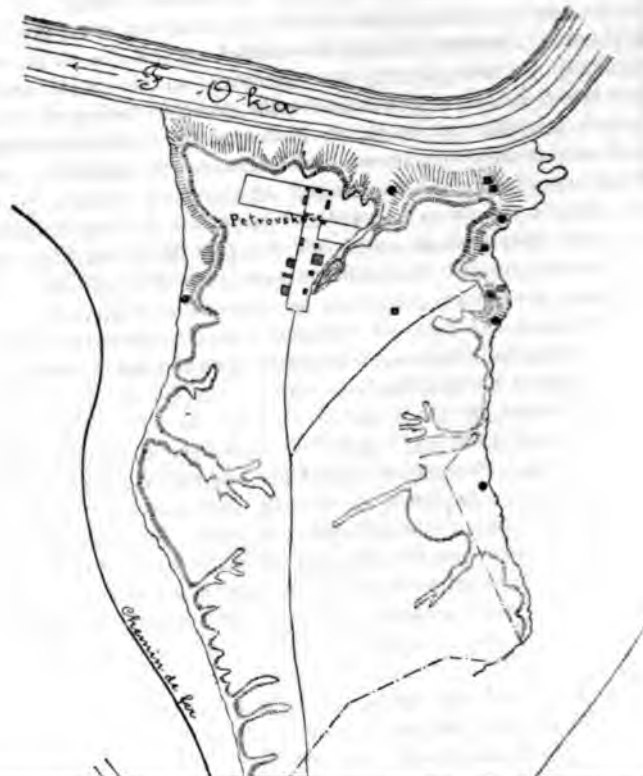
Le long du chemin de fer, à partir du point le plus élevé près de la station Laptévo, et dans la direction de Toula, les horizons supérieurs de la section inférieure du système carbonifère vont en se dégradant, de sorte qu'à proximité de la ville, dans les coupes de la rive de l'Oupa et de ses petits affluents, de même que dans les rivières, on ne voit affleurer que le calcaire à *Sigmaria ficoides* et l'étage argilifère. Lors du creusement de puits on a rencontré dernièrement, à la ville même, d'assez puissantes couches de charbon fossile.

Les environs de la ville d'Aleksine.

De Toula, le train mènera les excursionnistes vers le nord-ouest pour visiter les rives de l'Oka et les mines de houille près de la ville d'Aleksine. La voie longe d'abord le bord de la vallée de l'Oupa; ensuite elle s'engage dans la pittoresque vallée d'érosion d'un petit affluent de cette rivière qu'elle suit presque jusqu'à la station Soukhodol.

Pendant le trajet on verra çà et là des calcaires schisteux bruns, avec passage en bas à des sables et argiles rubanées et bigarrées carbonifères des couleurs habituelles dans cet étage (gris clair, gris-bleu ou rougeâtres). Le sommet des collines est occupé par les calcaires à *Productus giganteus*. Entre la station Soukhodol et le sommet des hauteurs qui font le partage des eaux, les phénomènes de dégradation disparaissent peu à peu. Des sondages ont montré que nous ne trouvons ici dans la région du sous-étage à *Spirifer Kleini* revêtement d'argiles brunes qui renferment par places des blocs erratiques.

À partir de la station Danilovka la voie ferrée descend par une vallée transversale dans la vallée principale de l'Oka, en traversant encore une fois l'assise des calcaires à *Productus giganteus*.

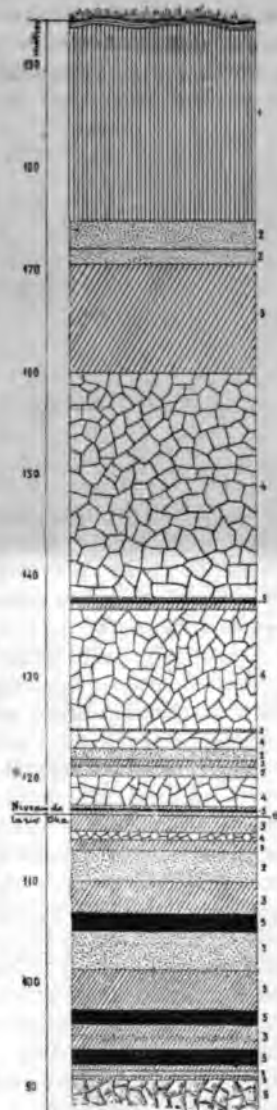


Un chemin de fer traverse la vallée de l'Oka par un beau pont de 3 verstes en amont d'Aleksine. Une large vue s'ouvre de la ville d'Aleksine, con- des rochers escarpés du carbonifère. Après avoir dé- on Aleksine, située sur la ruche en face de la ville, chemin de fer fait un brus- our longer pendant quelque d gauche de la pittoresque Oka, érodée dans les calcai- dépôts argileux carbonifé- kilom. de la station Sred- kil. d'Aleksine, se trouvent ouillères Pétrovskoïé, à verrerie en construction, si- rive même de l'Oka, entre rocheux à pentes rapides gauche sur la rivière. Au e la description de la loca- en donnerons ici le plan et es stratifications traversées its.

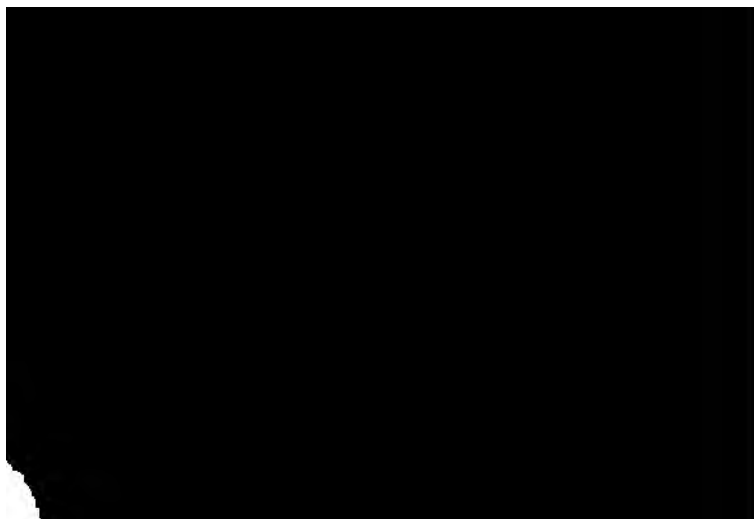
argile brune posttertiaire.
ables carbonifères.
argiles "
calcaires "
charbon fossile.
calcaire dévonien.

La localité présente un paysage de des vallées découpant les carbonifères des gouverne- Toula et de Kalouga. Le géologie donne une idée des de gisement du charbon fos- ssin de Moscou. Les couches sées tout-à-fait horizontale- aucune dislocation, n'offrant ibles inclinaisons locales et e quelque peu ondulée. L'é- les strates du charbon dépass- ent un mètre et les couches perdent à des distances re- petites.

ne sera le dernier point que les excursionnistes visiteront ssin de Moscou. Le train reviendra à Toula pour continuer



chemin, durant la nuit, à travers la partie sud du gouver
Toula et les gouvernements d'Orel et de Kursk. Dans le g
les argiles loessoides de la surface recouvrent des dépôts c
ça et là arénacés, du système dévonien. Au-delà de la ville
dépôts dévoniens supportent d'abord des argiles callovien
couvrent immédiatement les sédiments de la section supérie
stème crétacé, à commencer par le cénonanien et finissa
craie blanche, selon toute vraisemblance de l'âge turonien.



XV

KOURSCH AU BASSIN DU DONETZ

et la ville de Kharkow

PAR

N. SOKOLOV et Th. TSCHEBRYKOW.

Entre Koursk et Kharkow la voie ferrée traverse une région assez étendue, coupée par le cours supérieur des rivières Séim, Psol et Ichnia-Donetz avec ses nombreux affluents et ses ravins de ruisseaux. Fréquents villages et des forêts de chênes mélangés d'érables, d'aulx et de tilleuls donnent à la contrée, célèbre par sa fertilité en blé, des aspects les plus variés. La majeure partie des affleurements visibles du chemin de fer font voir de puissantes assises de loess gris sombre, habituellement recouvertes d'une épaisse couche de tchernozem gras. Dans les vallées plus profondes des rivières, viennent se joindre des dépôts du système crétacé, le plus souvent de la craie blanche. On en voit des affleurements considérables dans les environs de la ville de Biélgorod où la craie à écrire est exploitée depuis très longtemps. A partir de la parallèle de Biélgorod et plus loin, vers le sud, la craie blanche se voit couverte de couches tertiaires composées principalement de roches argilo-arenacées glauconifères gris vertes qui supportent des sables quartzeux blancs et jaunes.

La région traversée par le chemin de fer Koursk-Kharkow a attiré dans ces dernières années l'attention particulière des physico-géographes et des géologues par les grandes anomalies magnétiques que l'on observe sur un immense rayon des gouvernements de Koursk et de Kharkow. On peut juger de l'importance de ces anomalies par le fait qu'au village Kotchétovka, district d'Oboïansk, la déclinaison a été trouvée de $96^{\circ} 32'$ (c'est-à-dire l'aiguille aimantée se dispose perpendiculairement à la direction du méridien) et que dans le même district, au village Pokrovskoié, la plus grande inclinaison est de $82^{\circ} 13'$

(l'aiguille se tient presque verticalement). D'après les cartes magnétiques dressées par les savants russes et d'après les observations de M. V. reau, directeur de l'observatoire magnétique à Parc Saint-Martin, il existe dans la région deux zones d'anomalies magnétiques: l'une se trouve devant la ville de Biélgorod et le village Nenkhaïéwo, à 20 verstes vers le nord de Biélgorod, sur une distance d'environ 60 verstes; l'autre se dirige parallèlement à la première, à l'est, sur une étendue de près de 100 verstes.

Kharkow est une des plus grandes villes commerciales de la Russie du sud; elle possède deux écoles supérieures, une université et un institut technologique. La structure géologique des environs de la ville est parfaitement connue, surtout grâce aux travaux des professeurs Borissiak, Léwanovsky et Gourow. Les meilleurs affleurements s'observent dans les ravins à gauche de la rivière Lopan, au nord de la ville, entre le jardin de l'université et le hameau „Sarjin-Yar”. La partie inférieure des affleurements est formée par une puissante couche d'argiles glauconifères gris verdâtre et de roches argilo-arenacées léogènes. En dessus viennent des sables blancs et jaunes que les prof. Léwanovsky et Gourow rapportent au miocène supérieur (étage sarmatique), tandis que le prof. Armachevsky distingue, dans la série des sables, des couches de sables paléogènes étroitement liées aux couches glauconifères sous-jacentes et appartenant déjà en partie à la période posttertiaire. Les sables supportent des argiles d'un rouge brunâtre et du loess qui passe par endroits, au bas, à une marne blanche friable à coquilles d'eau douce. Les mêmes dépôts affleurent dans les ravins descendant dans la vallée de la rivière Kharkowa, ensuite près de l'institut technologique et au nord de celui-ci. La coupe des roches traversées par le profond puits artésien de la ville offre un grand intérêt. D'après le prof. Gourow, le forage a traversé les couches suivantes:

1) Alluvions (4,5 m.)



La profondeur totale du puits est de 640,5 m. Avec un diamètre de 9 m., le puits débite par vingt-quatre heures 40,000 seaux d'eau à une température de 25,5° C.

À sud de Kharkow, jusqu'à la station Lozowaïa, le chemin de fer traverse des steppes assez unies qui forment le partage des eaux des bassins du Donetz et du Dniepr. Les steppes sont constituées par des roches argilo-arénacées que l'on voit dans les affleurements à Kharkow.

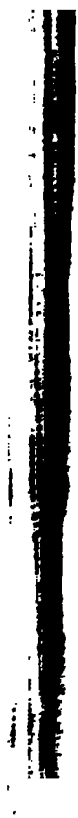
Dans le bassin du Donetz, en amont et en aval de la ville d'Isioum, on trouve, de dessous les couches tertiaires, de la craie blanche et des roches jurassiques: argiles gris foncé, sables argileux bruns et calcaires, souvent de structure oolithique. Les mêmes roches jurassiques se trouvent plus près de la voie ferrée, dans le vallon Popelnouchka.

Sur le Donetz, près du village Pétrovskoïé et le long de la rivière, on trouve des grès gris charbonneux du système carbonifère.

Des îlots jurassiques émergent aussi de dessous les dépôts plus récents dans le voisinage du chemin de fer, entre Lozowa et la ville de Slawiansk, sur les petits cours d'eau qui s'écoulent dans la Soukhotz. La voie ferrée longe cette rivière à partir de la station Baranowo jusqu'à Slawiansk. Dans les alentours de Slawiansk on peut trouver des dépôts plus anciens, permien (dolomies, calcaires et roches salifères), qui forment la continuation des dépôts permien du bassin de Bakhmout.

La ville de Slawiansk est située à la jonction des rivières Soukhotz et Kriwoï-Toretz. Grâce aux qualités médicales des lacs salés disposés à la ville même, Slawiansk est une des stations balnéaires les plus fréquentées du midi de la Russie. La ville est en même temps un des centres de l'industrie du sel. Le sel s'obtient exclusivement par évaporation des solutions-mères extraites à l'aide de forages.

Après Slawiansk, la voie tourne brusquement vers le sud et va suivre le cours de la Kriwoï-Toretz. Dans les rives de cette rivière et de ses affluents affleurent des dépôts permien, jurassique et crétacé qui offrent la coupe la plus complète le long de la rivière Matatchka. Matatchka se jette dans la Kriwoï-Toretz près de la station Krasnorskaya. Au-delà de cette station le chemin de fer coupe l'extrémité nord-ouest de la chaîne Droujkovsko-Konstantinovskaïa qu'il suit, sur le versant sud-ouest, jusqu'à la station Konstantinovka. De là, la voie s'élève sur la ligne du partage de la Toretz et de la Bakhmoutka pour entrer dans le champ principal des dépôts carbonifères du Donetz et continuer jusqu'à la station Khatsépétovka à travers une région dont nous ferons la description sommaire dans le chapitre suivant. La chaîne principale du Donetz. Ce parcours n'offre point d'affleurements qui mériteraient d'être notés ici.



XVI
LE BASSIN DU DONETZ.

PAR

TH. TSCHERNYSCHEW et L. LOUTOGUIN.

Esquisse générale.

ar que l'on puisse plus facilement s'orienter dans le bassin du
nous citerons surtout, comme utiles à consulter, les ouvrages

- lewsky. Essai d'exploration géognostique dans le bassin du
Donetz. Journ. d. mines, 1827 (en russe).
erçu géognostique de la chaîne du Donetz. Journ. d. mines,
1829. T. I (en russe).
tsky. Description géognostique du district de Marioupol. Journ.
d. mines, 1833. T. IV (en russe).
ay. Voyage dans la Russie méridionale et la Crimée. 1842.
kowsky. Exploration géologique des dépôts de formation per-
mienne. 1863 (en russe).
ig. Die Steinkohlenformation im Lande der Don'schen Kosaken.
Bul. de la Soc. des Natur. de Moscou. 1873.
Ein Beitrag zur Kenntniss der Culm- und Carbonflora in Russ-
land. Verhandl. der K. K. Geolog. Reichsanstalt. 1878.
her. Esquisse abrégée de l'histoire de la géologie du bassin
carbonifère du Donetz. Kharkow. 1881 (en russe).
ow. Matériaux pour la géologie des gouvernements d'Ekathérino-
slaw et de Kharkow. Travaux de la Soc. des Natur. à
l'univ. Imp. de Kharkow. Vol. XVI. 1882 (en russe).
ude hydrologique des districts de Pavlograd et de Bakhmout
dans le gouvernement d'Ekathérinoslaw. Kharkow. 1894
(en russe). Avec une carte hydrologique et des coupes.
ein. Etude hydrologique du district de Slawianosserbsk dans

le gouvernement de Kharkow. 1895—1896 (en russe)
carte et coupes verticales.

Th. Tschernyschew, L. Loutouguin et N. Lebedew. T.
géologiques exécutés dans le bassin houiller du
en 1892, 1893 et 1894. Bull. du Comité Géol.
Vol. XII, № 3—4; Vol. VIII, № 4; Vol. XIV, № 8
(russe).

Yakovlew, N. Recherches géologiques faites en 1895 dans la
septentrionale du bassin houiller du Donetz. Bull.
Géol. Vol. XV, № 6.

Dans les ouvrages suivants, publiés à l'étranger, on trouve
des indications concernant la structure de quelques-uns des
houillers.

Ernst, A. Die mineralogischen Bodenschätze des Donetzgebietes
Süd-Russland. Hannover. 1893.

Trasenster, P. L'industrie charbonnière et sidérurgique de la
sie méridionale. Revue Univers. des Mines etc.
T. XXXIV.

Monseu, A. Le bassin houiller du Donetz. Ibid. Vol. XXXVII.

Cartes géologiques.

Carte des couches du bassin houiller du Donetz, dressée sous
rection de M. Helmersen par MM. Antipow, J.
nojkin, les frères Nossow et Wassiliew. Echelle
1 : 420,000.

Carte des couches et des mines de charbon de la partie occiden-
du bassin du Donetz, dressée sous la direction de M.
mersen par les frères Nossow. 12 feuilles, échelle
1 : 125,000.

Donetz et celle de leur recherche sur les points où il n'y a pas de renseignements. Il n'est donc pas étonnant que, malgré l'existence de MM. Nossow et Antipow, les propriétaires des charbonnages ont dû faire au hasard les travaux de reconnaissance et ainsi dépenser inutilement des sommes considérables.

En 1892 le Comité Géologique a entrepris la préparation d'une carte géologique détaillée du bassin du Donetz, à l'échelle de 1:42,000. On avait surtout en vue, par ce travail, d'arriver à fixer la limite détaillée en horizons distincts des dépôts carbonifères, à caractériser avec toute l'exactitude possible la caractéristique paléontologique de divers horizons, à indiquer les minéraux utiles, propres à ces horizons, à les subdiviser, et à les marquer sur les cartes géologiques. De cette manière la subdivision exacte et détaillée des dépôts carbonifères du bassin du Donetz doit servir pour, ainsi dire, la base dans l'étude de toutes les questions scientifiques et pratiques qui pourront surgir dans l'avenir concernant ce bassin.

Les travaux géologiques ont pris part pour cette nouvelle carte, MM. Tschernyschew, chargé de la direction générale, L. Loukatchew, N. Lebedew et N. Yakovlew. Nous devons nommer aussi le prof. I. Schmalhausen et son élève N. Grigoriew, comme ayant participé au recueil et à la classification des matériaux paléogéologiques.

En raison de l'insuffisance des anciennes cartes, l'Etat-Major a, récemment, fait faire par six de ses topographes de faire un nouveau levé du bassin. La nouvelle carte, à l'échelle de 1:42,000, sur laquelle seront, toutes les lignes, tracées des isohypses, n'est pas encore terminée. Les cartes de notre guide sont tracées d'après les nouveaux levés. On se propose de lever les plans non seulement de toute l'étendue du champ du bassin, mais aussi des flots de dépôts carbonifères émergeant au-dessus des sédiments plus récents. Une autre carte, à l'échelle de 1:26,000, que l'on se propose de publier, indiquera les relations mutuelles et la continuation présumée des dépôts houillifères enfouis sous les sédiments plus récents.

Jusqu'ici les travaux se sont concentrés presque exclusivement sur la partie occidentale du bassin du Donetz. L'esquisse qui suit, est principalement basée sur les données obtenues jusqu'à ce jour.

Sous le nom de „Bassin du Donetz“ il faut comprendre la partie du sud de la Russie qui est occupée par des dépôts carbonifères du littoral offrant de fréquents changements de faciès dans la direction verticale et renfermant des couches de houille. Des dépôts de ce genre affleurent dans les gouvernements suivants: gouv. de Kharkow, gouv. du sud; gouv. de la Tauride, partie orientale; gouv. d'Ekathérinaw, partie est; territoire des Cosaques du Don, partie ouest. Cette région présente la forme d'un triangle étiré de l'est à l'ouest sur une longueur d'environ 350 verstes et une largeur maximale, entre les villages Karakouba (district de Marioupol) et Pétrowsk (district de Zoum), d'environ 150 verstes. Comme le font voir les cartes géolo-

giques, la région des dépôts houillifères se divise naturellement en trois parties inégales dont la plus vaste, celle du centre, présente un développement continu de ces dépôts à découvert, quelques rares seulement étant recouverts par des dépôts plus récents. Dans les autres parties, l'une à l'est, l'autre à l'ouest du champ central, les dépôts houillifères émergent en îles plus ou moins considérables. La totalité du terrain houiller à jour occupe une superficie de plus de 20,000 verstes carrées. L'étendue souterraine des dépôts houillifères recouverts par des sédiments de formation ultérieure, est plus vaste encore, témoin les forages exécutés dans le gouv. de Poltawa, par exemple, au village Pérechtchépino, au bord de la rivière Orèle, qui les ont rencontrés à 192 pieds de profondeur, et les affleurements du type de ceux du champ central que l'on observe dans la partie sud du Donetz de Kharkow.

Au point de vue orographique, les hauteurs du Donetz forment un plateau d'arasement s'étendant du nord-ouest au sud-est. Les points les plus élevés se groupent sur une ligne, tracée entre les stations baltséwo et Zwéréwo. Quelques-uns d'entre eux atteignent 1600 p. d'altitude absolue (le kourgan Metchetnoi—1210,6 p., le „tombeau“ Ostraiâ—1170,59 p., la hauteur entre les stations Krestnaïa et Krasnôkovo—1174,3 p.). Tout un système de rivières, s'écoulant les unes vers le Séverny-Donetz (Donetz du nord), les autres au sud, dans la mer d'Azow, coupent le plateau en une série de hauteurs peu élevées, à pente douce, dominées parfois par des rangées de pierres ou de rochers isolés, connus sous le nom de „moguila“ (tombeaux) ¹⁾. À partir de la ligne la plus élevée, le terrain s'abaisse progressivement des deux côtés et les dépôts houillers vont disparaître sous des sédiments plus récents. La partie nord-ouest de la chaîne du Donetz se divise en deux branches distinctes dont l'une se dirige vers Lissitchansk et se prolonge, jusqu'à un brusque détour du Donetz, tandis que l'autre se prolonge sous le nom de chaîne Dronikowska-Konstantinovska.

quand on étudie la chaîne du Donetz de plus près, on est bien convaincu qu'il existe une liaison évidente entre les détails orographiques et la structure géologique de chacune de ses parties et que les contours capricieux des isohypses que l'on voit sur la carte topographique détaillée, correspondent exactement aux fractures et aux limites des dépôts houillifères. Cependant, pour pouvoir nous rendre compte de la tectonique de la chaîne, nous devons d'abord faire l'actéristique sommaire des formations géologiques qui y prennent naissance. Les travaux entrepris par le Comité Géologique pour la composition d'une carte géologique détaillée au 1:42000 du bassin du Donetz, exécutés par MM. Tschernyschew, Loutouguin, Lefew, Yakovlew, nous serviront de base.

Le sud-ouest de la chaîne du Donetz confine à la bande des grès de la Russie du midi qui occupent un vaste espace continu dans les limites des districts de Berdiansk et de Marioupol du gouv. de la Sibirie. La lisière nord de cette bande s'étend, depuis la rivière Kolsa, le long de la riv. Mokraïa-Wolnowakha; à l'est, le champ occupé par les roches cristallines plonge rapidement sous les dépôts néogènes (voir la carte géologique de la Russie d'Europe jointe à ce guide).

La base des dépôts carbonifères du bassin du Donetz est formée d'une série de grès à feldspath, de conglomérats et de quartzites, interrompues par des couches de schistes argileux verts et rouges, et de brèches volcaniques intimement liées avec les porphyres dont une puissante argile sépare les dépôts précédents d'une alternance superposée de grès gris foncé et de schistes argileux.

L'âge de ces dépôts a été longtemps problématique. Enfin une découverte de restes organiques dans les calcaires gris foncé, faite par V. Domgherr, a donné à Th. Tschernyschew la possibilité de les reconnaître comme appartenant au dévonien supérieur¹⁾.

Au début des travaux du levé géologique du bassin, on fit une découverte non moins importante dans la série des grès coulés sous le calcaire. Près du village Karakouba, situé sur la Mokraïa Wolnowakha, on trouva, dans les couches intermédiaires des schistes argileux verts et rouges, une flore abondante, quoique uniforme, dont Schmalhausen a décrit²⁾ les formes suivantes: *Archaeopteris schlegelii* Schm., *Archaeopteris fissilis* Schm., *Dimeripteris fasciculatum* Schm., *Dimeripteris gracilis* Schm., *Sphenopteris Lebesquei* Schm., *Lepidodendron karakubense* Schm.

Les dépôts du dévonien supérieur que nous venons de mentionner surgissent à la surface que dans la région de la Wolnowakha, dans le sud de Kalniouss; mais il résulte d'un forage exécuté à Taganrog

¹⁾ Th. Tschernyschew. Ein Hinweis auf das Auftreten des Devon im Donetz-Becken. Verhandl. d. Kais. Mineralog. Gesellschaft zu Petersburg. Bd. XX. 1885.

²⁾ I. Schmalhausen. Ueber devonische Pflanzen aus dem Donetz-Becken. Mém. du Com. Géol. Vol. VIII, N° 3. 1894.

et qui a rencontré, à une profondeur de 270 sagènes, les compacts et quartzites, que ces dépôts s'étendent au sud-est.

Sur cette assise dévonienne supérieure vient, en comblant la section inférieure des dépôts carbonifères du Donetz. au schème élaboré par les géologues qui ont travaillé sur la nouvelle carte géologique, la section inférieure se divise en horizons qui sont de bas en haut:

C¹ Calcaires gris dolomisés contenant une grande quantité de corallifères finement striés, souvent de grosse taille.

C² Puissants calcaires offrant toutes les nuances du gris, jusqu'au gris foncé presque noir, et contenant: *Productus semireticulatus* Mart., *Prod. corrugatus* Mart., *Pyxidiformis* de Kon., *Prod. scabriculus* de Kon., *Prod. pustulosus* Phill., *Prod. undiferus* de Kon., *Ch. papilionacea* Phill., *Ch. Dalmani* de Kon., *Orthothetes* des Sow., *Martinia glabra* Mart., *Orthothetes arachnoidea* Phill., *Euomphalus pentangulatus* Sow.

C³ Marnes siliceuses, s'approchant souvent de la nature des porphyres subordonnés. Dans cette section on a trouvé: *Productus semireticulatus* Mart., *Productus* Mart. var., *Prod. pustulosus* Phill., *Productus* Mart., *Chonetes papilionacea* Phill., *Ch. Hardrensis* Phill., *Rhipidomella* de Kon., *Orthothetes arachnoidea* Phill., *Martinia glabra* Mart., *Discina nitida* Phill. etc.

C⁴. Calcaire gris, contenant: *Productus giganteus* Mart., *Productus semireticulatus* Mart., *Prod. Nodulifer* Mart., *Prod. elegans* M'Coy, *Chonetes papilionacea* Phill., *Diclasma sacculus* Mart., *Rhynchonella pleurodon* Phill., *Camarophoria* Phill., etc.

M'Coy, *Rhynchonella pugnus* Mart., *Rhynch. acuminata* Mart., *Rhyn. reflexa* de Kon., *Camaraphoria globulina* Phill., *Schizophoria resupinata* Mart., *Leptagonia sinuata* de Kon., *Diclasma sacculus* Mart., *Retzia multiplicata* de Kon., *Spiriferina octoplicata* Sow., *Sp. insculpta* Phill., *Reticularia lineata* Mart., *Spirifer trigonalis* Mart., *Athyris ambigua* Sow., *Aviculopecten Murchisoni* M'Coy, *Macrodon pinguis* de Kon., *Turbonitella biserialis* Phill., *Phillipsia Derbyensis* Mart., etc.

L'horizon le plus élevé des dépôts qui composent la section inférieure. Il est formé de schistes argileux, de grès quartzeux, micacés ou sans mica, et de calcaires. Les calcaires présentent parfois une structure oolithique et n'apparaissent qu'en lits intercalés. Les fossiles habituels de l'horizon sont: *Productus semireticulatus* Mart., *Prod. longispinus* Sow., *Prod. elegans* M'Coy., *Prod. latissimus* Sow., *Schizophoria resupinata* Mart., etc.

Après avoir passé aux sections moyenne et supérieure des dépôts carbo- nés du Donetz, il convient avant tout d'attirer l'attention sur le développement rapide des faciès dans la direction verticale et sur la fréquente apparition de calcaires entre les dépôts schisteux et arénacés. Les calcaires ne jouent d'ailleurs qu'un rôle subordonné et leur puissance n'atteint rarement 8 mètres. Ordinairement l'épaisseur des calcaires intercalés est beaucoup moins grande et même dans l'horizon

où ils apparaissent le plus fréquemment, le rapport entre leur épaisseur générale et celle des autres roches ne dépasse pas $\frac{1}{20}$. Néanmoins les explorations faites en détail ces dernières années ont permis de constater la constance remarquable avec laquelle les propriétés géologiques des calcaires se maintiennent sur tout l'espace dont on a dressé ici relevé la carte. Un des facteurs les plus importants qui ont servi à la division des dépôts en horizons, est la ressemblance des particularités géologiques, caractéristiques pour les divers calcaires, et le schème des subdivisions que nous donnons plus bas est essentiellement basé sur l'étude de ces calcaires et de la faune qu'ils renferment. Grâce à ces études, il est aujourd'hui démontré que MM. Le Play et Helmer- taiten dans l'erreur en affirmant qu'il n'existe point, dans le bassin du Donetz, de couches possédant des caractères paléontologiques et géologiques assez constants pour pouvoir déterminer d'une manière précise tel ou tel horizon géologique. Tout au contraire. Comparé aux bassins houillifères de l'Europe, le bassin du Donetz est, sous ce rapport, dans des conditions exceptionnellement favorables, et sur son étendue il est possible d'établir une synonymie exacte de la nomenclature des couches de houille et de marquer avec précision sur la carte les détails du contournement de chaque couche de houille ou de calcaire. Le bassin du Donetz offre en cela une analogie complète avec le caractère des dépôts houillifères des Etats Iowa, Missouri et de l'Amérique du nord, dans le terrain desquels les dépôts du

Donetz n'étant qu'un genre sub-occidental. Comme l'ensemble offre toutes les données pour la parallélisation des successions publiées déjà dans les dépôts supérieurs de l'Oural, du Caucase et de la Russie centrale, avec les subdivisions correspondantes du Donetz.

Après ces remarques générales nous passerons aux subdivisions des sections moyenne et supérieure, basées sur les travaux opérés dans le courant de ces cinq dernières années par les géologues qui ont participé à ces travaux distinguant les séries ou suites ($C_1^2 - C_2^2$) dans la section moyenne C_2 , et dans la section supérieure. Nous prendrons, pour les coupes relevées au nord de la ligne Kramatorskaïa-Débal'tse, la coupe qui se répète avec plus ou moins de variations dans les rayons du bassin du Donetz. ¹⁾

C_1^2 . La suite la plus basse de la section moyenne est composée de grès variés, de schistes arénacés ou argilocalcaires brun foncé et gris clair. Au nombre des fossiles recueillis dans les dépôts de cet horizon, on cite: *Productus semireticulatus* Mart., *Productus* Sow., *Prod. punctatus* Mart., *Schizophoria* Mart., *Spirifer mosquensis* Fisch., *Reticularia* Mart., *Ariculopecten aff. interstitialis* P., *Pecten aff. nobilis* de Kon., *Macrodon fabaeformis* etc. représentant des genres *Lingula*, *Leda*, *Orthoceras*, *Nautilus*, *Phillipsia* etc. Manquent: *Productus giganteus* Mart. et *Productus* Sow. Apparaissent pour la première fois dans la suite C_2^2 les fossiles *Spirifer mosquensis* Fisch. typiques.

C_2^2 . Grès et schistes, interstratifiés de calcaires, de

cette suite est principalement formée de grès et de schistes. Les calcaires sont peu épais et relativement rares. Voici la succession des couches dans l'ordre ascendant:

1) Calcaire gris clair, épais jusqu'à 1 m.

2) Schistes, alternant avec des grès schisteux.

Couche de houille.

Schistes argilo-arénaux.

Couche de houille — 0,35 m.

Schistes interstratifiés de grès schisteux.

Calcaire jaune d'ocre — 0,36 m. Ce calcaire, de même que les calcaires superposés, 77 et 78, contiennent une faune abondante, mais uniforme, composée de: *Reticularia lineata* Mart., *Montselia cf. semiplana* Waag., grands exemplaires de *Marginifera*, *Productus semireticulatus* Mart., *Pr. scabriculus* Mart., *Pr. corrugatus* M'Coy, *Chonetes carbonifera* Keya., *Spirifer mosquensis* Fisch., *Sp. Kleinii* Fisch., *Orthothetes crenistria* Phill. etc.

7) Schistes argilo-arénaux, intercalés de grès calcaireux, et psammites.

Lit de houille — 0,35 m.

Grès schisteux et schistes sablo-argileux.

Calcaire argileux, d'un noir grisâtre à l'état frais, jaune d'ocre vers le haut, atteignant 0,6 m. d'épaisseur.

Schistes argileux.

Calcaire semblable au calcaire de 78, puissant de 0,5 m.

76) Schistes et psammites, intercalées de grès calcaireux.

Couche de houille, épaisse de 0,5 à 0,75 m.

Schistes et grès, avec deux lits interstratifiés de houille.

Calcaire semblable à celui de 77, épais de 0,75 m.

75) Schistes argileux et sablo-argileux.

Environ 0,75 m. de houille. Les schistes qui font le toit de cette couche abondent en coquilles de la famille *Anthracosidae*.

Schistes, çà et là intercalés de calcaire ocreux.

Puissante couche de grès.

74) Schistes, avec lits intercalés de grès schisteux.

Couche de houille, puissante de 0,4 m.

Schiste argileux, séparé par un lit de houille d'un schiste argilo-arénaux.

Puissantes arkoses à gros grain.

73) Schistes argileux et sableux.

Lit de houille, épais de 0,5 m., avec nombreux petits conchifères au toit.

Grès schisteux et schistes argileux.

Houille, épaisse de 0,7 m.

Schistes argileux et arénaux.

Calcaire gris foncé, puissant de 0,75 m., à *Productus semi-*

reticulatus Mart., restes de *Marginifera*, *Spirifer quensis* Fisch., *Sp. Kleinii* Fisch., *Sp. Strangwaysi*, *Reticularia lineata* etc.

Ce calcaire termine la troisième suite de la section mo

Parmi les restes végétaux que l'on rencontre dans les la suite C_2^1 , le prof. Schmalhausen a déterminé les suiv

Neuropteris gigantea Stb., *Neuropteris tenuifolia* Stb., *Pteris flexuosa* Stb., *Sphenopteris Hoeninghauseni* Stb., *Alethopteris lonchitica*(?) Stb., *Lepidophyllum tri* Un., *Distrigophyllum bicarinatum* Un., *Sphenosaccifragaefolium* Goep., *Annularia ramosa* Un., *Calamites Succowi* Brgt., *Calamites ramosus* Art., *Calamites multiramis* Weiss., *Calamites Cistii* Brgt., *Lepidodendron aculeatum* Stb., *Lepidodendron chotomum* Stb., *Stigmaria ficoides* Brgt.

Quoique les couches de houille, enfermées dans les dépôts de la suite, ne dépassent pas 0,75 mètre d'épaisseur, elles sont, sur coup de points du bassin, l'objet d'une exploitation sérieuse, surtout dans le rayon de la rivière Kalmious, c'est-à-dire dans les mines de la Société minière et industrielle, de la Société de houille-Russie, de m-r Karpow etc. La suite, qui porte ici le nom de Smolianinovskiy, fournit des charbons à coke et des charbons à l'extrémité est du bassin de la Kalmious le charbon devient anthraciteux. Les charbons de cette suite sont agglutinants dans le rain situé entre les lignes des chemins de fer Debaltséwo-Lougansk et Debaltséwo-Lissitchansk. Les plus grandes exploitations du rayon sont celle des frères Maximow et la mine Rodakovskiy de la Société minière et industrielle d'Alexéïew. La suite C_2^1 est largement développée entre les lignes Debaltséwo-Lougansk et Debaltséwo-Zwérié même qu'au sud de cette dernière, où elle est connue sous le nom de suite Smolianinovskiy.

entre les mines exploitant les couches de la 3-me suite et celles qui exploitent les suites 5 et 6.

Le type de la 4-me suite montre, de bas en haut, les couches

schistes sablo-argileux et grès verdâtres, avec concrétions calcaires et intercalations de schiste charbonneux.

Calcaire, d'une puissance de 0,75 m.

Schistes et schistes sablo-argileux.

Couche de houille, épais de 0,3 m.

Schistes et grès schisteux.

Schistes avec intercalations de charbons.

Calcaire, atteignant une puissance de 2 mètres.

Schistes sablo-argileux.

Couche de houille de 0,25 m.

Schistes et grès schisteux.

Calcaire, d'une puissance de 0,75 m.

Schistes et grès.

Couche de houille atteignant 0,75 m. d'épaisseur, mais apparaissant habituellement sous l'aspect d'une intercalation inexploitable.

Schistes et grès.

Calcaire allant jusqu'à 2 m. d'épaisseur.

Schistes et psammites.

Couche de houille dont l'épaisseur atteint 0,75 m. Parfois plus mince et inexploitable, parfois remplacée par des schistes charbonneux.

Schistes et psammites.

Calcaire gris foncé, épais de 0,7 à 1 mètre, reposant parfois immédiatement sur un grès compact à grain fin, contenant des empreintes végétales mal conservées.

Les calcaires de 68, 69, 70 et 71 sont le plus souvent pauvres en

On y rencontre: *Productus semireticulatus* Mart., *Pr. Key-*

de Kon., *Pr. cf. Cora* d'Orb., *Spirifer mosquensis* Fisch.,

Brachyonia cristata Schloth., *Schizophoria resupinata* Mart., *Ortho-*

arenistria Phill., *Reticularia lineata* Mart., *Bradyina nauti-*

Moell.

La flore de la suite renferme, entre autres, les formes suivantes,

nommées par le prof. Schmalhausen:

Neuropteris gigantea Stb., *Neuropteris tenuifolia* Stb., *Neuro-*

pteris flexuosa Stb., *Pecopteris muricata* Stb., *Dictyopte-*

ris Münsteri Eichw., *Distrigophyllum bicarinatum* Un.,

Sphenophyllum sp., *Pinnularia* sp., *Annularia ramosa*

Weiss, *Calamites Succowi* Brgt., *Calamites ramosus* Art.,

Calamites varians Stb., *Cordaites palmaeformis* Goepp.,

Lepidodendron obovatum Stb., *Lepidodendron selaginoides*

Stb., *Sigillaria alternans* Lindl. et Hutt., *Sigillaria*

rugosa Brgt., *Stigmaria ficoides* Stb.

Couche de houille, jusqu'à 1 m. d'épaisseur, à s'amincissant en plusieurs endroits au point d'être inexploitable.

66) Schistes argileux et sablo-argileux.

Calcaire gris foncé—0,75 m., recouvrant une couche de houille qui devient parfois épaisse.

65) Schistes intercalés d'une assise de grès.

Lit de houille—0,5 m.

Grès et schistes, surmontés par un mince lit de calcaire gris foncé, d'une puissance d'environ 0,25 m.

64) Schiste argileux, mince strate de houille et de 1,4 m. d'épaisseur.

Les calcaires 64, 65, 66 se ressemblent par l'aspect et contiennent: *Productus semireticulatus* Mart., *Pr. scalaris*, *Chonetes carboniferus* Keys., *Schizophoria resupinata* Thet., *thetes crenistria* Phill., *Spirifer mosquensis* Fisch., *Arthyris ambigua* Sow., *Reticularia lineata* Moell., *Nautiliformis* Moell., *Euphemus carbonarius* Cox et

63) Grès et schistes, avec intercalation d'un mince lit de houille épais de 0,25 m.

Couche de houille, puissante jusqu'à 0,7 m.

62) Schistes argileux, alternant avec des schistes à grès.

Couche de houille, puissante jusqu'à 0,7 m.

Schistes argileux et arénacés.

61) Calcaire gris clair, atteignant 2 m. d'épaisseur.

Productus semireticulatus Mart., *Pr. scalaris*, *Pr. cf. Cora* d'Orb., *Pr. Flemingi* Sow. (espèce non encore décrite), *Spirifer mosquensis*

calcaire gris, interstratifié de lits ocreux et contenant: *Productus semireticulatus* Mart., *Spirifer mosquensis* Fisch., *Reticularia lineata* Mart., *Schizophoria resupinata* Mart., *Bradyina nautiliformis* Moell.

sixième suite—C₆—particulièrement complète et typique près de Lissitchansk, atteint une puissance de 225—300 mètres. Pour la quantité des couches de houille et pour la proportion de leur puissance totale comparativement à la puissance des couches encaissantes, cette suite peut être considérée comme la subdivision la plus avantageusement exploitable. Aussi est-ce là que l'activité minière s'est actuellement concentrée dans la partie nord du bassin du Donetz. Comme nous le verrons dans la description de l'itinéraire, le plus grand nombre des exploitations se trouvent dans le rayon des stations Marievka, Warwaropolé, Almaznaïa et Yourevka (série des couches „Almazny“). La même suite de couches est exploitée dans le rayon de Kalmious (couches Séménovsky) et dans les puits situés sur les ailes du principal anticlinal, à Gorlovka, Nélépowka, Chtcherbinovka (couches entre „Griazny“ et „Kirpitshevka“).

Succession des couches, de bas en haut, est la suivante:

Schiste argileux et grès schisteux.

Schiste argileux, remplacé parfois par un grès à grain fin.

Couche de houille de 1,4 m. à 1,75 m., avec intercalation de plusieurs minces lits d'argile schisteuse.

Calcaire, jusqu'à 2 mètres d'épaisseur, recouvrant directement la houille 57. Parfois le calcaire disparaît par étiement et la houille est immédiatement couverte de schistes argileux. Parmi les formes trouvées dans ce calcaire nous citerons: *Productus semireticulatus* Mart., *Pr. cf. Cora* d'Orb., *Pr. Flemingi* Sow., *Pr. spinulosus* Mart., *Spirifer mosquensis* Fisch., *Sp. Kleinii* Fisch., *Reticularia lineata* Mart., *Bradyina nautiliformis* Moell., coquilles de *Conocardium* etc.

Schistes argileux et psammites, interstratifiés de schiste et de grès calcareux compact passant à un calcaire.

Lit de houille, épais de 0,26 m.

Schistes argileux et sablo-argileux de couleur foncée, intercalés de minces lits de charbon.

Couche de houille de 0,84 m.

Schiste argileux, avec intercalations de psammite très calcaire et passant à un calcaire.

Lit de houille, épais de 0,26 m.

Schiste argileux.

Couche de houille, d'une puissance de 0,7 m. à 1,2 m.

Schistes argileux, renfermant des intercalations d'un calcaire

ou etc.

Psammites et schistes argileux.

Couche de houille, 0,7 m. d'épaisseur. Cette
sur une énorme étendue toutes les parties
sont propres: partout on y trouve interca-
sableuse réfractaire et partout apparaît du
calcaire argileux, pétri de coquillages de *Schiz-
onata* Mart. et d'autres fossiles que nous
La puissance de la couche dépasse rare
habituellement elle est moindre.

- 52) Schistes argileux. Au contact avec la houille
observe parfois un calcaire argileux gris
ductus Konincki Vern., *Pr. semireticulatus*
Flemingi Sow., *Marginifera n. sp.*, *Schiz-
onata* Mart., *Orthothetes arachnoidea* P
nistria Phill., *Spirifer mosquensis* Fisch
bigua Sow., *Reticularia lineata* Mart.,
tiliformis Moell, *Aviculopinna*, *Naticop*

Psammites et schistes argileux.

Couche de houille, épaisse de 1,23 m.

- 51) Schistes charbonneux gris foncé, renfermant u
d'un calcaire compact gris foncé, de 0,7
Les schistes et le calcaire contiennent:
nincki Vern., *Pr. semireticulatus* Mart
Sow., *Marginifera n. sp.*, *Schizopho*
Mart., *Rhipidomella Michelini* L'Eve
crenistris Phill., *Meckella eximia* E
mosquensis Fisch., *Reticularia lineata*
tiliformis Moell, *Aviculopinna*, *Naticop*

Mart., *Allorisma clava* McCoy, coquilles de *Temocheilus* etc.

Psammites et schistes argileux, vers le bas sableux.

Couche de houille, d'environ 0,7 m. d'épaisseur.

Schistes argileux gris et noirs, avec concrétions de sphérosidérite argileux et couches intercalées de psammites.

Calcaire compact gris foncé, avec concrétions siliceuses; forme deux couches séparées par un schiste argileux. A Lissitchansk, le calcaire repose sur un mince lit de houille qui acquiert l'épaisseur d'une couche exploitable dans les terrains des mines Petro-Marievsky et près de la station Marievka, dans les puits de M-rs. Kornew, Chipilow et C-ie.

On a rencontré dans le calcaire: *Productus semireticulatus* Mart., *Marginifera* n. sp., *Spirifer mosquensis* Fisch., *Reticularia lineata* Mart., *Bradyina nautiliformis* Moell., restes de *Conocardium* etc.

Schistes argileux, avec concrétions de sphérosidérite, alternant dans les couches supérieures avec des psammites.

Couche de houille de 0,7 m.

Schistes argileux intercalés d'une assise de psammite.

Couche de houille, épaisse de 0,75 m. à 1,6 m., avec intercalation de deux lits d'argiles.

Schistes argileux et psammites.

Lit de houille d'environ 0,16 m.

Schistes argileux, interstratifiés d'une couche de psammite.

ici la liste des formes provenant de la suite C₂ qui ont été déterminées par le prof. Schmalhausen:

Neuropteris gigantea Stb., *Neuropteris* cf. *Polissi* Les., *Neuropteris rarinervis* Bunb., *Neuropteris tenuifolia* Stb., *Neuropteris flexuosa* Stb., *Sphenopteris latifolia* Brgt., *Sphenopteris furcata* Brgt., *Pecopteris dentata* Brgt., *Pecopteris nervosa* Brgt., *Pecopteris muricata* Stb., *Pecopteris Pluckenati* Brgt., *Dictyopteris Brongniarti* Gut., *Dictyopteris Münsteri* Eichw., *Sphenophyllum crossum* Lindl. & Hutt., *Sphenophyllum saxifragae-folium* Goep., *Sphenophyllum obtusifolia* Brgt., *Sphenophyllum latifolia* Brgt., *Sternbergia approximata* Brgt., *Distrigophyllum bicarinatum* Un., *Annularia sphenophylloides* Un., *Annularia longifolia* Brgt., *Calamites Cisti* Brgt., *Calamites ramosus* Art., *Calamites varians* Stb., *Calamites principalis* Gein., *Lepidodendron laricinum* Stb., *Lepidodendron aculeatum* Stb., *Lepidodendron lycopodioides* Stb., *Lepidodendron selaginoides* Stb., *Lepidodendron oboratum* Stb., *Lepidophylloides laricinum* Stb., *Sigillaria elegans* Brgt., *Stigmarrha ficoides* Stb., *Asterophyllites equisetiformis* Brgt., *Decagonocarpus* sp.

partie occidentale du bassin, ou ils forment une bande qui varie avec le plongement plus ou moins fort des schistes, s'étend, à partir de la rivière Donetz, autour de tout le bassin, le long du pli Droujkovsko-Konstantinovska jusqu'au vallon Kalmious-Toretz.

Au point de vue de la faune, il est à remarquer que de la section moyenne disparaissent peu à peu, remplacées par des caractéristiques de la section carbonifère de l'Oural, du Timan et de l'Upper Coal Measures du nord.

Si l'on prend pour base les particularités faunistiques des horizons, la section supérieure du bassin du Donetz se divise naturellement en trois subdivisions ou suites, dont chacune est caractérisée par des calcaires qui conservent leurs caractères sur toute l'étendue du bassin.

C₁. La suite inférieure—C₁—de la section supérieure est encore d'assez nombreuses couches de calcaires, surtout dans la région du vallon Kalmious, de l'anticlinal principal (mine Korssoun) jusqu'à la couche „Tolsty“ vers le haut).

La suite présente, de bas en haut, les couches suivantes :
42—c—Calcaire compact gris foncé, en partie d'ocre, contenant une faune nombreuse et de formes appartenant aussi aux sections inférieures ; on y rencontre déjà beaucoup de nouvelles formes de la section supérieure. Nous en citerons : *scabriculus* Mart., *Pr. semireticulatus* Minckley Vern.; deux nouvelles espèces de *Chonetes* : *Chonetes aranulifera* Owen. *Chonetes* *L.*

épaisseur de 2—3 mètres. Outre les formes du calcaire que nous venons d'énumérer, on y trouve en profusion de grands spécimens de *Montselia cf. corculum* Kut. et *Spirifer supremosquensis* Nik.

Schiste.

Lit de houille, atteignant parfois l'épaisseur d'une couche exploitable.

Calcaire, d'une puissance d'environ 5 m., argileux, vers le haut jaune d'ocre, contenant une faune abondante.

Schistes argileux et arkoses à gros grain.

Psammites schisteux et lit de houille impure, épais de 0,7 m.

Schistes argileux et psammites, surmontés par une couche de houille. Le toit abonde en restes végétaux bien conservés.

Arkoses, grès schisteux et schistes argileux, avec intercalation de 0,15 m. de houille.

Calcaire, interstratifiés de calcschistes argileux dans lesquels on trouve: *Productus semireticulatus* Mart., *Pr. Konincki* Vern. Keys., *Pr. pygidiformis* de Kon., *Pr. aculeatus* Mart., *Spirifer mosquensis* Fisch., *Reticularia lineata* Mart., quantité de gastéropodes, conchifères et coraux.

Schistes argileux et psammites schisteux avec intercalations de houille.

Calcaire puissant, avec intercalations de calcschistes argileux, interstratifiés de lits de charbon. Quelques-unes des couches du calcaire sont de couleur blanche ou jaune d'ocre, d'autres gris foncé. On y a trouvé une faune abondante: *Productus nevadensis* Meek, *Pr. Cora* d'Orb., *Pr. semireticulatus* Mart., *Pr. Konincki* Vern. Keys., quelques nouvelles formes de *Marginifera*, *Spirifer mosquensis* Fisch., *Sp. striatus* Mart., *Sp. rectangulus* Kut., *Chonetes granulifera* Owen, *Ch. dalmanoides* Nik., *Diclasma plicu* Kut., *Camarophoria pinguis* Waag., *Derbya aff. grandis* Waag., *Enteleles Lamarcki* Fisch., *Reticularia lineata* Mart., *Fusulina ventricosa* Meek, (en masse), beaucoup de bryozoaires et de coraux.

Schistes argileux, passant par places en psammite schisteux, avec deux couches subordonnées de charbon, l'une de 0,25 m., l'autre de 0,35 m. d'épaisseur.

Calcschistes argileux, avec concrétions de calcaire argileux, gypse et minerai de fer. On y trouve: *Marginifera* n. sp., *Spirifer mosquensis* Fisch., *Rhipidomella Pecosi* Marcou, *Productus semireticulatus* Mart.

Calcaire argileux gris ou gris jaunâtre, interstratifié de schistes et contenant: *Productus semireticulatus* Mart., *Pr. Konincki* Vern. Keys., *Spirifer mosquensis* Fisch., *Chonetes dalmanoides* Nik., *Orthothetes crenistria* Phill., quantité de conchifères, gastéropodes et bryozoaires.

- 33) Calcaire, épais de 0,7 m., à *Spirifer mosquensis* *Reticularia lineata* Mart., *Productus semir* Mart., *Bradyina nautiliformis* Moell., *Schwag* Au-dessus viennent: argile schisteuse violacée, schisteux avec lits de charbon, psammites.
- 32) Calcaire dolomisé à *Productus Cora* d'Orb. (beau) *Konincki* Vern. Keys., *Pr. semireticulatus* Mart., *bya regularis* Waag., *Orthothetes arachnoide* *Meekeella striatacostata* Cox, *Spirifer mosquensis* *Reticularia lineata* Mart., *Chonetes dalman*
- 31) Schistes charbonneux argileux, avec couche intercalée de charbon et lits de gypse.
- 30) Calcaire argileux jaune d'ocre et gris, intercalé schistes. Le calcaire renferme: *Productus Konin* Keys., *Pr. semireticulatus* Mart., *Spirifer n* Fisch., *Orthothetes arachnoidea* Phill., *Derby* *laris* Waag., *Schizophoria resupinata* Mart. *pinna Ivanitski* Vern., quantité de conchifères ropodes.
- 29) Schistes sablo-argileux, avec lits de gypse et de fer et schistes charbonneux argileux. En dessus couche de houille, épaisse de 0,45 m.
- 28) Schistes argileux analogues aux précédents. Couche de houille de 0,7 m.
- 27) Schistes argileux, gris ou violacé; calcaire gris foncé 0,5 m.; psammite schisteux.
- 26) Calcaire gris d'une épaisseur d'environ 1 m., très tenant: *Productus semireticulatus* Mart., *Spi*



mon. Marcon, *Reticularia lineata* Mart., *Euphemus Urvii* Flem., *Griffithides scitula* Meek et Worth. (en grande quantité), beaucoup de conchifères, gastéropodes, coraux et bryozoaires.

Les formes végétales de l'horizon C₁ notons les suivantes dé- par le prof. Schmalhausen et N. Grigoriev:

Neuropteris obtusiloba Brgt., *Pecopteris nervosa* Brgt., *Pecopteris Oyatkes* Brgt., *Pecopteris muricata* Stb., *Neuropteris gigantes* Stb., *Neuropteris rarimeris* Bunb., *Neuropteris heterophylla* Brgt., *Alloopteris Grandini* Brgt., *Alloopteris lonchitica* Ung., *Calamites Succovi* Brgt., *Lepidodendron lycopodioides* Stb., *Sphenophyllum emarginatum* Brgt., *Sphenophyllum saxifragaeifolium* Goepf., *Sphenophyllum cereum* Lindl et Hutt., *Sigillaria comptaechia* Wood., *Sigillaria ovata* Stb., *Sigillaria dentellata* Brgt., *Sigillaria elegans* Brgt., *Sigillaria transversalis* Brgt., *Sigillaria comulata* Weiss var. *striata* Weiss, *Cordaites principalis* Geinitz, *Cardiocarpus cf. Boulayi* Zeil., *Trigonocarpus Noeggerathi* Brgt., *Lepidostrobus variabilis* Br., *Lepidophyllum lanceolatum* Br.

La deuxième suite — C₂ — est séparée d'une manière très distincte de la suite C₁ par le calcaire 23. Cette subdivision ne contient que deux ou trois couches de charbon, notamment dans les horizons inférieurs, assez puissantes pour mériter d'être exploitées. Les autres lits de charbon sont tous minces. Sous le rapport de la faune, la suite est intéressante par la prépondérance, parmi les fossiles, des formes caractéristiques pour le carbonifère supérieur de l'Oural, du Timan et de l'Amérique.

La suite se compose, dans l'ordre ascendant, des couches suivantes:

Schistes argileux et arkoses friables, avec intercalations de psammite et d'argile rouge et verte. Dans les arkoses on trouve de nombreuses tiges d'*Araucaria*. Les schistes renferment un lit de houille.

Calcaire gris clair, pétri de petits gastéropodes, de foraminifères (*Fusulina gracilis* Meek., *Bradyina nautiliformis* Moell.), et de restes de *Productus Cora* d'Orb., *Pr. semireticulatus* Mart., *Sp. cf. Kleinii* Fisch. (en très grande quantité), *Marginifera cf. pusilla* Schellw. etc.

Arkoses friables gris verdâtre, schistes sablo-argileux et schistes argileux différemment colorés. Ces derniers sont interstratifiés de marnes à *Pseudomonotis radialis* Meek (non Phill.), *Bellerophon percarinatus* Conrad, *Discina missourensis* Schum., restes de *Schizodus* etc.

Ensuite viennent un psammite finement feuilleté, des schistes

argileux et un grès arénacé. Les schistes renferment parfois de la houille exploitable.

- 19) Calcaire (0,7 m.), couché sur le grès arénacé. Les couches sont riches en fossiles: *Productus Cora* d'Orb., *Productus reticulatus* Mart., *Reticularia lineata* Mart., *Murchisonia* Walc., *Pseudomonotis radialis* Meeus, *Carbonaria* Cox, *Macrochilina* aff. *mediocris* et Worth., *Naticopsis Wheeleri* Swall. etc.
 - 18) Schistes argileux et arkoses friables.
 - 17) Schistes argilo-arénacés et argileux avec couches minces de calcaire à *Productus semireticulatus* Mart., *Marginifera mosquensis* Fisch., *Marginifera n. sp.*, *Reticularia lineata* Mart., *Allorisma subcuneata* Meek.
 - 16) Argile schisteuse d'un rouge vif ou d'un vert clair, alternant avec des grès calcareux et de calcaire argileux rougeâtre. Fossiles trouvés: *Productus semireticulatus* Mart., *Productus* sp., *Marginifera n. sp.*, quantité de coraux, bryozoaires, crinoïdes.
 - 15) Schistes argileux, par places charbonneux, arkosés, recouverts par des schistes argileux jaunes et gris. Les schistes sont intercalés de minces couches de calcaire contenant de grosses fusulines.
- C₃. La suite supérieure—C₃—ne contient point de charbon propres à l'exploitation, toutes étant trop minces. Cette suite, d'une puissance dépassant 1,000 mètres, se compose de la succession de couches suivante, de bas en haut:
- 14) Calcaire gris clair avec noyaux siliceux. Il est riche en abondance des fusulines (*Fusulina Verneuli* d'Orb.) et de *Productus Cora* d'Orb., *Marginifera n. sp.*, *Marginifera uralica* Tschern. (beaucoup), *Chonetes* sp.

Schistes argileux, interstratifiés de minces lits de charbon, de sphérosidérite argileux et de calcaire argileux. Le calcaire contient: *Productus semireticulatus* Mart., *Marginifera n. sp.*, *Spirifer fasciger* Keys., *Rhipidomella Pecos* Marcou etc.

Calcaire dolomisé compact à *Productus punctatus* Mart., *Pr. semireticulatus* Mart., *Pr. tenuistriatus* Vern., *Pr. Cora* d'Orb., *Chonetes uralica* Moell., *Enteleles carnicus* Schellw., *Ent. Lamarcki* Fisch., *Spirifer cameratus* Morton, *Bellerophon aff. crassus* Meek & Worth., *Fusulina ventricosa* Meek etc.

) Arkoses friables et schistes sablo-argileux.

) Calcaire à *Fusulina Verneuili* Moell., *Chonetes uralica* Moell., *Productus nevadensis* Meek., *Pr. scabriculus* Mart., *Pr. tenuistriatus* Vern., *Pr. Konincki* Vern. Keys., *Derbya senilis* Phill., *Meekella striatocostata* Cox, *M. eximiaeformis* Toulou, *Spirifer fasciger* Keys., *Allorisma subcuneata* Meek & Hayd. etc.

) Grès micacés, grès argileux, arkoses friables et argiles grises ou rouges, le tout alternant fréquemment.

) Calcaire à *Productus nevadensis* Meek, *Pr. semireticulatus* Mart., *Pr. scabriculus* Mart., *Derbya senilis* Phill., *Enteleles cf. Lamarcki* Fisch., *Meekella striatocostata* Cox, *Allorisma subcuneata* Meek & Hayd., *Bellerophon crassus* Meek & Worth., *Fusulina Verneuili* Moell. etc.

) Arkoses friables, avec lits d'argile rouge ou verte.

) Puissant calcaire interstratifié d'argile calcarifère rouge. Par places le calcaire se compose en entier de coraux. En général il abonde en fossiles: *Marginifera uralica* Tschern., *Proboscidea genuina* Kut., *Chonetes uralica* Moell., *Spirifer fasciger* Keys., *Sp. supramosquensis* Nik., *Sp. optimus* Hall, *Sp. rectangulus* Kut., *Metzelia cf. corculum* Kut., *Camarophoria plicata* Kut., *Nothotyris nucleolus* Kut., *Athyris Royssii* l'Eveil., *Enteleles carnicus* Schellw., *Meekella striatocostata* Cox, *Fusulina prisca* Ehrenb., *F. Verneuili* Moell., etc.

) Schistes sablo-argileux et arkoses friables.

Schistes argileux, avec concrétions de sphérosidérite argileux, superposés à un calcaire gris clair, puissant de 1,3 m., très riche en fossiles: *Productus alternatus* Norw. et Pratt., *Pr. praepermicus* Tschern., *Pr. artiensis* Tschern., *Pr. Cora* d'Orb., *Pr. lineatus* Waag., *Pr. Konincki* Vern. & Keys., *Pr. cf. Abichi* Waag., *Chonetes aff. variolaris* Keys., *Chonetes uralica* Moell., *Rhipidomella Pecos* Marcou, *Marginifera uralica* Tschern. (en grand nombre), *Enteleles carnicus*

Schellw., *Spiriferina cristata* Schlo

Wheeleri Swall., *Spirifer fasciger* Keys

Cette dernière suite des dépôts carbonifères conti
d'après N. Grigoriev, les restes végétaux suivants:

Asterophyllites equisetiformis Brgt., *Calamost*

Schenk, *Annularia longifolia* Brgt.,

tuberculata Weiss, *Annularia sphenophylloides*

Calamites Cistii Brgt. (?), *Calamites* g

Pinnularia columnaris Lind. & Hutt.,

erosum Lind. & Hutt., *Sphenophyllum* s

Stern., *Sphenophyllum emarginatum* Br

Böckongiana Weiss, *Sphenopteris* (*Diplo*

Stur, *Pecopteris arborescens* Sch., *P*

Sternb., *Pecopteris unita* Brgt., *Pecopte*

Sch., *Pecopteris abbreviata* Brgt. (?), *Coll*

acsonianum Lesq. (?).

Le caractère tectonique de la partie sud du i
région du développement de la section inférieure du
des dépôts du dévonien supérieur, diffère essentielleme
plissé des sections moyenne et supérieure des dépôts
bassin du Donetz: alors que dans la première de ces
sément joue un rôle secondaire, et qu'avec une incli
ment faible des couches prédomine le type des „graben
rejets, nous voyons dans les parties plus septentrional
de dislocations très complexes, avec prépondérance de
voûtés en forme de coupoles qui, à leur tour, sont s
par des flexures, des rejets et des failles. Les plis se
lement du NNW au SSE. Ils ont ordinairement ceci
l'aile, tournée vers le N, offre une pente douce, tandi
née vers le S, est abrupte. Dans la partie nord du
principal, près de son contact avec les dépôts crétac
plus petits, mais le plissement est plus intensif, plus

dehors de ces failles locales qui sont d'une grande importance. L'éclaircissement de la tectonique des différents espaces et la régularité des terrains, on en observe d'autres s'étendant sur un rayon plus grand. Comme exemple d'une telle faille, nous citons un rejet en même temps vertical et longitudinal, nous citons que l'on a suivie sans interruption depuis la station Popasna vers le rayon des mines Pétro-Marievsky, le long de la rive gauche du Lougan, entre les mines Maximow et celles de la Société d'Ekaterinavsk; de là elle se dirige par Werkhne-Kamychevsk, entre Krinitchnaïa et Tchoutovka, à travers la propriété du village Igorouky, vers le village Golouinovka. La même faille se poursuit entre la mine Rodakovsky et les terres appartenant au village Wassilievka, coupant le chemin de fer entre les villages Bourievskaya et Biélaïa, pour disparaître sous les dépôts crétaux du village Tchchéglouka sur la rivière Biélaïa. (Une partie de la faille est indiquée sur la carte pl. B).

Un système de failles semblables est d'une grande importance pratique. Il permet d'expliquer le fort dépècement des couches, dans les terrains houillers, par la présence de grandes failles qui les accompagnent de la brisure et de l'écrasement des dépôts sur un rayon plus ou moins considérable.

En parlant de la tectonique des dépôts carbonifères, nous devons encore mentionner les glissements qui rendent compte de certains phénomènes que l'on observe dans la structure des plis elliptiques (con-

étude des travaux miniers souterrains nous montre clairement que dans la formation des plis, les roches, composant la partie supérieure de la voûte, glissent sur le plan des couches du noyau pour ainsi dire en arrière. Cela se remarque d'une manière caractérisée dans les masses filonnaires traversant le plan des couches sous un angle plus ou moins grand. La coupure de ces filons dans des couches et les rayures produites sur ces dernières parlent, nous disent à l'évidence dans quelle direction les parties ont glissé en tel ou tel cas.

Il est indubitable que les forces qui ont conditionné le soulèvement des hauteurs du Donetz ont agi durant une période de temps moins longue. Les dépôts carbonifères, permien, jurassique, les crétacés supérieurs se montrent fortement mais inégalement pliés et ceux du tertiaire seuls ont gardé leur position pri-

En venant maintenant à l'examen de la disposition bathologique des couches de houille et à leurs qualités, nous dirons tout d'abord que les explorations détaillées, commencées en 1892, ont confirmé l'opinion de Murchison sur les horizons de ces couches. Elles ont montré que les couches de charbon propres à l'exploitation dans le bassin du Donetz, ne commencent que dans les parties inférieures de la section supérieure des dépôts carbonifères et qu'elles ont leur grand développement dans la section moyenne du sy-

système. Effectivement, les couches exploitables apparaissent à partir de celle, marquée sous le N° 22 dans la coupe que nous avons donnée plus haut, et les plus productives, que nous avons déjà dit, se trouvent dans les horizons plus intérieurs. L'horizon inférieure peut être considérée comme ne possédant pas de bons d'exploitation avantageuse, à l'exception de deux couches (C₁), exploitées par les paysans.

Notre schéma montre aussi à l'évidence que le nombre propre à être exploitées, même dans les conditions les plus favorables, ne dépasse pas une trentaine. En général, la quantité, la puissance et la qualité des couches, présentent de grandes variations. Si l'on prend pour point de repère la coupe que l'on observe à Lissitchansk, on voit que dans les rayons plus méridionaux que dans les plus septentrionaux, que d'autres deviennent moins nombreuses, même qu'il en apparaît de nouvelles. Comme exemple, on peut citer les dimensions suivantes de la puissance totale des couches dans deux rayons différents, entre les horizons 42 et 57 de la coupe. Dans les puits de la Société Goloubovskaya et de la Société Pétro-Marievskoié, les 5 couches exploitées ont une puissance totale de 4,5—5 m., alors que les 9 couches situées plus au nord, exploitées dans les environs de Lissitchansk, ont une puissance totale de 8—8,5 m. Grâce à notre schéma détaillé des dépôts du Donetz, il nous est parfaitement possible, comme nous l'avons vu, de donner la synonymie de toutes les couches de charbon, sous diverses appellations, dans les différents rayons, et de constater le fait curieux du changement, dans les différents rayons, de la qualité du charbon d'une même couche. En même temps et même suite dans la direction horizontale, il est persuasif que les couches qui appartiennent au premier type de la classification de Gruner, passent plus loin par tous les types de la classification. Notons encore le fait curieux du changement





ogique des environs de la station Wolyntsevo.

Echelle 1/42000.



peut citer le fait de la fréquente superposition immédiate, couches de houille, de calcaires et de schistes contenant une abondante marine.

En finissant avec l'esquisse des dépôts carbonifères du bassin du Don, disons encore quelques mots sur le caractère des minéraux métallifères, notamment des gisements d'or, de mercure, de zinc, de plomb et de fer, exploités dans la région.

La découverte, dans le bassin, de l'or¹⁾ se rapporte à un temps très récent (1893). Les gîtes se trouvent dans le territoire des cosaques au sud de la ligne Débaltséwo-Zwériéwo, dans une rangée de monts Nagolny-Kriaj. Le premier point où on a rencontré l'or, Nagolgor, est situé près du village Nagoltchik; le second point se trouve à une quinzaine de verstes au sud-est de Nagoltchik, immédiatement au sud du village Bobrik-Pétrowskaïa. Là comme ici, le caractère

de la structure du terrain est très simple et à peu près le même. Les points prédominants des grès micacés, tantôt grossièrement stratifiés, alternant avec un schiste argileux gris. Les horizons sont des plis anticlinaux très nets. Elles sont traversées par une série de filons quartzeux parallèles, presque verticaux, qui ont leur direction indépendamment de l'inclinaison des roches en place. Les filons contiennent en forte proportion de l'oligiste brun, de la blende et de rares inclusions de galène et de blende. Dans les filons le quartz des filons est associé à de la calcédoine dont la décomposition a évidemment donné naissance à l'oligiste brun des horizons en place. La puissance des filons oscille entre quelques centimètres et quelques mètres. En suivant la direction des filons, il est facile d'apercevoir une série de petits rejets qui se sont produits sur le plan de leur direction, coïncidant avec le plan de leur stratification.

Les parties supérieures des filons, vers la surface du sol, on trouve un quartz plus abondant; plus bas celui-ci devient plus rare, tandis que la teneur en oligiste augmente, comme l'ont démontré les analyses, dans la masse de la roche minéralisée.

Actuellement l'exploitation des gîtes est encore au début, et ce qui est le traitement en gros du minerai qui en montrera la valeur.

Le Nagolny-Kriaj aussi se concentre le rayon du développement des minerais d'argent, de zinc et de plomb²⁾.

La découverte des gisements zincifères et plombifères date de la fin du XVIII^e siècle (1795), mais la première reconnaissance n'en a été faite que récemment.

¹⁾ Tschernyschew. Ueber die Goldlagerstätten im Nagolny-Kriaj Lande der Donschen Kosaken. Verhandl. d. Kais. Mineralog. Mus. zu St. Petersburg. Bd. XXXIII. 1895. Protoc. p. 36 (en russe). Pour des détails plus amples nous renvoyons à: Th. Tschernyschew. Sur les gisements de plomb et de zinc dans la chaîne Nagolny-Kriaj. Journ. d. mines. 1893. N° 2. — Th. Tschernyschew et G. Rodikow. Compte rendu de l'examen des gisements des minerais de plomb et de zinc, exploités par M. Glébow dans la chaîne Nagolny-Kriaj. Journ. des Mines Russes. 1895. N° 2 (en russe).

faite qu'en 1827. Les premiers puits d'exploitation, près du village Nagolnafa (à 7 verstes au sud de la et dans les environs du village Essaoulovka, près d tchik, furent abandonnés dès 1834. Depuis lors plusieurs ploration furent faites, tant de la part du gouvernement des particuliers; elles échouèrent toutes, soit puiement des capitaux, soit à cause de l'insuffisance de techniques et minières. Vers 1890 la trouvaille de quel d'embolite dans les environs du village Nagoltchik re sur le minerai de la chaîne Nagolny. Des entreprener l'exploitation fit un pas en avant. Actuellement une ouverte près du village Nagoltchik et le puits près du est remis en exploitation. Le caractère des roches q minerai d'argent, de zinc et de plomb, est analogue à aurifères. Les grès carbonifères et les schistes, roche dans cette contrée, présentent une série de plis elliptiq pliés par des failles et des flexures. La répartition de ces roches peut être ramenée aux types suivants:

- 1) Remplissage bréchiforme des fentes produites (Minerai argentifère de Séménovsky-Bou Nagoltchik).
- 2) Filons quartzeux, partiellement calcaro-spat, sant les fentes qui plongent en sens inver des roches encaissantes (plusieurs gîtes zi bifères, trouvés par investigation près de
- 3) Filons traversant obliquement le plan des ro (gîtes zincifères et plombifères près du vill
- 4) Filons-couches remplissant presque en totalit tifères qui se trouvent dans des schist redressés. Le minerai est groupé près de failles. (Ancienne mine près de Nagoln

e dans la région du développement des dépôts carbonifères, tandis qu'ils sont moins abondants dans les sections supérieures du système. En général, on peut dire que non seulement la provision de minerai, mais aussi sa qualité sont trop insuffisantes pour jouer un rôle sérieux dans l'industrie, se développant seulement dans la Russie du midi.

Passons maintenant aux dépôts superposés dans le bassin du Don des dépôts carbonifères typiques. Ces dépôts plus récents correspondent, géologiquement et bathologiquement, au permo-carbonifère de l'est de la Russie du nord. Ils sont représentés de la manière caractéristique sur les bords de la cuvette de Bakmout. Voici l'ordre de leurs couches en commençant par celle qui repose directement sur le calcaire supérieur de la section supérieure C₃ (1).

) Schistes argileux et puissantes arkoses, contenant un grand nombre de tiges de crinoïdes.

Schistes argileux et sablo-argileux diversement nuancés, passant à un psammite schisteux.

) Calcaire dolomisé blanc jaunâtre à *Entelites hemiplicatus* Hall, *Ent. carnicus* Schelw., *Nothotryis nucleolus* Kut., *Dielasma hastata* Sow., *Productus semireticulatus* Mart., *Pr. necadensis* Meek., *Spirifer supramosquensis* Nik. etc.

) Schistes argileux passant à un grès schisteux friable, contenant d'énormes concrétions ovoïdes d'un grès calcaireux.

Calcaire sableux, très compact, ferrugineux, à *Productus nebrascensis* Owen., *Pr. semireticulatus* Mart., *Dielasma hastata* Sow., nautilides du groupe *tuberculati*, quantité de conchifères et gastéropodes.

Schistes argileux gris, blancs ou rouges, avec minces lits intercalés de houille.

Grès friables avec concrétions lenticulaires de grès calcaire; schistes argileux gris verdâtre et rouges, avec mêmes concrétions et minces lits de houille dans la partie supérieure.

Calcaire très compact de couleur brun foncé (1—1½ m.) criblé de fusulines (*Fusulina Verncuili* Moell., *F. longissima* Moell.).

Schistes argileux, intercalés d'une couche de calcaire composé en entier de valves de *Myalina*.

Schistes passant à un grès.

) Calcaire passant à un grès calcaire et contenant *Productus inflatus* Mc. Chesney (en grand nombre), *Pr. nebrascensis* Owen, *Marginifera n. sp.*, *Derbya crassa* M. & H., *Athyris Royssii* Leveil., *Schizodus Wheeleri* Swall., *Pseudomonotis n. sp. cf. kazanensis* Vern., *Pleurophorus subcostatus* M. & H., *Nuculana bellistriata*

car. attenuata Meek, *Nucula Beyric*
Myalina Swallowi Mc Chesney, *Lima*
Edmondia aff. Murchisoni King, *Clin*
Hall, Bakevella bicarinata King, *Mono*
Gein., Allorisma aff. elegans King, *Po*
morpha Krot., *Polyphem. aff. inorn*
Orthoneta Salteri M. & W., *Naticopsis*
M. & W., Murchisonia n. sp., Loxone
M. & W., Aclisina robusta Stevens. etc

i) Schistes sablo-argileux, arkoses, schistes argi
 tre et rouge.

k) Calcaire argileux avec cavités remplies
 dessus du calcaire vient un banc énor
 puissantes arkoses, de schistes argileux
 gris, et de minces couches intercalées de
 leux gris. Des restes organiques n'ont
 dans les horizons les plus supérieurs: *P*
niformis Tschern., *Pr. inflatus* Mc. Cl
brascensis Owen, *Derbya crassa* M. & F
medialis M. & W., *Pseudomonotis n. sp*
Vern., Bellerophon Pachtussori Tschei
 Ensuite vient une assise formée de grès
 dâtre ou gris, contenant par places du m
 oxydé, d'argiles rouges ou vertes et de s
 gileux différemment colorés.

N. Grigoriew donne la liste suivante de
 recueillis dans les dépôts de la suite: *Aste*
setiformis Brgt., *Annularia longifolia* B
sphenophylloides Br., *Palaeostachya arb*
Pinnularia columnaris L et Hutt., *Sph*
jus Sch., *Sphenophyllum erosum* L. et
phyllum ovatifolium Stann. Sch.

Astarte permo-carbonica Tschern., *Bakewellia ceratophaga* Vern., *Myalina Swallowi* Mc. Chesney, *Modiolopsis* n. sp. cf. Vern., *Macrodon* n. sp., *Pseudomonotis* n. sp. cf. *kazancensis* Schizodus Wheeleri Swall., *Dielasma elongata* Schloth., *striatocostata* Cox, *Martinia Clannyana* King, *Productus* Vern. & Keys, *Metacoceras Tschernyschewi* Tzwet., *Tem-* n. sp. etc.

Le horizon supérieur de l'assise du permien inférieur est formé par des marnes dolomitiques d'un gris jaunâtre, caractérisés par la présence de très nombreux *Productus Leplayi* Vern., accompagnés de *Prionoprion princeps* Ehrenb. dont les coquilles composent par places le calcaire. De plus on y trouve en abondance des nautilides (*Trematoceras*, *Asymptoceras*).

L'assise supérieure du permien du Donetz se compose d'argiles, de marnes rouges et vertes, et de grès friables auxquels sont mêlés du gypse, de l'anhydrite et du sel gemme (nous en parlons dans la description des itinéraires). Bathrologiquement, l'assise correspond en partie, si ce n'est toute, à l'assise inférieure du permien de la Russie orientale (voir les guides II et III).

Les dépôts permien se trouvent exclusivement dans la partie du bassin du Donetz où ils bordent le principal champ des dépôts carbonifères ou émergent en îlots isolés de dessous les dépôts jurassiques, ce qui a surtout lieu dans les vallées fluviales. Dans le bassin le permien ne se rencontre pas.

La coupe du paléozoïque du Donetz présente dans sa totalité une succession interrompue de couches, sans aucune intermittence de dépôt. La surface fortement érodée supporte transgressivement une suite de couches disloquée, en apparence dépourvue de fossiles, de grès calcaires, schistes, argiles et sables kaoliniques, recouvrant en discordance divers horizons des systèmes permien et carbonifère. Ces sables, argiles sont surmontés en concordance par des dépôts indubitablement jurassiques. Les niveaux inférieurs de ces derniers sont présentés par des schistes et grès, contenant parfois des restes de *Belemnites* du groupe *Belemnites tripartitus* et restes de *Harpoceras* voisin du *Harpoceras serpentinus* Schloth.: un supérieur, quel on a trouvé des coquilles d'*Ancylloceras*, voisin d'*Ancyllo- ifurcatum* Quenst. et des représentants du genre *Parkinsonia*. L'inférieur de ces deux horizons correspond au lias supérieur, le supérieur à la partie supérieure du bajocien.

Le lias haut viennent des calcaires jurassiques contenant dans l'assise la plus basse (callovien) des ammonites du groupe *Quenstedticeras* etc. Quant à l'assise supérieure des calcaires, les données dont on dispose jusqu'ici permettent d'y supposer la présence de l'oxfordien, peut-être du kimmeridgien, hypothèse qui ne pourra d'ailleurs être confirmée que lorsqu'on aura recueilli une faune d'ammonites plus complète.

Les dépôts crétacés sont représentés par une craie glauconieuse avec nombreuses concrétions, marne crayeuse micacée gris verdâtre, des sables glauconieux, contenant des noyaux de phosphorite et des cailloux de silex, des sables gris ou blancs ayant pour base une arénacée schisteuse. D'après les données connues jusqu'ici, on a des raisons de croire que les dépôts crétacés sont continus sur le jurassique et qu'ils sont nettement développés dans les cuvettes formées par les dépôts de charbon et carbonifères; sur la crête des anticlinales, du moins du champ houiller principal, on ne les trouve pas.

Jusqu'ici il n'a pas encore été possible d'établir l'âge exact des dépôts crétacés du Donetz. La présence du sénonien est constatée d'une manière indubitable, on ne peut pas dire du turonien, faute de données persuasives. Dans le champ houiller principal, dans la cuvette de Bakhmout du Donetz, vers le nord du développement continu des carbonifères, les horizons inférieurs des dépôts crétacés sont représentés par des sables glauconieux bruns, contenant des phosphorites et galets de silex et de quartz. Ce sable se place à la place de la craie glauconieuse, parfois à la place de la craie sableuse. Les sables bruns verdâtres renferment souvent des concrétions glauconieuses de forme lenticulaire et de dimension constante. Dans certains cas c'est l'inverse qui a lieu, c'est-à-dire des lenticules de sable se trouvent dans les horizons inférieurs.

Ces dépôts, généralement peu puissants, contiennent de rares restes organiques: *Exogyra haliotoidea* Sow., *V. quinqucostata* Sow., *V. notabilis* Münster., *Pecten lanceolatus* Lam., *P. membranaceus* Nils., *P. asper* Lam., *Spondylus* sp., *Terebratulina biplicata* Sow., *T. squamosa* Mant., *T. skensis* Hofm., *Rhynchonella latissima* Sow., *Rh.* sp.

La mucronata Schloth.) Une des coupes classiques pour la géologie fossiles. coupe décrite dernièrement par L. Loutouguin ¹⁾, offerte dans les horizons inférieurs d'un affleurement près du village de Krymskoïé sur le Donetz. Cet affleurement étant en même temps l'un des meilleurs de la série des dépôts tertiaires, nous en avons ici la succession des couches de haut en bas:

1) **Sables quartzeux blancs et jaunes, avec intercalations de grès ferrugineux et parfois de grès friables à gros grain.**

2) **Sables glauconieux blanc jaunâtre, interstratifiés de sables jaunes d'ocre. Les horizons supérieurs contiennent des concrétions de quartzite.**

3) **Sables argileux et glauconieux plus foncés, rubanés de bandes rouilleuses, avec passage, en bas, à une argile sableuse.**

4) **Les roches précédentes passent par transition insensible à un grès argilo-siliceux, d'un blanc grisâtre à l'état sec, vert grisâtre lorsqu'il est humide.**

5) **Grès glauconieux semblable, intercalé de grès à grain plus gros et contenant des concrétions siliceuses. Outre d'abondants *Cerriopora serpens* Eichw., on y a trouvé *Ostrea prona* Wood.**

6) **Grès semblables, mais à grain plus fin, avec lits intercalés argileux, passant en bas à la roche 7.**

7) **Marne crayeuse, abondant en *Spondylus Eichwaldi* Fuchs, *S. radula* Lam., *Pecten corneus* Sow., *P. idoneus* Wood, *Cerriopora serpens* Eichw., *Nautilus parallelus*, quantité de foraminifères etc.**

8) **Sable calcarifère glauconieux d'un brun verdâtre, avec concrétions de phosphorite et galets de silex. De gros cailloux de silex se trouvent au contact de cet horizon avec le suivant. Le sable contient des restes bien conservés de crabes (*Xanthopsis hispidiformis* Schloth.)**

9) **Sable glauconieux blanc grisâtre, cimenté par places en grès friable et intercalé çà et là de lits de marne crayeuse. Les lits de marne et de grès calcarifère s'observent surtout vers le bas. L'horizon est rempli d'une riche faune cénomaniennne bien conservée.**

10) **Marne glauconieuse à faune sénoniennne.**

Ainsi cette coupe nous montre les dépôts sénoniens (horizons 1—8) surmontés par une puissante assise de dépôts tertiaires. La transition insensible entre elles des roches tertiaires indique la continuité ininterrompue de leur dépôt. Quoique la division exacte des dépôts ne puisse être faite, vu l'insuffisance des données paléontologiques.

¹⁾ L. Loutouguin. Coupe géologique près du village Krymskoïé, d'Ekathérinoslaw (en russe). Bull. du Comité Géolog. Vol. XV, 1907, p. 37.

logiques, il est cependant très probable que la partie supérieure de la coupe est analogue à l'étage de Poltawa, que les horizons, y compris le grès à *Ostrea prona*, doivent être rattachés à l'étage de Kharkow, que la marne crayeuse est l'équivalent de la marne de Kiev à *Spondylus*, et enfin, que le sable à coraux est le grès de Boutchak du Dniepr. Des coupes semblables se trouvent dans d'autres endroits du bassin, le schème, établi par N. Sokolov, pour les dépôts du tertiaire inférieur de la Russie du sud, peut être appliqué aussi au bassin du Donetz. Avant le dépôt des dépôts du système tertiaire, les dépôts des systèmes plus anciens avaient été considérablement érodés, de sorte qu'à l'époque tertiaire le bassin présentait un relief très accidenté. De nos jours, la hauteur de la lisière des dépôts tertiaires, superposés en stratification normale à des dépôts plus anciens, varie dans des limites considérables, même sur de petites distances, des différences de 400 m. Souvent aussi on voit des rochers, constitués par des dépôts tertiaires, entourés de dépôts tertiaires. Le relief complexe et accidenté du fond du bassin, dans lequel s'est opéré le dépôt des sédiments tertiaires, doit également avoir été la raison des conditions tectoniques dans lesquelles ce dépôt s'est produit, de sorte que les conditions chroniques sont souvent loin d'être de composition pétrographique identique. Il résulte de là que la parallélisation des dépôts dans des conditions aussi compliquées, offre de grandes difficultés et ne peut point s'appuyer sur les seuls indices pétrographiques, qu'au contraire elle ne doit se baser que sur le rapprochement des données faunistiques.

Sous ce rapport, le dépôt le mieux caractérisé est la marne crayeuse de l'étage de Kiev. Plus pauvres, paléontologiquement, sont les grès siliceux et argileux appartenant en partie à l'étage de Kharkow. Les sables de l'étage



du Donetz. La voûte du pli s'observe près de la station Wola, où la suite C_2^3 forme l'horizon le plus bas de ceux qui y sont au jour. Les tranchées de la voie ferrée et les coupes nationales le long de la rivière Boulawin et dans plusieurs ravins et vallées permettent d'examiner en détail la constitution des dépôts carbonifères les plus productifs du bassin depuis la suite C_2^3 , et les plus importants au point de vue industriel. La coupe générale suivant la ligne B, en est représentée sur les fig. 1 et 2.

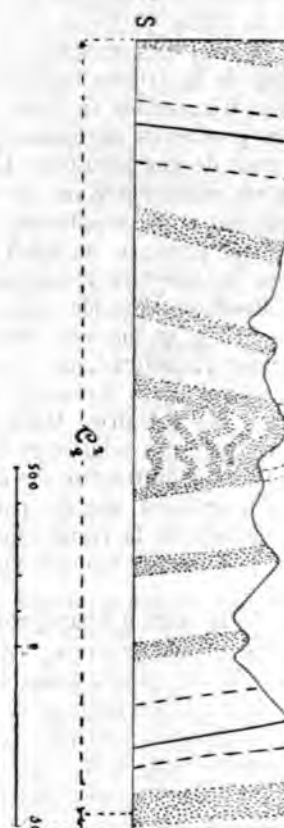
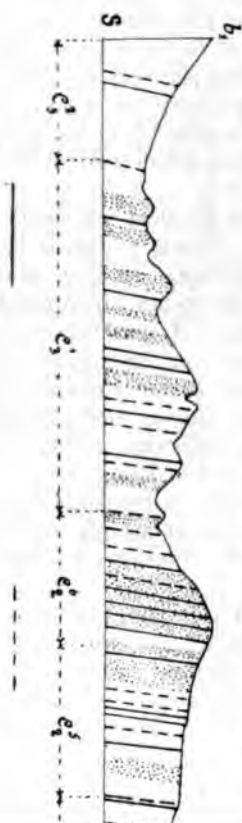
La région que nous considérons, surtout les alentours de la station Lyntséwo, présente un relief très accidenté, en intime liaison avec la structure géologique du terrain. Une série de chaînes dans la direction coïncide avec celle des roches (approximativement WW—SEE), et qui sont séparées par d'étroites vallées isoclinales surtout caractéristique. Ces chaînes sont en majeure partie composées de puissants grès fortement redressés, auxquels viennent rarement s'associer des calcaires, tandis que les vallons sont principalement constitués par des schistes et des grès schisteux, roches cédant à l'action destructive des agents de dénudation. En général, l'alternance des grès est une des particularités distinctives de cette région. Les calcaires de la région étant souvent métamorphosés en mica de fer, il n'est pas toujours facile d'en reconnaître les affleurements.

À partir de la station Khatsépétovka, la voie ferrée traverse successivement les dépôts compris entre C_2^3 et C_2^2 , inclinés vers NNE. La région est d'abord plane, mais bientôt viennent les chaînes menant plus haut. Dans la tranchée Z, ouverte dans une d'elles, on trouve des grès fortement redressés et des schistes, avec pendage vers N. Au commencement de la tranchée Y les grès plongent vers NNE, puis fin vers SSW. Dans cette tranchée on observe plusieurs petits accidents compliqués par des failles (schème fig. 3). Ce point-ci correspond au sommet de l'anticlinal.

Après la tranchée Z et dans la direction de la station Sadki, la voie ferrée traverse les dépôts carbonifères dans l'ordre ascendant à partir de C_2^3 . L'angle d'inclinaison des couches devient plus petit à mesure qu'on s'avance vers le sud.

La tranchée X qui coupe une grande partie de l'horizon C_2^3 , montre une alternance de grès, de schistes, de minces lits de charbon et de calcaire, avec pendage d'environ 90° , [ça et là avec recourbement isoclinal des couches. Les grès du talus affectent une stratification normale. La tranchée se termine par des grès qui vont s'étendre à une chaîne considérable, dans la direction de la rivière Boulawin. Ce talus forme la base de la suite C_2^3 . Une belle coupe de dépôts carbonifères plus récents se voit dans la rive gauche de la rivière Boulawin.

La suite C_2^3 est essentiellement formée de schistes et de grès qui passent en plusieurs rangées ressemblant à des plates-bandes. Les calcaires y sont peu représentés. Les couches subordonnées sont de l'ancien

Fig. 2. Coupe suivant la ligne bb_1 .

Conches de houille.

Calcaires.

NB: Les intervalles laissés en blanc sont des schistes

du demi-anthracite; la strate vée peut être observée dans le puits abandonnés, exploités par les paysans. Cette couche stratifiée d'un lit de schiste plus d'un mètre d'épaisseur brusquement, avec les roches es, vers le SSW.

au au-dessus de cette couche la suite C_2^1 composée de sept e calcaire gris foncé, différent de l'autre. Ce calcaire ne contient très petit nombre de fossi- lérés dans l'esquisse générale) s de couches de charbon ex-

suite C_2^2 présente de beaux ents dans les rives escarpées vière Boulawin. Les grès et très inclinés forment ici des abrupts. Les charbons de l'ho- ssent, vers l'est, à de l'antra- s l'ouest, la teneur en matières y augmente peu à peu. Le la suite est formé par un cal- is contenant des concrétions s noires. Le chemin de fer , partie supérieure de C_2^2 et la nférieure de C_2^2 par une tran- s du puits de M. Joukovsky. suite C_2^2 affleure nettement dans s escarpées de la Boulawin. Les ouches inférieures de charbon autrefois exploitées, près de la dans une série de petits puits

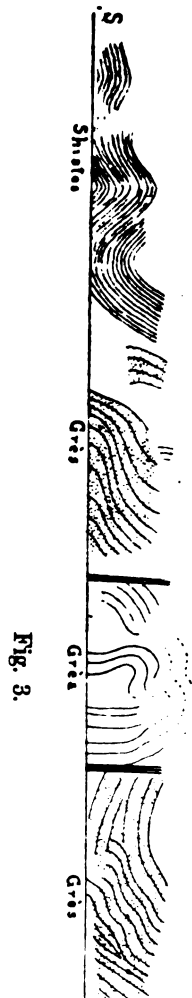


Fig. 3.

Société, est située à l'ouest du chemin de fer; elle expose des couches de houille trouvées dans les 3 suites. Les exposées dans la région par l'ingénieur des mines A. Fénier, que la teneur en matières volatiles diminue graduellement vers l'est et que dans cette direction le charbon passe de l'anthracite. De plus, dans chaque coupe perpendiculaire de l'anticlinal, les couches les plus voisines de l'anticlinal contiennent moins de matières volatiles que celles des horizons plus éloignés; par exemple, sur la rive gauche de la Boulawin, les couches C_2^1 sont déjà de l'anthracite, tandis que les couches C_3^1 et C_4^1 offrent encore des charbons à coke et même à gaz.

La suite C_2^1 renferme quelques lits de calcaire dont sont énumérés dans l'esquisse générale.

La suite C_3^1 contient également quelques couches de calcaires (voir la liste des fossiles dans l'esquisse générale); la plus remarquable, le N° 36 de la coupe générale, s'étend sur une épaisseur assez haute, d'une puissance d'environ 3 mètres. Dans la suite C_4^1 renferme jusqu'à 7 couches de houille exploitable.

Le calcaire 23 de la coupe générale qui sépare les suites C_2^1 et C_3^1 , se présente ici sous l'aspect d'une mince couche intercalée, visible dans les affleurements. En général, dans la suite C_4^1 , essentiellement de schistes et de grès schisteux, les calcaires ne sont que des intercalations peu importantes. Seul le calcaire 23 a une puissance d'environ 2—3 mètres et fait une saillie vers le sud de laquelle se trouve immédiatement la grande usine de la Société russo-belge ¹⁾.

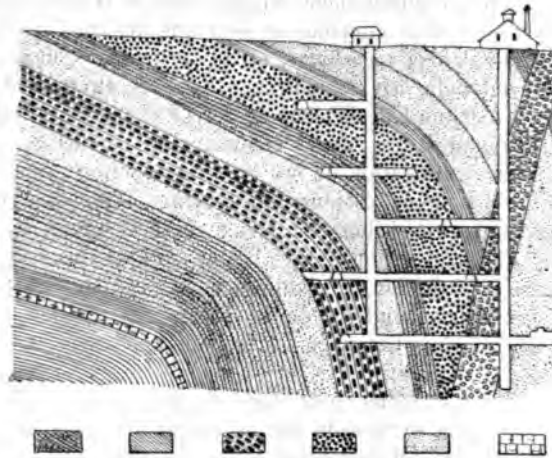
A partir de ce calcaire la contrée devient plus plate; les points plus élevés ne s'y voient distinctement nulle part; on ne peut aller qu'un peu à l'ouest du chemin de fer, le long de la rive gauche, mais la visite de cet endroit n'entre pas dans le programme de l'excursion.

Les gîtes de mercure, découverts en 1879 par l'ingénieur des mines A. Minenkow, sont situés à 4 verstes vers l'ouest de la station Ivorka, dans la zone de l'anticlinal principal dont nous avons parlé dans l'esquisse générale de la tectonique du bassin du Donetz. La région où l'on exploite actuellement le minerai de mercure présente un plongement général vers la Balka-Jéliéanala et renferme trois voûtes. Sur l'un de ces plis se trouve le puits „Sophia“, la mine la plus importante; sur la voûte du deuxième pli se trouvent les travaux ouverts pour l'exploration du „filon Téléphone“, sur celle du troisième les — „Grandes explorations“. Ces coupoles s'étendent dans la direction est—ouest et se terminent encore dans les limites du terrain actuel. Le fait que le flanc nord des coupoles „Sophia“ et „filon Téléphone“ et la pente sud de la voûte „Grandes explorations“ sont régulièrement dirigées vers le WNW, permet d'admettre que toutes les trois coupoles ne sont que des plis particuliers du grand anticlinal déjà mentionné, et de la structure duquel les géologues auront déjà pris connaissance dans les environs de la station Wolyntséwo. Au nord de la coupole percée par le puits Sophia se trouvent nettement des grès blancs contenant des inclusions fari- gées de kaolin. La stratification de ces grès est régulière, sans que la petite séparant la coupole „Sophia“ de la voûte „Téléphone“ y ait exercé la moindre influence visible. La même chose s'observe au sud de la coupole des „Grandes explorations“: là une suite de roches houillères s'étend, sans interruption et régulièrement stratifiée, du puits (Société de l'industrie houillère de la Russie du midi) vers la surface de houille de la même Compagnie à laquelle appartient la mine de mercure.

La structure de ces coupoles peut être expliquée en partie par les observations faites à la surface du sol, en partie par les anciennes exploitations à ciel ouvert, en partie par les travaux souterrains.

Si l'on s'éloigne de la ligne du méridien qui traverse la nouvelle mine à dynamite, le long des saillies nettement marquées des grès mé- dières, on voit clairement, à la coupole „Sophia“, à l'ouest des amas de grès qui ont déjà passé par les fours, comme ces deux saillies changent de direction de NW 330° qu'elle était, en S, pour faire ensuite un angle de 90° et aller contourner la coupole du côté est. En se dirigeant plus loin le long des saillies de grès, on les voit faire un nouveau coude et plonger vers le sud. Puis, après avoir traversé le village minier, elles vont prendre la direction N—S, avec un léger déviation vers E, et contourner la coupole du côté est. Un banc de grès argileux, renfermé entre les deux bandes de grès, les accompagne constamment. A l'est de la coupole, entre les maisons et le village Stortchéwaïa, affleurent des schistes argileux superposés à la bande sphérique des grès. Du côté nord, la coupole „Sophia“ est coupée par une fracture nettement prononcée, dite „croiseur“, qui fait un angle d'environ 10 degrés avec la direction des roches dans le puits Sophia. À la surface du sol, la direction de la fracture est distinctement mar-

quée par un effondrement au fond d'un ancien étang
écoulée dans la mine. Plus loin, la ligne de la fractur
sous du bâtiment des chaudières à vapeur. Actuelleme
constatée dans la coupole Téléphone qu'elle coupe à l'
occidentale du filon „Téléphone“. Ce sont surtout les
rains qui permettent d'étudier la structure de cette
plonge dans le sens opposé à l'inclinaison des roches
Sophia: alors que celles-ci sont inclinées vers le no
plonge vers SSW. Son épaisseur atteint çà et là 12 m
la structure, c'est une brèche typique de frottement:
aux arêtes tranchantes et arrondies de quartzites et
mêlés à une masse broyée en poussière, provenant des



structure du croiseur explique la pénétration facile dans les abondantes eaux venant entraver les travaux souterrains du croiseur. Quant aux fentes obliques se dirigeant dans le méridien, nous en parlerons plus bas.

Le pôle du „filon Téléphone“ se dessine à l'est de la Balka. Le côté sud-ouest en est enveloppé par les grès affleurant le vallon. Ces grès correspondent aux grès périphériques de Sophia. Le rapport mutuel entre ces grès et les schistes ouvrent fait supposer l'existence, près de la Balka-Stortché, d'une fente de rejet se dirigeant du N au S et séparant la coupole „Téléphone“ de la coupole „Téléphone“. A en juger par les travaux

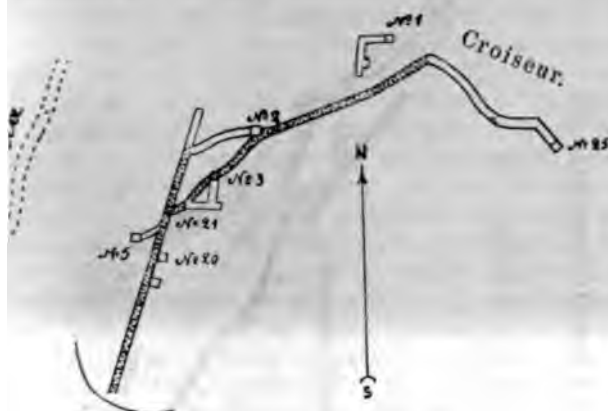
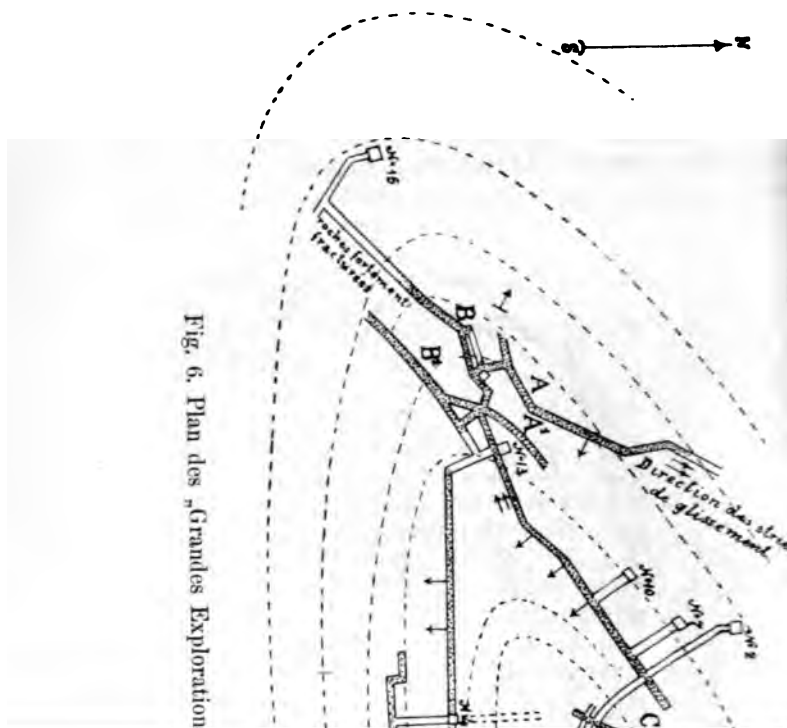


Fig. 5. Plan de la coupole „Téléphone“.

, les grès de la partie périphérique de la coupole „Téléphone“ semblent être suivis de schistes et de grès, identiques à ceux qui se trouvent dans la coupe de la coupole „Sophie“. La coupole „Téléphone“ est traversée, à peu près dans la direction longitudinale, par une fente minéralisée, et c'est cette fente minéralisée qui est le „filon Téléphone“. Les épontes du filon font clairement remarquer l'absence de schistes dans les roches contiguës. Cette dissymétrie s'observe encore dans les lits intercalés de houille et les plans de stratification qui ne coïncident pas des deux côtés du filon, tantôt n'ont point de correspondance dans la paroi opposée. A l'extrémité sud-ouest, le filon „Téléphone“ est nettement coupé dans le sens du plan du schiste, tandis qu'à la partie nord-est il tourne peu à peu vers l'est (voir le plan géologique de la coupole Téléphone, fig. 5) pour aller rencontrer, sous un angle droit, le croiseur dans lequel il disparaît.



La coupole des „Grandes explorations“ est séparée de la voûte „Sophia“, située vers le nord, par un vallon à pentes douces. Le flanc ouest de la voûte des „Grandes explorations“ est nettement marqué par une série de grès métallifère, entamé en partie par les anciens travaux de construction à ciel ouvert, en partie par des carrières, ouvertes pour l'extraction du grès qui sert de matériel de construction. La coupe horizontale de la partie ouest de la voûte présente la forme d'une lanterne. Vers l'est la coupole s'élargit progressivement et de dessous les grès métallifères apparaissent peu à peu les roches sous-jacentes. A l'extrémité ouest (N° 9 de la fig. 6), un canal creusé transversalement à l'axe de la coupole, a mis à jour les deux ailes opposées du grès, dans lesquelles on voit surgir des schistes arénacés bruns, nettement pliés en anticlinal, avec plongement des couches vers le NE. Vers le S. Sous terre, le pli anticlinal peut être suivi dans la direction latérale allant du N° 11 au filon métallifère *B*, et traversant la partie inférieure du toit de la série des roches métallifères. A l'extrémité ouest de la coupole, on observe, dans la direction du puits N° 15, à des profondeurs de 15 et 20 sagènes, un très fort refoulement accompagné de fractures qui semblent témoigner d'un fort dérangement de la stratification des roches entre la coupole et la cuvette d'à côté. Comme dans la coupole „Téléphone“, les filons métallifères remontrant ici des fentes dues évidemment à la rupture des roches au moment de leur courbure lors de la formation de la voûte. Dans la partie ouest des „Grandes explorations“ les travaux souterrains ont constaté des fentes (fig. 6 *AA*₁, *BB*₁, *C*, *DD*₁, *E*)¹⁾. Ces fentes, ainsi que celles des coupoles „Sophia“ et „Téléphone“, se distinguent par leur richesse en minerai. Ordinairement elles présentent deux épontes nettement distinctes, toutes deux polies et couvertes de stries, produites par le glissement d'une joue sur l'autre; parfois il n'y a qu'une seule éponte franche, également polie et striée, contre laquelle s'est frottée la partie contiguë des roches de contact, partie fortement morcelée et brisée, mais très métallifère. Le „filon Téléphone“ qui se rapporte au premier de ces types, a les épontes nettement polies, plongeant nettement vers le sud-est; l'espace entre les épontes est rempli de roches fortement morcelées, mais non écrasées en poussière. Au second type appartient la fracture *BB*₁, des „Grandes explorations“ qui n'a qu'une seule lèvre polie. Le mode de structure en est expliquée dans le schéma (fig. 9) qui montre à gauche le côté poli, rétrogradement incliné vers le sud-est; contre ce côté poli s'appuie, à l'extérieur, une bande de quartzites réduites en morceaux à angles vifs; les roches restées en place (à droite) offrent des plans polis, diversement inclinés par rapport à l'horizontale.

Ce que nous avons dit de la structure des coupoles, peut en quelque sorte servir à expliquer la formation des ruptures survenues

¹⁾ Par mégarde la lettre *E* n'est pas marquée sur la fig. 6. Elle doit être placée à côté du puits N° 3.

Schistes
argileux.

Grès mi-
cisé à
grain fin.

Quartzite.

Grès mi-
cisé fer-
rugineux.

Grès fis-
suré kaol-
minique,
chemins de
houille.

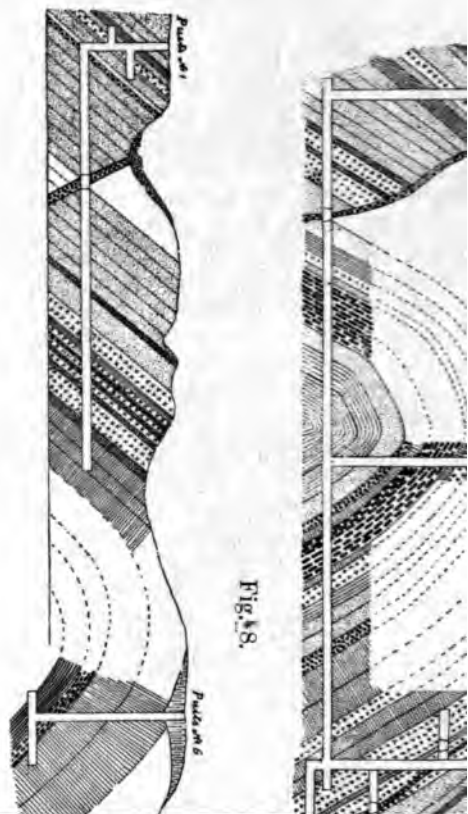


Fig. 8.

ipoles. Les premières fentes et les plus profondes sont celles qui ont été produites, comme nous l'avons dit, dans la direction du méridien, à peu près, par la rupture de la courbure des couches, sous un angle aigu ou en croix à la direction générale des strates constituant la localité. C'est dans ces fentes-ci que s'est opérée la minéralisation, se propageant par les fissures qui traversent les roches encaissantes. Plus récents sont les rejets dans la direction N-S (croiseurs) qui viennent couper obliquement les fractures minéralisées suivant à peu près la direction du méridien. Ces encore semblent être les coupes des filons métallifères dus au glissement, par exemple celle que nous avons indiquée au "Téléphone".

Les observations que l'on a faites sur la distribution du minerai ont montré que, si l'on coupe un filon métallifère transversalement, le minerai se voit sur le plan de section groupé en un gîteulier, réparti conformément au nombre des fissures traversant les quartzites (fig. 10). Un rôle important dans la distribution du minerai semble appartenir aux charbons interstratifiés qui semblent être les concentrateurs de la substance métallifère. D'un intérêt

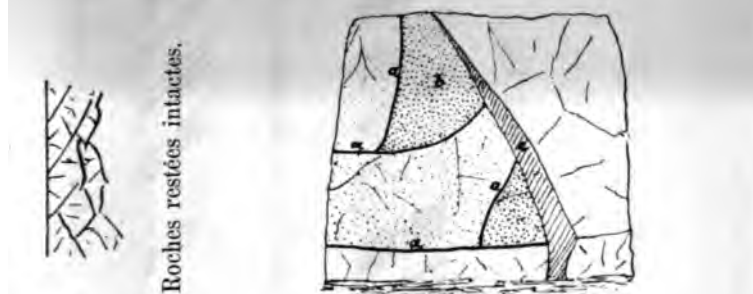


Fig. 9.

Fig. 10. Gîte du "Téléphone". a—intercalation de houille; b—minerai riche; c—roches fracturées et broyées.

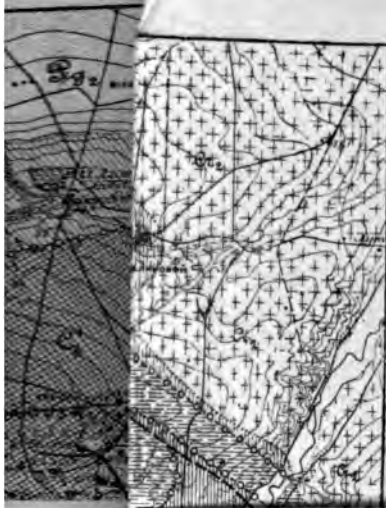
Il y a aussi des intercalations, dans les quartzites, de houille, dans leur masse des cristaux distincts et parfaitement cinabre. On observe parfois des inclusions de cinabre dans la masse compacte des roches encaissant les fentes métallifères, mais, il faut supposer que la présence du métal est en rapport avec la présence, dans ces roches, de très petites fissures invisibles à l'œil nu. La plus minéralisée comprend un grès quartziteux grossier, grains de quartz, recouvrant le conglomérat et le schiste de la suite métallifère. Il est très probable qu'ici aussi la distribution du minerai dépend des conditions qui ont favorisé la précipitation des solutions par les fentes tectoniques et à travers la



Fig. 10.

XVI. G

Pl. B.





ris d'acier clair, en amas radiés, et la même substance qui se présente sous l'aspect de cristaux aiguillés tapissant au-dessus de la cassure des grès. La stibine se rencontre assez associée à la stiblite. La pyrite, compagne ordinaire de la stibine, est surtout développée dans le voisinage du croiseur et des glomérats recouvrant les schistes du mur.

la Société de l'industrie houillère de la Russie du Sud.

Après l'examen de la mine de mercure, les excursionnistes se rendent à la mine Gorlovka pour visiter la mine de la Société de l'industrie houillère de la Russie du Sud. La mine de cette société, une des premières qui ont été ouvertes dans la partie occidentale du bassin du Donetz, est considérée aujourd'hui comme une des mieux organisées.

Comme dans la mine de la Société russo-belge, située près de Volynsévo, la suite des dépôts carbonifères est disposée méridionale du pli anticlinal connu dans le bassin du Donetz, sous un angle de 50—60°, présente la même coupe que l'on a vue près de la mine de Volynsévo. Grâce à l'excellente organisation de la mine, il est facile de visiter les galeries qui coupent la série la plus productive des dépôts carbonifères du bassin. Les galeries partant du fond sont surtout intéressantes; une d'elles se dirige, à une profondeur de 80 sagènes, vers le nord, du côté du mur, l'autre, à la profondeur de 110 sag., va rejoindre le toit. Les figures 10 représentent

Lomowatka, à une distance d'environ $2\frac{1}{2}$ verstes de la station. Le dage des roches est ici vers le SW. Après avoir dépassé le calcaire (14), la voie ferrée traverse, sur le parcours de 4—5 verstes, les schistes de la suite C_3^2 , inclinées assez faiblement vers le SW. Le calcaire (23) séparant C_3^2 de C_3^1 affleure d'une manière presque imperceptible. Plus loin le chemin de fer parcourt les dépôts de la suite C_3^1 qui traversent une grande dépression compliquée par des plis secondaires et traverse une seconde fois le calcaire (23) plongeant ici vers le NW entre les stations Lomowatka et Almaznaïa. Entre les stations de Almaznaïa et Lomowatka, la ligne traverse un plateau de partage d'eau uni, occupé par des champs cultivés, s'abaissant peu à peu vers les rivières au SE et au NW. Dans le voisinage de ces cours d'eau le terrain est découpé par des ravins et des vallons. De nombreuses chaînes de calcaire et de grès donnent à la région le caractère du bassin du Donetz. Ça et là on aperçoit, des deux côtés du chemin de fer, des exploitations peu importantes mettant en oeuvre les couches de la suite C_3^1 .

Après la station Lomowatka la voie va s'engager dans cette région montagneuse et couper quelques-uns des chaînons par de profondes tranchées. Une tranchée plus considérable, à 3 verstes de la station, montre d'abord des grès, des schistes et de minces intercalations de calcaire, puis le calcaire gris argileux (23) qui a ici une épaisseur d'environ 10 mètres et qui est divisé par plusieurs couches interstratifiées de schistes. Les roches plongent vers le NW sous un angle d'environ 45° . Au-delà de cette tranchée la voie fait un coude et continue suivant pendant quelque temps la direction des couches, parallèle aux chaînons des grès schisteux. Plus loin elle entre dans la région représentée sur la planche B.

Cette région, l'une des plus industrielles du bassin du Donetz, renferme des gisements très importants de charbons à coke et à gaz. Les gisements de charbons qui ont été exploités jusqu'à présent sont les suivants :

ère général de la structure géologique de la région et des horizons sont assez clairement indiquées sur la carte nous n'ayons pas à entrer dans les détails ¹⁾).

faire une idée d'ensemble de la tectonique de la région influence sur son relief, il suffit de jeter un coup d'oeil du „tombeaux“ disséminés en grand nombre aux endroits, et particulièrement du „tombeau Ostraïa“ qui se dresse sur formée par de petits plis du calcaire 37. Les plis de peuvent servir d'exemple du fin plissement caractéristique. Au pied du tombeau le calcaire forme une cavité synclinal de laquelle se remarque encore un petit pli anticlinal. de ce tombeau on a devant soi toute la disposition des on et l'on peut suivre du regard toutes les sinuosités des en expriment parfaitement la tectonique. Un de ses brusse voit, entre autres, près du tombeau „Gorodok“, où le horizon 71, tournant à angle droit, forme pour ainsi dire un tranchement.

nique de la région est surtout caractérisée par son petit entre le plongement en différents côtés des divers plis, on inclinaison générale des couches vers l'ouest, c'est-à-dire à Bakhmout.

thée du chemin de fer de la mine de Briansk et celles magistrale près du pont de la Lougan montrent d'une manière le caractère du plissement.

première de ces tranchées on voit d'abord un pli synclinal primé des horizons 36—42, puis un pli voûté à flancs doux des calcaires 42 c.

de tranchée offre aussi un pli anticlinal à flancs faibles, formé par les calcaires de l'horizon 61.

région n'est pas seulement remarquable par ce menu plissement est encore par son grand nombre de failles ou plutôt de le plus important de ces plis-failles, celui dont il a déjà dans l'esquisse générale, traverse le domaine de la mine vsky entre les puits „Pouchkin“ et „Charlotte“, coupe entre Lougan et va se prolonger entre les mines des Sobovskolé et W. Maximow. Plus loin il se dirige vers l'est, arte l'indique, à travers la rivière Kamychéwakha. Par là la ligne de la faille est très brisée. Par endroits les deux côtés de la faille sont en contact immédiat, ailleurs ils par une bande, large de 200 à 400 m., de roches disloquement fracturées. Quant aux autres plis-failles, ils sont le et en liaison génétique intime avec le plissement et leur t en général celle des roches. Un trait intéressant se présente brusque changement simultané de certains plis-failles et

arte adjointe ne montre que les calcaires qui séparent les unités ou qui ont une influence marquante sur la tectonique.

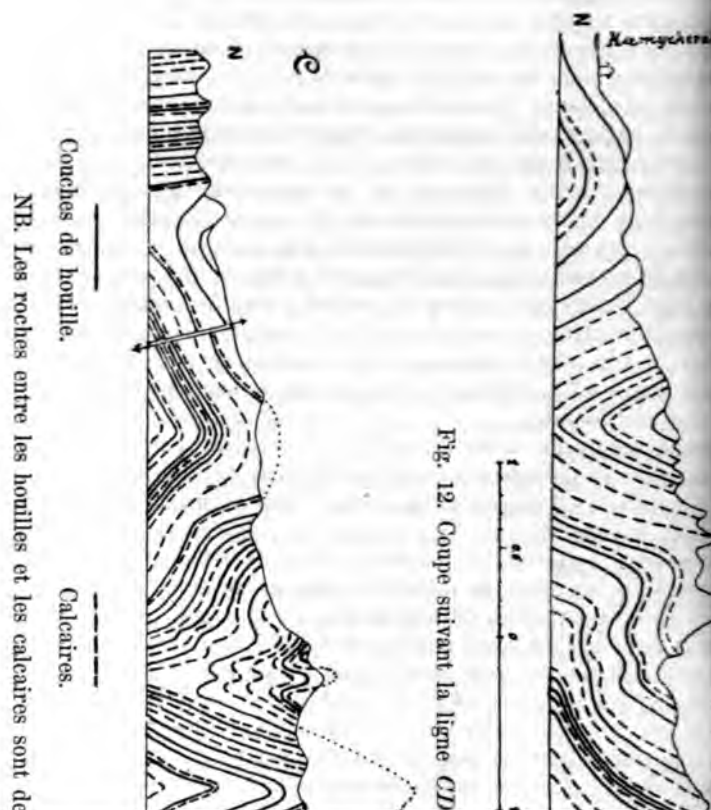


Fig. 12. Coupe suivant la ligne CD

entre autres près de la mine Orlovsky de la Société Allemande le montre la carte, les roches tournent brusquement de 90°; il en est de même de la faille. Des failles fortes aiguës avec la direction des roches, peuvent être observées dans la mine Almaznaïa où l'une d'elles sera bien représentée par une galerie latérale du puits principal; on peut en voir aussi dans les alentours de la mine Orlovsky, dans le domaine Briansk etc.

Les environs du village Kalinovka qui présentent de beaux horizons très nets, on peut prendre connaissance de la succession des suites PC , C_3 et C_2 . La visite de ces affleurements peut même entrer dans le programme de l'excursion.

Les C_2 de la suite C_3 se voient très bien dans les tranchées qui ont conduit à la mine de la Société Almaznaïa. On y peut voir les horizons compris entre le 23-me et le 42-me. Les 42a sont particulièrement bien coupés dans la tranchée près de la mine Kamychéwakha, où l'on peut observer les calcaires à C_2 , abondant en fossiles.

C_2 se voit très clairement dans la majeure partie des coupes et se montre, grâce à de nombreux plis, dans beaucoup de coupes naturelles et artificielles.

C_2 se découvre le mieux dans les mines Orlovsky et Kalinovka de la Société minière Alexéievskoïé.

Les C_2 et C_3 peuvent être observées dans les tranchées du terrain de la mine W. Maximow. Cette voie coupe successivement six couches comprises entre C_3 et C_2 . La mine, située sur les pentes du pli, exploite la suite C_2 . Les puits ouverts à proximité de la mine, dans la courbure même du pli, travaillent à la fois les horizons C_2 et C_3 ; dont celle du nord est peu inclinée (8°—12°), comme tout dans le bassin du Donetz, tandis que celle du sud est inclinée (40°).

La coupe N° 7, creusée près de la „Moguila Wétotchka“ a fait reconnaître une grande faille dont il a été question plus haut, et dans laquelle les dépôts de la suite C_2 sont en contact avec ceux de la

part des mines exploitent les charbons de la suite C_2 , entre les mines de la Société Goloubovskoïé, de la Société Pétro-Maximow, de la Société Almaznaïa, de la Société du Kriwoï-Rog, de la mine Briansk, la mine Pavlovsky de la Société minière Alexéievskoïé; ces quatre dernières mines on apprécie surtout pour ses horizons situés la couche de l'horizon 53, connue sous le nom de couche „53“, dont l'épaisseur dépasse rarement 0,7 m. La suite est le plus souvent coupée dans le terrain appartenant à la Société Almaznaïa, qui contient 6 couches de houille d'une puissance d'ensemble de 5 m. La galerie latérale du nouveau puits coupe non seulement les horizons C_2 mais encore les horizons inférieurs de la suite superpo-

La suite C_2^i qui contient jusqu'à 6 couches productives bon, est exploitée par les mines Kamensky et Orlovsky de la mine Alexéievskoïé.

La suite C_2^i , comme nous l'avons dit dans l'esquisse géologique, contient pas de couches de houille productives.

La suite C_2^i est exploitée dans la mine de W. Maximov, la mine Pougatchevsky de la Société minière Alexéievskoïé.

Le rayon dont nous parlons peut aussi venir comme l'appui des changements dans la qualité du charbon dont il est question dans l'esquisse générale. Si nous suivons la direction de la suite C_2^i (voir la carte) en partant des mines de la Société Marievskoïé et en passant par celles des Sociétés Almaznaï-Kriwoï-Rog et de Briansk, pour aller vers la mine Pavlovsky de la mine Alexéievskoïé, nous nous convaincront que les charbons deviennent de plus en plus pauvres en matières volatiles. Pour nous convaincre encore plus en évidence nous examinerons par la couche Almazny. Dans la mine de la Société Pétro-Pavlovsky cette couche présente une teneur en matières volatiles de 30%; dans celle de la Société Almaznaïa, d'environ 30%; dans celle de la Société du Kriwoï-Rog, d'environ 25%; dans celle de la Société de Briansk, d'environ 18%; dans celle de Krasnopolie (située un peu au sud de la carte), 15% et même moins. On voit par là que la direction qui n'est guère supérieure à 30 verstes (en comptant la direction des couches) la teneur en matières volatiles diminue graduellement de 20%. Ce changement s'observe, dans la même direction, dans les charbons de toutes les suites.

De la station Almaznaïa les excursionnistes se rendront à la station Warwaropolie. La plus grande partie de ce parcours est sur la fig. 13. Les tranchées qui offrent le plus d'intérêt sont près du pont du chemin de fer jetée sur la rivière. Il est bien découpé le pli voûté faiblement incliné dont il


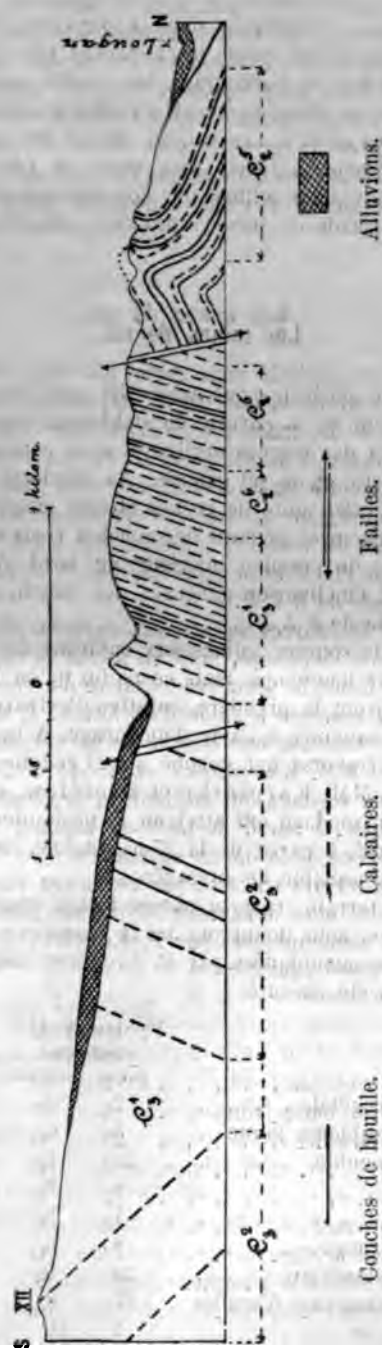


Fig. 13. Coupe le long du chemin de fer depuis la station Almaznaia jusqu'à la station Warwarpolié
(à partir du calcaire XII).



NB. Les roches entre les houilles et les calcaires sont des grès et des schistes.

Près de la station Popasnala, dans la direction de la station Dekonskaïa, le chemin de fer coupe le calcaire le plus élevé du Permien (1) et se prolonge en parcourant les dépôts permocarb. et permien. Grâce au développement d'argiles plastiques, le terrain devient plus adouci. Les vallons offrent des talus d'une pente faible. Les affleurements naturels sont rares et peu nets. Ce n'est qu'aux endroits délavés des collines que l'on voit des argiles et des sables rouges. La région garde ce même caractère jusqu'à la station Dekonskaïa.

Les mines de sel.

Dans l'esquisse générale nous avons dit que l'assise dolom. du permien inférieur de la cuvette de Bakhmout repose sur des grès gris jaunâtre et des marnes argileuses avec couches subordonnées de gypse, d'anhydrite et de sel gemme. Au nord-est et au sud-est de la ville de Bakhmout, cette suite de roches atteint jusqu'à 100 m. de puissance. Le plongement général des couches correspond à celui des dépôts sous-jacents du permien inférieur au bord de la cuvette. À l'est de Bakhmout l'inclinaison générale des couches se dirige vers l'est, sous un angle de 3 à 4°.

La présence de sources salines aux environs de Bakhmout était déjà connue depuis longtemps, mais ce ne fut qu'en 1871 que MM. Ramanga et Co firent la première tentative d'extraire, à proximité de la ville même, la saumure à l'aide d'un forage. À la profondeur de 37 sagènes le forage traversa une couche de sel gemme. En 1874, d'après les indications de MM. Karpinsky et Erofélew, on pratiqua, près de Dekonskaïa, un sondage qui atteignit la profondeur de 110 m. après avoir traversé, à partir de la 37-me sagène, 9 couches de

	Epaisseur des couches. pieds pouces		Profondeur du forage. pieds pouces	
pse et argile.	22	0	119	6
gile brun gypsifère . . .	1	9	121	3
pse	7	3	128	6
hydrite.	44	0	172	6
gile bigarrée.	12	6	185	0
arne gypseuse.	2	0	187	0
pse rose	0	4	187	4
arne interstratifiée d'an-				
hydrite	4	2	191	6
hydrite.	9	5	200	11
gile brune salifère. . .	11	6	212	5
gile marneuse avec stra-				
tes de dolomie et d'an-				
hydrite	14	5	226	10
hydrite salifère.	16	8	243	6
gile brune salifère. . .	11	3	254	9
el gemme.	4	7	259	4
gile à briques avec stra-				
tes de gypse	18	4	277	8
hydrite.	21	4	299	0
el gemme interstratifié				
de gypse	6	3	305	3
el gemme en grains . .	117	2	422	5
gile gypsifère de couleur				
de fumée	4	8	427	1
hydrite salifère bleuâtre	34	4	462	5
lomie	33	2	495	7
l gemme.	17	6	513	1
lomie	9	11	523	0
l gemme avec argile .	6	0	529	0
lomie	13	2	542	2
l gemme.	50	5	592	7
lomie	7	5	600	0
l gemme.	17	1	617	1
lomie	11	1	628	2
l gemme.	32	0	660	2
lomie	6	3	666	5
l gemme.	37	5	703	10
lomie	5	2	709	0
l gemme; le forage en				
a traversé.	55	6	764	6

e fait voir la coupe, les deux premiers gisements de sel
à la suite supérieure du permien de Bakhmout, tandis

Les 20—21, s'exploient dans cette mine dans de vastes terrains, éclairées à l'électricité, qui sont un grand attrait pour les touristes dans leur visite aux alentours de Bakhmout.

Le sel a ordinairement l'aspect d'une masse blanche assez souvent on rencontre de grands nids de sel tout parsemé avec de nombreuses cavités contenant le sel-mère. On trouve des cristaux de sel nettement formés, offrant, d'après P. Jeremeïew, prépondérance du cube (100), avec le rhombododécaèdre (110), les tétrahexaèdres (410), l'octaèdre (111), le trioctaèdre (776) et l'icositétraèdre.

Jusqu'à la seconde couche exploitée (26—27), la couche se répète dans toutes les mines voisines de celle-ci (Nowaja-Wélitchka, Kharlamovka, Pierre le Grand). Si entre elles les coupes de tous les puits, on voit que les couches clinent, comme nous l'avons dit plus haut, vers l'ouest et la productivité s'amincit dans la même direction.

L'extraction du sel gemme, commencée, il y a à présent de Bakhmout, a pris un si grand développement maintenant, annuellement, plus de 16,000,000 de pouds, une des premières industries du bassin du Donetz.

Après avoir examiné la mine de Dékonskaïa, les visiteurs se rendront pendant la nuit à Rostow par le chemin de fer Kharkow-Azow. Jusqu'à la station Amvrossievka la vallée est une région des dépôts carbonifères sur la ligne de partage des rivières Krynka et Kalmious. Entre les stations de Ouspenskaïa les dépôts carbonifères disparaissent sous les crétacées et néogènes qui bordent la chaîne du Donetz.

Les dépôts néogènes (sarmatiques) viennent se m

souvent arasés et dans les escarpements de Taganrog on
que des couches sarmatiques supportant directement les
tertiaires: sables à coquilles d'eau douce, argiles brunes et
ville de Rostow jusqu'à la station Tikhoretskaïa, la voie
se les steppes tout à fait plates de la région de l'ouest.
plus anciens que les posttertiaires ne s'y voient ni dans
ments naturels ni n'ont été trouvés par les sondages pro-
nés le long de la ligne du chemin de fer.





XVII

EAUX MINÉRALES DU CAUCASE

PAR
K. ROUGUÉVITCH.

Bibliographie.

- Abich. Explication de la coupe géologique du versant nord du Caucase, depuis l'Elbrous jusqu'au mont Bechtaou. Calendrier du Caucase pour l'année 1853 (en russe).
- Abich. Beiträge zur geologischen Kenntniss der Thermalquellen im Kaukasus.
- Abich. Geologische Beobachtungen auf Reisen im Kaukasus im Jahre 1873. Bulletins de la Société Impériale des naturalistes de Moscou.
- François. Mémoire sur la genèse des eaux minérales des groupes nord du Caucase.
- Favre. Recherches géologiques dans la partie centrale de la chaîne du Caucase.
- Simonowitch, L. Batzéwitch et A. Sorokin. Description géologique de la région de Piatigorsk. Matériaux pour la géologie du Caucase. 1876 (en russe).
- von Dru. Note sur la géologie et l'hydrologie de la région du Bechtaou. Bulletins de la Société géologique de France.
- Mouchkétow. Notices géologiques sur les eaux minérales du Caucase. Bulletins de la Société Impériale de minéralogie de St. Pétersbourg (en russe).
- Schafarzik. Reise-Notizen aus dem Kaukasus.
- Karakasch. Observations géologiques dans les vallées des fleuves Ouroukh, Ardon, Malka et dans les environs de Kislowodsk. Trav. de la Société des Naturalistes, St. Pétersb. T. XXIII.

**Aperçu général des conditions géologiques de la région des
minérales du Caucase.**

(pl. A, B, C).

Sur tout le parcours entre Rostow et la station Minéralnyia (Eaux-minérales) s'étend en plaine une steppe dont la triste uniformité n'est interrompue que par quelques faibles ondulations du terrain dans la direction de la parallèle de Stavropol. La configuration de la région ne change brusquement qu'aux abords de la station Minéralnyia wody, d'où un embranchement quitte la ligne du chemin de fer pour Wladikavkaz pour s'avancer sur Kislowodsk. La vue générale du paysage est toujours encore, pour ainsi dire, la steppe plane, mais à laquelle s'élève cependant toute une série de monts isolés, le plus souvent coniques, épars sur l'espace qui sépare la station Minéralnyia wody d'Essentouki. Six verstes avant d'arriver à la station Minéralnyia wody, à gauche et au nord de la voie ferrée, se dresse à 381 m. au-dessus du niveau de la mer le mont Koum ou Kinjal au sommet plat qui lui a donné son nom (Poignard). A droite de la ligne, près sur la même parallèle que le Kinjal, s'élèvent les monts Werblin (884 m.) et Byk (816 m.). Entre Minéralnyia wody et Piatigorsk se voit à droite, se suivant les unes les autres, les montagnes: Zmiévo (990 m.), Razwalka (924 m.), Jéliéznaïa (856 m.) et le Bechtaou, la plus haute cime de la région de Piatigorsk (1398 m.); à gauche de la ligne du chemin de fer se dressent le mont Lyssaïa (735 m.) et le Machouk (984 m.), au pied duquel est située la ville de Piatigorsk. Au sud de Piatigorsk s'élèvent deux montagnes plus considérables: le Youza ou Bolwan (971 m.) et le Djoutsa (1197 m.), au sud-est le lotoï-kourgan (880 m.). De plus, il y a près du massif principal Bechtaou quelques hauteurs moins considérables, telles que les monts

1

Le système crétacé a pour base des calcaires dolomisés, affleurant le lit et les bords de la rivière Olkhovka sur son parcours à le park de Kislowodsk et plus loin au sud (coupe géologique Kislowodsk pl. B. couche 1). Ces calcaires, caractérisés par la ce de nérinées, sont traversés en maints endroits par de larges diaclases livrant passage à d'abondantes sources, tant minérales que d'eau douce; des mêmes calcaires sort la célèbre source minérale, connue sous le nom de Narzan. Le calcaire supporte une série d'argiles schisteuses, de marnes interstratifiées de grès, de calcaires gréseux et de grès rouges (couches 2, 3, 4) caractérisés par la présence de *Nautilus pseudo-elegans* d'Orb., *Ostrea Couloni* d'Orb., *Astarte neocomiensis* d'Orb., *Terebratula sella* Sow., *Terebratula praelonga* Sow. etc. Toutes ces couches se rapportent à la formation néocomienne du système crétacé.

Deich et Favre ont constaté parmi les dépôts crétacés de la région des couches aptiennes à *Ostrea aquila* Brong. et autres fossiles. Dans les coupes des environs de Kislowodsk les couches aptiennes ont été signalées par Mr Karakasch qui rapporte à cet étage les couches du grès rouge à *Toroceras Emerici* d'Orb. (couches 5 et 6 de la coupe géologique).

Plus loin affleurent des grès glauconieux du gault, d'un jaune pâle à la surface désagrégée, s'élevant en échelons jusqu'au pied de la chaîne du Djinal et constituant les versants, tant droit que courbe, de la vallée de la rivière Podkounok, ainsi que de son affluent la Bérézowka, qui vient y tomber au nord de Kislowodsk. Ces grès sont abondamment pourvus de fossiles dont les plus caractéristiques sont: *Thetis* d'Orb., *Th. minor* Sow., *Gervilia alpina* Pictet, *Panopaea ovata* d'Orb., *Venus orbignyana* d'Orb., *Trigonia aliformis* Park., *Inoceramus milletianus* d'Orb., *Ac. crassirostatum* d'Orb., *Natica alpina* d'Orb. etc. Les grès sont parfois interstratifiés d'argiles blanches, accompagnées de sources d'eau douce. Une particularité caractéristique des grès du gault de la région consiste en ce que les parois verticales de ses gradins présentent de nombreuses cavernes, ou plutôt des niches peu profondes, dont la formation est due à la structure à bulles rebondies, propre à quelques-unes des couches du grès: sous l'influence des agents atmosphériques, des couches se détachent de la surface suivant le plan courbé de la séparation, formant ainsi peu à peu les escarpements des cavités plus ou moins considérables en forme de cornues. En un point même, près de Kislowodsk, un de ces enfoncements traverse toute la saillie du grès, ce qui a fait donner à la localité le nom de Koltso-gora (Mont-anneau).

La crête de la chaîne du Djinal, c'est-à-dire des hauteurs qui s'élèvent à peu près dans le sens de la parallèle géographique au sud de Kislowodsk, est constituée par des calcaires blancs de l'étage néocomien à *Ananchytes ovata* Lamk., *Inoceramus regularis* d'Orb., *Cripsii* Mantell., *Offaster caucasicus* L. Dru. Les mêmes calcaires se montrent dans les deux rives de la Podkounok jusqu'à

en restes fossiles, de sorte qu'il est difficile d'y établir des divisions et d'en préciser l'âge. Les indices pétrographiques permettent cependant de distinguer deux horizons. Les calcaires portent directement des marnes dont les couches inférieures sont habituellement d'un gris foncé, tandis que les supérieures sont grisâtres. On y trouve parfois des écailles de poissons de la fin du Cénozoïque et les données stratigraphiques ont engagé Abich à les placer dans l'éocène. Les marnes tertiaires paraissent avoir une extension considérable dans les limites de la plaine-steppe du Caucase, de Krasnodar et Essentouki, mais leurs affleurements ne s'observent qu'en un nombre relativement restreint de points, principalement à Essentouki et aux versants de quelques-uns de monts isolés (Machouk, Bechtaou, Jéliéznaïa et autres).

Les marnes sont recouvertes d'une assise d'argiles foncées qui jouent un rôle important dans la structure géologique des marnes du Caucase du nord. Dans la région de Piatigorsk, l'épaisseur des argiles est relativement peu considérable et les affleurements sont peu nombreux (lac Tamboukan, colonie Karra, Bechtaou etc.); mais plus loin, vers le nord, les argiles de couleur foncée ont un développement bien plus grand, atteignant de 200—300 mètres. Les argiles ne contiennent, de même que les marnes, que quelques rares restes mal conservés de poissons. Leur âge reste jusqu'ici problématique. Quelques-uns des géologues les rapportent, comme les marnes sous-jacentes, à l'éocène, mais d'autres trouvent possible de les classer dans l'étage inférieur du Cénozoïque. L'horizon supérieur est composé, près de Stavropol, de grès de l'étage sarmatique à *Maclura podolica*, *Tapes* etc.

Entre les argiles schisteuses on rencontre çà et là

Des dépôts posttertiaires très variés de la région de Piatigorsk sont:

Des couches de fragments arrondis et aplatis provenant de roches sédimentaires et cristallines développées aux alentours de Piatigorsk et d'Essentouki. A Essentouki la marne tertiaire est directement recouverte. Ça et là les galets, cimentés par du ciment de chaux, forment des conglomérats compacts et durs et indurés, preuve de la circulation active des solutions minérales dans les couches.

Des argiles loessoides jaunes avec couches intercalées et nid d'abeille, recouvrant la plus grande partie de la steppe plane entre les hauteurs de la région de Piatigorsk.

Des dépôts d'éluvium, produit de la désagrégation des roches cristallines, recouvrant les pentes.

Des travertins ou dépôts de carbonate de chaux des sources chaudes, développés surtout près de Piatigorsk, où ils forment une zone presque ininterrompue autour du pied du Machouk, près du village de Youza et à Kislowodsk; ici ils constituent la petite élévation sur laquelle se trouve le restaurant.

Des alluvions modernes.

Les roches éruptives jouent un rôle important dans la tectonique de la région de Piatigorsk et offrent quelques particularités intéressantes. Pour ce qui est de la classification de ces roches, les géologues diffèrent d'opinion: Velain, d'après les échantillons reçus de la région, les considère comme un microgranulite et porphyre felsitique; le professeur Mouchkétow est de la même opinion; Schafarzick, au contraire, prend la roche cristalline qui constitue le massif du Bechtou pour un trachyte quartzifère à orthose (pertite).

Les roches cristallines apparaissent dans les monts Kinjal, Zmélé, Razwalka, Jéliçnaïa, Bechtaou, Werblioud, Djoutsa et quelques autres. Les roches de toutes ces montagnes se ressemblent, ne diffèrent que par la microstructure et l'absence ou la présence de divers minéraux accessoires. Elles se composent de cristaux d'orthose vitreuse (microcline) et de quartz bipyramidé, qui sont cimentés par une pâte siliceuse. Les éléments accessoires sont de l'augite, de la biotite, du feldspath, de la magnétite etc.

Les données dont on dispose permettent de supposer que l'éruption des trachytes a eu lieu à l'époque tertiaire et après le dépôt des sédiments éocènes.

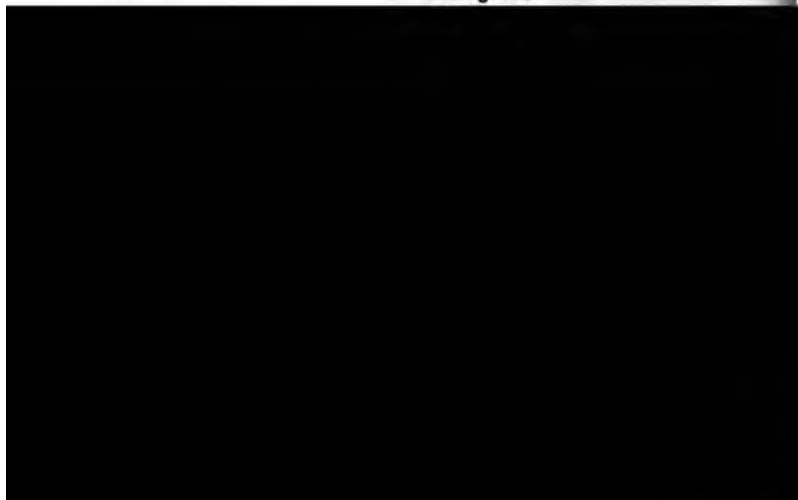
Les couches crétacées et éocènes sont fortement soulevées dans le voisinage des trachytes. Le caractère de ce soulèvement, ainsi que quelques autres phénomènes, font classer les épanchements des trachytes dans la série des formations que les géologues américains appellent laccolithes. Dans les hauteurs de la région de Piatigorsk on distingue plusieurs types de laccolithes analogues aux laccolithes américains. Ainsi par exemple les monts Machouk, Youza, Lyssaïa, Zolotoï-gor, se présentent sous forme de coupes, sur les pentes desquel-

les couches du calcaire sénonien et de la marne éocène placent dans toutes les directions possibles, tandis qu'au sommet elles servent une position presque horizontale; le trachyte n'y perce nulle part au jour. Le sommet des monts Bechtaou, Zméiéwaïa, Jéliéznaïa, Raz et de quelques autres, est formé de trachyte contre lequel viennent appuyer les couches soulevées du calcaire sénonien et de la marne tertiaire. Le mont Djoutsa enfin est remarquable en ce qu'au pied du sommet il y a affleurement de calcaire sénonien, alors qu'une partie des pentes est formée de trachyte; en outre, les couches du calcaire sont fortement soulevées au pied de la montagne et faiblement soulevées au sommet.

La région que nous décrivons est depuis longtemps célèbre par la richesse et la variété de ses sources minérales, au nombre de plus de cinquante. Les principales sont exploitées depuis plus d'un siècle comme sources médicinales, formant ce qu'on appelle les quatre groupes d'eaux minérales: le premier, de Piatigorsk, à eaux thermales sulfureuses; le second, de Jéliéznowodsk, à sources d'eaux ferrugineuses chaudes; le troisième, d'Essentouki, à sources froides alcalines sulfureuses alcalines, enfin le quatrième, de Kislowodsk, à la source carbonatée ferrugineuse acidule, appelée Narzan. Outre cela il y a encore une série de sources minérales, les unes déjà exploitées et les autres non, parmi lesquelles nous citerons la source d'eau amère de la colonie de Karrass près de Piatigorsk, voisine par sa nature des sources de Fridrichshall et de Pilnaï; les sources sulfureuses alcalines près du mont Koum; la source Kouporossny (à sulfate de fer) du mont Zmééwa; le lac saumâtre de Tamboukan, fournissant une eau médicale d'excellente qualité etc.

Passons maintenant à la description rapide de chacun des principaux groupes de ces sources minérales.

Piatigorsk.



elle, longue de 42 mètres, joint cet entonnoir à une plate-forme pentée de la montagne. Au fond jaillit une source sulfureuse qui un petit lac ayant un écoulement perpétuel par un canal artificiel creusé sous la galerie. La source du Bolchoi-Prowal offre une singularité qui la distingue des autres sources minérales de la région de Piatigorsk. Chaque année, à la fin du mois de mars ou en l'eau du lac commence à croître fortement et, le niveau s'élève peu à peu, le lac sort de ses rives et couvre le fond de la galerie. Le débit de la source atteint en certaines années 6,000,000 litres par jour. La période de l'augmentation des eaux se prolonge un mois; ensuite le niveau commence à baisser graduellement, pour revenir normal à la fin de mai ou au mois de juin. La différence entre le niveau le plus bas et le plus élevé peut être de 1,35 mètre. Les causes de ce phénomène sont jusqu'ici assez obscures, mais paraissent en relation avec la fonte des neiges sur les contre-forts de la principale chaîne du Caucase les plus rapprochés de Piatigorsk.

À l'entrée de la galerie du Grand-Prowal se découvre un affleurement de marnes éocènes, tandis que les parois de l'entonnoir sont constituées par du calcaire sénonien, coupé par une large fissure très apparente se dirigeant NE 36°. C'est cette fente, comme on peut le supposer, qui forme le canal principal par lequel s'élèvent de la profondeur les eaux sulfureuses qui alimentent les sources minérales de Piatigorsk. Elle paraît s'étendre sur une distance considérable le long du sud du Machouk et s'est trouvée rencontrée, au sud-ouest du lac, près de la galerie Elisabeth, par une galerie souterraine qui aujourd'hui issue à la source de Tobie. Des ramifications peu nombreuses de cette fente alimentent plusieurs sources à faible débit: les sources Michel, l'extérieure et l'intérieure, et les deux Elisabeth, égales l'extérieure et l'intérieure, d'une température plus basse que celle des sources qui s'écoulent de la fissure principale. Avec cette fissure nous venons de parler, communique une autre également qui longe un peu plus au sud l'arête du Goriatchia-gora (Montagne chaude) composée de travertines. Cette fente qui se montre au lac en plusieurs endroits, est remplie d'eau minérale d'où se dégagent abondamment des bulles de gaz hydrogène sulfureux et d'acide carbonique. C'est de cette fente que proviennent les sources exploitées: les sources Petro-Nikolaevsko-Sabanéevsky et Alexandro-Yermolovsky. Pour puiser l'eau minérale, on a creusé dans la pente de la Montagne, perpendiculairement à la fente, des galeries se terminant à une certaine distance de celle-ci; des trous de sonde, conduits horizontalement au bout des galeries à la fente, donnent passage à l'eau minérale; elle est remplie. A l'extrémité occidentale du Goriatchia-gora existe encore quelques autres sources (Tieplossernyïé et Karkovskiy) d'une température relativement plus basse, entièrement dépourvues d'hydrogène ou n'en contenant qu'une faible dose. Ces sources marquent la dernière trace du courant principal souterrain de la Montagne chaude. La température plus basse et la moindre minéralisation de leurs

eaux s'expliquent par le long parcours qu'elles ont à faire minces fissures, ramifications de la fente principale; l'eau se peu à peu dans le trajet et perd quelques-unes de ses parties, surtout l'hydrogène sulfureux.

Les travertins, c'est-à-dire les dépôts de carbonate de calcium, sources minérales, jouent un rôle assez important dans la ce des versants du Machouk; ils constituent également toute la l chaude, de même que les hauteurs bornant la vallée de Piat nord. Des dépôts considérables de travertin se trouvent au sant nord et, ça et là, au versant ouest du Machouk. Les an

	Teplosserny N° 1.	Ale Ye
Température Celsius	27° 8	
Débit en litres par 24 heures	85017	
Eléments constituants en grammes par litre:		
Résidu fixe.	3,87200	(
Chlorure de potassium (<i>KCl</i>).	0,11245	(
„ sodium (<i>NaCl</i>)	1,48790	1
Sulfate de sodium (<i>Na₂SO₄</i>)	0,93441	0

flueurent à 60—70 mètres au-dessus de la sortie actuelle des minérales, ce qui démontre l'abaissement graduel du niveau des. La composition des anciens travertins se distingue également de celle des dépôts actuels des sources sulfureuses: dans les dépôts on rencontre presque toujours une quantité plus ou moins grande de soufre, produit de la décomposition d'hydrogène sulfureux, que les travertins plus anciens n'en contiennent jamais.

ici, dans le tableau suivant, les principales données concernant la composition chimique, la température et le débit des principales sources du groupe de Piatigorsk:

E S.				
Belth (extérieure).	Michel (intérieure).	Michel (extérieure).	Alexandro- Nikolaïev- sko-Saba- névsky.	Bolchoï Prowal.
96,4	38°,4 3456	32°,8 14550	47°,8 281470	29°,0 —
5600	4,36400	4,39660	4,35900	3,78000
5287	0,09840	0,09420	0,09665	0,09190
5013	1,60650	1,60950	1,60703	1,38940
5208	1,12000	1,15890	1,10795	0,96170
5359	0,12660	0,09420	0,13758	0,11880
5140	—	—	—	—
—	0,00710	0,01800	0,01001	0,00900
4375	1,18000	1,15690	1,16391	1,03310
2625	0,06910	0,09060	0,11435	0,05460
4512	—	—	—	—
6791	0,07410	0,07230	0,07612	0,06800
—	—	—	—	—
0438	0,00830	0,00551	0,01078	0,00476
3169	0,55400	0,55660	0,57200	0,48310
5502	1,18960	1,01070	1,37500	1,27710

us l'influence des conditions géologo-topographiques, souterrains. En même temps la thermalité de l'eau n'est pas la même: la température s'abaisse à mesure que l'eau s'élève vers la fente de trachyte. Il en résulte par là toute une gamme minérale des températures les plus variées, à partir de 4° jusqu'à 17° C (source Zawadovskij). Plus l'eau monte vers le haut de la pente, plus la température est basse; et vice versa: plus l'eau descend vers la base de la pente, plus la température est élevée.

Il faut noter que par suite des conditions géologiques favorables, grâce à ce que la couche aquifère de la roche trachytique est traversée par une puissante masse de trachyte, l'eau s'élève et se refroidissant beaucoup pendant son parcours à travers ces dépôts, ne subit pas de changements chimiques importants. La composition chimique du trachyte, fait qu'une combustion de l'acide carbonique est possible, mais que le carbonate de calcium est insoluble dans l'eau minérale, malgré son petit coefficient de solubilité. Ceci explique la teneur élevée en calcium des sources minérales de la série supérieure. Les sources minérales du sous-groupe de la fente de trachyte, dont les eaux viennent au jour par la fente de trachyte jusqu'à la marne tertiaire, sont des sources minérales calcaires aquifères. On se sert de ces sources dans la roche éruptive pour irriguer les travaux de marne. Les sources minérales qui sont des dérivées

du tableau suivant contient les données sur le débit et la composition chimique des sources minérales:

	Sources du sous- groupe de l'ouest.	
	N° 1.	N° 4.
Température C.	44°4	51°0
Débit en litres par 24 heures	637630	73280
Eléments constituant en grammes par litre d'eau:		
Résidu fixe.	2,64200	L'analyse détaillée manque.
Sulfate de potassium (K_2SO_4)	0,04268	
„ sodium (Na_2SO_4).	1,07991	
„ calcium ($CaSO_4$).	0,02992	
Carbonate de sodium (Na_2CO_3)	0,31264	
„ calcium ($CaCO_3$).	0,59697	
„ magnium ($MgCO_3$)	0,00605	0,01031
„ protoxyde de fer ($FeCO_3$)	0,00765	

ROUPE DE L'EST.

m.	Bariatinsky.	Grand-Duc Michel.	Mourawiew froide.	Zawadovsky.
28°,1	23°,1	20°,0	18°,0	16°,9
—	27240	23600	11800	—
5300	2,94000	2,54200	2,76200	L'analyse détaillée manque.
4996	0,04819	0,05181	0,04277	
5553	1,15634	0,89696	1,07370	
2283	0,03711	0,03497	traces	
684	0,41296	0,44476	0,23448	
2466	0,72545	0,71503	0,74161	
1152	0,04684	0,02611	0,07868	
0773	0,01129	0,01121	0,00829	
ces	traces	0,00116	0,00143	
575	0,29609	0,16327	0,44402	
3399	0,14014	0,16395	0,09411	
ces	traces	traces	traces	
ces	traces	traces	traces	
0131	0,00516	0,00136	0,00163	
2961	0,02813	0,03602	0,02848	
8430	0,51943	0,51716	0,46803	
5418	1,24211	1,30984	1,08492	

Essentouki.

Essentouki, stanitsa (campement) de cosaques, est situé entre Tigorsk et Kislowodsk, à 15 verstes du premier et à 21 du second. L'endroit où se trouvent les eaux minérales fait partie de la stanitsa. Il se trouve sur la rive gauche de la rivière Podkoumok et il est nommé pour ses sources froides alcalines et alcalines sulfureuses, découvertes en 1810 par le docteur Haas.

Toutes les sources d'Essentouki prennent jour dans une vallée ouverte du côté est, au thalweg de laquelle viennent se fondre les eaux acidules et les eaux douces, en formant la petite rivière Kisloucha qui a donné à la vallée son nom de Kisloucha. Les pentes hautes et rapides nord et nord-est de cette vallée, au pied desquelles émergent les sources № 4, № 6, № 17, № 18 et № 19, portent le nom de Chitchelotchnaïa-gora (Mont alcalin).

La base de la pente nord de la vallée Kisloucha est formée de marne éocène gris bleuâtre dont les couches plongent vers NE 22° à un angle de 4 à 6°; ces couches sont coupées par un système de failles presque verticales ayant également une direction moyenne vers NE 22°. L'épaisseur de la marne tertiaire atteint 75 mètres.

La marne tertiaire supporte une couche de poudingue diluviale composée de galets remaniés de différente grandeur provenant de toutes les roches possibles, tant sédimentaires que cristallines, et cimentés par du carbonate de chaux. Dans les horizons supérieurs et inférieurs et là dans toute l'assise, le conglomérat est dépourvu de ce ciment et ne présente qu'un amas friable de galets, faiblement liés par une argile sableuse. L'épaisseur du poudingue varie entre 1,7 et 3 mètres.

Le conglomérat est recouvert d'une assise d'argile diluviale calcaire, puissante d'environ 7,5 mètres, dans laquelle on rencontre souvent des nids et des strates intercalées de galets, de préférence calcaire et de dolomie. La couche supérieure de l'argile, par son

(source № 18), par des puits (source № 4) et par des canaux profonds (source № 6).

La partie de l'eau alcaline-ferrugineuse, sortant des fentes de la marne, s'élève à la surface de celle-ci; puis, rencontrant ici le poudingue diluvial perméable, elle l'imbibe et, obéissant à la pesanteur, s'écoule par la surface inclinée de la marne. Dans le conglomérat, l'eau minérale subit avant tout certaines modifications chimiques, dues à la dissolution de quelques-uns des sels entrant dans la composition de cette roche; en même temps il se produit une altération des eaux par le contact de l'air circulant dans le conglomérat; le carbonate ferreux des eaux est décomposé, le protoxyde de fer passe à un état supérieur d'oxydation et se précipite. Il faut ajouter à cela que l'eau alcaline rencontre dans le poudingue un courant souterrain d'un tout autre type. L'eau de ce courant, l'eau phréatique proprement dite, pénétrant de la surface dans le conglomérat par suite de l'infiltration dans le sol des dépôts atmosphériques tombés sur la steppe qui s'étend au nord d'Essentouki, en circulant dans le conglomérat, y dissout de préférence les sulfates et les carbonates de calcium. De cette manière, au contact du conglomérat avec la marne, il se produit un mélange de deux types d'eaux: l'alcaline et la sulfatée.

Leur action réciproque résultent les diverses réactions de la composition et il se produit une eau alcaline, mais avec teneur plus forte en sulfates et teneur, moindre que dans l'eau originaire, en carbonate de protoxyde de fer. A ce type appartiennent les eaux des sources № 17 et № 19.

L'eau minérale ne traverse pas le conglomérat en un seul coup; grâce à la surface inégale de la marne sous-jacente et à la perméabilité plus ou moins grande du conglomérat, elle le parcourt en une série de petits filets. Si l'on croise ces filets par des galeries, celles-ci recueilleront les eaux minérales qui, captées de cette manière dans la roche originaire, peuvent être amenées au jour aux endroits où l'on veut l'avoir. C'est ainsi qu'à l'aide de galeries, percées au travers de la marne et du conglomérat, on a capté les sources № 17 et 19. Les eaux alcalines, de même que les eaux sulfatées calciques du type alcalin, se réunissent dans le thalweg de la vallée où elles se mélangent aux eaux phréatiques venant de l'ouest et du sud. Dans les alluviales recouvrant le fond de la vallée se produisent, sous l'influence de matières organiques, des réactions qui ont pour effet l'apparition dans l'eau d'hydrogène sulfureux. Par suite de cela les puits creusés dans la partie inférieure de la vallée Kisloucha, fournissent une eau alcaline sulfureuse d'un usage balnéo-thérapeutique. Ces puits, creusés dans l'alluvion à une profondeur de 10 mètres jusqu'à la marne tertiaire, porte le nom de source du docteur Haas. Le tableau suivant donne les détails concernant la température, la composition chimique des principales sources minérales d'Essentouki:

Température Celsius	
Débit en litres par 24 heures	

Eléments constituants en grammes par litre:

Résidu fixe	
Carbonate de sodium (Na_2CO_3)	
" potassium (K_2CO_3)	
" calcium ($CaCO_3$)	
" magnium ($MgCO_3$)	
" protoxyde de fer ($FeCO_3$)	
" barium ($BaCO_3$)	
" strontium ($SrCO_3$)	
Sulfate de sodium (Na_2SO_4)	
" potassium (K_2SO_4)	
" calcium ($CaSO_4$)	
" barium ($BaSO_4$)	
" strontium ($SrSO_4$)	
Chlorure de potassium (KCl)	

Chlorure de calcium ($CaCl_2$)

ki.

№ 18.	№ 4.	№ 6.	Alcaline-sulfu- reuse de Haas.
11°,2	10°	12°	7°,8
1700	439	197	307000
9,36400	6,51200	6,76200	3,64800
4,78160	3,20672	3,58537	0,49086
0,02912	—	—	—
0,37680	0,41823	0,36471	0,69407
0,01911	0,11886	0,12003	0,00340
0,01748	0,00870	0,00701	—
0,00203	—	—	—
0,00268	—	—	—
—	—	traces	1,51077
—	—	—	0,02951
—	—	—	0,05182
—	—	—	0,00215
—	—	—	traces
—	0,03403	0,04730	—
0,01597	0,01070	—	—
3,82268	2,57426	2,44808	0,76664
0,09060	0,12132	0,15791	—
0,00627	0,00641	0,01008	0,00395
0,00065	0,00057	0,00061	0,00019
0,00329	traces	traces	0,00489
0,01402	0,02211	0,02120	0,00612
—	—	—	0,00554
2,27694	1,58163	1,92712	0,51092
1,80024	1,10364	0,65588	traces
—	—	—	0,00720

Kislowodsk.

Le groupe de Kislowodsk n'est remarquable que par une source, appelée Narzan. Cette source célèbre était connue par les Russes au commencement du XVIII^e siècle. Elle est déjà mentionnée par Schober, le médecin de Pierre le Grand, dans son aperçu sur les sources minérales de Terek (1717). La première description détaillée de la source est due à Pallas qui a visité Kislowodsk en 1792.

Le Narzan appartient à la catégorie des sources faiblement minéralisées, mais fortement saturées du gaz acide carbonique et se distingue des sources médicales de ce genre de l'Europe occidentale par son immense débit, s'élevant à 2,460,000 litres par jour. Elle fournit une excellente eau potable, semblable à celle des sources de Polinaris, Gieshübl-Puchstein etc. L'eau du Narzan sert aussi dans la préparation des bains dont le gaz acide carbonique est le principal agent thérapeutique.

Les travaux de captage, exécutés en 1894, ont démontré que le Narzan provient d'une fissure exokinétique dans le calcaire dolomiteux de l'étage néocomien, à une profondeur de 6,40 mètres sous la surface du sol. La fissure se dirige à peu près dans le sens du méridien. La sortie de la source sa largeur est d'environ 0,5 m., mais vers le haut elle va se rétrécissant. Outre le griffon principal au fond du puits, d'autres, plus petits, sortent de fentes plus ou moins parallèles à la principale. Ces filets, qui ne semblent être que des ramifications du courant principal, ne fournissent d'ailleurs qu'une quantité insignifiante d'eau acidule, montant tout au plus à 1000 litres par jour. Le griffon principal et secondaires, est recueilli dans un puits rond dont la maçonnerie repose sur le calcaire néocomien et le coupe même en partie. Le diamètre du puits est de 4,25 mètres.

Le puits traverse 4,2 m. de dépôts d'alluvion, alternance de

résultats de l'analyse chimique des eaux du Narzan,
1895 par le professeur Zaleski:

Température de la source 12°,8 C.

Éléments constituants en grammes par litre:

fixe	1,78260
de potassium (K_2SO_4)	0,03348
" sodium (Na_2SO_4)	0,43746
" barium ($BaSO_4$)	0,00003
" strontium ($SrSO_4$)	0,01432
" calcium ($CaSO_4$)	0,05591
" magnium ($MgSO_4$)	0,06353
de magnium (MgJ_2)	0,000007
ure de magnium ($MgCl_2$)	0,17232
ate de calcium ($CaCO_3$)	0,85211
" magnium ($MgCO_3$)	0,09901
" protoxyde de fer ($FeCO_3$)	0,00379
" mangan ($MnCO_3$)	0,00034
ate de calcium [$Ca_3(PO_4)_2$]	0,00159
(SiO_2)	0,00926
d'aluminium (Al_2O_3)	0,00033
carbonique (CO_2) en dissolution	0,42814
" libre	2,01098

Somme . . 4,18261

carbonique libre en centimètres cubes
(à 0° et 760 mm.)

1017,04



Lissia-Gora
(M^{re} Chauve)
- 735



Zameina-Gora
(M^{re} des Serpents)
- 890



LÉGENDE

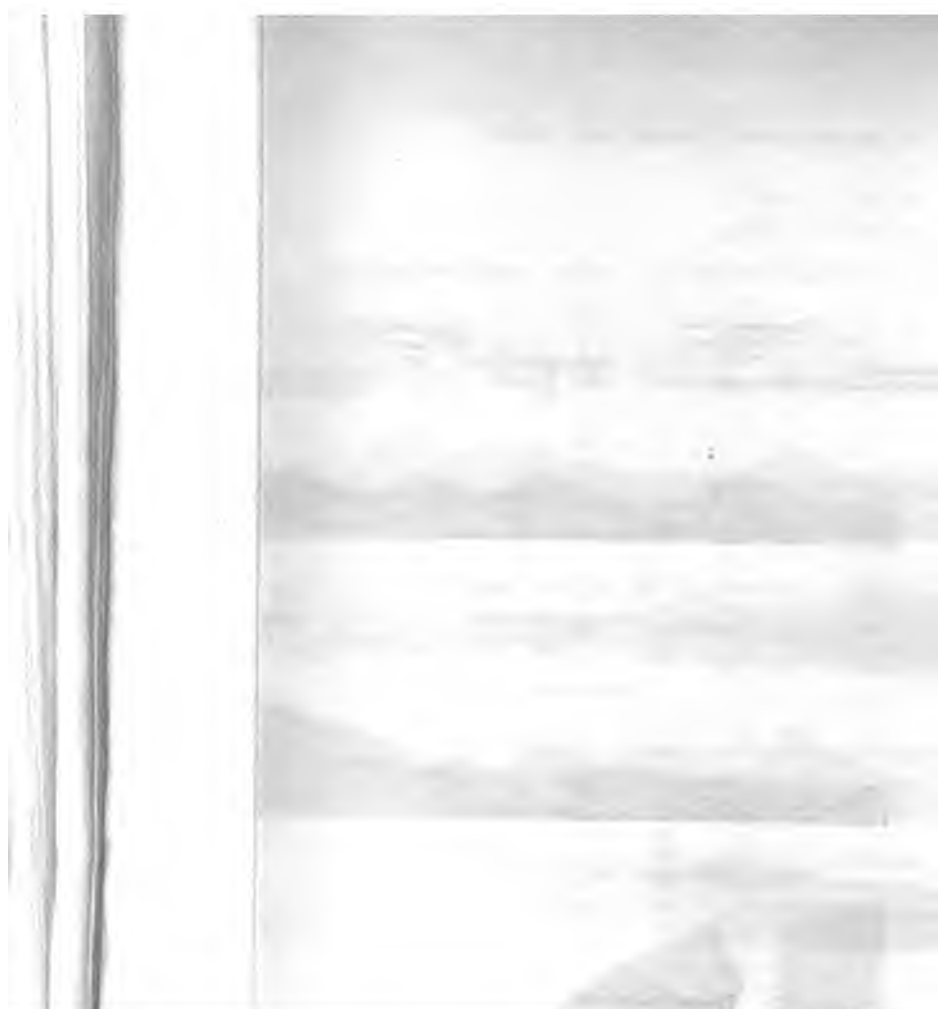
grains superficiels et alluvions

exertun

erne tertiaire (Eocène)

Blanc supérieur (Sénonian)

Granulite et porphyre pétrasiliceux



W. du Grand Proval
le la Goriatchaïa Gora

a Gora
aude!

Podkounok



passant par le contact
amont de la Stanitza d'Essentouky

• 100



de l'Est

sa Sup^{re}

M^{re} de fer



l'union des pentes

orne tertiaire (Eocène)

rain crétacé supérieur (Sénouvier)

id id moyen (Gault)

id id inf^{re} (Néocomien)

rogranulite et porphyre pétrosiliceux.



XVIII

DE WLADIKAVKAZ

aux gisements de naphte de Grosny.

PAR

A. KONCHIN.

aire: Wladikavkaz. Vallée de la rivière Térék. Vallée de la rivière Sounja. Arête Sounja. Gisement de naphte de Karoboulakh. Sources minérales Sliéptsovskia. Grosny.

La ville de Wladikavkaz est située sur un plateau au pied de la chaîne principale du Caucase dont les premiers contreforts, connus sous le nom de Tchornya gory (Montagnes Noires) sont percés par la chaîne à 8 verstes au sud de Wladikavkaz. Les montagnes noires sont recouvertes par des dépôts crétacés, recouverts de sédiments tertiaires. La vallée de la rivière Térék, de même que celle de son affluent la Sounja, consistent en dépôts glaciaires composés de galets provenant tant de roches sédimentaires (grès et calcaires) que de roches éruptives (trachytes). Les blocs et galets sont souvent cimentés en agglomérats compacts. On les voit dans les tranchées du chemin de fer et ils recouvrent de larges étendues de dépôts tertiaires du Miocène et du paléogène cerclant la chaîne du Caucase au nord.

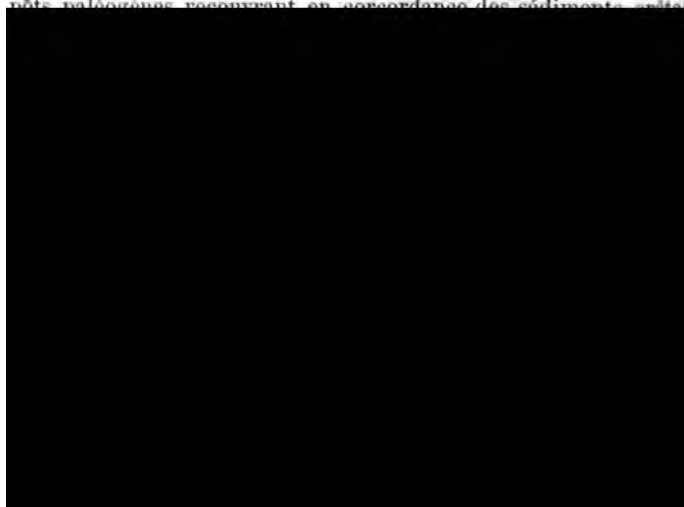
Le soulèvement latitudinal de l'arête principale du Caucase, et le soulèvement latéral de l'ensemble des dépôts tertiaires, ont eu pour résultat la formation de deux plis longitudinaux dont les anticlinales sont les crêtes Sounjensky et Tersky que la ligne magistrale du chemin de fer traverse en croix près de Wladikavkaz. Les synclinaux de ces plis forment deux vallées longitudinales: l'une, la Sounjenskaja, entre l'arête Sounjensky et les Montagnes Noires que traverse l'embranchement du chemin de fer de Pétersbourg; l'autre, parallèle à l'Alkhan-tchourtovskaja, entre les arêtes Sounjensky et Tersky.

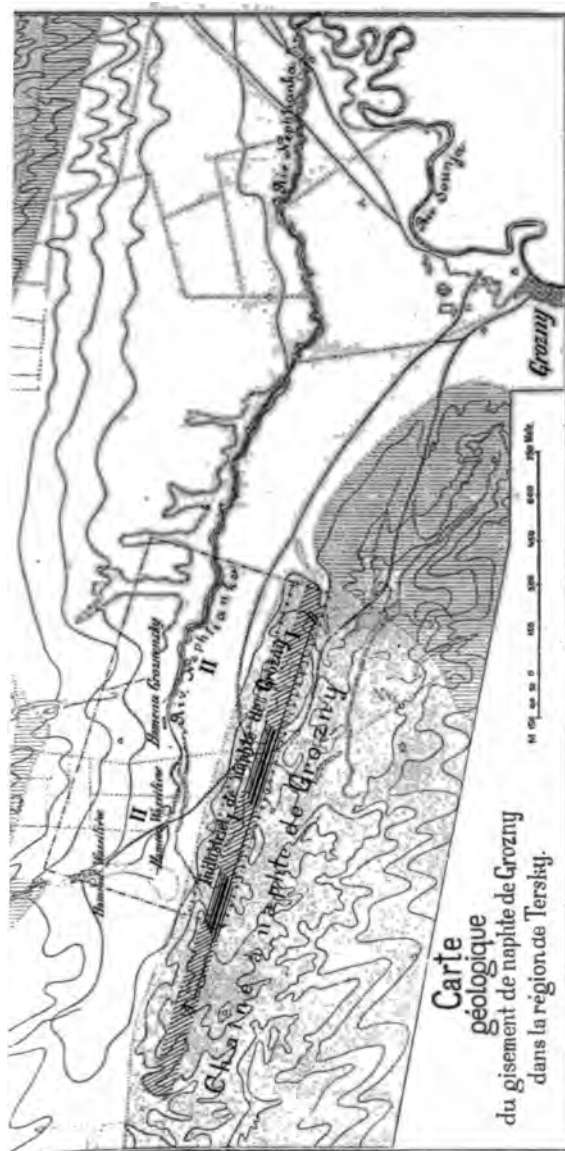
A l'extrémité orientale de la seconde vallée se trouve le terrain tertiaire de Grosny, connu par sa richesse en pétrole.

En parcourant le trajet de Wladikavkaz à Grosny, on s'élève, à gauche de la voie ferrée, les sommets culminants de Sounjensky, le Zamankoukh et le Babalo, le premier à 2031, le second à 2689 pieds au-dessus du niveau de la mer, tous les deux composés de dépôts paléogènes redressés en anticlinale. Vers l'est, le terrain s'abaisse graduellement. La base est constituée en partie par des dépôts néogènes argilo-sableux à *Cardium obsoletum* Eichw., *gregaria* Partsch., *Cerithium bicostatum* Eichw., en partie, à l'autre extrémité de l'axe anticlinale, par des dépôts néogènes consistant en argiles brunes finement stratifiées, superposées à un étage très épais de grès quartzeux friables bruns. Ce sont ces grès qui se distinguent par le suintement de naphte, des émanations d'hydrocarbures, la présence de sources d'eaux minérales chaudes, de préférence sulfureuses. Les points de sortie les plus intéressants de naphte et d'hydrocarbures dans l'arête Sounjensky s'observent à Karaboulakha: un groupe remarquable de sources minérales sulfureuses chaudes se trouve à Slieptsovka.

Ces deux groupes sont situés à une distance de 3 verstes de la voie ferrée, au pied méridional de l'arête Sounjensky dont l'axe qui ne coïncide pas avec l'axe orographique de la chaîne, se fait remarquer par des affleurements, sous forme de dykes, de grès quartzeux bruns. Le point extrême oriental de l'arête, le mont Dap, près de la ville de Grosny, n'a que 921 pieds d'altitude absolue. Il est formé de l'étage le plus moderne des stratifications tertiaires, et est recouvert de calcaires coquilliers de l'âge aralo-caspien.

Le chemin de fer longe la rive gauche de la Sounja qu'il franchit près de Grosny. Du côté droit de la vallée se dressent les contreforts avancés de la chaîne principale, les Montagnes Noires, formées





Dépôts alluviaux et diluviens.



Calcaires aralo-caspéens.



Sables, grès et argiles naphitères, partie affluants, partie découverts



Mêmes roches, recouvertes par les dépôts alluviaux et diluviens.



Argiles schisteuses foncées, sables et grès, sans naphte, recouvrant le





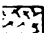
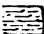
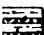

Gisement à une profondeur inconnue.



Gisement à une profondeur de 80 à 200 m., selon l'éloignement vers le nord.





-  Etage naphtifère, constitué par une puissante assise de sables, de grès friables et d'argiles finement feuilletées, très chargés de naphte du poids spécifique 0,865.
-  Grès quartzeux de l'étage naphtifère à sources minérales chaudes.
-  Etage composé de roches essentiellement argileuses recouvrant la zone productive du gisement.
-  Etage composé d'argiles schisteuses, de sables et de grès non naphtifères.
-  Même roches alternant avec les calcaires sarmatiques.
-  Alluvions récentes. Argiles friables claires, sables, gravier et terre végétale.

2

coïncide pas avec l'axe orographique. Les deux ailes de l'anti sont fortement inclinées vers le S et le N, alors que son axe s'incline doucement de l'W à l'E. A l'entrée dans le terrain de l'exploit les affleurements permettent de voir les couches verticales et renversées du flanc nord de l'anticlinale.

Les points où la naphte est exploitée sont situés dans des fonds ravins traversant le pli de l'arête Grosnensky. Les couches naphtifères du ravin occidental, mises à jour, consistent en argiles schisteuses brunes. Cependant le gisement principal de la naphte est plus bas, dans de puissants dépôts de grès quartzeux friables et alternant avec des marnes finement schisteuses d'un brun foncé à structure lamellaire. La puissance de cette assise atteint 200 sagènes. L'âge est celui du paléogène. Les couches naphtifères productives sont recouvertes d'une centaine de sagènes de roches argilo-arénacées du même âge. En plusieurs endroits de l'anticlinale l'érosion a percé ce toit, de sorte que les sources de naphte apparaissent au jour.

La fontaine N° 7, exploitation d'Akhwerdow, peut à elle seule donner une idée de la richesse en naphte du gisement Grosnensky: fontaine qui jaillit depuis plus de 1 $\frac{1}{2}$ an, d'une profondeur de 100 sagènes, a déjà rejeté plus de 40,000,000 de pouds de naphte.

A 3 verstes de là, à l'ouest, au fond et aux pentes de deux ravins dits Mamakaïevskié, analogues aux ravins de l'arête Grosnensky, plusieurs sources naturelles de naphte et de gaz naphteux, accompagnées de sources d'eaux sulfureuses chaudes. Sur les berges de ces ravins affleurent les mêmes grès quartzeux friables auxquels la naphte a donné une couleur brune et qui, dans les ravins Grosnensky, sont recouverts sous les marnes. Les grès alternent avec des argiles et le tout est refoulé en pli anticlinal.

La vallée de la rivière Nephtianka, fond d'un simple pli anticlinal, est formée des mêmes roches naphtifères de l'âge paléogène. Elle est recouverte d'un puissant étage néogène composé principalement d'un

XIX

EXCURSION GÉOLOGIQUE

DES ENVIRONS DE KISLOWODSK

et

de Kislowodsk à l'Elbrouz

PAR

N. KARAKASCH et K. ROUGUÉWITCH.

Principale littérature régionale.

- las. Voyages entrepris dans les gouvernements méridionaux de l'empire de Russie dans les années 1793—94. Leipzig.
- pffer. Voyage dans les environs du mont Elbrouz, rapport fait à l'Acad. des Sc. de St. Pétersbourg.
- Dubois de Montpéreux. Voyage autour du Caucase, chez les Tcherkesses etc. Paris.
- ich. Erläuterungen zu einem Profile durch den nördlichen Abhang des Kaukasus vom Elbruz bis zum Beschtai. Zeitschr. für allgemeine Erdkunde.
- ich. Vergleichende Grundzüge der Geologie des Kaukasus wie der armenischen und nordpersischen Gebirge. Prodromus einer Geologie der Kaukasischen Länder. St. Petersburg.
- ich. Beiträge zur geologischen Kenntniss der Thermalquellen in den kaukasischen Ländern. Tiflis.
- ich. Bemerkungen über die Geröll- und Trümmerablagerungen in den kaukasischen Ländern. Mélanges, Bul. de l'Ac. des Sc. de St. Pétersbourg. T. VIII.
- ich. Geologische Beobachtungen auf Reisen im Kaukasus im Jahre 1873. Bul. de la Soc. des Natur. de Moscou.

1875. E. Favre. Recherches géologiques dans la partie centrale de la chaîne du Caucase. Genève—Bâle—Lyon.
1876. Simonowitch, Batzévitch et Sorokin. Description géologique de la région de Piatigorsk. Matériaux pour la géologie du Caucase. Tiflis. (en russe).
1884. L. Dru. Note sur la géologie et l'hydrologie du Bechtak (Caucase). Bul. de la Soc. géol. de France, 3-me Série.
1885. Mouschkétoff. Remarques sur les eaux minérales du Caucase. Soc. Imp. de minéral. de St. Pétersbourg. T. XX (en russe).
1893. Neumayr und Uhlig. Ueber die von H. Abich im Kaukasus gesammelten Jura-fossilien. Denkschr. d. K. Akad. d. Wissensch. Mathem. Naturw. Cl. Bd. 53. Wien.
1896. N. Karakasch. Observations géologiques dans les vallées des fleuves Ouroukh, Ardon, Malka, et dans les environs de Kislowodsk. Trav. de la Soc. des Natural. de St. Pétersbourg. Vol. XXIV.
1897. N. Karakasch. Dépôts crétacés du versant septentrional de la chaîne principale du Caucase et leur faune. St. Pétersbourg.

Cartes géologiques.

- 1832—35. Dubois de Montpéreux. Carte générale géologique de la chaîne du Caucase, des systèmes caucasien et taurique.
- 1839—43. Dubois de Montpéreux. Voyage autour du Caucase, des Tcherkesses et les Abhases en Colchide, en Géorgie, en Arménie et en Crimée. Atlas. Paris.
- 1843—45. Hommaire-de-Hell. Les steppes de la mer Caspienne, du Caucase, la Crimée et la Russie méridionale. Atlas. Paris.
1856. Murchison. Carte géologique de l'Europe.
1857. Dumont. Carte géologique de l'Europe.
1875. E. Favre. Recherches géologiques dans la partie centrale de la chaîne du Caucase. Genève—Bâle—Lyon. 1:565,000.



vers au sud, les dépôts tertiaires sont remplacés par des marnes et un calcaire marneux contenant d'abondants débris d'*Inoceramus*, et encore plus loin, au-delà du pont de pierre, viennent se joindre les grès marneux glauconieux qui les supportent. Ces grès forment les hautes pentes escarpées de la vallée, étroite en cet endroit, où est situé Kislowodsk. Les environs de Kislowodsk présentent de belles coupes de la série des couches du système crétacé, qui sont ici plus complètes qu'ailleurs au flanc nord du Caucase.

Avant de faire la description des coupes les plus intéressantes, disons quelques mots de l'orographie de la région.

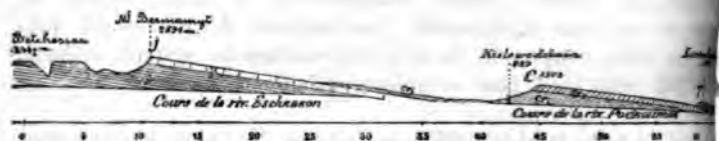
Vers l'est de l'Adal-Khokh (4,656 m.), le flanc nord du Caucase formé, on le sait, par des contreforts qui s'éloignent de l'arête principale sous l'aspect de trois terrasses parallèles s'abaissant graduellement. Ces avant-monts se dirigent à peu près dans la même direction que la chaîne principale qu'ils dépassent en hauteur sur plusieurs points. Les terrasses présentent une inclinaison monoclinale, caractéristique ici pour les avant-monts, vers le NNE; leurs pentes est-ouest, tournées vers le SSW, c'est-à-dire du côté de l'arête principale, se dirigent du NW au SE jusqu'aux montagnes du Daghestan, plusieurs de leurs sommets (Kion-Khokh = 3,423 m., Kariou-Khokh = 3,303 m.) atteignent la ligne des neiges. Le plus long de ces contreforts s'élève entre les rivières Kouban et Malka et forme, sous le nom de Tachly-syrt, le commencement du partage des eaux s'écoulant dans la mer Noire et Caspienne. La ligne de partage qui s'étend sur une distance de 300 verstes à partir du Tchichgour-Akhtchat (3,467 m.), au point le plus élevée du Tachly-syrt, relie orographiquement la chaîne du Caucase aux hauteurs plates, situées au nord, de Tiomnik et de Stavropol.

Le Tachly-syrt est coupé par de profondes gorges, entre lesquelles se dressent d'étroites arêtes à parois abruptes, tournées vers l'Elbrouz (5,625' = 5,646 m.), doucement inclinées vers le nord.

Entre le Tachly-syrt et Piatigorsk, le contrefort, mentionné plus haut, de l'arête principale forme plusieurs grands plateaux dont le plus proche de l'Elbrouz, appelé par Abich plateau de Betchessan (voir page 4), s'incline vers le sud sous un angle de 6" tout au plus. Sur une étendue de 20 kilomètres on n'y voit aucune élévation dépassant 200 pieds de hauteur. Ce plateau qui est lui-même situé à 700 p. = 2,347 m. au-dessus du niveau de la mer, se termine au nord par la pente abrupte de la première rangée de montagnes s'étendant du NW au SE, et forme la première et la plus élevée des terrasses. La crête de cette première rangée de montagnes est constituée par des calcaires dolomitiques du jura supérieur. Nous donnons à cette saillie le nom de saillie de Bermamyt et nous la désignerons sur la carte par la lettre J.

Du Bermamyt la terrasse s'abaisse graduellement vers le nord et est recouverte par des dépôts du crétacé inférieur, près de Kislowodsk.

wodsk, au pied de la saillie escarpée de l'avant-chaine suivante. La seconde saillie, que nous appelons saillie de Kislowodsk, est formée de calcaires du crétacé inférieur; nous la marquons par la lettre C.



Coupe géologique NE—SW du mont Bermamyt à l'Essentouk.

La pente nord doucement inclinée de la 3-me terrasse est recouverte, dans la partie septentrionale, par des dépôts tertiaires formant une troisième rangée de montagnes, moins élevées, qui s'abaisse doucement vers le nord et se confond peu à peu avec la plaine du Caucase du nord. Cette rangée, que nous nommons rangée de Piatigorsk, est désignée sur la coupe par la lettre T.

Toutes les couches des terrasses offrent une disposition régulière peu inclinée, qui n'a été dérangée par aucune dislocation. Néanmoins un groupe de dômes isolés s'élève au milieu de la contrée plate, à la lisière de la dernière terrasse et le commencement de la plaine caucasienne. Ce sont le Machouk, le Bechtaou (Cinq-Montagnes), le Zméïnaïa (Mont des serpents), le Koum-gora, le Werblioud (Mont Chameau), le Byk (Mont Taureau), etc. Abich considère ces montagnes comme formées par deux soulèvements radiaux dont l'un se serait produit au NW, l'autre au NE. Le premier mouvement aurait soulevé le Bechtaou et le Koum, le second toutes les autres montagnes. La même poussée aurait aussi produit, d'après Abich, les fentes qui donnent aujourd'hui passage aux eaux minérales.

onde, *A—B*, va de la partie sud-est de l'arête Djinal, par la
 me Lyssaïa, vers la vallée de la Malka, au sud-ouest (Carte géol.
 IX).



pe géologique NE — SW. (Ravins Gloukhafa et Chirokata).

l'on se dirige, par le ravin Gloukhafa, de Kislowodsk vers le
 t, on observe, à droite du ruisseau qui le parcourt, près de la
 ra (faubourg de Kislowodsk), un affleurement de grès marneux
 ix, composé, dans l'ordre ascendant, par les couches suivantes
 ment colorées:

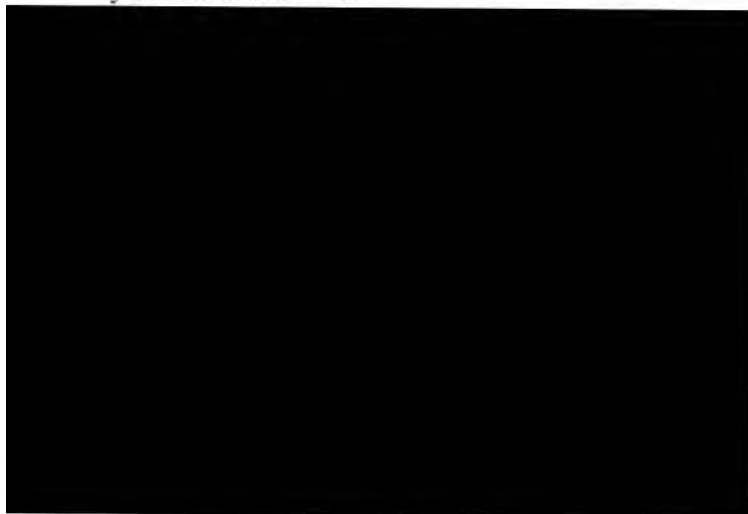
- .) Grès argilo-marneux schisteux d'un gris d'acier, abondant en
 paillettes de mica.
 - 2) Grès argileux friables, quelque peu calcarifères, de couleur jaune.
 - 3) Grès calcarifères oolithiques à grain fin.
 - 4) Grès oolithiques gris rougeâtre.
- outes ces couches se rapportent à la section inférieure du sy-
 crétacé, c'est-à-dire au néocomien, et, comme nous le verrons
 i coupe du ravin Olkhovka, contiennent une faune équivalente
 du hauterivien.
- 5) Grès rouge à *Belemnites semicanaliculatus* Bl. et *Toxoceras*
Emerici d'Orb. Ce grès, qui se rapporte à l'aptien, est
 très friable et se désagrège facilement. Ce grès affecte
 souvent la forme de colonnes fantasques ou de grandes
 massues, ce qui lui a fait donner dans le pays le nom
 d'„idoles chinoises“.
 - 6) Grès marneux gris, riche en lamelles de mica et grains de
 glauconie, dépourvu de fossiles, contient de fréquentes
 concrétions rondes. Dans sa partie supérieure il passe à un
 - 7) Grès stratifié, plus compact.
 - 8) Grès marneux glauconieux gris jaunâtre, s'avancant en saillie.
 - 9) Couche contenant en profusion de grandes *Cyprina angu-*
lata Desh., *Gervillia extenuata* Eichw. et de nombreux
 petits gastéropodes.
 - 10) Couches de grès plus foncés à *Belemnites semicanalicula-*
tus Bl., *Acanthoceras Martini* d'Orb., *Ac. cf. crassico-*
statum d'Orb., *Acanth. Milleti* d'Orb., *Hoplites Des-*
hayesi Leym., *Phylloceras Velledae* Mich., *Trigonia*
ataeformis Park., *Gervillia extenuata* Eichw.

- 11) Au-dessus de cette saillie se montrent de nouveaux marneux glauconieux, abondant en petites *Aporrhais Orbignyana* Pict., à côté de *Thetis* et *Gervillia*.
- 12) Grès friables jaunâtres.
- 13) Grès compacts gris foncé, contenant moins de mica mais abondant en paillettes de mica. Ces grès stratifiés de couches ferrugineuses plus compactes.
- 14) Tout ce puissant horizon de grès, formé de couches aptien et en partie de l'albien, est sur des couches de calcaire marneux blanc du *Inoceramus Cripsii* et *I. Cuvieri*, couches qui ici les dépôts crétacés.

Les couches de l'étage néocomien se montrent d'une nette le long de la rivière Olkhovka. Là, elles se composent de sableuses schisteuses friables d'un gris foncé à *Nautilus elegans* d'Orb., *Crioceras Duvalii*, *Terebratulula sella* Sow., *Ammonia tamarindus* Sow., *Ostrea Couloni*, *Trigonia carinata* Ag., *Cyprina Deshayesi* Lor. etc.

Ces marnes, superposées à des calcaires dolomitiques titonien, supportent des calcaires ferrugineux, surmontés à leur tour par des calcaires oolithiques, pierres de construction de l'église. La série des couches qui viennent par dessus est la même que nous avons vue dans le ravin Gloukhaïa.

La meilleure coupe géologique des dépôts crétacés est évidemment celle qui s'observe dans la montagne Lyssaïa, le long du ravin sud-est de l'arête Djinal. Aucun point du flanc nord ne présente de série plus complète de dépôts crétacés que celui-ci. On y voit de haut en bas:



n'ont jusqu'ici nulle part été retrouvés sur le flanc nord du

que les grès marneux (4 et 5), superposés aux calcaires cé-
s (6), ne renferment point de fossiles, leur disposition strati-
e entre les couches sénoniennes et cénomaniennes semble
leur correspondance aux dépôts de l'étage turonien.

Marnes argileuses schisteuses noires de l'étage albien à *Belemmites minimus* List., moules et empreintes de *Schloenbachia inflata* Sow., *Inoceramus* sp., *Plicatula* sp., et concrétions de pyrite.

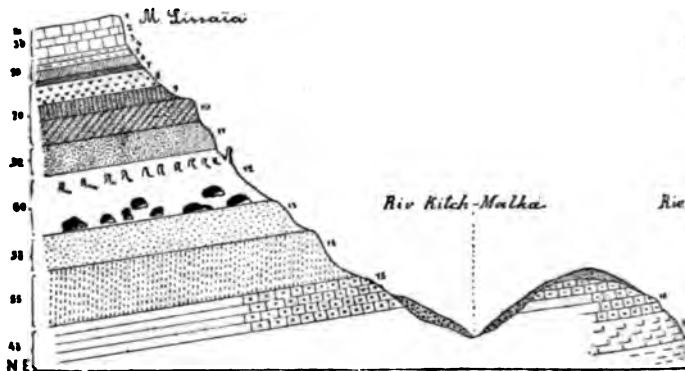
Grès friable gris jaunâtre.

Grès plus compact dont les grains de quartz et de glauconie sont cimentés par une matière argilo-calcaire.

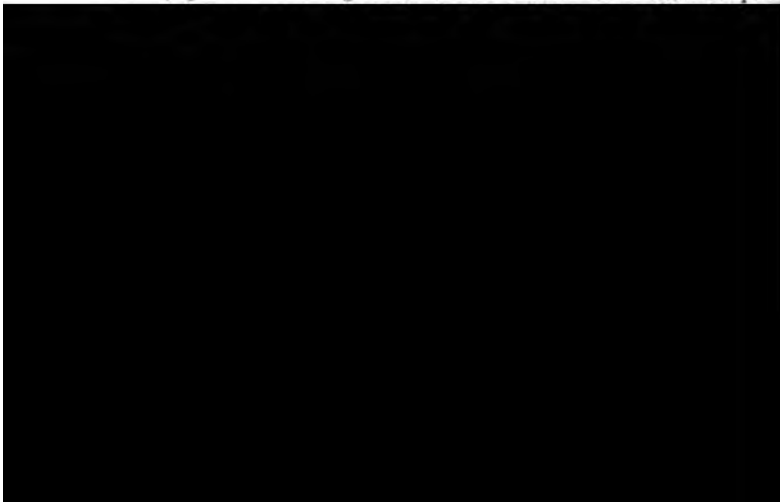
- o) Grès gris jaunâtre, semblable au N° 8, mais mélangé d'argile, de grains de glauconie et de paillettes de mica blanc. Forme la paroi abrupte de la seconde saillie de la pente.
- 1) La petite saillie suivante se compose de grès glauconieux marneux gris à *Thetis minor* Sow. Dans le horizon supérieur on trouve en abondance *Thetis minor* Sow., *Cyprina Bernensis* Leym., *Gervillia extenuata* Eichw., *Trigonia alaciformis* Park.
- 2) Grès friable jaunâtre à grosses concrétions rondes. A cet horizon on rencontre des grottes et des cavernes.
- 3) Marne sableuse grise, avec grains de glauconie, abondant en *Thetis*, *Gervillia* etc. Cette marne forme la saillie suivante de la pente, haute de 30 m. environ. Même aspect et faune qu'à l'horizon 11.
- 4) Le gradin suivant est formé par des grès marneux friables d'un jaune rougeâtre. Les grès recouvrent les couches d'un calcaire oolithique (15) qui compose la dernière saillie de la pente.

La puissante assise des grès marneux (8—13) se rapporte à l'aptien, tandis que le calcaire oolithique représente l'horizon ur du néocomien. Les horizons inférieurs du néocomien, cachés par l'assise alluviale, s'observent dans les rives de la Malka, en aval du village Karmowa, et dans l'étroite arête de partage qui s'étend de l'E à l'W, entre les rivières Malka et Kitchmalka. Le long de la Malka les affleurements du néocomien sont d'ailleurs souvent masqués par de puissants dépôts d'un conglomérat dilluvial empêchant la superposition directe du néocomien sur les dolomies titoniennes (17, 18) qui viennent se montrer, tant sur la Malka qu'en de nombreux points entre la vallée de cette rivière et Kislowodsk. Avant d'avoir pris connaissance des dépôts crétacés des alentours de Kislowodsk, nous passerons aux formations jurassiques développées dans le sud, vers l'Elbrouz (Carte géol. Lignes F—F', H—G).

Le chemin qui mène de Kislowodsk à l'Elbrous traverse d sur un parcours de 45 klm., un plateau doucement incliné vers i Les beaux pâturages dont le plateau est couvert cachent les sous-jacentes, de sorte qu'il est difficile d'indiquer avec quel cision la limite entre les dépôts crétacés et les roches jurassiq calcaires néocomiens que l'on rencontre encore çà et là dans le rements le long des rivières Alikonovka et Olkhovka, dispa bientôt pour être remplacés par les calcaires du jurassique s



formant le sommet du Bermamyt. Le Bermamyt (2591 m.) e des cimes les plus connues et les plus visitées par les touristes d contrefort jurassique qui s'étend le long du flanc nord de l'arêt cipale du Caucase. Une vue magnifique s'ouvre de son somm l'Elbrous et les cimes voisines couvertes de neiges. C'est sur matin, quand le cone grandioze de l'Elbrous est illuminé par l



t aux dépôts du dogger, alors que l'âge de la partie inférieure peut encore être déterminé avec certitude: les uns le rap-
dogger, d'autres au lias. La section supérieure du jura,
calcaires, correspond au Malm de l'Europe centrale et oc-
et joue un rôle important dans l'orographie de la région.
euses rivières et leurs confluent, descendant de l'arête
, coupent la bande de ces calcaires en parties isolées qui
comme de grands plateaux, doucement inclinés vers le
entes brusques et escarpées vers le sud. Un de ces escarpe-
ève à 300 m. au-dessus de la terrasse de Betchessan, en for-
montagne Bermamyt qui sépare la terrasse de Betchessan de
Kislowodsk. La coupe de cet escarpement (coupe décrite par
tch, Batzewitch et Norokin) montre, de haut en bas:

Épaisses couches de dolomie gris clair ou quelque peu jaunâtre,
à grain fin et à cassure granulaire qui contiennent *Natica*
hemisphaerica d'Orb., *Nerinea Zeuchneri* Peter., *Ne-*
rinea bruntrutana Thurm. De plus, on y rencontre assez
souvent des inclusions d'albâtre sous forme de petits nids
ou d'amas irréguliers. Un de ces gisements d'albâtre se
trouve sur le chemin de Kislowodsk au Bermamyt, non
loin du sommet.

Calcaires dolomitiques très compacts, également d'un gris
clair, qui abondent par places en amas de coraux géné-
ralement mal conservés. En outre on y a trouvé *Rhyn-*
chonella lacunosa Schl., *Alveopora ramosa* Reuss., *Al-*
veopora tuberosa Reuss., et écailles de *Hemicidaris cre-*
mularis Aq.

deux horizons dont les couches plongent vers le nord sous un
5° à 6°, forment la section supérieure du système jurassique.
dessous des calcaires corallifères l'escarpement devient moins
par endroits la pente est couverte d'éboulis et de grands blocs
ces qui cachent les roches primitives s'avancant çà et là en

Les calcaires dolomitiques corallifères sont superposés à une
puissante assise de grès, formée par une série de couches
dont les supérieures à grains moyens ou fins, de couleur
gris clair, exhalant une faible odeur d'argile, sont tra-
versées par des veines et de minces intercalations de quartz,
épaisses jusqu'à 1 décimètre.

Ces couches de grès alternent avec des grès calcareux de
couleur rougeâtre qui leur sont subordonnés.

Grès argileux gris, formés d'un aggrégat finement granulaire
de grains de quartz, liés par un ciment argileux.

Couches de houille, jusqu'à 2 pieds d'épaisseur. La houille
forme une masse feuilletée compacte, d'un noir de poix,

à éclat gras et cassure conchoïdale. Parfois on y trouve de petites inclusions ou filons de pyrite.

7) Grès argileux.

8) Puissant dépôt d'un conglomérat quartzeux d'âge probablement tertiaire, composé de grains de diverse grosseur de quartz, peu cimentés. Par places les matières constituantes sont cimentées et la roche plus compacte accuse une structure feuilletée.

Ces roches constituent toute l'étendue du plateau de Betchessan limité au nord par les hauteurs du Bermamyt et la vallée de la Kisaout, au sud par une arête schisteuse assez élevée qui le sépare de l'Elbrous.

Au sud du Bermamyt la section inférieure houillifère du plateau acquiert un fort développement dans les hauteurs de Betchessan, elle joue un rôle orographique indépendant.

Cette section est formée par une assise de grès, épaisse de 360 mètres et consiste en une alternance de psammites quartzeux et feldspathiques, à grain fin ou grossier, liés par un ciment tantôt kaolinique, tantôt argileux ou ocreux, et de schiste argileux abondant en pyrite, rosidélite et concrétions sablo-argileuses de fer oligiste. Les grès renferment des couches de houille.

Dans la partie inférieure des grès de Betchessan les restes de végétaux sont rares, tandis qu'ils abondent dans la partie supérieure houillifère. Déjà Abich y avait trouvé des fossiles, la plupart de l'époque oolithique inférieure. Il n'y a pas longtemps que le prof. Uhlig a terminé encore quelques-unes des formes trouvées par Abich dans la partie supérieure du grès houillifère, notamment dans une couche épaisse à peine de 1 $\frac{1}{2}$ pied, de grès gris foncé calcarifère, par endroits ocreux, intercalé de minces lits d'argile et situé sur la pente nord du Bermamyt sous une épaisse couche d'éboulis. Ce sont les fo

XIX. Guide des excursions du VII Congrès Géolog. Internat.



Pl. C.



cette roche est une andésite, composée d'une pâte noire sur laquelle tranchent des cristaux blancs d'oligoclase grains de quartz. Au microscope Tcherniak a trouvé de l'orthose, de l'oligoclase, beaucoup de pyroxène, quartzite et de magnétite, de sorte qu'il range la roche parmi les quartziteux, ou plutôt parmi le sous-groupe des riolites.

Le cône andésitique de l'Elbrous repose sur les granites cristallins. Ces roches constituent toute la partie inférieure, occupent la partie supérieure de la vallée de la Malka paraissent à l'ouest de l'Elbrous, vers la source de la K. Vers le nord, elles s'étendent au loin dans la vallée.

Le granite ordinairement rouge est composé de cristaux d'oligoclase et de quartz. Il offre plusieurs variétés qu'on trouve dans les gneiss et des schistes micacés, ces derniers surtout dans la haute Malka.

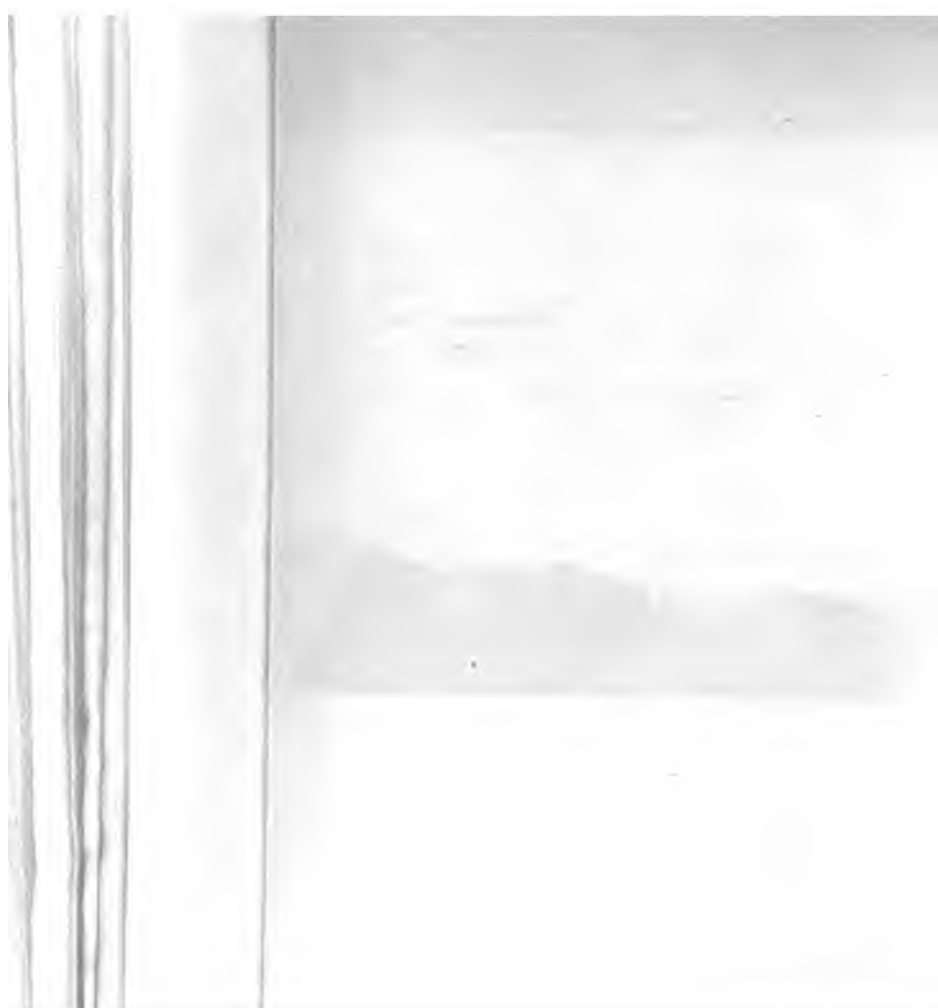
L'Elbrous donne naissance à de nombreux grands ruisseaux les plus puissants descendent dans la vallée de la Baksa les moins importants se trouvent sur les autres pentes de la montagne.

L'excursion se terminera par la visite d'un des grands lacs dans la vallée de la Malka, dans l'angle formé par l'Elbrous et l'arête Tachly-syrt qui se dirige dans le sud en formant la ligne de partage des bassins de la Caspienne.



1. The first part of the document is a list of names and addresses of the members of the committee.

100



XX
VOYAGE GÉOLOGIQUE
PAR
LA VOLGA
de Kazan à Tzaritsyn.

PAR
A. P. PAVLOW,
PROFESSEUR A L'UNIVERSITÉ DE MOSCOU.

Itinéraire général du voyage.

Sur la première moitié du voyage, depuis Nijni-Novgorod jusqu'à Kazan, les participants à l'excursion de la Volga se serviront du guide *Excursion à l'Oural*.

1^{er} jour: Départ de Kazan vers le soir.

2^e jour: Dolinovka, Gorodichtché, Polivna, Simbirsk. La nuit entre Simbirsk et Stavropol.

3^e jour: Presqu'île de Samara. Jégouli, mines d'asphalte. Kachpou, aval de Syzran. La nuit entre Kachpour et Volsk.

4^e jour: Volsk, Saratow. La nuit entre Saratow et Zolotoïé.

5^e jour: Troubino, Bannovka, Chtcherbakovka, Kamychin.

6^e jour: Alexandrovka. Tzaritsyn.

I-re PARTIE.

Aperçu général sur la région de la rive droite de la basse Volga.

Le territoire du pays. La région avoisinant la rive droite de la basse Volga, dans les gouvernements de Simbirsk et de Saratow offre un aspect très intéressant dans ses diverses parties. Ces différences résultent de la nature des roches et du sol, du relief, du climat et de la végétation.

Dans sa partie septentrionale, entre la limite du gouvernement et celle du district de Senguiléi, le pays est presque entièrement couvert de forêts; cependant la pente escarpée de la Volga et une partie du long du fleuve sont boisées.

Le relief de cette région septentrionale n'est pas uniforme. C'est une plaine découpée par des vallées larges et à pentes inégales; le tchernosiom, plus ou moins fertile, y prédomine. Les roches anciennes qui y sont les plus anciennes sont les argiles du jurassique supérieur et celle du crétacé. Leurs couches s'inclinent faiblement vers le sud, de sorte que les roches jurassiques du nord disparaissent bientôt pour faire place aux roches crétacées inférieures. Les pentes douces des vallées sont couvertes de limon loessif ou d'argile sableuse d'origine éolienne (v. plus bas).

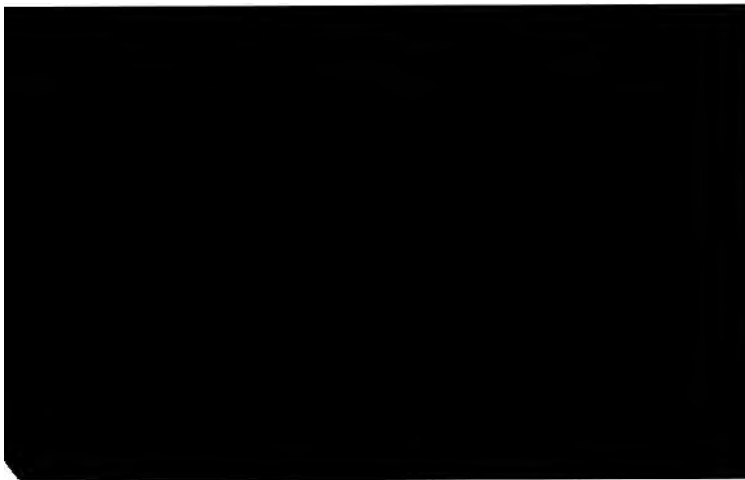
La région suivante s'étend jusqu'au pied des montagnes de Sengouléi qui, grâce à une faille d'âge tertiaire, se redressent et forment la ligne joignant Kanadéi et Stavropol, et se prolongent jusqu'à la mer de Samara. Cette seconde région présente un relief plus accidenté que la première. Cette partie périphérique offre beaucoup d'analogie avec la région précédente par le relief et par l'absence de forêts. Mais elle est couverte d'un autre type de tchernosiom, riche en fragments anguleux de roches siliceuses turoniennes, qui viennent y remplacer les argiles inférieures. Ces dernières cependant restent encore longtemps à la base des falaises de la rive droite de la Volga. Une partie de ce plateau, celle qui est en même temps la plus élevée, est formée de roches tertiaires. Les argiles siliceuses, les grès, les sables et les grès quartzeux sont les roches les plus caractéristiques du tertiaire. La désagrégation de ces roches produit des sols fertiles ou caillouteux peu favorables à l'agriculture; c'est pourquoi les hautes régions sont encore riches en forêts et comparativement peu peuplées. Du dessous du tertiaire, dans les vallées, é-



XX. Guide des excurs. du VII Congrès Géolog. Intern.



Fig. 1. Deluvium formant les pentes douces des montagnes près de Chilovka.



n) se cache sous les couches jurassiques; ces dernières à plongent sous l'argile néocomienne et aptienne. Avec la on de ces couches, réapparaît le même caractère topographique celui que nous avons vu dans la partie septentrionale du nent de Simbirsk. Mais bientôt les marnes siliceuses du crérieur et la craie viennent recouvrir la série argileuse; alors devient irrégulièrement onduleux: de plus les lambeaux du aire, épargnés par l'érosion, y forment plusieurs petits platea. Telles sont les montagnes isolées dites Otmaly, s'élevant s la rivière de Syzran, et la rangée des petits plateaux boiant la Volga entre Khvalynsk et l'embouchure de la Térechka, remarquable en ce qu'elle garde pendant très longtemps la SE et coule presque parallèlement à la Volga. Cette rée beaucoup de rapport avec la seconde, mais les caractères ppe s'y font déjà sentir.

Inquième région, entre Saratow et Tzaritsyn, possède un relief centné: partout des plaines ou de légères ondulations de Les forêts s'y rencontrent encore dans la partie nord, mais s lambeaux isolés; en s'avancant vers le sud on ne trouve des touffes d'arbres dans quelques vallons; le sol devient de plus aride et enfin nous arrivons à la steppe en plein dévet, avec sa végétation et sa culture. Les espaces sablonneux lépourvus de toute végétation n'y sont pas rares.

aval de Tzaritsyn la Volga fait un détour vers le SE et s'énitivement des hauteurs qui jusqu'à cet endroit formaient sa e droite. Ces hauteurs gardent leur direction méridionale et, nom d'Erguénî, se prolongent jusqu'à la rivière Manytch. nature des alluvions de la Volga v. la fin de l'aperçu strate- te).

ditions tectoniques. La tectonique du pays le long de la ga n'est pas très compliquée. De prime abord, les couches horizontales dans les coupes que présentent les escarpements ga; mais si l'on fixe une de ces couches, en la suivant, sans la vue, sur une distance assez considérable, on se persuade ches sont inclinées et plus ou moins disloquées, circonstance ste pas sans influence sur le relief du pays. Ce qu'on observe vent, c'est un faible pendage des couches dans le sens mé- la véritable inclinaison des couches se dirige plutôt vers le E). C'est grâce à ce pendage que les couches les plus an- sparaissent pour faire place aux plus récentes. Des ondula- les viennent par endroits compliquer cette inclinaison, sans en changer la direction générale. Outre ces inclinaisons et s ondulations des couches, des dislocations plus considérables s pour la plupart) viennent s'interposer et compliquer la du pays. Parmi elles, la plus grande, celle des Jégouli, met calcaire carbonifère et le permien et subdivise toute la ré-

basse Volga. Dans le plus grand nombre de ces affleurements, on observe des couches inclinées et une succession rapide des horizons géologiques. Cette ligne des affleurements des carbonifères et du jurassique a reçu le nom de système de Don et se compose des chaînons suivants: de l'îlot carbonifère menskaïa sur le Don, de celui de la station Archéda, d'un îlot situé entre les deux précédents, des affleurements du jurassique près de Jirnoté sur la Medvéditsa et des affleurements des mêmes roches près de Tioplovka, non loin de la Medvéditsa. Un autre système de plissements et de dislocations commence par le coteau méridional d'Erguéni dont les couches prennent la direction générale de la rive droite de la partie sud du gouvernement de Saratow. Cette rive du Don présente à plusieurs points l'apercevoir de petites failles. Le plus important de ces endroits se trouve entre Alexandrovka et Proléïka; un petit „Graben“ mettant en contact les couches carbonifères avec les couches à *Meletta*. (v. Pl. H.). La direction de ces failles est presque méridionale et coupe la ligne du rivage à angle aigu. Des phénomènes du même genre ont été observés de Bélata Glinka, près de Saratow et près de Volsk. Jusqu'ici, on n'a qu'ébauché les conditions tectoniques du pays en question et l'on ne peut que conjecturer que les dislocations ci-dessus ont exercé une certaine influence sur la direction de la basse Volga.

Stratigraphie. Le trajet par bateau spécial en bateau sur la Volga permet d'observer tous les systèmes géologiques du Carbonifère supérieur jusqu'au quaternaire, sauf le triasique indubitable du mont Bogdo qui restera à un certain nombre de kilomètres à l'est de la Volga. On

Le callovien est représenté par des sables et des argiles pauvres en fossiles, recouvrant les marnes bigarrées du permien. Dans la région des Jégouli le sable callovien, comme le calcaire carbonifère permien, est pénétré de bitume et est exploité pour la fabrication du goudron. Le callovien moyen (zone à *Stephanoceras coronatum*) n'atteint pas un développement considérable et dans la partie orientale de la région se borne à un lit de conglomérat friable formé de débris roulés de fossiles calloviens inférieurs. Ce lit est immédiatement recouvert d'argiles oxfordiennes à *Cardioceras cordatum*. Dans le district de Syzran le callovien moyen est mieux développé et est accompagné du callovien supérieur (zone à *Quenstedticeras lamellosum*), mais il est difficile de les observer à cause des éboulements et de l'absence de belles coupes près de la route suivie par les excursionnistes. L'oxfordien est partout représenté par les argiles marneuses, dans la partie inférieure *Cardioceras cordatum*, *tenuicostatum*, *Perisphinctes plicatilis*, des Belemnites du groupe *Bel. Panderi* etc. et, dans la partie supérieure, *Cardioceras alternans* et des Belemnites du même groupe. Cette partie supérieure peut également être considérée comme équivalent du séquanien. Le kimmeridgien se compose de la même roche et, pétrographiquement, se confond avec l'oxfordien (et le séquanien); seulement vers le sommet il reçoit des lits d'argile schisteuse foncée. La présence de plusieurs fossiles bien connus dans l'Europe occidentale rend la faune kimmeridgienne très intéressante; tels sont *Hoplites pseudomutabilis*, *Hoplites eudoxus*, *Aspidoceras acanthicum*, *Exogyra virgula* et beaucoup d'autres. Ces espèces sont accompagnées de plusieurs représentants de la faune boréale donnant au kimmeridgien russe un cachet spécial: ce sont par exemple les Aucelles du groupe *Aucella Pallasi*, vs. *Aucella Bronni* Lohus, *Cardioceras Volgae*, et *subtilicosus*, les Belemnites du groupe *Porrecti* et *Magnifici* etc.

La base du Portlandien, à son tour, se confond pétrographiquement avec le kimmeridgien, mais l'apparition des Ammonites du groupe d'*A. Bleicheri*, des Perisphinctes à grosses côtes bifurquées se rapprochant du *Perisphinctes Pallasi* d'Orb., ainsi que de la *Discina lasima* et du *Belemnites magnificus* typique, atteste le commencement d'un nouvel âge. L'argile grise de la base du portlandien est recouverte de schistes bitumineux, gisement principal de la *Discina lasima* et des Virgatites; au-dessus vient le conglomérat phosphatique avec *Virgatites virgatus* et le grès à grands Ammonites du groupe *A. giganteus*. Outre les formes connues dans le portlandien de l'Europe occidentale, le portlandien russe, de même que le kimmeridgien, renferme beaucoup de formes boréales: ce sont surtout de nombreuses *Aucellae* et des Belemnites des groupes *Magnifici* et *planati*.

Le système jurassique se termine par l'aquilonien, étage correspondant au tithonique supérieur et au purbeckien de l'ouest, marin comme le tithonique, mais dans la faune duquel les éléments bo-

ables micacés contenant des rognons phosphatiques, et par des places, sont très riches en fossiles; les plus communs sont *Schloenbachia varians* Sow., *Schloenbachia Coupei* Brong., *Avellana plena* Blaint., *Avellana cassis* d'Orb., *Avellana sculpta* d'Orb., *Ostraea conica* d'Orb., *Pecten Virgatus* d'Orb., *Pecten orbatus* d'Orb., *Pecten hispidus* Goldf., *Janira quinquecostata* Goldf., *Technoculus lens* Nils., *Inoceramus latus* Montf.

Le sénéonien renferme des marnes argileuses et siliceuses du calcaire et de la craie blanche; ces dernières couches occupent ordinairement la base de l'étage; elles sont plus fossilifères et riches surtout en *Inoceramus*; c'est ce qui a fait désigner ce niveau par le nom de *Inocerames* (*Inoceramus Brongniarti* Sow., *Inoceramus* *Sow.*, *Inoceramus russiensis* Nik. et autres.

La partie supérieure de l'étage prédominent les marnes siliceuses (*Avicula* (*Avicula tenuicostata* Roem., *Avicula* cf. *lineata* et plusieurs autres espèces d'*Avicula*) qui au sud de Saratow avec du grès glauconieux et de l'argile; elles sont très pauvres en fossiles; de sorte qu'il est assez difficile de tracer la limite qui les sépare du sénéonien. Dans le gouvernement de Simbirsk ce dernier se compose de la craie blanche et d'argile noire assez dure; celle-ci est riche en fossiles; la craie blanche au contraire en renferme peu, entre autres: *Parasmilia centralis* Maut., *Ananhytes ovata* Maut., *Rhynchonella plicatilis* var., *octoplicata* Sow., *Terebratula* *Sow.*, *Terebratula carnea* Sow., *Terebratula gracilis* Schloth., *Pumilus* Sow., *Ostraea vesicularis* Lam., *Lima semisulcata* Sow., *Spondylus globosus* d'Orb., *Belemnitella mucronata* d'Orb. La partie méridionale, des marnes argileuses gris clair et des marnes molles à *Belemnitella mucronata* et *Ostraea vesicularis*, passe à la base aux marnes siliceuses, forment le sénéonien.

Le crétacé supérieur est partout nettement délimité du tertiaire, base duquel on observe ordinairement une mince couche de grès glauconieux avec des dents de requins, des fragments de *Belemnites* ou seulement des cavités et des empreintes laissées par les dents de *Belemnitella*. Ce grès de contact n'atteint le plus souvent que quelques centimètres d'épaisseur et, par places, manque complètement. La région en aval de Volsk se distingue surtout par son développement, à la base du tertiaire, de grès argilo-siliceux plus ou moins glauconieux et micacé, dans lequel *Nautilus Danicus* a été découvert. L'horizon à *Nautilus Danicus* n'existe pas dans la plupart des points de la rive droite de la Volga, et la mince couche de grès glauconieux de contact passe sans intermédiaire à l'argile siliceuse ou bleuâtre, alternant parfois avec le tripoli à Diatomacées. Cette assise inférieure du tertiaire n'est pas très riche en fossiles; on n'y trouve guère que des empreintes et des moules. On y trouve communément: *Nodosaria raphanistrum* Lin., *Trochodonta calcitrata* v. Koen., *Nucula proava* Wood, *Nucula dentata* v. Koen., *Natica detrita* v. Koen., *Dentalium rugiferum*

v. Koen., *Scalardia crassilabris* v. Koen. et d'autres espèces, proviennent de celles qui se trouvent dans le paléocène de Kopenhague et dans les couches les plus inférieures du tertiaire de l'ouest ¹⁾. Cette zone occupe un grand espace dans la partie sud du gouvernement de Tver, surtout dans la région des sources des rivières Syzran, Sosna, Oussa, et donne naissance à des sols pierreux ou cendreux, dépouillés de chaux. Au sud de la région de la basse Volga elle ne ressort que rarement du dessous des couches supérieures et disparaît définitivement dans la moitié méridionale du district de Kamychin.

Dans l'assise suivante du tertiaire prédomine le grès argileux, plus ou moins glauconifère et micacé; il est plus riche en fossiles que la roche sous-jacente, mais ce sont également des empreintes et des moules qui s'y rencontrent. En étudiant ces restes, on ne peut cependant à reconstruire la forme et la sculpture des fossiles que dans bien des cas, à déterminer les espèces.

On obtient ainsi une faune intéressante dans laquelle, avec quelques espèces non décrites, on voit beaucoup de formes identiques ou très voisines de celles qui sont connues dans le paléocène de Kopenhague, le landenien de Belgique, le Thanet Sand d'Angleterre et même quelques formes connues dans l'éocène moyen. Les plus répandus dans cet horizon sont: *Nucula Bouchardi* I. Morris, *Nucula Dixoni* Edw., *Cyprina* cf. *Morrisi*, *Pholadina cuneata* Sow., *Cardium semidecussatum* v. Koen., *Scalardia crassilabris* v. Koen., *Scalardia Jonstrupi* v. Koen., *Voluta nodifera* v. Koen., *Fusus landinensis* G. Vinc.; *Fusus Colbeani* G. Vinc., *Fusus elongatus* Lam. Encore plus communes sont quelques espèces non décrites, p. ex. *Ostraea* sp. n. aff. *Queteleti* Nyst, *Turritella* sp. n. aff. *landinensis* Br. et Corn., *Turritella* sp. n. aff. *montensis* Br. et Corn. Cette série est typiquement développée et très étendue dans la région des sources de la rivière Syzran et de ses affluents gauches, dans le district de Syzran et dans les parties limitrophes des districts de Korsakov et de...

l'assise suivante varie considérablement, quant aux caractères morphologiques et paléontologiques, suivant les diverses parties de la de la basse Volga. Dans le nord prédominent les sables et les quartzeux ou silico-glanconieux à faune marine peu variée et étroite liée à celle de l'assise précédente. Les Lamellibranches forment prédominant dans cette faune. Les formes les plus communes: *Tellina Brimonti* Desh., *Tellina* cf. *pseudodonacialis*, *Nucula Dixoni* Edw., *Leda amygdaloides* Sow., *Leda sub-Morris*, *Lucina decipiens* Desh. Dans la région moyenne cette commence par le grès micacé gris verdâtre avec empreintes de et se termine par le grès quartzeux, par place très fossilifère. Encore plus au sud, en aval de Kamychin, les sables avec des concrétions ellipsoïdales de grès calcaire, se développent dans (v. Pl. G). Ces concrétions sont connues sous le nom de "pains ronds" (espèce de pains ronds en forme de miches) et renferment beaucoup de fossiles; les plus fréquents dans les grès micacés ainsi que dans les sables à Karavai sont: *Cucullaea volgensis* Barb., *Cardita* cf. Barb., *Crassatella* sp. n. aff. *landinensis* G. Vinc., *Calyptraeigata* Desh., *Nerita consobrina* Ferrus., *Sycum pyrus* Sol., *Homaloma Johnstrupi* v. Koen., *Voluta elevata* Sow., *Tornatella* cf. *circumdata* Desh., *Turritella circumdata* Desh., *Turritella hybrida* Desh., *Turritella* sp. n. aff. *montensis* Br. et beaucoup d'autres.

Dans la partie méridionale du district de Kamychin et dans la partie septentrionale du district de Tzaritsyn, les sables à Karavai sont surmontés d'une autre série argilo-sableuse renfermant des grès quartzeux, riche en dents de squales (Sr. s. fig. 12 et 13). La série inférieure, riche en fossiles, et la supérieure qui en est assez pauvre, ont reçu le nom d'étage de Saratow. La faune de la série inférieure de cet étage a beaucoup de rapports avec celle du Thanetien anglais: elle est intimement liée avec la faune de la série supérieure de l'étage sous-jacent, mais plus variée et plus riche en espèces appartenant à l'éocène moyen.

Au-dessus de ces couches marines de l'étage de Saratow on observe, à quelques endroits des gouvernements de Simbirsk et de Saratow, des sables et des grès quartzeux à empreintes de feuilles d'arbres. Ce est souvent exploité comme pierre meulière; on le trouve ordinairement en flots isolés occupant les régions les plus élevées du pays. L'aspect intéressant de ces flots se trouve à 8 kilomètres à l'ouest de Kamychin. Le grès quartzeux y forme deux montagnes isolées dites "oreilles". On y rencontre de belles empreintes appartenant aux formes suivantes: *Quercus*, *diplodon* Sap. et Mar. et plusieurs autres espèces de *Quercus*, *Dryophillum Dewalki* Sap. et Mar., *Dryophillum subcretaceum* Sap., *Cinnamomum* aff. *lanccolatum* Ung., *Deodendrea gelindenensis* Sap. et Mar., *Magnolia* cf. *grandifolia*, *Apothya lanccolatum* Ung. et autres. Cette flore présente le caractère de l'éocène inférieur (paléocène) bien prononcé et se rapproche

d'avantage de celle du heersien de Gelinden; mais, d'après les données stratigraphiques, ce niveau est supérieur au heersien et correspond plutôt aux lignites et à l'argile plastique du bassin de Paris, représentant peut-être un horizon un peu plus bas. Cet horizon a été signé sous le nom de grès de Kamychin. Ce grès à empreintes de feuilles est remplacé par endroits par un sable contenant des fragments de bois silicifié, ordinairement perforé par les *Teredines*, et des grès portant des empreintes dichotomiques, rappelant les empreintes de quelques algues, par ex. *Phimatoderma Diemvalii* Wat. Ce serait peut-être l'équivalent marin du grès de Kamychin. Le passage des sables à restes de plantes peut être suivi à quelque distance à l'aval de Kamychin, bien qu'il ne soit pas typiquement développé distinctement visible dans les coupes de la rive droite. A mi-chemin entre Kamychin et Tzaritsyn, ces sables disparaissent des coupes. Au-dessus de la série supérieure de l'étage de Saratow, on voit apparaître une autre série sableuse, consistant en sables et en grès quartziteux et argilo-siliceux, alternant avec de minces lits d'argile (Ts. i. fig. 13 et 14). A la base de cette série gît un grès assez grossier, contenant des fragments et des galets d'argile siliceuse, ce qui démontre qu'à l'époque de la formation de ce grès, les produits de la désintégration de l'argile siliceuse se mélangeaient aux sables. Aux environs de Tzaritsyn cette série sableuse est surmontée d'argiles gris foncé et noires avec des rognons de phosphorite et cristaux de gypse. C'est l'argile à *Meletta* dans laquelle, outre les restes de ce poisson, se trouvent assez communément des dents de squales. Ces argiles et la série sableuse se trouvant à leur base, forment un ensemble désigné provisoirement sous le nom d'étage de Tzaritsyn. Un petit lambeau de la série supérieure de cet étage s'est conservé, grâce à une faille, dans la partie septentrionale du district de Tzaritsyn, non loin d'Alodrovka, en dehors du développement continu de cette série. Ce fait prouve que, vers leur limite septentrionale, les argiles à *Meletta*

sous ce nom les différentes roches peu cohérentes qui recouvrent les pentes des hauteurs et forment les rives planes et faiblement inclinées des vallées. Ces amas ne laissent apparaître aucune stratification ou bien une stratification irrégulière, plus ou moins parallèle à la surface (v. Pl. A, fig. 2 et Pl. D, fig. 2). Les caractères pétrographiques de ces amas sont très variés et dépendent de la nature des roches qui forment les hauteurs voisines. Le plus souvent ces dépôts prennent l'aspect et la composition du loess ou du limon. Dans la région du développement de la craie, le dépôt, dans les parties supérieures des pentes, présente une sorte de limon argileuse, blanche et légère, qui, en s'abaissant et en s'éloignant des hauteurs, devient de plus en plus fine, prend une coloration brune et passe peu à peu à un loess bien typique. Les pentes des hauteurs, consistant en argiles siliceuses, sont formées dans leurs parties supérieures des fragments anguleux de ces roches, mélangés à de la terre pulvérulente, provenant de la désagrégation de lits moins résistants. Le dépôt, en s'éloignant des hauteurs, passe à un limon loessiforme, pourvu ou presque dépourvu de chaux (loess déluvial). Au point de vue génétique tous ces dépôts ne sont que les produits de la désagrégation des roches anciennes, produits amassés sur les pentes, parfois remaniés par l'action des averses et des pluies, et d'autres fois broyés qu'ils ont été portés plus loin de leur lieu d'origine. Les dépôts, adossés aux pentes plus raides des hauteurs, ont adouci le relief du pays; susceptibles d'une érosion rapide à l'époque actuelle, ils prêtent au prompt ravinement de certains endroits de la région (v. Pl. A, fig. 2).

Les dépôts morainiques typiques, riches en blocs erratiques des roches cristallines du nord, font défaut dans la région avoisinant la Volga dans les gouvernements de Simbirsk et de Saratow; leur limite est à quelque distance à l'ouest de la Volga. Mais il est certains endroits, surtout dans la partie sud du gouvernement de Saratow, où les pentes des hauteurs et le sous-sol de la haute steppe, découpée par la vallée de la Volga, sont formés d'un limon brunâtre ou rouilleux, à blocs de quartzite et de silex, ayant tous les caractères de la craie du type local. Dans d'autres endroits, à la base du limon, on trouve un lit de gravier et de blocs anguleux et roulés. Le dépôt est tertiaire et le silex prédominant dans les blocs en question. Les différents dépôts qui surmontent les couches paléogènes et dont certains offrent les caractères des dépôts glaciaires, doivent être considérés comme plus anciens que les dépôts glaciaires et fluvio-glaciaires de la Russie actuelle et représentent sans doute le pléistocène le plus ancien, ou être contemporain de certains dépôts considérés comme pliocènes.

Les dépôts quaternaires marins, ou plutôt saumâtres, du type caspien, très répandus du côté gauche de la Volga, deviennent rares dans la région avoisinant sa rive droite, dans les gouvernements de Saratow et de Simbirsk.

nements de Simbirsk et de Saratow. Ils sont assemblés par bande aux roches anciennes, ou emboîtés en vallée latérale. Ainsi enchassés dans les roches à distance en distance la rive même de la Volga, en plus fréquents à mesure que l'on descend le cours de la rive droite c'est la presqu'île de Samara qui limite septentrionale de ces dépôts. Au point de vue de la composition ce sont ordinairement des argiles d'un brun rougeâtre stratifiées, associées à des sables blancs et plus ou moins fins. Les fossiles sont peu nombreux dans ces couches: on trouve parfois quelques restes de *Cardium*. Il est évident que ces argiles brunes et ces sables blancs que nous considérons comme un dépôt du type aralo-caspien, se rapportent à une époque beaucoup plus récente que les graviers et les limons quartzeux dont il a été question plus haut. Ces dépôts jouent le rôle des roches anciennes et prennent part à la formation de la steppe, tandis que les argiles brunes aralo-caspiennes nous l'avons vu, les terrasses s'élevant à un niveau plus haut et adossées aux roches anciennes.

Les alluvions de la Volga qui accompagnent presque la rive gauche, se rencontrent aussi de temps à temps à droite, et se déposent entre le cours principal du fleuve et la rive haute. Généralement ces alluvions sont des sables fins mêlés avec de l'argile, du limon stratifié et de la tourbe. Elles offrent une surface à ondulations plus ou moins prononcées sillonnées de canaux représentant soit les lits secs (Volochna, petite Volga), soit d'anciens lits obstrués du même des deux côtés, et formant dans ce dernier cas des îles et étirés, ou des marais. Les îles entre lesquelles coule la Volga actuelle, sont presque toutes couvertes de buissons ou d'herbe. Seuls les bancs de sable nouveaux par le fleuve sont à nus, animés par des milliers de roseaux qui y établissent leurs campements.

2-me PARTIE.

Voyage Géologique.

1-er jour.

Le matin du 1-er jour, le bateau s'arrête devant les Montagnes de Zolny gory qui forment la haute rive droite de la basse Volga. La limite des gouvernements de Kazan et de Simbirsk. La meilleure coupe des roches anciennes se trouve près du bout du pont de ces montagnes en aval du village de Dolinovka. La partie supérieure de ces montagnes, ou de cette haute rive droite, est couverte de forêts. Ce n'est que dans quelques endroits que l'on peut trouver quelques affleurements des roches, prouvant l'existence des étages supérieurs du jurassique permien. La partie inférieure présente une coupe bien montrant l'oxfordien, le callovien, le contact entre le jurassique permien et les horizons supérieurs du permien, marnes bigarrées avec des grès et du calcaire gypsifère.

Explication de la coupe fig. 1.

Loessolite 4 m.

Argile gris-claire et argile schisteuse foncée de l'oxfordien supérieur (séquanien), plus ou moins altérée. *Belemnites breviazis*, *Bel. Panderi*, *Bel. obeliscoides*. 10 m.

Argile gris clair de l'oxfordien inférieur. *Cardioceras cordatum*, *Cardioceras tenuicostatum*, *Belemnites breviazis*, *Gryphaea dilatata* etc. 7 m.

Grès lit de conglomérat phosphatique avec *Belemnites Beaumonti*, *Cosmoceras Gulielmi* et fragments roulés des fossiles calloviens inférieurs (*Cardioceras Chamousetti*, *Kepplerites* cf. *Gowerianum*, *Cadoceras* cf. *Elatmae* etc.). O. 25—0,50 m.

Grès micacé (3 m.), argile grise (5,5 m.), sable et gravier ferrugineux (4,5 m.), se rapportant probablement au callovien inférieur et très pauvres en fossiles (empreintes de bivalves, fragments de *Belemnites*).

Marnes bigarrées à lits de grès et de calcaire, occupant toute la partie inférieure de la coupe jusqu'au niveau de la Volga (35 m.), en partie cachées sous les éboulements. Vers le sommet de cette série les restes d'*Anthracosiidæ*, d'*Estheria* et des écailles des Ganoïdes ne sont pas rares.

Les roches, mises à jour dans la coupe près de Dolinovka, se montrent plusieurs fois dans de petites coupes, le long des Montagnes de la Volga jusqu'à l'endroit où la haute rive, tournant brusquement vers

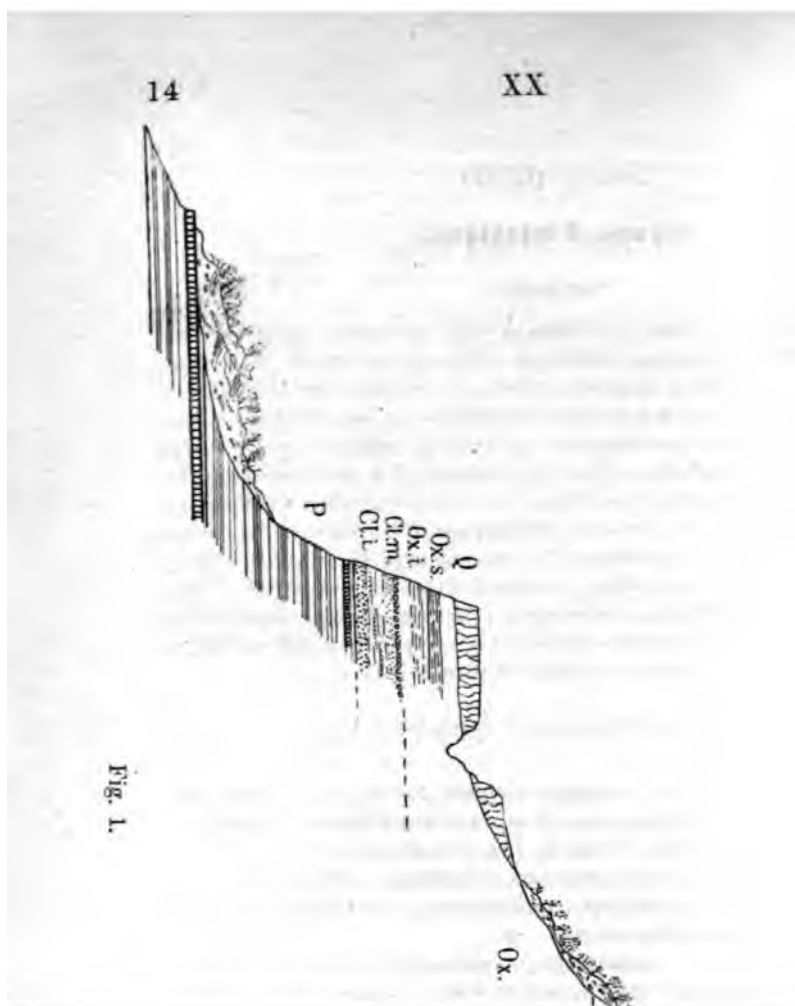


Fig. 1.

s'écarte du lit actuel de la Volga. Dans ces coupes on voit remment les horizons moyens de la coupe de Dolinovka, la base assique et les horizons supérieurs des marnes bigarrées. Déjà distance les horizons inférieurs s'abaissent considérablement et issent sous le niveau de la Volga. A l'extrémité méridionale ontagnes de Cendre on aperçoit une petite terrasse adossée aux anciennes et formée de limon brun jaunâtre.

partant de ce point, la Volga traverse ces alluvions couvertes et de prairies, tout en se tenant à quelques kilomètres de la rive droite. Elle revient vers sa haute rive près des villages lory et de Gorodichtché. La structure géologique de cette partie haute rive, séparée de la Volga comme nous venons de l'expli- plus haut, a subi quelques modifications: les marnes et les cal- permien, les argiles et les sables calloviens et les horizons in- de l'oxfordien ont disparu sous le niveau de la Volga; ant apparaissent les argiles grises de l'oxfordien supérieur (ien) et du kimmeridgien, les argiles, les schistes bitumineux grès du portlandien, le grès et le conglomérat phosphatique ilonien. Là où la rive est assez élevée, une puissante assise files noires du néocomien supérieur vient couvrir le jurassi- s coupes près de Gorodichtché atteignant une hauteur de m., nous permettent de bien examiner toutes ces couches 2).

Explication de la coupe.

- argiles noires du néocomien supérieur. *Astarte por-
recta*, *Simbirskites versicolor*, *Simbirskites De-
cheni*, *Simbirskites discofalcatus* etc.
- ès et conglomérat phosphatique de l'aquilonien. *Cras-
pedites okensis*, *Craspedites subditus*, *Belemnites
laterales*, *Belemnites russiensis*, *Aucella mos-
quensis*, *Aucella Fischeri* etc. 1 m.
- Portlandien. Sable et grès à rognons phosphatiques avec
Ammonites du groupe *A. giganteus*, *Aucella
Fischeri*, *Belemnites lateralis*, *Belemnites rus-
siensis* etc. 0,50 m.
- Grès glauconieux et ferrugineux conglomérat à rogn-
ons phosphatiques. *Virgatites virgatus* et autres
Virgatites, *Belemnites absolutus*, épines d'our-
sins, ossements de reptiles, fragments de bois etc. 1,25 m.
- Schistes bitumineux alternant avec l'argile grise.
Virgatites virgatus, *Belemnites absolutus*, *Au-
cella Pallasi*, *Discina latissima*, *Lingula ova-
lis* etc. 7 m.
- Continuation de la même série argilo-schisteuse ne ren-
fermant plus de *Virgatites virgatus* typique. Am-
monites du groupe *A. Bleicheri*, *Belemnites mag-*

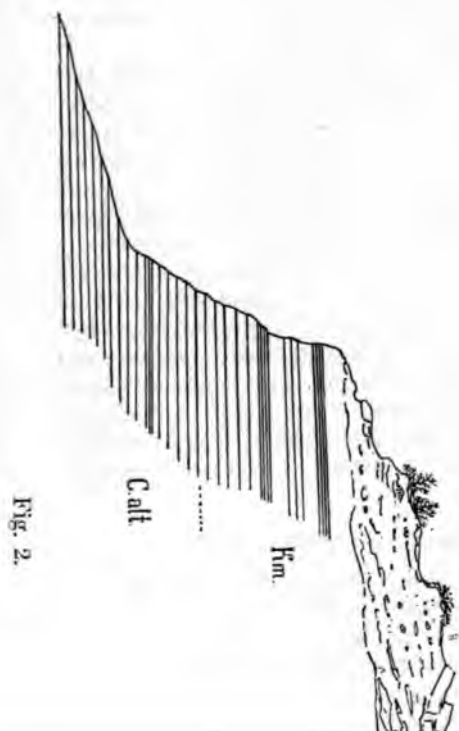


Fig. 2.

- nificus*, *Aucella Pallasi* var. *plicata* etc. La plus grande partie de cette assise est ordinairement cachée sous des éboulements. 10 m.
- meridgien. Série d'argiles gris clair ou foncées, par place bitumineuses. *Hoplites eudoxus*, *Hoplites pseudomutabilis*, *Aspidoceras acanthicum*, *Cardioceras Volgae*, *Aucella Pallasi* var. *tenuistriata*, *Aucella Bronni* etc. Dans la partie supérieure de la série *Exogyra virgula*. 8 m.
- Argiles gris clair à *Cardioceras alternans*, *Aucella Bronni*, *Belemnites breviaris*, *Belemnites Panderi* etc. 8—10 m.

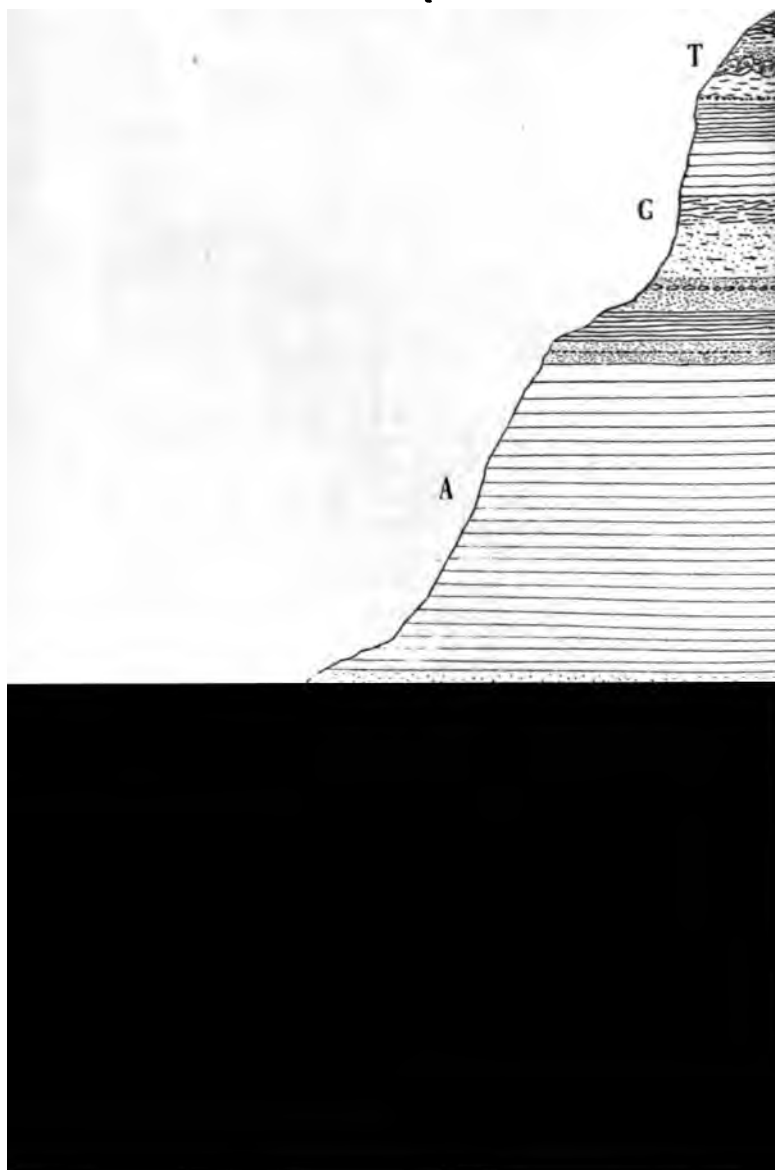
coupes se trouvant à 15 kilomètres en aval de Gorodichtché, du village de Polivna, permettent de bien observer les coupes supérieures du jurassique à partir des schistes bitumineux à *Exogyra virgatus*, ainsi que l'argile noire du néocomien supérieur à *Astarte porrecta*, *Simbirskites versicolor*, *Inoceramus aucella*. Non loin de là, les couches jurassiques plongeant sous la Volga, l'argile *Astarte porrecta* demeure seule dans les coupes de la rive

gauche de Polivna, sur les hauteurs de la rive droite, l'argile noire du néocomien supérieur, riches en Belemnites superposés, à la hauteur d'une centaine de mètres, par des schistes bitumineux et des argiles aptiennes à *Hoplites Deshayesi* et *Ancylloceras* (*A. simbirskensis*). Près de Simbirsk ces coupes couvrent la majeure partie de la haute rive droite et au-dessus apparaissent les sables à rognons phosphatiques, le grès argileux micacé très fin et riche en radiolaires, et les argiles dures du jurassique en fossiles (G. 2, fig. 3). Toutes ces roches y sont visibles à un grand éboulement de la rive droite qui a détruit, sur une assez grande étendue, la couverture végétale. Si l'on gravit la hauteur du sommet, on pourra remarquer, dans des coupes artificielles, les argiles glauconieuses et siliceuses du turonien. (T, fig. 3).

Explication de la coupe 3.

- nien. 4, marne siliceuse; 3, sable glauconieux; 2, marne siliceuse; 1, marne molle avec une bande de rognons phosphatiques noirs à la base.
- t. 3. argile dure, noire, marquée de tâches brunes, et argile jaune marquée de tâches noires; 2, grès argileux et micacé, très fin et friable, riche en radiolaires; 1, rognons phosphatiques gris, sable et argiles.
- en. 2. argile grise à grands *Ancylloceras*; 1 argile, schiste bitumineux, calcaire argileux et sable fin à *Hoplites Deshayesi* et *Am. bicurvatus*.

En aval de Simbirsk, la Volga s'écarte de nouveau de sa rive droite et coule à travers des alluvions, non loin de la basse rase de la rive gauche, formée de sables et limons quaternaires. La rive droite elle-même s'y abaisse considérablement, de sorte que le gault disparaissent pendant quelque temps.



Montagnes de Chilovka, hautes falaises bordant le fleuve en ce village, présentent de bonnes coupes de cette craie à nes et de marnes siliceuses; grâce à la couleur blanche et

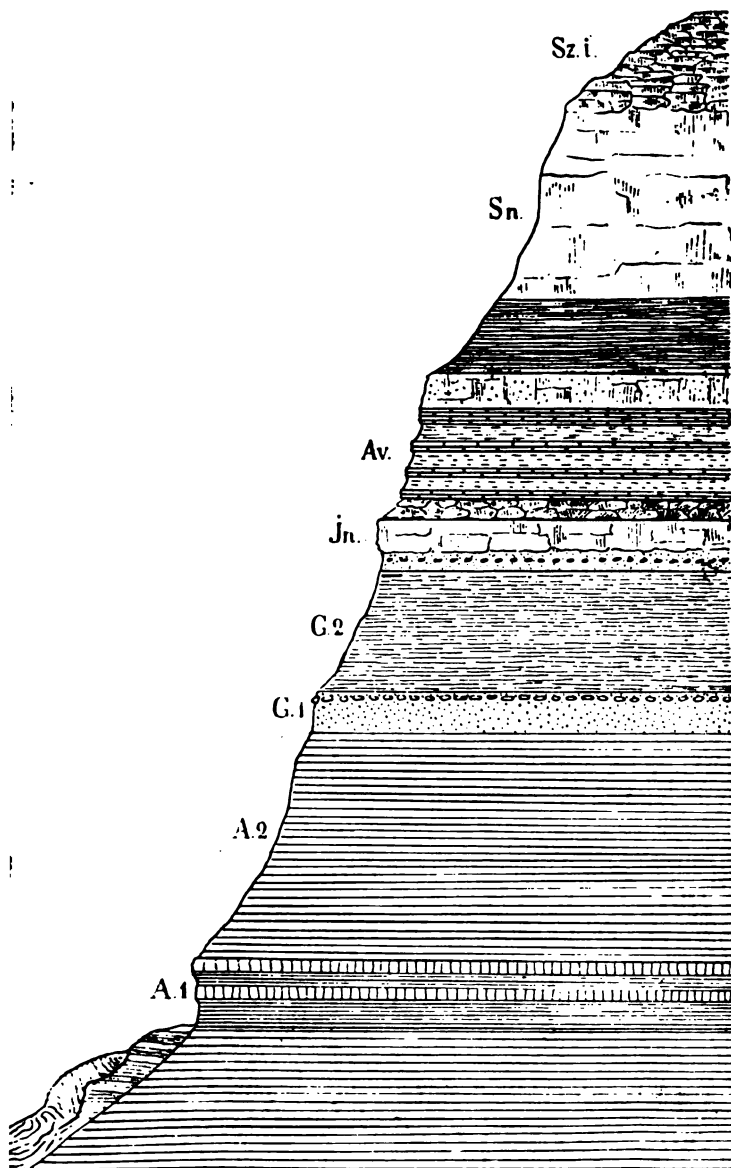


Fig. 4.

grise de leurs sommets, elles frappent l'œil à une distance éloignée. Les environs de Chilovka sont encore remarquables par la parition de la craie et de l'argile sénouienne au-dessus des marnes siliceuses à *Aricula tenuicostata* (Sn. fig. 4) et par le développement des pentes déluviales qui permettent de suivre la formation déluviale; mais les excursionnistes auront à peine le temps de faire les coupes permettant d'étudier ces dépôts. La planche A 1 a été faite pour illustrer le phénomène dont il était déjà question dans la première partie de ce guide.

Coupe des roches anciennes des environs de Chilov

Sz. i. Argile siliceuse de l'éocène inférieur.

Sn. Craie blanche à *Belemnitella mucronata*, l'argile fine et la marne glauconieuse à la base.

Av. Marnes siliceuses à *Aricula tenuicostata*.

In. Craie à *Inocerames*.

G. 2. Argile dure, pauvre en fossiles, et 1, sable à rognons (gault).

A. 2. Argile à *Ancyloceras* et 1, argile schisteuse et calcaire à *Hoplites Deshayesi*.

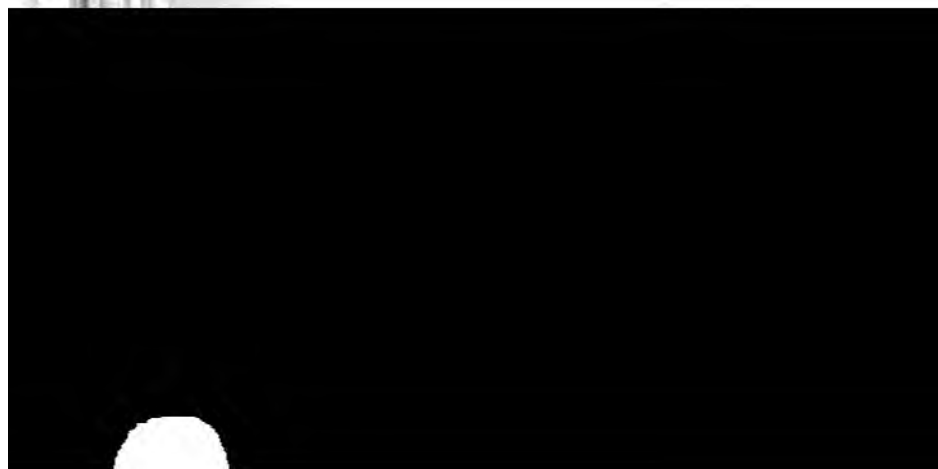
La nuit, le bateau parcourt la partie du fleuve entre Stavropol. A cette distance, par suite du plongement continu des couches vers le sud, la série argileuse du crétacé inférieur disparaît à peu et disparaît sous la Volga près de Novodévitchié. C'est la craie blanche et les marnes siliceuses qui ont le plus contribué à la formation de la haute rive; cependant les sommets ordinaires de cette dernière se composent d'argile siliceuse et de grès paléozoïques. Les roches suivent la Volga jusqu'au village d'Oussolié qui se di



Fig. 1 Le prolongement occidental des Jegouli.



Fig. 2. Montagnes des Jegouli formant le bord septentrional de la presqu'île de Samara.



plateau, se trouve un sable micacé ressemblant au sable calcaire. Les Montagnes de Cendre, et parfois imbibé d'asphalte. En aval de Chiriaïéwo, la Volga fait un coude vers le sud et le plateau paléozoïque par la Porte de Samara. Le mont de la rive gauche (le Tzarew Kourgan) et les montagnes Tiaw s'élevant en face de celui-ci sur la même rive de la Volga, séparées de ce Kourgan par la rivière Sok, sont aussi du calcaire paléozoïque et apparaissent comme le prolongement transvolgien. Des hauteurs de la rive droite près de Chiriaïéwo on a une vue splendide sur le Tzarew Kourgan, l'embouchure du Sok et les montagnes Tiw-Tiaw. Dans le calcaire à Fusulines du Tzarew Kourgan M-r Tschernykh a distingué les horizons suivants, correspondant à ceux du calcaire à Fusulines de l'Oural.

Calcaire à Fusulines à *Spiriferina Saranae*, *Productus Villiersi*, *Rhynchopora* sp. etc.

Niveau riche en *Bellerophon* et renfermant de grands *Spirifer* et des Cephalopodes.

Dolomie riche en *Productus cora*.

Calcaire à *Productus scabriculus*, *Camarophoria crumena*, *Meekella eximia* etc.

Calcaire corallien.

Ces horizons se prolongent sur la rive droite près de Chiriaïéwo, mais il est souvent difficile de les reconnaître tous distinctement. Le niveau inférieur, riche en coraux, est souvent caché sous les éboulis. L'horizon suivant à *Productus cora*, *Productus longispinus*, *Meekella eximia* est plus facile à observer; un troisième horizon à grands *Spirifer* et *Fusulina Verneuli* n'est ordinairement pas à découvrir dans les coupes artificielles, mais on peut l'observer aux pentes des montagnes. L'horizon à Schwagerines, gisant encore plus haut, est ordinairement couvert de forêts. Dans les ravins boisés, près de Chiriaïéwo, existent déjà le gypse blanc et le calcaire permien. On y trouve *Phyllopora Ehrenbergi*, *Pseudomonotis speluncaria*, *Bakewellia antiqua*, *Murchisonia biarmica*, *Pleurotomaria antrina* etc.

Dans les montagnes Tiw-Tiaw, et leur prolongement méridional, les montagnes des Faucons (Sokolii Gory), le calcaire permien s'abaisse et se rapproche peu à peu du niveau de la Volga, de sorte que près de Chiriaïéwo, à 13 kilomètres en amont de Samara, il est tout à fait dans les coupes de la rive gauche et plonge sous la Volga. Le calcaire permien est assez varié quant à sa structure (calcaire en dalles, calcaire oolithique, calcaire compact, calcaire bréchiforme et calcaire argileux) et renferme une faune assez riche; parmi les fossiles les plus importants on peut citer: *Modiolopsis Pallasii*, *Arca Kingiana*, *Nucula chiriensis*, *Schizodus obscurus*, *Productus Cancerini* etc.

Les hauteurs de la rive droite s'éloignent de la Volga en aval de la Porte de Samara et font place aux dépôts quaternaires et aux allu-

vions de la Volga. En aval de Samara, les alluvions forment les rives du fleuve jusqu'au village Bogorodskoïé. De ce village jusqu'à la station Ekaterinovka, la Volga baigne le côté sud et le côté est du plateau paléozoïque formant la presqu'île de Samara. La pente sud du plateau est formée comme que la rive gauche de la Volga en amont de Samara, de calcaires permien, le calcaire carbonifère plongeant sous le niveau du fleuve. Dans les ravins découpés dans la pente méridionale du plateau et dans les coteaux qui les divisent, on peut observer une mince assise de marnes bigarrées permien, au-dessus de que les argiles, les sables et les grès jurassiques (calloviens) qui surmontent; par places, on constatera même les restes altérés des horizons supérieurs du jurassique; mais toutes ces couches ne sont pas visibles dans les coupes littorales de la Volga. Dans la série des calcaires permien, le plus grand rôle appartient aux calcaires bréchiformes et caverneux se trouvant à la base du permien; ils forment les rochers du rivage entre les villages de Vinnovka et d'Ermachovka.

En aval d'Ekaterinovka la Volga s'écarte encore une fois de la rive droite et traverse les alluvions boisées. Près de Pérévolokino elle revient de nouveau vers la haute rive qui y conserve les mêmes traits caractéristiques. Près de Petcherskoïé l'inégalité de l'érosion du calcaire permien a causé la formation des cavernes (pechtchéry) du rivage: de là le nom du village. Entre Petcherskoïé et le pont du chemin de fer près de la mine de goudron de la compagnie de Syzran, le calcaire carbonifère ressort de dessous du permien, mais le contact des deux systèmes est plus visible à quelques centaines de mètres en aval, où les horizons supérieurs du carbonifère, riches en Schwagerines, sont plus élevés.

Toute cette partie de la rive droite, en aval de Petcherskoïé, renferme d'importants gisements d'asphalte qui pourront être exploités par les participants à l'excursion. L'asphalte y remplit les fissures entre les blocs de calcaire bréchiforme du permien, comme

sont moins riches, et les limites entre les unes et les autres ne sont pas très nettes; on dirait que la matière bitumineuse, en s'infiltrant dans la masse de la roche, a cherché la direction où la résistance était moindre. Ce calcaire riche en asphaltite est recouvert de calcaire permien bréchiforme à sa base (v. fig. 5); il devient ensuite plus compact, divisé en blocs et passe vers le sommet au calcaire marneux finement stratifié; ce dernier renferme des rognons du calcaire compact, riche en fossiles permien. Tous ces différents horizons permien sont nodulés et veinulés d'asphaltite. Ces conditions de gisement ainsi que la présence de l'asphaltite au nord de la presqu'île de Samara, dans une roche d'un autre âge et d'une autre composition lithologique (sable du callovien inférieur), semblent démontrer que la matière bitumineuse a pénétré du dehors, se répandant dans les roches selon leur structure et leur degré de perméabilité. Le rapport entre les gisements d'asphaltite de la presqu'île de Samara et la région dans laquelle cette presqu'île a dû son existence, de même que la présence de naphte dans la bande formant le prolongement transvolcanique des Jégouli, porte à croire que c'est par les fissures de cette région que la naphte et le bitume se sont élevés des régions profondes.

Explication de la coupe. Fig. 5.

- 1. Limon et conglomérat quaternaire 1,50 m.
- 2. Permien; a) calcaire marneux avec concrétions renfermant la faune permienne; b) calcaire en dalles avec nodules d'asphaltite, 6 m.; c) calcaire non stratifié, fendu en blocs, 8 m.; d) calcaire bréchiforme pénétré d'asphaltite, 4 m.;
- 3. Calcaire dolomitique imbibé d'asphaltite, couronnant le calcaire à Schwagerines et s'élevant à la hauteur de 5 mètres au-dessus du chemin de halage.

A 5 kilomètres en aval de la mine „Espérance“, les couches à Schwagerines du calcaire carbonifère et les horizons inférieurs du permien sont facilement observables. Le calcaire à Schwagerines est imprégné d'asphaltite; celui-ci se retrouve aussi par petites masses et nodules dans tous les différents niveaux du carbonifère et du permien. Les couches carbonifères supérieures, renfermant de l'asphaltite, continuent jusqu'au village de Kostytchi; près de l'extrémité d'amont du village on a découvert dans une coupe artificielle, au niveau de la base, le calcaire à Fusulines dont toute la masse est imbibée d'asphaltite. Non loin de l'extrémité d'amont de Kostytchi, s'élève une montagne qui permet de constater distinctement le recouvrement du calcaire à Schwagerines par les sables et les argiles du callovien inférieur. Le callovien y couvre la surface érodée du calcaire carbonifère tant dans les enfoncements du calcaire. Le sable micacé formant la base du callovien renferme des concrétions de grès, de même que le sable asphaltitifère du même âge qui revêt le calcaire paléozoïque au

nord de la presqu'île. Il est à noter que le sable callovien près Kostytchi, lui aussi, renferme par ci par là de petits lits de grés tumineux.



aquilonien se sont encore conservés. La haute rive droite, ces couches, est découpée en une série d'amphithéâtres par la Volga et s'élevant à quelque distance de son lit. Le plateau est formé par des éboulements de ces roches sur lesquels sont disposés les deux grands villages de Batraki et de Koston. À la base des éboulements, près du lit même de la Volga, on trouve encore le calcaire à Fusulines qui cependant disparaît totalement à Kostytchi et Batraki. Non loin de là, en amont de Syzran, le principal de la Volga s'écarte un peu de l'ancienne rive qui s'y élève considérablement, de sorte que dans les coupes le long de l'ancien lit on voit seulement le callovien et le quaternaire, (gravier, limons). Cependant près de la ville de Syzran (à son extrémité ouest) le calcaire à Fusulines, épargné par l'érosion, émerge à nouveau, pour s'enfoncer bientôt sous les couches jurassiques, qui, à une certaine distance de Syzran, près du village Obrastsowolé sont couvrées par le néocomien.

En partant de Kachpour, la Volga baigne de nouveau l'ancienne rive et permet d'observer dans des coupes bien nettes les étages supérieurs du jurassique et les inférieurs du crétacé. Il n'y a qu'un point où l'église, où un petit lambeau du crétacé supérieur s'est bien conservé.

La coupe suivante (fig. 6) montre la succession des couches près de Kachpour:

Très puissante assise d'argile noire à *Simbirskites versicolor*. Grès friable gris verdâtre à *Belemnites subquadratus* (1 m.) et argile schisteuse gris foncé, plus ou moins sableuse et pauvre en fossiles (2—3 m.).

Conglomérat phosphatique (0,20 m.) et sable jaune (0,25 m.) représentant la zone supérieure du néocomien inférieur boréal (petchorien). *Polyptychites Keyserlingi*, *gracilisformis*, *Beani*, *Belemnites lateralis*, *subquadratus*, *Aucella piriformis*, *crassicolis*.

Grès friable et conglomérat de fossiles (0,90 m.) formant la zone inférieure du néocomien inférieur boréal. *Ammonites* cf. *spasskensis*, *Belemnites lateralis*, *subquadratus*, *Aucella volgensis*, *Keyserlingi*.

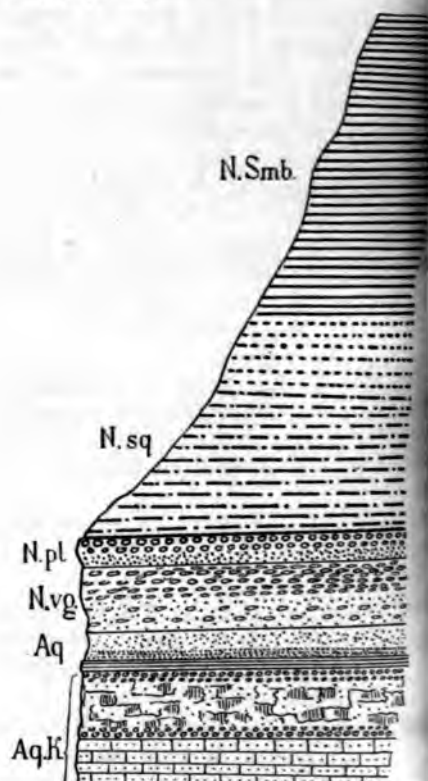
Sable vert (0,25 m.) et schiste bitumineux pauvre en fossiles, représentant peut-être la zone supérieure de l'aquilonien.

Marne passant au sable et au conglomérat de fossiles (1 m.). *Ammonites kachpuricus*, *subclypeiformis*, *Belemnites lateralis*, *russiensis* *Aucella Fischeri* etc.

Marne grise glauconieuse et sableuse (3 m.). *Ammonites subditus*, *okensis*, *catenulatus*, *Belemnites lateralis*, *mosquensis*, *russiensis*, *Aucella Fischeri* etc.

Marne sableuse et grès vert à rognons phosphatiques avec ammonites du groupe *A. giganteus*, *triplicatus* (0,70 m.).

Pt. v. Conglomérat phosphatique, schistes bitumineux et argiles à *Virgatites virgatus*, *Belemnites absolutus*, *Cina latissima* etc. (3 m.).



A partir de ce point, jusqu'à Volsk et même plus en aval, la vogue de nuit. A la base des coupes de cette rive droite se trouvent des argiles, des sables et des grès aptiens et au-dessus d'eux les crétacées supérieures qui, dans les parties les plus élevées de cette rive, sont couronnées des sables et des grès éocènes. Le crétacé supérieur est bien développé aux environs de Khwalynsk. Cette ville et le village Alexéevka, la craie, surmontée par des éocènes, forme un petit plateau à sommet boisé, capricieusement découpé par l'érosion. (Les conditions tectoniques de ce pays sont indiquées dans la première partie de ce guide). Au sud de Volsk le crétacé inférieur disparaît sous la Volga et le crétacé supérieur avec les grès et les argiles siliceuses tertiaires disparaît dans les falaises.

3-me jour.

Le matin du 3-me jour le bateau suit la rive droite entre Volsk et Rybnolé. Au commencement de ce trajet, la craie occupe encore une grande partie des coupes, mais elle diminue peu à peu et, à 10 kilomètres de Volsk, la limite supérieure de la craie s'abaisse assez vite. Au sud de Rybnolé et le ravin Séménovsky, on peut suivre du bateau la limite qui fait une ligne onduleuse tantôt s'élevant tantôt s'abaissant et même disparaissant sous la Volga.

La coupe suivante (fig. 7), prise près du ravin Séménovsky en aval de Grodnia, montre la succession suivante des couches:

1. Assise puissante d'argile siliceuse jaunâtre à *Nodosaria raphanistrum*, *Trochocyathus calcitrapa*, *Nucula proelaeovigata* etc.

2. Grès micacé gris et argile plus ou moins siliceuse passant à la base au grès micacé et glauconieux à *Nautilus Danicus* (Glaucanie de Grodnia). 15—16 m.

Craie blanche.

La craie reste encore quelque temps à la base des coupes et enfin disparaît près du second ravin en aval de Séménovsky. L'épaisseur des argiles siliceuses passant dans leur partie supérieure au grès fin siliceux augmente considérablement et atteint 60 m.: au contraire, la limite supérieure du grès micacé de la base de la coupe disparaît s'abaisse vers la Volga et se cache à mi-chemin du ravin Séménovsky au village Voskressenskoté.

Aux sommets des coupes, au-dessus de l'argile siliceuse, se trouve une place un dépôt peu épais d'argile siliceuse désagrégée et mélangée avec des blocs de grès quartzeux. Dans quelques ravins (par ex. dans le ravin de Koldomassow), on voit des dépôts quaternaires emboîtés dans le paysage. Ce sont les limons, les argiles et les graviers ayant entre eux des rapports assez compliqués et appartenant probablement aux formations aralo-caspiens.

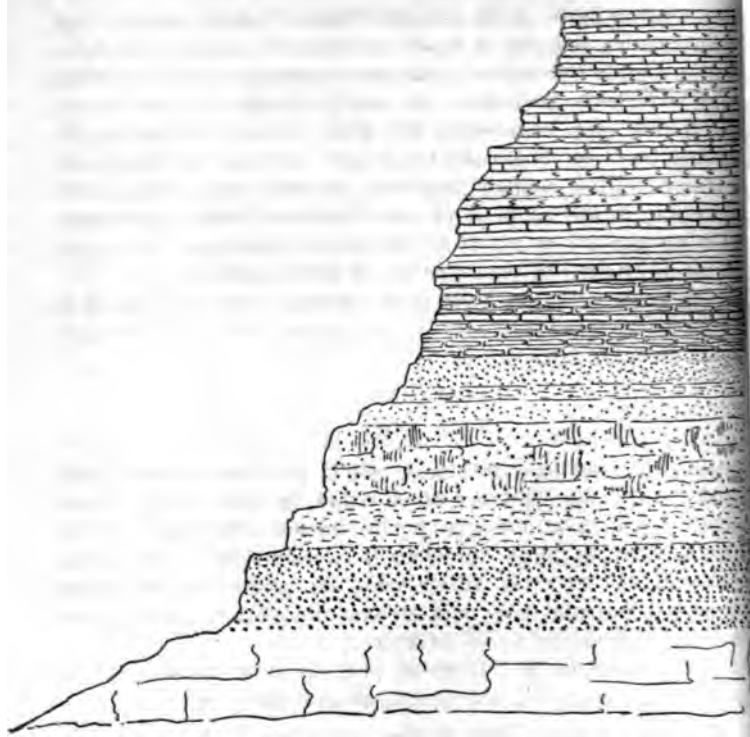


Fig. 7.

A peu de distance en amont de Baronsk s'élève, à 35 m. d'altitude, une montagne, dite Tchiriew, permettant d'observer les assises de l'étage de Syzran assez riches en fossiles, et la base de l'étage de Syzran qui en est rouge (fig. 8).

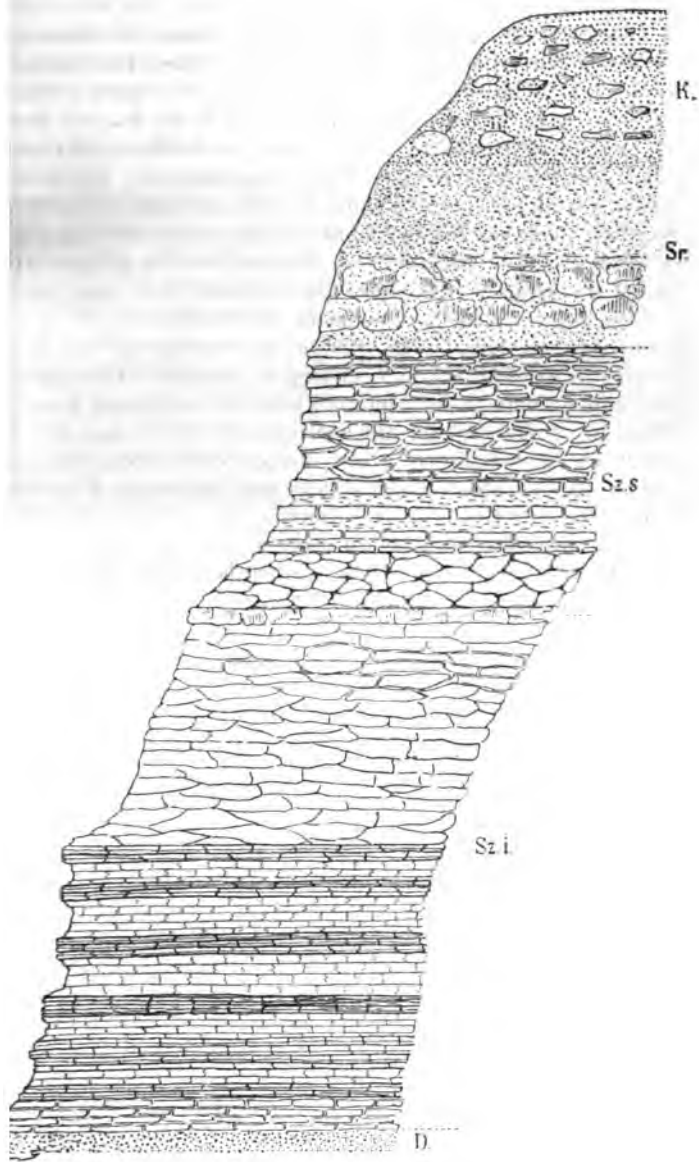


Fig. 8.

A la base de la coupe ressort le grès glauconieux D (Gla de Grodnia).

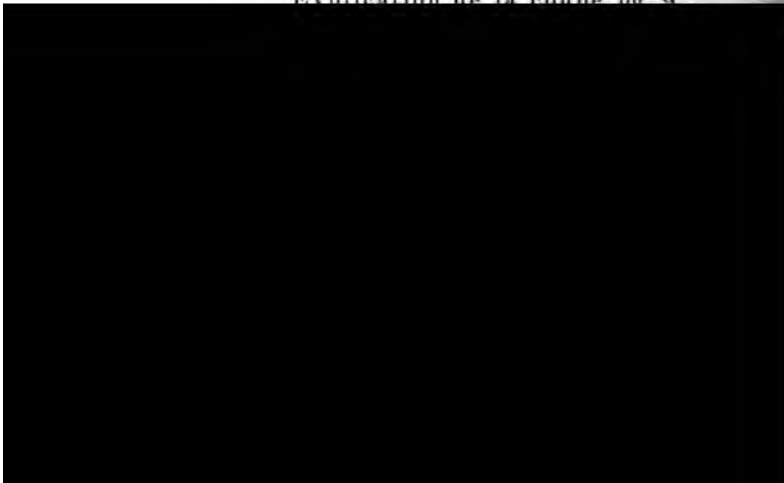
En aval de Baronsk la Volga entre dans les alluvions et en s'éloignant de la haute rive; près du village Pristannolé et rapproche momentanément et baigne les roches anciennes. Puis entre de nouveau dans les alluvions qu'elle suit jusqu'à Saratow.

Près de Pristannolé, la rive, s'élevant de 88 m., est composée de sable et de grès pauvres en fossiles et présentant quelque similitude avec ceux qui forment le sommet de la montagne Sokolowa près de Saratow. Seulement, assez loin de la Volga, au sommet d'une montagne de 126 m., située à 1 kilomètre environ au nord du village, apparaît la marne crétacée supérieure à phosphorite et le grès de l'assise inférieure de l'étage de Saratow riche en fossiles.

La ville de Saratow est disposée sur une terrasse de la rive formée de roches crétacées inférieures, d'argiles et de sables de l'aptien et du gault. Du côté nord de la ville et tout près de la Volga se trouve la montagne Sokolowa (Pl. C, fig. 1), formée de la partie du quaternaire et principalement de l'aptien. Elle est caractérisée par ses éboulements dont le plus intéressant a eu lieu en 1892 (Pl. C, fig. 2). Grâce à ces éboulements la montagne offre de la Volga des coupes bien distinctes.

Du côté occidental de la ville s'élève la montagne Ly (Montagne Chauve)—v. Pl. D, fig. 1—dont la partie inférieure est composée de roches crétacées supérieures (principalement turoniennes et sénoniennes) et la supérieure de roches éocènes (fig. 9). Le pic de la montagne est formé par les masses énormes des produits de l'aggrégation des roches constituant la montagne, masses lavées par les pluies et les courants provenant de la fonte des neiges; c'est une brique friable d'origine déluviale (Pl. D, fig. 2).

Explication de la coupe fig. 9



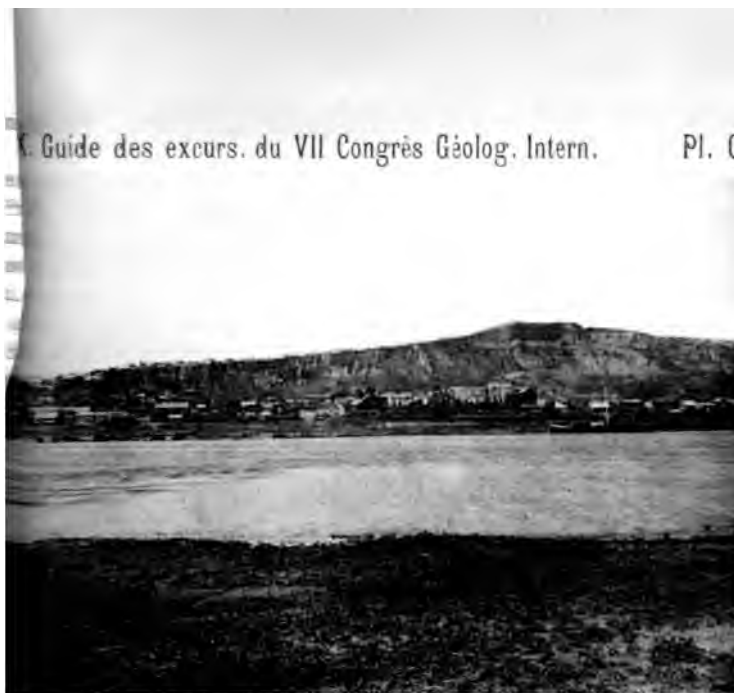


Fig. 1. Montagne Sokolowa près de Saratow.



Fig. 2. Effondrement du bord oriental de la montagne Sokolowa en 1884.

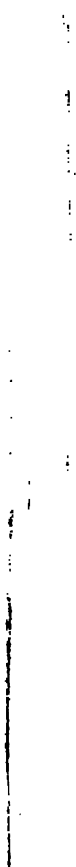
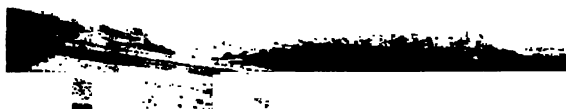




Fig. 1. Montagne Lyssaia près de Saratov



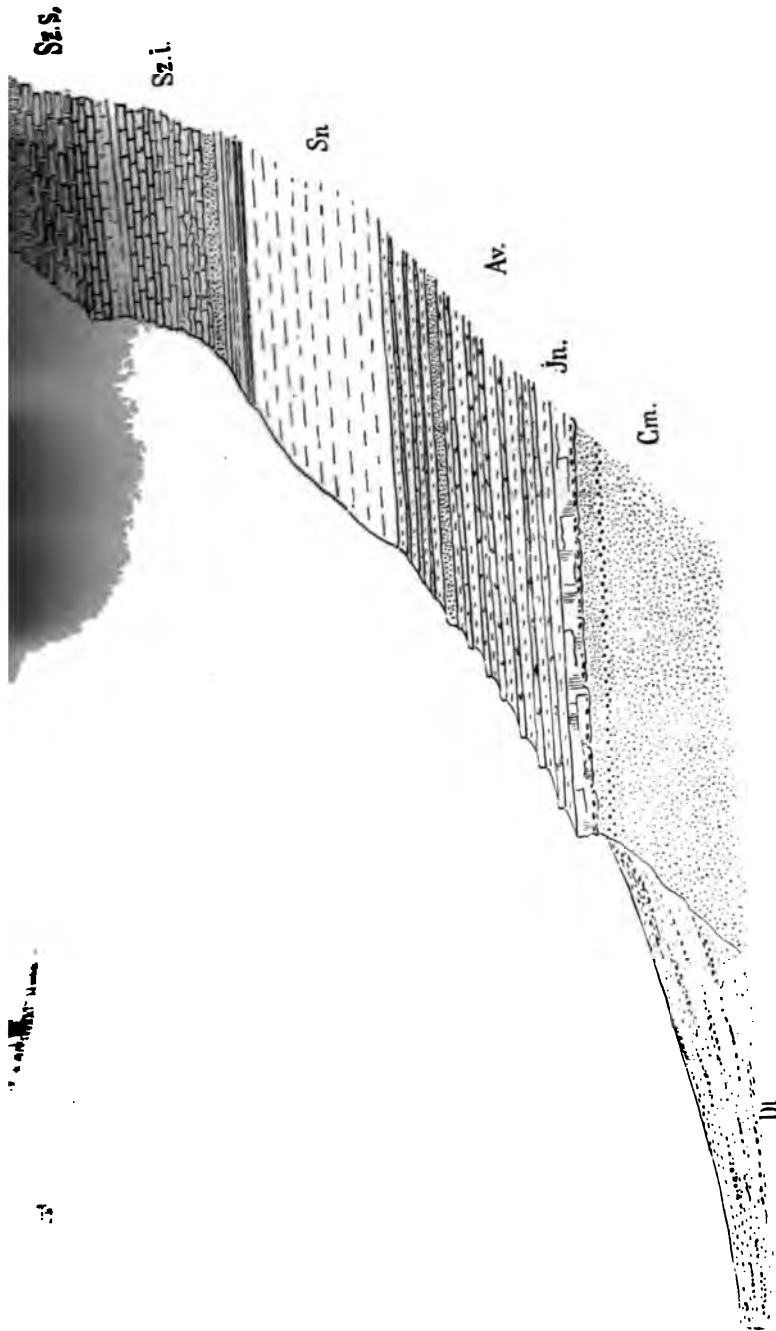


Fig. 9.

In. Calcaire marneux à rognons phosphatiques riches en Inocerames.

Om. Sable à rognons phosphatiques riche en poisable jaunâtre plus fin.

En aval de Saratow le bateau continue sa route pour arriver le lendemain matin à Troubino. La rive droite est formée de roches du crétacé inférieur, c'est-à-dire de l'éocène. Les roches crétacées ressortent dans le paysage. Les hauteurs se trouvant à une certaine distance de la Volga. Le crétacé inférieur ne se montre qu'à Nesviétaevka: en somme c'est le crétacé supérieur qui domine dans les coupes. Entre Zolotoïé et Troubino (espérons qu'il en sera ainsi au point du jour), la partie inférieure de la rive est constituée de craie turonienne à Inocerames: dans la partie supérieure et les couches argilo-siliceuses grises et jaunâtres se succèdent une série panachée à laquelle l'érosion a donné une forme bizarre.

4-me jour.

Le matin du 4-me jour le bateau se trouve près de Troubino. En s'approchant de ce village, la craie turonienne s'élève peu à peu et la série des marnes siliceuses s'élève peu à peu et la série des marnes siliceuses s'élève peu à peu et les sables sénomaniens surgissent de dessous la craie de la moitié inférieure des coupes (fig. 10).





fig. 1. Falaise près de Troubino montrant le ravinement des couches crétacées comblé et nivelée par le deluvium.



2. Falaises en aval de Troubino formées des sables scythiques couvrés par la craie et les mollusques.



et les grès cénomaniens formant la base de la coupe des lits de rognons phosphatiques et une assez riche faune présentant les plus caractéristiques sont: *Schloenbachia va-*, *Schloenbachia Coupei* Brong., *Belemnitella plena* Blainv., *Massis* d'Orb., *Trigonia Parlowi* Strem., *Inoceramus latus* et *ecten virgatus* d'Orb. *Ostraea conica* d'Orb.; la dernière la plus fréquente et forme par place des bancs continus.

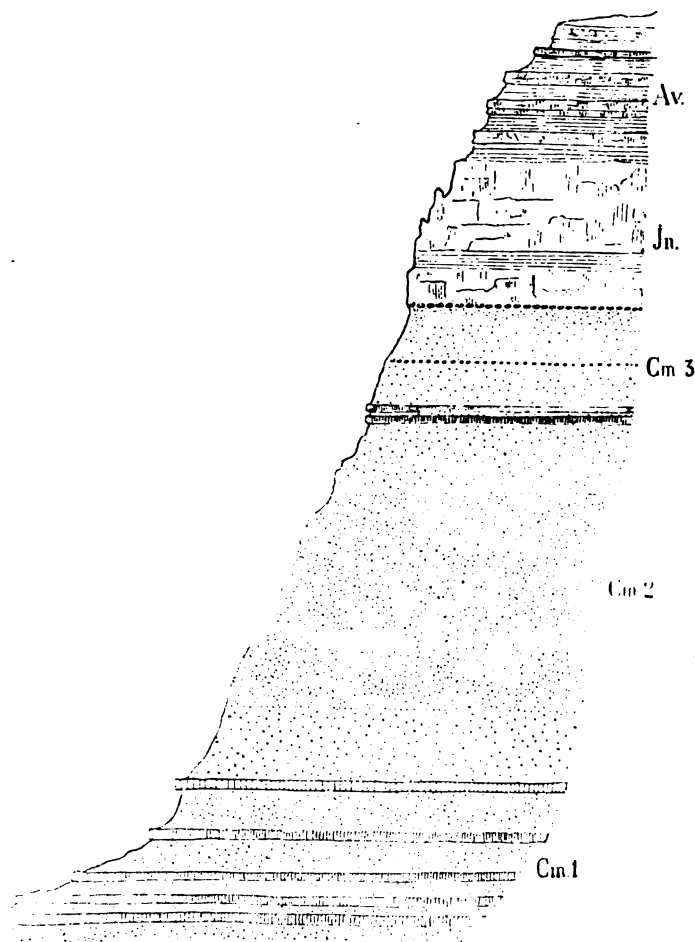


Fig. 11.

Location de la coupe en aval de Troubino fig. 11.
Les siliceuses.

à Inocerames avec un lit d'argile. (*Inoceramus Brongniarti*)

Sow. à la base, *Inoceramus lobatus* Münster. *soidea* Goldf. dans les horizons supérieurs (marnes siliceuses).

Cm. 3. Sable gris verdâtre avec rognons phosphatiques et de grès.

Cm. 2. Sable gris verdâtre plus foncé.

Cm. 1. Sable verdâtre avec lits de grès riche en fossiles niens.

Les coupes conservent ce caractère jusqu'à la station novka et même jusqu'à 12 kilomètres en aval de celle-ci. La puissance de la série sableuse à la base des coupes et les coupes deviennent moins hautes et les marnes siliceuses sont moins visibles.

Dans la montagne Dourmanskaja, en amont de la station novka, le crétacé supérieur ne remplit que la partie inférieure de la montagne (à peu près 20 m.); le reste de la montagne est formé d'argiles éocènes, très pauvres en fossiles.

Entre Danilovka et Chtcherbakovka on constate dans la série du crétacé supérieur, dans laquelle des couches argileuses et marneuses, en partie silicifiées, se succèdent les unes aux autres. Cette série, pauvre en fossiles, est couronnée par des marnes siliceuses de l'éocène.

Près de Chtcherbakovka la limite supérieure du crétacé est à un kilomètre en aval de cette station, dans la coupe dite Stolbitchi (Pl. F) on ne remarque plus que des argiles siliceuses jaunes et bleuâtres à la base (assise inférieure de l'étage de Syzran), du grès micacé gris jaunâtre dans la partie moyenne (assise supérieure du même étage et du grès micacé dans la partie supérieure; ce dernier représente la base du Saratow, dont les couches supérieures n'y sont pas développées).





Excursions des Stollbitcha - mont Le Clitic (2000)

1. The first part of the document is a list of names and addresses of the members of the committee.

Congrès Géolog. Intern.

1954



5-me jour.

Le dernier jour de l'excursion géologique le bateau va franchir le défilé entre Kamychin et Tzaritsyn. La première partie du trajet, entre Kamychin et Balykléi se fera probablement de nuit.

Le changement dans la structure des escarpements entre ces deux points consiste en ce que les argiles siliceuses de l'étage de Saratow, et parfois même le grès micacé et glauconieux du même étage se trouvent sous le niveau de la Volga, tandis que le grès tendre et le l'étage de Saratow qui formaient les sommets de Stolobnitsa descendent jusqu'au pied des falaises. De grandes concrétions calcaires, plus ou moins glauconieuses, se développent à ce niveau. Les concrétions qui font saillie sur les falaises sont disséminées dans les sables, leur donnant un aspect particulier (v. Pl. G.). A la partie supérieure des hauteurs riveraines se développe une série sableuse intercalée à sa base de couches d'argile noire; c'est la partie supérieure de l'étage de Saratow. Elle est pauvre en fossiles; les plus communs sont des dents de squales.

En certains endroits, les roches tertiaires s'écartent plus ou moins du rivage, formant alors un coteau composé d'argiles aralo-caspiennes associées à des sables. Le point le plus curieux de cette partie de la rive droite de la Volga se trouve près de la stanitsa (nom des bourgs cosaques) de Mirovka. Près de la stanitsa elle-même et à un demi-kilomètre en aval, les dépôts aralo-caspiens forment une terrasse adossée aux falaises tertiaires. En aval de la stanitsa, entre celle-ci et Souwod, on trouve la coupe suivante des roches tertiaires (fig. 12):

1. Sables à blocs de grès quartzeux.

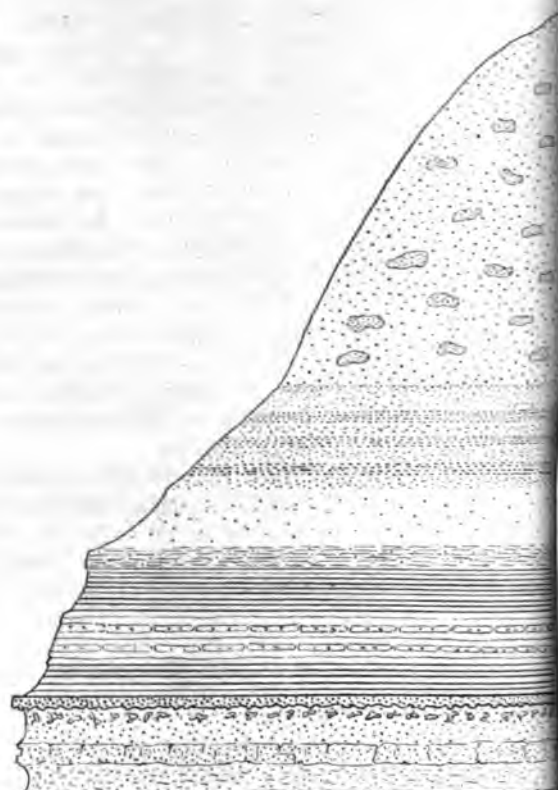
2. Sable micacé et glauconieux (11 m.) et argiles grises et noires, alternant avec l'argile siliceuse (13 m.).

3. Sable et grès quartzeux, plus ou moins glauconieux, à dents de squales (6 m.).

4. Sable blanc et verdâtre glauconieux et argileux, avec lits de grès friable (7 m.) et sable jaune à concrétions du grès dits „Karavaï“ (16 m.).

5. Grès argilo-miacé avec bancs d'huîtres. Près de Souwod il devient plus argileux et siliceux (5 m.).

Les trois kilomètres suivants présentent un intérêt particulier. Les roches qui viennent d'être décrites disparaissent brusquement de la rive pour se montrer encore à trois kilomètres plus loin avec les mêmes caractères pétrographiques et paléontologiques. L'intervalle entre ces deux points est occupé par des couches tertiaires plus récentes (partie supérieure de l'étage de Tzaritsyn), différent de tout ce qui a été observé jusqu'à présent, et surmontées des dépôts quaternaires récents, assez divers quant à leur aspect et leur mode de formation. Les couches tertiaires formant la base de la falaise sont:



XX. Guide des excurs. du VII Congrès Géolog. Inte



Fig. 1. Bord de la Volga entre Alexandrovka et Prokhladnyy.
les marnes blanches et les argiles quaternaires effondrées
sables de l'étage de Saratow.



gile schisteuse noire et gris brunâtre, riche en écailles de *Me-*
restes plus complets de ce poisson. Epaisseur variable, ne
ant pas deux mètres.

arne blanche à rognons phosphatiques. On y trouve les restes
nservés d'une certaine huitre, des dents de squales et des Fo-
feres (2 m.).

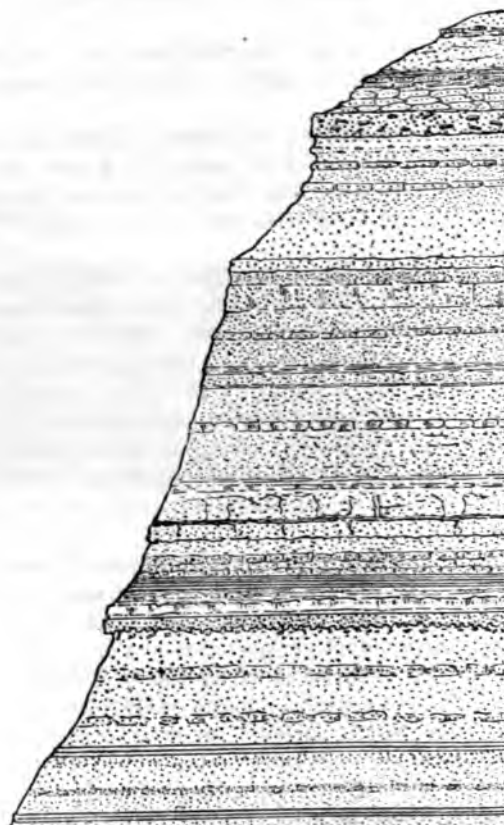
able jaune micacé à dents de squales. (Epaisseur visible 3 m.).
a Pl. H., fig. 1 montre cette partie de la rive droite un peu
élevée et se trouvant entre deux falaises plus hautes. Les mar-
anches à la base de la série sont visibles près de l'endroit où
ouve le bateau.

es couches quaternaires recouvrant cette série changent bien des
caractère sur ce petit intervalle. Ainsi, dans la partie d'amont
la coupe, près de Souwod, l'argile à *Meletta* est détruite et la
blanche est surmontée de sable blanc à stratification diagonale
quelques petits lits de gravier; puis vient une argile sableuse
rouge avec de très rares blocs de grès quartzeux et glauconieux
petits fragments d'autres roches. Cette assise porte le caractère
moraine locale. Elle se détache nettement des sables et des grès
es formant la falaise d'Alexandrovka, ce qui est bien visible dans
2 de la Pl. H.

dans le sol de la haute steppe qui aboutit à cette coupe, on trouve
souvent de petits blocs, des galets et des fragments anguleux de
assez diverses (grès quartzeux, silex, phosphorite, marne à
e ferrugineux etc.) dont quelques-unes ne se rencontrent pas dans
s voisin, ce qui confirme la supposition de l'origine glaciaire de
pôt. Un peu plus en aval, le même sable blanc recouvre l'ar-
à *Meletta*, mais l'argile sableuse rouge est remplacée par du li-
bessoidé à blocs de différentes roches et du gravier à la base.
mon brun jaunâtre couvre les mêmes sables blancs et offre tous
ractères d'un dépôt déluvial. Encore plus en aval viennent les
noires d'origine lacustre, riches en coquilles d'eau douce et cou-
es par des argiles verdâtres renfermant des cristaux et des grou-
istallins de gypse.

Dont ces roches apparaissent brusquement pour former, sur une
distance, la rive droite de la Volga. Elles se trouvent enfon-
entre deux fractures qui découpent la rive droite dans la direc-
tion méridionale en formant un angle aigu avec le cours de la Volga.
présentent ainsi une petite bande effondrée (Graben) dans la-
elle sont conservées les roches plus récentes, détruites par l'éro-
sion dans le pays voisin. Ce n'est que dans les environs de Tzaritsyn
les couches à *Meletta* s'étendent sur des espaces continus. Les
sont mises à jour dans les ravins découpant la haute steppe à
de la ville.

En aval de la bande effondrée qui vient d'être décrite, l'étage de
ow reprend sa place dans les falaises. Peu à peu cet étage cesse
d'entre part à la formation de la haute rive et une autre série



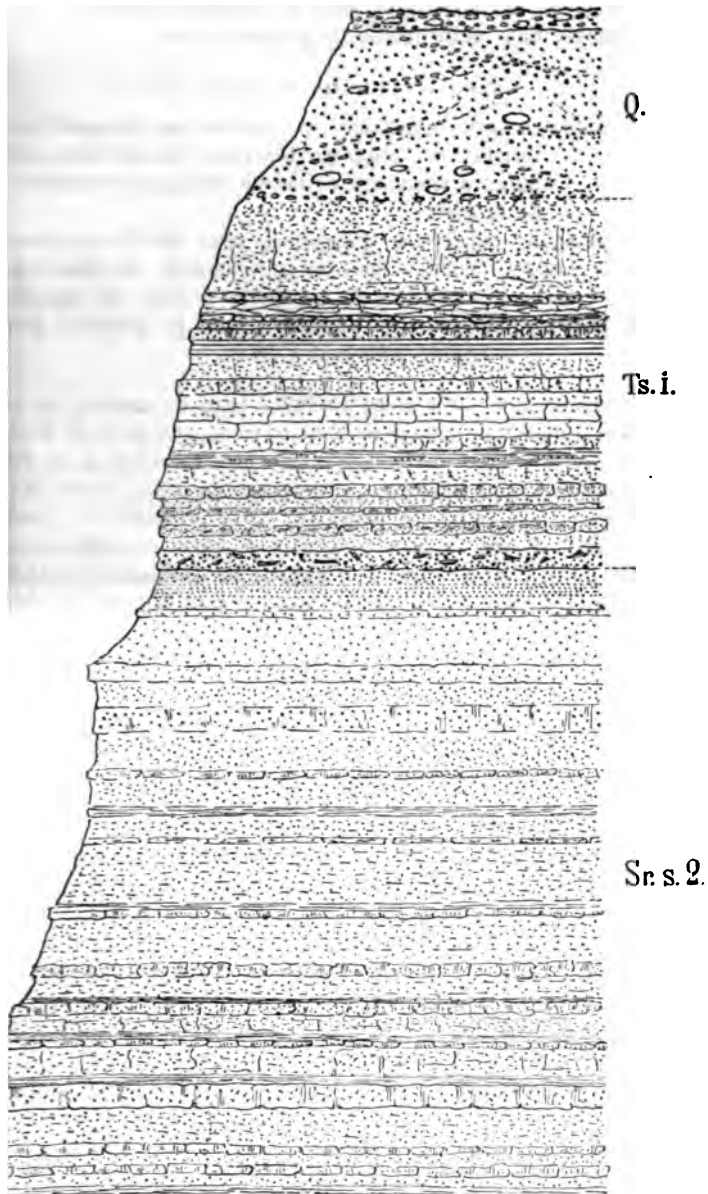


Fig. 14.

sableuse se développe et se complique de plus en plus. C'est l'inférieure de l'étage de Tzaritsyn. (*Ts. i.*, fig. 13 et *Ts. i.*,

La coupe suivante, prise près de Chirokoïé, montre la base des couches dans cette partie de la haute rive.

Explication de la coupe fig. 13.

Ts. i. Sables et grès quartzeux et glauconieux formant la base inférieure de l'étage de Tzaritsyn. Un lit d'un grès micacé à fragments de l'argile siliceuse se trouve dans la série.

Sr. s. 2. Sables micacés et glauconieux avec des lits argileux.

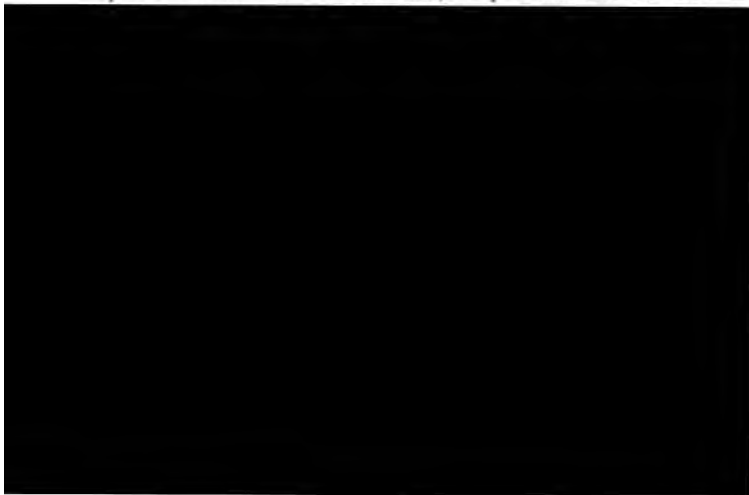
Sr. s. 1. Argiles foncées, sables et grès micacés et glauconieux tronqués par le grès quartzeux à dents de scie.

Sr. i. Sable glauconieux et argileux blanc et verdâtre à grès friable, s'élevant à 18 m.

Apparaissant, en aval de Proléïka, près du sommet de la série sableuse de l'étage de Tzaritsyn compose, près de Proléïka à peu près la moitié de la coupe (fig. 14) et continue à ce point en s'approchant de Tzaritsyn. Au-dessus de cette série, l'étage est le plus élevé, se montrent, entre Proléïka et Proléïka des sables et des argiles sableuses à blocs de différentes formes (fig. 14). A mesure que l'on s'approche de Tzaritsyn, la base inférieure de l'étage de Tzaritsyn s'abaisse peu à peu, se cache sous des éboulis. En parcourant la distance entre Proléïka et Tzaritsyn, on voit assez souvent les roches anciennes recouvertes par l'argile brun rougeâtre aralo-caspienne.

Les argiles à *Melitta* occupant les élévations des environs de Tzaritsyn ne sont pas visibles dans les coupes du rivage.

La route que les participants à l'excursion par la Volga prennent pour se rendre à Wladikavkaz, ne pouvant encore être fixée



XXI

EXCURSION

AU SUD DE LA RUSSIE.

(Variante C).

PAR
N. SOKOLOW et P. ARMACHEVSKY.

Coup d'œil sur la géologie de la Russie du Sud

PAR
N. Sokolow.

Les premières notions données sur la structure géologique de la Russie du sud, traversée sur notre itinéraire—Koursk—Tcherkassy—Nikolaew—Kherson—Alexandrovsk—, partie comprenant principalement les cours moyen et inférieur du Dniepr, sont dues à des voyageurs de la fin du siècle dernier, les naturalistes Pallas, Guldénstedt, Zouïew.

Des connaissances beaucoup plus exactes sur cette région nous ont été fournies par Dubois de Montpéroux (*Geognostische Verhältnisse Ost-Galicien und in der Ukraine*. Karsten's Archiv f. Mineralogie. V. 1832), qui, le premier, a signalé la présence, au cours inférieur du Dniepr, de dépôts jurassiques, crétacés et tertiaires.

Quant aux anciennes roches cristallines de ce rayon, des indications importantes se trouvent dans les travaux de Bloede, Eichwald et vanitsky.

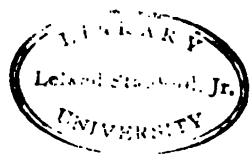
Des recherches géologiques plus détaillées, faites dans la Russie du sud à partir du milieu de ce siècle, ont eu pour résultat les travaux de Théophilaktow (Carte géologique du gouvernement de Kiev, 1872), Barbot de Marney (Im Jahre 1868 ausgeführte geolo-

gische Untersuchungen in den Gouvernements Kiew, Po-
Volynien. Verhandl. d. Mineral Gesellschaft. Petersb. B.
Esquisse géologique du gouvernement de Kherson 1869), I.
Lévakovsky (Étude sur le crétacé et les systèmes suivant-
de la Soc. des natur. de Kharkow, 1872—73), Gourow. K.
] Enfin, parmi les travaux qui ont paru dans ces dernie-
faut nommer ceux de Kontkiewicz (surtout ses „Recherch-
ques dans la zone des granites de la Nouvelle-Russie-
Dniepr“. Journ. des Mines. 1881. „Geologische Beschreibung
gend von Kriwoi-Rog“. Verhandl. d. Miner. Gesell. B. XV
d'Armashevsky, qui a principalement exploré la région
gauches du cours moyen du Dniepr, ceux de Domher, de Ta-
(surtout „Sur les roches du groupe des gabbros dans les
Jitomir et de Radomysl“. Mém. de la Soc. des natur. de K.
livr. I. 1895), de Piatnitsky, qui ont pour objet essentiel
cristallines.

Les dépôts mésozoïques du gouvernement de Kiew ont
par Karitsky (Les vestiges de la période jurassique dans
de Kanew. Materialien zur Geologie Russlands. B. XIV. 1881.
kévitch (Articles divers des dépôts crétacés du district
Mém. de la soc. des natur. de Kiew).

La description des dépôts tertiaires, très développés dan-
a été faite par l'auteur de la présente esquisse dans sa
„Die untertertiären Ablagerungen Südrusslands“, (Mém.
t. IX, livr. 2), qui renferme la somme de toutes les connais-
nous possédons sur ce rayon; „Carte géologique générale de
Feuille 48 (Mélitopol—Berdiansk): „Hydrogeologische Unte-
im Gouvernement Kherson“, (Mém. Com. Géol. t. XIV. 1881).
décrit les dépôts néogènes, développés dans la région d-
parlé dans cette esquisse. Nous ne pouvons finir sans faire
travail de M. Gourow: „Esquisse géologique du gouver-







té droit. Les petits ruisseaux, au contraire, sont nombreux; leurs lits, profondément creusés dans les dépôts meubles posttertiaires de la vallée, sillonnent les steppes riveraines, ondulées et à une assez grande distance du fleuve. Sur la plus grande partie du trajet que nous considérons, le Dniepr baigne les hauteurs de la rive droite ou vient s'en approcher très près. Cependant il est en certains endroits, par exemple vers le sud de Kiew, jusqu'au village Tripiïlia, aux points de jonction de la Rosse et de la Tiasmin, affluents assez relativement plus importants, où les hauteurs reculent pour faire place à des plaines de peu de largeur) formées par les alluvions récentes.

La rive gauche présente un tout autre aspect. A l'exception d'une seule hauteur isolée, le Pivikha, s'élevant près de la ville de Gradischk (à l'amont de Krémentchoug), elle s'étend, sur tout le parcours de 470 verstes entre Kiew et Ekathérinoslaw, en plaine bordée d'une large bande de sable fluviatile, amoncelé en dunes par le vent, pour s'unir aux steppes après une élévation à peine visible qui la délimite. Ces dunes, s'élevant peu à peu vers l'est et le nord-est, atteignent, à une distance de 120 à 150 verstes du fleuve, une altitude de 200 mètres, c'est-à-dire la même hauteur que celle des steppes de la rive droite dans la proximité du Dniepr.

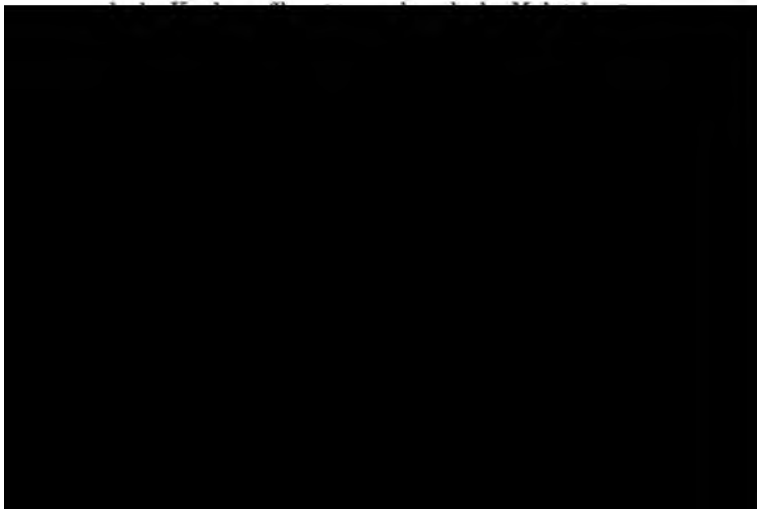
La steppe de la rive gauche, quoique traversée par plusieurs cours d'eau considérables du Dniepr—la Desna dans son cours inférieur, la Soula, la Psiol, la Worskla, l'Orel, la Samara—est beaucoup plus régulière et moins découpée de ravins et de vallons que celle de la rive droite.

A une petite distance en amont de Krémentchoug, le Dniepr franchit le rocher de la bande des gneiss-granites de la Russie du sud qu'il suit le long de sa limite nord-est jusqu'à Ekathérinoslaw. Là le fleuve change brusquement de cours et va couper ces roches transversalement. Son aspect prend un tout autre caractère: le large lit avec ses nombreux bancs de sable, ses flots et son réseau de courants partiel qui se présente jusqu'à Ekathérinoslaw, se rétrécit considérablement et son courant, de lent et tranquille qu'il était, devient rapide et même impétueux aux points où les bancs des gneiss-granites viennent barrer le cours et former des catacates (porogui). Sur une distance de 62 verstes, entre Ekathérinoslaw et Alexandrovsk, on compte neuf grandes catacates dont la plus importante s'appelle Niémetetz, d'une inclinaison générale, d'ailleurs très inégale, de 33,5 p. 100. Dans cette partie du fleuve la différence topographique des deux rives est peu sensible. Toutes deux sont élevées et s'abaissent rapidement tantôt escarpées, tantôt plus ou moins douces, séparées çà et là de l'eau par des bandes plates d'alluvion récente. L'ensemble des hauteurs riveraines, ainsi que toute la steppe de la zone granitique vers l'est et l'ouest du Dniepr, offrent un plongement graduel vers le sud.

Au sud d'Alexandrovsk, le Dniepr fait de nouveau un détour, cette

fois vers le sud-ouest, pour suivre à peu près la même direction son déversement dans le liman. La région dans laquelle le fleuve est engagé après avoir quitté la zone des gneiss-granites, est par des dépôts néogènes accusant une inclinaison faible, mais vers le sud, de même que la steppe qui est ici la moins ou la plus dépourvue d'eau dans la Russie du sud. La steppe devient en plus plane à mesure qu'elle s'approche du Pont-Euxin. Dans l'inférieur, le fleuve coule dans une vallée, sur laquelle les bords viennent faire saillie à droite et à gauche; les eaux s'y engagent en un labyrinthe de courants partiels et de bras serpentant dans les basses d'alluvion récente, le plus souvent boisées de peupliers et recouvertes d'une herbe grossière: ce sont les „Plavni“ du sud. Toute cette vaste vallée est inondée au printemps par les crues, sur une largeur atteignant en maints endroits 20 versts. Un phénomène intéressant au cours inférieur du Dniepr, c'est qu'à tous les affluents qui vont s'y verser, se sont ravinés à leur embouchure de profondes cavités remplies d'eau stagnante, alors que des petites rivières et des ruisseaux (Bazavlouk, Ingouletz, skala, Rogatchik) s'élargissent à leur jonction avec le fleuve principal de même origine que les limans de la mer.

Les gneiss-granites, les roches les plus anciennes de la Russie du sud, et en général de la Russie du sud, s'étendent en une bande du NW au SE, à partir de la Wolhynie jusqu'à la mer Noire. Ce n'est que dans la partie moyenne de cette bande que les granites, accompagnés de syénites, gabbros, porphyres, diorites et autres roches cristallines, affleurent dans les vallées profondes; ailleurs ils sont recouverts par l'assise moins épaisse des dépôts tertiaires et posttertiaires. Notons que dans la partie la plus nord-occidentale de la bande (le sud-ouest du gouv. de Kiew et espaces limitrophes de la Wolhynie et la Podolie), ainsi que dans sa partie sud-occidentale (cours



souvent de celle du méridien. En quelques rares points on trouve des plis formés par une dislocation ultérieure, se dirigeant dans le sens de la parallèle géographique. L'âge des gneisso-granites n'est pas encore établi définitivement. Le plus souvent on les rapporte au type archéen. En tout cas il est hors de doute qu'ils sont plus anciens que les dépôts siluriens, témoin la stratification intacte de ces derniers sur les gneisso-granites fortement disloqués de la Podolie. Variétés granitiques, telles que le granite à muscovite (le plus souvent à grain très gros), la pegmatite, l'aplite, le granite pélicanitique, le granite juive, se rencontrent bien plus rarement que le gneiss-granite à biotite qu'elles traversent ordinairement en filons. Les syénites, très répandues dans la région que nous considérons, s'allient tantôt avec le granite et par passage graduel avec les gneiss-granites, tantôt elles traversent en filons parfaitement isolés, en suivant des directions qui ne présentent aucune relation déterminée avec la direction des gneiss-granites. L'amphibolite, le gabbro, la diorite, la diabase, le porphyre, la porphyrite et la serpentine offrent des affleurements très peu nombreux. Le groupe des schistes cristallins, particulièrement variés dans le rayon métallifère de Krivoï-Rog, est considéré comme plus récent comparativement à l'âge des gneiss-granites, bien qu'ils aient certainement subi les effets de la dislocation en même temps que les autres. En dehors des quartzites avec leurs riches gisements de fer à Krivoï-Rog, de Korsak-Moguila et de certaines autres localités, on trouve des schistes argileux (parfois ardoisiers), graphiteux, chloritalqueux, des itakalounites et des grès à arkose. Partout dans la région du sud, les roches métamorphosées sont fortement disloquées, mais elles s'orientent à peu près dans la direction du méridien, déviant préférentiellement vers le NE que vers le NW.

Les dépôts du groupe paléozoïque n'affleurent nulle part dans le cours moyen et inférieur du Dniepr, si ce n'est vers les bords de la Woltchafa qui, proprement dit, fait déjà partie du bassin minier du Donetz. Cependant un forage exécuté à Peréchtchépino sur la rivière Orel, a rencontré, à une profondeur de 190 à 240 m., des grès et argiles du système carbonifère témoignant de la continuation des dépôts carbonifères du bassin du Donetz sous la puissante couverture des couches plus récentes du Dniepr moyen.

Le groupe mésozoïque est représenté par des couches des systèmes jurassique et crétacé.

Les dépôts jurassiques ne se montrent dans des affleurements nulle part qu'au district de Kanew (gouv. de Kiew), le long du Dniepr, entre les villages Traktémirow et Pékari, où ils ont été soulevés par les forces qui se sont fait sentir encore après les dépôts des couches éocènes. De profonds sondages ont révélé l'existence des dépôts jurassiques à Kiew, près de la station Bobrowitsy (ch. d. f. Koursk—Kiew) située à l'est du Dniepr, et au village Pérechhtchépino sur la rive gauche de l'Orel.

D'après les recherches du professeur Théophilaktow et de m. Ka-

ritsky, il convient de distinguer deux groupes de cou dépôts jurassiques affleurant au district de Kanew.

Le groupe inférieur se compose d'argiles grises sch et concrétions gypseuses, interstratifiées de très mince et de sphérosidélite argileuse. L'absence presque tota paléontologiques ne permet pas de déterminer l'âge d'une manière très exacte; cependant il y a lieu de croire ritsky, qu'elles sont à classer dans le bath.

Le groupe supérieur est composé d'argiles calcaro clair, avec couches interstratifiées de marne sableuse. distinguent des argiles schisteuses du groupe inférieur j de fossiles dont les plus fréquents sont: *Cosmoceras Goni* *Cosm. Galilaei* Opp., *Macrocephalites macrocephalus S* *dioceras Chamusseti* Opp., *Perisphinctes Koenigi* Sow., *Ph. bis* Neum. Parmi les lamellibranches on rencontre le plus *lens* Sow., *Pholadomya Murchisoni* Sow., *Ph. navic*. Se fondant sur la présence dans ces argiles des ammonit m-r Karitsky rapporte le groupe supérieur des dépôts du gouvernement de Kiew au callovien inférieur, notam à *Macrocephalites macrocephalus* Schloth. Il est fort les dépôts jurassiques du gouv. de Kiew sont la contin du jura des gouv. de Kursk et d'Orlow, ainsi que de cel le long du Donetz, d'autant plus qu'en dehors des doni logiques, des sondages profonds, comme nous l'avons dit ont rencontrés sur l'espace intermédiaire, dans les gouv. et de Poltawa.

Les dépôts crétacés accompagnent, dans les affleuren le jura du district de Kanew (gouv. de Kiew); de plus i au cours supérieur de la Psiol et de la Worskla (dans gouv. de Kursk, en partie du gouv. de Kharkow); ma plus grand développement au cours supérieur de la S

trouvés de fossiles dans ces sédiments. Par contre, les sables us ou moins calcaireux et marneux, développés dans la région, entre le village Boutchak et le village Pétrouque dans le Mochnogorié, renferment une faune assez riche. M-r Radkévitch signale, dans la liste des fossiles qu'il a trouvés dans ces dépôts, plus de 60 espèces de mollusques, 4 espèces de crustacés et 5 espèces de poissons. M-r Radkévitch a trouvé encore 24 autres espèces de poissons, une espèce de saurien et une pièce de baleine. De plus le prof. Schmalhausen a défini les végétales (en majeure partie Conifères), trouvées dans ces coupes. *Pelecypoda* dont les restes forment à eux seuls 75% des fossiles, les mollusques les plus fréquents sont: *Exogyra conica*, *ten lamosus* Mant., *P. laevis* Nilss., *Panopaea regularis*, *Eryphila (Lucina) lenticularis* Goldf., *Cucullaea glabra*, *rigonia aliformis* Park., *Avicula seminuda* Dames. La présence de formes cénomaniennes (jusqu'à 80%), les fossiles les plus caractéristiques du cénomanien faisant toutefois défaut, et d'autre part la présence de formes plus anciennes que celles du cénomanien, ont fait m-r Radkévitch à considérer ces dépôts crétacés comme appartenant au cénomanien typique de l'Europe occidentale. A une certaine distance du Dniepr on trouve des dépôts plus récents que ceux qu'on observe dans les escarpements du fleuve. Ces dépôts sont formés de marne plus ou moins glauconieuse contenant une grande quantité de fossiles et fait classer dans le cénomanien supérieur.

Le vaste espace qui sépare les dépôts crétacés du gouvernement de Kiew de leur développement principal dans la Russie du centre, ces dépôts n'affleurent nulle part, mais on les y a trouvés, dans des sondages plus ou moins profonds, sous la puissante assise des tertiaires, de même que plus loin, vers le sud-est, dans les rivières Samara et Woltchia, où ils forment des flots, restés en place après l'érosion du manteau crétacé qui avait recouvert la pente du massif des gneiss-granites des districts de Berdiansk et d'Uman.

Les dépôts tertiaires, incomparablement plus développés que les crétacés et jurassiques, occupent presque tout le bassin du Dniepr et du moyen du Dniepr.

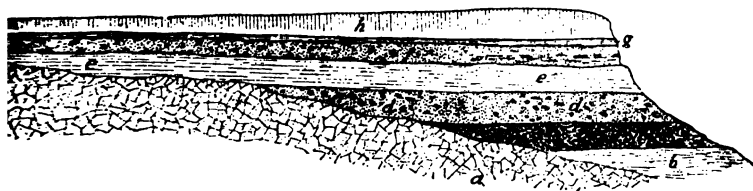
Dans la région du Dniepr moyen il y a développement presque partout des dépôts paléogènes, les néogènes (sarmatiques) ne se rencontrent qu'à l'extrémité sud, près de Ekathérinoslaw. La région du sud, au contraire, est recouverte de sédiments néogènes, dans lesquels les paléogènes ne viennent se montrer que près du nord de leur étendue.

Dans les dépôts tertiaires les plus anciens sont des sables habituellement gris d'un gris clair, jaunâtre ou verdâtre, auxquels un fort peu de glauconite donne parfois une couleur vert foncé. Ces sables contiennent souvent des concrétions phosphatiques et des nodules, se montrent dans des coupes naturelles le long du

Dniepr, au district de Kanew et dans la partie sud du district de Kiew.

A ces dépôts doivent aussi être rapportés les grès siliceux à arkose, souvent à empreintes de tiges d'herbe, de troncs et de branches, qui se rencontrent en flots isolés, entourés de granites et d'autres roches cristallines, à l'extrémité sud-orientale du développement des dépôts paléogènes dans le bassin de la Dniepr. D'ailleurs on trouve ici, ainsi qu'à l'extrémité sud-occidentale, des dépôts paléogènes sont également superposés aux gneiss-granites semblables appartenant à d'autres étages paléogènes et à un faciès littoral d'eau peu profonde. Des sondages, faits à Kiew beaucoup de points du gouvernement de Podolsk, ont rencontré 80 mètres de sables à phosphorites à la base des dépôts tertiaires. Les dépôts semblent être délimités dans le gouvernement de Kiew par la région attenante au Dniepr; au moins, d'après le prof. Théodor, les anciennes roches cristallines sont-elles immédiatement vertes, à une distance de 40 à 50 verstes du fleuve, par les conglomérats supérieures. Vers 1830 déjà, Dubois de Montpéroux a constaté la présence de fossiles dans les grès faisant partie de ces dépôts à Traktémirow et Boutchak, et jusqu'ici ces localités sont à peu près les seules où l'on en trouve. Des 80 espèces à peu près de mollusques qu'on connaît dans les grès de Traktémirow et Boutchak, les plus importants sont: *Rostellaria rimosa* Sol., *Terebellum soppitum* Sol., *Cassidaria nodosa* Sol., *Pinna margaritacea* Lamk., *Pecten corneus* Sow., *Pectunculus Duboisi* May., *Cardium hybridum* Desh., *Anatina rugosa* Lamk. La majeure partie des mollusques, connus jusqu'ici, se rapportent à l'éocène, notamment à l'éocène moyen et, en partie, au tertiaire. K. Mayer-Eymar qui a eu à sa disposition la plus grande collection de fossiles provenant de ces dépôts (jusqu'à 80 espèces), les classifie dans l'étage bartonien, quoiqu'il soit plus juste peut-être de ne les

re. Parmi les pélécy-podes, généralement peu nombreux, les plus
ins sont: *Ostrea* du groupe *O. plicata* Sol. (*O. prona* v. Koen.?).
Lylus Buchi Phil., *Pecten idoneus* Wood., *P. cornus* Sow.,
Ma cf. *deperdita* Desh. Les espèces de mollusques connues dans
ne bleue ne permettent guère encore de se prononcer définitive-
sur l'appartenance de cette marne à l'éocène supérieur ou bien
gocène inférieur. Une micro-faune nombreuse, composée princi-
ment de *Foraminiferae*, notamment de représentants des familles
Elididae, *Lituolidae*, *Textularidae*, *Lagenidae*, *Globigerinidae* et
Elididae, offre, d'après les recherches de m. Toutkovsky, le caractè-
re de l'oligocène. Des 11 espèces de plantes, trouvées dans la marne
de Kiew et déterminées par le prof. Schmalhausen, 1 espèce
(*Burtini* Broug.) est propre à l'éocène du bassin de Paris, et
l'autre (*Cupressinorylon sequoianum* Merckl.) est répandue depuis
le miocène jusqu'au miocène inclusivement. L'âge de la marne bleue de
Kiew ne peut donc point être considéré comme établi d'une manière
stable et cette marne ne peut être rapportée à l'éocène supérieur
provisoirement. Les dépôts de la marne bleue que l'auteur de cette
travaux classe dans l'étage de Kiew (étage à *Spondylus*)¹⁾ transgres-
sion considérablement, comparativement aux dépôts de l'étage de Bou-
tchak, dans la direction S. W. Ainsi par exemple, à 40—50 verstes
du Dniepr, les dépôts de l'étage de Boutchak vont déjà se terminer
peu et la marne bleue repose directement sur les gneiss-granites,
tandis que les dépôts de l'étage de Kiew se rencontrent encore à Koro-
stychew (près de la ville de Radomysl), à une distance de 90 verstes à
l'est du Dniepr, où leur niveau inférieur est de 100 mètres environ plus
élevé qu'à Kiew (fig. 1). Mais la partie la plus élevée du massif gneiss-



1. Coupe schématique entre Kiew et Korostychew. *a*—gneiss-gra-
b—dépôts jurassiques; *c*—dépôts crétacés; *d*—sables de Boutchak;
marne de Kiew; *f*—sables glauconifères et quartzeux; *g*—argiles
bigarrées; *h*—loess et argiles posttertiaires.

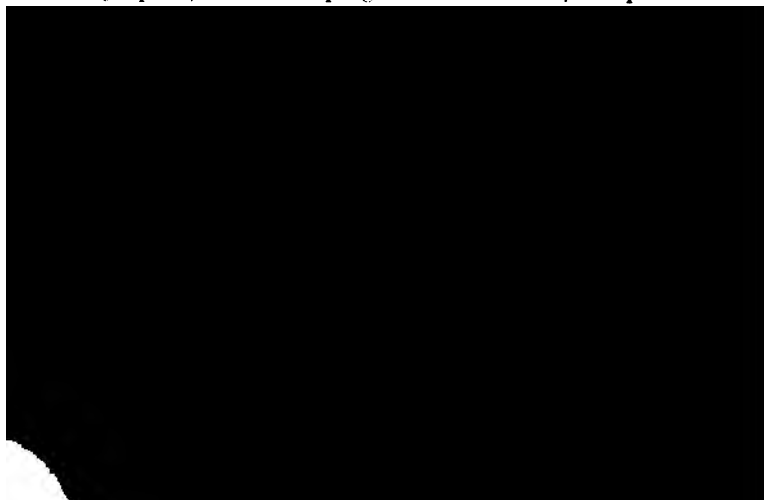
tiq. à la limite sud occidentale du gouvernement de Kiew n'a-
pas été couverte par la mer à l'époque du dépôt de l'étage de
Kiew. Ce n'est que vers l'est du méridien de Kanew, là où le massif
s-granitique s'abaisse déjà considérablement, que les dépôts de

¹⁾ l. c. pp. 156 et 286.

l'étage de Kiew passent aussi sur le flanc gauche du massif par la suite à une érosion puissante, ces dépôts ne sont restés que çà et là dans les cuvettes et à la surface inégale des granites. Un de ces flots offre la marne blanche de Kalinovka de Elisabetgrad. A l'est du Dniepr, la marne bleue de l'étage n'est observable dans des coupes naturelles qu'à la rivière Soudouga du village Matwéevka, et à la montagne Piwikha, près de Krémnitsa. Toutefois de profonds forages, exécutés, dans le but de trouver une artésienne, en plusieurs endroits du gouv. de Poltawa et des limitrophes des gouv. de Tchernigow et de Kharkow, ont pu révéler une marne bleue, puissante de 21 à 27 m., de composition graphique analogue à celle de la marne bleue de Kiew et renfermant les mêmes foraminifères.

Au-dessus de la marne bleue, on voit, dans les affleurements de Kiew et des alentours, des argiles arénacées gris verdâtre avec un passage graduel, vers le haut, en sables argileux de même couleur. Ces sables argileux et sables argileux, cimentés par places en grès, renferment abondamment en grains de glauconie, en petites lamelles de *radiolites* et *spiculi* d'éponges siliceuses, atteignent une puissance de 15 à 20 m. et vers l'est du Dniepr des sondages en ont même traversé 30 mètres. L'étendue des dépôts glauconieux argilo-sableux n'a pas varié vers le sud-ouest, jusqu'à la limite des dépôts de l'étage de Kiew, vers le sud aussi la mer était probablement moins étendue et la péninsule était moins grande, mais vers le nord et le nord-ouest elle occupait un grand espace à l'époque du dépôt des argiles et sables argileux. Dans la région des gneiss-granites les dépôts argileux à glauconie reposent immédiatement sur les anciennes roches cristallines, les couches de l'étage de Kiew ayant subi une forte érosion, il n'en a laissé intacts que quelques flots.

Dans les dépôts sablo-argileux glauconifères de Kiew on trouve jusqu'ici, outre les spongiaires mentionnés, de peu nombre



Præcurotoma Bosqueti Nyst, *Pecten bellicostatus* Wood, *Leda* v. Koen., *Crassatella Woodi* v. Koen., *Trochoseris helian-*
Roem. etc., autorisent suffisamment à paralléliser ces dépôts
l'oligocène inférieur de l'Allemagne du nord (étage ligurien). Les
et sables glauconieux de l'oligocène inférieur que l'on pourrait
„dépôts de Kharkow“ viennent se recouvrir, presque sur toute
endue, de sables quartzeux blancs ou jaunes, souvent avec blocs
sables intercalées de grès concrétionnés et interstratifiés dans les
supérieurs d'argiles plastiques grises. Le passage des sables
verdâtres glauconifères aux sables blancs quartzeux se fait le plus
et petit à petit; mais il est des points où l'on observe, à la limite
ces deux espèces de sables, des traces d'érosion accompagnées
couche intermédiaire de galets, parmi lesquels on rencontre des
roulés du grès glauconieux de l'étage de Kharkow. La puissance
sables quartzifères blancs et jaunes, avec leurs argiles plastiques
données, atteint 15—20 m. aux alentours de Kiew et 30—40 m.
le gouvernement de Poltawa et en plusieurs points du gouv.
Chérnoslaw. Les dépôts arénacés ne présentent que de rares frag-
de troncs d'arbre silicifiés et, dans les argiles subordonnées, de
rares empreintes de feuilles. Il est à regretter qu'à l'exception
empreintes de feuilles trouvées près de la frontière ouest du gou-
nement de Kiew, dans les grès de la station Moguilno, et décrites
prof. Schmalhausen, ces restes végétaux n'aient pas encore
 étudiés. Les formes oligocènes sont les plus nombreuses, par ex.
Couttsia Hr., *Laurus primigenia* Ung., *Andromeda proto-*
Ung. Les espèces communes à l'oligocène et au miocène sont
ment assez nombreuses; on en rencontre même qu'appartiennent
sivement au miocène. Prenant en considération la totalité de cette
ces grès peuvent être classés dans l'oligocène moyen ou dans le
eur, hypothèse que viennent confirmer les restes paléontologi-
que l'on trouve, à la rivière Solionaïa, dans les minerais de man-
. Les sables jaune brunâtre qui renferment le minéral, recou-
une argile siliceuse gris verdâtre de l'étage de Kharkow et doi-
tre rapportés aux horizons inférieurs des sables quartzeux jau-
blancs. En dehors de restes de poissons encore suffisamment
aïnés, le minéral de manganèse contient *Carcharodon turgi-*
g., *Terebratula grandis* Blum., *Panopaea Heberti* Desh., for-
rés caractéristiques de l'oligocène moyen. Se basant sur l'ensem-
ces données, il est vrai, peu nombreuses, l'auteur de cette esquisse
he provisoirement les sables quartzeux blancs et jaunes, avec les
s plastiques subordonnées, à l'oligocène moyen et partiellement,
tre, à l'oligocène supérieur. D'autres géologues, par exemple le
Armachewsky, jugent impossible de séparer ces dépôts des sa-
glauconifères sous-jacents, alors que les prof. Gourou et Piat-
y les placent dans le miocène, notamment dans l'étage sarma-

encore moins peut-on dire rien de certain sur l'âge des argiles bi-

garrées, çà et là gypsifères, qui recouvrent avec une puissance de 15 m., parfois même de 30 m., les sables quartzifères de l'étage Poltawa. Ces argiles, dans lesquelles on n'a point trouvé jusqu'ici restes paléontologiques, sont tantôt considérées comme partie de l'étage des sables quartzeux blancs, tantôt comme dépôts pliocènes, tantôt comme posttertiaires.

Parmi les dépôts néogènes du bassin du Dniepr, les plus développés sont les sédiments sarmatiques et pontiques. Des dépôts miocènes plus anciens que les sarmatiques ont été découverts depuis peu au village Tomakovka (au sud-ouest d'Ekathérinoslaw) et à la rivière Konka (au sud-est d'Alexandrovsk). A Tomakovka des cavités à la surface des gneiss-granites sont remplies des produits mal assortis : la destruction de ces roches et de marne mêlée de sable grossier, à coquilles et moules d'*Ostrea gingensis* Schloth., *Pecten aff. Malvinae* Du Roi, *Turritella Pythagoraica* Hilb., *Chama* etc. Dans les dépôts sablo-argileux à la rivière Konka, on trouve, à côté de *Spaniodon nitidus* Reuss, *Voluta* du groupe *V. marginata* Hörn., *V. Basteroti* Hörn., *Cardium* du groupe *Card. turonicum* May., *Corbula gibba* Olivi, *Lucina dentata* caractéristiques des dépôts méditerranéens, des espèces des genres *Macoma*, *Tapes*, *Ercilia*, *Syndesmya* que l'on rencontre aussi dans les couches sarmatiques superposées. Les dépôts miocènes de Tomakovka, de même que les dépôts probablement plus récents à la rivière Konka, sont évidemment des lambeaux insignifiants, restés après l'érosion du miocène inférieur précédant l'époque sarmatique.

Les dépôts sarmatiques occupent une vaste région au cours inférieur du Dniepr; au cours moyen, au contraire, ils ne se rencontrent qu'à droite du fleuve qu'à une distance de 25 verstes environ vers l'est d'Ekathérinoslaw et à gauche, dans les bassins de la Samara et de la Wolchia. Leur limite nord offre une corrélation intéressante avec le relief du massif des gneiss-granites de la Russie du sud: là où celui-ci s'abaisse peu à peu jusqu'à 150 m. au-dessus du niveau de la mer,

ce sont des argiles riches en gypse sous forme de cristaux et crétions de sélénite. Cette abondance de gypse dans les dépôts du golfe est probablement due à la division de ses eaux en bassins à chaque abaissement du niveau de la mer sarmatique sorte que les gneiss-granites émergés étaient à sec pendant des plus ou moins long.

La faune des dépôts sarmatiques de ce rayon et en général de la Russie du sud, sauf toutefois son extrémité ouest, se distingue par son uniformité pauvre en espèces. Les lamellibranches prédominent, surtout les représentants du genre *Maclra* qui se trouvent partout en abondance énorme. Avec *Maclra*, notamment *ponderosa* W., et ses variétés, on trouve en abondance *Cardium obsoletum* W., *C. plicatum* Eichw., *C. Fittoni* d'Orb. et leurs variétés (de *C. obsoletum* sont particulièrement nombreuses), *Tapes greppartch.*, *Ervilia podolica* Eichw. Il y a des endroits où l'on trouve beaucoup de *Modiola volhynica* Eichw. et *M. marginata* W. Les gastéropodes les plus fréquents sont *Nassa duplicata* Bulla lajonkaiensis et parfois des individus du genre *Trochus*. Le genre *Cerithium*, dont les espèces sont si variées dans le sud du bassin de Vienne et à l'ouest de la Russie du sud (Volhynie, Bessarabie), n'a guère de représentants ici. Très rarement on remarque des individus isolés de *Cerithium lignitarum* W.

L'apparition de dépôts d'eau douce à l'extrémité sud du terrain pontique semble prouver que vers la fin de cette époque la mer s'était retirée de la région que nous considérons.

Dans la partie sud-ouest de la région du Dniepr inférieur, les couches sarmatiques sont surmontées d'une assise peu épaisse (5—12 m.) de cailloux jaunâtres et blanchâtres, habituellement poreux ou sableux. Intercalation de minces lits de sable blanchâtre et d'argile grise. Les dépôts, auxquels M. Androussow a donné le nom de dépôts „maeotiques“, tendent le long du Dniepr que jusqu'au village Katchkarovka. Ils possèdent une faune caractéristique dont les formes prédominantes sont *Dosinia exoleta* L., *Cerithium disjunctum* Sow., *C. rubiginosum* Eichw. L'apparition dans ces couches d'un grand nombre de formes, absentes dans les dépôts sarmatiques sous-jacents, est digne d'appeler l'attention. Les assises maeotiques, elles aussi, vont souvent se terminer en dépôts d'eau douce; par places elles portent des traces évidentes de l'érosion qui a eu lieu avant le dépôt des couches pontiques superposées. Au commencement du pliocène la mer est encore venue inonder la majeure partie de la région du Dniepr inférieur, mais sans arriver à la limite que la mer sarmatique avait atteinte, surtout vers le nord-est. Le contour de la mer pontique se retire d'une façon bien plus complète et précise que celui de la mer sarmatique. Dans toute l'étendue de notre rayon, la lisière des dépôts pontiques correspond à peu près à une isohypse de 120 mètres. On pourrait joindre entre elles que les hauteurs des lignes de partage.

En acceptant une puissance moyenne des dépôts posttertiaires de 40 mètres, il convient de supposer que les dépôts littoraux de l'étage pontique atteignent 80 à 90 m. d'altitude au-dessus de la mer Noire.

La roche dominante de l'étage pontique dont l'épaisseur ne passe guère 12—15 mètres, est un calcaire jaune, parfois brunâtre, rarement blanchâtre. Ce calcaire primitivement coquillier, parfois mêlé de sable et de vase, exposé plus tard à l'activité des agents atmosphériques, a changé d'aspect en se transformant parfois en calcaire tufacé, parfois en calcaire macro-cristallin, presque toujours caverneux et corrodé à la surface. Quelquefois les couches inférieures du calcaire pontique sont un calcaire oolithique relativement métamorphosé.

Les argiles et sables pontiques jouissent d'un développement beaucoup moindre que le calcaire. Les sables ont leur plus grande puissance à la limite orientale des dépôts pontiques, dans le bassin de la rivière Molotchnaïa.

Quant à la faune, elle est encore plus uniforme et pauvre que celle du sarmatique. Les horizons supérieurs du calcaire pontique de cette région contiennent de préférence *Cardium subdentatum* Desh. (C. *pseudocatillus* Barb.) et *C. semisulcatum* Rouss. Les moulages et empreintes de la première espèce sont surtout nombreuses. Asses fréquemment on rencontre une petite *Dreissensia*—*Dreissensia sinuata* Barb. et, par endroits, principalement au bassin de la Molotchnaïa, *Vivipara achatinoides*. Les horizons inférieurs contiennent en abondance *Congerina* et *Neritina*, accompagnées parfois d'une variété de petits *C. semisulcatum*.

Des sédiments marins plus récents que les pontiques ne se rencontrent ni dans la région du Dniepr moyen, ni dans celle de son cours inférieur. Les dépôts qui pourraient être rapportés au pliocène supérieur, ainsi que les posttertiaires, se présentant avec les caractères

fluviales et des ravins. Sur les plateaux de partage son grain est plus grossier et sa couleur plus foncée. Quelques-uns des géologues, désirant établir une différence entre ce loess-ci et le loess typique, l'appellent argile loessoïde.

Ces dépôts posttertiaires viennent se joindre, par places, d'anciens dépôts fluviaux, habituellement sableux, servant de lit au loess.

Sur ce qui est des dépôts les plus récents, il convient de faire mention des alluvions fluviales particulièrement importantes dans la vallée du Dniepr, où elles atteignent une puissance de plusieurs dizaines de mètres, des dépôts en partie fluviaux, en partie marins, aux limans, et des dépôts éoliens, sables accumulés en dunes s'étendant le long du Dniepr, sur une largeur de 10 verstes, depuis Ekathérinoslaw. Les dunes dites „Sables d'Alechki“ occupent un espace bien plus considérable à gauche de l'embouchure du Dniepr et au sud du liman du Dniepr.

Esquisse géologique de la ville de Kiew.

PAR

P. Armachevsky.

Bibliographie.

Witch. Les poissons fossiles des gouvernements de l'arrondissement scolaire de Kiew. Kiew 1860.

et de Marny. Recherches géologiques exécutées en 1868 dans les gouvernements de Kiew, Podolie et Wolhynie. Mém. Soc. Minéral. 1872.

philaktow. Carte géognostique du gouv. de Kiew. 1872.

Comptes rendus des excursions géologiques. Travaux de la 3-me session des naturalistes russes, réunis à Kiew en 1871. Kiew. 1873.

Carte géologique de la ville de Kiew. Kiew, 1874.

Des glissements et éboulements le long du Dniepr à Kiew. Mém. Soc. Nat. de Kiew. T. VI, livr. 2. 1881.

Alhausen. Matériaux pour la connaissance de la flore tertiaire de la Russie du sud-ouest. Mém. Soc. Nat. de Kiew. T. VII, livr. 2. 1884.

Korsky. Les foraminifères des dépôts tertiaires et crétacés de Kiew. Article I. Mém. Soc. Nat. de Kiew. T. VIII, livr. 2. 1887. Article II. Mém. Soc. Nat. de Kiew. T. IX. 1888.

Philaktow. Les résultats obtenus par le sondage exécuté à Kiew, quartier Podol, dans la propriété de M. Schleifer. Mém. Soc. Nat. de Kiew. T. VIII, livr. 2. 1887; T. IX, 1888; T. X, livr. 1. 1889.

Sokolow. Die untertertiären Ablagerungen Süd-Russlands.
Com. Géol. T. IX, № 2. 1893.

Armachevsky. Sur quelques forages exécutés dans le d
Kiew. Mém. Soc. Nat. de Kiew. T. XV. 1896.

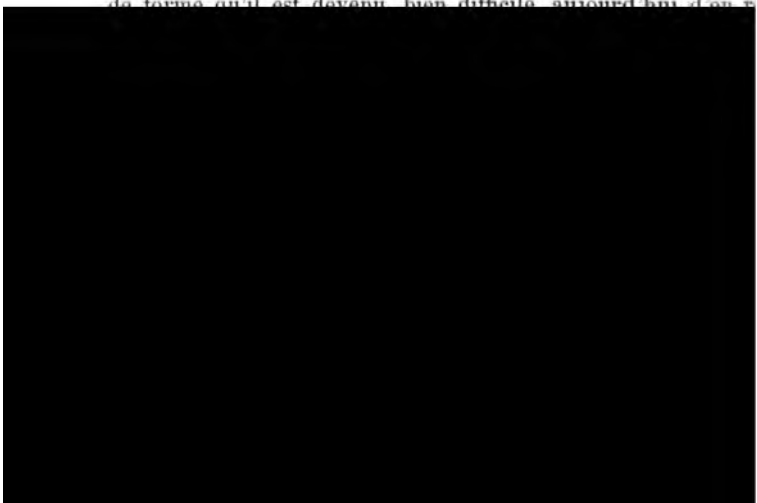
Cette esquisse comprendra:

1) Les données générales concernant la structure géol
Kiew et son orographie;

2) la description, à l'appui de ces données, des principa
rements.

Kiew occupe une partie du côté droit de l'extrémité d
du Dniepr. La langue de terre sur laquelle la ville est situ
parée des hauteurs environnantes par les rivières Lybed et
entourée de presque tous les côtés de vallées, à l'except
bande assez étroite qui va se confondre avec l'élévation g
la rive droite du fleuve. Les points les plus élevés de K
190 m. au-dessus du niveau de la mer et à 100—102 m. au
celui du Dniepr. On n'en compte cependant qu'un petit no
d'eux se trouve dans le quartier Petchersk, à côté de la
un autre dans le Jardin Impérial, un troisième dans la vie
proximité de l'ancien hôpital Reitar, un quatrième près du
militaire etc. De ces points le terrain s'abaisse avec plus o
rapidité dans diverses directions, en formant la pente gauc
clinée de la Lybed et le flanc droit escarpé du Dniepr.

Le terrain accidenté sur lequel Kiew est bâti, est dé
un certain nombre de ravins, les uns débouchant sur la v
Lybed, et les autres sur celle du Dniepr. Les pentes de
ne restent dans leur état naturel que dans les parties les
plées de la ville, entre autres dans le voisinage de l'hôpital
tandis que dans les parties centrales, grâce aux énormes
faites par le nivellement de ce rayon, les ravins ont tellem
de forme qu'il est devenu bien difficile aujourd'hui d'en p



La superficie ainsi découpée de Kiew offre un grand avantage à l'étude de la structure géologique du terrain, les couches qui le composent pouvant facilement s'observer dans les endroits mis à nu dans les tranchées et les éboulements naturels des pentes des rivières et des ravins. L'étude de ces coupes permet de reconnaître les couches situées au niveau du Dniepr dont l'ensemble atteint une épaisseur de 92 m. Quant aux couches inférieures à ce niveau, nous les connaissons sur une épaisseur de 92 m., grâce à l'étude des échantillons de roches extraits par les sondages exécutés dans le but de trouver l'eau artésienne, tant à Kiew, surtout dans le quartier Podol, qu'à la rive gauche du Dniepr, au campement de l'artillerie.

Il résulte de l'examen de ces affleurements et des données fournies par les sondages que la composition géologique de la localité est principalement des roches du crétacé supérieur, du tertiaire posttertiaire (Coupe, fig. 2).

Les dépôts du crétacé supérieur, les plus bas que l'on connaisse à Kiew¹⁾, sont des sables gris verdâtre dont les sondages n'ont traversé que 27,3 m., et qui sont recouverts d'une couche de craie d'épaisseur d'environ 12,6 mètres. Ces sables, parfois à grains fins et argileux, et contenant dans la partie supérieure des conglomérats d'un grès siliceux très dur, sont intéressants au point de vue hydrostatique en ce qu'ils sont abondamment saturés d'eau sous une pression considérable. Lorsque le trou de sonde vient à traverser la couche de craie imperméable, l'eau jaillit des sables inférieurs en montant jusqu'à 65 m. de hauteur, d'où l'on peut en retirer, à l'aide d'une pompe, plusieurs dizaines de milliers seaux par jour. Ces dépôts appartiennent à l'étage sénomanien du système crétacé supérieur, dont les gisements les plus proches se trouvent au district de Kiew, dans le gouvernement de Kiew, et en quelques points du gouvernement de Podolie. Vers le haut, les sables gris verdâtres passent graduellement à la craie, tantôt très pure et blanche, tantôt grisâtre argileuse.

L'étude des dépôts qui se forment actuellement au fond des mers et océans a constaté que des sédiments, tels que les sables gris verdâtres, se déposent au voisinage immédiat de la terre ferme—la zone

¹⁾ La constitution géologique de certaines localités voisines avait supposé la présence, sous les dépôts du crétacé supérieur de sables et argiles jurassiques, de dessous lesquelles on espérait pouvoir trouver une abondante eau artésienne. Cette hypothèse s'est trouvée fautive. Un sondage, exécuté dernièrement dans le terrain appartenant à la Société des aqueducs et dont l'orifice est situé à 10 m. au-dessus du niveau du Dniepr, a percé d'abord, sous la craie, 69 mètres de sables et limons du système crétacé, puis 74 mètres de roches jurassiques, en majeure partie des argiles schisteuses ferrugineuses, de dessous lesquelles l'eau artésienne est venue jaillir à une profondeur dépassant de 12 mètres le niveau du fleuve. (Kievlianin, 1897,

²⁾ Lors du forage d'un puits artésien au polygone d'artillerie on a extrait *Pecten asper*.

sieurs autres points, au sud de la Russie, émerger de l'eau, en devenant terre ferme. Ensuite, après un temps peu près vers la moitié de l'époque éocène de la période considérable de la Russie du sud se vit encore verte par la mer, et les dépôts crétacés furent soumis à l'érosion.

L'assise des roches du système tertiaire, déposée au fond de mer, atteint, sous la ville de Kiew, une puissance. Elle se compose de divers sables avec une couche, d'argile marneuse, dite à *Spondylus*, au milieu. A la surface immédiatement au-dessus de la craie, on trouve envahies par des glauconieux, parfois vert foncé, parfois très argileux d'abondants grains et nodules de phosphorite dont on trouve de petits noyaux dans les horizons inférieurs. Les couches de sables sont saturées d'eau soumise à une forte pression par l'argile à *Spondylus* superposée. Lorsque celle-ci est percée, l'eau s'élève dans les trous de forage jusqu'à la limite inférieure.

De tous les dépôts du système tertiaire c'est l'argile qui offre le plus d'intérêt. Son épaisseur, nous l'avons trouvée environ 32 m., dont 23 au-dessus du niveau du Dniepr. Elle est exploitée dans la ville et ses alentours pour la fabrication des briques d'un jaune clair, principal matériel de Kiew. A l'état frais elle est bleuâtre; séchée, elle devient verdâtre; elle est très plastique et facilement fusible. Le carbonate de chaux est si considérable (plus de 25 % peut-être plus juste de l'appeler marne. Elle abonde sous forme de squelettes entiers et dents de poissons, souvent de saurians) accompagnés de coquilles de

vase marine partiellement sableuse qui se forme aussi à une profondeur moyenne dans les mers actuelles.

Le niveau supérieur de l'argile à *Spondylus*, imperméable à l'eau, est descendu de nombreuses sources dont l'eau, filtrée à travers une assise des sables superposés, est d'excellente qualité. Plus de ces sources, par exemple celle dite Bouslovsky, au campement des sapeurs, sont très abondantes et jouissent depuis longtemps d'une réputation méritée. Dans la partie supérieure, cette argile devient de plus en plus sableuse pour passer enfin à des sables verdâtres, çà et là à taches jaunes, d'une épaisseur totale de 13 mètres. Les sables pourraient être appelés ambrifères, leurs couches supérieures contiennent parfois d'assez grands nodules d'ambre, résine des conifères qui croissent sur les côtes de la mer dans laquelle les sables verdâtres se sont déposés. On y rencontre en outre, à côté de restes de végétaux, des débris de tiges et de racines de plantes marines monodactyles (*Possidonia Rogowiczi*, *Zostera Kiewensis*).

Les sables verdâtres de cet étage passent par une transition assez brusque à des sables d'abord d'un blanc grisâtre, puis d'un blanc pur d'épaisseur d'environ 19 m., par places avec une couche intermédiaire d'argile terreux d'une puissance jusqu'à 0,7 mètres. Les sables blancs excellent filtre pour les eaux qui les traversent, sont très homogènes dans la partie moyenne de la couche. Jusqu'ici on n'a trouvé aucune matière organique qui rendit possible d'en préciser l'âge; mais en tenant en considération leur liaison avec les sables verdâtres sous-jacents du système tertiaire (en apparence de l'époque oligocène), on peut également les sables blancs aux dépôts marins de la période tertiaire.

La partie supérieure des sables blancs contient en assez forte proportion de l'argile à faïence, répartie le plus souvent d'une manière très égale sous forme de ciment agglomérant les grains de sable et du sable en grès kaolinique assez compact. Ce grès, la plus ancienne des roches de Kiew, sert aux sables sous-jacents d'une protection naturelle contre l'action érosive de l'eau. C'est dans les sables aussi que sont creusées, entre autres, les grottes du monastère de Petchersk.

À Kiew les sables blancs supportent une série d'argiles, épaisse de 4 m., composée en bas d'une argile réfractaire gris de cendre et verte, en haut d'une argile brun foncé, très tenace et grasse, contenant des concrétions marneuses sphériques de couleur blanche.

Ces argiles imbibées d'eau sont parfaitement imperméables. Le niveau de leur surface correspond à l'horizon supérieur des sources abondantes de Kiew; mais l'eau de cet horizon, arrivée à travers les dépôts superposés argilo-arénacés, est de mauvaise qualité. En ce temps l'imperméabilité des argiles brunes et bigarrées occasionne beaucoup d'embarras aux habitants de Kiew: dans les quarantaines où ces argiles se trouvent à une faible profondeur, elles causent par leurs propriétés une humidité constante qu'il est difficile d'éviter.

forme au niveau des argiles une terrasse dont l'ex-
tremité est à la couche de grès kaolinique compact,
par l'érosion, qui, comme nous l'avons vu, constitue l'h-
de l'étage des sables blancs.

Passons maintenant à l'examen des roches du s-
tiaire, superposées aux argiles brunes et ayant une p-
ron 32 mètres. Ces dépôts, principalement des argiles
sables de qualités et d'origines différentes, peuvent
trois étages: un inférieur—préglaciaire, un moyen—gl-
périeur—postglaciaire.

L'étage inférieur, épais à peu près de 8 mètres,
les sablo-calcarifères finement stratifiés, au milieu d-
couche d'argile sableuse gris foncé, semblable à l'ar-
base. Des recherches entreprises dans les alentours d-
tré que ces argiles renferment un grand nombre d-
mollusques d'eau douce, de préférence des genres *L-*
norbis, vivant dans les cours d'eau et les lacs. Ces fo-
du dépôt des argiles sableuses dans des bassins fluvia-
d'eau douce, qui semblent avoir précédé les vallées de-
les et qui couvraient la Russie du sud et du centre
supérieurs, les argiles d'eau douce passent par endro-
gros grain, gris et jaune.

L'étage moyen des dépôts posttertiaires est co-
argile morainique formant une masse compacte brun-
nâtre, parfois jaune, composée d'un mélange intime d-
et de grès. Cette roche renferme un grand nombre d-
vent de 1 à 2 m. de diamètre, usés par le frottement,
lis et striés. A Kiew la puissance de cette argile ne
pas 10 m. mais habituellement elle est moins forte

et de la Finlande vers le sud et le sud-est, exerçant une impression sur les roches qu'elles écrasaient, broyaient, atténuant, pour les transporter ensuite à des centaines et des milliers de leurs points de provenance. C'est pour cette raison que la Russie, au nord de la limite sud du glacier, est couverte d'ar-blocaux et de blocs erratiques. Dans la Russie du sud les blocs sont moins nombreux qu'au centre et au nord; l'argile à qui les renferme y est en outre souvent recouverte d'assises stables de dépôts postglaciaires. Mais celui qui a eu occasion de voir, ne fût-ce que la partie nord du gouvernement de Mohilew, a dû être frappé, en beaucoup d'endroits, en voyant les milliers de galets disséminés dans les champs.

Arrivé à sa plus grande extension, le glacier a lentement commencé à fondre et à rétrograder vers le nord. Le territoire de Kiew et du sud de la Russie du sud, délivrés des glaces, se sont alors recouverts des dépôts postglaciaires. A Kiew, les dépôts de cette époque forment l'étage du loess, composé de sédiments formés en partie à l'air, sous l'influence de l'activité des eaux atmosphériques, en partie sous l'influence des eaux de la Dniepr et de la Lybed.

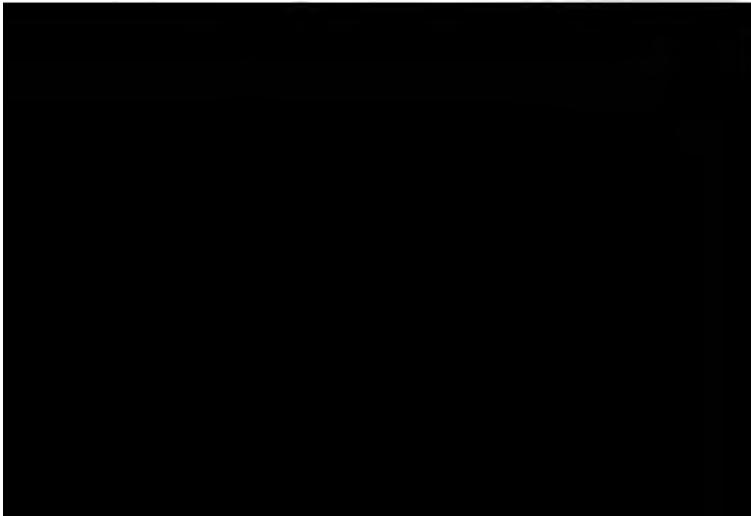
Le loess est le dépôt le plus important et le plus caractéristique de l'étage. C'est un limon très poreux, non stratifié, d'un jaune clair, composé de menus grains de quartz, de particules argileuses et de fines particules de chaux. Comme il est susceptible de se diviser verticalement, il s'en détache souvent des parties énormes mettant à nu des surfaces presque perpendiculaires, comme par exemple dans les ravins du Jardin Impérial, où l'on peut voir, au-dessus des autres roches, une couche de loess, épaisse d'environ 10 mètres. Les horizons inférieurs contiennent souvent une forte proportion de humus et sont de couleur brun foncé. Dans la direction verticale, ainsi que dans l'horizontale, le loess passe souvent à des argiles sableuses et à des sables finement assortis. Ces dépôts-ci sont aussi considérablement développés à Kiew, surtout dans les parties élevées attenantes à la rue Pecherskaja, où les dépôts loessiques, sous forme de loess et de sables fins, tantôt argileux, tantôt meubles, recouvrent de haut en haut les pentes tournées vers la vallée du Dniepr, atteignant une puissance de 21 m. et couchés sur les roches de nature différente (fig. 4). Le mode de gisement des roches de l'étage à loess mérite une mention particulière. Chacune des roches plus anciennes que celles qui composent l'étage du loess, est couchée horizontalement, à un niveau déterminé, sur une autre roche également déterminée. Le loess, au contraire, et les roches semblables du même mode de venue, se trouvent à toutes les hauteurs possibles, superposées à toutes les autres roches des pentes qu'ils recouvrent.

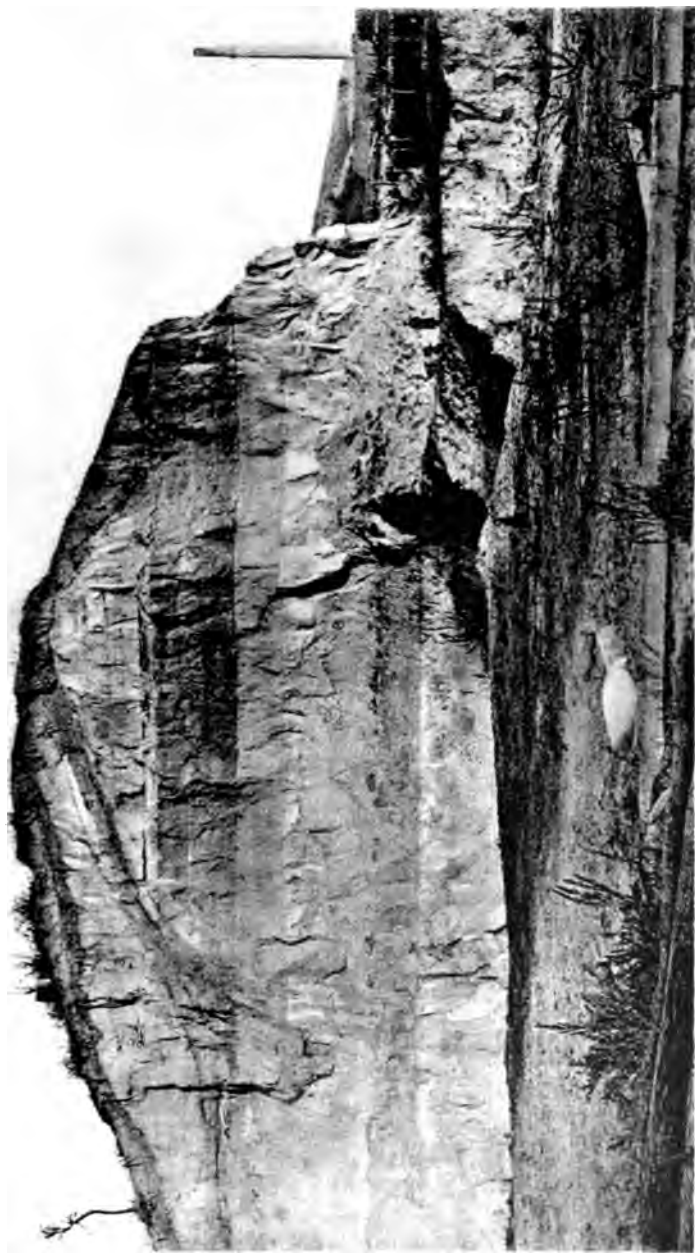
Le mode de gisement des roches de l'étage du loess est en relation intime avec le mode de leur formation. La retraite du glacier vers les latitudes plus septentrionales fut suivie à Kiew, comme en général dans la Russie du sud, par l'époque de la formation des val-

lées fluviales et de leurs diverses ramifications. Aussitôt que la face du sol fut dégagée de son manteau glacial, il s'y forma des vallons de peu de profondeur, modifiés ensuite durant la période de l'époque postglaciaire. Cette modification consistait, en traits généraux, dans le creusement des différentes parties et dans leur élargissement, par suite du fréquent déplacement du lit des rivières. Durant le long espace de temps pendant lequel les vallées se formèrent, l'eau charriait non seulement des sédiments minéraux, creusant ainsi peu à peu des canaux (érosion), mais déposait en même temps, sur tout le trajet, tant des petits que des rivières, des assises de différentes roches (alluvies). Ces assises se sont formées sous l'eau, dans le lit des rivières, et présentent à nous sous l'aspect de dépôts fluviaux, presque de sables. Si, au contraire, elles se sont déposées sur la terre à l'air, par l'activité du ruissellement, elles s'offrent sous la forme de sables argileux et du loess qui couvrent les pentes douces.

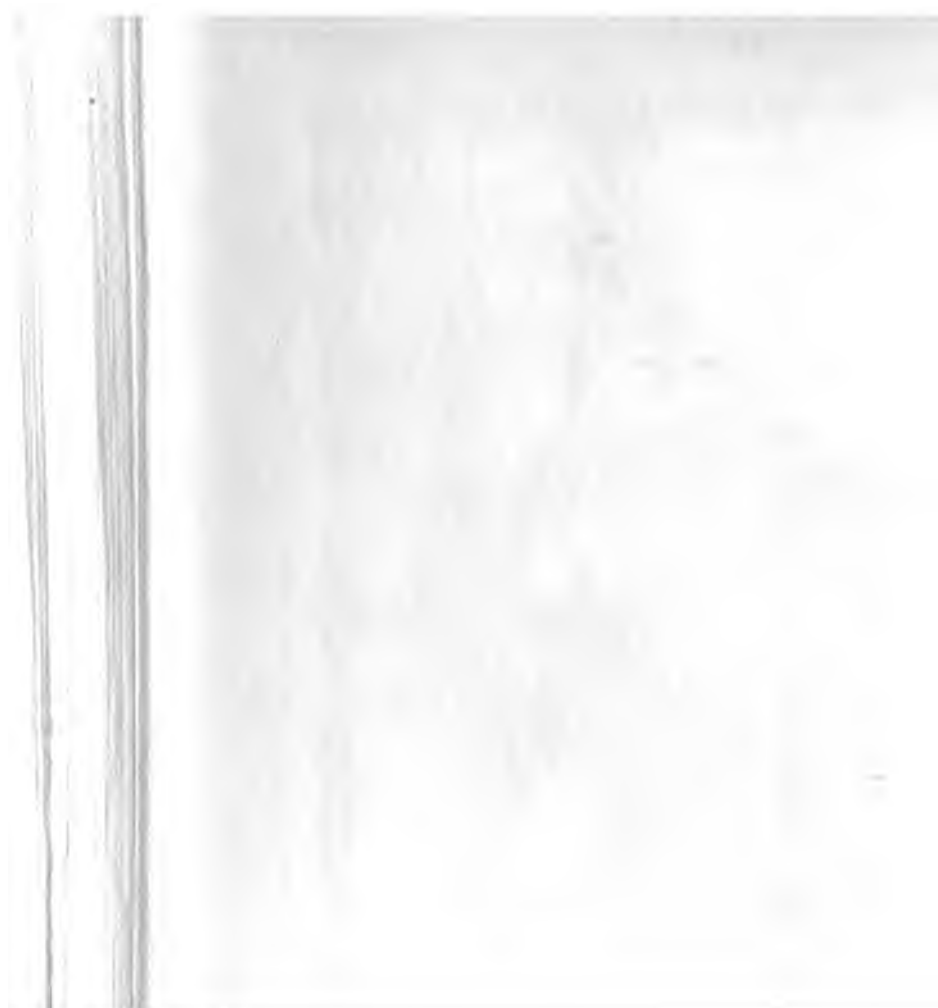
Le mode de formation des roches de l'étage du loess, encore par d'autres considérations dont il serait trop long d'expliquer entre autres la présence, dans les dépôts loessiques, de nombreux petits coquillages de mollusques terrestres et d'os de grands mammifères tels que le mammoth, le rhinocéros fossile, l'hippopotame, l'ovibos etc., trouvés dans les dépôts de Kiev et d'autres localités voisines. Parmi tous ces mammifères le mammoth semble avoir joué le rôle le plus important, témoin le nombre d'ossements qu'on en trouve ici.

C'est aussi à l'époque postglaciaire, l'époque du mammoth, que l'homme a paru dans la région. Les traces de la présence de l'homme préhistorique sur le territoire de Kiev sont connues depuis longtemps. Près des faubourgs de Prélomenka, et dans le voisinage de l'hôpital Kirillovsky, on a trouvé divers objets d'un grand intérêt archéologique, témoignage in-





a) Loess; b) Sable blanc grisâtre; c) Sable jaune d'ocre; d) Sable brun grisâtre; e) Sable vert; f) argile à *Spondylus*.



a) Limon loesssoide; b) Sable blanc grisaire, par places changé en grès argileux tendre brun grisâtre; c) Sable verdâtre; f) argile à Spondyli



âtre ou jaune d'ocre, ainsi que de gravier et de blocs de différentes roches, arrivés dans le loess comme produit de l'érosion des roches sous-jacentes des localités les plus rapprochées (4 mètres).

Sable blanc grisâtre très compact, transformé par places en grès argileux tendre (4 mètres).

Sable jaune d'ocre à gros grain (0,5 mètre).

Sable argileux brun jaunâtre ou gris foncé, avec taches d'un jaune clair, renfermant en profusion des cristaux de gypse et parfois des noyaux d'ambre (4 mètres).

Sables glauconieux verts, meubles vers le haut, très argileux vers le bas (6 mètres).

Argile marneuse verdâtre (à *Spondylus*), argileuse dans les horizons supérieurs (visible sur environ 10 mètres).

Autre argillère de la même briqueterie, située un peu plus haut, montre la même série de roches tertiaires, mais le loess y est recouvert par 8 mètres de sables stratifiés jaunâtre du même âge, du gravier et des blocs.

La *Spondylus* de la briqueterie de m. Soubbotin contient les restes de poissons, mollusques et foraminifères dont le musée géologique de l'université de St. Wladimir possède une riche collection.

Briqueterie de m. Berner, située de l'autre côté de la rue, présente une excellente coupe (pl. C). On y voit la même série de roches qu'à la briqueterie de m. Soubbotin, avec la différence que les sables jaunâtres y occupent beaucoup plus de place. Les déformations apparaissent tantôt sous l'aspect de limons loessoides, tantôt sous celui de roches sous-jacentes (entre autres de l'argile grasse et de la marne), tantôt sous celui de sables stratifiés jaunâtres, rarement de gravier et blocs.

Coups des flancs escarpés du Dniepr, entre le Pont-suspendu et l'Impérial, sont plus complètes; on y voit les sables blancs et les roches superposées dans tout leur développement.

Descendant, par exemple du monastère de St. Nicolas, par le pont connu sous le nom d'Askoldowa-moguila (tombeau d'Askold), on peut observer la série entière des roches énumérées dans la coupe générale (fig. 2). La paroi presque verticale des horizons supérieurs montre:

10 mètres de loess, vers le bas brun foncé, contenant de l'humus.

Argile à blocs brun rougeâtre (environ 4 mètres).

Les couches suivantes, argile d'eau douce et argile grasse brune à concrétions marneuses, ne se voient pas très nettement. Au niveau de ces roches la pente devient beaucoup moins inclinée et prend la forme d'une terrasse couverte d'éboulis, de glissements et de végétation. Cette terrasse a l'aspect d'un élargissement semicirculaire de

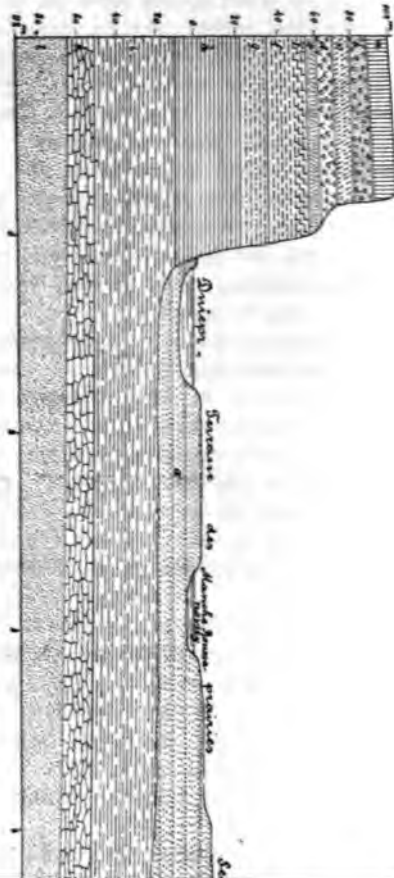


Fig. 2. Coupe de la vallée du Dniepr dans la direction du Pont suspendu. *a* — à blocs; *c* — limons d'eau douce; *d* — argile brun avec concrétions marnueuse passant vers le haut en grès kaolinique; *g* — sables gris verdâtres; *h* — argile verdâtre et vert foncé; *k* — craie; *l* — sables argileux verts avec

la partie supérieure du flanc, contour typique des localités dans la composition desquelles entrent des argiles grasses. Vers le bas le ravin devient plus étroit, à pentes très escarpées. On y observe distinctement les roches suivantes, couchées au-dessous de l'argile brune:

Argile réfractaire à taches rouges et rouge de framboise, mêlée en forte proportion de sable dans les horizons inférieurs, et passant insensiblement à un grès kaolinique blanc (environ 5 mètres). Plus bas viennent 8 mètres de sables blancs stratifiés, très purs, qui passent à des sables blanc grisâtre, verdâtres et brunâtres (4 m.).

Sables gris verdâtre et gris jaunâtre, parfois argileux, contenant dans les horizons inférieurs des concrétions d'un grès ferrugineux jaune d'ocre (jusqu'à 12 mètres).

La base de l'affleurement est occupée par l'argile verdâtre à *spondylus* de l'argile la limite supérieure est nettement marquée par de nombreuses sources descendantes d'eau très ferrugineuse qui donne à la partie supérieure de l'argile une teinte brune.

De ce ravin on retourne en ville par la chaussée, on aperçoit, en plusieurs points des pentes du Dniepr, des affleurements à celui que nous venons de décrire. Les coupes les plus nettes se voient au-dessous du Jardin Impérial. Les dépôts se montrent surtout distinctement dans l'escarpement à la pyramide de triangulation où on observe (fig. 3):



Affleurement des dépôts posttertiaires près du Jardin Impérial.

- 1) Loess d'un jaune grisâtre clair, découpé affectant çà et là une séparation en (fig. 3, *a*)—10 mètres.
- 2) A la base le loess contient de l'humus couleur brun foncé (*b*)—environ 1 mètre.
- 3) Argile sableuse gris verdâtre et brun d'ocre, en apparence dépôt d'alluvion, partie de la base du loess (*c*)—1 mètre.
- 4) Argile brun rougeâtre à blocs (*d*)—2 mètres.

Plus bas viennent des dépôts posttertiaires composés des trois couches suivantes:

- 5) Sable gris verdâtre à gros grain, avec d'ocre. En haut, immédiatement sous une mince couche est cimentée en grès rougeâtre. En bas le sable passe graduellement en argile stratifiée pulvérulente d'un gris clair (*e*)—3 mètres.
- 6) Argile sableuse brun foncé (*f*)—3 mètres.
- 7) Argile jaune clair pulvérulente (*g*)—2 mètres.

Les roches suivantes s'observent le mieux que vers le nord-ouest, dans un ravin qui commence, vers ces pentes, par un élargissement semicirculaire de l'argile brune, pour se rétrécir peu à peu vers le Dniepr. Ses escarpements latéraux montrent (C) la partie principale de l'affleurement):

- 8) Argile plastique brun foncé avec nodules marneuses, sphériques, de couleur blanche.
- 9) Argile réfractaire gris de cendre, sableuse (pl. *D, a*).
- 10) Sables blancs, dans les horizons supérieurs; grès kaolinique (*b*), dans les horizons inférieurs.



Affleurement des dépôts tertiaires près du Jardin du Tzar.

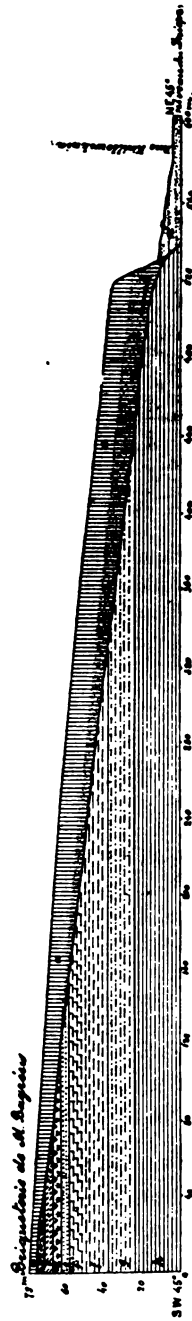


Fig. 4. Coupe de la pente de la rive près de la propriété de M. Zival. *a* — loess; *a'* — sable argileux; *b* — sables argileux fluviaux; *b* — argile à blocs; *c* — limon d'eau douce; *d* — argile brune; *e* — argile bigarrée; *f* — sables blancs, passant vers le haut en grès kaolinique (*f'*); *g* — sables gris verdâtres; *h* — argile à *Spondylus*.

en examinerons ceux qui s'observent à la briqueterie de M et dans les propriétés de MM. Ziwal et Bagréew.

A la briqueterie de M. Richert on voit (fig. 5):

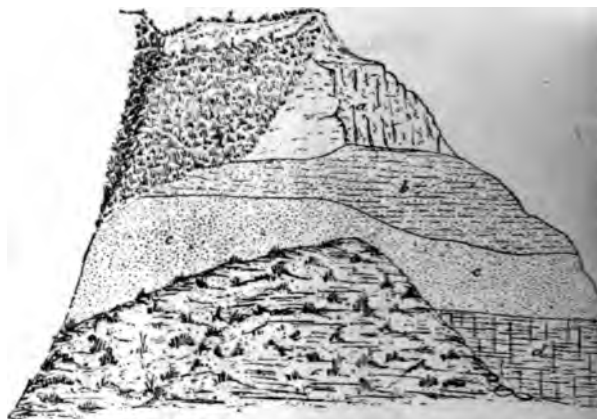
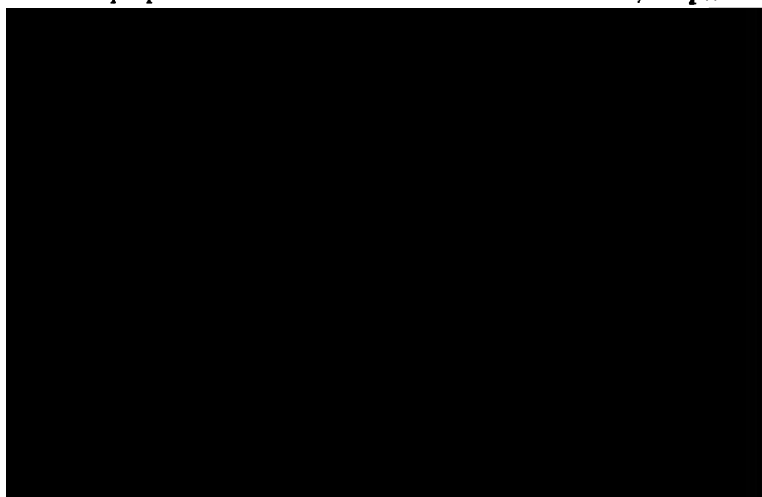


Fig. 5. Coupe géologique à la briqueterie de M. Richert.
b—sables stratifiés et argiles; c—sables verts; d—argile à *S*
e—éboulis.

- a) Loess (7 m.).
- b) Sables stratifiés et argiles postglaciaires (5 m.).
- c) Sables verts (6 m.).
- d) Argile à *Spondylus* (5 m.).

Les affleurements dans les propriétés de MM. Ziwal et offrent un intérêt particulier. C'est ici qu'en 1893 on a découvert des vestiges de l'homme de l'époque paléolithique la plus ancienne. Les propriétés sont situées dans la rue Kirillovskaja, au pied d'





limon brun jaunâtre; c) sables gris; c') couche de culture humaine.

11

Sables gris et gris verdâtre, partiellement argileux, parfois verdâtres, contenant çà et là du gravier et de petits blocs de roches locales ou septentrionales et une couche dite „couche de culture humaine“ (6 mètres).

-) A la base on voit çà et là apparaître l'argile à *Spondylus* (dans la figure elle n'est pas marquée) qui supporte directement les dépôts postglaciaires.

La partie opposée de la colline, tournée vers la propriété de Bagréw, nous voyons affleurer la même série de roches, avec cette différence que les sables gris verdâtre renferment ici des concrétions siliceuses assez compactes. Dans la propriété de M. Ziwal, de même que dans celle de M. Bagréw, on a trouvé, dans la couche inférieure des dépôts postglaciaires—sables gris, couchés à une profondeur de 14 à 16 mètres au-dessous de la surface du sol—de nombreux objets témoignant du séjour de l'homme dans cette localité. Ce sont principalement des instruments façonnés d'éclats de silex, coulés ou moins grands, racloirs, pointes, avec tous les indices caractéristiques de la main de l'homme. Les silex, dits nucleus ou noyaux, dont les fragments ont été détachés, ainsi que de nombreux silex évidemment préparés pour être mis en œuvre, se trouvent en grande quantité. Les instruments en silex sont souvent accompagnés d'une grande quantité d'ossements de mammoth, surtout de leurs os, de leurs dents molaires, des os de leurs pattes de devant et de derrière, appartenant au moins à cinq individus. Plusieurs de ces os portent des marques évidentes de fraction à l'aide d'instruments tranchants. En même temps on y trouve de nombreux objets, tels que de l'emploi du feu, comme le prouve une quantité de petits morceaux de bois, des morceaux de bois et des os à demi brûlés, ainsi que des blocs de granite soumis à l'action du feu. Tous ces objets existent ici en telle abondance que le charbon, les petits ossements, les fragments de silex, forment dans le sable deux minces couches appelées „couches de culture humaine“; elles sont bien observables sur la pente tournée vers la propriété de M. Ziwal que sur la partie opposée faisant face à la propriété de M. Bagréw.

Si l'on prend en considération que les instruments en éclats de silex se trouvent ici en compagnie des nucleus dont ils ont été détachés, que ces instruments conservent parfaitement leur tranchant, qu'on les trouve en outre en tas des silex non encore travaillés et que tout cela est mêlé de morceaux de charbons et d'ossements de mammoth cassés et brûlés, on aura la conviction qu'à l'endroit de ces sables l'homme a certainement dû séjourner à une époque relativement récente en apparence très reculée.

Pour juger de l'ancienneté des restes de l'homme préhistorique, trouvés dans telle ou telle localité, nous avons trois indices remarquables : la qualité des objets sortant de la main de l'homme, les restes osseux accompagnant ces objets, la profondeur à laquelle on les trouve sous les couches qui les recouvrent. En examinant sous ces

trois points de vue les objets trouvés dans les propriétés de wal et Bagréew, nous reconnaissons que ce sont des objets de l'époque paléolithique, détachés avec adresse de silex plus ou moins durs. On n'y rencontre pas le moindre vestige de pierres caractéristiques de la présence de l'homme à l'époque néolithique. Les nombreux ossements de mammouth à côté d'objets en silex nous font voir que l'homme qui les a travaillés, a vécu en même temps que le mammouth, qui était à cette époque-là une des grandes ressources de son alimentation. Enfin, en examinant l'ancienneté de ces objets au point de vue de la profondeur où on les trouve—argument le plus sûr et le plus incontestable—nous voyons que les objets sont recouverts d'une assise de 17 mètres d'épaisseur, composée de loess, limon et sables, ces derniers arrivés çà et là à se mêler en grès. C'est en comparant la profondeur du gisement des objets avec les conditions de gisement d'objets semblables dans d'autres parties de la Russie européenne que l'on peut le mieux juger de leur âge. Jusqu'ici on connaît cinq de ces gisements: 1) au village Gontsy, district Loubny gouv. de Poltawa; 2) au village Karatcharow, district Mouroum, gouv. de Nijni-Novgorod; 3) au village Kostenski, district Woronéj; 4) aux alentours du village Stoudénitsy, gouv. de Nijni-Novgorod; 5) dans le voisinage de Kamenets-Podolsk. Les principaux gisements de Gontsy et de Karatcharowo, étudiés aussi sous le rapport de leur âge. On y a trouvé des amas d'objets façonnés de fragments de silex, à côté de charbons et d'ossements de mammouth, dans une couche de loess, mais à une profondeur ne dépassant pas 4 pieds.

Après tout ce que nous venons de dire sur les conditions de gisement de ces objets, nous ne craignons pas de nous tromper en affirmant que l'homme a dû paraître sur le territoire de Kiev à une époque assez reculée de l'époque postglaciaire. Il est probable que la Russie centrale était alors encore couverte de son manteau de glace et que la Russie du sud avait encore un climat assez froid, les

l'habitation, au sommet de la colline située entre les pro-
-rs Ziwoł et Bagréew, dans laquelle, à une profondeur
s, se trouvent enterrés les objets décrits, restés après
l'époque paléolithique. Les grottes près de l'hôpital Kiril-
ême que les huttes souterraines, sont creusées dans le
nséquent l'homme de la période préhistorique, dont l'ap-
as la région de Kiew semble avoir eu lieu à un moment
de la période postglaciaire, lorsque les roches de l'étage
aient déjà commencé à se déposer, a dû continuer d'y
le dépôt du loess. De cette manière la durée, nécessitée
de presque toute l'assise de la période postglaciaire sous
ss, et des argiles et sables sous jacents, répond au chan-
conditions climatiques et physico-géographiques qui ont
parition des grands mammifères de l'époque du mammoth,
lacement par une faune peu différente de celle d'aujourd-
pôt de ces roches et un changement aussi notable de la
rtainement exigé un laps de temps très long, de sorte
évalue, conformément à l'opinion du professeur W. Anto-
longueur de la période historique de la présence de
le territoire de Kiew à 2000 ans, on arrivera à conclure
de préhistorique de sa présence en ces lieux dépasse plu-
ette durée.

Et les cas on peut assurer que Kiew peut être considéré
comme un des endroits où l'homme a paru le plus an-
ur le vaste territoire de la Russie européenne.

Itinéraire.

PAR

N. Sokolow.

De Koursk à Kiew.

Après avoir quitté les alentours légèrement accidentés de Koursk,
le chemin de fer Koursk-Kiew s'engage sur les steppes pla-
ozom qui s'étalent au sud de la Séim en s'élevant gra-
à l'ouest, vers la vallée du Dniepr. Occupées par des
lé et boisées de rares forêts de peu d'étendue, les steppes
t point, le long de la voie, d'affleurements plus profonds
couché sous le tchernozom; mais dans les coupes de la
à la ville de Poutivl, on voit les dépôts du système cré-
ts par les sables et argiles paléogènes.

Près de Poutivl ne se montrent que des sables et grès paléo-
qu'à partir du méridien de Batourin, ancienne résidence
de l'Ukraine, et le long de la Séim, n'apparaissent que
stertertiaires, un loess gr's jaunâtre, superposé à l'argile

morainique. Encore plus lo'n vers l'ouest, dans la Desna inférieure, les coupes naturelles ne font voir que l'alluvion fluviale. La puissance de ces dépôts a que l'on s'approche du Dniepr. A la station Nossobobrowitsy, dans un puits creusé à la recherche d'eau, on a constaté une épaisseur de plusieurs dizaines de mètres de posttertiaires, principalement sables d'alluvion, des la succession suivante de roches paléogènes: 1) sables ou moins argileux; 2) marne bleue de Kiew à la 108 mètres (p. 9); 3) sables et argiles de l'étage de craie. A la profondeur de 187 m. on a trouvé la craie et aux sables crétacés et, à 316 m. (Bobrowitsy), l'oolithe.

Entre la station Browary et le Dniepr, la voie est bordée d'une large bande de dunes, en partie couvertes de forêts, en partie nues.

De Kiew à Nikolaïew.

En aval de Kiew, les hauteurs de la rive du Dniepr et se tiennent sur plus de 35 kilomètres sur une plaine partiellement marécageuse et boisée. Plus loin les hauteurs viennent de nouveau se rapprocher de la rive escarpée, découpée par de profonds ravins, remplis de roches paléogènes qu'on a vus dans les coupes de Kiew. Sous la marne bleue (dont la limite inférieure est à Kiew au-dessous du niveau du Dniepr), des sables (p. 8), bien observables dans de belles coupes où l'on se propose de faire une halte. Sur le chemin de l'embarcadère à cette localité, on voit la couche de craie surmontée de 1,5 mètres de sables à apatite, contenant des phosphatiques, recouverts à leur tour d'environ 15 mètres de sables.

roches friables, développées dans la contrée. La direction dominante des dépôts mésozoïques du rayon de Kanew est NE 30°, plus souvent NW; le plongement, presque partout peu fort (20—30°), se fait vers SE 120°. Les meilleures coupes des roches jurassiques et crétacées s'observent aux environs des villages Traktémirow et Grigorovka, au nord de Kanew et, en aval de cette ville, jusqu'au village de Pékari.

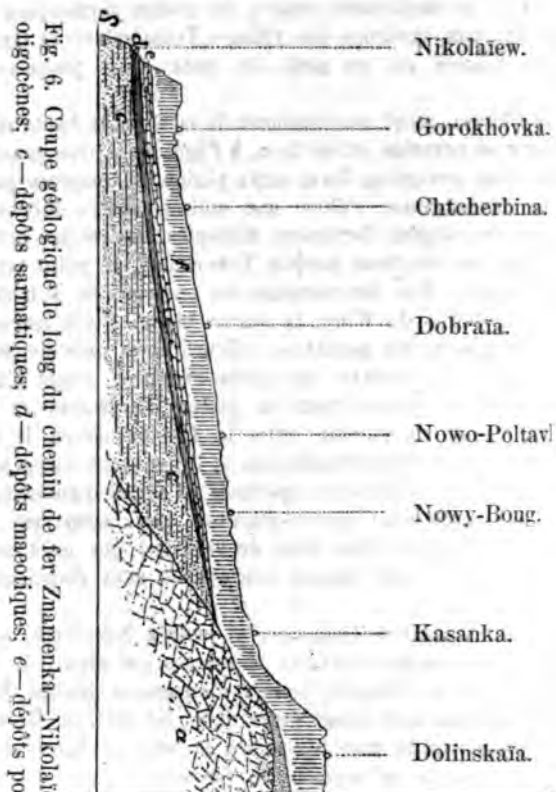
Près de Pékari, situé au confluent de la Ross, la haute rive escarpée du Dniepr se termine et devient, à l'égal de la rive gauche, plate, à cause d'alluvions récentes. Dans cette plaine, en majeure partie boisée et là marécageuse, s'élève une colline isolée—Mochnogorié—couvrée par des dépôts fortement disloqués du système crétacé.

Cette plaine se continue jusqu'à Tcherkassy, le point terminal de l'irrigation par eau. Les briqueteries des environs de Tcherkassy exploitent, comme celles de Kiew, la marne bleue. Cette marne, recouverte de sables quartzeux jaunâtres, affleure aussi près de Smiela, où, en outre, se montrent les gneiss-granites. Avant d'arriver à cette localité, la voie ferrée quitte la plaine du Dniepr et s'engage dans la haute steppe de partage entre le Dniepr moyen, le bassin de l'Ingoul, affluent du Dniepr inférieur, et l'Ingoul qui va se jeter dans le Danube du Boug. Ce plateau de partage est formé d'anciennes roches cristallines, habituellement gneiss-granites, que recouvrent les grès sableux paléogènes. Par suite de l'érosion ces grès sont çà et là écartés et les anciennes roches cristallines sont directement surmontées du loess.

A partir de la station Znamenka et jusqu'à Nikolaïew, le chemin de fer Kharkow-Nikolaïew traverse le terrain qui sépare le bassin de l'Ingoul de celui de l'Ingoul, terrain doucement incliné jusqu'à la station Dolinskaïa au sud, assez élevé entre les stations Dolinskaïa et Kazanka, à pente rapide vers le sud de la station Kazanka (fig. 6). La forte inclinaison de ce terrain de partage est en relation avec l'élévation de la surface des anciennes roches cristallines, avec la formation des dépôts paléogènes et l'apparition du néogène, c'est-à-dire des couches sarmatiques, maeotiques et pontiques. Les calcaires, les argiles et sables néogènes, affleurent dans toutes les coupes géologiques, tant le long de l'Ingoul que dans les vallons et ravins qui descendent dans la vallée de cette rivière, au sud de la parallèle de la station Kazanka.

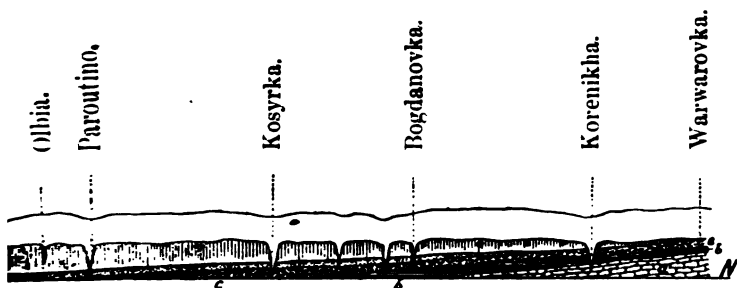
De Nikolaïew à Alexandrovsk.

Les rives escarpées de l'Ingoul montrent à Nikolaïew des couches néogènes (p. 12—13), entre autres des calcaires blanchâtres et jaunâtres abondant souvent en mactres, des marnes blanchâtres et des argiles gris verdâtre. Çà et là on rencontre des intercalations de calcaires à nullipores et, dans les horizons supérieurs, des argiles calca-



et des marnes à *Limnea*, *Planorbis* et autres mollusques d'eau douce.

Sur la rive du liman du Boug, on voit près du débouché de Potch-Balka, et jusqu'à 9—10 mètres au-dessus du niveau de l'eau, des calcaires blancs et blanchâtres de l'étage sarmatique, interstratifiés avec de minces lits d'argile gris bleuâtre. Ces calcaires, à l'exception des horizons supérieurs sans fossiles, contiennent en profusion des *Mactra ponderosa* Eichw.). A une petite distance de là, vers le sud, plus près de Balka, Chirokaïa, les couches sarmatiques dont le horizon supérieur est sensiblement incliné vers le sud, supportent des couches pontiques composées d'une alternation d'argile gris verdâtre et de calcaire gris clair jaunâtre à *Dosinia exoleta* et *Cerithium discors*. Au sud de Balka-Chirokaïa ces dépôts s'abaissent considérablement, mais plus loin, sur la rive est du liman, on ne voit plus de coupes. Le bord ouest du liman, au contraire, offre sur toute sa longueur, depuis Warwarovka, en face de Nikolalew, jusqu'au cap Olbia, une coupe presque ininterrompue des dépôts néogènes et posttertiaires, développés dans la contrée (fig. 7). Les couches sar-



7. Coupe géologique du bord ouest du liman du Boug. *a*—dépôts pontiques; *b*—dépôts maeotiques; *c*—dépôts pontiques; *d*—sables posttertiaires; *e*—argiles et loess.

matiques vont disparaître sous le niveau du liman non loin du village de Bogdanowa. Au sud de Kosyrka, les couches maeotiques disparaissent également et les coupes ne montrent plus que des couches pontiques, composées du calcaire jaune caractéristique du pontique (fig. 4), d'argile calcarifère gris verdâtre et de sable gris jaunâtre. Plus au sud viennent des sables postpontiques à galets et blocs de granite et de calcaire pontique d'origine fluvatile, supportant des argiles brun rougeâtre posttertiaires et du loess jaune. Près du village de Sarykal le calcaire pontique s'abaisse jusqu'au niveau du liman. Plus loin au sud, on ne voit dans le bord escarpé que les anciens dépôts fluvatiles mentionnés et les argiles de formation terrestre.

Il convient de faire observer qu'au bord ouest du liman du Boug, au sud du village Paroutino, dans une localité occupée autrefois,

croît-on, par Olbia, florissante colonie de l'ancienne Grèce, on a trouvé de nombreux objets de l'époque de l'ancienne Grèce, mis à nu, par suite de fréquents éboulements du rivage élevé, miné par les eaux du liman.

Le vaste liman du Dniepr, auquel vient se joindre le liman de Boug, est bordé, au sud, par une bande de terrain plat, formé de coquillages apportés par les vagues de la mer. Le bord nord, au contraire, assez haut et escarpé, présente une série presque ininterrompue de coupes, formées en plus grande partie de loess couchés et des argiles brun rougeâtre. En quelques rares points seulement apparaissent, sous les argiles, des sables stratifiés. Près de l'embarcadere Gloubokaïa affleure le calcaire pontique s'élevant à peine au-dessus du niveau de l'eau.

Le Dniepr a déjà comblé de ses dépôts une grande partie de l'est du liman et continue jusqu'à nos jours à rapprocher son delta de la mer. Le fleuve se déverse dans le liman par de nombreux bras qui séparent des îles basses et des bancs formés de sable fluviatile et de vase. Ce sont les „Ghirly“.

A Kherson la rive droite du Dniepr, assez élevée en cet endroit, montre un calcaire pontique brun foncé poreux, souvent caverné. Le même calcaire s'observe en amont de la ville; vers le confluent de l'Ingouletz viennent s'y ajouter des couches maeotiques.

Le côté gauche du delta, les „plavni“ (p. 4), est plat; dans l'intérieur du pays la plaine passe par une élévation à peine sensible aux dunes d'Alechki, qui occupent une superficie de plus de 120,000 hectares.

La rive droite, haute de 15 mètres, près du village Kazatsky, présente les coupes les plus nettes et les plus complètes des dépôts pontiques maeotiques de la région (fig. 8). Au haut de l'escarpement fait saillie le calcaire pontique jaune rougeâtre (b), très altéré dans ses couches supérieures. Un mince lit d'argile (c), contenant des mollusques d'eau douce, sépare ce calcaire d'un calcaire solithique, sous-jacent de

Dépôts posttertiaires.

pontiques.

maeotiques.

sarmatiques.

Dépôts tertiaires.

ette distance vers le nord de Nowo-Worontsowo, le gneiss-rait pour la première fois au bord du liman Wélikie-Wody (dée de la vallée de la Bazavlouk). La même roche affleure nt de la Tchertomlyk et, sur la rive gauche, en face de ndis que sur la rive droite on ne voit dans les escarpements ce village qu'une puissante assise de loess gris foncé.

jusqu'à Alexandrovsk le trajet se fera la nuit. Sur ce par-
surtout la rive droite du Dniepr qui offre des affleurements.
montrent les dépôts sarmatiques et pontiques recouverts
plus ou moins puissante d'argiles posttertiaires et de loess.
bords d'Alexandrovsk des sables paléogènes viennent se
dessous les couches sarmatiques, parmi lesquelles les for-

mations sableuses sont ici les plus considérables. L'argile affleure de plus en plus souvent et aux alentours d'Alexandrovsk il forme sur les deux rives du Dniepr. En même temps il se montre au fond des ravins et dans les vallées. Au bord escarpé de l'île de Khortitza, lieu de la première Setch des Cosaques Zaporogues, le gneiss-granite toute son étendue ou peu s'en faut. Les roches de gneiss-granites se dressent dans la localité „Sagaidak“ près de Kitchkas, à Woltchié-gorlo (gueule de loup) qui tendent des deux côtés resserrer le fleuve.

Si le bateau à vapeur arrive à Alexandrovsk et que les routes soient suffisamment sèches, il se fera une excursion sur la Konka où on verra un affleurement de couches à *Favosites marginata* et *Cardium Andrussowi*, renfermant, outre la faune de l'étage méditerranéen, des formes de dépôts sarmatiques. La route d'Alexandrovsk à Grigorievka sur la Konka se dirige vers le sud et est découpée par de profonds vallons. Dans les environs de Novo-Grigorievka on observe des dépôts sarmatiques, composés surtout de sables quartzeux blancs, contenant par places en profusion des coquilles. Les sables supportent un calcaire sarmatique qui recouvre, au haut des ravins creusés dans les pentes de la steppe, par des calcaires et argiles pontiques. Dans les vallées de la Konka, en amont du village Wessioloié, des argiles (fig 9, a) recouvrent un sable vaseux à *Venus Konkensis* posé à des argiles tenaces grises et noires (charbonnières) et viennent des sables jaunes (c) cimentés en grès tendres (d) d'âge paléogène.

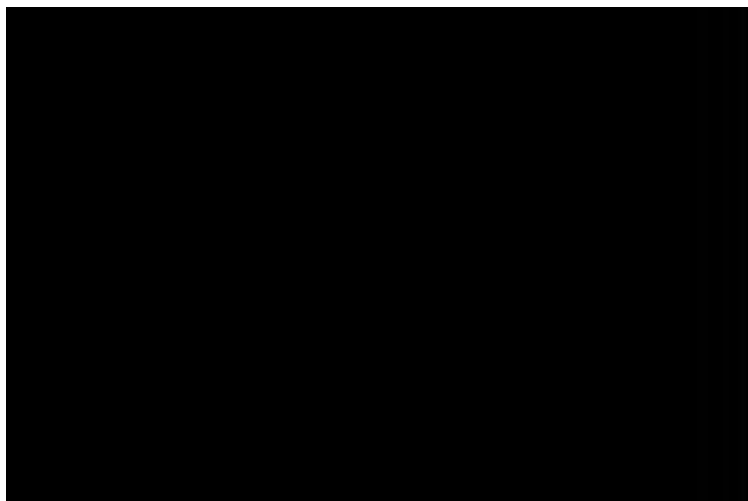
Dans le cas où cette excursion ne pourrait pas se faire, on peut aller visiter les affleurements les plus importants de granites au rocher „Sagaidak“ et au passage de





Fig. 9. Affleurement de dépôts tertiaires près du village Wessolaia sur la Konka. *a* — dépôts sarmatiques; *b* — dépôts méditerranéens; *c* — dépôts sableux oligocènes; *d* — argile oligocène.

de la Russie du sud. Parmi ces dépôts on rencontre le plus souvent des roches sableuses et des argiles, çà et là très gypsifères. Les couches sarmatiques recouvrent immédiatement les granites, parfois elles en sont séparées par des sables paléogènes, des conglomérations de grès et amas de kaolin. Au nord de Pavlograd on ne trouve plus ni dépôts sarmatiques ni anciennes roches cristallines, on n'y voit que de puissantes assises paléogènes, composées de dolomites argileuses plus ou moins glauconieuses, recouvertes par des sables blancs ou jaunes contenant parfois des concrétions quartziques ou ferrugineuses.



XXII

DE WLADIKAVKAZ A TIFLIS

PAR

la Route Militaire de Géorgie

PAR

F. LOEWINSON-LESSING.

I. Avant-propos et aperçu général.

Orographie.

Le système du Caucase¹⁾ est divisé par les vallées de la Rion et de la Kour en deux chaînes que l'on distingue sous les noms de Grand Caucase et Petit Caucase ou Anticaucase; au-delà de ce dernier s'étend le Caucase arménien.

L'orographie du Caucase est très compliquée et nous ne saurions donner une esquisse complète sans dépasser les limites d'un sommaire d'une seule coupe de la partie centrale de la chaîne. Pourquoi nous nous bornerons à plusieurs indications sommaires. Le Grand Caucase se prolonge, tantôt en ligne droite, tantôt avec des sautes plus ou moins prononcées (entre l'Elbrous et Borbalo) en direction est NW—SE. La chaîne méridionale des Montagnes de Souram sert de trait d'union entre les deux Caucases. Les plus hautes cimes du Grand Caucase sont:

Elbrous — 18525 p. (5636 m.)

Kochtan-Taou — 17091 p. (5209 m.)

Dygh-Taou — 16925 p. (5158 m.)

Çasbek — 16546 p. (4768 m.)

Laï-Goh — 15244 p. (4646 m.)

¹⁾ Le nom de Καυκάσιος se trouve pour la première fois dans la tragédie d'Eschyle: Prométhée enchaîné (479 a. J. Chr.). On suppose que le mot est d'origine arienne et qu'il signifie „montagne”.

Cette dernière montagne sert de noeud orographique; c'est là qu'elle prend naissance une importante chaîne tributaire qui se prolonge sans interruption jusqu'à la Mer Caspienne en longeant au nord, à peu près à une distance de 20 kil., la chaîne principale servant de ligne de partage des eaux. C'est cette „Chaîne Latérale“ avec le Kasbek (16546 p.) et 9—10 autres cimes de 12000 à 15000 p., qui renferme le massif central granitique et qui doit être considérée comme la chaîne principale au point de vue de la tectonique. La chaîne latérale et la chaîne principale sont reliées entre elles par sept embranchements qui partagent la vallée longitudinale entre ces deux chaînes en sept bassins distincts. En suivant la Route Militaire de Géorgie, nous passons par la vallée de la Térék; la gorge Troussovskoïé conduit au col qui la sépare du bassin de l'Ardon; la vallée de Djouty et le Col de Gvélis-Mta la séparent du bassin de l'Assa.

Au nord de la chaîne latérale s'étendent 2—3 chaînes de calcaires jurassiques et crétacés qui servent de contreforts et sont séparées de la chaîne latérale, et entre elles, par des vallées longitudinales. Quelques-unes de ces vallées (du moins quelques-unes) sont des anticlinaux détruits.

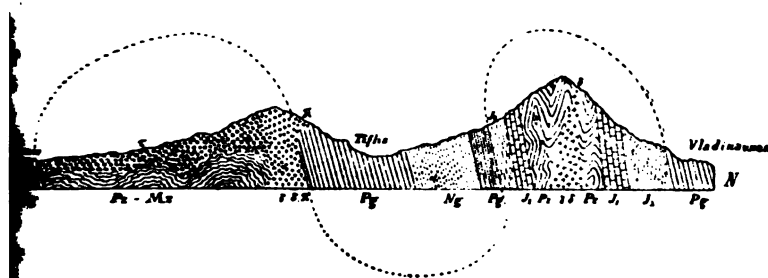
Le versant nord est plus long et a une pente plus douce que le versant sud qui est abrupt. La ligne de partage des eaux est tantôt une crête aigue et étroite, tantôt une plaine plus ou moins large et quelquefois marécageuse. Deux grandes routes réunissent la Transcaucasie à la plaine anticaucaasienne: la route militaire de Géorgie conduit de Wladikavkaz à Tiflis par le Col de la Croix, et la route militaire d'Ossétie qui mène à Koutaïs par le Mamisson. Les autres cols ne peuvent être atteints qu'à pied ou à cheval, par des sentiers plus ou moins praticables. Dans la partie centrale il faut mentionner le Col de Roki, entre la Liakhva et l'Ardon, et celui de l'Arkhi entre l'Assa (Kolotanis) et l'Aragva.

Il y a des discordances plus ou moins marquées entre le lias et le jurassique supérieur, entre celui-ci et le crétacé, entre ce dernier et le tertiaire (néogène).

L'inclinaison de toutes ces couches est en général homoclinal, avec un piquetement vers le nord (*NNW* ou *NNE*), mais non isoclinale: les angles d'inclinaison varient.

Outre l'anticlinal principal, il y a plusieurs plis moins considérables sur les deux versants.

Les schistes paléozoïques et le lias sont redressés, renversés, fortement plissés ou fracturés. Le jurassique supérieur a en général une inclinaison plus douce et tend quelquefois à former des plis couchés, indépendants des plis anciens; les plis du tertiaire ne coïncident pas avec ceux des couches plus anciennes.



1. Coupe transversale simplifiée au travers du Caucase et de l'Ananour. *Ng*—néogène; *Pg*—paléogène; *J³*—jurassique supérieur (et placé dans d'autres parties de la chaîne); *J¹*—lias; *Pz*—schistes paléozoïques plissés; γ, δ —massifs granitiques et diabases; π —porphyres; τ —trachytes, andésites; *Pz*—*Mz*—dépôts sédimentaires plissés de l'Arménie.

Il y a en certains endroits différence de faciès sur les deux versants; mais en somme le schéma d'un énorme anticlinal renversé, à ses refoulés et agrandis par des plis plus récents qui leur sont superposés, ne saurait être complètement rejeté.

Il y a pour le moins deux directions de mouvements orogéniques: la plus ancienne *NNW* et une plus récente *NNE*.

Sur le versant sud il y a une faille assez importante (voir Gindzhik-Ananour). Les calcaires jurassiques du versant nord sont refoulés par l'anticlinal ancien.

Les contreforts calcaires du versant nord sont séparés entre eux de la chaîne principale paléozoïque (et liasique) par des vallées longitudinales dans des anticlinaux détruits.

L'élévation de la chaîne a commencé après le lias. Les principaux mouvements orogéniques se rapportent à l'époque jurassique, au crétacé et au miocène. Les mouvements orogéniques continuent de nos jours et se manifestent par de fréquentes secousses séismiques.

Géologie.

Sur le parcours de notre excursion, nous aurons l'occasion de rencontrer les dépôts variés d'un nombre assez considérable de roches ainsi que des roches éruptives. Voici l'énumération de ces dépôts :

Schistes paléozoïques.

Lias.

Jurassique.

Paléogène.

Néogène.

Dépôts glaciaires.

Alluvions.

Roches plutoniques anciennes.

Roches volcaniques récentes.

La série paléozoïque est représentée par des schistes foncés ou noirs avec des intercalations de grès et parfois de M. Favre a trouvé dans ces schistes, qu'Abich considéra liasiques, des restes de *Bythothrephes*. M. Inostranzeff, St sky et Loewinson-Lessing ont découvert dans les sections de Calamites et, dans les grès, des empreintes d'indéterminables. Les schistes sont fracturés, plissés et renver

Le lias est constitué par des calcschistes, des schistes des schistes argilo-talqueux clairs, dépourvus de fossiles. Le jurassique supérieur, il contient des fossiles, mais malheureusement en mauvais état de conservation. Sur le versant nord se trouvent des calcaires cristallins, des dolomies, des calcaires oolithiques; sur le versant sud une série de calcaires siliceux et argileux compacts et ainsi que des calcaires cristallins. Si le calcaire d'Aranissi est connu comme appartenant au jurassique supérieur, la série



roches éruptives offrent une diversité très intéressante et méritent une étude plus attentive.

Toutes les laves récentes appartiennent aux andésites. Une partie des roches sont des andésites à amphibole (Kasbek); la majeure partie des andésites à pyroxène appartient aux andésites à enstatite. Les andésites présentent une grande diversité par leur aspect externe; elles contiennent toutes un pyroxène rhombique et quelquefois de l'augite. On pourrait distinguer plusieurs types en se basant sur le caractère ferro-magnésien: 1) la série du Kasbek est caractérisée par des cristaux corrodés d'amphibole et un pyroxène rhombique incolore; la série de Sioni appartient aux andésites à pyroxène et biotite; la série de Goudaour-Mléty est remarquable par l'association d'enstatite et de phénocrytes macroscopiques d'amphibole entièrement corrodée et pseudomorphosée. Dans ces andésites de Mléty il faut relever l'absence de pseudomorphoses magmatiques d'amphibole en cristaux de biotite consolidée, visibles à l'oeil nu. Enfin méritent d'être cités les brèches volcaniques, les tufs, les roches pipernoïdes et les taxites éruptives du Kasbek.

La série ancienne des roches basiques filonnaires se rapporte aux gabbros, diorites, métadiorites, porphyrites holocristallins à amphibole et à diallage. Il y a aussi des „porphyritoïdes“, surtout dans la série du Devdorok, ainsi que des couches paléozoïques métamorphosées par la roche éruptive. La plupart des roches filonnaires offre un aspect plus ou moins cataclastique et souvent catalytique. Les phénomènes de fusion et de corrosion des roches encaissantes sont cités dans l'itinéraire.

Reste la série granitique. Nous y avons une granitite amphibolique à gros grain, des variétés rappelant la protogine, des roches schlierigues („schlieriger Granit“), enfin des gneiss et des greisen. Certains échantillons de granit montrent des phénomènes de cataclase plus ou moins forte. Les gneiss sont tous extrêmement cataclastiques et pour la plupart des „métagneiss“ ou, surtout, des „clastogneiss“. Ceux qui s'intéressent aux minéraux peuvent recueillir des cristaux de pyrite (entre Balta et Lars), de pyrite et de beaux échantillons de quartz incolore (cristal de roche) aux environs du Kasbek, peut-être de l'albite et des zéolithes.

Ethnographie. Archéologie. Histoire.

À point de vue de l'éthnographie et de la linguistique, la population du Caucase offre une diversité pleine d'intérêt et loin d'être étendue. On prétend que la population ancienne du Caucase appartenait au type dolychocéphale, comme le démontrent les crânes trouvés à Mtskhet, Délijan etc., tandis que tous les habitants actuels appartiennent au type brachycéphale. Les chrétiens, les musulmans, les Arméniens; les peuples ariens, sémitiques et mongoles; les représentants de toutes les races les plus variées et parlant une multitude de langues hété-

rogènes, ont partagé le Caucase entre eux. Les innombrables langues idiomes des peuples du Caucase ne sont point encore suffisamment étudiés. On les groupe comme il suit:

Groupe Ouralo-Altaïque.

Groupe Arien.

Groupe Kartvélien ou Ibérique = (groupe Caucasien propr.)

Groupe Montagnard occidental.

Groupe Montagnard oriental.

Il serait trop long d'énumérer toutes les peuplades du Caucase; voici celles que nous rencontrerons, sans compter les Russes et Allemands (colonie près de Tiflis):

Cosaques de la Térék (Russes et Petits-Russiens).

Osses ou Ossètes (orthodoxes et musulmans).

Ingouches, parents des Tscherkesses Adighé: (musulmans).

Géorgiens (Kartvéliens), orthodoxes.

Mokhéviens, tribu géorgienne.

Pchaves, tribu géorgienne.

Khevsours, tribu montagnarde: païens pseudochrétiens, païens géorgien; on les considère comme des épaves du temps des Perses.

Arméniens.

La Route Militaire de Géorgie longe, depuis Wladikavkaz jusqu'à Kobi, la vallée de la Térék, en perçant la chaîne latérale sur une distance de 12 kil. par le défilé du Dariel (ou Darial). Différents points de cette route et de ses environs ont été poétisés et chantés par nos grands écrivains Pouschkine et Lermontoff. La route remonte ensuite la gorge de Baïdarka, passe par le col de la Croix (2431 m.) et descend, par la chaîne de Zémo-Mléty (érigée en 1861), dans la vallée de l'Aragwa. Là, elle redescend jusqu'à Ananour. Après avoir passé par les hauteurs de Douchet, elle revient à l'Aragwa et passe près de Mtskhet sur sa rive droite de la Koura, qu'elle longe jusqu'à Tiflis.

de Caspienne" décrite par Procope, l'auteur de l'histoire des guerres Romains contre les Perses; ou bien encore dans la „Porte (l'aune) de l'Ibérie, décrite par Plin dans son „Historia naturalis". Le filé en question est connu chez les chroniqueurs géorgiens sous beaucoup de noms différents; le plus usité est celui de Dariel ou Dar-el. On suppose que ce mot provient du mot perse dar ou der, qui signifie porte (Thür, door, dwer); Dar-i-Allan signifierait la porte de l'Allan, ou des Allans.

Le Kasbek a reçu son nom actuel au commencement de notre siècle; ce sont les Russes qui l'ont introduit en l'empruntant au nom kazbek du chef ou „moorave" Kasbek qui habitait ici le village de Tsampan-Tsminda et servait d'intermédiaire entre la Russie et la Géorgie avant son annexion. Les géorgiens l'appellent Mkinvari (neigeux, blanc) ou encore Kirvan-Tsvéri; les Osses—Ours-Goh (montagne blanche), Chresté-Tsoub (m. du Christ) etc. Aux environs du Kasbek il y a plusieurs ruines sacrées. En face de la station et du glacier Orotsvéri se trouve l'église Tsminda-Sameb. C'est une des plus anciennes églises, qui peut-être autrefois un monastère; dans le massif et les embranchements du Kasbek on trouve beaucoup de caverns qui ont pu servir de retraite aux anachorètes. La légende populaire rapporte l'érection de cette église au règne de Tamara, la tsarine favorite et légendaire des Géorgiens. Entre les glaciers Abanot et Orotsvéri, on voit, à plus de 1000 m. d'altitude, des restes de ruines qui semblent confirmer la légende populaire d'un cloître inaccessible, du nom de Bétlem, renfermant de grandes richesses. Les habitants indigènes considèrent la cime du Kasbek comme inaccessible et ne peuvent en être dissuadés. La première tentative de faire l'ascension du Kasbek a été entreprise par Kotzebue en 1811; elle a été répétée par Colenati en 1844. Mais ce n'est qu'en 1868 que Freshfield, Moor et Tucker en atteignirent pour la première fois la cime. Une vingtaine d'années plus tard, l'ascension fut faite avec succès par le topographe Pastoukhoff.

Entre Balta et Lars on rencontre par-ci par-là les ruines d'anciens forts. Dans le défilé du Dariel se trouvent les ruines du château de la tsarine Tamara.

La gorge de la Baïdarka, qui conduit au col de la croix, a reçu son nom de Bidar, un Osse, qui avait, sous Iraklès II, la fonction de servir les voyageurs russes et géorgiens dans cette partie inhospitalière de la route.

Le Col de la Croix doit son nom à une croix en pierre, érigée en 1824 pour désigner la cime du col. Cette croix se trouve à une distance d'un quart de kil. à gauche de la route actuelle. En russe on appelle ce col „Krestovaya Gora" (le mont de la croix), ce qui a été traduit par Gamba le „Mont St. Christophe".

La forteresse d'Ananour appartenait aux gouverneurs de la vallée d'Aravay: celle dont les ruines se sont conservées, a été bâtie en 1611 par le prince (ou „éristave") George. Ces „éristaves" habitaient le village de Douchet; la bastille d'Ananour leur servait de refuge et

c'est là qu'ils gardaient leurs trésors et leurs fortunes. Les Perses appellent Ananour „Kara-Kalkane-Kala“, c.-à.-d. forteresse des noirs (c'est ainsi que les écrivains musulmans désignent les Perses les Khevsours).

Bodorno est intéressant par ses nombreuses cavernes, et son ancien cloître d'anachorètes.

Mtskhet (ou Mtskhéta), est l'ancienne résidence des rois de Géorgie jusqu'à 469, quand elle fut transférée à Tiflis: selon les traditions elle a été fondée par Mtskhetos, le fils de Kartlos qui fut le chef militaire du peuple géorgien. Le roi Mirian qui fut converti par la Ste. Nina, y construisit une église qui devint la résidence du patriarche géorgien. La cathédrale actuelle a été érigée par le roi Alexandre (1413 — 1442) à l'emplacement de l'ancienne église, détruite par Tamerlan lors de son invasion en Géorgie. Au nord de la cathédrale se trouve l'église Samtaure (Samtavro), transformée en un couvent de femmes en 1811. En 1871 on découvrit, dans les tranchées creusées entre les deux églises, un vaste sépulcre. Les tombes y étaient déposées en deux étages: en bas, des puits avec des voûtes en haut, des caisses en dalles de pierre. Les tombes de l'étage inférieur renferment des objets de l'âge de fer et se rapportent au 11^e siècle avant l'ère chrétienne; celles de l'étage supérieur contiennent des monnaies romaines du temps d'Auguste; les crânes sont en os de céphales. Toutes ces trouvailles ont été transférées dans le musée de Tiflis. Toutes les légendes qui se rapportent aux origines de la Géorgie se rattachent aux environs de Mtskhet. C'est dans les monts à l'ouest de la rive gauche de la Koura, en face de Mtskhet, qu'est enterré le héros légendaire Kartlos. C'est là que se trouvait la forteresse d'Ananour mentionnée par Strabon, de Pline, de Ptolomée, etc. A 10 kil. à l'ouest de Mtskhet sont situées les ruines du cloître Chio-Mghvimé: les moines y habitaient primitivement dans des cavernes. Une autre sé-

Principaux ouvrages et cartes à consulter ¹⁾.

- Abich.** Prodrômus einer Geologie der Kaukasischen Länder. (Mém. Acad. St. Pétersb., (6 sér.), VII, 1858.)
- Annik.** Les glaciers anciens et actuels du Caucase. (Mém. d. l. Sect. Caucas. d. l. Soc. Géogr. Russe, XIV, p. 282—416.)
- Abich.** Atlas zu den geologischen Forschungen in den Kaukasischen Ländern. III Theil.
- Rossikow.** Etat actuel des glaciers du versant septentrional du Caucase central (Mém. Sect. Caucas. Soc. Géogr. Russe, 1896, I, p. 378).
- Freshfield.** The exploration of the Caucasus. 1896.
- Favre.** Recherches géologiques dans la partie centrale de la chaîne du Caucase. 1875.
- Fournier.** Description géologique du Caucase central. 1896. (Ann. d. l. Fac. de Sc. de Marseille, VII).
- Inostranzeff, N. Karakasch, F. Loewinson-Lessing et S. Stréchevsky.** Au travers de la chaîne principale du Caucase. 1896.
- Lagorio.** Die Andesite des Kaukasus. 1878.
- Cartes de l'Etat-Major russe,** à l'échelle de 1:210000 et 1:42000.
- Cartes géologiques dans les N° 6, 7, et 8.**

En outre, il faut nommer les travaux d'Abich disséminés dans diverses publications, les „Matériaux pour la Géologie du Caucase“, publiés par l'Administration des mines du Caucase, les Mémoires de la Commission Caucasienne de la Société Impériale Géographique Russe et nombre d'autres publications anciennes et récentes.

II. Itinéraire et Description de l'excursion.

1-re journée.

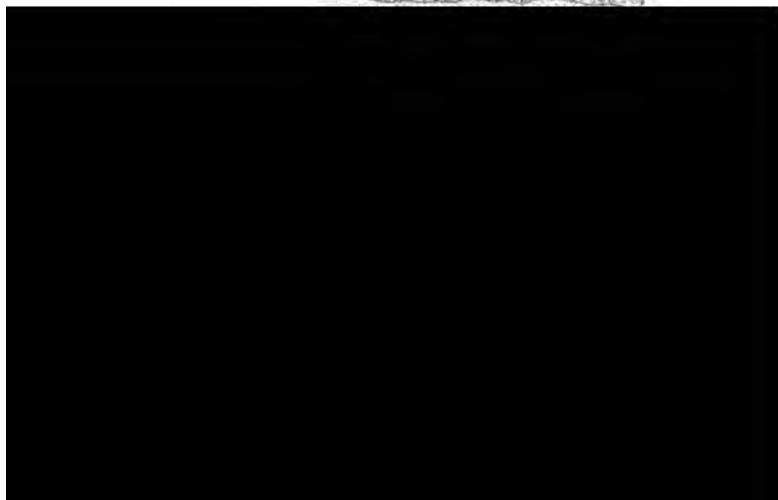
Itinéraire. Wladikavkaz (départ 7 h. m.), Rédante. Balta, (8 $\frac{1}{2}$). Djérakhovsky, Lars (12 $\frac{1}{2}$, déjeuner; départ 2 h.). gorge du Darksbek (6 h.; dîner, promenade aux environs). Pour ceux qui désirent visiter le glacier du Devdorok: gorge du Darial, vallée du Devdorok, glacier (6 h. s.).

Wladikavkaz, chef-lieu des terres des cosaques de la Térék („Terskaïa oblast“) est situé à 715 m. d'altitude sur les bords de la Térék, dans une vallée longitudinale qui se relie au plateau tertiaire de Stavropol. Ailleurs, plus à l'est ou à l'ouest, cette vallée est bordée du côté nord par des monts de dépôts tertiaires: ici ils font défaut. Le créneau y manque de même; il est étiré ou érodé: pour l'observer il faut

¹⁾ Je me borne à citer les ouvrages qui concernent soit le Caucase entier, soit la partie que nous visiterons. L'énumération de tout ce qui a été écrit sur le Caucase serait beaucoup trop longue pour un guide.

draît faire une excursion en delà de notre itinéraire. (Peut-être représenté par les monticules, couverts de verdure, qui apparaissent droite et à gauche de la chaussée, à 3—4 kil. de la ville). Plus dans les bassins de l'Assa, de la Kambiléïevka, ainsi qu'à l'ouest de la vallée de l'Ardon, le crétacé est représenté par de puissantes couches de calcaires. M. Favre rapportait les calcaires de Rédante au M. Karakasch leur attribue un âge tertiaire (éocène) et M. Fournier, dans son profil entre Rédante et Lars, différents étages du passage du crétacé et du jurassique. Dans certaines variétés de ces calcaires sont généralement dépourvus de fossiles, j'ai trouvé des foraminifères; mais je ne saurais préciser l'âge de ces couches. Au point de vue lithologique il y a analogie avec les roches de Ginvani (passage) et d'Aranissi (jurassique). Plus loin, à 4 kil. de la ville, apparaît pour la première fois des calcaires du jurassique supérieur: mais que près du poste de cosaques et du jardin de Rédante, à 7 kil. de la ville, que nous nous arrêterons pour les examiner. Ce sont des marnes grises compactes, des calcaires en partie siliceux et des conglomérats qui plongent vers le NO 45°, \angle 60°. A 3—4 kil. on rencontre des dolomies plus claires, parfois poreuses ou spongieuses.

Ces roches sont pauvres en fossiles; des *Rhynchonella* conservées, plusieurs autres fossiles, ainsi que des nids de calcite cristalline, peuvent être ramassés dans une couche de dolomite caverneuse et sablonneuse, intercalée aux roches précitées de Balta, à 6—8 pas du poteau). A 2½ kil. de Balta on rencontre une bonne coupe de dépôts morainiques, formés par des cailloux



A 1½ kil. en deçà de la station Balta, la chaussée traverse une vallée longitudinale, au milieu de laquelle est située Balta. Cette vallée est large à peu près de 1—2 kil.: sur son flanc sud elle est bordée par un énorme ébouli, et ce n'est qu'après l'avoir dépassé qu'elle réapparaît sur la chaussée les calcaires jurassiques.

C'est la première vallée longitudinale. Si l'on attribue, avec M. de la Bédolite, l'âge crétacé aux dépôts de Rédante (et Balta), cette vallée paraît de ligne de démarcation entre le premier contrefort calcaire (crétacé) et le suivant, formé par les calcaires du jurassique supérieur. Les roches qui longent la chaussée depuis l'ébouli de Balta, sont bordées des calcaires oolithiques blancs, ensuite des dolomies caverneuses, traversées par une multitude de sources. En plusieurs points on trouve des fossiles en mauvais état de conservation, surtout des *Archonella* et de grands *Pecten*. En même temps que les dolomies, on voit réapparaître, adossée aux dolomies, la terrasse morainique dont il a été question ci-dessus. Les oolithes et les dolomies plongent vers le N (ou NNW) $\angle 30^\circ$, et font place, après le 3 kil., à des calcaires siliceux foncés en couches épaisses, plongeant vers le NW $\angle 40^\circ$. A mesure qu'on avance vers le fort Djérakhow, l'inclinaison des couches devient plus douce, mais en même temps on les voit prendre l'allure d'un synclinal renversé et refoulé. Le fort Djérakhow est situé dans la seconde vallée longitudinale qui coupe la chaîne du Caucase à la limite du jurassique supérieur et du lias: celui-ci

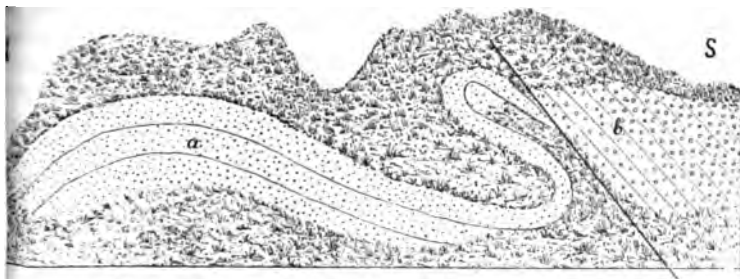


Fig. 3. Pli-faille de Djérakhow. *a* — jurassique supérieur; *b* — lias.

de la vallée au sud. Le lias est représenté d'abord par des calcaires feuilletés, ensuite par les schistes foncés que nous retrouvons sur une plus grande étendue au versant sud du Caucase. En deçà de Djérakhow ces couches plongent d'abord vers le sud et, après avoir fait, entre le 12 et le 13 kil., deux ou trois plis insignifiants, vers le 13 kil.—vers le nord. La vallée de Djérakhow est donc probablement un anticlinal détruit.

Une troisième vallée longitudinale coupe la chaussée près du village du Vieux Lar: c'est encore un anticlinal détruit: les schistes argileux, calcaires etc. du lias plongent vers le nord, sur le bord sep-

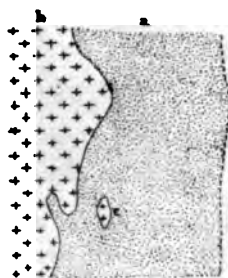
tentrional de cette vallée, tandis qu'ils plongent vers le SSE 15° / 65° sur le bord méridional, et qu'ils conservent cette inclinaison jusqu'à la station de Lars.

Entre Lars et Djérakhow, surtout entre le 10 et le 11 kil., nous retrouvons la terrasse morainique qui atteint ici une épaisseur considérable. Cette terrasse est, paraît-il, d'origine fluvioglaciaire et se rapporte à l'époque postpliocène, époque à laquelle la Terek n'avait pas encore creusé son lit jusqu'à sa profondeur actuelle. Cette terrasse est généralement adossée aux schistes; là où elle leur est superposée, on rencontre, sur les schistes dénudés, d'abord une couche plus ou moins considérable d'un limon loessoïde, ensuite le dépôt morainique.

Dans cette partie de la vallée de la Terek, les dépôts glaciaires jouent un rôle important; les blocs erratiques y sont très nombreux, dus en partie aux avalanches périodiques du glacier du Devdorok. Près de la station de Lars, on remarque dans le lit de la rivière le gigantesque bloc, connu sous le nom de pierre de Yermolov; il a 29 m. de long., 15 m. de large et 13 m. de haut., ce qui fait 5655 m^3 ; il a été transporté pendant la célèbre avalanche de 1832 qui a encombré la vallée de la Terek de pierres, de glace et de boue sur un parcours de plus de 2 kil. et jusqu'à 90 m. de hauteur. On a évalué la masse de l'avalanche à plus de 15 millions de m^3 .

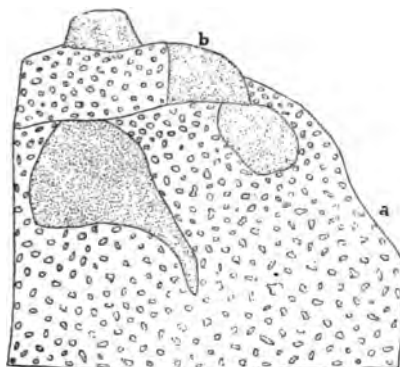
A mesure que nous remontons la vallée de la Terek, elle devient plus étroite, ses flancs deviennent plus escarpés et plus hauts et la chaussée s'élève sensiblement au-dessus du niveau du torrent. Bientôt après avoir quitté Lars, la chaussée entre dans la gorge du Darial, célèbre par les légendes qui s'y rattachent, par sa beauté sauvage et pittoresque intéressante au point de vue de sa structure géologique. Les schistes liasiques font place à des schistes ardoisiers d'âge paléozoïque, avec des couches de grès intercalés. Ces schistes sont traversés par des filons de porphyrites et d'autres „Grünsteins“ intrusifs (diabases, diorites). Ces filons deviennent plus nombreux et plus importants dès que nous

granit est accompagné de métagneiss oeilé dynamométamorphiques dans la gorge Kassarsky (vallée de l'Ardon), des quartzites sont associés à ces gneiss. Vers l'ouest la région granitique devient plus importante et se réunit peu-à-peu avec la chaîne qui est la ligne de partage des eaux. Le granit du Darial est une roche claire à gros grain; c'est une granitite amphibolifère. On y trouve aussi des variétés d'une teinte rouge, très riches en mica et des variétés aplitiques.



4. Contact d'un filon de diabase avec le granite encaissant.
a—diabase; b—granite; c—enclave de granite.

Il faut relever, à 1 kil. au nord du fort du Darial, un granit rouge («schlierig»); les parties à gros grains sont essentiellement microclinales (à microcline), avec très peu de biotite; les parties à grain beaucoup plus fin, au contraire, consistent essentiellement en mica rouge-brun et quartz, le feldspath y étant très abondant. En admettant que ces deux variétés sont les produits



Granite taxitique du Darial; a — parties claires à gros grain, riches en feldspath; b—parties rouges, à grain plus fin, riches en biotite.

En admettant que ces deux variétés sont les produits d'une même magma, on aurait ici un exemple intéressant de différenciation: l'élément feldspathique et l'élément ferromag-

nésien ont la tendance de s'accumuler dans le magma en diffusion, chacun de son côté: c'est un cas général, comme je tâcherai de prouver ailleurs.

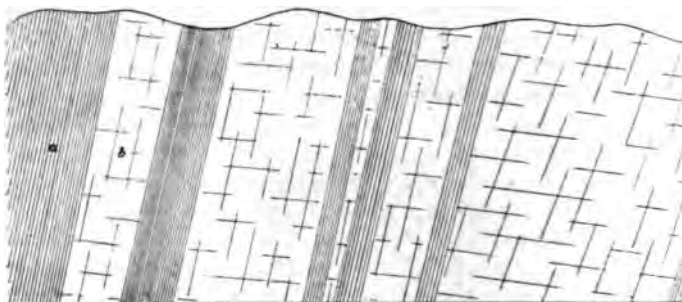
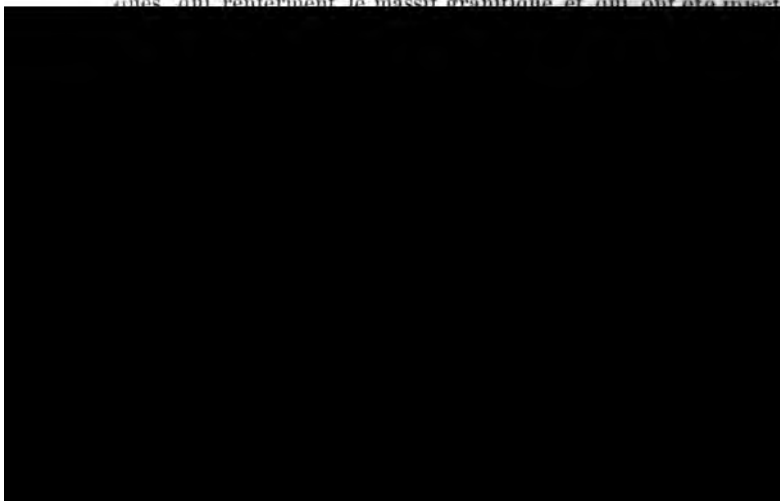


Fig. 6. Schistes paléozoïques (a) injectés de nappes intrusives de basaltes anciens (b) (Grünsteins). Rive gauche de la Tère Kobis-Tskhali et Tsda.

Le granit est traversé par de nombreuses nappes filonaires: diabases, diorites et porphyrites fortement métamorphosés. La largeur de ces filons varie entre $\frac{1}{2}$ m. et 30 m. et davantage; le granite et les filons se succèdent à de petits intervalles; parfois la roche filonnaire même à dominer sur le granite. Les filons sont souvent fracturés et montrent des failles locales. L'intrusion de ces filons a été postérieure à la consolidation du granite et ce dernier a été en partie recouvert par la corrosion dans les salbandes. La figure 4 de la page précédente illustre cette fusion partielle du granite au contact des filons.

Reste encore à mentionner que quelquefois les schistes qui renferment le massif granitique et qui ont été injectés





Structure prismatique de la lave andésitique du Kasbek.
Rive gauche de la Terek entre Kobus-Tskhall et Tchkhéri.

1

1

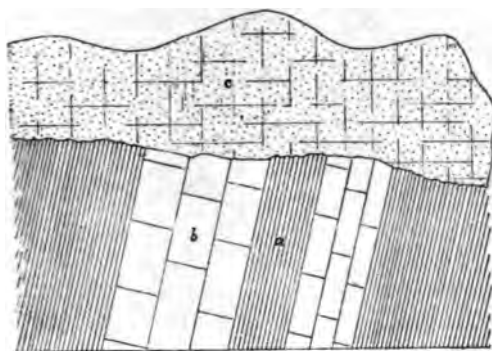
1

1

granitique, ont quelquefois été pincés par les granites durant l'expression de la chaîne, postérieurement à l'intrusion du granite. On voit des aspects très compliqués (voir le petit synclinal de Tseret, fig. 6) : les schistes sont pincés dans le granite, fig. 7).

Les filons ont une direction NE 20° NS.; ils sont souvent fracturés et traversés par des failles (fig. 10).

Après avoir passé par le pont du Darial, on se sépare près de Tseret : ceux qui désirent immédiatement visiter le glacier du Devdromontent la vallée de la Kabakhi; ceux qui préfèrent passer la vue du Kasbek, continuent leur chemin par la chaussée qui longe les arpentements de la rive gauche de la Terek.



8. *a*—schistes paléozoïques; *b*—filon de diabases; *c*—coulée de lave andésitique.

A peine a-t-on dépassé le poste de Givéleti que l'on se trouve de nouveau dans la région des schistes paléozoïques et des nombreux Grünslein métamorphiques. Les schistes sont érodés; là où ils sont traversés par des filons, ils résistent mieux à la dénudation. Les schistes sont recouverts par de grandes coulées d'andésites, remarquables par leur structure colonnaire. En certains points, entre l'embure de la Kobis-Tskhali (près de la fontaine) et celle de la Tekhkéri, la moraine recouvre les schistes, tandis qu'elle est recouverte elle-même par les coulées de laves. Les principaux traits de la structure de la région du Caucase nous apparaissent ici avec une netteté et une simplicité quasi-schématiques: dislocation des schistes paléozoïques, intrusion de filons dioritiques, érosion, dépôt de la moraine des glaciers du Kasbek, coulées de laves récentes, tantôt reposant sur la moraine, tantôt recouvrant directement les schistes (fig. 9).

Le Kasbek est un énorme cône à deux sommets. La cime blanche de la montagne principale se dessine en cône élégant au-dessus des parties environnantes de la chaîne et offre un aspect grandiose quand il n'est pas enveloppé de nuages et de brouillards. Le Kasbek a une altitude de 5043 m., et ne le cède dans la chaîne du Cau-

case qu'à l'Elbrons, le Kochtan-Taou et le Dykh-Taou, cette pyramide gigantesque est formée par les schistes traversés par des filons de Grünsteins, en partie par des diabases et de granite. La pyramide elle-même est andésite d'origine volcanique récente; l'activité volcanique récente a débuté dans l'époque tertiaire et s'est prolongée jusqu'à la grande extension des glaciers. D'énormes coulées d'andésite descendues du Kasbek en se dirigeant sur différentes directions dans la vallée de la Térék, ainsi que dans celles de plusieurs de :

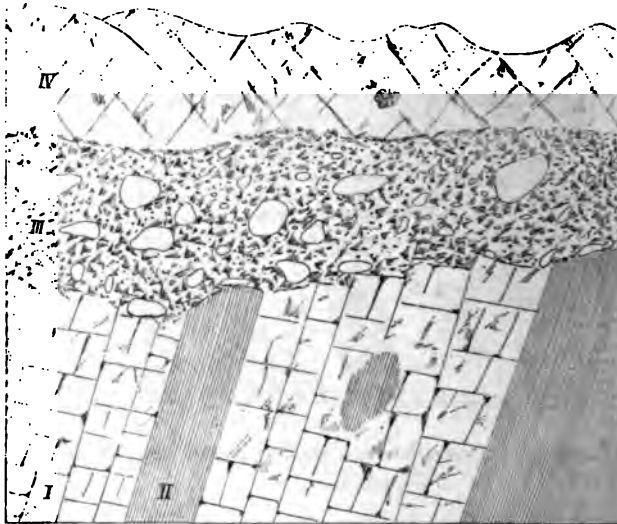


Fig. 9. Coupe schématique du flanc gauche de la vallée de



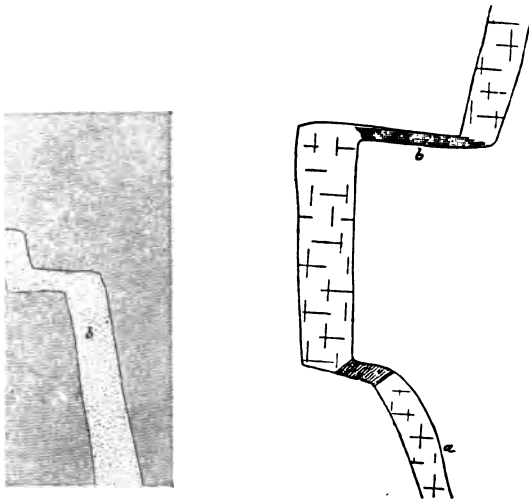


Glacier du Devdorok.



loin de son extrémité un promontoire rocheux vient et la transformer en une gorge étroite. Des deux (ou branches primaires qui se réunissent pour former le est celui de gauche qui est de beaucoup le plus conver- geur maximale du glacier est de 2500 m. Là où il romontoire, la largeur de la vallée diminue de 350 m.

it, après avoir reculé pendant une certaine période, le être dans un état d'avancement. Une grande partie couverte de boue, ce qui lui imprime une caractère ittoresque. Le front du glacier est coupé à pic et pré- oupe une multitude de couches de boue. Les avalan- s du glacier ont été l'objet de recherches répétées: à la crue périodique du glacier qui vient buter à un flanc gauche de la vallée, jusqu'à ce qu'il parvienne à ssage, en précipitant dans la vallée une énorme quan- e boue et de blocs; le lac qui se forme derrière le nné par le promontoire, se transforme alors en un é qui se précipite dans la Terek et encombre la vallée et celle de la Terek de masses considérables de boue s de Lars nous avons vu la gigantesque pierre de Yer- rtée par l'avalanche de 1832.



de diabase fracturé Fig. 11. Failles dans un filon de ar plusieurs failles. Grünstein. Vallée de la Devdorok.

er au glacier, on traverse la partie inférieure de la khî, encombrée de dépôts morainiques, et l'on suit un mode, pratiqué dans les escarpements du flanc droit

de la vallée. Ce sentier conduit au chalet, situé en face du à peu près à un kilom. de distance. Les escarpements en ques formés par les schistes paléozoïques susindiqués qui plongent SSE avec une inclinaison de 60°. Les deux premiers kilomètre trois derniers offrent l'occasion d'étudier ces schistes, tandis que le reste de la route on ne longe que des éboulis. Les schistes au quelquefois chloriteux, sont injectés d'une multitude de filons (une direction WE) de Grönstein, le plus souvent métamorphique qu'à devenir complètement méconnaissables, surtout sous le microscope. Nombre de ces filons se rapportent à ce que j'ai nommé ailleurs "porphyroïdes".

Les filons sont fracturés, traversés par des failles, en particulier ceux de la gorge du Darial (fig. 11).

2-me journée.

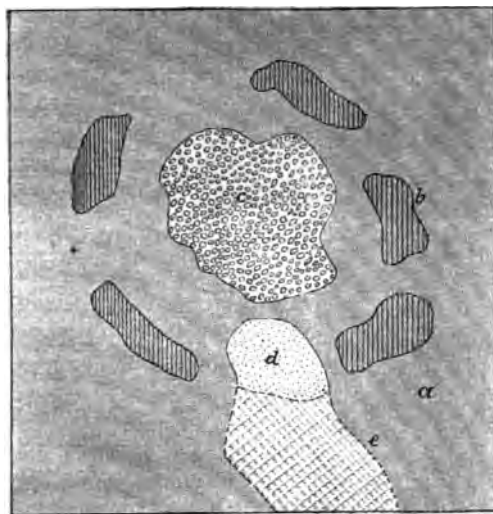
Itinéraire. 1-re variante: Kasbek (départ 7 h. m.), Tsminda-Gletsch, glacier Orotswéri, embouchure de la Tchkhéri, Kasbek (ou Kobi).
2-me variante. Kasbek, Gvéléti, glacier du Devdorok, Tchkhéri, Kasbek (ou Kobi).

Pour ceux qui seraient restés la veille au glacier du Devdorok, l'excursion dans la vallée de la Tchkhéri, Kasbek (ou Kobi).

L'excursion dans la vallée de la Tchkhéri et au glacier du Kobi a pour but une visite du massif du Kasbek et un coup d'oeil sur sa structure géologique. En face de la station, près du village de Kerghéty, dans le rocher de Tsminda-Sameb, sur le flanc droit



et la base du massif du Kasbek. Ces schistes sont recouverts des coulées de laves et celles-ci par des tufs et des moraines. Le cône actuel du Kasbek est un cône andésitique récent. L'activité éruptive du Kasbek ne semble pas être bornée à l'éostépliocène, époque de l'épanchement des énormes coulées de laves. Le Kasbek doit avoir manifesté une activité éruptive moins intense à diverses reprises. A une époque antérieure à l'épanchement des andésites, il a donné naissance à des trachytes (ou parfois à des taxitiques ou pipernoïdes) qu'on trouve en cailloux roulés et galets de la Tchkhéri et dans les moraines. En embrassant d'un coup d'œil général le massif du Kasbek (p. e. en se plaçant sur le mont Bétlémi) on pourrait retrouver les indices d'un ancien cratère qui se serait effondré pour donner place au nouveau dominant actuellement tout le Caucase central et ne le cédant qu'à son aîné—l'Elbrous.



Plan du cratère du Kasbek. *a* — andésites et tufs, *b* — vestiges de l'ancien cratère (schistes paléozoïques), *c* — cône récent du Kasbek, *d* — névé, *e* — glacier Orotswéri.

Dans le rapport pétrographique on a des indices de trois différentes phases éruptives du Kasbek, sans compter la formation filonienne. La roche la plus ancienne — c'est le trachyte noir et rouge à structure d'ataxite. La seconde phase a donné naissance au trachyte rouge qui forme une partie de la gorge de la Tchkhéri (on voit dans le monticule de Bétlémi, ainsi que dans les escarpements de la rive gauche) et à une roche pipernoïde de teintes rouges.

se sont épanchées postérieurement à la déposition de

La moraine de la Tchikhéri consiste principalement de roches andésitiques et trachytiques du Kasbek, à feldspath de première consolidation, et ne contient pas l'andésite aphanitique noire plus récente, à structure prononcée: celle-ci serait donc plus jeune que la mor

3-me journée.

Itinéraire: Kasbek ou Kobi (dép. 7 h. m.), (Goudaour, déjeuner, volcan Sakahi, Goudaour, Mléty.

Le moment le plus intéressant de cette journée est les flancs du Col de la Croix avec ses coulées de laves volcaniques. Rien de particulièrement remarquable entre Kasbek et de Kobi: toujours les mêmes coulées d'and du Kasbek et de ses voisins. Sur la rive gauche, les and ou moins entièrement recouvert les schistes paléozoïques. Sur la droite on voit souvent ressortir ces derniers. Plus loin, le village de Sioni, il doit y avoir un centre d'éruption homologues à ceux de Kalko près de Blo: on trouve des dacites près de l'embouchure d'une petite rivière.

A partir du 10 kil. les laves dominent; sur les premiers 2 — 2½ kil. et surtout dans le mur coupé à la station de Kobi, la lave présente une structure colonnée. La station de Kobi est située à l'embouchure de la gorge en face de l'embouchure de la gorge Troussovskoïé. Sur les pentes de la rive droite de la première, on trouve des gneiss blancs de la série paléozoïque, à ce qu'il paraît les rencontrés dans la gorge Kassarskoïé de la vallée des quartzites font défaut dans la vallée de la Terek. Après avoir quitté la vallée de la Terek et remonte la gorge de l

ares et des vallées longitudinales qui ont servi de bouches d'écoulement aux poussées de laves. L'ensemble de ces laves et des schistes traversés offre une analogie avec les schistes injectés de diabases nous avons vus entre Lars et Kasbek—sauf la différence d'âge de la roche éruptive. Le profil schématique ci-joint donne une idée générale de la structure du Col; reste à mentionner les cônes volcaniques récents, superposés aux schistes en vrais parasites, et dont il est question plus bas.

Le Col de la Croix est large et plat; ce n'est pas le caractère général des cols de la chaîne du Caucase: il y en a qui lui ressemblent, mais il y en a aussi d'autres qui sont étroits et pour ainsi dire

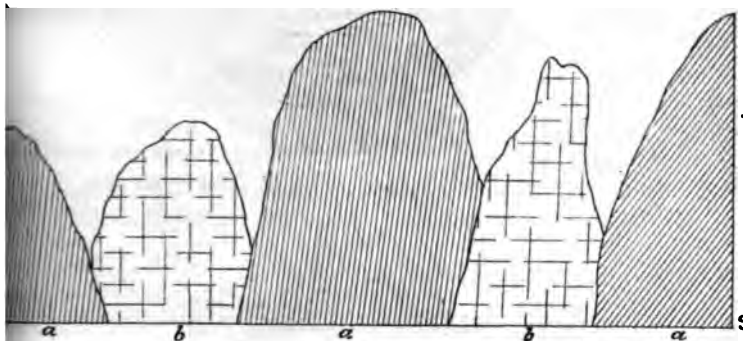


Fig. 14. Coupe schématique au travers de la chaîne principale près du Col de la Croix. *a*—schistes ardoisiers en demi-éventail; *b*—andésites en nappes filonnaires remplissant des gorges longitudinales dans les schistes.

échancrés, qui sont dépourvus de laves récentes, mais qui renferment en outre des nappes intrusives de diabases, comme par ex. le Col de l'Arkhotis.

La chaîne principale du Caucase mérite son nom au point de vue géographique et en sa qualité de ligne de partage des eaux. Au point de vue de la tectonique c'est l'anticlinal en éventail du Darial avec un noyau granitique qui mériterait plutôt ce nom, si ce n'était une ligne tributaire, dite „Latérale“ qui se sépare de la chaîne principale près de l'Adaï-Goh.

Nous voici à Goudaour, sur le versant sud de la chaîne, dans la vallée de l'Aragwa que nous redescendrons jusqu'à sa jonction avec la mer. D'énormes poussées de laves andésitiques à amphibole, à augite et à enstatite ont donné naissance, sur les deux rives, à des coulées qui descendent jusqu'à Mléty et même au-delà. Il n'est pas impossible et même probable qu'une partie des laves du versant nord se soit épanchée par des fissures; néanmoins les coulées principales du versant sud semblent être en rapport avec de vrais cônes volcaniques.

Plusieurs cônes ont subsisté à la dénudation et on les voit au milieu des montagnes environnantes à une altitude de plus de 2000 mètres.

Les cônes volcaniques du Tsiteli-Mta et du Gouda sont orientés dans la direction W—E; les lignes de volcans coïncident avec la direction des diaclases dans les schistes et avec la direction des nappes et des filons intrusifs anciens.

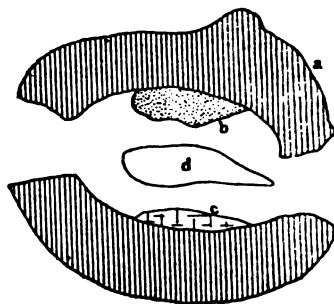
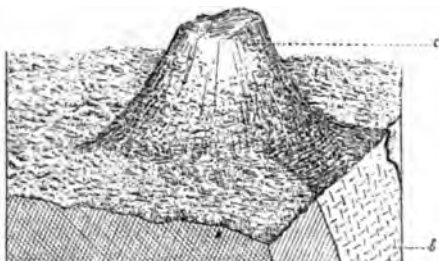


Fig. 15. Plan du volcan Sakakhi. *a* — remparts de scarp du cratère; *b* — glacière, *c* — dyke; *d* — cratère principal.



nes et des remparts de scories; l'un de ces volcans a plus conservé la forme du cratère qui est occupé actuellement par un glacier (ou plutôt une glacière). Les remparts du cône sont de débris de lave, de scories; on y trouve aussi de véritables volcaniques.

Les schistes paléozoïques qui plongent vers le NE 30° , $\angle 55^\circ$, renferment des filons de Grünslein; il est facile de constater que les filons sont des nappes intrusives dans les schistes, tandis que les schistes reposent sur les schistes, sauf les andésites en nappes qui constituent avec les schistes paléozoïques les flancs du Mont Croix.

La chaussée qui descend de Goudaour à Mléty est taillée dans la coulée de lave qui longe la rive gauche de l'Aragwa jusqu'au point séparant l'Aragwa et la Tskhéris-Tskhali. Les belles couleurs de la lave prismatique, les différentes variétés qui se distinguent par leur couleur, par leur grain et leur aspect général, ainsi que les détails de composition minéralogique, peuvent aisément être étudiés, aussi bien par ceux qui descendront la chaussée en voiture que par ceux qui préféreront prendre le sentier pour faire le tour à pied.

4-me journée.

Itinéraire. Mléty (dép. 7 h. m.), Passanaour, Ananour (déjeuner), puis ensuite:

var. Tchoparty, Bodorno (Douchet), Tsilkany.

var. Bodorno, (Douchet), Tsilkany.

var. Ananour, Douchet, Tsilkany.

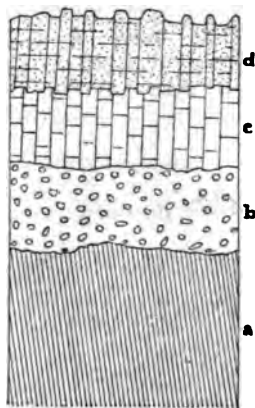
La station de Mléty se trouve à peu près à la limite de la formation andésitique de la chaîne principale. Sur la rive droite de la rivière les coulées de laves n'arrivent pas jusqu'à Mléty. Sur la rive gauche la grande coulée andésitique se prolonge à plusieurs kilomètres de la station en un promontoire qui sépare l'Aragwa de son préluent gauche. Il y a en face de la station une coupe intéressante où les coulées de lave sont superposées aux schistes paléozoïques et se distinguent entre elles, même à distance, par leurs couleurs (fig. 17). Entre Mléty et Passanaour il n'y a rien d'intéressant à signaler. La coulée de lave que nous avons vue hier, se termine à l'embouchure de la Tskhéris-Tskhali; les schistes paléozoïques nous accompagnent jusqu'à Passanaour. Ils plongent toujours vers le nord; l'angle d'inclinaison est de 6° , après un petit anticlinal — $\angle 45^\circ$.

Entre Passanaour et Ananour il y a deux fois changement de formation. D'abord, à peu près à 4 kil. de distance de Passanaour, les schistes paléozoïques font place aux schistes liasiques; des calcaires siliceux bigarrés leur sont associés et les remplacent complètement après plusieurs kilomètres de chemin. M. Favre envisage ces schistes comme appartenant au jurassique supérieur: dans la vallée de

l'Aragwa des Pchawes nous les avons rapportés au même. Pourtant on ne saurait nier complètement la possibilité de liasique. Les schistes liasiques qui occupent une bande plus la vallée de l'Aragwa des Pchawes, sont dépourvus de fossiles, les calcaires bigarrés compacts siliceux et l'argileux je n'ai qu'un ammonite en mauvais état de conservation.

Ananour et Ginwany mériteraient une visite prolongée: c'est de jonction de trois systèmes: jurassique, lias (ou jurassique), gène, pléistocène; en même temps c'est un point très complexe tectonique est encore obscure et offre certaines difficultés.

Je suppose l'existence d'une faille W—E, se dirigeant de et Ananour vers l'ouest. C'est peut-être la faille, observée Favre dans la vallée de la Liakhwa et de la Ksan, faille qui a signalée par Abich. Cette faille est dirigée de l'est à l'ou-



les sont cimentées par de la calcite ou du quartz et, à une certaine distance, le tout produit l'effet d'une flexure plastique.

En face de Ginwani ces roches se prolongent sur les hauteurs de l'ive gauche jusqu'à Saganépo-Khéwi, avec une inclinaison assez douce, 30° — 45°, en discordance au-dessus des conglomérats tertiaires. On dirait renversées et ayant chevauché sur les roches tertiaires après formation de la faille.

Au-dessous de ces calcaires jurassiques apparaît une série de conglomérats, microconglomérats et de grès calcareux appartenant au Pliogène et ayant une grande ressemblance avec le „Granitmarmor“ de Montorfano en Lombardie. Ces roches contiennent des fragments de coquilles triturées et des *Lithotamnium*. On peut voir ces roches à la sortie d'Ananour, au pied de la montagne Aranissi; mais c'est

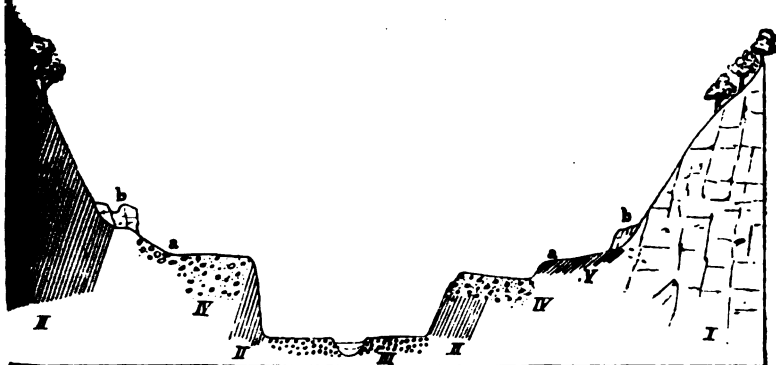


Fig. 18. Profil transversal de la gorge de Ginwani. I. Calcaire jurassique d'Aranissi; II. Grès et microconglomérats à Nullipores (éocène). III. Galets du lit de l'Aragwa; IV. Terrasses de blocs et de déluvium; V. Ebouli, recouvrant des marnes bigarrées gypseuses. a. Routes; b. Eboulis (grands blocs).

Tout dans la gorge de Ginwani et à l'embouchure de l'Aragwa des schistes qu'elles peuvent être étudiées avec succès. Ces couches de schistes et de conglomérats sont fortement redressées; elles plongent vers NNE, $\angle 85^\circ$ et montrent des flexures plus ou moins insignifiantes dans le plan de la direction principale des couches. Les conglomérats contiennent des fragments de calcaires siliceux jurassiques; c'est un dépôt littoral. Sur la chaussée de Douchet, à 2 kil. d'Ananour, et à la sortie de la gorge de Ginwani, le paléogène fait place aux argiles bigarrées gypseuses, aux grès, aux marnes et aux conglomérats du Pliocène dont nous nous occuperons plus bas. Quant aux calcaires jurassiques d'Aranissi, ils méritent un intérêt tout particulier. Ces calcaires sont disloqués et dont la stratification est masquée, contiennent par-ci par-là des fossiles mal conservés (*Rhynchonella*, *Ostrea* etc.). Ils com-

posent la montagne d'Ananissi, traversent la chaussée entre le 1 et le 2 kil. d'Ananour et vont former la grande montagne à droite de la chaussée. A l'est de l'Aragwa des Pchawes j'ai trouvé, entre Saganépo Khéwi et Tchintya, deux îlots du même calcaire qui ont résisté à l'érosion. M. Favre n'avait pas observé ces calcaires sur la chaussée mais il en a trouvé d'autres dans la vallée de la Ksan avec certains bancs renfermant de nombreuses traces de polypiers, de rudistes et de nérinées². M. Favre leur trouve une ressemblance avec le calcaire à caprotines de Koutaïs; M. Sorokin leur attribue un âge crétacé. Moi aussi, j'ai d'abord considéré cette zone étroite de calcaires comme un récif (corallien?) du crétacé. Toutefois l'identité de ces roches et le caractère général de leur faune (qui est très-mal conservée) avec le calcaire jurassique de Balta-Lars m'autorise à le rapporter également au jurassique supérieur. Peut-être est-ce un pli couché qui pourrait être relié au pli incliné de Djérakhow (?).

Les roches éruptives sont représentées par deux petits massifs isolés de porphyrite augitique; l'un d'eux se trouve à mi-chemin entre Ananour et Ginwani, l'autre en face d'Ananissi, sous les ruines de la forteresse de Tchintya. Pour achever l'énumération des nombreux dépôts qui viennent compliquer la structure géologique du point en question et lui prêter un intérêt tout spécial, il ne reste qu'à mentionner les bancs de cailloux roulés dans le lit de l'Aragwa et les restes d'un dépôt de blocs erratiques sur le promontoire entre les deux Aragwa. Ce dépôt me semble être un dépôt d'origine fluvio-glaciaire; il consiste en blocs des mêmes roches éruptives que l'on trouve plus haut dans les terrasses glaciaires et fluviales et se distingue franchement du conglomérat tertiaire (Nagelfluhe) de Bodorno, Douchet etc.

En relevant encore une fois la discordance marquée entre le jurassique et le paléogène, on pourrait, sous toutes réserves, donner les indications suivantes pour retracer avec le temps une page de l'histoire géologique du versant sud de la chaîne du Caucase. La ma-

Après avoir quitté Bodorono ou Douchet. Cette série variée est re-
 verte de puissants dépôts qui donnent lieu à une discordance d'o-
 n. Ce sont des conglomérats consistant en grands cailloux de ro-
 tertiaires (marnes, grès, calcaires) et cimentés par un limon jaune
 âtre. Par places le limon domine presque exclusivement: il peut
 coupé à pic et se maintenir en colonnes comme le loess (par ex.
 la montagne Kaldai-Mkhiwani sur la route entre Tchintya et
 porty): par places il ne présente qu'un amas de blocs et de cail-
 roulées. Ces conglomérats présentent une grande similitude avec
 mines Nagelfluhe: la forme, les dimensions, le caractère lithologi-
 ques cailloux parlent contre une origine glaciaire; les cailloux sont
 lis; ils ont la forme de galettes, d'ellipsoïdes plats à trois axes, tout
 me les cailloux marins au pied des falaises: ce caractère me semble
 ar en faveur d'une origine littorale: la stratification est indistincte.
 montagne de Bodorno, celle de Tchoporty, les environs de
 phet sont formés par ces conglomérats qui y reposent en discor-
 de (dans des cuvettes?) sur les roches sarmatiques et ne sont
 disloqués. On les a poursuivis à l'est et à l'ouest sur une éten-
 considérable. Les différents auteurs ne sont pas d'accord sur l'âge
 des dépôts; les uns les envisagent comme étant des dépôts glaciaires,
 autres les rapportent au tertiaire. Je suis d'avis que ce sont des
 pliocènes de formation problématique; leur origine glaciaire
 aurait été prouvée suffisamment: le caractère lithologique des cail-
 lons l'absence d'autres phénomènes et de centres glaciaires à proxi-
 semblent s'y opposer. M. Du Pasquier a décrit des dépôts ana-
 de Suisse et les a aussi rapportés au pliocène.

Nous voici à Tsilkany, dans la vaste plaine qui se réunit à la
 de la Koura. Nous sommes dans la zone sarmatique, dans une
 synclinale qui fera bientôt place (à Mtskhét) à une série de plis
 les dépôts oligocènes. Proprement dit, c'est ici la limite du ver-
 sud du Caucase, les monts de Mtskhét et Tiflis faisant déjà par-
 u Petit Caucase ou Anticaucase.

5-me journée.

Itinéraire: Tsilkany (dép. 7 h. m.), Mtskhét, Tiflis. *Variante:*
 chet, Bodorno, Tsilkany, Mtskhét, Tiflis.

La dernière étape de notre excursion au travers de la chaîne du
 case est dans le tertiaire et le quaternaire. Après avoir fait plu-
 rs kilomètres dans la vaste plaine qui sépare les monts de Douchet
 eux de Mtskhét, nous voyons, à peu près à 6 kil. de distance de ce
 nier, réapparaître les conglomérats de Bodorno, ensuite (3 kil.) un
 m loessôide et enfin, à 2 kil. de Mtskhét, des grès et des marnes
 rrées qui plongent vers le N ($\angle 45^{\circ}$ — 50°).

Pour avoir une idée de la structure de cette partie de la chaîne,
 ut suivre les coupes de la rive gauche jusqu'à Natsikhori. Une sé-
 très-variée de grès, de marnes, de conglomérats d'âge miocène,

constitue le synclinal entre les grès du paléogène de Ginwani et de Mtskhet et Tiflis. Près de Tsitsamouri j'ai trouvé dans une couche de marne de nombreux moulages et des coquilles de *Helix* éra indéterminables. Par analogie on peut rapporter la série en question à l'étage sarmatique.

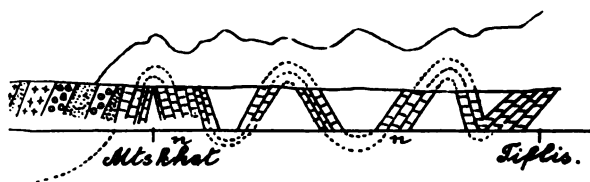
Près de l'embouchure de la Koura qui suit une importante longitudinale, le miocène fait place au paléogène. D'abord ce sont des grès quartzitoides de Natsikhori (la pierre de Dzegwa), ensuite le glauconieux et les grès avec des empreintes de plantes et des couches de lignite et de gypse qui forment les deux plis entre Mtskhet et Tiflis. Ces dépôts appartiennent à l'oligocène. A l'entrée de la vallée on trouve des conglomérats et du loess qui reposent en discordance sur l'oligocène.

C'est sur la série du paléogène, plongeant vers le nord, qu'est située la ville de Tiflis, partagée en deux parties par la Koura.

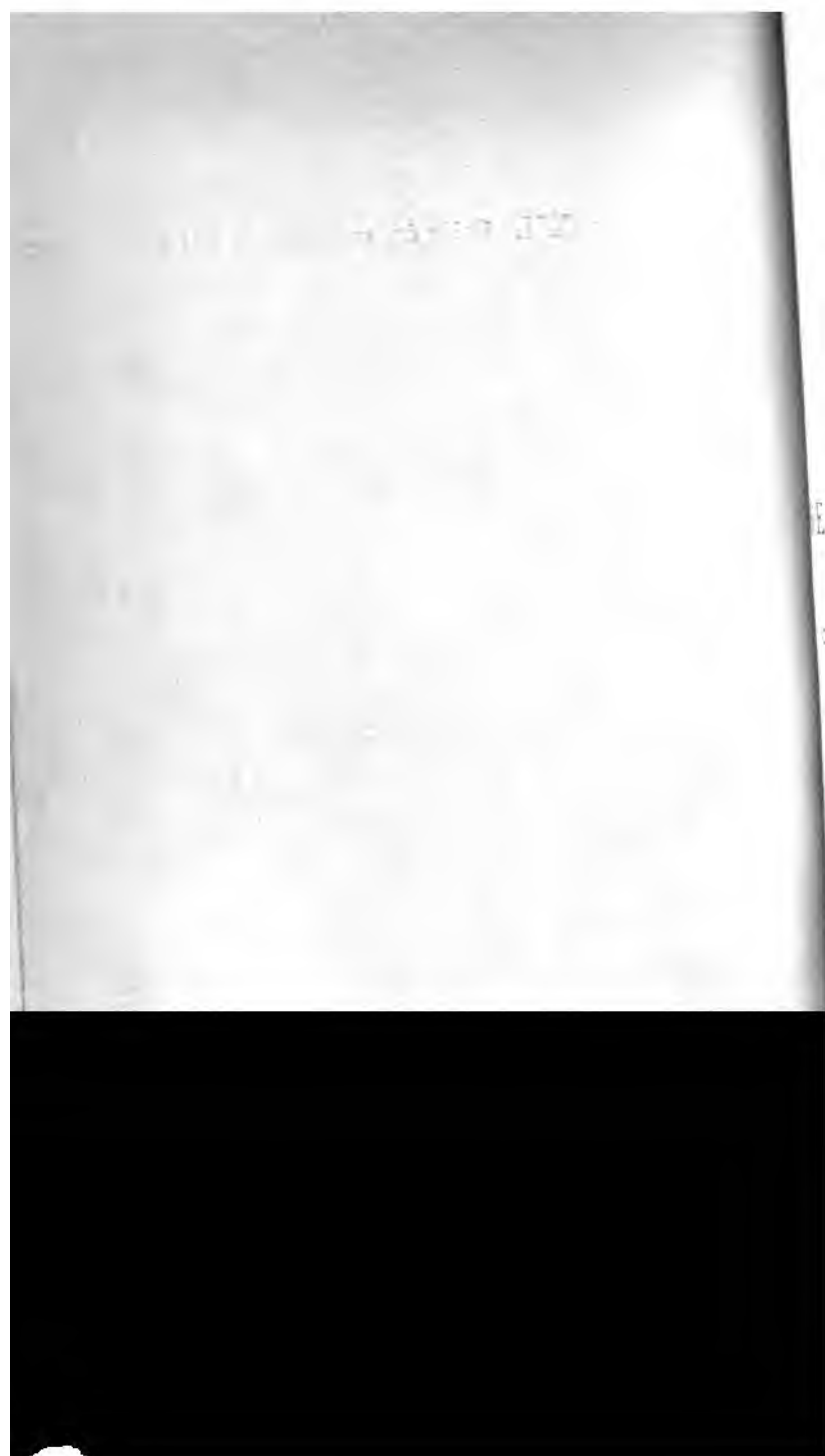
Nous voici sur le versant nord du Petit Caucase, à la fin de notre excursion.



Pl. C.



calcaire à nullipores et conglomérats du paléogène;



XXIII

EXCURSION

ZUM

GENAL-DONGLETSCHER

VON
CONST. ROSSIKOW und BORIS KOLENKO.

Der Genal-dongletscher

VON
Const. Rossikow.

Der dem Kasbek angehörende Genal-dongletscher ist unter verschiedenen Namen bekannt (Maliew, Maili ¹⁾, Ssaniban ²⁾, Tmenau ³⁾ u. a.). Die Schneedecke des Kasbek dehnt sich über 26,2 Kilom. aus und nährt folgende Gletscher: Dewdoraki, Tschatschui, Maliew, Orzweri, Anabot, Atgibar, Suatis und Mna. Der Maliew—oder Genal-dongletscher ist der grösste unter ihnen; seine Länge beträgt gegen 5,8 Kilom. Er ist von der Stadt Wladikawkas 45 Werst entfernt und befindet sich im südlichen Theil des Terekgebietes, im Ossetischen Hochland. Das untere Ende des Gletschers reicht in ein wildes und wenig anziehendes Thal hinein. Hier entspringt der Genal-don, ein rechter Quellfluss des Gisel-don, der in seinem unteren Laufe den Namen Kisilki trägt. Letzterer mündet in den Fiag-don, der seinerseits in den Ar-don, einen rechten Zufluss des Terek, fliesst. Die Gesamtlänge des Gisel-don (Kisil), von den Quellen bis zur Mündung

¹⁾ Pastuchow. Besteigung des Kasbek 29 Juli 1890. Sapiski d. Kauk. Section d. K. R. Geog. Ges. 1889—91. B. X, p. 134.

²⁾ Michailowski. Die Berggruppen und Gletscher des Central-Kaukasus. Semlewedenje. 1894. B. I, p. 159—179.

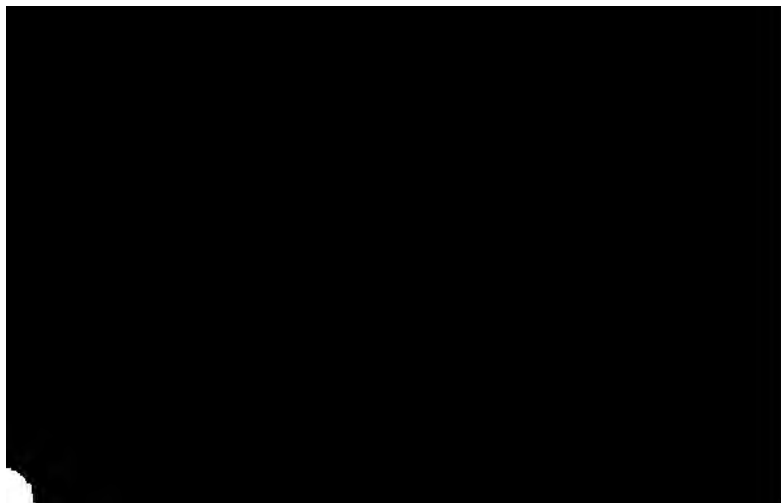
³⁾ Dinnik. Reise in West-Ossetien. Sapiski d. Kauk. Sect. d. K. R. Geog. Ges. 1893. B. XV, p. 83.

in den Fiag-don, ist gegen 60 Werst lang; der eigentliche Ge-
von seinen Quellen bis zur Mündung gegen 20 Werst. Der G-
fließt nur 35 Werst seines ganzen Laufes in dem genannten Th-
da ab aber in der Ebene von Wladikawkas. Seiner Form na-
fällt das Gisel-donthal, entsprechend dem Relief des von ihm
geschnittenen Theiles des Nord-Kaukasus (zwischen den Bergen
und Djimarai-choch) ¹⁾, in folgender Weise: das nördliche, breit
mit einer tiefen Schlucht im Süden, die sich zu einer Klamme
und einen südlichen Theil, der einen weiten Kessel bildet, in
eine ganze Reihe einzelner Gebirgsbäche der Genal-donquellen.

Von den vier, zum Genal-dongletscher von Wladikawkas
führenden Wegen, wählen wir zur Excursion den bequemsten, de-
dings auch der längste ist, nämlich die Fahrstrasse. Diese
auch nur dann passirbar, wenn der Gisel-don nicht den höchsten
Stand erreicht. Diese Strasse führt von Wladikawkas zum
Werst längs der Ebene von Wladikawkas, dann circa 28 W-
Thale des Gisel-don und seines Nebenflusses Genal-don.

8 Werst von Wladikawkas erreicht der Weg den ossetischen
Gisel. Jenseit der Brücke, die über den Terek führt, steigt der
allmählich auf drei alte Uferterrassen des Terek hinan. Von der
obersten Terrasse eröffnet sich im Westen der Blick auf den
südlichen Theil der Ebene von Wladikawkas. Sich durch ein un-
bares Meer von Maistfeldern schlängelnd, durchquert die Strasse
Ost nach West die Ebene.

Bekanntlich bildet die Ebene von Wladikawkas den Boden
der Glacialperiode angehörigen Sees (nach Abich) ²⁾, welcher
den von den Vorbergen des Kaukasus, im Norden und Westen
den Ssunshen- und Karadachbergen eingeschlossen wird. Die
vielen erratischen Blöcke bestreute, aber sehr fruchtbare Ebene
wird jetzt hauptsächlich von Feldern oder Steppenweiden be-
währt während noch zu Anfang dieses Jahrhunderts die ganze Ebene





Das Genal-donquerthal.

n Kasbek angehört. Eine Werst jenseit des Tschernaja-baches, rechten Ufer des Gisel-don breitet sich das ossetische Dorf Gisel. Von hier eröffnet sich ein herrlicher Einblick in das Thal des don. Zunächst liegt ein breites, den Vorbergen angehöriges Thal, von unten bis oben mit dichtem Walde bewachsen ist, weiter in Tiefe sieht man im Vordergrunde die weichen Contouren der Gekämme sich abheben, die umrahmt sind von dem Grün der subalpinen Wiesen: südlicher liegt das Thal selbst—ein Quarthal, das mit geradem dichten Walde bestanden ist und sich durch höher anfragende, karmatische Felszacken auszeichnet: endlich überragt dieses Bild die Schneekappe des Kasbek (5043 Meter ü. d. M.) und des Dshinchoch (4777 Meter ü. d. M.), und davor die malerische Eisröhre des Maliewgletschers.

Der Gisel-don besitzt beim Dorfe Gisel und oberhalb desselben ein flaches Bett von 2—3 Werst Breite, das sich in mehrere Arme theilt, von welchen 3—4 durch die Strasse des Dorfes fließen, jenes Hochwasser überschwemmend.

Von den obengenannten, geographisch unterschiedenen Theilen des Gisel-don lehnt sich der nördliche unmittelbar an die Ebene und führt zum Gebiete der Vorberge des Kaukasus. Diese bestehen aus Bergketten des Gebirges und einzelnen vorspringenden Bergzacken. In der Orographie des Kaukasus unter dem Namen der „Felsen- oder Bunt- oder auch Schwarzen-Berge“ bekannt sind. Letztere haben übrigens ihrer Natur nach mit dem Hauptkamm des Kaukasus, abgesehen von der entfernten äusseren Aehnlichkeit, nichts gemeinsam. Sie im Gegensatz zu jenem aus zwei Falten-Systemen von Jura- und Kreideschichten bestehen.

Den Eingang des Thales beherrschen zwei Gipfel der „schwarzen Berge“ — rechts der Zagis-Zweri, links der Tagus-bars. Der Eingang ist nicht breiter als 65—85 Meter und vollkommen vom Bette des Gisel-don eingenommen: hier staut sich das, vom Flusse aus dem Gebirge geführte, steinige Geröll auf. Das ist so zu sagen das Reinigungsgebiet des Flusses, während er sich von nun ab in der Ebene auszubreiten vermag. Hier und thalaufwärts wird die Vegetation von Kiefern- und Nussstrauch gebildet. (Die Höhe der Mündung des Gisel-don Thales habe ich auf 912 M. über dem Meere bestimmt). Die Gehänge dagegen sind vorherrschend mit Buchen (*Fagus sylvatica*) bestanden.

Am Fusse des Südostabhanges des Tagus-bars breitet sich ein Streifen leuchtend grüner Wiesengründe von 65—70 Dessjatinen aus, auf welchen einige menschliche Behausungen verstreut sind.

Etwa 5—6 Werst aufwärts behält das Thal seinen Charakter bei, bis es von dem höheren, zweiten Kamm der Schwarzen Berge eingeklemmt wird, zwischen dem Batchus (1439 Met.) und dem Utarty

(*) Näheres bei Rossikow: In den Bergen und Schluchten Kurations und den Quellen des Terek. Sap. d. Kauk. Sect. d. K. R. Geog. Ges. 1894. B. XVI, p. 302.

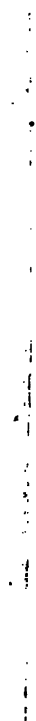
sehen den Waldpartien zeigen sich an den Wänden (der, in ihrer petrographischen Zusammensetzung einformation. Ihre Schichten fallen nach NO und streichen

Am Fusse des Batchus und Uatarty verengt sich gleich dahinter, zwischen den einzelnen Vorposten und oder Felsenbergen“, die sich vom Adai-choch № 2 Ssagalkany-choch (2,696 M.) abzweigen, wird der Fluß der Wald wird dichter und im Flussbett selbst lie Wäldern grössere Wiesen, die mit *Heracleum*, *Aconit* u. a. m. bewachsen sind. Hier endet das eigentliche don und seine Fortsetzung weiter links, im Westen, „Kobanthal“ und der Fluss selbst heisst hier Koban die direkte Fortsetzung nach Süden „die Genal-dons Flus Genal-don. Das Kobanthal ist in seinem östliche im westlichen nakt. Dort liegt der Aul Koban, der besteht. Dieses Thal zeichnet sich durch ein herrliches milden und trockenen Herbst und Winter, das Frühjahr und einen mässigen Sommer besitzt. Es würde als klimatischer Kurort eignen. Auch archäologisch ist von Interesse, durch das Vorkommen alter Gräber.

Das Genal-donthal liegt zwischen den Falten, welche hoch und Ssagalkany-choch aufbauen. Gleich nach der neuer Quellflüsse verengt sich das Thal zur Schlucht, und mehr bis zur richtigen Klamm. Die Wände der letzten der schönsten Profile in den sandig-thonigen Schichten Jura, welche die festen Kalkbänke des oberen Jura jääh abfallenden Wände der Schlucht ragen mehrere über dem felsigen Bette des brausenden Genal-don an



Der Genal-dongletscher.



anges des Adai-choch finden sich nicht wenig erratische Trachyte, welche den Beweis liefern, dass auch an diesem Theile des Kasbus sich ein mächtiger Gletscher ausdehnte. Das war der Kasbek-choch, der nicht nur das Thal des Terek ausfüllte, sondern eine solche Mächtigkeit erreichte, dass er über die beiden Falten des Jura der Kreide der kaukasischen Vorberge hinüberschritt und sich auf die Ebene von Wladikawkas ausbreitete.

Im Anfang der 90-er Jahre dieses Jahrhunderts fand in der Genal-schlucht ein gewaltiger Bergrutsch statt, der zeitweilig den Lauf des Genal-don verlegte.

Das Genal-donquerthal erweitert sich thalaufwärts plötzlich zu einem grossen Kessel, dem sog. Ssanibanschen Kessel, in welchem die Flüsse des Genal-don sich vereinigen. Dieser Thalkessel ist malerisch, er ist wild, da der Wald hier völlig fehlt. Der Kessel wird im Norden von steilen, jurassischen Felsen eingeschlossen, im Süden begrenzen die Abhänge des Adai-choch und Ssagalkany-choch, im Westen und Osten dagegen die weniger hohen Gehänge der Vorposten des Kasbek-chochmassive: rechts der Kaidjin (5,976 M.), geradeaus der Tschatsch-choch (5,982 M.) und links der Schan-choch; im Süden endlich treten noch die Felsen des mittleren Vorberges des Tschatsch-choch. Dieser springt mächtig in den Thalkessel hinein und theilt durch zwei vorspringende Bergwände zwei Hauptthalschluchten von einander, das Genal-donthal und das Kauri-donthal, an welche sich von rechts und links zwei Seitenthäler, das Fari-don- und Kari-donthal anschliessen, der Weise, dass in den grössten der genannten Flussläufe, den Genal-don von rechts der Kauri-don mit seinem Nebenflusse Fari-don, und links der Kari-don hinein fliessen. Die vereinigten Gewässer führt der Genal-don durch die Schlucht aus dem Boden des Thalkessels hinaus. Von den bezeichneten Seitenthälern ist das schönste—das Kauri-donthal, speciell das Quellgebiet des Kauri-don. Der Ssanibansche Thalkessel verdankt seine Entstehung den Erosionsprocessen und bildete sich aus seiner äusseren Form geschlossen werden kann, einst den Boden eines tiefen Sees; unabhängig davon sind aber auch die Spuren einstiger Gletscherwirkung zu bemerken.

Die petrographische Zusammensetzung der Gesteine, welche diesen Kessel bilden, zeigt einige Mannigfaltigkeit. Die verticalen Felswände bestehen aus mächtigen gleichartigen Jurakalken, während die Gehänge der drei Hauptvorberge und ihre Ausläufer bis hinauf zu den Gipfeln—dem Kaidjin, Tschatsch-choch u. a.—ausschliesslich aus dunklen, stummen Schieferen aufgebaut sind, die offenbar ein höheres Alter besitzen; südlicher auf der Kammlinie des Tschatsch-choch treten die Gneisse auf, welche endlich an den Abhängen des Kasbek Trachyten Platz machen. Auf der Böschung an einzelnen Vorsprüngen und Stufen der Wände des Thalkessels liegen die kleinen Aule verstreut. Links auf der Höhe einer Terrasse, am Fuss des Urs-choch, liegt Genal, der grösste sämmtlicher Aule, wie ein Adlernest auf der Felsenhöhe thronend; rechts liegt (2,500 M.) Stschikau, weiter auf der-

es, am Fusse der Felswand zwei Höhlen, am Rand Bäumen beschatteten kleinen Wiese. Das Gestein ist juramitischer Jurakalk. Zu der grösseren der beiden ist kaum bemerkbarer Fusspfad, den steilen, mit Gestein bedeckten Abhang hinauf. Diese Höhle bildet ein Gerüst. Länge bei circa 6—8 m. Breite und Höhe. Sie ist in Beziehung von Interesse, da sie die Opferhöhle des Ssawagels ist.

Der Weg zum Maliewgletscher führt von Oberbergab nach Fari-don, geht dann auf das rechte Ufer um einen vorspringenden Felsen herum führend, hinauf zum Genal-don. Darauf führt die Strasse über eine Höhe auf das linke Ufer zum, von Feldern umgebenen und (1509 M.) Aul Ober-Tmenakau. Auf schwer zugänglichen steilen Abhängen hebt sich hier nicht weit vom Wege die Ruine des alten Dorfes an. In Ober-Tmenakau gewinnt man einen schönen Ausblick über den ganzen Thalkessel und zum ersten Mal den Blick auf den Maliewgletscher, allein noch sind es 9 Werst bis zum Gletscher. Zunächst ist die Strasse in ziemlicher Höhe angelegt, sie allmählich hinab zum Flussbett des Genal-don. Der Weg ist recht schmal, von hohen steilen Felsen eingeengt. Die oberen und mittleren Theile der Schlucht bestehen aus Gneisen und Schiefen, oberhalb aber, näher zum Gletscher, treten paläozonische Schiefer auf. Die ganze Thalschlucht, vom Genal-don bis zum Gletscher, zeigt deutlich alle Charaktere eines einstigen Meeres; und zwar gehört diese Vereisung einer keineswegs alten liegenden Periode, ja sogar noch unserem Jahrhundert an. In der Hälfte des Weges an verfolgen wir zwei mächtige Uferwände, die an den Seiten der Schlucht, hoch über dem Bett der Schlucht reichen fast ununterbrochen bis zum Gletscherthor un-

eben mächtigen Blöcken von scharfkantigen Schiefen und Trümmern hindurcharbeiten.

Nachdem auf dem ganzen Wege von Tmenakau der Gletscher nicht völlig aus dem Gesichtskreis geschwunden war, zeigt er sich endlich in seiner ganzen Grösse erst 15 — 20 M. vor seiner Mündung vom Rücken einer Seitenmoräne aus. Ueber den Thalboden erhebt sich 10—12 M. hoch die wellige Masse der blaugrünen Zunge des Maliewgletschers, mit seinem tiefen Thor. Aus seiner Tiefe sprudelt dem Eise hervor der Genal-don. Zu beiden Seiten der, aus der Schlucht herausquellenden, Gletscherzunge ziehen sich die Wälle der Seitenmoränen.

Neben dem Ende der Gletscherzunge stehen auf einer recht hohen Terrasse einige niedrige Steingebäude, — eine ossetische Kurane. Hier entspringen nämlich auf einem Felsvorsprung fünf grössere einige kleinere heisse Mineralquellen, die bei den Osseten unter Namen Tmenakau-Korma-don bekannt sind; ausserdem eine oder kalte Quellen (Tang-don). Nach Analysen des Dorpater Professors Schmidt ist die chemische Zusammensetzung dieser Quellen folgende:

Auf 1.000,000 Theile Wasser:

Schwefelsaures Rubidium	5,03
Kalium	186,67
Chlorsaures Kalium	364,35
Natrium	5385,42
Magnesium	134,80
Bromsaures Magnesium	3,38
Phosphorsaures Calcium	0,42
Doppelkohlensaures Calcium	1006,69
Magnesium	89,31
Eisen	21,68
Kieselsäure	11,70
Feste Bestandtheile	7209,45

Die kalten Quellen sind eisenhaltig.

Die Temperaturen von 5 heissen Quellen sind nach Dinnik: 55°, 53,5°, 48°, 44° C.

Die Temperaturen von 2 heissen Quellen sind nach Pachtussow: 43,7° C.

Die Temperaturen von 2 heissen Quellen sind nach Rossikow: 54°, 53°, 47°, 45° C.

Diese Quellen werden nicht nur im Lande der Osseten als heilig angesehen, sondern auch weit über die Grenzen desselben hinaus. Selbstredend sind die Badevorrichtungen höchst primitiv, dennoch der Zudrang der Kranken, besonders rheumatischer und scrophulöser sehr gross.

Der Maliewgletscher ist der grösste der Gletscher des Kasbek; gehört zu den Gletschern erster Ordnung und liegt auf der mittleren

Diese Terrasse wird vom östlichen oder rechten
dessen Nährgebieten, den Firn- und Schneefeldern,

Der Kessel liegt westlich von der Terrasse, fast
jener; er ist von allen Seiten von einer hohen Felsbar-
rieren, welche durch Erosion und Exaration des Gesteins

Der Kessel ist nicht weniger als 4 Kil. lang und
einer mittleren Höhe von 3000 Metern. Die Böschung
50 M. auf 1 Kilom. Die ihn umrahmende, aus paläozo-
stallinischen Gesteinen gebildeten, Felsen fallen auf
Kasbek und des „Namenlosen“ Berges vertical ab, währen-
lich paläozoischen Schiefer von der Seite des Djimara-
geneigt sind. Hier entspringen eine Reihe von Mä-
Kessel wird vom linken oder westlichen Arm
eingenommen, in welchen noch einige Gletscher zu-
münden, deren Nährgebiet in weiten Firnfeldern im
südlichen und westlichen Theil der Felsbarrieren au-

Die Felsschlucht oder das Querthal setzt quer von
das genannte Massiv, und liegt zwischen den südlichen
bergen des Kasbek und Djimara-choch. Hier liegt der
strom.

Somit entsteht der Maliewgletscher, aus dem zwei
Hauptarme, deren Nährgebiet auf den Massiven zwischen
Kasbek, des „Namenlosen“, Tschatsch-choch und Djimara-

Der rechte Gletscherarm, der sich aus mehreren
Gletschern bildet, besitzt in seinem oberen Theile eine
höckerige, in seinem unteren eine stark von Spalten zer-
flächte. Bei der Höhe von 3300 Met. erreicht die Masse
ihr Maximum; hier bildet sich in Folge der Steilheit
grossartige Gletschercascade, unterhalb welcher der
ruhiger weiter fliesst.

Der linke Gletscherarm, wird aus 7 Gletschern

Der Eisstrom selbst, die Vereinigung der Gletscherarme in dem Thal, fliesst zuerst in NO-licher, dann in nördlicher Richtung, mit einer Ausdehnung von $2\frac{1}{2}$ Kil. bei einer Breite von 900 Met. Die Endmoränen haben hier stellenweise eine Höhe von 100 und mehr Metern; besonders auf der rechten Seite ist die Oberfläche von Moränenmaterial bedeckt, während die Mitte davon völlig frei ist. Im Gegensatz zu dem unteren Theil des Eisstromes, ist der obere Theil in der geringeren Neigung weniger von Querspalten zerrissen, als der untere. Auf der linken Seite des unteren Theiles des Eisstromes finden sich die meisten Querspalten, und zwar dort, wo er aus der Thalmitte in die N-liche Richtung übergeht, also eine Biegung macht, über welcher die Felsvorsprünge der linken Thalwand hindübergleitet. Das ist der interessanteste Punkt, denn hier sind nicht nur die schönsten Endmoränen, eine Gletschercascade en miniature bildend, sondern auch moulinées mit deutlicher nach allen Richtungen gehender Rundung und Politur, dômes arrondis, bei denen Stoss- und Leertümpel zu unterscheiden sind, ferner Gletschermühlen, Riesentöpfe, Eisbrücken etc. Die Gletscherzunge besteht aus reinem, in verschiedenen Farbentönen schimmerndem Eise. Die Schichtung des Eises ist sehr regelmäßig und auffallend deutlich zu sehen. Die Gletscherzunge endet mit einer schönen Grotte, in welche das Gletscherwasser führt. Die Endmoräne hat eine Höhe von 150 Meter.

Nach meinen Beobachtungen ¹⁾ in einem Zeitraum von 12 Jahren, zwischen 1882 — 1894; geht der Maliewgletscher zurück und verringert seinen Umfang. Das untere Ende des Gletschers ist in der Zeit von der festen Marke um 83,6 Meter oder fast 7 Meter zurückgegangen. Im Jahre 1894 stand das Ende der Gletscherzunge in 2,335 M. ²⁾ Höhe. Ferner hat sich die Höhe der Eiswand um 42,7 Meter verringert, und die Breite der Basis um 22 Meter, so dass die Höhe 1894 nur 11 Meter betrug. Das Gletscherfeld ist um die Hälfte kleiner geworden. Ebenso in Folge des Rückganges des Gletschers hat sich der Eisstrom an den Seiten von seinen Endmoränen getrennt, und dabei tiefe Eistrinnen gebildet, von welchen die linksseitige, tiefer liegende als der Felsvorsprung, über welchen der Gletscher hinweg gleitet,—einen 40 M. tiefen Eiskessel gebildet hat. Die Oberfläche dieses Kessels ist mit Spalten, Rissen und Löchern bedeckt, zwischen welchen Eiszacken, -felsen, -blöcke emporragen. Sie theils von Moränenschutt dedeckt, theils frei von ihnen. Besonders Aufmerksamkeit verdient der grossartige Einsturz am Boden des Kessels, in welchem die Wasser des Genal-don dahinstürzten. Dort hängen zwei in der Luft ragende Eisbrücken oder Viaducte hinüber, gestützt auf Eisfeilern und -bögen.

Rossikow, Sapiski d. K. R. Geog. Ges. B. XVII. 1895. pag. 109.

²⁾ 1882 war die Sohle der Gletschermündung 2,332 Meter über Meer.

tiges Ende. Zum Schluss sei noch bemerkt, dass von aus mehrere Besteigungen des Kasbek gelungen sind, Walley 1890, Pastuchow 1890 etc.) und zwar mit Feisarko Zarachow. Der Aufstieg dauert bei gutem V der Abstieg $5\frac{1}{2}$ Stunden.

Marschroute der Excursion zum Genal-

VON

Boris Kolenko.

1 Tag, 4/16 September. Aufbruch von Wladi 8 und 9 Uhr morgens. Der Weg führt nach Weste kurz vor demselben Wendung nach Süden in das T Die Thalöffnung ist gegen eine halbe Werst breit, sanft, mit Lärchenwald bestanden; die Höhe über de 700—800 Meter.

Je höher hinauf, desto enger wird das Thal, die höher, es zeigen sich Entblössungen von kreideähnliche gelben Kalksteinen; die ersten Profile sind am rechten, dann auf beiden Ufern. Das Gisel-donthal ist u lang, in gerader Linie, die Steigung auf dieser S Meter. Das Fallen der Kalkschichten bis 45° N.

Das Gisel-donthal endet beim Vereinigungspunkt ban und Genal-don. Ihr Zusammenfluss verursacht Erweiterung des Thales. Hier tritt mit scharfem Ke hinein, der die Querthäler des Koban (im WSW (SSW) trennt. Auf einem Hügel am rechten des C Waldwächterhaus. Die Berghänge sind mit dichte

if 20 — 30 Sashen. Ununterbrochene Profile durch Kalkschichten, fester, feinkörniger Sandstein (Quarzit) zwischengelagert ist. meines Fallen nach N; deutliche antiklinale und synklinale Falte ist ein beständiger Uebergang der Kalksteine in kieselige und grobe Schiefer zu bemerken, welche durch dunkelgraue, Kalkadern enthaltende Dolomite (?) verdrängt werden. Die Schlucht öffnet sich an der Mündung des Ssanib in den Genal-don. Die Waldvegetation ändert sich. Steile Felsgrate, Felsenmeere und senkrechte Felswände charakterisiren die Hochgebirgslandschaft, die dennoch den Osseten weiden, Wiesen, und Felder zu liefern im Stande ist.

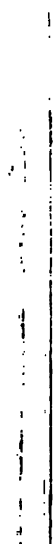
Von Ssanib an hat der Weg eine südliche Richtung längs dem Abhänge der oberen Genal-donquerthales, an dem Aul Kani vorüber durch den Aul Tmenakau (c. 1,800 Met.). Der petrographische Charakter der Gegend ist durch schwarze Schiefer gegeben, welche Thonschiefer (paläozoische) übergehen. Die Abhänge sind von herrlicher Alpenflora bedeckt. Nachtlager in Ssakli, einem Kurort der Osseten. Höhe über dem Meere c. 8,650 M.

3 Tag, 6/18 September. Besichtigung und Besteigung des Gebirges. Besichtigung der Mineralquellen, der heißen Karma-donen und der kalten Tuag-donquellen.

Im Jahre 1887 lagerte der Gletscher auf den Quellen; die heißen Quellen verursachten dabei eine riesige Eishöhle.

Zu den Thonschiefern gesellen sich nun krystallinische Gesteine. am Ende der Rückreise; die heiße schwefelhaltige Quelle am rechten Ufer des Genal-don; Aul Ssanib (1,400 Meter). Besichtigung des Kirchhofes, alte Turmruinen. Nachtlager.

4 Tag, 7/19 September. Marsch über den Chiachpass (1,900 Meter) zur Grusinischen Militärstrasse. Malerische, anmuthige Berglandschaft. Querthal des Ssorgom; Vegetation: Lärchen- und Kiefernwald. Petrographischer Charakter: schwarze Thonschiefer, Diorit- und Gabbro (Diabas?) — Gänge beim Abstieg in das Ssorgomquerthal; weiter Kalksteine. Ankunft auf der Grusinischen Strasse zwischen dem Fort Tschach und Lars um Mittag des 7/19 September.



XXIV

DE TIFLIS A BAKOU.

Gisements de naphte de Bakou.

PAR

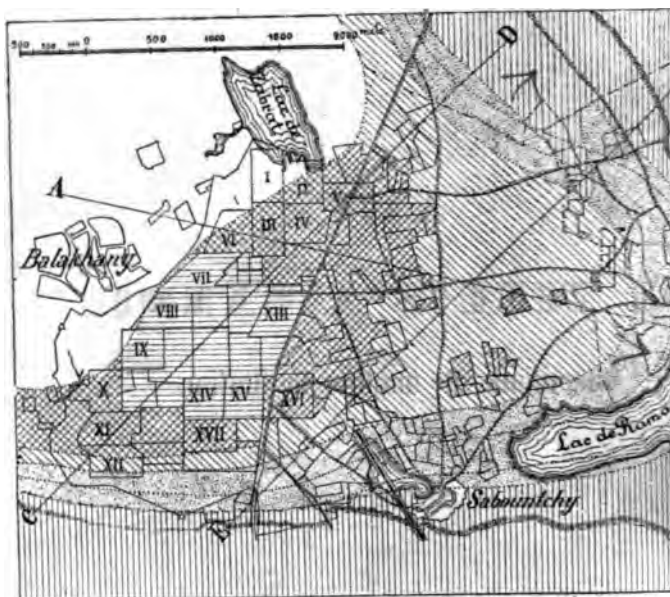
A. KONCHIN.

méraire: Tiflis-Bakou. Vallée de la rivière Koura. Pli anticlinal de Guéran. Aliat. Vallée de la Yassamala. Plateau de Bakou.

En se dirigeant de Tiflis à l'est, la ligne du chemin de fer traverse des roches paléogènes, grès compacts et marnes, plongeant rapidement vers le nord. Ces roches montrent leur plus grand soulèvement dans la montagne St-David, haute de 1,100 pieds au-dessus du niveau de la rivière Koura, où les têtes de leurs couches, recouvertes d'un bord d'alluvions de galets, sable et gravier, commencent à apparaître à 150 pieds au-dessus de la rivière.

Sur le trajet le long du cours moyen de la rivière Koura, la voie ferrée traverse, jusqu'à la presqu'île d'Apchéron, une vallée alluviale assez uniforme, recouverte par des dépôts fluviaux. Ce n'est que près de la station Guéran que surgit en ilot, de dessous les dépôts fluviaux, une anticlinale de sédiments néogènes, argiles brunes et grès, caractérisés par des issues de naphte.

Près de la station Adjikoboul la voie quitte la vallée de la Koura et s'engage sur des dépôts tertiaires. Les tranchées de la station coupent des couches oligocènes fort redressées, recouvertes par des calcaires coquilliers aralo-caspiens. Ces roches constituent le plateau faiblement ondulé de la presqu'île d'Apchéron dont les saillies saoudées se montrent au nord de la ligne du chemin de fer. L'altitude moyenne des saillies ne dépasse guère 1000 pieds. La longue période d'érosion a fait prendre aux points les plus élevés des contours orographiques très variés (Mont Kourtchez, Bakinskia-ouchi).



Calcaires aralo-caspiens.



Argiles et sables aquifères, recouvrant l'étage pro-
sement.

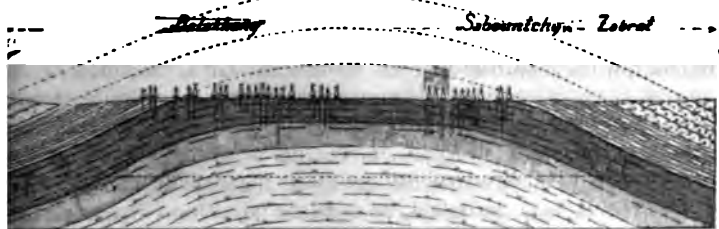


Jardins de Sabounitchy. Espace très naphtifère.

Coupe selon AB.



Coupe selon CD.



Coupe selon EF.



100 0 100 200 300 400 500 mètres



Calcaires
aralo-cas-
piens.



Etage d'argi-
les aquifères
diversement
colorées, re-
couvrant l'é-
tage naphti-
fère et conte-
nant par pla-
ces une naphte
du poids
spécifique de
0,820—0,840.



Etage pro-
ductif, très
abondant en
naphte du
poids spécifi-
que de 0,865
—0,875.



Etage des
sables et argi-
les aquifères,
formant le lit
de l'étage
productif et
contenant
une naphte
du poids spé-
cifique de
0,885 0,920.

de la Tassoul, l'axe d'érosion et de rupture des
Dans la vallée affleurent des dépôts oligocènes, sal
schisteuses, le tout soulevé en anticlinale. Les somm
la vallée sont recouverts d'une calotte de calcaires c
que aralo-caspienne.

Au-delà de la station Baladjary la voie s'engage
Bakou qui est constitué par les mêmes calcaires c
souvent dénudés ou bien recouverts d'une mince cou
tale. Ces calcaires forment une auge à pentes do
s'étendant sur 15 verstes dans le sens de la latitude
la moitié dans la direction du méridien. Le fond de
occupé par la baie de Bakou, au bord de laquelle se
théâtre la ville de Bakou avec ses distilleries de nap

Itinéraire: Sabountchi, Balakhany, volcan de boue I
Sourakhany, Bibi-Eibat.

A la structure de la péninsule d'Apchéron pr
ment part:

I. Des dépôts posttertiaires des étages c
moderne: loess, argiles à *Cardium catillus*, gravier,
diments littoraux coquilliers, le tout mêlé d'éjection
produits d'oxydation de naphte (kir) des volcans anc

II. Des dépôts du système tertiaire:

1) calcaires coquilliers, sables, argiles et grès du
caspien tant supérieur qu'inférieur.

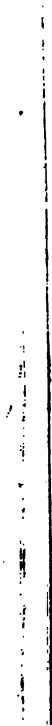
2) sables naphtifères, aquifères ou secs, grès et
gocène.

3) marnes et schistes à restes de poissons de
rieur.

Le trajet de Bakou aux terrains naphtifères

Les roches naphtifères sont des sables et des grès oligocènes. Les sables et marnes du même âge contiennent aussi de la naphte, mais en quantité pour autant moindre que ces roches sont considérées improductives. Les strates oligocènes forment un pli anticlinal à flancs inclinés dont l'axe de soulèvement se dirige de Balakhany au lac Ramaninsky. Cet axe n'est pas horizontale, mais doucement incliné du nord-ouest au sud-est. De cette manière la totalité de l'étage naphtifère dont la tête affleure aux environs de Balakhany, plonge faiblement vers Ramany et, plus loin, vers Sourakhany. Là cet étage va disparaître sous des argiles verdâtres et brunes dépourvues de naphte, recouvertes de couches de sable aquifère et recouvertes de calcaires aralo-caspiens. En suivant les couches de l'étage naphtifère affleurent entre la sopka Bogboga et le lac salé Biouk-chor, on remarque qu'elles se dirigent de l'ouest à l'est, le long des lacs Sabountchisky et Ramaninsky. Là elles tournent vers le nord et puis vers le nord-ouest, de Ramany à Zabrat. Le terrain le plus riche en naphte s'étend en triangle, sur une superficie de 10 verstes carrées, entre Balakhany, Sabountchi et Ramany. Les ailes du pli, l'une pendant de Sabountchi vers Biouk-chor, l'autre de Ramany vers Zabrat, deviennent de plus en plus pauvres en naphte, à mesure que l'on s'éloigne de la partie centrale du gisement. La puissance de la totalité des couches naphtifères est de 50 à 125 sagènes à Balakhany, et de 250 sagènes à Ramany et Sabountchi. Le gisement comprend de nombreux étages de sables naphtifères richement imbibés de naphte, séparés par des strates d'argiles imperméables aux gaz et à la naphte. Au gisement triangulaire entre Balakhany, Sabountchi et Ramany, les calcaires aralo-caspiens ne forment qu'une bordure qui va tout autour, tandis que l'espace du milieu en est dépourvu. Entre Ramany et Sourakhany les calcaires sont restés entiers. La présence du gisement de naphte ne se manifeste près de Sourakhany que par de nombreux points d'émanations très énergiques de gaz inflammables arrivant au jour par les fissures des roches. Près de Balakhany les gaz, rejetant de l'eau et de la boue, ont formé la sopka Bog-Boga.

Le terrain naphtifère de Bibi-Eibat est situé à 5 verstes au sud de Bakou, dans une petite vallée d'érosion et de déchirure des couches oligocènes, au bord de la mer Caspienne. La structure et le caractère des roches y sont complètement analogues à celles de Balakhany-Sabountchi. Le pli anticlinal plonge doucement vers le nord, l'est et le sud. La tête de l'étage naphtifère affleure en de nombreux points au bord de la baie, le plus souvent sous l'eau, de sorte que les gaz et la naphte entrent en abondance dans la mer. La partie de derrière est recouverte en hémicycle par les calcaires aralo-caspiens.



XXV

DE SOURAM A KOUTAÏS

PAR

le chemin de fer transcaucasien.

PAR

S. SIMONOWITSCH.

Bibliographie:

La littérature régionale que pour „L'excursion générale le long de la Rion“ et

zokin et Simonowitsch, La vallée de la rivière Tchkhéréméla (Mat. pour la géologie du Caucase, 1885—1886).

zokin et Simonowitsch, Carte géologique du gouv. de Koutaïs.

La bourgade Souram est située au débouché d'une gorge assez pe qui s'ouvre dans la plaine de la Koura.

Cette gorge est parcourue par la rivière Souramoula. On y voit cloppés des grès rougeâtres, marneux, compacts et friables, de l'âge sarmatique. Constituant les crêtes des montagnes qui bordent Souramoula au N et au S, les grès sarmatiques s'affaissent graduellement du côté de la vallée de la Koura et plongent, près de la jonction Mikhaïlowo, sous les alluvions de la plaine. Vers l'ouest, du fait du faite, les dépôts sarmatiques affleurent un peu à l'ouest du chemin qui passe par la station. Au milieu de la vallée, au point où est située Souram, les dépôts sarmatiques sont presque entièrement portés: ils ne se sont conservés entiers que dans un roc isolé qui s'élève sur la rive gauche de la Souramoula, dominant le village et portant les murs d'un ancien château fort. Le plongement des grès de ce roc est SW 3h—4h / 25°. Du côté du faite surgissent de dessous les grès sarmatiques des calcaires cénoniens à *Ananchites ovatus* et *Ceramus Cuvieri* dans les horizons supérieurs, à *Galerites albertus* dans les inférieurs. L'orientation générale du plongement des

calcaires sénoniens étant SW, leurs affleurements dans la direction de l'ouest se terminent plus rapidement dans les hauteurs sur la rive gauche de la Souramoula que dans celles de la rive droite, où passe le chemin de fer; ici ces calcaires s'étendent jusqu'à un point, connu sous le nom de „Itriyskaïa Nassyp“ (Remblai de l'Itria). De l'autre côté du ravin de l'Itria il y a déjà affleurement de roches turoniennes à *Inoceramus labiatus*, assez fréquent dans les argiles de couleur claire. Les dépôts turoniens, traversés par un tunnel, plongent vers SE 7h—8h sous un angle de 10 à 12°. Plus près de l'Itriyskaïa Nassyp les couches sont plus inclinées et leur direction dévie vers SE 9h. La même chose a lieu dans les grès glauconieux fortement calcarifères et les calcaires gréseux qui émergent de dessous le turonien près de la dernière guérite avant d'arriver à la station Poni. A une toute petite distance de la station apparaissent des grès glauconieux verts et gault, dont les horizons supérieurs, visibles au-devant, en face et au-delà de la station, semblent être dépourvus de fossiles, tandis que les couches qui se voient devant et derrière le réservoir d'eau, en contiennent en abondance. On y trouve surtout: *Hoplites* (*Desmoceras*) *Beudanti* Brong., *Desmoceras Mayorianum* d'Orb., *Acanthoceras mamillare* Schloth., *Phylloceras subalpinum*, *Phylloceras Velleda* Mich., *Belemnites minimus* List., *Belemnites semicanaliculatus* Bl., *Belemnites pistiliformis* Bl., *Nautilus laevigatus* d'Orb., *Panopaea plicata* d'Orb., *Cerithium ornatissimum* Desh., *Scalaria dupiniana* d'Orb., *Avellana inflata* d'Orb., *Terebratula biplicata* Lam., *Rhynchonella Lamarkiana* DeFr.

La station Poni, le point le plus élevé de la voie ferrée de Poni à Tiflis, est située à 3055,15 pieds (916,6 mt.) au-dessus du niveau de la mer. A l'ouest, aussitôt après le réservoir d'eau, commence la descente dans le gouvernement de Koutaïs. Le faîte Souram (Poni) qui a une altitude de 3027 mètres au-dessus du niveau de la mer, qui forme la ligne de partage des bassins des mers Noire et Caspienne.

quelques sagènes plus haut. Quoique les calcaires à caprotinontés de marnes et de calcaires de la zone à *Ostrea Couloni* constituent le faite même de l'arête, ils n'ont aucune part à la formation des hauteurs s'élevant au sud et au nord de cette ligne de séparation des eaux. Les montagnes situées vers le nord sont composées de seuls granites, contre lesquels les calcaires à caprotines viennent buter que du côté est. Les hauteurs les plus proches, vers le sud, consistent également en granites, alors que dans l'étage inférieur de la section éocène viennent s'ajouter aux granites de celles qui se trouvent plus loin. L'affleurement des granites tend en bande continue le long de la chaussée et de la voie jusqu'au hameau Tsina. Le massif de ce granite est en plusieurs endroits traversé par des filons presque verticaux d'une variété plus commune. Les veines de mélaphyre et de diabase, si ordinaires dans les montagnes Mesques, ne s'observent point ici, sauf une ou deux au moins dans les affleurements existants; par contre on y voit de nombreuses sorties de porphyrite amphibolique (fig. 1).

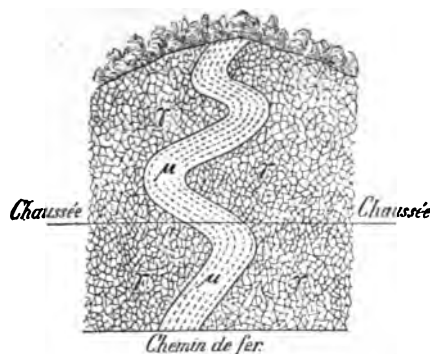


Fig. 1. γ — granite; μ — porphyrite.

Plus loin en aval, la gorge de la Tchkhéréméla, jusqu'ici étroite, s'élargit en vallon assez large, occupé par le hameau Tsipa. Là les granites vont disparaître, immédiatement à côté de la chaussée, sous des calcaires à *Caprotina Lonsdalei*; puis, tournant vers le nord et longeant les arêtes dominant la rive droite de la Tchkhéréméla, les granites reparaissent sur la rive gauche, au-delà du pont du chemin de fer. Plus loin de la station postale Molita, abandonnée aujourd'hui. Sur une certaine distance ils forment donc pour ainsi dire un golfe de peu de profondeur, le golfe comblé de dépôts crétacés et jurassiques, les premiers développés vers l'est, les seconds vers l'ouest. Le milieu du vallon de Tsipa est occupé par des dépôts du gault qui est ici représenté d'une manière assez complète.

Les calcaires à caprotines sont directement surmontés par une couche de calcaires argileux gris clair contenant de grands individus

Ces marnes friables supportent, dans les tranchées, des grès marneux à glauconie, grisâtres, ou d'un brun, à faune caractéristique, analogue à celle des stations Poni (*Desmoceras Beudanti* d'Orb., *Acanthoceras* Schloth etc.).

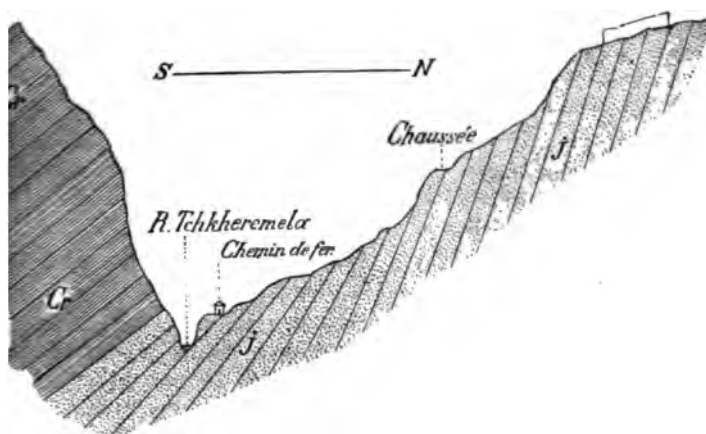
Semblablement aux calcaires à caprotines, les gaults, développés près de Poni, contournent les granites, entrent dans le vallon de Tsipa du côté oriental et en sont comblés, du côté occidental, devant les limites de Tskhumi.

Plus loin, quittant la région des roches de l'horizon *semicanaliculatus* à proximité des limites de Tskhumi, on va traverser des calcaires, d'abord de l'horizon à *Anthonianum* d'Orb., puis de l'horizon à *Caprotina Lonsdalei* sous les calcaires à *Caprotina Lonsdalei* apparaisse la rivière Oukhérem, des dépôts du système jurassique d'origine indubitablement plus ancienne forme un flot crétacés. En partie ces dépôts crétacés sont disposés comme le sont les calcaires à caprotines et une partie de l'horizon à *Ancyloceras Matheronianum* d'Orb., recouvrent, comme par ex. les horizons supérieurs des *Ancyloceras*.

Le vallon de Tsipa, borné au nord, comme nous l'avons vu, par des hauteurs composées de granite, est délimité par une bande d'élévations à pente raide, constituées exclusivement de roches de l'étage inférieur du système éocène. C'est la base de tous les dépôts tertiaires des gouvernements de Tiflis et qui joue un rôle considérable dans la formation du massif de l'arête Akhaltsikhsko-Imérétinsky. Sur la base des roches de l'étage inférieur de l'éocène présente le même caractère nétrogranhienne. Ces roches sont :

de Tsipis-guélé jusqu'à Tskhovrébi et même jusqu'à Bejatou-voie ferrée, la chaussée et le défilé parcouru par la rivière Béjéta, suivent presque la même direction que la stratification des jurassiques (fig. 2). C'est pourquoi on ne voit apparaître sur tout ce, malgré le grand nombre et l'étendue des affleurements, qu'une relativement peu épaisse de couches jurassiques se rapportant au meridgien. Parmi les dépôts qui recouvrent les roches mentionnées haut, les plus anciens sont des calcaires à caprotine du système jurassique; d'un autre côté, les roches sous-jacentes les plus récentes sont plus souvent des grès de l'étage oolitique du jurassien moyen, enrichi par la présence de charbon et de formes végétales, telles que *Cerophyllum Caucasicum*, *Pecopteris exilis*, *Zamites* etc.; plus récemment ce sont des grès et des calcaires à *Rhynchonella lacunosa*.

Bolotoubani.



2. Cr — Calcaire à caprotines; J — tufs et grès du système jurassique (étage kimmeridgien).

ge Chrocha et Oubissi sur la riv. Dziroula, village Tsipilawaki, (Awirila près du village Sagwiné), appartenant à l'étage oxfordien. Les dépôts kimmeridgiens, développés le long de la rivière Tchkhéré, en aval de Tskhovrébi, surgissent de dessous les calcaires à caprotines au niveau de l'eau; puis, au point où la voie ferrée traverse le défilé, une puissante assise de porphyrite amphibolique, ils s'élèvent haut dans la berge escarpée, en repoussant les calcaires vers l'aval. En cet endroit, ainsi qu'aux alentours de la station Béjétoou, on voit principalement des tufs porphyritiques alternant avec des grès de porphyrite amphibolique. Le diabase (diabase-porphyrite) et les schistes qui l'accompagnent, passent, au-dessus de la station, dans la direction de la gorge et s'abaissent ensuite vers la rivière. En descendant

thoceras mamillare Sch., *Belemnites semicanaliculatus minimus* List., *Belemnites pistiliformis*, *Turbo* et *Terebratula biplicata* Deffr.

Ces grès glauconieux verts reposent sur des calcaires compacts à *Ostrea Couloni* Derf., *Thetis minor* Scudiformis d'Orb., *Waldheimia tamarindus* Dav., d'Orb.

Les calcaires à *Ostrea Couloni* reposent sur des calcaires à *Caprotina Lonsdalei* d'Orb., *Pleurotomina* d'Orb. et *Nerinea* sp. qui occupent l'escarpement sous-jacent des maçonneries du pont.

Dans un petit affleurement de grès jurassiques ferrugineux, en aval du pont Molitsky, le grès, superposé au granite, s'est transformé en quartzite finement lamellaire, fissurée en petites dalles séparées.

La stratification des grès jurassiques et du quartzite plonge vers SE d'environ 11° sous un angle de 4°.

A partir de là les deux pentes du défilé de la Tschirch, sur une dizaine de verstes, presque exclusivement traversées en maints endroits par des filons de roche récentes. Les derniers affleurements des granites se trouvent à la station Marilissa au point de la jonction de la Tschirch avec son affluent gauche, le Legvniß-guélé, où viennent au-dessus des granites, des dépôts sédimentaires du système des grès verts du hameau Sagandzila). Les granites de couleur rougeâtre sont uniquement développés entre le pont Molitsky et le pont de l'embouchure de la Wakhan, où la Tschirch se jette dans le Wakhan.

nnel de Marilissa, ces granites se voient traversés par une grande tité de filons de diverse épaisseur.

Vers l'aval de la gorge réapparaissent principalement des granites et on peut les suivre jusqu'à un petit pré où ils font place, dans l'arpement de la rivière, à une andésite augitique foncée qui s'étend les deux rives de la Tchkhéréméla jusqu'à l'embouchure de la rhan.

Dans le voisinage de la station Marilissa on voit principalement granites gris foncé. A la station affleure un filon vertical de diabase. Le tunnel qui prend son commencement près de là, perce un gneiss sombre très micacé, passant çà et là à un granite gneissique et gneiss. Au-dessous du tunnel les filons sont beaucoup plus nombreux; sur une distance de moins de deux verstes jusqu'à l'embouchure de la Legvniss-guélé on peut en compter plus d'une vingtaine, d'une épaisseur variant entre 0,7—1,4 m. et 6,4—8,5 mt., de préférence diabase, diabase-porphyrite, rarement mélaphyres ¹⁾.

Au-delà de l'embouchure de la Legvniss-guélé les granites sur les rives de la Tchkhéréméla font bientôt place à des grès du gault, passant en couches presque verticales principalement sur le côté gauche de la rivière, entre la Legvniss-guélé et la Djoudjouri (Wanissali), avec direction vers SW. Plus loin, vers le sud, l'inclinaison devient moins forte et bientôt ces grès disparaissent sous des horizons plus récents du système crétacé, notamment sous des calcaires glauco-lux cénomaniens.

L'andésite augitique qui apparaît pour la première fois en face du village Lamass-saplawi, y affleure entre les grès du gault et les granites. La même roche y constitue une colline, sur laquelle se voient les ruines de l'ancien castel Tchkhériss-tsikhé qui défendait autrefois l'entrée de la gorge, étroite en ce point, de la Tchkhéréméla.

Les relations mutuelles de l'andésite et des grès du gault sont représentées sur les figures 3 et 4.

Le mélaphyre traverse la Tchkhéréméla près du pont du chemin de fer. Après avoir atteint une certaine hauteur de la pente, le dyke diabasique s'étend parallèlement à la Tchkhéréméla, à partir du point parcouru par la rivière Zaraniss-guélé, restant visible sur toute la distance. Ensuite, derrière la station Karnalis-gwerdi, il disparaît sous les grès qui l'entourent, sous les dépôts du système crétacé.

Entre l'embouchure de la Zaraniss-guélé et la station Biélogory, on voit l'andésite augitique.

¹⁾ Une gorge près de là, parcourue par la Bjoliss-Khéwi, affluent gauche de la Tchkhéréméla, montre à la base des sédiments du crétacé, cénomaniens et turoniens. Les pentes des hauteurs qui bornent la gorge au nord, sont constituées en partie par des calcaires cénomaniens et surtout, par des grès du gault; les faîtes par des granites. Les hauteurs qui s'étendent au sud du défilé, consistent en roches cénomaniennes et principalement en roches de l'étage inférieur de l'éocène. Le fond de la gorge est formé de dépôts du système tertiaire.

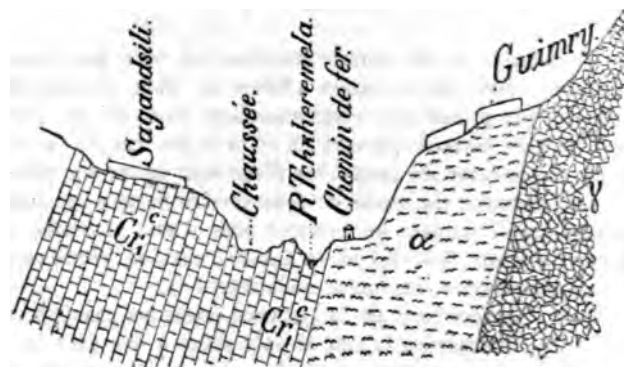
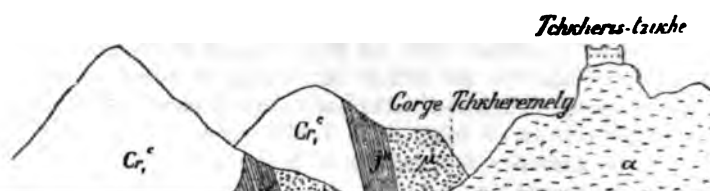


Fig. 3.



La figure suivante montre la configuration de la localité, vue de voie ferrée:

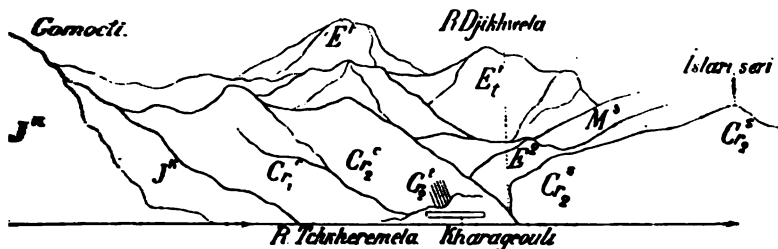


Fig. 5. M^1 — Roches sarmatiques. E^2 — Roches de l'étage à poissons de l'éocène. E^1 — Roches de l'éocène inférieur. C_2^s — Calcaires sénoniens. J^k — Argiles, marnes turoniennes. C_2^c — Calcaires cénomaniens. C_2^c — Grès du gault. J^k — Grès kimmeridgiens.

Les rapports mutuels des dépôts tertiaires se voient sur le profil relevé à la rivière Djikhwéla (fig. 6).

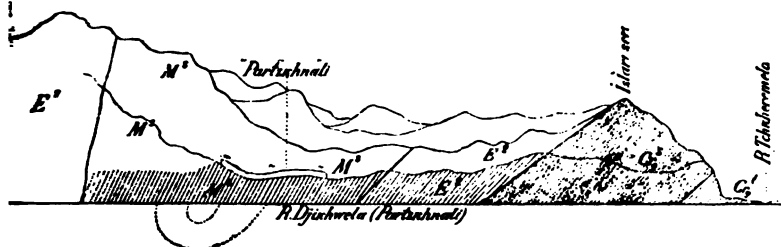


Fig. 6. M^1 — Roches de l'étage sarmatique. E^1 — Roches de l'étage inférieur de la section éocène. E^2 — Roches de l'étage à poissons de la section éocène. C_2^s — Calcaires du sénonien. C_2^c — Marnes et argiles du turonien.

Comme le fait voir le profil, les roches sarmatiques se tiennent près de l'éocène presque verticalement, avec plongement vers le sud, c'est-à-dire elles sont quelque peu renversées.

La roche dominante des dépôts sarmatiques de la Djikhwéla est une marne compacte siliceuse d'un gris foncé un peu verdâtre, formée principalement des roches éocènes du voisinage. Dans cette marne on trouve de nombreux moules de *Venus pulchella* Dub.

Les roches de l'étage à poissons qui surgissent du dessous du sarmatique à peu près au milieu du village Partskhnali, occupent toute la moitié nord de la vallée longitudinale. Immédiatement de dessous les grès de l'étage à poissons surgissent les calcaires du sénonien qui constituent presque seuls l'Isslari-séri, hauteur qui sépare, à gauche de

Le premier aménagement des roches crétacées se voit la voie ferrée traverse en aval de la station un petit défilé est exclusivement constitué par des calcaires cénomaniens auxquels se montrent, dans un petit escarpement, les grès plongeant, de même que les calcaires cénomaniens, vers le sud.

Le profil 7 est pris dans la direction SE—NW le long de la Tchkhérémla, entre la station Biélogory et la station Tchkhérémla.

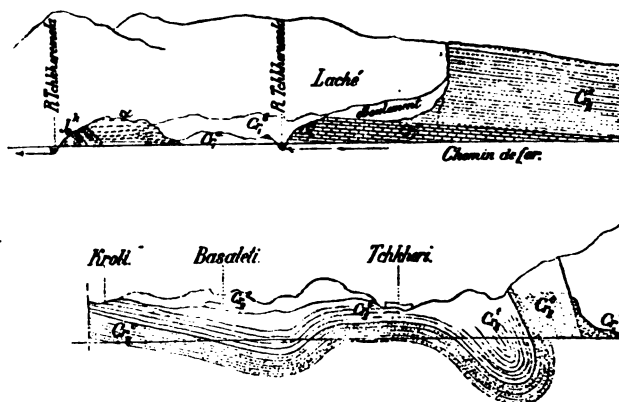


Fig. 7. α — Andésite augitique. Cr_2^s — Sénonien. Cr_2^t — Les turoniennes. Cr_2^c — Calcaires cénomaniens. Cr_1^c — Grès de la série à *Desmoceras Mayorianum* d'Orb. Cr_1^a — Calcaires et marnes de la zone à *Ostrea* (Kimmeridgien).

Le profil montre qu'après les grès du cant de la station Tchkhérémla.

la vallée Laché, une série de grès verdâtres du gault émerge de sous les calcaires cristallins du cénomanién, d'abord dans le lit de Tekhheréméla, puis dans la coupe sur la rive droite, près de la ferrée. Ces grès verts sont accompagnés de grès argileux et mar- et de marnes calcarifères. Les horizons supérieurs sont dépourvus d'organismes organiques; les horizons inférieurs au contraire en renferment ombre assez considérable: *Desmoceras Beudanti* Brong., *Desmo-* : *Mayorianum* d'Orb., *Acanthoceras mamillare* Schlot., *Belem-* : *minus* List., *Belemnites semicanaliculatus* Bl., *Cerithium* : *tissimum* Desh. etc. Les marnes, les argiles et les calcaires du : contiennent *Ostrea Couloni* Deffr.

Dans la moitié occidentale de la vallée Laché, non loin du tunnel Krassny, surgit de dessous les grès verts de la zone à *Desmo-* : *s Beudanti*, une série d'argiles, de marnes et de calcaires du gault à zone à *Ostrea Couloni* Deffr. Les horizons supérieurs de cette : consistent principalement en argiles et marnes très argileuses. Les ces roches renferment la faune suivante: *Nautilus Necheria-* : *Pict.*, *Nautilus nov. sp.*, *Acanthoceras crassicostatum* d'Orb., : *Illoceras Velledue* Mich., *Belemnites semicanaliculatus* Bl., *Ostrea* : *loni* Deffr., *Trigonia daedalea* Park., *Cyprina cordiformis* d'Orb., : *Spaca plicata* d'Orb., *Waldheimia tamarindus* Dav., *Terebratula* : *stoniana* d'Orb., *Rhynchonella lineolata* Phil., *Rhynchonella La-* : *kiana* d'Orb. etc.

Pour être plus clair nous donnons le profil de cette coupe (fig. 8) avec le long du chemin de fer ¹⁾.

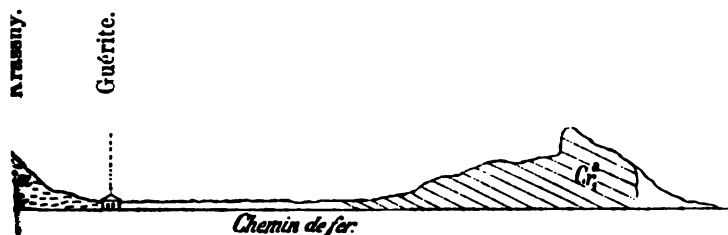


Fig. 8.

Les calcaires argileux et les marnes de la zone à *Ostrea Couloni* Deffr. accompagnent, près du tunnel Krassny, l'andésite augitique, que l'on peut l'observer dans l'affleurement du côté gauche (sud-occidental) du chemin de fer. Le membre le plus inférieur des dépôts locaux, le calcaire à caprotines qui supporte ordinairement les argiles et les marnes, n'y est pas visible; on le voit pour la première fois distinctement à droite de la Tekhheréméla, près du village Twerki. Cette circonstance et le fait que de l'autre côté de l'affleurement de l'andésite, à l'extrémité occidentale du tunnel Krassny (fig. 8), appa-

¹⁾ La signification des lettres est la même que celle du profil 7.

STATE OF NEW YORK

1

XXV_A

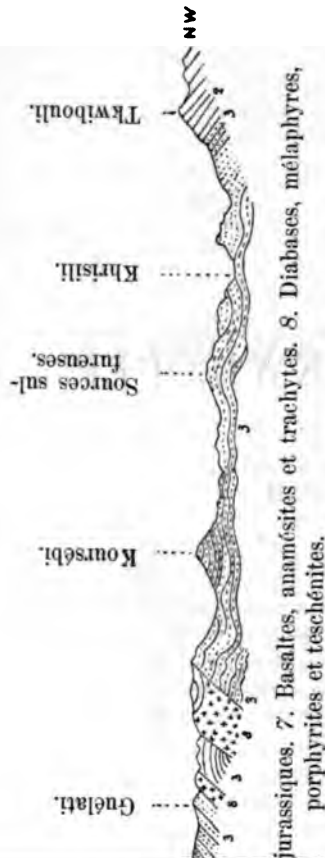
EXCURSION A TKWIBOULI

PAR

S. SIMONOWITCH.

Bibliographie.

- s de Montpéroux. Voyage autour du Caucase etc. Paris 1839—43. Six volumes et un atlas.
- Vergleichende geol. Grundzüge etc. Prodrömus einer Geologie der kaukasischen Länder. 1858. St. Petersburg.
- Quelques observations sur la houille découverte en Imérétie. Journ. d. mines. 1847, (en russe).
- Aperçu de mes voyages en Transcaucasie en 1864. Moscou 1865. Soc. Imp. des naturalistes de Moscou.
- ert. Ueber das Vorkommen von Liaspflanzen im Kaukasus etc. Abhandlungen der Schles. Gesellschaft für Vaterl. Cultur. 1861.
- re. Recherches géologiques dans la partie centrale de la chaîne du Caucase. Genève. 1875. Accomp. d'une carte géol. etc.
- . Jahrb. der K. K. geol. Reichsanstalt. 1864 (Analyses comparatives).
- witch et Simonowitch. Description géologique d'Okriba. Tiflis. 1873. Avec une carte géologique.
- owitch, Sorokin et Batzéwitch. Description géologique d'une partie des districts de Koutaïs et de Charopan du gouv. de Koutaïs, Tiflis, 1874. Avec une carte géologique.
- owitsch, Sorokin et Batzéwitch. Description géologique de quelques parties des districts de Koutaïs, Letchkhoun, Sénak etc. Mat. pour la géol. du Caucase. 1875. Avec un atlas.
- skoï. Les gisements de houille de Tkwibouli. Journ. des mines. 1893. № 5—6, p. 181. Analyses.



Voir aussi la bibliographie dans le long de la Riv.

Cartes topographiques, 15 verstes dans le glais, publiées par la Commission topographique de l'Etat.

Cartes géologiques jointes aux travaux des géologues de la Commission et de E. F. Simonowitch et Sorokin. Carte géologique d'une partie du gouv. de Koutaïssie, avec un texte explicatif par l'Adm. min. en 1887. Tit.

Okriba, situé au nord de la ville, est une vaste vallée de la formation tertiaire, large de 20 kilom., et presque de tous les côtés de la vallée crétacée. Les eaux ne trouvant pas de débouché dans la plaine de la Colchide par le défilé Tskhal-tsirel et de la Dzérouli. Cette rivière a sa naissance, ainsi que de nombreux autres peu importants (Tchirdili, Moukhnari etc.), au flanc sud de la chaîne de Nakéral et se continue sous le nom de Tkhibouli, en traversant une as-

téri, à 641 pieds de hauteur absolue, et vont se continuer sous les
de Dzérouli et Chabi-tzkhal. Le côté intérieur de la vallée d'O-
na est occupée sur toute son étendue par de puissantes couches du
jurassique, composées de roches détritiques avec marnes schis-
tes et schistes, de grès argileux à charbon fossile, de diabases et
teschénites (fig. 1).

Du côté du bas cours de la Tzkhal-tzitela, au nord-est de Koutaïs,
la vallée se termine par les dépôts continus du gault dont nous avons
parlé dans le „Guide le long de la Rion“. Le calcaire à *Capro-*
ammonia d'Orb., s'étendant vers Guélati et Mozaméti, forme
le premier de ces monastères une élévation qui atteint 1,143 pieds de
hauteur absolue et dont l'escarpement est tourné vers le nord-est. Ces
dépôts y recouvrent une assise d'argiles bigarrées, superposées à des
craie à *Pecopteris exilis* Phill. avec intercalations de charbon. Aux
environs du village Koursébi, on voit deux couches de charbon sé-
parées par un grès micacé (fig. 2). Des sondages, enfoncés dans la
craie supérieure, ont montré qu'à la profondeur de 10 saǵènes elle

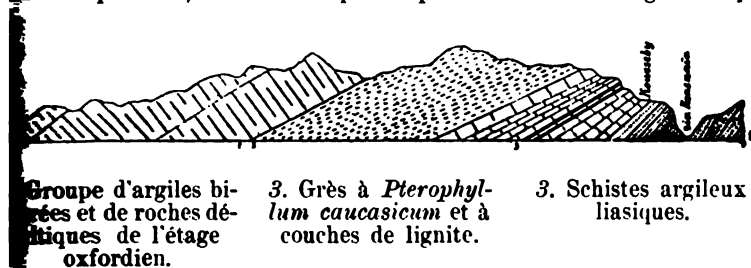


Fig. 2.

mesure 1 arch. 10 verch. d'épaisseur, avec plongement au SO 12°. La
craie inférieure est moins importante. Le charbon est assez compact.
L'analyse y a constaté:

Humidité	5,40 %	
Matières volatiles	20,55 "	
Coke	74,70 "	{ charbon—38,30 % —35,75 "

Donne un coke non agglutinant.

Les grès recouvrent les puissants schistes liasiques qui forment la
base centrale de la cuvette. Ce n'est que dans le lit de la Tzkhal-
téli que des nappes de diabase, et surtout de teschénite, viennent in-
terrompre les grès. Outre le charbon, on trouve partout dans les grès
des troncs d'arbre, parfois silicifiés, parfois transformés en lignite noir
compact. Des traces de lignite se rencontrent dans toute la région de
la vallée d'Okriba, à Naboslébi, Tcholéwi etc. Des teschénites et diaba-
ses se trouvent, le long de la vallée de la Tzkhal-tzitéli, au pied des
monastères Guélati et Koursébi, dans les alentours des villages Man-
dori et en d'autres points.

Les schistes liasiques, partout plissés, se dirigent, avec les intercalations de grès, au nord, pour aller former, au pied du socle, le socle du gisement de houille de Tkwibouli, et disparaître, sous la houille, sous le massif de l'arête, en plongeant ici (fig. 3).

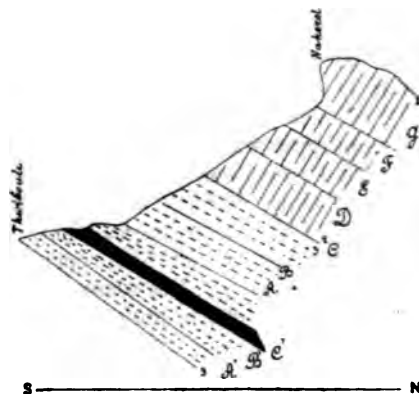
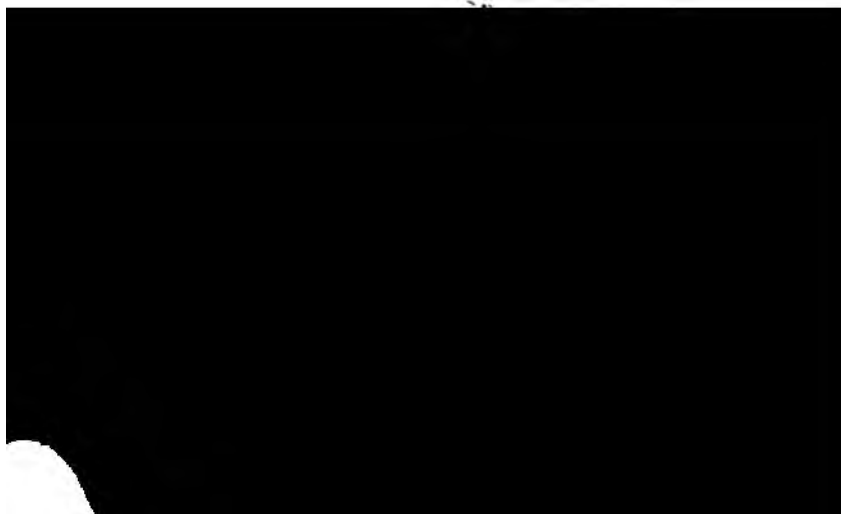


Fig. 3.

Les gisements de houille de Tkwibouli n'étaient d'abord connus, dans toute leur épaisseur, que dans la colline Ougrébi à l'est, dans le Samtchréli ou Kédour, où, dit-on, on exploitait le fer oligiste contenu dans la masse de la houille. L'épaisseur des couches de charbon, avec le schiste carbonifère et le grès qui les recouvre, est d'environ 20 m. (fig. 4). Parmi les restes végétaux



trouvés dans les formations oolithiques de Stonesfield, et des *Coniferae* déterminables.

Les analyses comparatives suivantes de Hauer, tirées de l'ouvrage L. Favre, montrent la nature de la houille de Tkwibouli:

	Tkwibouli.	Grossau.	Gresten.	Hinterholz.	
Eau	1,9	1,3	1,1	—	%
Cendres	8,5	10,1	3,9	6,5	
Coke		57,8	66,1	66,3	
Unités calorifiques	62,40	55,75	65,57	63,33	

La coupe 4 montre la corrélation et la disposition des couches de charbon et des roches encaissantes.

Nous avons dit plus haut que les schistes liasiques plissés, qui portent le mur du gisement de Tkwiboul, plongent vers le nord, en paraissant sous la montagne Nakéral. La pente sud de l'arête est formée, dans l'ordre ascendant, des roches suivantes (fig. 3):

- A' — Schistes liasiques.
- B' — Grès.
- C' — Charbon.

Au grès sont superposés:

- A — Conglomérats granitiques.
- B — Argiles micacées, grès bigarrés et sables.
- C — Argiles calcarifères avec rares intercalations de calcaire.
- D — Calcaires dolomitiques d'une puissance atteignant 20 m., contenant de rares *Terebratula Moutoniana* d'Orb.
- E — Alternance de calcaires, grès et dolomies, intercalés parfois de minces couches de houille, et contenant de petites *Nerinea* et *Caprotina* etc.
- F' — Calcaire semi-cristallin, semblable à celui de Koutaïs, partiellement dolomisé, à *Caprotina ammonia* et rares *Terebratula Moutoniana* d'Orb.
- G — Forme la crête de l'arête qui atteint 1,237 m. d'altitude absolue.

Les roches F' et G ont ensemble une puissance d'environ 24 mètres.

XXVI

DE LA STATION MIKHAÏLOWO,

PAR

Borjom et Abas-Touman, à la station Rion.

PAR

A. KONCHIN.

Itinéraire: Station Mikhaïlowo. Vallée de la rivière Koura. Arête du Souram. Arête Akhaltsikho-Imérétinsky. Gorge de Borjom. Plateau de Borjom. Eaux minérales de Borjom.

Le rameau de Borjom du chemin de fer du Transcaucase tourne, pied du Souram, de Mikhaïlowo au SW pour se diriger, le long de la vallée de la Koura, vers Borjom. Sur le parcours entre le Souram et la station Mikhaïlowo on aperçoit le profil complet des dépôts créacés. D'abord ce sont des calcaires et des marnes friables du gault à *Protina Lonsdalei* et *Ostrea Couloni* qui affleurent, puis des grès marneux du céno manien, enfin des argiles feuilletées du sénonien à *Levites albogalerus*, *Ananchites ovatus*, *Inoceramus Curieri*, disparaissant près de Mikhaïlowo sous des dépôts marneux sarmatiques.

Entre Mikhaïlowo et Borjom, la voie ferrée longe pendant plusieurs verstes la vallée alluviale de la Koura; ensuite elle entre dans une profonde gorge rocheuse que la Koura s'est creusée à travers les rochers sud de l'arête Akhaltsikho-Imérétinsky. La gorge montre des roches éocènes fortement redressées, déchirées dans diverses directions, renfermant *Nummulites laevigata*, *Crassatella tumida*, *Ostrea bellicina* etc. Les roches qui y affleurent sont des grès argileux, des marnes et des argiles grises, accompagnés d'argiles siliceuses et de grès, souvent de couleur rosée, rouge ou verte. Toutes ces roches sont nettement stratifiées, intercalées en concordance de nappes de tuf an-

désitique dont la structure est tantôt à gros grain, tantôt à fin grain. Ça et là les roches andésitiques s'étalent en dykes.

Le plateau de Borjom est formé par une étroite coulée andésitique qui est venue recouvrir, dans le triangle entre le Borjomka, Tchornaïa et Koura, les dépôts sédimentaires. Ces rivières se sont creusé de profondes gorges aux bords de la coulée. Le mouvement de la lave a été arrêté, selon toute apparence, par le relief de l'arête Akhaltsikho-Imérétinsky, par suite de quoi il n'y a pas de lave de l'autre côté de la Koura et on n'y voit affleurer

SW



Laves
andésitiques.

Roches détri-
tiques de la
lave andési-
tique.

Marnes, argi-
les et grès oli-
gocènes.

Tufs
sitiq

volcanique Akhalkalak, parsemé de volcans éteints, de lacs de
es et d'autres traces de l'activité volcanique.

raire: Gorge d'Atskhour de la rivière Koura. Vallon d'Akhalt-
sikh. Arête Akhaltsikho-Imérétinsky. Plateau d'Akhalka-
lak. Gorge de la rivière Poskhovtchaï. Gorge d'Abas-Tou-
man. Eaux minérales.

De Borjom la route remonte le long de la rivière Koura jusqu'à
l'union avec la rivière Poskhovtchaï. L'étroite et profonde gorge
est une série de roches de l'éocène moyen: grès argileux très cal-
caires et calcaires jaunâtres ou brunâtres. En dehors de *Nummu-
laerigata* et *Crassatella tumida* on y rencontre *Crassatella sul-*
Venus incrassata, *Turritella acclita* etc. En plusieurs endroits
les roches sont traversées par des dykes d'andésite, verticaux ou for-
més inclinés.

A Akhaltsikh la série des grès éocènes recouvre une assise d'ar-
chisteuses d'un gris foncé et de marnes de l'éocène supérieur à
celles de *Meletta sardinites*, *Zeus colchicus* etc. De ces roches sour-
tent des eaux minérales du type de Guniadi Janos, contenant du sel
Hauber.

Les couches de l'éocène supérieur à l'extrémité nord du vallon
d'Akhalt-sikh, c'est-à-dire au versant sud de l'arête Akhaltsikho-Iméré-
ty, sont recouvertes en discordance par des grès marneux oligo-
cènes, par places très ferrugineux, à *Cardium aralense*, *Isocardia*
sa, *Tellina Benedeni* etc.

L'extrémité sud du vallon d'Akhalt-sikh est cachée sous des nappes
de puissantes coulées de lave descendant dans le bassin d'Akhalt-sikh
au sud du plateau volcanique d'Akhalkalak, qui atteint en plusieurs
points 10000 pieds d'altitude absolue.

Une de ces nappes de lave, Pirsagat, s'observe, à 8000 pied au-
dessus du niveau de la mer, dans l'angle formé par la jonction des ri-
vières Kobliantcha et Abastoumanka avec la Poskhovtchaï. Une autre
nappe, Toutadjwari, à 4600 pieds de hauteur absolue, occupe l'angle
formé, entre le confluent des rivières Abastoumanka et Poskhovtchaï.
De cette manière l'Abastoumanka traverse dans son cours inférieur.
À son entrée dans la gorge à eaux minérales, des dépôts fragmen-
taires de roches volcaniques.

La gorge d'Abas-Touman croise la stratification des marnes et grès
éocènes, intercalés çà et là par des nappes d'andésite augitique et am-
phibolique. De puissants dykes andésitiques se voient à l'entrée dans
la gorge, au coin formé par le confluent de la Kourtskhana avec l'Abas-
tounka. Un autre affleurement d'andésite, plus puissant encore, s'ob-
serve au milieu de la gorge, là où de nombreuses fissures entokinéti-
ques recoupant le dyke andésitique, livrent passage à des eaux miné-
rales chaudes.

Le mur et le toit des roches andésitiques sont formés de m grès schisteux de diverses couleurs et d'une grande dureté, g métamorphisme que leur ont fait subir les roches andésitiques, p très probablement sous l'eau à l'époque éocène. On peut sa dykes andésitiques vers le haut, sur les deux pentes de la gorge Touman, jusqu'à la crête de l'Idsouionk d'une part. jusqu'à Tsotsol d'autre part.

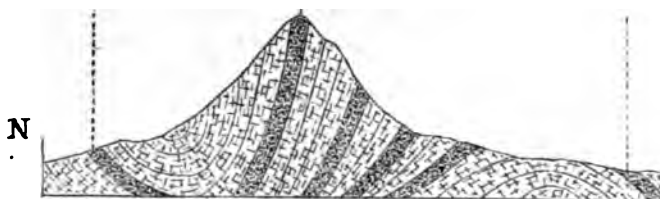
Itinéraire: Cours supérieur de la rivière Abastoumanka. F karsky. Eaux minérales de Zékar. Gorge de Bagd vière Rion.

A partir des sources minérales d'Abas-Touman, la route s vers le haut de la gorge par une série de roches marneuses et schisteux, tant éocènes qu'oligocènes. Dans la partie moyen gorge ces roches sont soulevées en pli anticlinal. La montée à Zékarsky commence près du confluent de l'Olsbiri et de l'A mánka. En deux points se montrent de puissants dykes d'andés au cours inférieur de l'Olsbiri, forment une porte gigantesque, appel son aspect pittoresque „Porte d'enchantement“ (Vorota otchar

Sources minérales
de Zékar.

Arête de Zékar.

Sources miné
d'Abas-Toun



sitiques, grès tufeux et argiles, brèches et conglomérats. Les versants colorés et les marnes sont souvent défaut. Ces roches offrant peu de résistance aux forces érosives, les torrents en charrient des masses considérables dans la vallée de la Rion. En certains rares points on observe des affleurements typiques de dykes d'andésite augitique présentant une séparation en colonnes prismatiques.

Les roches du même âge et de la même nature pétrographique sont à la descente du faite aux eaux minérales de Zékarsk. Au pied de la gorge de la rivière Kerchawéti, affleurent de puissantes andésites dont les fissures entokinétiques donnent passage aux eaux minérales chaudes de la même composition chimique qu'à Abastouman, mais d'une température plus basse de 10°.

Suivant le cours de la rivière Khanitskali, la route traverse une gorge creusée dans des roches paléogènes. À l'approche du village de Gdadj le défilé devient plus large et prend l'aspect d'une vallée

partir de Bagdad jusqu'à la station Rion, la route traverse la vallée alluviale de la rivière Rion, occupée en partie par de vastes jardins et vignobles, en partie boisée de belles forêts, et déserte et marécageuse.

1. The first part of the document is a list of names and addresses of the members of the committee.

XXVII

ES ENVIRONS DE KOUTAÏS

et

**allée de la rivière Rion entre Koutaïs et l'arête
Mamisson.**

PAR

SIMONOVITCH.

Bibliographie.

- . Reise durch verschiedene Provinzen des russischen Reichs.
1771—76, St. Petersh.
- nstedt. Reise durch Russland und im caucasischen Gebirge.
1787—1791, St. Pet.
- nstedt. Reise nach Georgien und Imeretien. Von Klaproth.
1815, Berlin.
- nstedt. Beschreibung der kaukasischen Länder. Von Klaproth.
1834, Berlin.
- hardt und Parrot. Reise in die Krym und den Kaukasus.
Berlin, 1815.
- r. Voyage dans les environs du Mont Elbrous dans le Caucase
en 1829: St. Pétersbourg, 1830.
- ald. Reise auf dem Kaspischen Meere und dem Kaukasus in
den Jahren 1825—26. Stuttgart und Tübingen, 1834—37,
- s de Montpéroux. Voyage autour du Caucase et en Crimée.
Paris, 1839—43.
- Reise durch Russland und den kaukasischen Isthmus. Stuttg. u.
Tübingen, 1842.
- aire de Hell. Les steppes de la mer Caspienne, le Caucase etc.
Paris, 1843—45.

- armenischen und nordpersischen Gebirg
des sc. de St. Pétersb. 1859, IX).
- Abich. Sur la structure et la géologie du Daghestan
Abich. Beiträge zur geologischen Kenntniss der
den kaukasischen Ländern. Tiflis, 1862.
- Abich. Aperçu de mes voyages en Transcaucasie
la soc. des natural. de Moscou, 1865).
- Abich. Zur Geologie des südöstlichen Kaukasus
tirés des Bullet. de l'Acad. Imp. d. sc. d.
- Abich. Etudes sur les glaciers actuels et anciens
1870.
- Abich. Bemerkungen über die Geröll- und Trümm
der Gletscherzeit im Kaukasus (Mélanges
tirés des Bull. de l'Acad. Imp. d. sc. d.)
- Trestrfield. Travels in the central Caucasus and
autres oeuvres du même auteur.
- Abich. Ueber die Lage der Schneegrenze und die
genwart im Kaukasus (Bull. de l'Acad. Imp. d. sc. d.
tersbourg, t. XXIV).
- Stebnitsky. Sur l'élévation de la ligne des neiges
caucasienne (Bull. de la Soc. Imp. russe de géographie,
t. IV).
- Stebnitsky. Observations sur l'extension des glaciers
(Bull. de la Soc. Imp. russe de géographie,
Caucase, t. V).
- Dinik. Les glaciers anciens et actuels du Caucase
Soc. Imp. Russe de Géographie, section de géographie,
t. IV).
- Growé. Le Caucase froid. 1881, St. Pétersbourg.
- Favre. Recherches géologiques dans la partie caucasienne
du Caucase. Genève, 1875.
- Matériaux pour la géologie du Caucase,
l'Administration du Caucase, avec les

du nord, au Petit Caucase, au Daghestan et à la presqu'île d'Ancheron.

witch et Sorokin. Carte géologique d'une partie du gouvernement de Koutaïs avec texte explicatif, édit. de l'Admin. min. du Caucase. 1887, Tiflis.

witch. Classification de la craie du Caucase. Travaux du VI Congrès des naturalistes et médecins. St. Pétersbourg, 1879.

Isch. Sur la faune des dépôts crétacés dans les vallées des rivières Assa et Kambilavka etc. St. Pétersbourg, 1893.

topographiques, une de 1 verste, une autre de 5 verstes, publiées par la Section topographique du Caucase de l'Etat-Major.

géologiques, jointes aux „Matériaux pour la géologie du Caucase“. 1873—95.

witch et Sorokin. Carte géologique d'une partie du gouv. de Koutaïs. 1887.

Carte géologique de la partie centrale du Caucase, jointe à ses „Recherches géologiques dans la partie centrale de la chaîne du Caucase“. 1875.

stranzew. A travers la chaîne principale du Caucase. Explorations géologiques pour le chemin de fer projeté à travers l'arête Arkhatsky, faites entre Wladikavkaz et Tiflis. Compte rendu de l'Administration des chemins de fer de la Couronne. St. Pétersbourg. 1896.

in que le profil Koutaïs-Mamisson soit compréhensible sans ex-
s secondaires dans les défilés latéraux, nous nous permettrons
e quelques observations sur l'ensemble de la géologie du Cau-

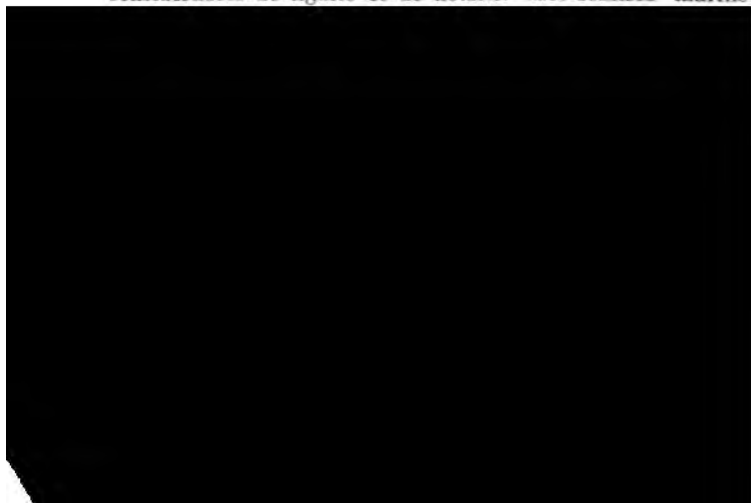
s roches cristallines qui, on le sait, jouent un rôle important dans
position de la chaîne du Caucase, suivent une direction géné-
NW—ESE. S'étendant en bande large de 30 kilomètres sur le
n de l'Elbrous et servant de base au cône de l'Elbrous et aux
mésozoïques, elles constituent la chaîne centrale. La largeur de
nde diminue vers l'est sans que toutefois, sur un parcours de
omètres, la hauteur de la chaîne ne devienne moindre: aucun
s n'a moins de 3000 mètres d'altitude. L'axe centrale de la
formée par du granite, s'abaisse rapidement dans la pente sud
partie supérieure des vallées de l'Ingour et de la Rion. Les
cristallins et les gneiss disparaissent sous le granite où ils re-
t des dépôts plus récents (dislocation renversée), alors que sur
e nord ils se voient normalement stratifiés sur le granite, for-
même temps une bande élevée, très favorable au développement
ciers. A l'est du Mont Adaï-khokh (Mont de Dieu, point du croi-
de la chaîne principale et de la chaîne latérale) les roches
nes, rejetées sur la pente du nord, cessent de former la ligne
age des eaux; bien que leur hauteur soit toujours encore con-

sidérable, elles diminuent rapidement en largeur pour disparaître à l'est de la vallée de la Térék.

Un autre nœud cristallin, principalement du granite—ement de la syénite, est situé vers le sud de celui dont nous parler: il forme le massif de l'arête Meskhisky, ainsi que occidentale, connue sous le nom de Satsérétlo. Se dirigeant SW, il sépare les bassins de la Rion et de la Koura, c'est bassins de la Mer Noire et de la Caspienne. Il est entouré faiblement inclinées de dépôts secondaires et tertiaires.

„Des schistes argileux anciens s'étendent avec un considérable vers le sud des roches cristallines. Ces schistes ardoisiers, dépourvus de fossiles ou n'en contenant qu'une faible plongent, au flanc sud de l'arête (habituellement vers NE schistes cristallins et forment eux-mêmes des montagnes et le flanc nord, au contraire, ils apparaissent en couches vers milieu des roches cristallines. *Bythotrephis* Hall., le seul unique qu'on trouve dans les schistes argileux, indique le l'éozoïque.

Au flanc sud viennent directement se rattacher à ces des schistes argileux et des grès houillifères qui appartiennent (lias et en partie dogger). Dans ces roches, surtout dans les bordonnés aux schistes liasiques, on trouve, outre des formations jurassiques, quantité de blocs de „schistes argileux à section inférieure du jura, bien exprimée aux deux pentes, soit un dépôt marin littoral, soit un dépôt lacustre ou et consiste en grès ou en marnes. Les couches, généralement en restes organiques, ne renferment que des débris de plantes restes, étudiées déjà par Goeppert et rapportées par lui à *rophyllum caucasicum* Ab., *Pt. Abichianum* Goep., *Pecopteris* Phill., *Zamites* sp., *Coniferae* etc.). De plus on y trouve de considérables de lignite et de houille. Les fossiles marins



aris Ag.). Au versant nord, au contraire, elle est puissante et une chaîne élevée. On y distingue, de bas en haut, les dépôts : calcaires à fossiles bathoniens et calloviens (*Parkinsonia msoni* Sow., *Macrocephalites macrocephalus* Schlot., *Rhynchonella varians* Schlot.); calcaire à crinoïdes; oolithe ferrugineuse à *Ammonites hastatus* Blain., *Cosmoceras Jason* Rein., *Harpoceras* d'Orb., *Peltoceras athleta* Phill., *Stephanoceras coronatum*; calcaires siliceux à *Cidaridites floridensis* Münster.; calcaires faibles à *Nerinea* et *Diceras*; calcaires à *Pteroceras*.

La puissance de ces calcaires, par ex. dans la vallée de l'Ardon, est pour le moins 800 mètres.

Le système crétacé, très puissant au Caucase, est superposé au sud et nord à la section supérieure du jura, tandis qu'au versant sud il repose presque partout sur la section inférieure du jura et même sur les granites.

La coupe la plus instructive du système se voit près de Kislowodsk. L'étage néocomien commence par des calcaires et marnes à *Ammonites pseudoelegans* d'Orb., *Astarte neocomiensis* d'Orb., *Ostrea* Defr.; puis viennent des oolithes ferrugineuses et des grès à *Belemnitella minima* Zitt., *Cardium Roulinianum* d'Orb., *Ammonia alaciformis* Park., *Tr. Daedalea* Park. Au-dessus de ces couches, d'une épaisseur totale jusqu'à 350 m., s'élèvent en saillie des couches blanc grisâtre d'une puissance, près de Kislowodsk, de 200 m., correspondant à la craie blanche à *Inoceramus Crispi* Mont., *Hydiscus Baeri* Sim. et *Ananchytes*.

Les dépôts crétacés du versant sud offrent un tout autre caractère. L'étage néocomien, autant que nous le sachions, n'y est pas exprimé (ontologiquement) d'une manière nette. Les calcaires et dolomies à *Ammonitina (Trepostoma) ammonia* d'Orb., *Capr. Lonsdalei* d'Orb., sont à la base du gault en formant l'horizon inférieur à celui-ci, correspondent à l'étage urgonien. Les calcaires urgoniens qui jouent un rôle important dans l'orographie du versant sud, forment des chaînes à parois escarpées dont ils constituent même les sommets atteignant parfois l'altitude des Alpes. En dessus viennent les calcaires, marnes et grès verts du gault, renfermant *Ancylloceras heronianum* d'Orb., *Scaphites Iwani* d'Orb., *Phylloceras Velleri* Mich., *Belemnitella minima* Ziet., *B. semicanaliculata* Bl., *Ostrea* Defr., *Haploceras Beudanti* Brug., *Rhynchonella lineolata* L., *Terebratulina Moutoniana* d'Orb. etc. La section supérieure crétacée présente des calcaires à noyaux de silex et *Ananchytes* Lam. etc., et des marnes à *Inoceramus labiatus* Lam. etc. Les couches nummulitiques qui, on le sait, manquent au versant nord, sont au contraire très développées au versant sud où ils n'apparaissent qu'en bandes étroites, dans les vallées des rivières Tskheniss-tskhala et Rion, dans les marnes schisteuses à *Nummulites Murchisoni* Bru'n., *N. Biarritensis* d'Arch., *Orbitolites discus* Bert. etc. Par contre les dépôts éocènes sont très puissants au versant sud, notamment les couches

sarmatiques qui bordent le bassin de la Mingrétie, occupent des ondulations de la Kartalinie, de la Kakhétie et le plateau et séparent les profonds golfes des régions Letchkhout et Rouches, riches en fossiles (*Tapes gregaria* Port., *Cardium Eichw.* etc.) sont fortement disloquées. Les couches nummulitiques sarmatiques sont séparées par un étage, appelé par les géologues du Caucase „étage à poissons“. Cet étage se compose de marnes, d'argiles et de marnes friables et contient, avec *Melchites*, *Lamna*, *Otodus* etc., etc., d'énormes gisements de mica.

Les grandes éruptions volcaniques ont eu lieu au commencement de la période tertiaire ou au commencement de la période quaternaire. Leur influence sur le soulèvement de la chaîne n'a été que locale. Le cône de l'Elbrous (5,646 m.) constitué par de la quartzite, s'est élevé au milieu de roches cristallines. La partie occidentale du Caucase atteint sa plus grande largeur. Les formations sédimentaires sont le moins soulevées. Le cône de l'Elbrous (5,643 m.) formé d'une andésite moins quartziteuse, s'est formé là où viennent se toucher les roches cristallines et les schistes. C'est l'endroit du plus grand resserrement de la chaîne. C'est le point de fort soulèvement des dépôts. D'autres éruptions moins importantes d'andésite, de dolérite, de basalte, ont eu lieu sur divers points de la chaîne, principalement au versant sud. La majeure partie des laves, émergées de ces centres principaux, se sont étalées en puissantes assises de blocs.

De cette manière les structures orographiques et géologiques des deux versants de la chaîne du Caucase se présentent sous des aspects fort différents. Sur le versant nord, les dépôts mésozoïques sont déposés régulièrement, formant une série de couches vers le nord et disposées en gradins, les unes après les autres. Quand on s'éloigne de l'axe centrale, on voit apparaître suc-



tion des schistes et le plongement des couches vers le nord. Ce ment, à peu près constant pour les dépôts du système jurassien s'observe point dans le gault et les calcaires superposés, ce que les grandes dislocations du sol ont eu lieu avant le dépôt des derniers sédiments. Mais, prenant en considération le plissement du gault et des calcaires superposés, de même que la hauteur du relief élevée qu'ils occupent sur tout le versant sud, on arrive à la conclusion que les derniers phénomènes tectoniques, lors de la formation de la chaîne du Caucase, ont été produits par des causes énergiques que celles qui ont agi avant l'époque du crétacé.

La période posttertiaire s'est manifestée au Caucase par le développement considérable de glaciers, moins fort cependant au versant sud qu'au versant nord. Des dépôts glaciaires se trouvent au cours du cours de la Rion et de l'Ingour, mais on n'en voit aucune trace à une distance plus considérable de la chaîne centrale. Par contre, le développement de dépôts glaciaires au versant nord offre des faits remarquables. Bien que les glaciers des vallées de la Malka et de la Rion ne paraissent pas avoir atteint la plaine, on voit à l'ouest, dans la Naltchik, une énorme accumulation de blocs, à l'entrée même de la plaine; dans la vallée de la Terek les blocs erratiques se trouvent à une distance de 30 verstes du pied de la chaîne. Le grand nombre de blocs andésitiques (trachytiques) témoigne qu'une partie des trachytes, si ce n'est tous, est de date plus récente que les éruptions trachytiques.

Les neiges éternelles occupent plus de 300 verstes de la longueur de la chaîne du Caucase. D'après M. Stebnitsky la hauteur moyenne de la limite des neiges serait, sur le flanc sud, de 9,600 pieds dans sa partie occidentale, de 10,600 pieds dans la partie centrale et de 11,600 pieds dans la partie orientale. Au versant nord la limite des neiges est plus élevée de 1,000 à 1,500 pieds. Au Transcaucase (Aragatz) elle passe à environ 12,000 pieds. Tous ces chiffres n'indiquent que la limite moyenne des neiges et varient pour les différents points; ainsi, par exemple, il y a dans la partie de la chaîne principale traversant la Kakhétie des sommets qui s'élèvent à 12,000 pieds, c'est-à-dire au-dessus de l'altitude moyenne de la limite des neiges, et cependant, sous l'influence du voisinage de la vallée de l'Alasan, même en été, ils sont dépourvus de neige. Entre l'Elbrouz et le Kazbek se dresse, à 395 pieds au-dessus du Kazbek, la sopka Rykh (16,918) qui est presque entièrement dénudée de neige à cause de l'extrême raideur de ses pentes etc.

Non que les névés occupent une position plus élevée au versant sud, les glaciers y descendent plus bas que sur le versant sud. La raison en est à chercher dans la structure du Caucase. En effet, le versant sud l'arête s'abaisse rapidement au-dessous du niveau des neiges éternelles, tandis qu'au versant nord la crête centrale, envoyant des arêtes latérales, se continue en de nombreux massifs élevés formant de vastes réservoirs favorables à la formation des névés. Dans

la partie ouest de la chaîne principale, les glaciers s'abaissent la limite moyenne des forêts, c'est-à-dire jusqu'à 7,000—8,000

L'accès des faltes dépend de la limite des neiges. Ceci étant à un niveau plus abaissé à l'ouest de la chaîne qu'à passages accessibles sont plus bas dans la partie occidentale.

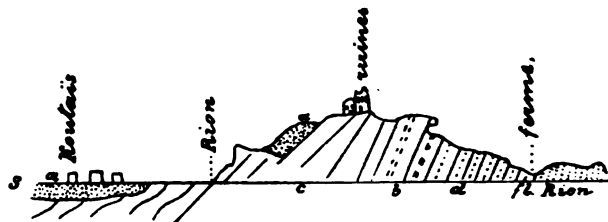


Fig. 1. — a — alluvion; b — calcaires dolomisés; c — calcaires tina; d — groupe des marnes bigarrées et des roches détr

La série des calcaires et des marnes développés dans l'ord dant le long de la rivière Krasnata, à proximité de Koutais, classée par Dubois et Abich dans le néocomien. Cependant la faune semble plutôt indiquer l'appartenance de ces dépôts à l'éocène. Parmi les nombreux fossiles, encore imparfaitement étudiés, citons:

Phylloceras Velledae, Mich., *Hoplites Castelanensis*, *Ancyloceras Mathcronianum* d'Orb., *Crioceras Duralianum* d'Orb., *Cr. Cornuclianum* d'Orb., *Taxoceras Emericianum* d'Orb., *Scaphites Irani* d'Orb., *Mac. Abichi* Sim., *Belemnites scutulatus* Blainw., *Belemnitella minima* Ziet., *Rhynchonella* Phill., *Terebratula Moutoniana* d'Orb., *Tereb. Dutempleana*, *Panopaea plicata* Sow., *Plicatula inflata* Sow., *Ostrea* Defr. (*Exogyra sinuata* var. *latissima* Defr.) et quantité

leur, par exemple près de la station, atteint 6 à 8 mètres. Néanmoins les calcaires et marnes à *Ancyl. Matheronianum* d'Orb. s'approprient tout près de Koutais, recouvrant directement le calcaire à spongiaires que l'on voit développé dans la ville même. Plus loin, vers le nord-ouest, à l'extrémité du faubourg (Slobodka) à l'ouest de Koutais, les roches du gault apparaissent déjà considérablement développées dans les rives élevées de la Bogaskourka. Les premiers affleurements, principalement des calcaires dolomitiques, se montrent à proximité de la chaussée menant au village Khoni, dans une élévation sur le coteau sud de laquelle est située la partie supérieure de Slobodka. Les calcaires dolomitiques sont immédiatement superposés aux calcaires à *Caprotina Lonsdalei* qui constituent presque tout le substratum sur lequel est bâtie la ville de Koutais. De beaux affleurements de ces calcaires se voient dans la ville même, des deux côtés de la Rion, près du pont, à partir duquel ils forment de nombreux escarpements sur une distance considérable vers l'aval. Vers l'amont on les voit à l'extrémité nord de la ville, sur la rive gauche, près du faubourg juif, et, sur la rive opposée, le long du chemin allant à la ferme. Les calcaires accusent un plongement général vers le SW, sous un angle d'environ 22°. Au point de la jonction de l'affluent droit peu important, la Roua, avec la Rion, ils viennent directement recouvrir une série de roches fragmentaires de l'oxfordien supérieur, d'abord des argiles bigarrées (rouges et verdâtres) qui passent bientôt à l'assise argileuse, tantôt des grès, tantôt des conglomérats et des brèches. Les argiles rouges, assez répandues aux alentours de Koutais, affleurent dans les deux rives élevées de la Roua, au-dessus et au-dessous du pont, ainsi que sur la pente douce de la rive droite de la Rion où elles sont d'ailleurs le plus souvent recouvertes par les alluvions de la Rion. Leur couleur est le plus souvent rouge de brique, parfois rougeâtre ou vert clair. Les couches ne présentent pas de stratification nette et ce n'est qu'en quelques rares endroits que l'on peut observer un plongement, en général concordant avec celui des roches supérieures et sous-jacentes. En suivant le cours de la Roua vers l'amont, on voit bientôt les conglomérats et les brèches perdre leur couleur rougeâtre. En même temps apparaissent des variations à grain plus fin, des grès sous-jacents. A divers niveaux on rencontre, dans les dépôts peu considérables de ces grès, des accumulations (nids) de couches interstratifiées de charbon. De plus, ces grès renferment par places des débris silicifiés et carbonisés de troncs et de branches, parfois des empreintes de *Pterophyllum caucasicum*. Il est facile de reconnaître qu'à mesure que l'on s'approche du village Djiboro, la série des grès à *Pterophyllum caucasicum* vient être remplacée par de puissants dépôts de schistes liasiques. Comme ailleurs, même ici, les schistes alternent dans les horizons supérieurs avec des grès. Les schistes, ainsi que les grès subordonnés, renferment des nodules et des lits peu considérables de pyrite; dans les schistes on trouve, de plus, de minces couches intercalées de charbon luisant.

Sur toute l'étendue, à partir des abords de Koulage Opourtchkhéti, et même un peu plus loin, presque partout des affleurements d'andésites, par plus rarement teschérites, traversant non-seulement même les roches plus récentes. Ainsi, au faubourg Jonéti on trouve, sur les deux rives de la Rion, de l'andésite au milieu des roches fragmentaires de l'oxfordien plus loin au nord, l'andésite traverse les schistes sur la rive droite, en aval du village Djimistoro (à nord de Koutals). En s'approchant ensuite du village encore plusieurs affleurements de roches cristallines de l'andésite augitique. Un peu au-dessus du village la chaussée, il y en a, entre autres, un affleurement servant la séparation en boules. La surface de la roche aggrégée et argileuse, permet facilement de reconnaître les lames concentriques rebondies de ces boules. Pour les teschérites, ses affleurements se trouvent principalement du village Opourtchkhéti, entre les schistes liasiques développés en ce lieu. D'après l'aspect extérieur on distingue deux variétés: l'une blanche, tachetée de petits verdâtres; l'autre, plus foncée, parfois presque noire, celles d'un noir verdâtre dont elle est pétrie. Cette variété claire semble prédominer. Les deux variétés se divisent en dalles. Il est à remarquer que la roche est souvent masquée par la végétation et les alluvions, surtout dans les parties nord du village.

Les schistes liasiques, comme nous l'avons dit près du village Jonéti un plongement inverse vers le sud, loin réapparaissent les mêmes roches, mais dans un plongement dans la direction opposée. A la 16-me



Fig. 2 — 1. Dépôts tertiaires. 2. Dépôts crétacés. 3. Dépôts jurassiques. 4. Schistes paléozoïques. 5. Schistes cristallins. 6. Granites, syénites, gneiss, granulite.

friables, se reliant, par des transitions insensibles, d'autre part aux brèches et conglomérats, se montent en assises stratifiées, traversées par des fissures qui répondent toujours plus ou moins aux divisions de la

Les diabases, développées en de nombreux p. Rion, présentent ordinairement des variétés à grain fin. Leur structure est parfois porphyritique, à cause de grains de plagioclase gris ou verdâtre. Elles sont traversées par un système de fissures qui leur font prendre un polyèdre. La direction de ces divisions, généralement, s'y conserve sur des distances considérables. La séparation est nettement exprimée s'oriente partout dans le sens de la direction des grès; ainsi, par exemple à la 18-me v. 10 h. avec plongement SW 4 h. $\angle 83^\circ$. La séparation se dirige NE 3,5 h., plongeant SE 9,5 h. sous un angle de 10 h. nord du village Namakhowani, la séparation de la direction NW 9 h., avec plongement SW 3 h. $\angle 74^\circ$.

Concernant le mode de gisement des diabases, on voit que partout elles apparaissent exclusivement en nappes ou au moins avec les grès voisins, auxquels elles sont mêlées, conglomérats, brèches et tufs diabasiques, de structure et de composition.

A juger d'après les affleurements le long de la R. et Opourtchkhéti, et même 4 verstes au-delà, l'oxfordien est presque exclusivement représenté par des grès; de diabases avec leurs roches alliées, tufs et brèches près du faubourg juif sur la rive gauche de la R. près de Ghéloti et Koursébi. Encore plus à l'amont, 10 verstes, apparaissent, avec des couches de tufs, des grès, jusqu'à Twichi, nous rencontrons une série d'affleurements de grès, de tufs, de brèches et de diabases, d'a

ici, outre les tufs et grès alternants et la diabase, viennent se joindre des roches, dont l'aspect et la composition rappelle le schalstein. Plus loin, nous retrouvons sur la Rion l'alternance de grès et de tufs accompagnés de nappes de diabases. Les brèches commencent aussi à apparaître.

Les grès venant après les diabases montrent d'abord un plongement vers le nord-ouest, mais au-delà d'un petit affluent droit de la Rion (19-me verste), près du pont, ils accusent un plongement inverse vers le sud-ouest. Un peu plus loin (20-me verste) on rencontre une couche intéressante du tuf diabasique qui représente déjà, proprement, une transition à la brèche et qui contient, à titre de mélange, une quantité considérable de cristaux d'épidote. Sur la même 20-me verste, on peut observer plus loin, dans plusieurs affleurements le long de la chaussée, l'alternance des grès; tufs, brèches et diabases. Le plongement général des grès et tufs, développés au sud de Namakhowani, se dirige NW 11,5 h., sous un angle de 40 à 45°, tandis que la direction des tufs, habituellement moins visible, suit une direction inverse, SW 3,5 h. sous un angle de 73°.

Entre Namakhowani et Twéchi, où la série complète des roches oxfordiennes supérieures va se terminer, on observe la même alternance des grès, brèches, tufs et diabases qu'avant. Plus loin viennent se joindre, alternant avec ces roches, des couches d'un calcaire cristallin blanc de neige (marbre), dont les cavités et les fissures sont toutes remplies, avec des druses de cristaux, d'un spath calcaire d'un violet violacé. L'épaisseur totale de cette série de roches ne dépasse généralement pas 20 mètres. A une certaine distance de là apparaissent les grès, tufs, brèches et diabases qu'on a vus plus tôt.

Sur tout l'espace, à commencer à peu près depuis Koutaïs jusqu'à Namakhowani, et 9 verstes au-delà, le défilé étroit, relativement très profond, de la Rion est formé de hauts rochers escarpés, souvent verticaux, tantôt de schistes liasiques, tantôt de sédiments oxfordiens, tantôt de roches massives. Au point où du côté gauche la large vallée de la rivière Lekhi-doria vient déboucher dans la gorge, les hauteurs de la rive gauche de la Rion reculent loin vers l'est, faisant place à une large vallée ondulée. Plus loin, au nord, les hauteurs de la rive gauche redeviennent plus élevées, mais sans atteindre la première altitude. La rive droite au contraire, également haute sur toute cette longueur, ne devient plus basse qu'en s'approchant du village Mekwéna où les montagnes s'éloignent quelque peu vers l'ouest, baissant en gradins doucement inclinés vers le lit de la Rion.

Dans le voisinage du village Mekwéna nous rencontrons pour la première fois des blocs de calcaire à *Caprotines*, amenés sans doute par des glissements des hauteurs situées vers le nord, le Khvamli et son rameau est, le Twichiss-Kldé. Aux environs de Mekwéna les schistes de l'oxfordien supérieur ont subi une rupture anticlinale.

A deux verstes de là, la gorge redevient étroite passant entre des rochers abrupts de l'oxfordien supérieur qui se dressent par places

surtout du côté droit, mais aux monts Twichiss et passe brusquement à un défilé très étroit, formé de calcaires urgoniens de ces deux montagnes, puis par un tacé supérieur. La gorge garde cet aspect jusqu'au-delà duquel, après un brusque détour vers l'est ou moins considérablement.

La série complète des roches fragmentaires du rieur se termine au village Twichiss-Kldé par une garrées. Les argiles rouges y prédominent de montrant les mêmes particularités que dans les affleurements de la rivière Roua. Les couches de ces argiles sont recouvertes successivement par les calcaires à *Cap* seuls le versant sud du Twichiss et de l'Orkhwiss. L'on s'approche du village Lakhéti, le calcaire a une teinte plus foncée. Un peu au-dessus du point le défilé formé par les montagnes Twichiss et Orkhwiss est remplacé par des calcaires d'un blanc blanchâtre, alternant avec des marnes friables, verdâtres; tous les deux plongent NE \angle 35°. Ces roches offrent une faune assez riche, identique avec celles du gault de la rivière Krasnala. On y trouve *Ancyloceras Matheronianum* d'Orb., *Macroscaphites Belemnitella semicanaliculata* Blain.; dans les marnes *Moutoniana* d'Orb., *Belemnitella minima* Ziet. Les fragments du gault se trouvent sur la rive droite de la Lakhépis-mta, à l'est du village Lakhéti. Les calcaires lativement peu développés (500 pieds), passent bien compact blanc grisâtre du crétacé supérieur sans quelques inclusions siliceuses. Ces inclusions, de petites breuses, acquièrent bientôt un développement continuant soit en nids soit le plus souvent en lits en

du sud-est du village Gwérichi, à l'endroit où la rivière Gwériguelé tombe dans la Rion, la gorge fait un brusque coude vers de sorte que la direction de la Rion égale à peu près celle des pires du crétacé supérieur, développés dans cette localité. La ri-

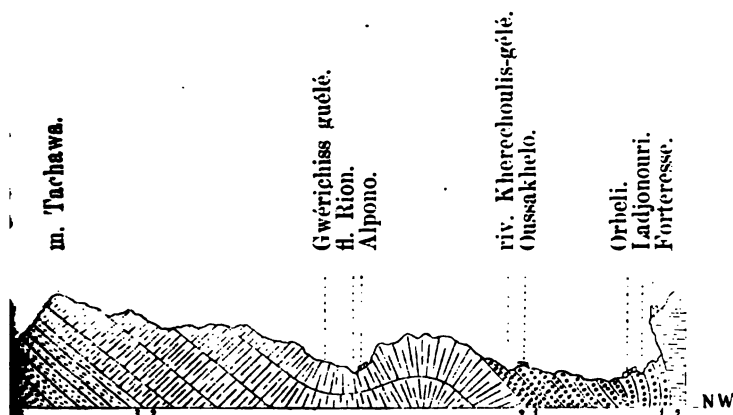


Fig. 3. — 1. Dépôts tertiaires. 2. Dépôts crétacés. 3. Dépôts jurassiques.

profitant du creux de la synclinale qui passe par là, a enlevé une partie considérable du versant sud de l'anticlinale de Tchoukouri. Les coupes jointes expliquent la structure des alentours (fig. 3, 4). On reste à indiquer un fait curieux que l'on peut observer sur leurs points entre les villages Gwérichi et Alpono. De part et

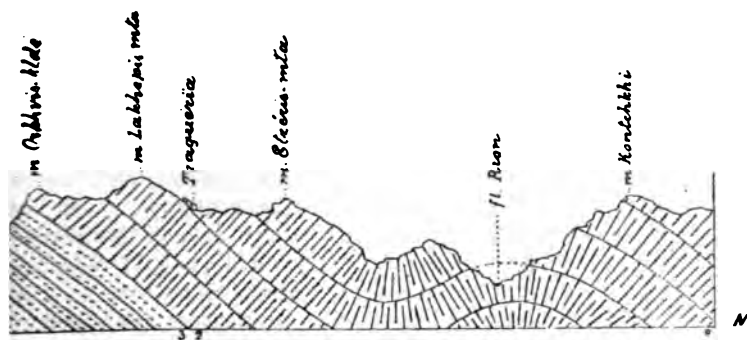


Fig. 4. — 2. Dépôts crétacés. 3. Dépôts jurassiques.

de la rivière, on rencontre assez souvent, dans les affleurements de la partie érodée du pli, tout un système de plis extrêmement redressés, différemment rejetés, allant transversalement à la direction du pli principal de Tchoukouchouri. Les plus caractéristiques

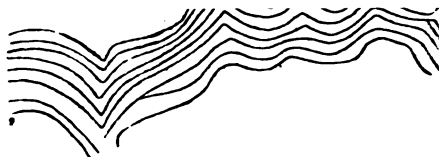


Fig. 5.

Nous avons dit plus haut que le pli anticlinal s'étend jusqu'à la rivière Ladjonouri. En effet, à la Rion, on aperçoit dans les deux rives de calcaires blancs et gris extrêmement compacts de normale est masquée par des fentes et une fausse rencontre, comme d'ailleurs partout dans ces calcaires nodules siliceuses rouges ou grises. Les fossiles (C) y sont très rares. A l'embouchure de la Ladjonou crétacé supérieur plongent vers le sud. De là, ils avec le même plongement, à une altitude absolue milieu entre Alpono et Oussakhélo. Ensuite, tourné Oussakhélo, ils plongent, dans le sens inverse, vers ainsi la continuation de l'anticlinale de Tchloukhon tie crétacée de la voûte va se prolonger, le long des régions Gardia, Oudobno et Sairmo. Fortement érodée dans la région, les calcaires s'y dessinent dans les formes fantastiques.

Près du village Tchwichi les calcaires crétacés par une série de marnes de l'horizon nummulitique l'aspect de calcaires d'un blanc grisâtre ou d'un grès marnes sableuses à *Nummulites intermedia* d'Arch. etc. Les formations nummulitiques se prolongent le long de la rivière et se terminent à la

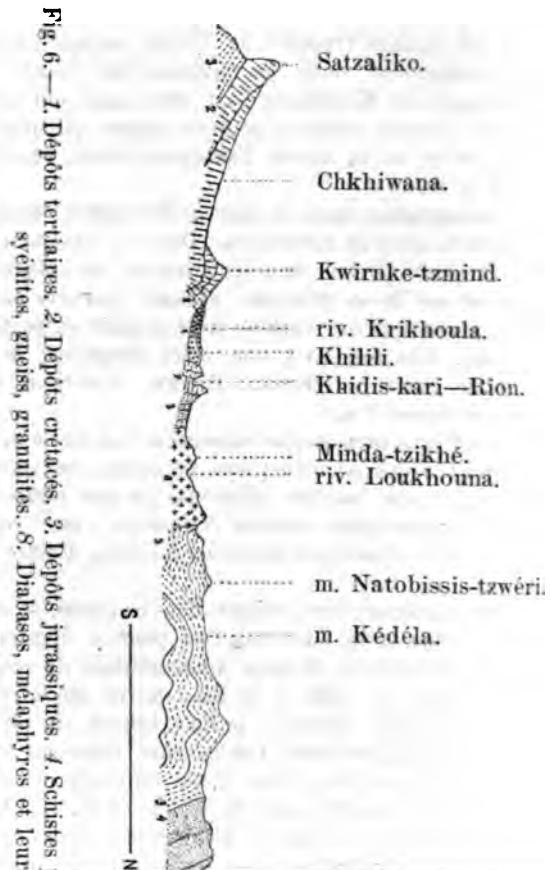
aux à *Tapes gregaria* etc. de l'étage sarmatique. Ces calcaires, caractérisés par des formes typiques de l'étage sarmatique, ont leur grand développement dans les environs des villages Sarméli, Malaouri, Khimchi et Krikhi; ce sont eux aussi qui remplissent le synclinal des dépôts crétacés de cette région, pli que l'on peut voir depuis la vallée de la rivière Tskhéniss-tskhali, vers l'est, jusqu'à la vallée de la Rion.

Les dépôts sarmatiques sont en général développés sur la Rion, à l'est de sa jonction avec la Khotéoura. Dans la direction ouest ils passent pour la dernière fois dans les environs du village Khimchi. Comme partout où ils se montrent, ce sont des grès calcarifères couleur grise, passant à des variétés à gros grain et, partiellement, à des conglomérats. Les fossiles y sont assez fréquents; le plus souvent on rencontre *Solen subfragilis* Eichw., *Cardium obsoletum* Eichw., *Tapes gregaria* Part.

Les grès calcarifères sarmatiques supportent une assise de calcaires blancs qui passent à des accumulations continues de valves de corail cimentées par une matière calcaireuse en une roche très compacte (falun). Les principales formes composant cette roche sont: *Tapes gregaria* Part., *Cardium obsoletum* Eichw., *Macra Podolica* Part. etc.

Les dépôts sarmatiques, peu puissants dans ce rayon, se continuent avec le même caractère non loin vers l'est pour y disparaître. Sur cet espace ils présentent diverses accumulations de couches plus ou moins plissées. Dans le défilé de la Rion on voit succéder à ces dépôts les sédiments crétacés formant le flanc opposé du pli synclinal et nous avons parlé plus haut. Ces couches, disposées ici presque horizontalement, forment près du village Tsissi un étroit et profond défilé, connu sous le nom local de Khidiss-Kori. L'ordre des dépôts est renversé; d'abord ce sont les calcaires sénoniens qui apparaissent puis des marnes et calcaires avec empreintes de petites valves recouvertes sur le plan des couches, ensuite des calcaires grisâtres quelque peu argileux contenant de rares *Terebratula Montoniana* d'Orb. passant à des calcaires compacts dans lesquels sont disséminées de nombreuses inclusions siliceuses sphériques et tubulaires, enfin un calcaire jaunâtre à *Caprotina Lonsdalei* d'Orb. Toute cette série de dépôts crétacés est redressée presque verticalement (voir la fig. 6).

Après les calcaires à *Caprotina Lonsdalei* d'Orb. et *Caprotina Montoniana*, ou plutôt en dessous, viennent quelques affleurements peu remarquables, dans le lit de la rivière, de grès gris, alternant avec des couches peu épaisses de schiste argileux et de grès argileux. Les couches mentionnées plus haut, toujours encore presque verticales, sont remplacées plus loin par des grès argileux d'un gris foncé passant à tour à tour à des brèches et conglomérats à grain extraordinairement fin. Dans ces roches-ci on trouve assez fréquemment des cavités remplies de calcédoine, avec druses de quartz et, parfois, avec spath calcaire cristallin.



La série de ces roches, s'étendant vers le nord-est, est interrompue par les mélaphyres dont un développement considérable s'observe dans la région du cours inférieur de la Loukhounouriss-tskhali. Les mélaphyres, se continuant vers l'amont des défilés de cette rivière et de la Rion, et formant, dans la direction nord-est, les hauteurs environnantes sont considérables, vont disparaître sous des roches gréseuses et schistes du jura.

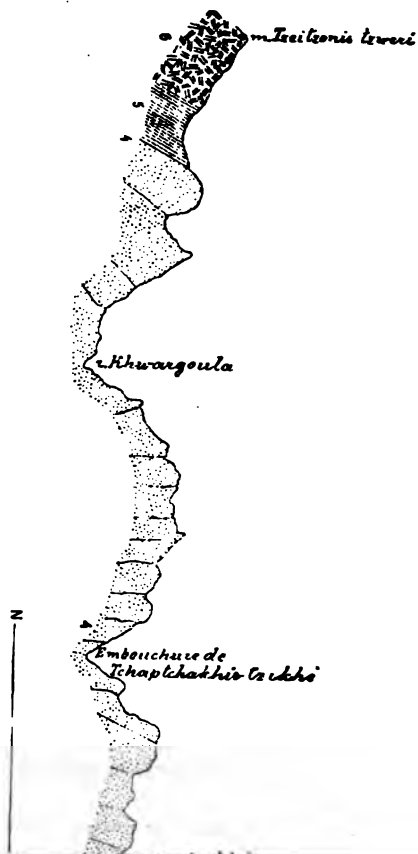
Aussitôt après les affleurements des mélaphyres, et en superposition directe, vient apparaître, dans les hauteurs de la pente ouest du versant de la rivière Loukhounouriss-tskhali, une série de grès argileux gris foncé, contenant des restes carbonisés de formes végétales distinctes. Le plongement général des couches de cette série se dirige vers le nord-est sous un angle de 40°. Les mêmes grès s'observent dans la gorge de la rivière voisine Santoroula, où, en amont du village de Sori, ils renferment de faibles couches de lignite.

A mesure que l'on s'approche des hauteurs Natobi, on voit apparaître, au-dessus des grès carbonifères, des schistes ayant leur plus grand développement dans la vallée de la Loukhounouriss-tskhali et qui se font le partage entre cette rivière et le Sakaouri. Les schistes sont constitués par divers horizons interstratifiés de couches de grès, parfois assez épaisses. Les schistes argileux liasiques accusent un plongement général vers NE jusqu'à 30°; mais peu à peu les couches deviennent inclinées et enfin verticales. Ensuite, près des hauteurs Natobi, le plongement redevient moins intensif et puis, les couches formant le premier pli synclinal, il va se diriger dans le sens inverse, c'est-à-dire au sud. Ce phénomène se répète assez souvent, de sorte que dans la région des hauteurs Kédéla et jusqu'à l'apparition des schistes liasiques près du village Outséra, la série des schistes liasiques se présente partout plissée.

Ces schistes s'étendent avec le même caractère au nord et au sud-est, en amont de la Rion, en constituant les faîtes considérables, connus sous le nom de Koupri, entre les rivières Loukhounouriss-tskhali et le Sakaouri. Les mélaphyres les interrompent à la jonction des rivières Rion et Djédjor, Sakaouri et, près d'Outséri, à l'embouchure de la Gomoul (voir la coupe N° 7).

Les dernières assises de mélaphyre s'allongent sur les deux rives de la Rion et de la Gomoul et, se déployant non loin vers le nord-est, sont être recouverts par des tufs diabasiques subordonnés, comme les grès qui les accompagnent, aux schistes argileux liasiques. Entre les villages Nakiéti et Outséra, les schistes et mélaphyres sont traversés par un si grand nombre de fentes et fissures que leurs affleurements ont un aspect réticulaire. Entre Outséra et le pont Golsky, les schistes ne se rencontrent plus si souvent et au-delà du pont ils disparaissent entièrement. Plus on s'approche du village Outséra, plus on observe le développement des schistes argileux gris et gris foncé, interstratifiés d'assez épaisses couches d'un grès argileux gris jaunâtre. Les schistes qui plongent d'abord au NE sous un angle de 40°, se redres-

Fig. 7. — 3. Dépôts jurassiques. 4. Schistes paléozoïques. 5. Schistes cristallins.



peu à peu dans les pentes raides de la vallée, pour devenir verticales, avec inclinaison vers le nord, dans les hauteurs Katisséli. Plus loin, en amont de la Rion, les schistes, redevenus un peu moins inclinés, sont recouverts des schistes argileux paléozoïques. Les derniers acquièrent un développement énorme le long de la chaîne principale, dans la région du bassin de la haute Rion.

Proprement dit, il est très difficile et même presque impossible de fixer la limite exacte des schistes liasiques et des schistes paléozoïques aux points où ils sont en contact, tant à cause de la grande ressemblance de ces deux roches, que par suite de l'absence de fossiles. Nous avons d'ailleurs affaire ici à des schistes paléozoïques, nous l'avons trouvé, entre autres, par la présence, à Outséri, d'eaux thermales minérales, eaux qui n'apparaissent presque exclusivement que dans la région de ces schistes-ci.

Les eaux thermales d'Outséri qui jouissent d'une grande réputation dans toute la Colchide, sourdent en plusieurs endroits dans les pentes de la gorge et au niveau de la rivière. Elles sont toutes du même type, sauf une teneur plus ou moins grande en fer et en acide carbonique. La majeure partie de ces sources déposent un travertin blanc caverneux.

Les schistes paléozoïques se développent de plus en plus à mesure que l'on s'approche des hauteurs Echma-Koura et Wéli-gdzéli. Ils renferment de rares empreintes de l'algue paléozoïque *Bythotrephes*, se divisent facilement en dalles assez considérables et contiennent parfois d'abondants cristaux de pyrite, disséminés sur le plan des schistes.

A ces schistes sont subordonnés des calcaires cristallins, parfois avec petites inclusions et taches de houille luisante sur la surface des schistes. De plus ils renferment du quartz blanc sous forme de filons, de veines et de géodes irrégulières, plus ou moins sphériques, épars désordonnés dans la roche. Les cavités du quartz sont remplies de cristaux transparents bien formés et de druses de cristaux de roche. Comme dans la vallée de l'Indoura, le quartz est parfois recouvert d'une faible enduite de vert de cuivre et contient des inclusions de galène et de pyrite.

Les schistes paléozoïques de cette nature, avec direction W—E, se trouvent, outre les vallées Takarguina et Kwatoucha, d'un côté la chaîne longitudinale entre la Rion supérieure et la Sakaoura, avec les sommets Boudzgori, Chéissoura, Choda, Logoré, ce dernier de 11,160 mètres d'altitude, de l'autre côté le faite de partage entre la Tchinkhiss-tskhali et la Djédjora, avec les sommets Gueské, Dolomiséri, Tbilis et Kolats. Se continuant ensuite vers le nord-est, avec un plongement vers le nord, ces schistes vont être recouverts, sur les saillies rocheuses de la chaîne principale, par des schistes micacés qui disparaissent eux-mêmes sous les massifs granitiques de l'Eden du Tchitsoniss-tswéri, du Kirtichiss-tswéri et de l'Akhal-mta.

Non loin du village Tchiora, un peu au sud, vient se jeter dans

la Rion, près du pont, son affluent gauche, la Glola-tskhali ou Tchakhiss-tskhali, qui longe la chaussée au Mamisson. La vallée Tchontchakhiss-tskhali est presque exclusivement formée de paléozoïques, traversés seulement près du petit hameau osschéwi (dans les tranchées de la route au-dessus de la vallée Tchontchakh) par un filon d'andésite quartzeux. Là aussi, les schistes sont plissés, mais avec plongement prédominant vers le nord. Plusieurs points sourdent des eaux thermales. Au cours supérieur de la Tchontchakhiss-tskhali, comme d'ailleurs à peu près partout dans la vallée, on rencontre des blocs erratiques. La rivière elle-même, d'un petit glacier, le Tchontchakhiss, qui se termine près du pont d'abri, construite à 2,600 m. sur l'ancienne moraine. Au

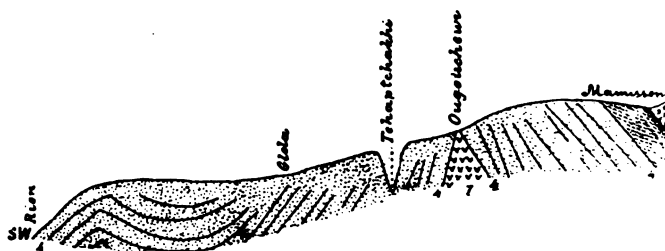
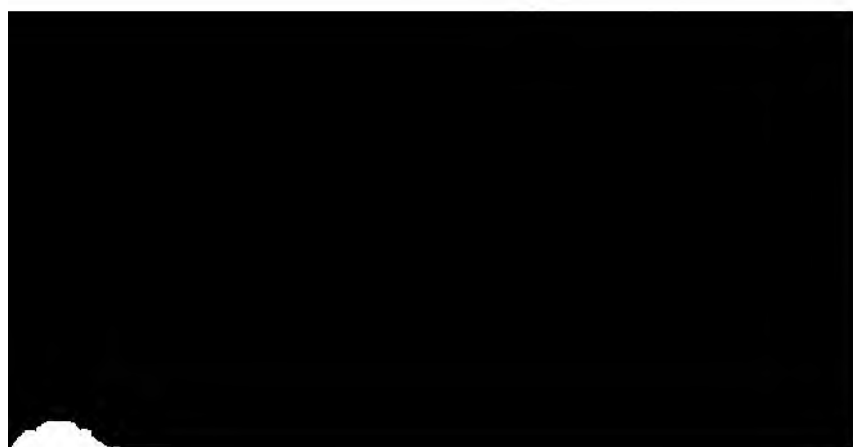
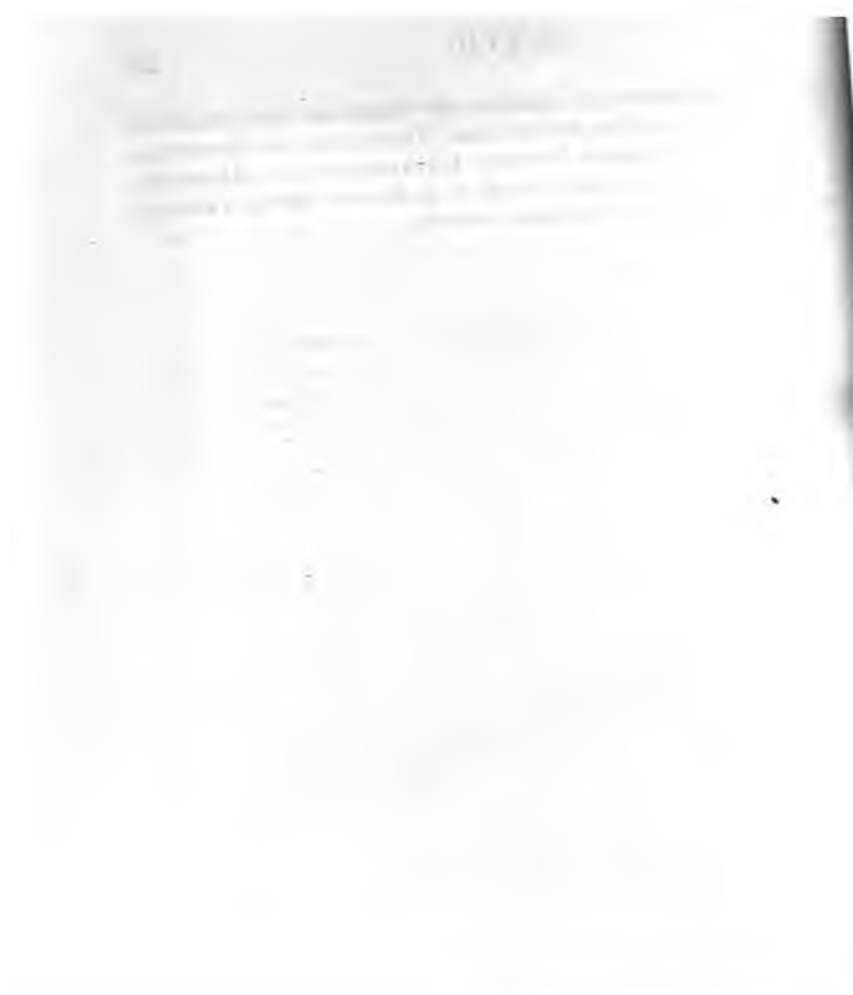


Fig. 8. — 4. Schistes paléozoïques. 5. Schistes cristallins. 6. Syénites, gneiss, granulites. 7. Basaltes, andésites et andésite

glace arrivait jusqu'à l'asile même. Partout, même plus ba



l'épôts glaciaires sont surtout développés au cours supérieur
n, dans les vallées des rivières Tchochoura et Khwaroula,
entes des montagnes Notsara, Kirtichiss-tswéri et Akhal-mta.
village le plus septentrional et le dernier dans la vallée de
est construit sur l'ancienne moraine.



XXVIII

EXCURSION ZUM ZEIGLETSCHER

VON

N. KARAKASCH und K. ROSSIKOW.

Geologische Skizze des Ardonthales

VON

N. Karakasch.

Wir beginnen bei unserer gedrängten Uebersicht des geologischen
des des Ardonthales mit dem oberen Lauf, schreiten also vom Ge-
te zur Ebene hinab.

Der Nordabhang des Kaukasischen Hauptkammes wird von ver-
chiedenen krystallinischen Schiefern gebildet: von Talk-, Chlorit-
Glimmerschiefern, welche die Wände des Thales von der Quelle
ungefähr zur Mündung des Ssramag in den Ardon darstellen. Dar-
auf folgt eine schmale Zone paläozoischer Thonglimmerschiefer von
dunkel bis fast schwarzer Farbe, jenseit welcher Granite auftreten.
Letztere bilden die malerische Kassarschlucht. Die Grenze ihrer Ver-
breitung ist annähernd der Fluss Zei, der aus dem Zeigletscher, dem
Ziel der Excursion, entspringt. Zwischen dem Zei und dem Dorfe
Ardon durchschneidet der Ardon auf seiner linken Seite eine Zone
paläozoischer Schiefer, weiter aber bis zur Ssadonmündung und etwas
überhalb bis zum Dorfe Archon fließt er zwischen Graniten, welche
aus mächtigen, nach N einfallenden Schichten des unteren Jura über-
baut werden. Diese bestehen aus dünnen Sandsteinschichten, welche
mit thonhaltigen wechsellagernd, unbedeutende Kohlenflötze führen
und schlecht erhaltene Pflanzenreste enthalten. Dieser Sandstein geht
in festen Mergel, mit Thoneisensteinschlüssen über. Letztere sind rei-
chlich angeordnet (so z. B. in der Nähe des Dorfes Chod) und bilden
ganze Schichten. Diese mächtige Serie von Sandsteinen und Mer-

non stammt.

Die genannten Schichten werden von Mergeln, welche *Stephanoceras linguiferum* Opp., *St. recteloceras Zignodianum* Orb., *Parkinsonia Parkins* und dem Bajocien und Bathonien entsprechen.

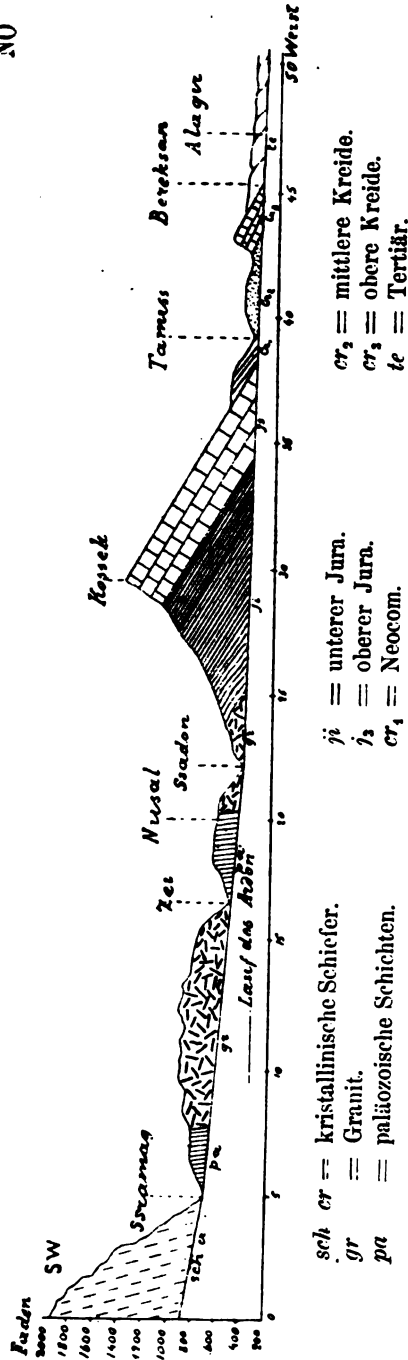
Reicher an Fossilien sind die mergeligen Kalken von Loway, welche ihrem Habitus noch von den unteren des Bath nicht zu unterscheiden sind. Nach oberer thüringischer Kalkstein über. Aus der, durch Abich vorgebrachten, grossen Sammlung sind von Uhlig folgende worden:

Phylloceras Kunthi Neum., *Ph. cf. disputabile* Opp., *Ph. tortisulcatum* Orb., *Lytoceras Adeloides* Rein., *H. lunula* Ziet., *Haploceras Oppelia subcostaria* Opp., *Cadoceras sublaeve* S. Nik., *Quenstedticeras Lamberti* Sow., *Macrocephalus* Schl., *M. tumidus* Rein., *Reineckia anceps Neumayri* Uhl., *Perisphinctes funatus* Opp., *P. cf. Orion* Opp., *P. cf. scopinensis* Neum. Goldf., *Rhynchonella Dumortieri* Szajn., *Rh. cf. concinna* Sow., *Rh. caucasica* Uhl., *Rh. alaginitula cf. ventricola* Hartm., *T. subcanaliculata* Opp., *Waldheimia subimpressula* Uhl., *Antitych*

Diese Fauna zeigt, dass diese Ablagerungen zu dem Oxford gehören.

Zwischen den Dörfern Biss und Chod ist von *lacunosa* Quenst. gefunden worden, und zwar in einer, die demnach offenbar dem Kimmeridge entspricht. demselben Horizonte gehören auch die, oft kieseligen breccienartigen Kalkschichten, in welchen Favre *nata* Goldf. und *Cidaris florinemma* Münster

NO



sprechende Unterabtheilung noch eine offene. Es
dass wir es mit Tithonschichten zu thun haben, die
den Horizonten des südlichsten Theiles der mediter
nächsten stehen.

Die nächstfolgenden höheren Ablagerungen ge
system. Dieses ist hier durch Kalke vertreten, welc
lich von der Mündung des Tamiss in den Ardon in
ten Bergzacken zu Tage gehen. Es sind das Neoko
Couloni, welche mit dünnen Mergelschichten wechse
kalcken sehr ähneln und von sandigen Glaukonitr
werden. Letztere enthalten: *Belemnites minimus* L
Milleti d'Orb., *Phylloceras Velledae* Mich. und
Gault an.

Nach den Mergeln folgen weisse Mergelkalke,
sind und durch den Reichthum an *Inoceramus* *vi*
vieri ausgezeichnet sind. Diese Senonkalke bilden
gel, die sich in süd-östlicher Richtung parallel de
ziehen. Das Ardonthal durchschneidet diese Kalke
nung von zwei Kilometern.

Die nach N einfallenden Senonschichten untert
rekssan und Alagir die Tertiärschichten.

Letztere werden von Sandsteinen und Conglome
wiederum von den Quartärablagerungen bedeckt w
den des ganzen Flachlandes bilden, durch welches
seinem Ausfluss in den Terek strömt, d. i., bei der
der Wladikawas'schen Eisenbahn.

Zum Schluss sei noch erwähnt, dass das Fluss
durch die mächtigen Glacialablagerungen im ganz
oberen Laufes charakterisirt wird, ebenso auf dem
gebirges und auf dem Nordabhange dieses Gebirges

n waren. Dieses mächtige von Schnee und Eis bedeckte Massiv lasste die Bildung eines Gletschers, der vom Nordabhange des Gebirges hinabglitt. Erst nach der Glacialzeit begann, nach der Anschauung, die Bildung des heutigen tiefen Querthals. Favre dagegen giebt, auf Grund seiner Untersuchung des obertheiles des Ardonthales die Berechtigung einer solchen Hypothese nicht zu.

Die Glacialablagerungen, die im Thalboden des Zei und des Zeig zu sehen sind, weisen seiner Ansicht nach, darauf hin, dass das Gebirge heute, wie damals, fast dieselbe Configuration besaßen; ferner beweisen die glacialen Ablagerungen in Innern des Gebietes von Digori, dass das Kalkgebirge in der Glacialperiode von dem alluvialen Gebirge getrennt war. Deshalb müsse man annehmen, dass ein grosser Gletscher den Nordabhang des centralen Kaukasus bedeckte, und am zweiten Gebirge d. i., an den Vorbergen, bis 2,900 m hinaufreichte. Dabei griff der Gletscher nur dort über die Kämme des centralen Gebirges hinüber, wo entsprechende Einschnitte im Abfluss vorhanden waren, so dass der Gletscher sich am Nordabhang ausbreiten konnte.

Der Zeigletscher.

VON

Konst. Rossikow.

Unter den bedeutendsten Massiven des Kaukasus nimmt der 4646 m hohe Adai-choch eine hervorragende Stelle ein. Er ist von weissen Schneefeldern und vielen Gletschern bedeckt, die durch ihre schöne Form und durch viele andere Eigenthümlichkeiten von den übrigen des Kaukasus ausgezeichnet sind, weshalb auch die Adai-chochgruppe von recht lange als Zielpunkt sowohl russischer, als auch ausländischer gelehrter Reisenden und Touristen gedient hat (Freshfield ¹⁾, Déchy ²⁾, Sella ³⁾, Abich ⁴⁾, Dinnik ⁵⁾ u. a.

Der erste Rang unter den Gletschern der Adai-chochgruppe gehört dem Karagomgletscher, der eine Länge von 15,5 Kilom. besitzt. Die zweite Stelle nimmt der Zeigletscher ein, dessen Länge nur 9,6 Kilom. beträgt. Obgleich der Zeigletscher in seiner Ausdehnung dem

¹⁾ D. W. Freshfield. The exploration of the Caucasus 1876.

²⁾ Moriz von Déchy. Das Massiv des Adai-choch im centralen Kaukasus. Petermanns Mittheilungen. 1889, Heft 18.

³⁾ V. Sella. Nel Caucaso Centrale. Bulletino del Club Alpino Italiano. 1890, t. LVII.

⁴⁾ H. Abich. Aus Kaukasischen Ländern. Reisebriefe von H. Abich, Wien. 1895.

⁵⁾ N. Dinnik. Reise im Ossetischen Berglande und zu den Quellen des Rion. Sapiski d. Kauk. Sect. der K. Russ. Geog. Gesel. B. XIII. 1904 (russ.).

und Alagir, nichtchaussirter Weg; 35 Werst, zu St. Nikolaus gehören der sogenannten Ossetischen die letzten 18 Werst aber führen einen bergigen Weg durchschneidet von N nach S zuerst den W Ebene von Wladikawkas, dann die Vorberge des nördlichen, zum Gebiet des Ardon gehörigen Thales. Dieses liegt zwischen zwei Gebirgsketten: den „Buntenbergen“ bis zum Berge Kriu-choch einerseits und dem Berge Karz bis zum Kauat andererseits.

Die Station Darg-koch liegt in der Nordweste Wladikawkas, auf einer Terrasse des Berges Sektal am nördlichen Ende des Karadach-Gebirges, welches die Ebene von Wladikawkas umschliesst. Darg-koch liegt genau in einem ziemlich malerischen kurzen Thale die sich aus dem Zusammenfließen, denen die Ebene von Wladikawkas verdankt. Dieses Thal verbindet heute die Ebene von Wladikawkas mit der Ebene der Kleinen-Kabarda und bildet den Zusammenfluss jenes weiten Seebeckens, welches die Ebene von Wladikawkas in der vergangenen Epoche des Diluvialabflusses gebildet. Die Wände sind bewachsen, welche auch den Boden des heutigen Thales bedecken. Der Weg von der Station Darg-koch geht nach Süden längs dem rechten Ufer des Terek, erreicht (auf einem Prahm) auf der Stelle zwischen den beiden Hauptzuflüssen des Terek, des Urus-don und Ardon. Der Weg dem Inundationsgebiete des Terek entlang führt den Flusslauf und schlängelt sich durch die Maisfelder der Ebene von Wladikawkas. Von hier aus entwickelt sich folgendes entzückende Landschaftsbild:

ichte Schneemäntel gehüllten Riesen der Kaukasischen Alpen, vom Ardon bis zum Kasbek. Zwischen ihnen liegt das tiefe geschlängelte Thal des Ardon, das auch unter dem Namen Alagir- oder Waladon bekannt ist. Die nächsten Schneeköpfe rechts vom Ardonthal sind der Gruppe des Adai-choch-burdjal (Karagom) an und links sind es die Bergriesen Zmia-kom-choch, Tepli und Archon.

Der ganze westliche Theil der Ebene von Wladikawkas, sowie der Raum vom Fusse der Karadachberge bis zu den Kaukasischen Vorbergen, wird nur von tertiären Ablagerungen gebildet, welche von jüngeren quartären Sedimenten bedeckt sind. Auf dem hellgrünen Boden der Ebene lagert fast immer in Sommertagen ein zarter blauer Dunst. In der Ferne heben sich durch diesen blauen Dunst hindurch die Umrisse der einzeln auf der Ebene verstreuten Dörfer ab, der ossetischen und ossetischen Aule und Dörfer: rechts von dem Orte die Staniza Nikolaewskaja, links die Staniza Ardonskaja mit ossetischen Dörfern Ardon; südlicher das Dorf Christianskoje und weiter endlich am Fusse der waldigen Vorberge entdeckt man die Flecken Alagir mit dem Aul Ssalugardon.

Alagir, auf dem linken Ufer des Ardon, liegt, am Eingange des Ardonthales, 640 meter hoch. Es ist ein Flecken (oder kleines Städtchen), das seine eigenen Verwaltungs- und Gerichtsbehörden hat. Ein Kilometer südlich von dem Orte liegt ein Hüttenwerk, in dem Silber und Blei gewonnen wird und zwar in den letzten 10 Jahren durchschnittlich bis 30 Pud Silber und gegen 910 Pud Blei jährlich, in einem Werthe von nicht über 50,000 Rubeln ¹⁾.

In Alagir beginnt die Ossetische Militärstrasse, die von hier, also dem Terekgebiete bis zur Stadt Oni, in das Gouvernement Kutais, führt. Da diese Strasse die Station Darg-koch der Rost.-Wlad. Eisenbahn mit der Station Kutais der Transkaukasischen Bahn verbindet, dient nicht nur als die, nächst der Grusinischen Militärstrasse, wichtigste militärische Strasse, sondern auch als wichtigste Verkehrsader zwischen den genannten Gebieten.

Die Ossetische Militärstrasse ist ebenso wie die Grusinische am Südabhange des Kaukasus, und zwar im Querthal des Ardon und des Nebenflusses Mamisson-don angelegt, bis zum Mamisson-pass parallel dem Terekthale; am Südabhange ist sie im Thale des Tschantschachi, einem Nebenflusse des Rion gebaut.

Der Ardon ²⁾ entsteht aus der Vereinigung zweier Quellflüsse, des Mamisson-don und Nar-don, ersterer entspringt aus dem Tschantschachischer in nächster Nähe des Mamisson-passes (Tschantschachi) in 2829 meter Höhe. Der Nar-don entspringt zwischen den Bergen Kadlassan

¹⁾ Von Jahr zu Jahr wird der Ertrag geringer, aber nicht in Folge der Verarmung der Ssadoschen Grube an Metallgehalt, sondern in Folge falscher Ausbeutung; so war zu Anfang der 80-er Jahre der Werth des gewonnenen Metalles noch 190,000 Rubel!

²⁾ Ardon bedeutet auf ossetisch — der schäumende, tosende oder heissere Bach.

Tepli (5423 M.), dann die Theile der „Bunten“ zwischen dem Kriu-choch (3402 M.) und dem C endlich die Theile zweier Ketten der „Schwarz den Gipfeln des Karz (1525 M.), Sgaryschk (760

Der mittlere Ardon liegt in einem gekrümmten entsprekend dem geologischen Baue des nördlich an bestimmten Stellen in ein breiteres Thal oder aber auch sich zur Schlucht und Klamm ver

Das Querthal des Ardon beginnt in seinem Hochgebirge angehörigen Theile mit dem Que don. Letzteres bildete in einer nicht zu fern gel Periode den Boden eines Seebeckens; dafür spr die vorhandenen Terrassen. Unterhalb bis St. Nik donthal die ihrer Schönheit wegen bekannte, 15 V schlucht, welche an einigen Stellen eine richtig Diese öffnet sich bei St. Nikolaus und geht in ein Becken über, das den selben Namen trägt. Nördl lung des Ssodon-don verengt sich das Thal von neue in welcher sich die „Bat'sche“ Pforte befindet. Je schen den Flüssen Archon und Unal wird die s breiten Thal. Von hier ab beginnt der nördliche schlucht, welcher den Vorbergen angehört. Auf das Thal jenseit des Unalflusses wieder eng, um Mündung des Nichass sich zu einem kurzen Becke ses verengt sich wieder zu einem Thal und mit Querthal des Ardon.

Das eben beschriebene Relief des Ardonquertl ständig den Gesteinen, welche diesen Theil des r aufbauen. Die Querthäler des Mamisson-don und südlich von der Granitaxe des Kaukasus befinden, d

von der Bat'schen Pforte, in den Vorbergen bis zur Nichassmündung, durchschneidet das Ardonquerthal jurassische Ablagerungen: werden von verschiedenen sandig-thonigen Gesteinen gebildet. Die feste Kalksteine des oberen Jura unterlagern. Von der Mündung des Nichass ab werden die oberjurassischen Kalksteine durch mergelige Kalke der oberen Kreide verdrängt, welche von mergeligen Steinen unterlagert werden.

Das Querthal des Ardon öffnet sich in ein breites, 5,6 Kilom. langes Thal, an dessen Nordende zwei den „Schwarzen Bergen“ angehörende Gipfel—der Sgaryschk und der Kauat—postirt sind, während im Süden zwei Spitzen der zweiten Kette der „Schwarzen Berge“—der Tamisk und Tamisk stehen. Im Westen und Osten endlich ragen die Abhänge der Querketten empor, welche die Höhen des Kauat mit dem Sgaryschk und den Tamisk mit dem Kauat verbinden. Die grössten Höhen im Süden des Karz übersteigen nicht 1525 Meter, aber im Norden nicht 760 Meter.

Die beiden Ketten der „Schwarzen Berge“ sind nichts anders als vorgelagerte Falten der jüngsten Sedimente, welche die Vorberge des Kaukasus aufbauen. In den Profilen des Kauat sind obercretäre Mergelkalke entblösst. Südlicher in den westlichen und östlichen Abhängen finden sich Entblössungen von mergeligen Sandsteinen und Banken von eisenhaltigen Kalksteinen, welche die Felsen des Karz und Tamisk bilden.

Diese Felsen sind von tiefen Erosionsschluchten („Balken“) durchschnitten, durch welche dem Ardon Gebirgsbäche zufließen. Der erste einseitige Zufluss des Ardon ist der Nichass, der aus den „Felsenbergen“, am Chossege entspringt.

Bei der Mündung des Nichass ist das Ardonquerthal schon 727 Meter über dem Meere. Von hierab verengt sich das Thal zu einer engeren Schlucht. Zwischen den dichten Buchenstämmen, sieht man und da die nackten Felsen, welche aus festem eisenhaltigem Kalkstein bestehen, der mit den Mergeln wechsellagert und dem Neocom angehört; unten hört man den Ardon rauschen und sieht seine Wellen zwischen bewaldeten Ufern dahin stürzen.

Hier münden in den Ardon linkerseits einige warme Schwefelquellen. Eine dieser Quellen kommt aus einer hart am Wege gelegenen kleinen Kalksteinhöhle; die Tiefe des Wassers in der Grotte ist nicht mehr als 7 Meter; die Temperatur 10° C.

Südlicher wird das Querthal wieder breiter. Diesen südlichen Theil des Vorberge beherrschen folgende Höhen: rechts die hohen, grau getönten, steilen Felsen des Kriu-choch oder Kario-choch (3402,5 Meter). Links die Wände des Chossege oder Kossek (3085 Meter). Dieser Theil des Ardonquerthals gehört ausnahmslos harten und festen dolomitischen Kalksteinen des Jurasystems an, welche von verschiedenster Farbe sind—hellgrau, dunkelgrau bis schwarz.

Dort wo das Thal von dem Kriu-choch und Chossege von neuem verengt wird, hängt hoch über dem Wege auf einem Felsen, wie ein

Felsvorsprüngen liegen Aule und Gehöfte des Walad jirschen) Stammes; rechts: Unal (Ober-, Mittel- und davon das Schloss der Fürsten Eristow-Ssidamonow Aule Urss-don, Donisser und Dagom mit einer Synagoge u. a. m.; links die Aule Kussurt, Ssachakat u. s. w. Aul Cholst finden sich Blei- und Silbergruben, alten Griechen mit Erfolg Silber gewonnen wurde. Brücke (1004 Meter ü. d. Meere) über den Ardon hier zweigt sich ein Reitweg von der Ossetischen in den benachbarten Kurtatinquerthal. In der Tiefe des Thales der originelle ossetische Handelspunkt — Gulak. Von Gulak sind 24 Werst.

Oberhalb Gulak wird das Thal beständig enger und steiler; in den Entblössungen gehen jurassische Tage. Rechts stehen die Aule sehr dicht, von der man zu sehen sind; links sieht man (Ober-, Mittel- und Unter-) treten wir durch die „Bat'sche Pforte“, die von Genuesen angelegt sein soll; sie verschloss den Zugang zum Thal von Norden. Die Strasse ist hier in den Fels gehauen.

Weiter nach Süden erscheinen zuerst die granitigen Felsen.

Das Querthal des Ssadon-don ist sehr tief und flussarm zwischen vertikalen Granitfelsen; links gehören die Aulen lardy-rjatsch und Chod an, und rechts den Nordost- und Ssadon-wzek. Letztere gehören zur Gruppe der Ssadon-wzek.

Eine gute Strasse führt von der Brücke (900 Meter) hinauf zum Bergwerk von Ssadon (1268 Meter). Die Schächte liegen am Fusse der Abhänge der beiden Aulen lardy-rjatsch und Chod, am Flusse Chod, oberhalb der Nordost-Ecke des Beckens. Das Erz kommt aus dem Ssadon-wzek.

gegenüber Nusal, am anderen Ufer, ragen auf hohen Felsklippen die Überreste einer alten Festungsrue empor. Der Ardon fliesst hier auf dem felsigen Bett, über welches eine hängende Brücke zur Felsklippe führte.

Von Nusal führt eine hohe Brücke, über welche die alte Militärstrasse von der linken auf die rechte Seite des Thales über geht. Von hier bis St. Nikolaus sind nur 4 Kilom. Die Höhe ist hier 42 Meter auf 1 Kilometer.

Die Ebene mit dem Namen Urotschitsche (Platz) St. Nikolaus ¹⁾ bezeichnet eine ebene Terrasse auf dem Boden eines mittelgrossen Kessels,

Südlich von der Kassarschlucht, im N von der Nussalschlucht liegt sie. Der Kessel ist von hohen und steilen Felswänden eingeschlossen, im Osten nämlich von den Ausläufern des Zmia-choch, im Westen von den Vorbergen Kelber ²⁾ und Zachuzpri-choch.

Der Kelber bietet von hier aus ein wunderschönes Bild. Sein Gipfel besteht aus drei Felszacken, von welchen der nach St. Nikolaus gerichtete, von einer bedeutenden Schnee- und Firnmasse bedeckt ist; von letzterem geht ein Hängegletscher aus, der die Spitze des Berges in einer Eiskappe krönt.

Die Länge der Terrasse ist 1 1/4 Kilom., die Breite nicht über 3/4 Kilom., die Höhe über dem Meere 1139 Meter. Der Ardon umspült seinen Austritt aus der Kassarschlucht mit seinem hier nicht in ein Gewässer die Terrasse linkerseits. Die Terrasse besteht aus Stufen, die durch einen Abfall von 5 1/2 Meter Höhe getrennt sind. Die Theile sind Flussterrassen; ihre Oberflächen sind mit mächtigen Geröllrämmern bedeckt, besonders die obere. Auf der Mitte der oberen Terrasse liegt das hübsche Haus der Ingenieure des Wegebauministeriums. Die rechten Thalwände des schönen Kessels bestehen aus Proterozoischen Feldspathkrystalle enthält; die linken Thalwände, dicht an der Ingenieurhause, aus Glimmerschiefer, welchem Chlorit und Hornfels in den oberen Horizonten beigelegt sind und so allmählich in Hornfelsblendeschiefer übergeht; die Ufer des Ardonbettes selbst bestehen aus Thonschiefer.

Im Süd-Westen mündet in diesen Kessel das Thal des Zei-don oder im Süden die Kassarschlucht mit seinen beiden Alpenthälern des Nar-don und des Mamisson-don. Die Kassarschlucht ist ausschliesslich durch die erodirende Kraft des Ardon entstanden, welcher in einer Ausdehnung von 15 Werst den Granitkern des Kaukasus mit den anlagern-krystallinischen Schiefer- und Gneissmassen im Gebiete des Kelber Zmia-choch durchsägt hat,

Das Thal des, nicht weniger als der Ardon tosenden, Zei-don ist 15—16 Werst lang.

Das Thal liegt versteckt zwischen den kurzen Falten zweier hoher Gebirgsgruppen, welche östlich von der Berggruppe des Adai-choch und Sson-

¹⁾ Auf den Karten ist die „Kapelle“ St. Nikolaus angegeben.

²⁾ Auf den Karten heisst er „Kaltwer“.

herrschend Thon, Glimmer, und Chloritschiefer. beider Abhänge, trägt den Charakter einer typischen die untere den sub-alpinen und Waldcharakter. fällt in weitere zwei: in die Schneeregion und eig. Entsprechend der Steilheit der Wände, der schmalen Durchschnittshöhe derselben gehört der ganze Thales und speciell der Kamm des rechten Kelberregion an; dagegen gehört der östliche Theil (welche grösstentheils aus nackten Felsen besteht. gen Alpenwiesen verstreut; auf ihnen finden sich die kriechenden kaukasischen Rhododendren.

Etwas schärfer ist die subalpine Region auf den oberen Theil der unteren Stufe ein, welche Seite von Felstrümmern eingenommen ist. Unterhalb der Mattenregion beginnt die Zone der subalpinen Stufe übrige Theil, sowie das Bett des Zei-don selbst mit bedeckt ist.

Der Zei-don fliesst von seinen Quellen an zuer gegenüber dem Aul Unter-Zei verändert er seine südöstliche, die er bis zur Vereinigung mit dem . Der südöstliche Theil des Thales besteht aus zwei Theilen — der obere ist die typische wilde Schlamm- und Gletschers, — begraben unter Schnee-, Firn- und untere — ist der anmuthige, schöne, von Wald bedeckte den höhern Partien von Schnee und Eis bedeckt. Theil des Thales ist auch mit Wald bestanden; diesseits der Schneeregion, breiten sich die subalpinen

Die Mündung des Zei-don liegt 1195 Meter, die gletscher hervorspringende Quellen aber 2060 Meter. Auf diese Weise hat der Zei-don auf einer Strecke von 10



angen, den waldigen Abhang des linken Zei-donufers hinan, Indung des letzteren herum, dann in das Zei-donthal selbst überquert auf einer Brücke den Zei-don. Hier stürzt der ausend von Felsblock zu Felsblock. Die Farbe des Zei-don Jahres durchsichtig blau-grün, ¹/₄ des Jahres aber milchschermilch).

er 5 Werst von St. Nikolaus wird das Thal von dem Felsen Ssodon-zweg eingeeengt. Von hier geht der Weg in Ziklen steilen Aufstieg hinan zum Aul Unter-Zei (1750 M.).

Hier eröffnet sich ein herrliches Panorama auf den südwestlichen Theil des Zei-donthales, in dessen Tiefe, aus dichtem Waldes-fer von Felsen umrahmte untere Theil des Zeigletschers ab- welchem der Adai-choch gerade emporragt.

Aul Ober-Zei senkt sich die Strasse zuerst hinab in eine Lichtung, und dann auf den Boden des südwestlichen Theiles des Ales (1526 Meter), um einen Felsvorsprung herum, auf dessen Kapelle des Heiligen Waschkerge liegt.

Das Thal zeigt alle Anzeichen einer Vergletscherung. Das ganze Thal liegt auf einer alten Grundmoräne bedeckt, durch welche der Zei-don ein Bett durchgräbt. Die Moräne zeigt alle charakteristischen Unregelmäßigkeiten: unregelmässige Erhebungen, zwischen welchen tiefen und kleinen Becken zerstreut liegen, Massen von Blöcken aller Grösse etc. etc.

Die Moräne ist auch von einer Menge kleiner Bäche durchschnitten. Hier findet sich eine der altossetischen Heiligenstätten, zu Ehren des Georgius, die Stätte Rekom. Hier von dem Platz, wo der hölzerne Glockenstuhl steht, eröffnet sich nach Süden die schönste Aussicht: der Berggrund hebt sich zwischen dem Dunkel des Fichtenwaldes in der Form der kolossalen Felsen „Ssaufi-dar“. Einige hundert Fuss über dem Niveau des Flusses: links liegt das kurze aber breite, untere Theile bewaldete Thal, dahinter die majestätische Spitze des Skasgletschers, über welchem weite Schneefelder glitzern. Der Gletscher ist von Dechy unter den Namen Rekomgletscher bezeichnet. Von der Mündung desselben sieht man die mächtigste Wasserfälle.

Die Strasse schlängelt sich die Strasse zunächst längs dem linken Steilwand hoch über dem Zei-don: sie führt aber bald auf den linken Rain „Uzilla-i-fash“, der von stämmigen Fichten bewaldet ist. Von hier hat man einen prachtvollen Ueberblick auf den hohen Kamm und Gipfel des Adai-choch. Es bleibt jetzt noch ein Zeigletscher ein, ²/₁ Werst langer, Fusspfad durch dichten Wald, den Bächen entlang, welche hier in vielen Verzweigungen durch den Wald herieseln, später aber unter den Felsstrümmern sich verliert. Einmal hört der Wald ganz auf und vor uns thut sich das

Dechy kannte offenbar nicht den Namen Skasgletscher und selbst den Namen Rekomgletscher.

ärziger als jetzt.

Die Gletscherstirn wird links und rechts von eingerahmt, von welchen die rechte besonders schmale Wand 20—25 Meter hoch über die Gletscher am Vorderrande der Gletscherstirn, dort wo die dahinschiessen, lagern auf der breiten Sohle der heutigen Moränenablagerungen, unter welchen die jüngsten Endmoräne sich abheben. Hier ist der Ort, an dem das von ihm mitgeführte Material abladet; dem einen Theil des Gletscherthales von Terrassen älterer die sich unmittelbar an die Felsränder des Thales Aufmerksamkeit verdienen die hohen Granitwand, mit ihrer vollkommen polirten und geschliffenen Oberfläche. Am Fusse dieser Wand lehnen eine Reihe, leicht gestellter, Hütten, welche einen, allerdings wenig der Osseten vorstellen. Hier versammeln sich nach dem Juli aus ganz Ossetien die Heilungsbedürftigen, die Zahl derer bis auf 150—180 Familien steigt. .

Der Zeigletscher ist ein Gletscher erster Ordnung, der aus zwei Hauptgletscherarmen und mehreren zusammen. Sein Gesamtnährgebiet liegt auf dem Tschachigruppe und der Gipfel, die letztere umgeben von Tschachigruppe u. a. m.

In orographischer Beziehung kann man im hohen Caucasus zwei Terrassen deutlich unterscheiden—eine obere und eine untere. Die obere Terrasse liegt auf dem Südostabhange des Tbiliss und auf dem Ostabhange des Tschachigruppe. Sie nimmt auf diese Weise die westlichste Stelle ein. Der niedrigste Punkt dieser Terrasse liegt auf dem Meere. Sie wird von drei Seiten von dem hohen Caucasus begrenzt.



Gletscherhor des Zeigletschers.

1

Congrès Géolog. Internat.

Pl. C.



umgeben, bestehen ausschliesslich aus fast nackten, nur mit bewachsenen grauen Graniten. Diese obere Terrasse trägt das Schneegebiet des eigentlichen Zeigletschers und seines rechten und den höchsten Theil des Gletscherstromes. Die mittlere des Gletscherbettes erstreckt sich von der oberen nach Norden zum Ende der, mit dichtem Walde bedeckten, Stirnmoräne: Norden von Steilen Felswänden des Adai-choch und im Süden den Felsen des Kelber eingeschlossen.

Der Theil dieser Terrasse, der sich unmittelbar an die oberen und linken Thalwände des Gletscherbettes anschliesst, besteht aus dem kaukasischem Granit, während unterhalb paläozoische Gesteine anstehen. Das Querthal ist hier nicht so finster und wild, als der obere Theil: mit Ausnahme der nackten, glattpolirten Felsen sind die sanften geneigten Gehänge überall mit grünen Alpenkräutern besetzt, und am Fusse der Felsen findet sich dichtes Rhododendronstrüpp und sogar vereinzelte Fichten etc.

Die mittlere Terrasse besteht in ihrem oberen Theile aus zwei Stufen, an welche sich der übrige fast ebene, schwach nach Osten gerichtete Theil der Terrasse anschliesst. Die Länge der mittleren Terrasse übersteigt nicht 5,5 Kilom., bei einer Breite von 4—5 Kilom. Die obere Stufe der Terrasse ist etwas breiter etwa 1 Kilom. Die Enden der mittleren Terrasse sind von kurzen Querschluichten durchzogen, die von obenher von Schnee oder Eis oder secundären Moränen ausgefüllt sind. Die ganze mittlere Terrasse ist vom grösseren Theile des Eisstromes und seiner Mündung aus-

genommen. Der Zeigletscher fällt entsprechend dem beschriebenen Relief des Bettes in drei Eiscascaden hinab, die auf dem Abhänge der oberen und mittleren Terrasse liegen. Der Eisstrom der oberen Terrasse liegt unter einer mächtigen Schnee- und Firndecke begraben, stellenweise ganze Hügel bilden. Diese Schneeanhäufungen entstehen durch die beständigen Lavinestürze, die von dem Adai-choch kommen. Nur kurz vor dem oberen Eisfall ist das Gletschereis aus jener Decke, und zeigt die frischen Spalten, die übrigens von gestürztem Schnee ausgefüllt sind. Diese Schneemassen umhüllen den Eisfall selbst und geben ihm ein eigenartig schönes Gepräge. Das Weiss um so schärfer vom Dunkel der Felswände sich ab-

hebt. Am Fuss des oberen Eisfalles, d. h. am Anfang der mittleren Terrasse, nimmt der Haupteisstrom von rechts den grössten Seitenarm auf, welcher ebenso, aber mit einem kleineren Falle, hinabstürzt. Beim Vereinigungspunkt der Eisströme ist er etwa $\frac{1}{2}$ Kilom. hoch mehr oder weniger steil und daher zerrissen von vielen Spalten, besonders am Fusse des mittleren der vorspringenden Felsen, welcher die obere Terrasse in zwei Hälften theilt. Auf der Oberfläche sieht man unter dem tiefen Schnee einige Felsstücke liegen, welche die Richtung der Mittelmoräne, der Vereinigung

der beiden Eisströme, anzieht. Unterhalb folgen hintereinander Entfernung von $\frac{1}{2}$ Kilom. zwei grossartige Eisfälle der mittleren Terrasse, von welchen der untere höher und grossartiger ist als der obere. Beide Eisfälle zeigen grotesk geformte Eiszacken- und Klüfte. Der obere aber ist mit Staub und Moränenschutt zum Theil bedeckt. Bei der Höhe des unteren Falles habe ich auf 300 Meter bestimmt. Die Eisfälle werden von rechts und links von Ufermoränen eingefasst. Auf seiner Oberfläche trägt der untere Fall mittelgrosse Seitennurten.

Vom Fuss des unteren Falles an folgt die längste Ausdehnung (circa 5 Kilom.) des Eisstromes, die er in seinem ganzen Verlauf einnimmt. Das Gefälle desselben ist dabei nicht grösser als 5°. Der Eisstrom ist rechterseits in seiner ganzen Länge von einem brechenen Ufermoränenwall eingefasst. Dieser Wall fällt senkrecht abwärts der Fläche des Eisstromes steil ab, und zur anderen Seite, zu der des Querthals, tritt er mit einer Reihe älterer Moränenwälle in Verbindung, auf welchen sich bereits eine subalpine Flora, ja derselben sogar einige Kiefern ansiedeln konnten.

Linkerseits ist der Eisstrom der mittleren Terrasse ebenfalls von einer Ufermoräne eingefasst, die aber nicht die Steilheit der anderen erreicht. Diese Moränen haben eine Höhe von 20–25 Metern über der Oberfläche des Eises.

Das erste Drittel des Eisstromes, vom Eisfall an gerechnet, scheint im Verhältniss zum übrigen Theil des Eisstromes abzuweichen. Auf dieser Strecke unterscheidet man auf der Oberfläche des Gletschers zwei verschiedene Zonen: die rechte, schmaler, ist von Anfang bis zu Ende mit Moränenschutt bedeckt, die linke ist ganz völlig frei davon. Auf der Grenze dieser beiden Zonen liegt eine Mittelmoräne hin. Parallel dieser geht eine tiefe Rinne, die in den letzten Jahre in Folge des mächtigen Abthauens des Gletschers entstanden hat. Die rechte Hälfte des Eisstromes grenzt unmittelbar an eine Ufermoräne und ist in breitem Streifen von dem Material





Zei-gletscher. (Linke Seite).

nenmaterial ist einförmig und besteht hauptsächlich aus grauen alpinen Graniten, ferner aus Thonschiefern, paläozoischen Schiefern etc.

Ingeachtet der geringen Neigung des Gletscherbettes ist die Oberfläche des Gletschers am Fusse des unteren Falles gewaltig zerrissen in tiefen Rand- und Querspalten, Vertiefungen, Gletschermühlen etc., von Wasser oder Moränenschutt erfüllt sind. Ebenso durchsetzt einer Reihe von Randspalten ist auch die linke Seite des Gletscherstromes an der Stelle, wo ein Bergstrom von dem Hängegletscher südlichen Abhänge des Adai-choch einmündet, und endlich an der rechten linken Seite der Gletscherzunge, mit dem Unterschiede, dass alle Spalten nur Längsspalten sind. (pl. D.)

Der Eisstrom endet mit einer, die ganze Breite des Thales einnehmenden, hohen Gletscherstirn, welcher die Stirnmoräne, in Form einer Reihe mittelhoher Hügel, vorgelagert ist. In den oberen Theil des Gletscherstromes, welcher der mittleren Terrasse angehört, münden rechts drei kleinere Gletscherarme, und zwar einer zwischen den beiden oberen Eisfällen, die beiden anderen zwischen dem zweiten und dritten. Links dagegen nimmt der Gletscherstrom heute keinen Arm auf, gleich von dieser Seite ein grosser Hängegletscher von den Ostabhängen des Adai-choch zum Zeithal vordringt. Dieser Hängegletscher webt jetzt über den oberen Rande der Felswand des Zeiggletscheres.

Der Zeiggletscher befindet sich ebenso wie alle kaukasischen Gletscher, die sich im Laufe der letzten 12—15 Jahre beobachtet haben, in demselben Zustande des Rückzuges ¹⁾. In diesem Zeitraume hat sich das Ende des Gletschers um 172 Meter zurückgezogen ²⁾; dabei hat sich die Höhe der Gletscherstirn im Mittel um 9 Meter verringert, und deren Breite der Sohle um 180 Meter.

Selbst im Relief der Gletscherzunge sind schon Veränderungen zu sehen gegangen: die Stirn, die früher nicht jedem leicht zugänglich war, stellt jetzt nichts anderes als eine mächtige Eismasse dar, welche eine Menge einzelner Stücke verschiedenster Grösse zertheilt, von alten und Vertiefungen durchsetzt und unter Moränenschutt begraben liegt.

Die Erscheinungen der Veränderung des Gletscherreliefs in Folge des Abschmelzens zeigen sich am Zeiggletscher in derselben Weise wie am Genal-dongletscher (vergl. „Der Genal-dongletscher“ von Constantin von Meussikow) nur noch in grossartigerem Maasstabe.

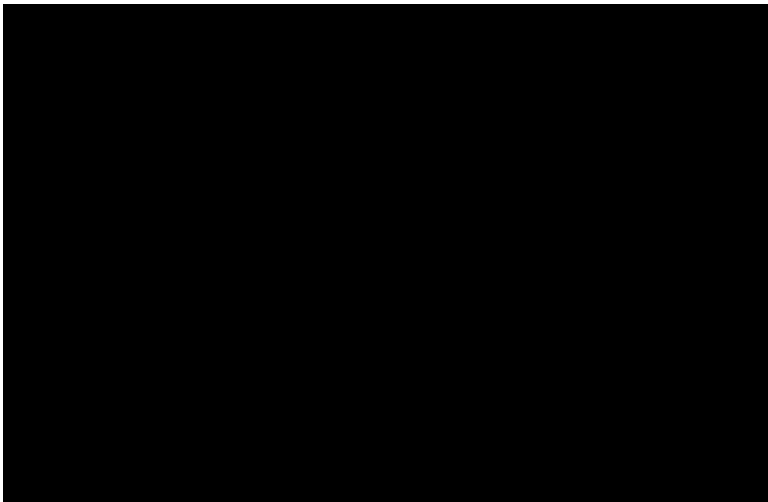
An dem oben erwähnten (vergl. p. 16 und pl. D.) grössten Block

¹⁾ Die Beobachtungen über den Stand der Gletscher vom 1885—1894 inclusive sind ausführlich in meiner Arbeit „Der Stand der Gletscher und der Seen des centralen Nordkaukasus“ besprochen. Vergl. *Trudy d. kauk. Section d. Kais. Russ. Geog. Gesell.* Bd. XVI, 1894, p. 223—225 u. ibidem B. XVIII, 1895 p. 289—295 (russisch.)

²⁾ Die Beobachtungen der Jahre 1895 u. 1896 stellten fest, dass die Gletscherermündung noch um 22,5 Meter kleiner geworden ist.

der Mittelmoräne, welcher einen grossartigen Gletschertisch liessen sich durch Messungen im Jahre 1893 und 1894 folgen nachweisen. Dieser Block stand nämlich im Jahre 1893 279, über der festen, vor dem Fusse der Gletscherstirn angebrachten während er 1894 nur 272 Meter über dieser lag; der Block hat dabei aber in der Bewegungsrichtung des Gletschers über 2 gegen die im Jahre 1892 auf der Ufermoräne aufgestellten abwärts verschoben, wie sich durch Visiren quer über den Gletscher feststellen liess. Mit anderen Worten: der Gletscher bewegte im Laufe eines Jahres mit einer Geschwindigkeit von 15 Metern circa 0,05 Meter pro Tag.

Zum Schluss muss noch auf die Thatsache aufmerksam werden, dass zu den besten Zeugen der, noch historischer Zeugen gehörigen, früheren gewaltigen Ausdehnung des Zeigletschers der „Ssau-fidar“ gehört. Er steht zwischen dem Zei-don- und Zei-fidar und bewahrt ebenso wie die Thalwände selbst, besonders an den Fuss des unteren Eisfalles und links vor der heutigen Gletscherstirn die in den Fels gezeichneten Beweise dafür. Diese Zeugen beruhen auf der festen Annahme, dass der Zeigletscher über den „Ssau-fidar“ hinüberschritt, sich mit dem Skas (Rekom) — Gletscher vereinigte und das Zei-donthal bis zu jenem Felsvorsprung ausfüllte. Von dort aus das Gehöft Ober-Zei liegt; noch weiter zurück, in der Glacialzeit erfüllte der Gletscher auch den übrigen—östlichen Theil des Zei-donthales, und reichte in das Ardonthal bis St. Nikolaus.



XXIX

LA MER NOIRE

PAR
N. ANDROUSSOW.

Entourée presque de tous les côtés par la terre ferme, la Mer Noire est mise en communication avec la Méditerranée par le Bosphore de Thrace, très étroit et ressemblant à un fleuve. Elle présente un bassin régulier et profond, au relief très simple. La bande de mer qui longe la côte est généralement étroite et peu profonde; la ligne de 100 brasses s'approche très près de la côte de la Crimée, du Caucase et de l'Asie Mineure et s'éloigne quelque peu à l'angle NE de la Mer Noire. On se voit surtout distinctement par la carte bathymétrique ci-jointe (basée tant sur les cartes marines antérieures que principalement sur les profondeurs plus grandes) sur les sondages faits en 1890 et 1901 par les expéditions du Tchernomoretz ¹⁾, du Zaporojetz ²⁾ et du Kertch ³⁾.

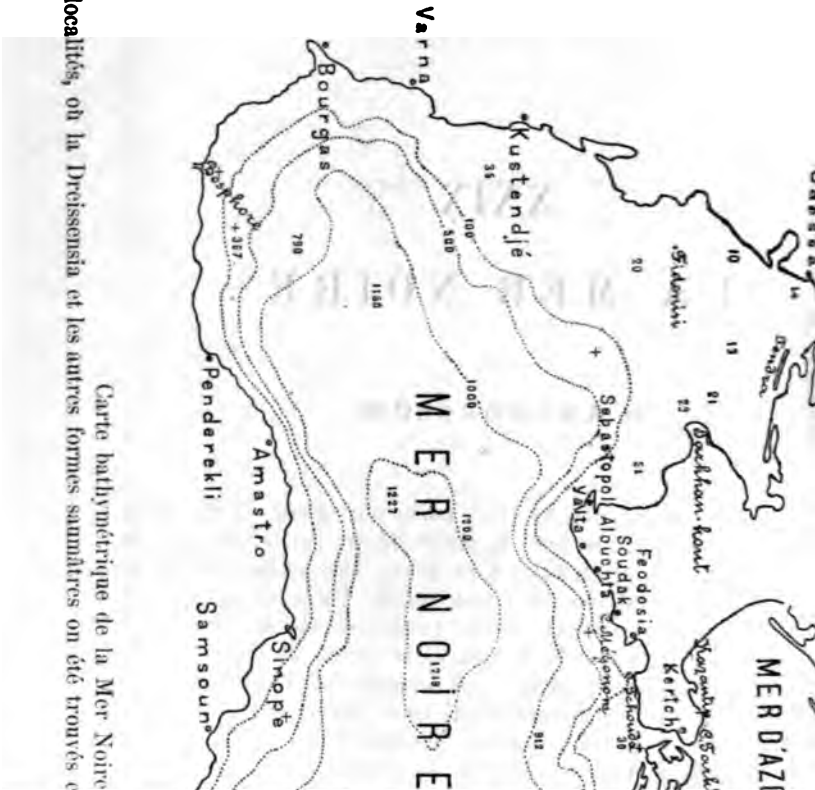
A partir de la ligne de 100 brasses le fond s'abaisse rapidement jusqu'à une profondeur de 800 brasses ⁴⁾ pour redevenir plat, la profondeur maxima de 1227 brasses (2244 m.) se trouvant plus près de la côte de l'Asie Mineure, approximativement sur le méridien de Sébastopol et sur la parallèle de Soukhoum. La Mer Noire avec la Mer d'Azov couvre une superficie de 360850 kilom. carrés et présente un volume

¹⁾ Sous le commandement du capitaine Smirnow. L'expédition se composait de J. Spindler, le baron Wrangel et N. Androussow.

²⁾ Sous le commandement du capitaine Martyno. L'expédition était composée de J. Spindler, A. Lebedintsev, A. Ostrooumow, A. Rkownikow, Zélinisky et Poproujenko.

³⁾ Sous le commandement du capitaine Poutsillo. Les membres de l'expédition étaient les mêmes.

⁴⁾ On observe des pentes de 4° à 6° (près de la Crimée et d'Amasée) et même jusqu'à 10° (Rizo) et 12° (Guélandjik).

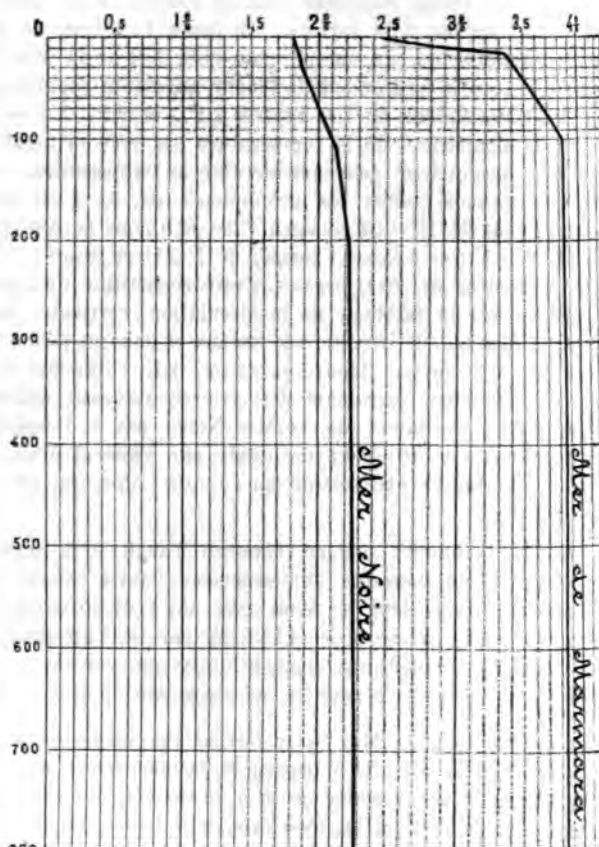


Carte bathymétrique de la Mer Noire
 + — localités, où la Dreissensia et les autres formes saumâtres ont été trouvés

on 280000 kil. cubes. Ses eaux sont en général moins salées que les océans, surtout à la surface. Au large, la teneur en sel est à 1,8‰, devenant encore moindre au coin NE de la Mer Noire à 1,38‰. Avec la profondeur la teneur augmente régulièrement, tant à une profondeur de 100 brasses 2,1‰ et 2,2‰ à 1000 brasses. La répartition de la température est très originale. De face à une profondeur peu considérable la température, variant droits et par mois entre les profondeurs de 30 à 45 brasses, se rapidement de 15°—24° jusqu'à 7°,2—6°,9 pour se relever peu jusqu'à 8°,8 à 100 brasses, jusqu'à 9° à 200 et jusqu'à 9°,3 à une profondeur de 1200 brasses. Cette répartition de la température s'explique par la faiblesse de la circulation verticale, amenée par la grande différence de densité à la surface et dans les profondeurs. La densité à la surface trouve sa raison dans l'affluence d'énormes quantités d'eau douce provenant des rivières. Les eaux qui échappent à l'évaporation s'écoulent de la Mer Noire par le Bosphore de ce; le courant en a été étudié en détail par l'amiral Makarow. Le résultat de ses études relativement au courant supérieur peut être résumé comme suit:

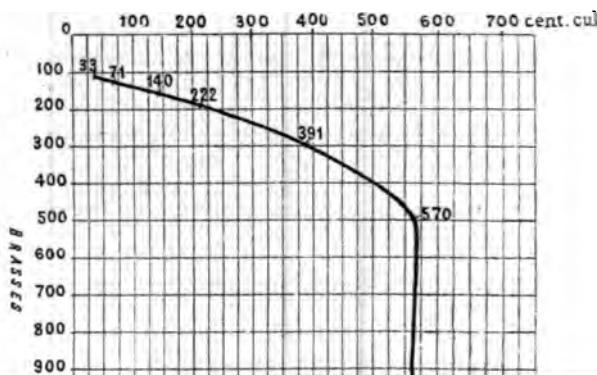
- 1) Dans le Bosphore, comme Marsigli l'avait déjà signalé, il existe deux courants, l'un supérieur, l'autre inférieur.
- 2) Le courant supérieur se meut avec une vitesse moyenne de 3,75 pieds par seconde (1,143 mt. par sec.) atteignant par endroits 10 pieds par seconde (3,048 mt. par sec.).
- 3) En même temps la teneur en sel augmente de 1,85 à 2‰.

Cette eau adoucie de la Mer Noire s'étend en couche de 10 brasses sur la surface de la Mer de Marmara et, se chargeant jusqu'à une teneur de 2,4 ‰ de sel, s'écoule de là à la surface des Dardanelles vers l'Archipel. De là coulent au fond des Dardanelles les eaux lourdes et salées de la Méditerranée (3,8‰) dans le bassin profond (700 à 1000 brasses) de la Propontide, remplie d'eau d'une teneur en sel de 3,8‰. A leur tour les eaux lourdes de la Propontide coulent dans le Bosphore formant au fond un courant inférieur dans le sens inverse, dans la direction vers la Mer Noire. A son entrée dans la Mer Noire ce courant possède une teneur en sel d'environ 3‰; mais ses eaux se mélangent bientôt avec celles de la Mer Noire et une partie d'entre elles se couche au fond. Cela explique la grande teneur en sel et la température élevée dans les profondeurs de la Mer Noire. Si cette mer était entièrement fermée, la température des couches profondes ne dépasserait pas 6° C., température moyenne à la surface, tandis que maintenant la chaleur y pénètre avec l'eau salée. Toutefois la circulation dans les profondeurs doit être très lente. La quantité d'eau, fournie par le Bosphore, est minime en comparaison du volume de la mer elle-même. Selon Makarow le courant inférieur apporte 200000 pieds cubes par seconde et le courant supérieur en emporte 370000, de sorte que 170000 pieds cubes formeraient l'excédent échappant à l'évaporation.



tion, ou annuellement 147 verstes cubes, ce qui ne serait que le du volume de la Mer Noire. Il ne faudrait donc aux couches p des pas moins de 1700 ans et même davantage pour se renouveler, que les eaux de la surface se renouvellent chaque année. Ce j mène explique la grande différence chimique des eaux du fond la surface de la Mer Noire.

Les eaux supérieures, d'une puissance de 125 brasses et d'un car normal, contiennent la quantité habituelle d'air dissous, quanti fisante à l'entretien de la vie organique. Les courants verticaux i cendent qu'à une profondeur de 100 brasses, arrêtés qu'ils sont couches inférieures plus denses. L'oxygène de ces dernières n donc se compléter que par la diffusion et le courant inférieur du Bosphore, par conséquent lentement et trop peu rapidement soutenir la vie organique. En général la somme totale de g mosphériques diminue dans les profondeurs de la Mer Noire a pens de l'oxygène; en même temps il s'y forme de l'acide sul



ieurs espèces, mais jusqu'ici on n'en a étudié qu'un seul (*Bacterium rosulfuricum ponticum*) qui, dans des conditions anaérobies, dégage du sulfhydrique non seulement des milieux albumineux, mais aussi directement des sulfates et sulfites. Une petite quantité de cellulose et l'albumine, quoique non indispensable à l'activité vitale de ces bactéries, contribue à leur développement plus rapide. En conséquence les savants sont d'avis que la totalité entière de H_2S dans la Mer Noire vient des sulfates. N. Androussow au contraire, se basant principalement sur les faits suivants, pense que l'origine d'une partie de H_2S due à des matières organiques. Outre *Bacterium hydrosulfuricum ponticum* on trouve dans les profondeurs de la Mer Noire d'autres genres encore insuffisamment étudiés, qui semblent exiger une quantité de matières albumineuses plus considérable. D'après N. Androussow les écrivains, surtout, ne tiennent pas compte de l'accumulation de matières organiques qui se produit dans les profondeurs de la Mer Noire, ni de ses effets. Les eaux superficielles y pullulent d'organismes (plankton). La mort ininterrompue d'organismes pélagiques produit une pluie perpétuelle de restes organiques qui tombent au fond de la Mer Noire. Ces restes organiques, tombant au fond, peuvent jusqu'à la profondeur de 100 brasses être absorbés par d'autres organismes pélagiques, mais, arrivés à une profondeur plus grande, ils tombent dans les domaines où en dehors des microbes il n'y a plus d'autres organismes. En effet, au-delà de 100 brasses, nous ne trouvons aucun animal au fond ni dans l'eau (dans les autres mers les plantes chlorophylliennes ne descendent pas dans les profondeurs privées de lumière). L'insuffisance en O et la présence de H_2S en empêche le développement. Les restes d'organismes morts tombant au fond n'y alimentent ni aucun organisme benthonique, comme en général dans les mers et les océans. S'accumulant au fond ils servent de nourriture aux bactéries (se putréfient) qui de S albumines forment H_2S et qui, par l'insuffisance d'oxygène dans l'eau, le tirent des sulfates, ce qui à leur tour produit les sulfides et H_2S .



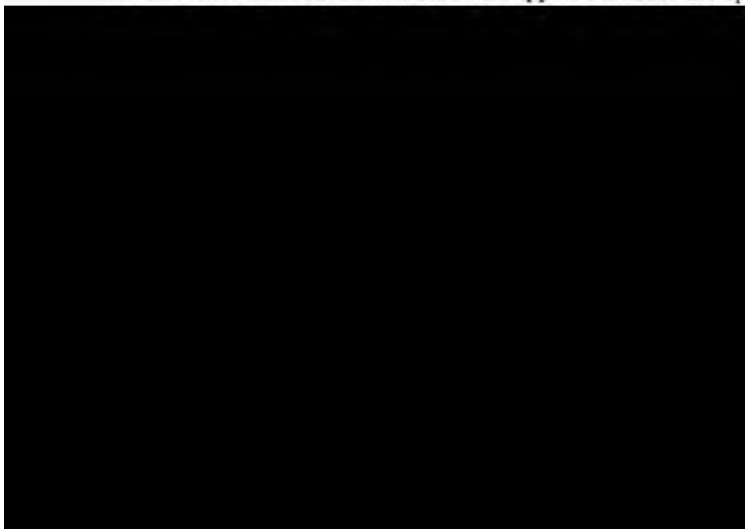
L' H_2S qui s'y forme se lie partiellement aux sels de fer; de là la richesse en FeS des profondeurs de la mer. Une partie seulement de H_2S pénètre dans l'eau et se répand dans les profondeurs de la Mer Noire. Ici sa conservation est due en partie à l'intensité de ce processus surtout à la pauvreté en oxygène des eaux profondes. En pénétrant dans les couches supérieures et en s'approchant de la limite de la circulation verticale anisée, H_2S commence à s'oxyder et à se décomposer peu à peu. M. Egounow suppose que ce phénomène d'oxydation de H_2S , observé très souvent dans la nature, est dû aussi à des sulfures. S'il en est ainsi, nous devons nous attendre à trouver dans la Mer Noire, à une profondeur de 100 à 125 brasses, une énorme couche de sulfobactéries.

Outre la formation de FeS la fermentation sulfhydrique de la Mer

Noire doit entraîner avec elle d'autres modifications chim l'eau et les dépôts. Premièrement cela doit produire une relative des sulfates dans la profondeur des eaux et, secondement de la quantité de carbonates. Malheureusement rons encore l'analyse complète des eaux profondes, faite par d'intzew, en sorte que nous ne pouvons pas encore affirmation des sulfates. Mais la formation habituelle d'un résieux de $CaCO_3$, dans les profonds dépôts de la Mer Noire, l'ueur de l'enrichissement des eaux du fond en carbonates.

La fermentation sulfhydrique n'a pas toujours eu lieu d Noire. Elle paraît avoir commencé au moment où son bassin en communication avec la Méditerranée. La géologie nous a cette communication doit s'être produite à une époque as comme le prouve le fait surprenant qu'au fond de la Mer trouve à diverses profondeurs des mollusques saumâtres, tels *polymorpha* Ben., *Dreiss. rostriformis* Desh. var. *distina* Tchaudae var. *pontica*, *Dreiss. crassa* n. sp., *Monodacna* pont *Didacna* sp., *Micromelania caspia* Eichw., *Clessinia* sp., . (Les points où on les a trouvés sont marqués sur la carte par une croix X). A des profondeurs peu considérables e semblent se rencontrer plus rarement; en tout cas il est t facile de les y distinguer dans la masse des coquillages con tandis qu'on les reconnaît facilement à des profondeurs pl où on en a trouvé des restes jusqu'à 400 brasses. Le fait trouvé dans la vase où la vie ne se rencontre plus, témoig époque relativement très récente la Mer Noire était un in sin semblable au Caspien.

Nous inclinons à croire que la Mer Noire n'a cessé d fermé qu'aux premiers temps de l'époque posttertiaire et q commencement de cet état de choses se rapporte encore à l'ép



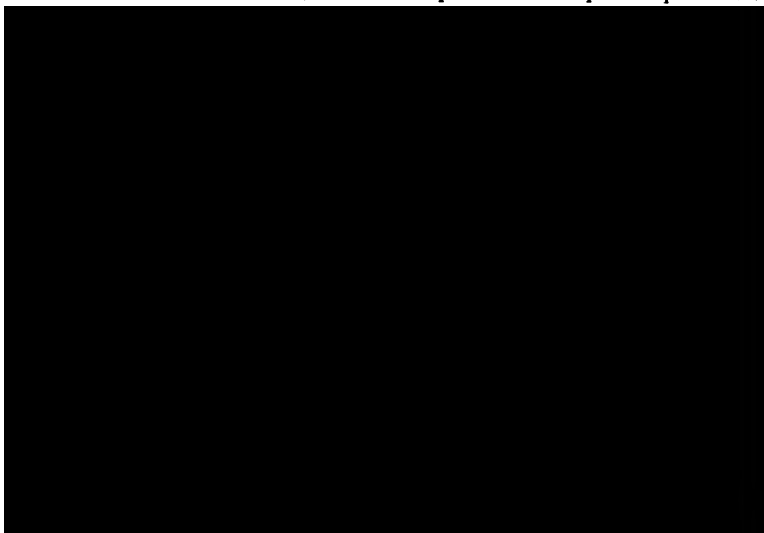
re que celle d'aujourd'hui et n'ayant laissé que de faibles traces de séjour. Ainsi, à l'époque postérieure à la pontique, viennent les sables de Koufainik (près d'Odessa), puis les couches de Tchaouda (zone supérieure), enfin, au commencement de l'époque posttertiaire, riches à faune caspienne de la Bessarabie du sud et de la rille de Kertch. Après le dépôt de ces dernières sont survenus des changements topographiques qui ont amené le passage des eaux de la Méditerranée dans la région du Pont. Ordinairement ce fait est mis en relation avec la formation du Bosphore. Cependant le Bosphore et la Mer de Marmara existaient déjà au moment du passage des eaux de la Méditerranée dans le Pont-Euxin, comme le témoignent des exemplaires de *Dreissensia rostriformis*, trouvés par Ostrooumow au fond du Bosphore et, par l'expédition de „Selanik“, dans les profondeurs de la Mer de Marmara. Pour ces raisons nous devons reculer la formation du Bosphore à une époque plus lointaine (pliocène) et en chercher l'explication dans l'histoire des pays plus méridionaux. On admet ordinairement que le passage des eaux de la Méditerranée est dû à la subsidence et à l'affaissement graduels de la terre ferme d'Egée qui ont ainsi dire mécaniquement permis aux eaux salées de pénétrer dans la région du Pont.

Une autre opinion, contraire à la précédente, était en vigueur jusqu'à Stefani ¹⁾ qui tendait à prouver que la Mer Egée existait déjà à l'époque pontique et qu'elle communiquait avec le Pont Euxin. Le degré de salure de celui-ci se serait maintenu grâce à des variations climatiques et topographiques. N. Androussow pense que les Dardanelles et le Bosphore ne se sont point formés par suite de l'existence de sillons, c'est-à-dire qu'ils ne sont point des taphros étroits, mais des fonds de vallées fluviales s'abaissant plus bas que le niveau de la mer par suite de changements respectifs de niveaux (très vraisemblablement des affaissements). La formation de ces vallées se rapporte à une époque plus récente que la sarmatique, le lit des Dardanelles s'étant creusé dans des couches sarmatiques. La présence près de Milipoli de couches de Tchaouda et de *Dreiss. rostriformis* au fond du Bosphore et de la Mer de Marmara prouve qu'à la fin du pliocène les vallées avaient un niveau plus bas que celui du Pont et que la Mer de la Mer de Marmara se trouvait dans les mêmes conditions que le Pont-Euxin lui-même. Après un certain intervalle de temps, à la fin de l'époque pontique, le passage des eaux de la mer est devenu possible par les Dardanelles, soit par suite d'un affaissement de la terre dans la mer Egée, soit par le changement des conditions qui ont amené le passage des eaux de la Méditerranée dans le Pont. Alors les eaux salées de la Méditerranée ont commencé à pénétrer dans les profondeurs de la Propontide et à détruire sa faune saumâtre en la remplaçant par une faune marine (dans la Mer de Marmara on trouve

¹⁾ de Stefani. Les terrains tertiaires supérieurs du bassin de la Méditerranée. Ann. de la Soc. Géol. de Belge. 1891.

des individus de *Dreiss. rostriformis* avec de petits coraux à face (*Caryophyllia*) — illustration curieuse de ce phénomène — tard les eaux de la mer de Marmara pénétrèrent aussi dans y produisant à leur tour la destruction de sa faune et for couche inférieure stagnante. Cela rendit impossible la pénétra les profondeurs du Pont de la vie animale, d'autant plus q organismes appropriés à l'existence dans les profondeurs — eussent pu pénétrer dans la Mer Noire, comme ils ont pénétr Dardanelles dans la Mer de Marmara—auraient trouvé une s suffisante. Grâce à la formation d'un tel domaine privé de v aussi à la ventilation insuffisante et à la masse considérabl tières organiques mortes provenant de l'anéantissement de la profondeurs du lac-mer Euxin à l'eau faiblement salée, la for l'acide sulphyrique a commencée de se produire. Comme les c physiques de la Mer Noire n'ont pas changé et que le tota des matières organiques, indubitablement épuisé depuis long été remplacé et se renouvelle tous les jours par des restes d'or cette fermentation continue jusqu'ici et se prolongera, à mo conditions physiques actuelles changent de leur côté.

L'historique sommaire de la Mer Noire nous explique s pales particularités. Sa faune marine proprement dite, c'est faune de ses parties les plus salées, consiste en éléments que terranée a pu lui transmettre par la Mer de Marmara et le Il en est provenu et il en provient encore une certaine électi pouvaient pénétrer que des formes eurybiotiques, capables d ter une eau bien moins salée. Grâce à ce phénomène la fa Mer Noire est, sous le rapport de la qualité, moins riche que la Méditerranée: plusieurs classes d'organismes (p. ex. les co siphonophores, les échinides, les ptéropodes, les céphalopode entièrement défaut, d'autres se présentent en petite quantité (a



trouvées dans la Méditerranée, nous pouvons cependant indiquer une forme appartenant indubitablement à cette époque, notamment *Modiola communis*. D'un autre côté plusieurs formes, propres aux côtes du nord, se montrent rarement dans la Méditerranée, mais en revanche elles se développent richement dans la Mer Noire, y trouvant des conditions de vie plus propices. Telle est par exemple *Modiola phaseolina*. Cette coquille, très ordinaire sur les côtes de l'Angleterre, se rencontre aussi dans la Méditerranée, d'où elle a pénétré par la mer Marmara dans la Mer Noire; mais, alors que dans la Mer de Marmara elle se rencontre isolément, disparaissant dans la masse des autres coquillages, elle prend un développement très riche dans la Mer Noire, y formant un faciès spécial à *Modiola* qui va en anneau autour de toute la mer, entre les isobathes de 35 à 100 brasses. Sur toute cette zone le fond est vaseux et couvert, outre une immense quantité de *phaseolina*, par de nombreux coquillages d'autres espèces (*Cardium edentatum*, *Mactra triangularis*, *Scrobicularia alba*, *Cerithium pusillum*, *Chiton brevis*) et peuplé de d'ascidies isolées, de petites ophiures, de petites *Synapta*, *Polychaeta* à tubes vaseux, *Cerianthus* etc.

Au-dessous de cette zone de vase à *Modiola*, très constante à travers toute la zone de la constance des conditions physico-géographiques, vient la zone sulfhydrique, domaine des bactéries sulfhydriques, séparée peut-être de la zone à *Modiola* par une zone de sulfo-bactéries. Plus haut, à l'isobate 25 et la ligne du littoral, commence une plus grande différenciation des faciès, en rapport aux différentes conditions physiques. Malheureusement le nombre des données est encore trop insuffisant pour pouvoir donner le caractère exact des subdivisions et des zones de la zone littorale de la Mer Noire. La composition des sociétés organiques de ces faunes dans la Mer Noire est influencée, en dehors de la profondeur et du caractère du fond, par l'oscillation de la salure qui a lieu en de larges proportions sur la surface de la Mer Noire. Les cartes du colonel J. Spindler nous montrent que les eaux littorales présentent le maximum de salure sur les côtes de l'Anatolie et du Caucase (en moyenne 1,77‰). Ensuite viennent les bords de la mer d'Azov (un peu moins) et la côte occidentale de la mer entre le Bosphore et le Danube (moins de 1,6‰). Les parties les moins salées de la Mer Noire sont le coin NO, où le degré de salure ne dépasse pas 1,5‰, et la mer d'Azov qui dans la partie méridionale a une salure n'atteignant pas au-dessus de 1,19‰ et qui à son extrémité nord ne diffère guère pour ainsi dire que de l'eau douce. Conformément à ce qui vient d'être dit, nous trouvons une faune littorale plus riche sur les côtes du Caucase et de la Crimée¹⁾, et une plus pauvre près d'Odessa et dans la mer d'Azov. Cet appauvrissement est parfaitement caractérisé sur le tableau d'Ostrooumow, où le nombre des espèces de mollus-

¹⁾ La faune littorale de l'Anatolie et de la côte occidentale de la Mer Noire n'est point étudiée.

ques appartenant aux différents bassins est exprimé en °, et, pour 100 le nombre des espèces de l'Archipel.

Archipel	100
Mer de Marmara à l'entrée dans le Bosphore	58,5°
Bosphore (supérieur)	36,8
Mer Noire	22,2
Partie inférieure de la mer d'Azow	6,3°
Partie moyenne de la mer d'Azow	3,6

Aux embouchures des rivières qui au sud de la Russie porte nom de limans, tout comme les lacs (salés ou d'eau douce) du Sud, aux éléments peu nombreux de la Méditerranée commencent s'ajouter des éléments identiques à ceux de la Mer Caspienne ou éléments spécialement propres aux limans. Ces formes doivent être gardées comme reliques de la faune saumâtre du lac—mer d'Euxin l'époque pliocène. Comme exemple de formes que l'on rencontre dans la Mer Caspienne nous citerons: *Archaeobidella*, *Clessinia nabilis* (liman du Boug), *Neritina lithurata* (Mer d'Azow), *Gmelina*, *G. maris mæoticus*, *Pseudocuma pectinata*, *Paramysis Barri* Cz., *Limnysis Kowalewski*, *intermedia*, *Limnomysis Brandeni*, *Brandii* des espèces de *Gobius*, *Clupea* et *Accipenser*. Voici d'autres espèces identiques, mais se rapprochant de celles que l'on trouve dans la mer Caspienne: *Tricissus hugensis* (se rapproche de *Dr. rostriformis* Grunin), *Cardium ponticum* (se rapproche de *C. caspium*), *Cardium loratum* (se rapproche de *Mon. edentula*), *Amphictis antiqua* (se rapproche de *Amphictis Kowalewski*), *Bythotrephes azovicus* (se rapproche de *Bythotrephes cederstroemi*). D'autres enfin sont exclusivement propres soit à la Mer d'Azow (*Corbicula mæoticus*, *Macotias inaspectata* Ostr., *Thaumatias tian* Ostr., *Asperina improvisa*), soit aux limans (*Eurinomysis nikovi*). La faune des limans est encore peu connue et il faut espérer que l'étude commencée par Ostrogonow fera connaître encore

es accumulations de petites coquilles fragiles, surtout *Modiolaolina*, qui nous a fait lui donner le nom de vase à *Modiola*. Il n'est pas rare d'y trouver des concrétions ferro-manganées entourant les coquilles. Cette vase est très pauvre en restes microscopiques, surtout en diatomées. Ces dernières abondent avec quelques autres restes microscopiques dans les couches superficielles de la vase des profondeurs.

La vase des profondeurs présente dans la plupart des cas deux types : la vase noire sur les pentes (depuis 300 jusqu'à 717 brasses) et la vase bleu foncé de la cuvette plate du Pont.

La vase noire des pentes, très visqueuse et gluante, devient instantanément grise à la surface lorsqu'elle est exposée à l'air. Cette transformation dépend de la présence du monosulfure de fer (FeS) s'oxydant rapidement à l'air. Sous le microscope la matière colorante se présente sous forme de petits globules isolés, soit imprégnée dans les grains de vase. La présence de tels globules dans l'intérieur des diatomées présente surtout un grand intérêt. Parmi les restes microscopiques il convient de citer d'abondantes diatomées, *Dictyocha* et coquilles de jeunes bivalves pélagiques. La vase ne contient rien de vivant, par contre elle offre le principal gisement de coquilles fossiles, telles que *Dreissena* etc.

Un autre caractère de la vase retirée par la sonde. Par le dragage on obtient quelquefois dans la même région des masses de vase bleue contenant parfois des concrétions en forme de clous de FeS_2 . Cette vase se trouve probablement sous la vase noire.

La vase bleu foncé de la cuvette profonde est moins dense et renferme beaucoup de diatomées, surtout pélagiques. $FeSSy$ y rencontre également, mais en quantité moindre, masqué, à ce qu'il semble, par une couche plus ou moins considérable de $CaCO_3$, finement granuleux, se présentant parfois en petites pelotes, semblables à l'état frais à des pelotes de suif. En d'autres cas $CaCO_3$ forme dans la vase bleue de petites couches d'un blanc bien tranché.

XXX

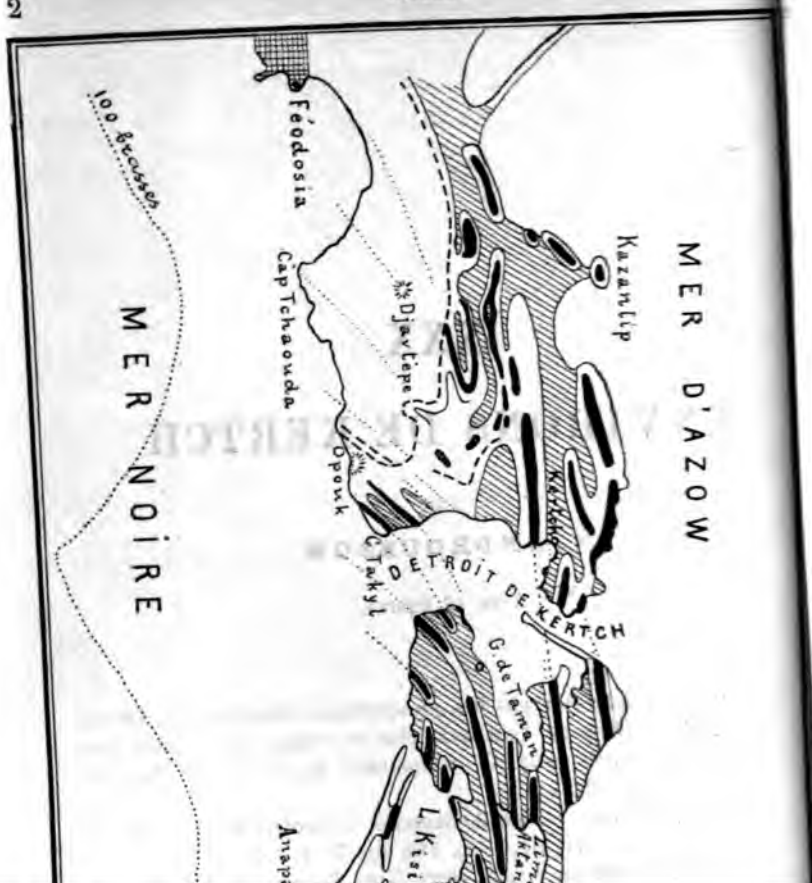
ENVIRONS DE KERTCH

PAR
N. ANDROUSSOW.

Avec 12 figures.

- ures: 1. Carte des plis des presqu'îles de Kertch et de Taman.
2, 3. Vallée de Toganach, plan et coupe (les clichés sont tirés de la „Géotectonique“, fig. 17—p. 211; fig. 18—p. 212).
4, 5, 6. Vallée Tchokrak-Babtchik („Géotectonique“ fig. 5—p. 147; fig. 6—p. 163; fig. 7—p. 165).
7. Profil du rivage entre Novy-Karantine et Kapkan.
8. Falaise B séparément.
9. Escarpement du cap Tarkhan.
10. Crête d'Ak-bouroun.
11. Rivage près de Stary-Karantine.
12. Falaise de Kamyeh-bouroun.

Topographiquement la péninsule de Kertch est l'extrémité orientale de la Crimée; géologiquement elle se rattache étroitement au Caucase. En effet, les dépôts miocéniques, la base principale de la presqu'île, présentent le même développement pétrographique et paléontologique que le miocène du versant nord du Caucase. Ces dépôts miocéniques sont refoulés en plis qui sont la continuation des plis de la presqu'île de Taman et qui ont apparu à l'époque du soulèvement le plus récent de la chaîne du Caucase (après l'époque sarmatique). Ces plis, comme le fait voir la carte (fig. 1), sont disposés en demi-cercle, tourné du côté convexe vers le nord, ou plutôt ils sont serrés



seau et suivent, sur la presqu'île de Taman, la direction NW—SE, —W. Dans la presqu'île de Kertch ils conservent l'orientation



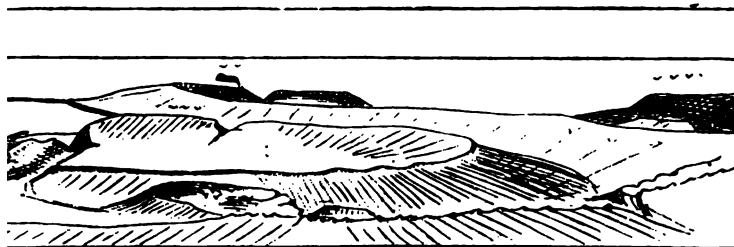
2. Plan de la crête elliptique de Toganach. Hachure oblique — M_1a , arête — M_2ba , espace blanc — M_3a .

dans la partie nord-est, mais au sud et dans toute la moitié occidentale ils tendent à diverger vers le SE. Plus on va à l'ouest, plus le



3. Coupe transversale de la synclinale de Toganach. a — M_3a , k — M_2ba , t — M_1a .

ment s'amoin-drit pour disparaître entièrement sur le méridien de Asia. N. Androussow¹⁾ explique la direction et quelques autres



4. Vue de l'anticlinale de Mama et des synclinales de Tchokrak-hik et de Bourach. — Lac de Tchokrak. — Cap Zyk. — Cap de Tarkhan. — Synclinale de Tchokrak-bab-tchik. — Cuvette de Bourach.

¹⁾ N. Androussow, Géotectonique de la presqu'île de Kertch (en Matériaux pour la géologie de la Russie. Vol. XVI. 1893.

particularités de ces plis de la manière suivante : la péninsule de Kertch aurait formé une région de refoulement, comprenant toute la région du Caucase; le voisinage de la Crimée, resté libre, a produit un fractionnement de la pression le

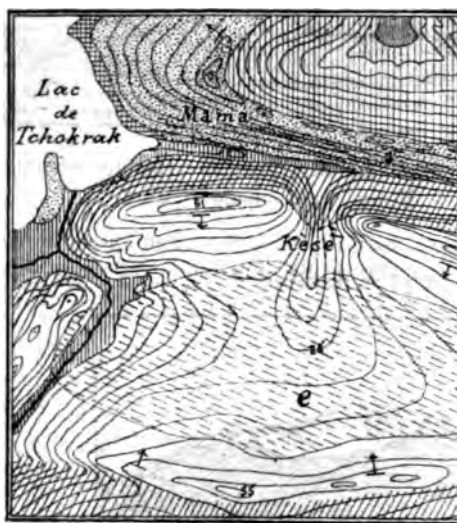


Fig. 5. Carte géologique de la synclinale de Mama Kise. $t = M_1 a$; $k = M_2 b$; $a = M_3 a$; $abc = M_3 b, c$, e représente les faluns posttertiaires les plus récents.

tion inverse à celle du mouvement général. C



Quatrième étage pontique.	Quelques équivalents.
Troisième étage pontique.	<p>Dépôts aralocasiens. Couches de Babèle et de Djourjoulesti en Bessarabie. Banc d'huîtres de Gallipoli.</p> <p>Couches de Gallipoli avec <i>Dreissensia Tschoudac</i> etc. Couches de Bakou (étage hyrcannien).</p> <p>Couches d'Apeheron à <i>Cardium intermedium</i> Eichw. Couches à Psilodons de Roumanie. Couches de Boteni, Cucesti, Vilcanesci à <i>Dreiss. Stefanescui</i> en Roumanie. Argiles rouges de la Crimée.</p>
Second étage pontique.	<p>Calcaire de Schemacha? Couches à <i>Valenciennesia</i> de Schemacha. Calcaire de steppes ou d'Odessa. Couches argilo-sableuses, avec faune, rappelant celle des faluns de Kamysh-bouroun et des couches à <i>Valenciennesia</i> en Roumanie. Couches à <i>Congerina rhomboides</i> de Zagreb, de Szegzard etc.</p>
Premier étage pontique.	<p>Les méotiques de la Crimée, de Nikolaïew, d'Odessa, de la Arabie et de la Valachie. de Radmanest, Kup. etc. à <i>Congerina</i> du bas-Vienne. Langenfeld. <i>Cong. banatica</i>. ches de la Croatie.</p>
armatique.	

morphologie), tant à cause de l'âge peu reculé des plis que, surtout, à suite de l'alternance de sédiments calcaires et argileux. Les effets de l'érosion ont fait ressortir les dépôts calcaires en chaînes, s'allongant tantôt en hémicycles, tantôt en fer à cheval et même en ellipses fermées. Il n'est donc pas rare de voir des exemples classiques de vallées fermées, anticlinales ou synclinales, telles que la vallée anticlinale de Ganach, à 25 kilom. vers l'ouest (fig. 2—3) et la vallée synclinale de Mokrak-babtchik (fig. 4—6) à 9 kilom. vers le NW de Kertch.

On trouvera la description détaillée de l'orographie de la presqu'île de Kertch dans l'ouvrage suscité de N. Androussow.

Les trois tableaux synoptiques suivants font voir la constitution du terrain:

Le tableau I—montre les dépôts au-dessus de l'étage sarmatique quant à leur classification et leur parallélisme.

Le tableau II—donne les subdivisions de l'étage sarmatique qui s'observent dans la presqu'île de Kertch.

Le tableau III—montre la succession des couches au-dessous des sarmatiques.

Excursion géologique aux environs de Kertch.

La ville de Kertch est située au pied du mont Mithridate, la pointe orientale d'une longue chaîne, constituée par des dépôts sarmatiques longeant au N (M_3 , a—d). La ligne de faîte est formée de calcaire bryozoaire (M_3 , d).

Première moitié de l'excursion.

Départ en voitures le long de la baie de Kertch à travers le faubourg Novy-Karantine. Arrêt au kourgan à l'extrémité orientale du faubourg. Vestiges d'un horizon à minéral (P_2) sous forme de grains solitaires. La falaise de peu de hauteur permet de voir des couches à faible inclinaison EW d'un calcaire très caverneux, altéré par les eaux atmosphériques (P_2), avec empreintes et moules de *Congerina becarinata*, *Cardium macrodon*, *planum*, *carinatum*. Plus bas, sous l'éboulis de calcaire, apparaît çà et là une argile schisteuse grise *Cardium Abichi*.

Après l'examen de cette coupe qui donne une première idée des roches dites pontiques, on se rendra en voitures, contournant les murs de la Karantine, à la falaise située à l'est de la première (voir fig. 7—8).

Immédiatement derrière les murs de la Karantine qui entourent plusieurs grands rochers de calcaire bryozoaire, un gros rocher caracté-

¹⁾ Les alentours de Kertch ne présentent pas de formes orographiques aussi marquées; les géologues, qui désireraient en prendre connaissance, sont invités à une excursion spéciale avant ou après l'excursion principale (voir p. 15).

II.

Couches sarmatiques de la presqu'île de Kertch (2)

d. Calcaire à bryozoaires (*Membranipora lapidosa* Pall).

c'. Argiles feuilletées grisâtres et brunâtres avec gypse. Marnes à ciment et argiles feuilletées grisâtres à *Macra caspia* et *Cctotherium*. Nodules manganésifères. Argiles feuilletées blanchâtres à diatomacées et empreintes de *Clupeides*.

c". Calcaire oolithique à *Macra caspia*.

Sables d'Opouk à *Macra caspia*.

b' Faciès sableux et calcaires clastiques.

Macra Fabreana, *Tapes gregaria*, *Modiola navicula*, *Donax Hörnesi*, *Solen subfragilis*, *Car-*

b". Faciès marneux et à *Vincularia*.

Macra podolica, *italiana*, *Moa vicula*, *marginusiana*, *Crum*

III.

Couches au-dessous de l'étage sarmatique.

Couches à <i>Spaniodon</i> (calcaire, grès, sables et argiles avec <i>Sp. Barboti</i> , <i>Mohrensternia</i> sp., <i>Pholas</i> sp., <i>Pectinariopsis</i>).	Couches à <i>Spaniodon</i> d'Oust-ourt, du versant septentrional du Caucase, de la Crimée, de Melitopol et de Varna (Bulgarie).	Miocène marin supérieur de Volhynie, Podolie et Galicie. Seconde étage méditerranéen du bassin de Vienne.	
Calcaire de Tchokrak.	Sables des Gouv. de Stavropol et de Kouban (faune du faciès α). Calcaire à <i>Acetabularia</i> du monastère de St. Georges.		
Faciès α): Calcaire détritique et sables à <i>Lucina Dujardini</i> , <i>Erviliapraepodolica</i> , <i>Donar tarchanensis</i> , <i>Cardium multicosatum</i> , <i>Rissoa</i> , <i>Tapes taurica</i> , <i>Nassa Dujardini</i> , <i>Cerithium Catleyae</i> , <i>Trochus</i> .	Une partie des grès de la synclinale d'Alkhan-Tchourt.		
Faciès β): Calcaire à Bryozoaires. <i>Balanus</i> , <i>Avicula</i> , <i>Pecten</i> , <i>Arca</i> , <i>Chama</i> , <i>Venerupis</i> .	Grès et argiles au-dessous du sarmatique au Daghestan. Couches de Varna.		
giles feuilletées inférieures,	Manque (?) dans le reste de la Crimée.	Ces argiles semblent représenter tout l'Oligocène et la partie inférieure du Miocène.	
Partie supérieure, parfois avec minces couches à <i>Pecten denu-datus</i> , <i>Ophiurides</i> et <i>Spirialis tarchanensis</i> .			Argiles de l'Alma (Crimée) avec une faune tongrienne.
Parties moyenne et inférieure, très puissantes, sans fossiles.			
Argiles feuilletées avec écailles de <i>Melella</i> du versant septentrional du Caucase.			



téristique de même nature (*A*) fait saillir la mer. Des rochers semblables plus ou moins grands s'élèvent dans la mer (*C, D, E*) parallèlement de la côte vers l'est (*B, F, G, H*). Ces rochers sont disposés sur une ligne qui paraît être la continuation de la crête Mithridatienne. Le calcaire bryozoaire non stratifié, très poreux, est formé en plus grande partie de colonies ramifor- morphosées, ramifiées et crépues de *Membranipora lapidosa*. Le rapport mutuel du calcaire bryozoaire et des assises de l'étage méotique qui coïncide avec l'escarpement à partir de la Karantine jusqu'à la ville de Yénikalé, semble indiquer que l'origine actuelle des rochers est due non seulement à l'érosion marine, mais aussi à leur configuration primitive irrégulière. C'est surtout dans le rocher *B*, qui a gardé en partie sa surface primitive, qu'on aperçoit l'irrégularité du contact du calcaire bryozoaire et des dépôts argileux. L'intérieur du rocher *d* (fig. 8) est constitué de colonies crépues de *M. lapidosa*; l'extérieur est semé de petites éminences hémisphériques ou coniques, formées par des accumulations latérales de la même *Membranipora* et hérissées de *Spirorbis* et de *Mya cimmeria* Andrus.

Fig. 7.

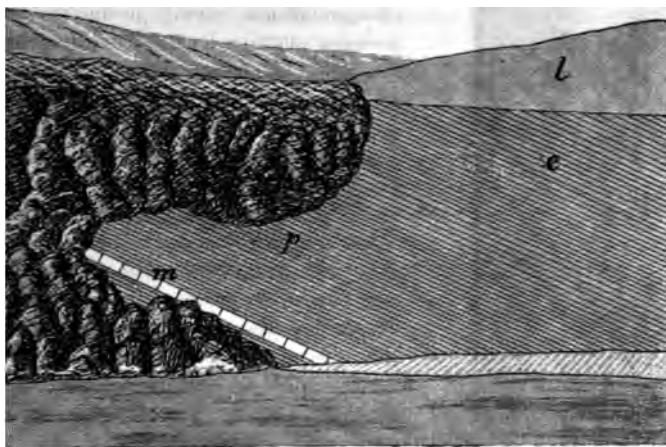
Au-dessus de ces argiles brunes l'étage méotique se développe de la manière suivante :

- 1) argiles brunes;
- 2) marne calcaire blanchâtre à *Spirorbis* et *Mya tellinoides* Sinz. et

Du Kourgan Impérial on voit à ses pieds la plaine de la vallée anticlinale de Kertch, limitée au sud par la Crête Mithridate et la mer, et au nord par les chaînes des collines de calcaire bryzoaire, Katerless et Boulganak. La direction générale de l'axe synclinal est E—W.

Du Kourgan, aux carrières d'Adjimouchkaï. Ces importantes carrières exploitent l'horizon inférieur du calcaire méotique.

Après un arrêt suffisant pour prendre connaissance du caractère de l'horizon de construction, on se rendra au village Boulganak en suivant la base d'une arête de calcaire bryzoaire, qui s'étend entre les villages de Skala et Boulganak. Le long de la route affleure un calcaire de construction (MP_1) plongeant vers SSW. Les rochers de calcaire bryzoaire se ramifient vers les vallons particularité qui n'est pas rare dans cette contrée.



3. *d*—calcaire à Bryozoaires; *c*—argiles feuilletées brunâtres avec restes de poissons, des oiseaux et des diatomées; *m*—une couche avec des coquilles de *Modiola volhynica* et petites colonies de *Membranipora*; *l*—dépôts superficiels.

Le village Boulganak est situé dans une profonde gorge qui coupe transversalement l'arête bryzoaire et les assises sarmatiques du dessous. Au N on remarque les couches suivantes:

- 1) Dans les carrières à l'entrée de la gorge: du calcaire de construction (MP_1).
- 2) Plus loin et plus haut: du calcaire à bryozoaires (M_3d).
- 3) Les argiles schisteuses de couleur claire (M_3c) au-dessous du calcaire n'affleurent pas; la gorge s'élargit, mais bientôt elle se rétrécit de nouveau et traverse l'axe de l'arête
- 4) des calcaires (M_3b) à faune sarmatique. Au-delà des calcaires la gorge entre dans la région de la vallée anticlinale de Tarkhan et se ramifie. Les horizons disposés au-des-

sous de M_2b s'observent à plusieurs points de la principale et des branches.

Après le banc M_2b viennent des argiles schisteuses, çà et là des couches intermédiaires de marne ferrugineuse à *Modiola* et *Cardium protractum* etc. (M_2a).

des ravins latéraux vers le nord et des argiles schisteuses avec couches calées de marne, contenant en abondance *Spanodion Barboti* Stuck.; près de la région des volcans de boue se trouve une couche de calcaire marneux tendre, à *Leda fragilis*, *Nassarius tiana* Font., *Cerithium scabrum*.

Les volcans de boue de B (Boulganakskia sopki) occupent une vaste plaine en forme d'assiette, peu près d'une verste, à la partie sud de la branche principale de la grotte. Le sol, presque dépourvu de végétation, est formé d'une argile poreuse d'un blanc (le produit des éruptions) et de fragments de diverses roches (cornéenne, sphérosidélite, transformé en fer grès cristallin). Sur cette plaine tout autour de parois assez escarpées sont disséminés des cratères de forme conique; les uns, au cône à peine aperçu, sont remplis de boue liquide (un cratère a 15 m. de diamètre); les autres, au nord de la plaine, au cône plus

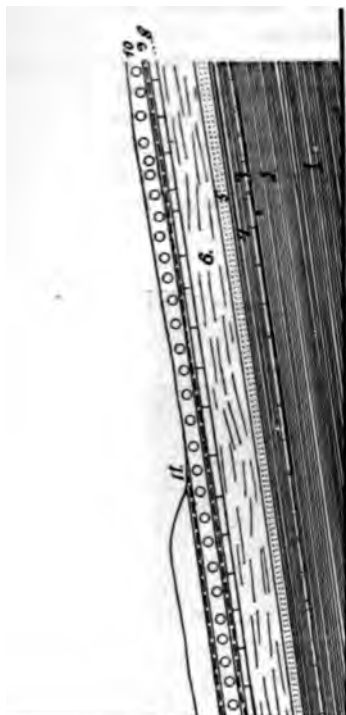


Fig. 9.

de couleur grise foncée, contenant *Spirialis tarchanensis*, *Ostrea cochlear.*, *Pecten denudatus*, petites et minces *Leda*, *Nucula placentina*, *Cryptodon sinuosus*, *Turbonilla*, *Aporrhais*, *Philine* et débris d'Ophiurides.

- 4) Argiles schisteuses semblables à celles du № 2, avec veines de FeS_2 .
- 5) Minces lits alternants d'argile schisteuse d'un gris foncé, de sable gris très fin et de détritiques de coquilles. Ces couches renferment les mêmes coquilles que № 6.
- 6) Alternance de sables et de détritiques de coquilles, transformé par endroits en calcaire dur. D'abondants *Pecten gloria maris* Dub., *Cardium subhispidum* Hilb., *multicostatum* Br., *Corbula gibba* Ol., *Leda fragilis* Chem., *Maclra* nov. sp., *Ercilia praepodolica* nov. sp., *Donax* sp., *Cerithium Cattleya* Bailly, *scabrum* Ol., *Nassa restitutiana*, *Trochus* nov. sp. etc.
- 7) Argile verdâtre à *Spirialis*, sableuse vers le haut de l'escarpement.
- 8) Marnes sableuses d'un gris blanchâtre.
- 9) Argile verdâtre avec *Spirialis Androusovi* Kittl., minces *Leda*, *Cryptodon sinuosus*, *Tellina* sp., *Nassa restitutiana*. Vers le haut de l'escarpement l'argile devient marneuse.
- 10) Masses hémisphériques de calcaire bryozoaire à *Pecten gloria maris*, *Arca turonica* var., *Aricula* sp., *Balanus* etc., dont la plupart ne se rencontrent pas dans les dépôts sablo-calcaires enveloppant ces masses.
- 11) Argile grise verdâtre à *Spirialis* etc.
- 12) Calcaire sableux très schisteux.

Retour à Kertch, d'abord par le chemin de la métairie de Tarkhan (outor Tarkhan), puis droit au sud, en passant devant le groupe volcanique de boue de Tarkhan (Tarkhanskia sopki).

Ce groupe ne sera visité que si le temps le permet. Les cônes, situés sur l'axe anticlinal, à une verste vers l'ouest de ceux de Boulak, sur une colline plate, présentent un grand nombre de cratères, rejettent assez fréquemment de la boue, mêlée de fragments de ces roches, attaquées par les eaux volcaniques.

Au sud des cônes le chemin franchit une des collines de calcaire bryozoaire, atteignant ici jusqu'à 90 m. au dessus du niveau de la mer, et descendant dans la vallée synclinale de Kertch. Là on ne rencontre qu'un seul affleurement, dans le faubourg Glinichtché, aux couches profondes d'argiles loessiformes.

Les couches qui séparent ces argiles de la surface des assises mélanes n'étant dénuées qu'à quelques rares points, on n'a pu se former une idée de leur disposition que grâce à plusieurs sondages, exécutés ; le but de trouver de l'eau.

Voici le schème des assises de la cuvette de Kertch, obtenu par les forages:

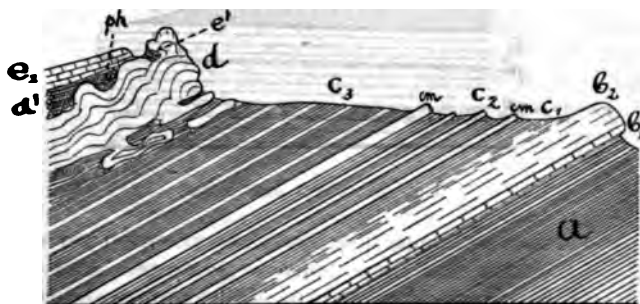
- 1) Argiles loessiformes—10 à 20 m.
- 2) Alternance d'argile plastique bleue, d'argile grise claire d'argile verdâtre, de sables quartzeux jaune, gris et blanc—20 à 40 m.
- 3) Fer oligiste et argile ferrugineuse avec couches coquillières intercalées (comme à Kamych-bouroun)—4 à 10 m.
- 4) Strates correspondant aux couches inférieures de Kamych-bouroun, d'une composition très variée (argiles marneuses ou sableuses et calcaire)—10 à 40 m.
- 5) Calcaires appartenant surtout à l'étage méotique¹⁾ — plus de 30 m.

Seconde moitié de l'excursion.

La seconde moitié de l'excursion a pour but principal de prendre connaissance des couches disposées au dessus de l'assise inférieure de calcaire méotique et particulièrement de la falaise de Kamych-bouroun célèbre par sa richesse en fossiles.

L'excursion se dirigera d'abord par la route de la forteresse au cap d'Ak-bouroun. Jusqu'à la fabrique de ciment Zeidler la chaussée suit la plage, ayant à la droite un étang salin; à partir de la fabrique commence un cent des escarpements peu élevés, constitués vers le haut par une argile loessiforme, vers le bas par des argiles schisteuses brunes (*M₂a*) plongeant au S, avec inclusions de concrétions lentillaires de sphérosiderite. Rarement dans les argiles, plus souvent dans les concrétions, on observe des restes de menues coquilles sarmatiques (*Modiola naricula*, *Cardium protractum*, *Macra* sp.). Près du tunnel d'Ak-bouroun les argiles schisteuses sont surmontées d'une strate de sables fins coquilliers.

- 2) Marnes argilo-sableuses avec coquilles (*M. Fabreana*, *C. obsoletum*, etc.), strates intercalées de gypse et d'argile sableuse.
- 1) Argile gris clair, finement feuilletée, avec restes de poissons et diatomées.
- 2) Plusieurs couches de marnes à ciment (*cm*) avec empreintes de *Mastra caspia* Eichw., alternant avec des argiles schisteuses d'un gris clair. Dans un des lits de l'argile schisteuse on a trouvé des concrétions de manganèse, semblables à celles du fond des océans, et des ossements de baleine (*Cetotherium*).



г. 10. Crête d'Ak-bouroun (Youz-oba): *d'* — argiles bleuâtres; *ph* — roche avec ossements de *Phoca pontica*; *e'* — une poche dans le caliche à bryozoaires, remplie de calcaire méotique. Pour les autres signes, voir le texte.

Des argiles schisteuses (*c₃*) d'une teinte plus foncée (grises ou rouâtres), gréseuses ou micacées, séparant les marnes à ciment des caliches bryozoaires (*M₃d*) qui les recouvrent, sont cachées sous les formations près de la surface du sol.

Le rocher *M₃d*, devant lequel passe la route, est très instructif: donne une idée sur quantité de détails de structure du calcaire bryozoaire; contre son côté sud vient s'appuyer un banc de calcaire méotique contenant les fossiles habituels *c₂*.

Ce calcaire *d*, qui constitue tout le versant sud de la crête d'Ak-bouroun, se voit très bien dans les escarpements entre le promontoire Pavlowsk et Kamyeh-bouroun.

A la descente Voronow (Voronovsky spousk) on aperçoit la partie moyenne de l'étage méotique reposant sur un calcaire méotique compact à *Cerithium disjunctum*, *Dosinia exoleta* etc.

Le terrain entre Voronovsky spousk et le village Kamyeh-bouroun présente les couches suivantes (fig. 11 et 12):

- e₁* Calcaire méotique compact, renfermant les fossiles mentionnés plus haut. Mince couche de marne blanche (*pl*) à *Ostrea*

sp., *Venerupis Abichi*, *Planorbis*, *Lymnaea* et
Chrysophrys vient le séparer du

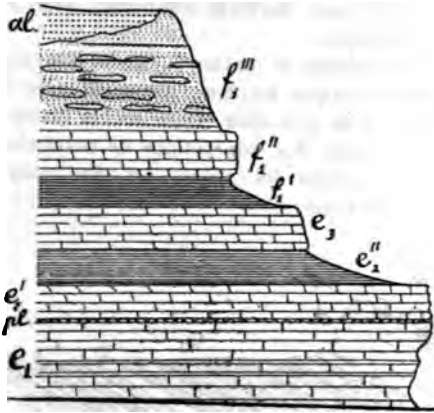
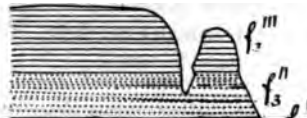


Fig. 11. Stary Karantine.

e₂^p Calcaire oolithique d'un blanc sale, recouvert par
couleur jaunâtre à *Congeriu panticapca* An.
bicularia tellinoides Sinz., *Littorina praepont.*
Hydrobia, *Pyrgula* et *Micromelania*.



Argiles marno-sableuses avec lits intercalés de sable coquillier; même faune que la précédente et abondants restes de poissons.

Calcaire blanc à *Congeria novorossica* Sinz., *Neritodonta simulans* Andrus., *Ryrgula*, *Micromelania*, *Sandria atara* etc.

Marne sableuse très schisteuse à *Card. Abichi* R. Hör.

Calcaire jaune compact à *Congeria subcarinata*, *Card. subcarinatum* Derb. etc.

Grès gris tendre, avec concrétions marneuses plates dans la partie inférieure et *Cardium Abichi* R. Hörn., *subsyrmicuse* Andrus., *Bayerni* R. Hörn., *Steindachneri* Brus., *Dreissensia rostriformis*, *Valenciennesia annulata* Rouss.

Lit coquillier („faluns“ d'Abich). Entassement immense de coquilles, de préférence *Cardium*, faiblement liées par de la carbonate de chaux ou par une argile rougeâtre. Des infiltrations d'oxyde de fer ont donné à l'horizon supérieur une teinte de rouille. (Voir la liste des coquilles dans le tableau synoptique № 1).

Argiles ferrugineuses d'un rouge brunâtre, alternant avec fer oligiste et lits intercalés de coquilles très bien conservées, souvent assez grandes (en voir la liste tab. synoptique № 1).

Argiles sableuses brunes.

Sables quartzeux jaunes.

Argile plastique bleuâtre.

Remarque.

arque. L'excursion générale ne disposant que de 1 à 1½ prendre connaissance des environs de Kertch, il a été impossible d'arranger le programme de manière que les diverses cathédépôts tertiaires de la presqu'île puissent être observées aux plus favorables. Il sera même assez difficile de réaliser le proposé dans un jour, vu les fréquentes pluies d'automne moins devenus mauvais. Mr. Androussow se permet donc services aux personnes qui désireraient faire des excursions naires dont le temps, la durée et l'itinéraire dépendront des ts.

les points les plus intéressants et les plus accessibles qui être visités:

rons du phare de Yénikalé (Yënikalsky mayak). Très beau ment de l'étage sarmatique; calcaire de construction; si pos- ôts méditerranéens de la métairie Chépelew; vallée annulaire Baksy.

Durée 1 jour, distance 36 kilom.

salin de Tchokrak (Tchokrakskoté solionofé ozero). Gorge ess. Vallée synclinale de Tchokrak-babtchik. Gorge de Kez—

étage sarmatique. Village Mama—couches à *Spaniodon*. Calcaire Tchokrak—sources sulfureuses. Lac salin de Tchokrak—lit coquillier marin. Gorge du Tchokrak-babtchik—rapport du calcaire bryozoaire au calcaire de Kertch.

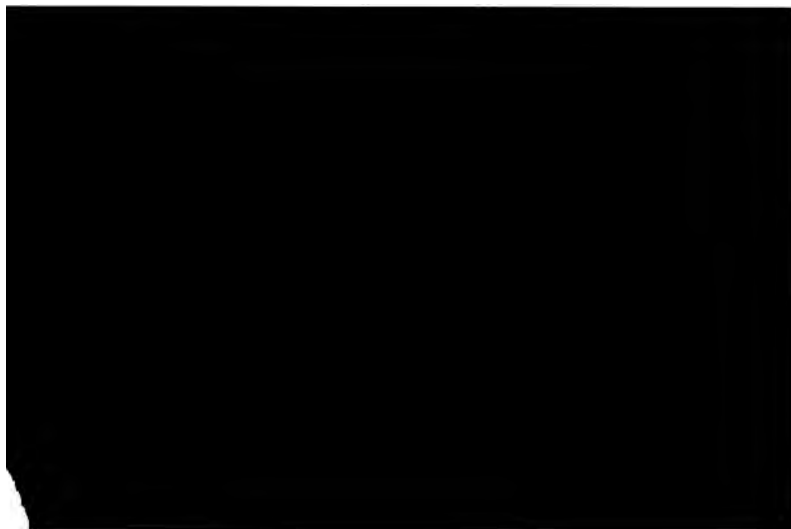
Durée 1 jour, distance 38 kilom.

Cap Takil-bouroun. Kamysh-bouroun—extrémité sud de l'île. Rochers bryozoaires d'Eltigueni. Lit coquillier marin pontique de Tobetchik. Couches méotiques et pontiques de Yanych. Dépôts sarmatiques de Takil-bouroun. Faille de Takil et apparition du pétrole dans l'étage méditerranéen. Calcaire bryozoaire le long de la Mer Noire. Vallée de Tchonguélek. Dépôts méditerranéens de la mine. Anneau de calcaire bryozoaire de Tchouroubach.

Durée 2 jours, distance 80 kilom.

Excursion dans l'intérieur de la presqu'île. Gorge Koryssy. Anticlinal de Tchaklougar. Anneau anticlinal de Tchokour-et de Karmysh-kéletchi. Dépôts sarmatiques et méditerranéens de Petrovsk. Kayaly-sart.

Durée 2½—3 jours, distance 96 kilom.



XXXI

ITINÉRAIRE GÉOLOGIQUE

PAR

L E K A R A - D A G H

PAR

A. L A G O R I O.

Avec 2 cartes et 5 figures dans le texte.

des principaux ouvrages sur les roches éruptives de la Crimée.

- Plitzl. Description physique de la Tauride. St. Pétersbourg, 1785.
Las. Tableau physique et topographique de la Tauride. 1795.
L. Voyage dans la Russie méridionale et la Crimée sous la direction de M. A. Démidoff. 1842.
L. de Montpéroux. Voyage autour du Caucase etc. 1843.
L. anovsky. Description géologique du gouvernement taurique etc. Journal des mines. St. Pétersbourg. 1867 (en langue russe).
L. ermak. Felsarten aus dem Kaukasus. Miner. Mittheil. 1875.
L. kenberg. Description géologique de la Crimée. Matériaux pour servir à la géologie de la Russie. T. V. 1875 (en langue russe).
L. orio. Vergleichend-petrographische Studien über die Gesteine der Krym. Dorpat. 1880.
L. idel. Les roches cristallines du mont Castel. Odessa. 1886 (en langue russe).
L. orio. Sur quelques roches massives de la Crimée et leur rôle géologique. Varsovie. 1887 (en langue russe).

Au point de vue orographique la péninsule de Tauride se divise en deux moitiés nettement distinctes; celle du nord — la celle du sud — la partie montagneuse. Les roches massives d'affleurent que dans la dernière. A l'est ces roches apparaissent la dernière fois au Kara-Dagh, situé au SW de Fédosie, au bord de la mer; à l'ouest, au cap Phiolente; au sud, sur le littoral de qu'île de Khersonèse. Entre ces points extrêmes les roches s'allongent en bandes plus ou moins parallèles à l'arête principale tant au nord qu'au sud. Au versant nord, à partir du cap I (proprement dit les premières sorties s'observent quatre ver loin, vers le NW du cap, près de la falaise de couches tertiaires les rencontrons dans une vallée au nord de Balaklava qui s'étend la chaussée de Baïdar, la rivière Tchornaïa, les hauteurs Fédor et le mont Gasfort sur lequel se trouve le cimetière de S (Sardinskoïé kladbichtché). On y trouve du granite, du quartzifère et une roche sphérolithique. Plus loin vers le NE viennent à la saillie crétacée, les roches éruptives apparaissent les vallées des rivières Bodrak, Alma et Salghir, de même que les pentes de leurs faîtes de partage, près de Dongouz-koba. N Orta et Youkhari Sobla non loin de Kourtsy. Dans les vallées Bodrak, près du village Bodrak, la mélaphyre basique entre à percer, dans la couche néocomienne (fig. 1), fait import



où ces roches s'étendent au-delà d'Eski-Orda, des roches semi-occupent un espace relativement plus grand. Vers l'E de Siml, au sud de Karassou-Bazar, près de Karassou-Bachi, au cours de la Tounasse, sur la limite des conglomérats néocomiens ; loin, il y a épanchement de roches dioritiques acides ¹⁾. Toutes les roches éruptives se trouvent à la hauteur absolue de 0 mt) à 350 mètres; le niveau moyen est à 200 mètres. Parallèlement à la ligne de ces épanchements, mais plus haut, vers le cours de la rivière et plus près de l'axe de l'arête, il en existe une dont les points de sortie se trouvent près du village Kokkoz, sur la rivière du même nom tombant dans la Belbek (250 m.), vers supérieur de la Belbek non loin des villages Biouk et Kourouzen (450 m.), et au cours supérieur de l'Alma, au-dessus de la jonction avec le confluent Yappalakh et à la montée sur le mont Al. Aux premiers deux points ce sont des roches du groupe des diorites, assez basiques; aux autres des diorites quartzifères, des gabbros acides et des kératophyres. Enfin, loin vers l'est, on trouve sur le Soudak, presque sur la ligne de partage, près du village de Sou, des épanchements considérables de roches porphyritiques. Sur le versant sud de la chaîne, il y a également une série de nombreux épanchements s'allongeant le long du rivage méridional. Ces épanchements sont particulièrement nombreux et variés entre le cap Laspi et l'Alouchta. La description en sera faite dans l'itinéraire d'Alouchta à Astapol. Ici je ferai observer seulement que dans cette région-ci les roches éruptives atteignent leur plus grande altitude (jusqu'à 1000 m. au Kikénéiz, et 1200 mt. au Tchamny-Bouroun) et forment les plus considérables (Aïou-Dagh, Tchamny-Bouroun etc.). Au nord de l'Alouchta, entre celui-ci et le Karadagh, elles sont plus rares; je n'ai trouvé que sur les versants du Démerdji, à proximité de la mer, près de Kourou-Ouzen, au cap près de Koutchouk-Ouzen et au nord de Méganome.

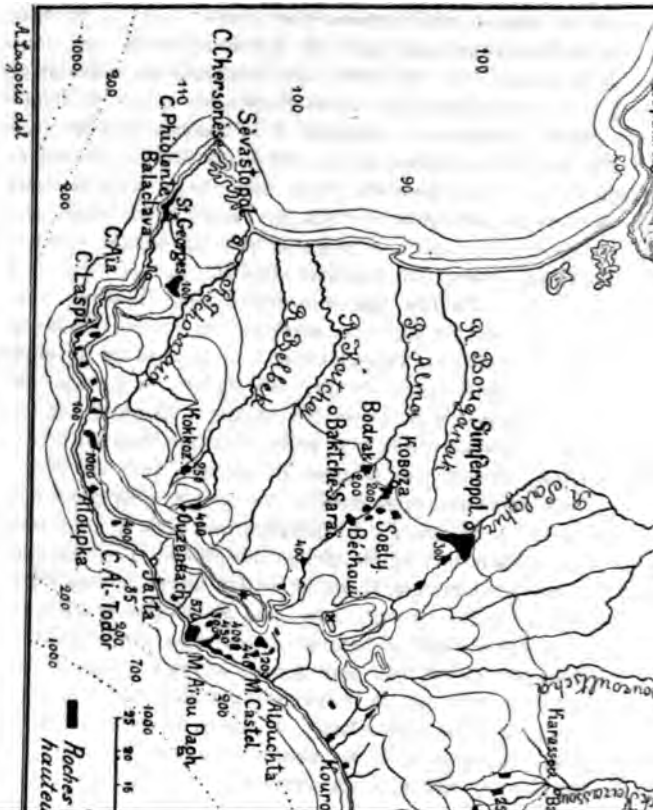
La petite carte jointe de la partie montagneuse de la péninsule de la mer Noire donnera une idée de la disposition générale des épanche-

Tous les épanchements se trouvent dans des schistes argileux (jurassiques), sauf près du monastère de St-Georges (cap Phiolente) où leur versant inférieure est en partie dans la mer, en partie recouverte par les boules des dépôts tertiaires disposés plus haut.

Les roches éruptives se présentent soit en intrusions considérables de type laccolithique ou franchement laccolithiques, soit en filons, enfin en nappes ou coulées. Les nappes sont d'ailleurs rares et ne se rencontrent qu'au Karadagh. Toutes les données semblent prouver que l'époque de leur éruption se rapporte à la fin de la période jurassique ou au commencement du crétacé. En tout cas la petite différence de niveau que l'on peut remarquer fait conclure qu'elles ont paru dans un

¹⁾ On y a aussi trouvé des schistes cristallins.

Carte du percement des roches éruptives



ps relativement de courte durée (dans l'acception géologique du : „temps“). L'éruption près du monastère de St-Georges paraît être peu plus récente que les autres. Les éruptions pendant l'époque tauride ayant été généralement assez rares, l'âge géologique des roches éruptives de la Tauride offre un intérêt particulier. Comme ces roches possèdent certaines singularités de structure et de composition, je les avais nommées, dans mes publications précédentes, mésoandésites (mélaphyres), mésoandésites (diorites) etc. Ici j'ai préféré les rattacher aux groupes connus pour faciliter le lecteur de s'y orienter.

Kara-Dagh.

Cette montagne qui s'avance en cap obtus dans la mer, est située à 54' long. E du méridien de Poulkovo et à 44° 57' lat. N. Différents produits d'éruption, laves et tufs, la constituent, les tufs forment la cime principale (575 m.). Des dykes, dénudés par l'érosion, dressent dans toutes les directions leurs crêtes échancrées et saillantes au-dessus des tufs et des schistes argileux jurassiques. Ces schistes enveloppent le Kara-Dagh des côtés NW et SW; ils s'observent en plusieurs points sur la pente escarpée, d'un accès difficile, tournant vers la mer (voir la carte) et formée presque exclusivement de roches éruptives. A l'ouest du sommet, les schistes sont recouverts de calcaires jurassiques partiellement marmoréens formant des rochers escarpés d'une hauteur considérable (Sary-Kaïa—506 m., Lëguéner—7 m., Ilakly-Kaïa—440 m. etc.) et s'abaissant vers le SW jusqu'au lit de la rivière Otouz. Le Kara-Dagh, produit, fortement érodé aujourd'hui, d'une ancienne éruption (mésozoïque), mérite toute l'attention. En outre c'est le seul endroit en Crimée où le magme s'est étalé en coulées sur-dessus la surface.

Descendus du bateau à vapeur ¹⁾, nous voyons avant tout une large vallée qui s'étend droit devant nous dans la direction W. Le village Koktébel y est situé à 2 kilomètres environ du rivage. Vers le NW et le NW de Koktébel, une série de sorties d'une roche basique — mélaphyre (Navittypus et Olivintholeittypus Rosenbusch) s'allonge sur les pentes de la vallée ²⁾. La vallée elle-même est formée de schistes et alluvions. A gauche, parallèlement au bord de la mer, tend vers le Kara-Dagh une rangée de collines érodées, basses, mais escarpées, composées des produits de la destruction de diverses roches d'argiles. Les galets du rivage offrent des amas de différentes espèces de jaspe vert et jaune, de calcédoine, de cornaline et de fragments de roches plus dures, développées au Kara-Dagh.

La route longe la mer jusqu'au cordon-frontière au SW. Au sud du cordon, à partir du ravin descendant à la mer, commencent

¹⁾ Le trajet est calculé avec arrêts de 6 à 8 heures.

²⁾ Voir au supplément la description de la microstructure et les analyses.

de la crête est d'environ six kilomètres.

Après avoir contourné le cordon au sud, la vallée par des schistes érodés, des produits de la décomposition des roches éruptives. En bas, aussitôt derrière le cordon, se dresse la route, un cône éruptif aigu, formé d'andésites pour base des tufs souvent silifiés qu'il est difficile de distinguer des roches éruptives compactes, argileux et du grès (conglomérat). Les andésites spath porphyrique (andésine-labrador), de rare et d'une pâte constituée d'aiguillettes de plagioclase (mésostasis, résidu) vitreuse, trempée de poussière.

Au SSW à droite de la pittoresque crête andésitique plus haut s'élève devant nos yeux le Karadag en dôme, couvert de bois. Deux chemins se dirigent vers le Karadag: un—à l'ouest, par une dépression entre les dômes du Sary-Kaia etc. et le sommet central du Karadag—entre celui-ci et la crête littorale. Ce second est plus intéressant, mais plus difficile. On se réunissent sur la pente sud de la montagne la mer près de l'embouchure de l'Otouz. Non loin de l'est. A mi-flanc on voit apparaître au premier plan des masses blanches décomposées et des masses désagrégées, de couleur foncée à éclat gras: les variétés métamorphisées sont des andésites avec teneur considérable, jamais sans décoloration de silice libre sous forme de verrières silifiées qui contiennent aussi de la teneur en SiO_2 plus grande, jusqu'à 90%. Dans la teneur varie entre 60 et 70%. Le magma est du type éboulé bien que partout dépourvues de quartz de premier ordre.

le des excursions



Calcaires

urass-



1

2

isch. Rosenbusch), comme d'ailleurs la plupart des roches -Dagh.

Nous élevant plus haut sur ces roches (principalement tuf mé-
sé blanchâtre ou verdâtre), nous arrivons au faite (environ
qui sépare la pente sud de celle du nord. Un peu avant d'at-
teindre le faite, une interruption dans la crête, à gauche, c'est-à-dire
vers la mer, livre passage à la seule descente accessible dans
l'intérieur de la montagne: ce chemin passe devant un dyke isolé
qui se continue en partie par des schistes. Il est borné au sud par



Fig. 2. Dyke isolé d'andésite. Guiaour-Bakli.

le pittoresque d'andésite (dacite) dont les formes échancrées font
contraste avec les schistes et les autres roches (fig. 3). D'après les traditions
locales il y avait jadis en bas, au bord de la mer, un magnifique
palais, qui aurait donné à la localité son nom (Guiaour-
garden des infidèles). Jusqu'à nos jours les eaux y sont abon-
dantes: la végétation est très riche.

Les dykes, à partir du cordon jusqu'à la pente sud s'abaissent
dans la vallée de la rivière Otouz, s'allongent plus ou moins per-
pendiculairement à la direction de la crête et sont disposés radiale-
ment autour du sommet principal du Kara-Dagh. Cette crête forme pour
nous une Somme (Monte Somma) devant le sommet tufier central
de la montagne.

Le magne qui constitue les roches de la crête est à peu près partout le même. Au point le plus élevé (300 — 470 m.) le magne était plus acide; mais l'écoulement le plus moderne qui descend de la partie culminante de la crête (475 m.) au-delà de Guiaour-Bahé contient moins de SiO_2 et d'alkali (voir les analyses 6, 6a, 6b). Si nous portons notre attention sur la structure des roches constituant la crête, nous remarquons qu'au bas, au nord du cordon, les roches sont grossièrement porphyriques, contenant de gros (jusqu'à 0,5 cm.) plagioclases jaunâtres dans une pâte foncée ou grise à texture pilotaxitique hyalopilitique, le plus souvent trachytoïdale. Dans la partie élevée de l'arête les éléments porphyriques sont plus petits, parfois à peine apercevables; la plupart des roches y présentent une structure sphérolithique et eutaxitique (Eutaxit), et sont riches en basis vitreux.



N° 6, 6a, 6b) et contient jusqu'à 6% de H_2O , étant cependant fait fraîche.

Au versant de la crête tourné vers la mer, les roches éruptives sont par-ci par-là avec des tufs. Elles sont toujours fortement composées à la surface; souvent elles renferment des sécrétions de dolomite, de jaspe jaune ou vert, de séladonite d'un vert vif et de silicates.

Au passage en face de Guiaour-Bakh le chemin tourne à l'ouest pour voir la pente raide de la principale cime centrale du Kara-Dagh. La partie de la montagne au-dessus de 470 m. consiste en tuf dacitique (fig. 4) de-dessous lequel viennent se montrer de puissants

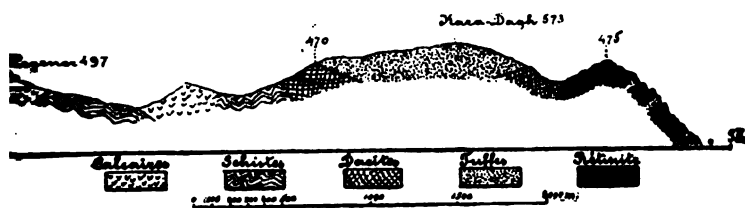


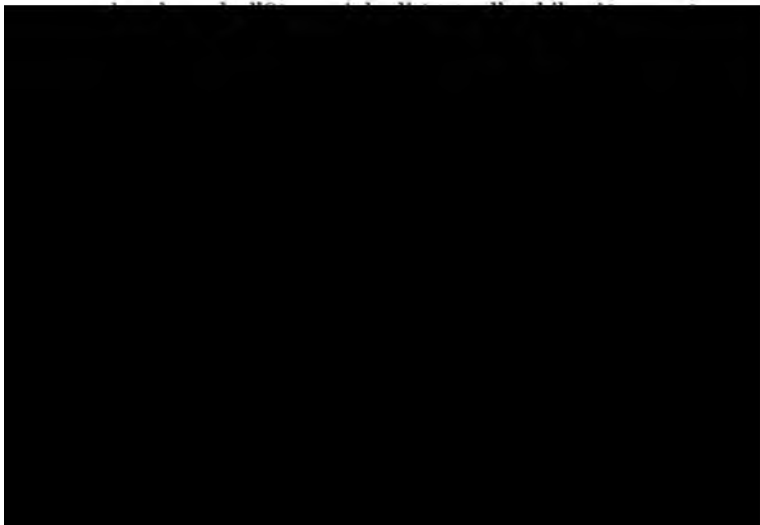
Fig. 4. Profil du Kara-Dagh. NW—SE.

Les dacitiques, surgissant dans toutes les directions, parfois radialement, sur les pentes. Au flanc SW, un de ces dykes, saillant en muraille sur les tufs érodés, cerce le sommet sur une grande étendue vers l'E. (300 m. environ d'altitude), à partir de la source Guiaour-Tchesmé. Ce dyke-ci est formé, comme tous les autres, des mêmes roches andésitiques acides, semblables quant au caractère chimique du magne, mais quelque peu différentes quant à la structure. Leur couleur foncée, presque noire, prend une teinture verdâtre quand la roche commence à se décomposer, et devient d'un jaune clair ou blanchâtre lorsque la décomposition est complète. Les produits de la décomposition rappellent à certains endroits l'action des fumerolles. Actuellement on ne remarque pas le moindre indice de la présence de fumerolles, solfatares ou sources, ni au Kara-Dagh, ni dans ses environs. Sur ce volcan mésozoïque leur activité doit avoir cessé depuis très longtemps, et même toute trace de leur influence aurait pu disparaître. La cime du Kara-Dagh représente une plate-forme de très peu d'étendue, couverte d'arbres qui empêchent de promener les regards sur les alentours. Mais en s'approchant du bord de ce plateau, on jouit d'une vue extrêmement vaste, majestueuse et instructive. Au NE, E, SE et S s'étend la crête dentelée des roches éruptives et, au-delà, la mer; au N on a au premier plan la pente douce des schistes argileux; puis viennent les rochers calcaires, derrière lesquelles coule la rivière Otouz; au loin s'allongent les hauteurs boisées de l'Eltiguéné (jurassique); au sud s'étend la presqu'île Méganome; à l'horizon se dessinent les silhouettes du mont éruptif Ayou-Dagh et du Babougan-Yafla, la

partie la plus élevée de la chaîne de Crimée. A l'W et au N dressent les pittoresques rochers calcaires Balaly-Kaïa (386 m.), Sary-Kaïa (506 m.) etc., attribués jusqu'ici au Crétacé supérieur. Au N on voit derrière la vallée Koktébel les formations crétacées et tertiaires passer à la plaine, au-delà de laquelle à l'horizon la bande du Sivach et de la mer d'Azo au NE, ce sont les hauteurs de Féodosie, le cap de St. Elie et la pittoresque Kiik-Atlama. Les alentours les plus proches du K sont géologiquement peu étudiés.

Nous nous dirigeons vers le jalon trigonométrique établi par le génie. On y voit un bel affleurement de tufs blancs et verdâtre, le tombeau d'un saint tartare (Aziz). A droite, un sentier à pente escarpée et boisée à une source d'eau sulfureuse amère, à laquelle les tartares attribuent des qualités médicinales. Ici le jalon le chemin descend rapidement, dans la direction SW, la pente devient plus douce. Nous le suivons jusqu'au point (470 m.) où un dyke orienté vers le SW, surgit de dessous le tuf. Ce dyke, du bas au haut, plonge, plus bas, sous les schistes argileux jurassiques qui entourent la montagne. Tournant à droite, vers le sud, nous descendons en suivant la ligne de séparation de l'andésite et du tuf, par une pente escarpée, jusqu'aux schistes développés en bas.

Contournant ce dyke au sud, nous arrivons à la source Tchesmé où nous voyons un développement des mêmes roches mais fortement décomposées et remplies d'inclusions de calcite et de zéolites (natrolithe). De là le chemin s'abaisse à travers les schistes dans un ravin qui descend, auprès de l'affleurement du bas des andésites, vers la mer (voir fig. 5, vue générale du K prise du Sud). Après avoir traversé ce ravin et franchi la colline schisteuse, nous arrivons au bord de la mer et de



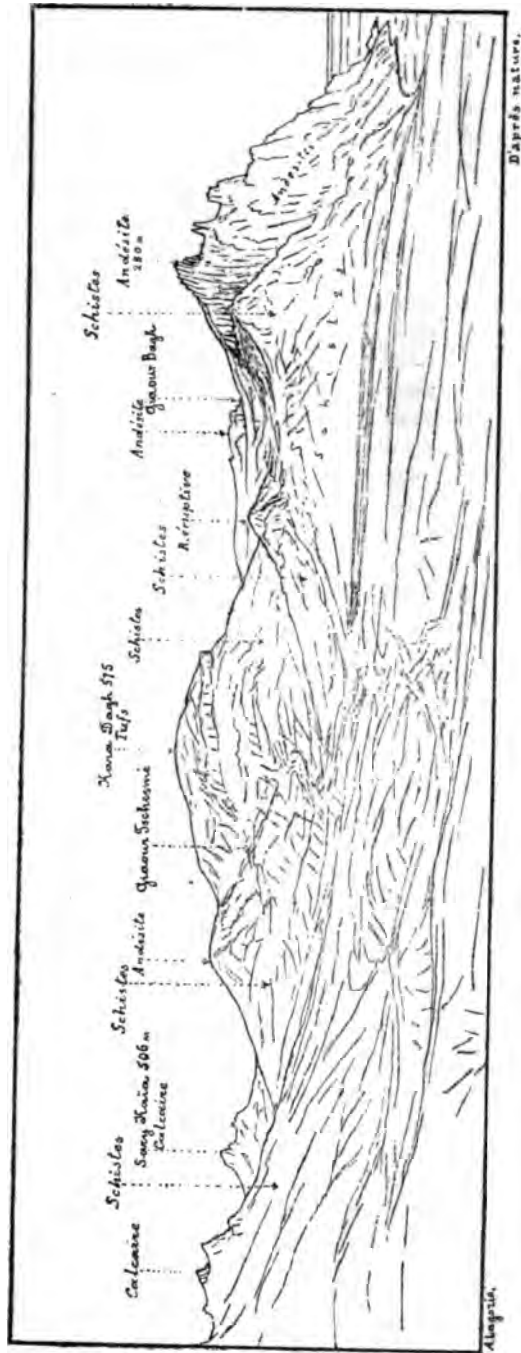


Fig. 5. Vue générale du Kara-Dagh, prise du Sud.

Supplément.

Les numéros des descriptions et des analyses chiffres marqués sur la carte lithologique jointe du

1) Mélapyre près du Koktébel. Roche foncée râtre. Microstructure: plagioclase rectangulaire, au partiellement décomposée, magnétite. Pâte: plagioclase brune à globulites et poussière magnétitique en quantité grande; apatite. Dans les roches décomposées: chlorite, zéolites. Structure de deux types (Olivin-Tholeiit- et sensbusch). Analyse 1.

2) Andésite pyroxénique, formant un cordon Kara-Dag. Roche grise d'apparence cristalline. Microstructure: plagioclase porphyrique, presque incolore, augite, magnétite microgranitique: plagioclases lamellaires et magnétite interstitielle en petite quantité. Roche très riche en alcalis (andésitique) en alcalis, d'une composition chimique basaltique. Analyse 2.

3) Andésite pyroxénique. Du côté nord de la cordon, au commencement de la crête littorale. Microstructure: plagioclases de grosse taille, peu d'apatite, apatite. Pâte comme N° 2.

4) Andésite pyroxénique (dacite). Au NE d'un gris clair à gros plagioclases et peu d'augite olithique. Analyse 4.

5) Andésite pyroxénique. Dans la partie près de Guiaour-Bakh. Roche grise jusqu'à couleur chloritique d'un vert vif, magnétite, apatite. Pâte

est presque entièrement; certaines roches renferment de rares grains pyroxène rhombique. On rencontre des variétés à belle structure alopilito-eutaxitique (sur la cime de la crête, au sud de Guiaour-Bakh). La pâte est incolore ou d'un gris clair. Analyse de la roche du grand dyke, au sud, au-dessus de Guiaour-Bakh 5.

Les roches décomposées renferment de la pyrite et de la calcite; parfois elles sont remplies de zéolites.

6) Pechstein andésitique (Vitrophyre, rétinite). Grande coulée sur la partie la plus élevée de la crête (jusqu'à 475 m.) et sur les flancs. La roche est noire, vitreuse, à éclat gras et à petits feldspaths porphyriques vitreux (plagioclase); très fraîche. Microtexture: plagioclase frais et à fait transparent, avec abondantes inclusions d'un verre brun d'augite; augite clair jaunâtre en grains et cristaux (en faible quantité), magnétite en gros grains. Pâte: verre brun, isotrope avec aiguilles acrolitiques de plagioclase en quantité plus ou moins grande (hyolotisch. Rosenbusch). Analyse de la roche—6. Analyse du plagioclase—6a. Analyse de la pâte—6b.

7) Andésite pyroxénique (dacite). Grand dyke au SW du dôme central du Kara-Dagh. Noire, d'apparence non vitreuse, parfois avec pâte verdâtre. Microstructure: plagioclases porphyriques avec inclusions vitreuses, augite en quantité minime, peu de magnétite. Pâte d'un

Analyses.

	1.	2.	4.	5.	6.	6a.	6b.	7.
<i>SiO₂</i>	57.67	58.35	73.73	68.00	59.45	51.98	63.85	71.05
<i>Al₂O₃</i>	24.37	24.92	14.77	17.91	18.08	30.02	11.74	17.61
<i>Fe₂O₃</i>					5.30	1.03	8.69	
<i>CaO</i>	8.02	2.31	1.93	5.63	6.15	12.99	3.53	4.45
<i>MgO</i>	3.05	0.77	0.94	cr.	1.78	0.03	1.19	tr.
<i>Na₂O</i>	2.93	6.47	3.27	3.35	3.46	3.56	3.00	3.04
<i>K₂O</i>	1.12	3.55	2.75	2.58	0.91	0.62	1.19	2.56
<i>H₂O</i>	3.48	1.66	1.76	2.60	5.31	0.22	6.20	1.42
	100.64	99.00	99.15	100.07	100.44	100.45	99.39	100.13
Poids spécifique					2.619	2.714	2.449	

.

.

.

.

.

.

XXXII

LE JURASSIQUE A SOUDAK.

PAR

CONSTANTIN DE VOGDT.

Soudak (village de 24 maisons) est situé sur la côte méridionale de la Crimée entre Yalta et Théodosia à une distance de 40 klm. de la dernière ville.

Selon l'opinion la plus répandue, les assises jurassiques de la Crimée peuvent être divisées de bas en haut:

1) Schistes. Cette formation est envisagée principalement comme jurassique. Hommaire de Hell a recueilli à Kobsel (à 6 klm. vers ESE de Soudak), dans des schistes intercalés de calcaires, une faune de céphalopodes qui a été déterminée par d'Orbigny¹⁾ et revue par Neumayer²⁾. Ce sont des espèces bathoniennes et calloviennes. Ce fait, comme E. Favre³⁾, semble prouver que „le dépôt du schiste argileux n'a pas s'être prolongé de l'époque liasique jusqu'au milieu de la période jurassique“. Tout récemment D. Stremoukhov⁴⁾ a trouvé dans les schistes de Balaklava des céphalopodes bathoniens et calloviens.

2) Grès et poudingues. „Les rapports stratigraphiques de ce grès avec les formations qui l'avoisinent sont compliqués. Il est tantôt lié au schiste avec lequel il alterne dans sa partie inférieure, tantôt il est en concordance de stratification avec les calcaires qui le recouvrent et alterne avec ceux-ci dans sa partie inférieure. Cependant on trouve une discordance de stratification évidente entre le schiste et le grès.“

¹⁾ Paléontol. du voyage de H. de Helle. 1845.

²⁾ Jurastdien. J. K. K. g. R. 1871. p. 297—354.

³⁾ E. Favre. Etude stratigraphique de la partie sud-ouest de la Crimée. 1877.

⁴⁾ Bull. Soc. Nat. Moscou, 1894 et 1895.

cette région se trouvent au même niveau et que l'imperceptible, horizontal, d'une roche à l'autre. N. Golovkinsky envisage comme récif corallien so- ment liés avec les poudingues. Ces trois formations présenteraient donc, au point de vue de la chrono- groupe. N. Golovkinsky n'a pas prononcé son des dépôts jurassiques.

La plupart des géologues qui se sont occupés Crimée, ont visité Soudak et en ont parlé dans leur n'est que la note de W. Sokolow *) qui se rapporte cette région. D'après cet auteur, les schistes, les g- gues de cette région sont liasiques. Ces couches ou avant la formation des calcaires massifs qui sont d et présentent une formation de l'âge des calcaires couches de Kobel avec leur faune callovienne fo à part.

Outre la note sur les fossiles de Soudak publi beaucoup d'espèces de cette région ont été décrites dans la „Letheia Rossica“. Une partie de sa collec- celle de Dubois, a été décrite par Mlle E. Solo

L'auteur de cette note a étudié les environs d et 1896.

Cette note ne contient que la description du r- tué à l'ouest de Soudak.

L'auteur a choisi cette montagne pour l'excursi- ce que: 1) Tous les étages jurassiques qu'on trouve en région y sont très bien développés et contiennent les caractéristiques. 2) La tectonique du Pertchem

ente un exemple très instructif des phénomènes qui ont eu lieu le g de la chaîne Taurique à l'époque de sa formation. 3) Enfin situation de cette montagne tout près de la mer la rend très accessible aux participants du Congrès et l'excursion peut se faire en quelques heures.

Dans le jurassique du Pertchem on peut distinguer d'une manière précise l'oxfordien supérieur (J_1) et le callovien (J_2).

L'oxfordien supérieur— J_1 —(voir les profils) est formé par des poudingues, des grès, des schistes, des calcaires stratifiés et des calcaires massifs.

La roche principale de la série oxfordienne du profil AB — est le schiste. Il est intercalé de calcaires stratifiés, de grès et de poudingues. On ne peut indiquer aucune règle générale dans la succession de ces roches: les grès, les calcaires et les poudingues se retrouvent à différents niveaux de la série. De même, en suivant une coupe quelconque de schiste dans le sens de sa direction, nous y voyons apparaître de petites couches gréseuses qui augmentent peu à peu et transforment définitivement la couche de schiste en une couche de poudingue passant à son tour insensiblement à des poudingues. Cette transition pétrographique des couches peut être aisément étudiée en comparant les profils AB , CD , EF et GH : les schistes qui prédominent dans AB sont complètement remplacés par des grès et des poudingues dans EF et GH .

Les relations qui existent entre les calcaires massifs et les couches stratifiées présentent un fait d'un très grand intérêt. Ces calcaires se trouvent à différents niveaux de la série oxfordienne (voir les profils ABa , ABe , ABh , ABs , ABm , ABt , CDa , CDd , CDe , CDf , EFa , EFb) et nous voyons partout les couches stratifiées s'enrichir en carbonate de chaux et changer insensiblement en calcaire massif. Les rapports s'observent le plus souvent entre les calcaires massifs et les schistes; mais dans CDe nous avons un calcaire massif dans des schistes, et, sur le versant septentrional du Pertchem (cet endroit est de nos coupes), un nid de calcaire est inclus dans un poudingue. Il est donc hors de doute que les calcaires en question ne présentent pas d'horizon précis; au contraire c'est un faciès qui se rencontre à tous les niveaux de l'oxfordien de Soudak. Outre le mont Pertchem, l'auteur de la présente esquisse a étudié tous les environs de Soudak (monts Sokol, Taraktach, Mandjil et Altchak) et partout il a trouvé les mêmes corrélations. Certainement il existe des schistes plus anciens que les calcaires massifs les plus inférieurs (nous en reparlerons plus tard) mais on serait dans l'erreur de vouloir envisager tous les schistes comme liasiques.

Le tableau suivant donne la répartition des fossiles dans les couches oxfordiennes. Les couches les plus récentes occupent la partie supérieure du tableau.

[R. i = rauracien inférieur; R. s = raur. supérieur; Pt. = pter.
Nat. = Nattheim].

Renvoï aux profils.	Calcaires massifs.	Calcaires stratifiés, schistes et grès.
ABm	<i>Isastrea explanata</i> (R. i.), <i>Cidaris florigemma</i> .	<i>Thamnastrea concina</i> (R. s.), <i>Millericrinus</i> sp., <i>Cid. florigemma</i> , <i>Trigonia</i> sp.
ABa	<i>Millericrinus</i> sp., <i>Cidaris cervicalis</i> , <i>Rhynch. Arolica</i> , <i>Ostrea</i> cf. <i>Moreana</i> , <i>Pecten subtextorius</i> .	<i>Montivaultia serrata</i> , <i>Dermosmilium arboreescens</i> (R. s.), <i>Pentacrinus</i> sp., <i>Millericrinus</i> sp., <i>Cid. Blumenbachi</i> , <i>Ostrea</i> cf. <i>Moreana</i> .
ABs	<i>Millericrinus</i> sp., <i>Cid. florigemma</i> .	<i>Montivaultia serrata</i> , <i>Calamophyllia flabellum</i> (R. s.), <i>Millericrinus</i> sp., <i>Cid. florigemma</i> , <i>Pecten inaequicostatus</i> .
ABh	<i>Cid. florigemma</i> .	<i>Cid. florigemma</i> .
EPe	<i>Latimeandra Amedei</i> (R. s.).	<i>Montivaultia Nattheimensis</i> (Nat.), <i>M. serrata</i> , <i>M. dispar</i> (R. i.), <i>M. compressa</i> (Nat.), <i>Thecosmilium trichotoma</i> (R. s. Nat.), <i>Leptophyllia Fromanteli</i> (Pt.), <i>L. Thurmani</i> (R. s.), <i>L. excelsa</i> (R. s.), <i>L. Montis</i> (R. s.), <i>L. corniculata</i> (R. s.), <i>Cid. florigemma</i> , <i>Cid. cervicalis</i> , <i>Diplocidaris</i> sp.

Les polypiers de ces couches appartiennent en majeure partie à des espèces rauraciennes. *Cidaris florigemma* qui se trouve à tous les étages de notre série est un fossile très caractéristique. La zone supérieure de l'oxfordien a été nommée par Oppel ¹⁾ „Zone des *Am. bimammatus* oder des *Cidaris florigemma*“. Moesch ²⁾ a distingué cette zone dans le jura argovien sous le nom de „Crenularisschichten“. Koby ³⁾ indique cette espèce dans le rauracien du Jura Bernois qu'il parallélise avec les Crenularisschichten. Mais Rollier, dans sa série de notes ⁴⁾, a exposé l'opinion que le rauracien n'est qu'un étage de l'argovien et parallélise le rauracien inférieur (qui contient *A. florigemma*, *Blumenbachi* et *cervicalis*) avec les couches de Birsndorf (*Am. transversarius* et *Rh. Arolica*). La question n'est pas encore définitivement résolue et il est bien difficile de décider à quelle zone appartiennent les couches à *Cid. florigemma* de Soudak: à la z. à *Am. transversarius* ou à la z. à *Am. bimammatus*. La difficulté est d'autant plus grande que le reste de notre faune renferme des espèces à grande extension verticale.

Diploridaris gigantea—z. à *Am. bimam.*, raur., ptérocér.

Rhabdocidaris nobilis—z. à *Am. bimam.*—Kimm. sup.

Rhynchonella Arolica—z. à *Am. transv.*, z. à *Am. bimam.*, z. à *Am. Acanth.*

Pecten subtexlorius—z. à *Am. transv.*—z. à *Am. tenuilob.*

Pecten inaequicostatus—raurac., z. à *Am. transv.*, z. à *Am. tenuilob.*

Limu tumida—raurac., z. à *Am. bimam.*

Ce sont les raisons pourquoi nous donnons aux couches du malmont Pertchem le nom d'oxfordien supérieur, ces couches étant plus récentes que la zone à *Am. cordatus* et plus anciennes que la zone à *Am. tenuilobatus*.

Le callovien—*J*₂—(voir les profils) est formé par des schistes, des calcaires et des calcaires stratifiés; on ne trouve pas au Pertchem de calcaires massifs de cet âge. Ces couches ont éprouvé beaucoup de déformations et il est difficile de reconstituer leur succession primitive.

I. *CDn*—calcaire descendant du sommet de la montagne dans le ravin. Il contient: *Montivaultia cariophyllata*, *Collyrites elliptica*, *Holactypus depressus*, *Rhynch. varians*, *Zeilleria obovata*, *Tetradium sphaeroidalis*, *Phylloceras tortisulcatum*, *Cismoceras ornatum* et *Peltoceras annulare*. C'est le callovien supérieur.

II. Dans sa partie inférieure, ce calcaire devient arénacé et passe en grès (*CDr*) avec *Zeilleria obovata*, *Rh. varians* et *Pecten fibrosus*. Cette couche à *Rh. varians* et *Pecten fibrosus* est très constante au

¹⁾ Oppel—Ueber die Zone des *Am. transversarius*. 1866.

²⁾ Moesch—Aargauer Jura. 1867.

³⁾ Mém. Soc. Pal. Suisse, v. XXI.

⁴⁾ Eclogae geol. Helv. 1888—1896.

Phylloceras cuphyllum, *Ph. tortisulcatum*, *Oppelia*
risphinctes subtilis.

GHd.—*Rhynch. varians*, *Terebr. perovalis*, *T.*
leria obovata, *Waldheimia pala*, *Lima Helvetica*,
Goniomia proboscidea, *Gresslia truncata*, *Phy*
Ph. mediterraneum, *Ph. tortisulcatum*, *Ph. subol*
Harpoceras hecticum, *H. lunula*, *H. Laubei*, *H.*
koviense, *Oppelia aspidoides*, *Op. conjungens*, *A*
Perisphinctes Moorei, *Per. subtilis* et *Peltoceras*

Toutes les espèces de la couche *GHb* se renc
Leur caractère pétrographique est le même et il
que nous avons ici une seule couche partagée en c
dislocation dont nous parlerons plus bas. Cette co
sagée comme appartenant au callovien inférieur (*c*
cephalus).

Dans la liste de la faune callovienne du Pert
vons pas d'espèces qui seraient caractéristiques p
récentes que le callovien (les *Phylloceras*, en géne
extension verticale). Par contre nous y voyons des c
(*Rhynch. varians*, *Pecten vagans*, *Oppelia aspid*
Moorei). En outre, la couche que nous rapporton
macrocephalus contient des espèces du callovien e
mélange d'espèces a été constaté dans plusieurs e
de différentes manières ¹⁾.

Sur le versant occidental du Pertchem nous
sous les grès à *Rh. varians*, des schistes (*GHn*)
teint une centaine de mètres et même davantage
trouvé de fossiles dans ces couches. Il est très vra
aurons là toute une série d'assises jurassiques, in
vien, peut-être même le lias tout entier.

3. L'arête anticlinale n'est pas horizontale, elle est inclinée vers E. Il en suit que l'un des flancs est incliné SE et l'autre NNE. Le pli a une disposition périclinale et se termine lentement à l'E de la zone AB.

Les flancs du pli oxfordien ont subi plusieurs flexures qu'on trouve sur tous les profils. Ces flexures ont l'aspect de plis déjetés vers le N. Le flanc du sud est incliné de 80° et celui du nord de 35°—45°.

Le callovien a de même éprouvé quelques dislocations très prononcées. La couche à *Pecten vagans* CDk s'est affaissée dans un ravin qu'au niveau CDp où elle forme une flexure. Dans le profil AB la couche se rencontre dans v et x.

Dans les profils AB, CD et EF, en suivant la ligne où le callovien apparaît de dessous l'oxfordien, nous trouvons constamment les mêmes relations: l'oxfordien forme une flexure (ou un pli déjeté) par x, CDi—o et EFG—i contre le flanc incliné de laquelle vient heurter le callovien. On peut suivre cette flexure jusqu'à la coupe Krs qui est prise tout près du profil GH. Mais ici tout change rapidement.

Le poudingue de quartz GHa est le prolongement continu de Fd et de CDe. Cette couche—GHa—n'est pas renversée, elle plonge vers NE. Directement sur ce poudingue repose le calcaire callovien Fb avec la faune citée plus haut. En se dirigeant de la couche b vers le nord, le long du profil GH, nous avons:

c—grès sans fossiles (J_1).

d—calcaire avec une faune très riche qui contient toutes les espèces trouvées dans b (voir ci-dessus) (J_1).

e—grès sans fossiles (J_2).

f—calcaire à *Pecten vagans* (J_2).

g—poudingues de quartz (J_3).

h—un coin de calcaire (?)

i—poudingue de quartz (J_3) qui se trouve dans les relations indiquées par le profil avec

k—calcaire à *Ph. varians* (J_2). Sur ce calcaire nous trouvons un lambeau de

l—poudingue (J_3) qui présente le prolongement occidental de ts.

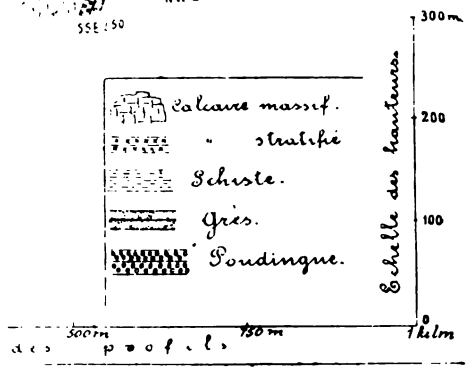
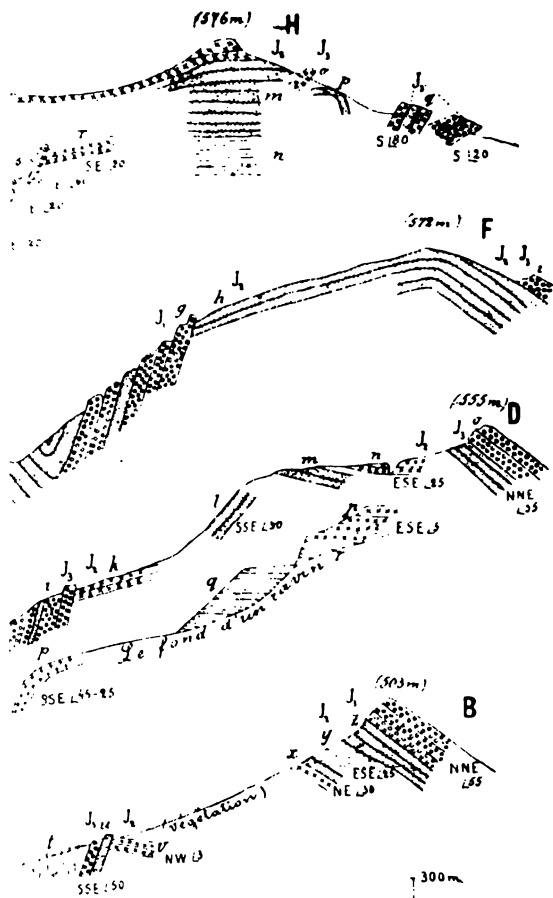
Par quel genre de dislocations devons-nous expliquer les relations nous présente le profil GH—la discordance ik, la répétition du lit b dans d, et le recouvrement ab?

Les couches de poudingue g et i présentent certainement le prolongement de l; il faut supposer une faille entre i et k et un affaissement des couches e f g h i. Les couches bc qui sont identiques avec ont de même affaissées le long d'une faille qui passe entre c et d. L'auteur de cette esquisse prétend que le recouvrement ab doit être expliqué par le même procédé. La roche a est un poudingue de quartz excessivement dure, tandis que le calcaire b est entièrement dépourvu de foraminifères et de débris de mollusques; le ciseau l'attaque facilement. Si nous admettons dans ab un pli-faille avec un flanc



(Horst). Certainement ce mouvement vertical, autre, latéral, qui a produit le pli anticlinaux.

Peut-être existe-t-il une certaine relation entre le mouvement vertical et la formation des terrasses si développées. Les observations qui ont été faites jusqu'ici ne permettent pas de se prononcer définitivement sur ce point.



1

XXXIII

ITINÉRAIRE GÉOLOGIQUE

D'ALOUCHTA A SÉBASTOPOL

PAR

Yalta, Bakhtchissaraï et Mangoup-Kalé.

La description concernant l'itinéraire général est due à **N. GOLOV-KINSKY**, celle des roches éruptives à **A. LAGORIO**.

I. D'Alouchta à Yalta.

Alouchta (44° 41' lat. sept., 4° 5' long. orient., méridien de Poul-
kovo), village situé au bord de la mer Noire, a une population cons-
tante de 1200 habitants, moitié Tartares, moitié Russes. Il s'y trouve
trois hôtels, un bureau postal et télégraphique, une station de diligen-
ces et de bateaux à vapeur: les bateaux ne s'y arrêtent cependant que par
un temps calme. La curiosité la plus remarquable d'Alouchta sont les rui-
nes d'un ancien castel, Alouston, construit au VI-me siècle de l'ère
chrétienne par l'empereur d'Orient Justinien I. Deux hautes tours, res-
tes entières, se voient de loin. Alouchta est bâtie sur le penchant
d'une petite colline (30 à 35 mètres au-dessus du niveau de la mer)
entre les embouchures de deux petites rivières, au nord la Démerdji,
au sud l'Oulou-Ouzen ou Messarli, comme l'appellent les Grecs. Les
maisons de la partie tartare du village, resserrées entre des ruelles
étroites et sales, auxquelles on ne peut pas donner le nom de rues,
s'élèvent sur la pente raide de l'Oulou-Ouzen: de loin on dirait que
toutes ces maisonnettes avec leurs toits plats et leurs galeries se tien-
nent les unes sur les autres. La partie russe avec ses vignobles et ses
jardins fruitiers s'étend au loin sur la pente douce qui descend vers
la Démerdji. La majorité des Tartares d'Alouchta se compose, comme
général ceux de la moitié ouest du bord méridional de la Crimée,

ni aiguilles de rutil (Thonschiefernädelchen). Ils sont également autre: ils offrent un caractère gréseux et contiennent de très fins de quartz clastique, d'une matière argileuse plutôt bitumineuse que charbonneuse. Le grain grossier des grès schisteux avec teneur considérable en matière argileuse. Des véritables anciens schistes cristallins n'ont été découverts récemment, par les auteurs de la présente esquisse, qu'en certains points peu nombreux dans la partie septentrionale de la péninsule.

Dans le voisinage des masses éruptives, les schistes sont remplacés par des filons cristallins et demi-cristallins. Ici et là l'on trouve la traversée de nombreux filons blancs et jaunes de calcite et renferme en abondance de la pyrite et des minéraux oligistes. A son contact immédiat avec la roche cristalline, le schiste est noir, intimement lié à la masse cristalline. Les schistes au bord de la mer se montrent ici et là solubles, le plus souvent de gypse, parfois de soufre. Les affleurements présentent le schiste argileux refoulé en complexes, les couches passant tantôt brusquement de la horizontale à la verticale, quelquefois même renversant tout d'un coup au s'amincissant. Indépendamment de cela, l'assise entière du schiste argileux, dans sa position visible par rapport aux roches superposées, se dirigeant du côté de la mer vers le NW, c'est-à-dire dans la plupart des cas vers NW. Sur la pente littorale, le schiste atteint une altitude de 1000 m au-dessus du niveau de la mer, tandis qu'à une distance vers le NW sa limite supérieure ne se trouve qu'à une faible hauteur; le plongement serait donc d'environ 10° vers le NW (Biassala, Mangouch), a

La totalité de l'assise. Dubois de Montpéroux, Huot, Romanovsky, Mackenbergh ont classé cette assise dans le lias. Cependant des fossiles trouvés par Hommaire de Hell près de Soudak (*Belemnites hastatus*, *Ammonites tortisulcatus*) semblent indiquer des étages plus supérieurs du jur. Ernest Favre rapporte les divers horizons du schiste à une série d'étages successifs du jurassique. Dans ces derniers temps E. Strémooukhow donne des preuves paléontologiques de l'appartenance des schistes des alentours de Balaklava aux étages bathonien kallovien (*Perisphindes*, *Stephanoceras*, *Oppelia*).

Aux alentours d'Alouchta la région du schiste argileux s'étend—nord—jusqu'à la montagne Démerdji pour y disparaître, au-delà 300 m. d'altitude, sous des éboulis de conglomérat; au NW—elle rejoint le mont Tchatyrdagh, sur la pente duquel des éboulements de calcaire s'abaissent par endroits jusqu'à 300 m.; au S et au SW—elle descend jusqu'aux monts Kastel et Ouraga. A mesure que l'on s'éloigne de la mer, le schiste argileux, dont la couche très adhérente s'abaît graduellement, recouvre le massif cristallin de ces deux montagnes à une hauteur de plus en plus élevée. Dans les intervalles entre les montagnes Démerdji, Tchatyrdagh, Ouraga et Kastel, les schistes se continuent en bandes interrompues.

La partie supérieure du Démerdji (1216 m. au point culminant) est constituée par un conglomérat d'un violacé grossier et un conglomérat gris passant à un conglomérat calcaire et, au sommet, à un calcaire. Les couches plongent au NW sous un angle de 5°. Le mont Démerdji s'est séparé par glissement du Démerdji-Yaïla (1355 m.), le plus au nord. L'extrémité méridionale du Démerdji-Yaïla, visible d'Alouchta, porte le nom de Sarpakhaïa. La différence entre le niveau calcaire de cette dernière montagne et celui du calcaire à l'extrémité abaissée nord-occidentale du Démerdji atteint 300 mètres.

La partie méridionale du Tchatyrdagh, visible d'Alouchta, et dont le point culminant, l'Ekliz-bouroun (1521 m.) se dresse à l'angle ouest, est en un calcaire dur rappelant le marbre. Ce calcaire atteint une puissance de 400 m. et recouvre directement, sans conglomérat ni couches intermédiaires visibles, un schiste argileux de couleur foncée. Le conglomérat et le grès ne sont développés que sur le versant nord. De grands éboulements de calcaire descendent la pente sous forme de cascades de blocailles, de blocs et de rochers, jusqu'aux villages Korotki et Chouma (environ 300 mètres au-dessus du niveau de la mer).

La longue chaîne boisée au profil doux et arrondi, Kastel-Ouraga-Tchamny-bouroun, bornant l'horizon d'Alouchta au sud-ouest, est formée d'une roche cristalline compacte qui la compose probablement dans toute son étendue, bien qu'à la dépression Kastel-Ouraga la roche éruptive soit recouverte par du schiste argileux. C'est le massif de Tallin le plus important et le plus élevé de la Crimée. Sa longueur (161°—NW 341°) est de 5 verstes avec une largeur de plus de 2 1/2 verstes. L'altitude du Kastel est de 441 m., celle du Tchamny-bouroun de 1212 mètres.

Séragoz (020 m.) au nord de l'Ouraga. La masse est en une roche que la composition du magme et la structure à la diorite quartzifère (micropegmatite à pyroxène). (Quant à l'âge des roches éruptives de la Crimée, et leur extension, voir l'itinéraire à travers le Karachimiques de la roche sont données dans l'appendiceaire (anal. 1, 2, 7). Les roches sont d'apparence granulaires et de couleur foncée, mais il y en a d'une structure porphyrique (Kastel). Les grenues présentent SiO_2 d'environ 56%, les porphyriques jusqu'à 75%. Les grenues se composent de plagioclase, d'augite claire priritisée, d'orthose et de quartz granophyriques (magnétite, d'apatite et de zircon. La texture est hyaline (granitique). Elles sont à rapporter au groupe des quartzifères. Au Kastel il y a développement de porphyriques à pâte microgranulitique et micropegmatite et d'orthose où tranchent des cristaux de quartz idiomorphes, de pyroxène (diopside) et de rares grenats. On sent des séparations grossières soit en bancs, soit en lentilles. Elles ne recouvrent en calotte le massif convexe du Kastel. Le Tchamny-bouroun et l'Ouraga présentent une structure granulaire mais le Kastel offre toutes les variétés de roches, des grenues grossièrement grenues jusqu'aux porphyrites pyroxéniques. Les dernières développées au S et à l'E de la montagne composant ces roches s'enrichissent de calcite, de quartz et de pyrite. Le versant du Kastel tourné vers la mer est versé d'un puissant filon de spath calcaire en rhombes cubiques; ce filon, épais de 3 mètres, s'étend sur plusieurs dizaines de mètres remontant la montagne. Des filons moins considérables sur les pentes de l'Ouraga et du bouroun — le Séragoz. l'Al-Yori et d'autres. offrent une

a une petite quantité d'aiguilles d'ogirine, des lambeaux d'amphibole (arfoedsonite?) verte et des lamelles échancrées de mica claire. Dans la pâte tranchent des plagioclases (anorthoclase) jaunâtres (analyse 14). Ces roches (taurite) qui n'appartiennent à aucun type connu jusqu'ici, occupent le milieu entre les kératophyres et les pantellerites. Elles apparaissent en affleurements isolés (jamais en filons), toujours dans le voisinage des roches dioritiques, en différents endroits plus ou moins éloignés les uns des autres de la péninsule. En dehors du point dont nous parlons, on les trouve par exemple près d'Artek au pied sud de l'Aïou-dagh et, loin à l'ouest, vers le nord de Balaklava. La plus grande altitude absolue des montagnes de la Crimée (Babougan-Yalla) correspond à l'intrusion la plus volumineuse et la plus élevée des massifs du Tchamny-bouroun, de l'Ouraga, du Castel et de l'Aïou-dagh. Des deux côtés de la montagne isolée Tchatur-dagh, la même roche dioritique apparaît à une hauteur d'environ 650 m. au S (ligne de partage des eaux Sofou-Ouzenbach) et au NE, au-dessus de Taouman-bazar. Encore plus loin, vers le N et le NE d'Alouchta, les roches éruptives affleurent sur les pentes du Démerdji et, au bord même de la mer, près du village Kourou-Ouzen (une diorite quartzifère entièrement décomposée): une porphyrite quartzifère, analogue aux variétés du Kastel, se montre au cap près de Koutchouk-Ouzen (analyse 8).

Au-delà de la chaîne cristalline on voit d'Alouchta plusieurs sommets extrêmes du Babougan-Yalla.

Parmi les détails géologiques mérite l'attention une ancienne alluvion (fluviale?) de galets roulés et de blocs, située à 20 mètres au-dessus du niveau de la mer près de l'embouchure de l'Oulou-ouzen, au sud d'Alouchta, au commencement de la descente à la route littorale. Cette alluvion semblable de cailloux roulés, entremêlés de galets peulés, se voit à une distance d'environ 2 1/2 verstes d'Alouchta, le long de la route supérieure de Korbekly et, à 4 verstes, le long de la chaussée de Simféropol, à droite de la rivière Démerdji. Les deux alluvions se trouvent à une altitude de 80 à 100 mètres au-dessus du niveau de la mer.

La chaussée qui conduit d'Alouchta à Yalta, suit une direction générale vers le sud-ouest en faisant beaucoup de contours; sur son plus long parcours elle s'élève à une hauteur de 200 à 300 mètres au-dessus du niveau de la mer, s'abaissant rarement à 150 mètres.

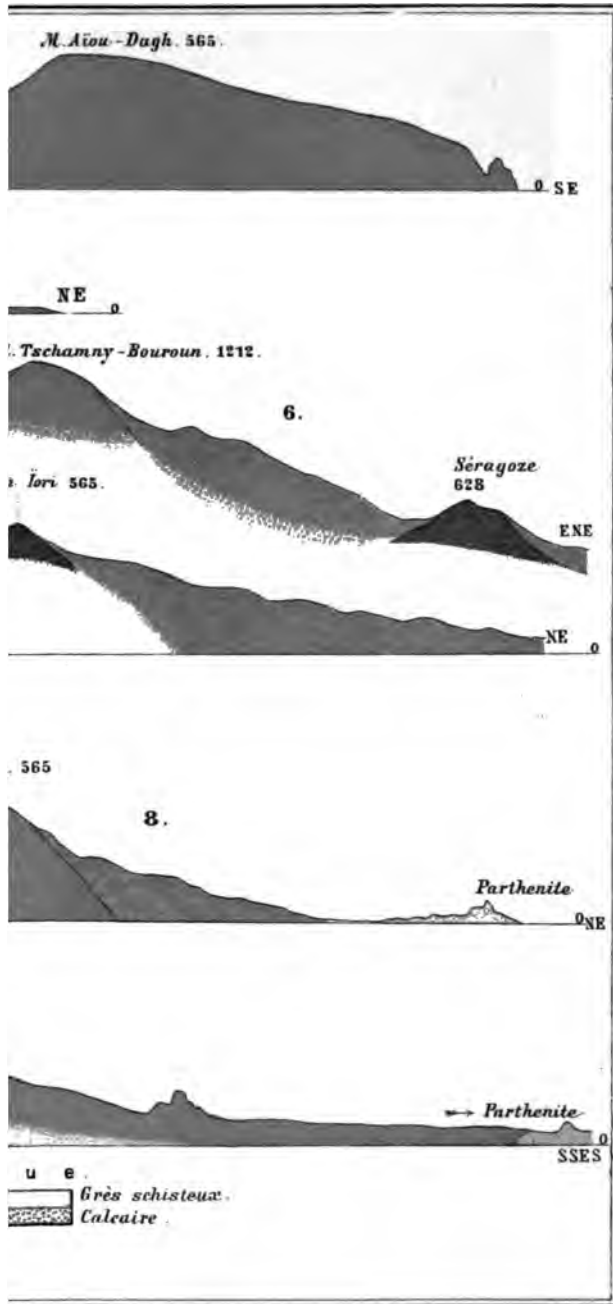
A partir d'Alouchta, sur une distance de plus de 8 verstes, la route va presque toujours en s'élevant sur un schiste argileux, revêtu d'une nappe d'épaisseur inégale d'argile brun rougeâtre, produit de la destruction principalement d'une roche cristalline dont de nombreux fragments de diverse grosseur, depuis des grains fins jusqu'à de gros blocs, sont renfermés en abondance dans l'argile même ou disposés à la surface. C'est sur la croupe entre le Kastel et l'Ouraga (360 m.) que la route atteint son point culminant. A la 11-me verste la chaussée descend à la rivière Kara-ouzen (309 m.) et traverse une étroite bande d'un affleurement de calcaires dont font partie, à droite, des éboulis d'une

cristallin conique, l'Al-Todor (415 m. au-dessus du

La roche développée ici, identique avec celle de l'Ouraga (diorite augitique quartzifère) les mêmes associations micropegmatoïdes d'orthose. Ce phénomène se répète avec une constance remarquable dans les représentants de ce type de roches aux différents points. Un tout autre type affleure sous forme de dyke, visible de l'Al-Todor (planche A, profil 3); c'est une roche de couleur foncée qui s'est trouvée être de la mélaphyse (sensu stricto), analogue à celles qu'on trouve en divers endroits de la péninsule accompagnant toujours, sous forme de dykes, des trusques plus acides. Ces roches n'apparaissent que dans la périphérie du massif cristallin laccolithique de la Toudra à l'est extrême de la chaîne, au sud du Kara-Dag des montagnes—dans les vallées des rivières Karas au rivage sud—près de Mélas, Moukhalatka, Kilimonte la pente jusqu'à 900 m. au-dessus du niveau de la crête du Mégabi. Dans la partie centrale de la péninsule ne se rencontrent nulle part.

Derrière le village Biouk-Lambat (bureau télégraphique station), du côté droit, une élévation de 30 à 40 m. la route consiste en calcaire en blocs, dispersés, dans un éboulement argileux, comme au pied du Bolgatyr. C'est une portion du même éboulement qui descend par une pente schisteuse jusqu'à la mer, et du-dessus des têtes de rochers plus ou moins éloignées les uns des autres au sud-ouest présentent une roche cristalline érudite des éboulis plus basse que la chaussée porte le nom d'un calcaire bréchiforme, brisé originairement en fragments recimenté ensuite en blocs rugueux par un tuf; de

Pl. A



Картогр. 200 ● А. Усманов С. П. Б.



à l'ouest, plus bas que la zone des grès, affleure, faiblement, sur un certain espace, une masse cristalline entourée d'une roche noire. La superficie de cet espace cristallin, connu sous le nom de Charkha, est d'un $\frac{1}{2}$ kilomètre carré. La limite supérieure de la roche cristalline est à 500 m. au-dessus du niveau de la mer et s'abaisse à 400 mètres.

La structure de la montagne Charkha (planche A, prof. 1 et 2; fig. 1, carte du Charkha) fait voir que c'est un lakkolithe typique. La roche éruptive est recouverte par dessus et sur les côtés d'une épaisse calotte de grès schisteux. Ça et là la calotte est érodée, permettant de laisser voir la roche éruptive (fig. 1). Au contact les

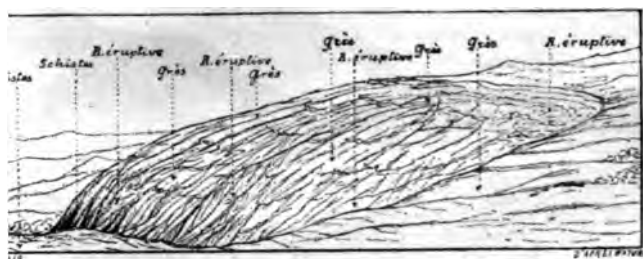


Fig. 1. Lakkolithe Charkha.

ont été modifiés. Les pentes occidentale, orientale et méridionale de la masse demi-sphérique sont recouvertes de schistes argileux supérieurs aux grès. Au flanc méridional les schistes, métamorphosés, deviennent plus noirs au contact, montent la pente escarpée. Un peu plus haut ils sont enlevés, ainsi que le grès, permettant de voir la roche éruptive. Les rapports qui existent entre les roches sédimentaires et éruptives sont indiqués dans les coupes et les cartes jointes et dans les coupes d'après nature. La roche, partout uniforme, d'un blanc sale, cristalline, consiste en une pâte microgranulitique composée de quartz, de grains de quartz et de feuillets subordonnés de biotite et de feldspath. Les cristaux porphyriques (labradorite) y sont peu nombreux et très petits. Peu d'apatite et de magnétite. La structure est microcrystalline. La roche est quelque peu décomposée et renferme de la pyroxène. Elle doit être rapportée aux kératophyres (appendice, analyse 10). Au-dessous de la chaussée et dans la direction du Charkha, on rencontre une série de rangées éruptives parallèles, formées de quartzifères-augitiques à gros grain et à la structure pegmatique. On y rencontre de la pyroxène rhombique et de la labradorite. Le cap situé au sud du Tchoukourliar et du Parténite (appendice, analyse 10) est constitué par une roche d'un blanc tirant sur le gris, analogue à celle du Charkha (planche A, prof. 1), mais à grain plus fin.

serres d'une manière très intéressante entre la roche

Plus loin, vers le SW, apparaissent des affleurements de Tchoukourliar, Parténite, Kourklété et, enfin, au ma (565 m.). Le schiste noir argileux monte assez haut sur la montagne, adhérant fortement à la roche cristalline sous différents degrés de métamorphisme et de schistosité. On observe la structure schisteuse de cette structure sur les pentes nord et sud. Au brusque plongement sous l'Aïou-Dagh (vers le centre). Du côté NW, dans un voisinage moins proche de l'affleurement dominant du schiste s'éloigne de l'Aïou-Dagh, loin encore, vers le village Kourklété, où il y a un contact avec la roche éruptive, le plongement est inverse.

L'Aïou-Dagh a fait intrusion dans les schistes de 2 $\frac{1}{2}$ verstes, avec une largeur de 2 verstes (plus). Les roches qui le constituent sont les mêmes que celles de Tchammy-Bouroun, Ouraga, Kastel (Append. anal. 2). Il s'agit d'une diorite quartzifère renfermant souvent une biotite, la roche dominante; dans le promontoire qui se dit, on trouve aussi des types porphyritiques. Vers le SW, l'Aïou-Dagh, près d'Artek, affleure une roche jaunâtre *syenitique* acide (71 SiO_2), analogue, pour le magne et la roche de l'Aï-Yori et du Séragoz, décrite plus haut.

Au-delà de l'Aïou-Dagh les affleurements cristallins

A 5 verstes environ vers le SSW, près de l'Aïou-Dagh, à 5 mètres au-dessus du niveau de la mer, une roche claire, très finement grenue; aujourd'hui cet affleurement est imperceptible, car on a fait sauter les roches saillant sur le terrain en le transformant en vignoble. Cette roche a une pâte microscopique très finement grenue, fortement

Carte du mont la

Guide des excursions du VII Congrès Géolog. Int.



Grès schisteux
Schistes
Distance entre 0 100 200

ue les ravins on voit à la surface une argile rougeâtre à frag- de schiste. A la 5-me verste de Biouk-Lambat, près du moulin du village Dermenkoï, l'argile prend une couleur claire, devient fère et acquiert une grande épaisseur. C'est la partie extrême oulement calcaire qui va jusqu'au village Dermenkoï, représen- r rameau latéral de la chaîne principale de l'éboulement. Cette principale descend du Babougan-Yaïla (non loin du mont Sa- Ma) en suivant le courant de la petite rivière Poutamitza, coupe issée près du village Kizil-tach et aboutit au bord de la mer es propriétés Sououk-Sou et Gourzouf; les roches au-dessus du qui frappent le regard, le Guélin-kaïa (412 m.), le Kizil-tari .), le Kaliza (662 m.) et d'autres, en font partie, ainsi que le littoral avec les ruines d'un castel et les rocs Adalar émergeant ner. La bande de l'éboulement de Gourzouf qui ressemble beau- u „Khaos“ de Biouk-Lambat, recouvre dans la moitié supérieure pente des parties d'un grès gris et jaunâtre alternant probablement r schiste; cependant on peut admettre que quelques-uns des affleu- s de ce grès appartiennent aux éboulements, étant hors de doute position primitive du grès se trouvait beaucoup plus haut (grès galets, articles de crinoidées, branches de coraux et autres restes), au col Gourbet-déré-bogaz (1335 m.) où cette roche constitue ace du sol. Le grès contourne de là sur la pente nord où il une vaste étendue en contenant par endroits des accumulations filons de charbon fossile. Des deux côtés du col, au-dessus du élèvent des calcaires qui forment les plus hautes cimes des monts es: le Roman-Koch (1541 m.) et le Zéïtin-Koch (1520 m.) au Démir-Kapou (1538 m.) au SW. Ces sommets ne sont pas vi- lu versant sud, situés qu'ils sont près du bord nord du Yaïla (lateau).

la 15-me verste de Biouk-Lambat la chaussée s'abaisse jusqu'à au-dessus du niveau de la mer et franchit la petite rivière la qui, à la suite de fortes pluies, cause souvent de grands déus les environs de Gourzouf. L'Abounda prend sa source au calcaire du même nom, sommet dominant du rameau Gourzouf- cy du Yaïla (1470 m.). Après avoir dépassé l'entrée de l'avenue rzouf, la chaussée remonte le talus schisteux jusqu'à une hau- e 190 mètres.

17 verstes de Biouk-Lambat, à la station postale Aïdanil, le est remplacé au niveau de la route par un grès gris verdâtre es éboulements ont glissé au loin par la pente, en prenant une on oblique vers les rochers escarpés du cap Nikitsky. Une verste de la station Aïdanil, à un petit soulèvement de la chaussée, se recouvre d'un calcaire brisé en rochers pleins de fissures, s et en fragments, entre lesquels se mêle de l'argile rouge. A de là (depuis l'entrée principale d'Aïdanil, propriété des apana- 1½ verste vers l'ouest, derrière le village Nikita, la chaussée e l'éboulement calcaire de Nikitsky qui forme sur le bord de la

Sur la limite de la propriété des apanages Mas belle coupe de l'assise schisteuse, surmontée un peu calcaire dur bréchiforme, concassé et recimenté, sans diaire de grès ni de conglomérats. De la Massara chaussée descend peu à peu par le schiste; à droite plus raide une bande d'éboulis calcaires qui, à la Ma traverse la chaussée et forme plus loin, au-dessus cap St-Jean, le mont Palikour, remarquable de loin par des éboulis et la blancheur du calcaire. La bande de sandra commence au Katmerler (1200 m. environ), du Yaïla et forme la crête angulaire bien visible laquelle se dirige vers le SW par le mont Touwar-I la terrasse Oura; après un intervalle schisteux au-dessus Inférieure, la bande de l'éboulement se termine par (153 m.) au-dessus de Yalta. Au côté sud-ouest de la verste au nord des bâtiments de la Massandra Inférieure qui conduit à la cascade, on remarque un petit aff et de conglomérats; plus loin au NW ces grès et craissent sous d'énormes accumulations d'éboulis et rocher Bala-kaïa qui se dresse du côté de la gorge. lage Ay-Wassil, en paroi escarpée haute de 150 mètres éboulements. En face, dans la partie supérieure du gorge, les couches de calcaire alternant avec une dirigent vers NW avec un plongement de plus de 4

Dans le village Ay-Wassil et au-dessus du village un grand développement de calcaires (entre 100 et du niveau de la mer) inclinés par places vers le SW dans la pente réapparaît en assise puissante le schi

nt aux ports qui se trouvent sur le passage. Tous les matins part diligence pour Sébastopol et Simféropol. Les meilleurs hôtels sont: hôtel de Russie, de France; ensuite l'hôtel Central, le Grand Hôtel et, on marché, l'hôtel de Crimée.

Les parties littorale et centrale de Yalta sont situées sur une se bande de terrain alluvial, réunissant les embouchures de deux ières, au nord la Yalta ou Bala, à l'ouest l'Outchan-sou; mais la e s'étend le long de la mer bien au-delà de ces limites et, du côté : montagnes, elle s'élève sur les pentes voisines, de préférence schis- ses. Ces pentes deviennent de plus en plus abruptes à mesure qu'elles approchent du bord rocheux du Yaïla. Le Yaïla a ici une altitude de 0 à 1400 mètres et se trouve à une distance de 6—7 verstes du d de la mer (en projection horizontale). Il borde le golfe de Yalta : interruption du N au S et, si l'on y joint le rameau Mégabi (0 m.) qui s'étend au SW, Yalta paraît comme enceinte, de 3 côtés, des hauteurs pittoresques.

Dans les environs de Yalta, de même que sur la route d'Alouchta, éboulements ont exercé une grande influence sur la topographie et structure du flanc littoral. Outre la bande du Yalamakh-Syr (près Massandra) qui s'abaisse vers le cap St-Jean, apparaît un grand ulement au NW. Cet éboulement atteint la ville près de la rivière chan-Sou et peut être désigné sous le nom d'éboulement d'Aoutka. près le nom du village Aoutka qui, depuis peu, fait partie de la ville.

base en consiste, comme ordinairement, en grands rochers écroulés calcaire qui deviennent de plus en plus petits à mesure que l'on oigne des masses premières et qui forment des collines et des ran- s de blocaux, entremêlés d'argile rouge, ça et là plus ou moins cal- ifères. Au SW de Yalta se trouve un éboulement non moins grand, mu sous le nom de Mégabi-Aï-Todor. D'abord cet éboulement a l'air n rameau du Yaïla, séparé de sa pente par une dépression schisteuse nviron 700 m. au-dessus du niveau de la mer et se dirigeant au SE. s le cap Aï-Todor. Le point culminant de Mégabi est à 810 m. d'alti- e. Les roches principales de ce rameau sont un schiste argileux, des et, à la cime, un calcaire; ce calcaire, en glissant sur la pente unée vers la mer, a formé un éboulement atteignant une largeur de verstes (d'Oréanda jusqu'à Miskhor). A ces roches appartiennent les ches calcaires du Gaspra, alternant avec des argiles grises marneu- et sableuses, et plongeant vers NW et N ainsi que les masses ro- euses d'Oréanda et les escarpements du cap Aï-Todor.

Deux chaussées conduisent de Yalta au Yaïla Aï-Pétri, l'une par un iste argileux au sud de la rivière Outchan-sou, l'autre, au nord, par pente argilo-calcaire de l'éboulement d'Aoutka. A quatre verstes envi- de la ville cette seconde route passe à droite de la rivière et, issant en zigzags le flanc boisé couvert d'argile à blocailles, de ments de calcaires et parfois de grès, et passant devant les belles es des anciennes fortifications d'Issar, elle se réunit à la première t hauteur de 320 m. A la cote 373 m. se trouvent une maisonnette

et un poteau portant l'inscription „Cascade“. De là un sentier conduit à la cascade de l'Outchan-sou, qui tombe d'un calcaire stratifié plongeant vers NW. La cascade n'est belle qu'au printemps et après de fortes pluies.

A 2¹, verstes environ de la cascade, à une hauteur d'à peu près 500 m. au-dessus du niveau de la mer, il y a des deux côtés de la chaussée un affleurement d'une roche éruptive. Dans le schiste gréseux apparaît un grand dyke, traversant la route sur un espace de 50 m. La surface est complètement désagrégée et changée en partie en fer hydroxydé. La roche est composée d'assez grands plagioclases porphyriques décomposés et de tablettes et aiguilles du même minéral dans la pâte. L'augite et l'olivine (?) sont entièrement changées en matière chloriteuse voisine de la serpentine (optiquement négative) à agrégats fibreux radiaux et à sphérocristaux. De plus on y trouve de la calcite et de la limonite. La roche fait partie des porphyrites augitiques (Olivin-Weisselbergit, Rosenbusch).

Cet affleurement étant le dernier sur notre chemin par la pente du sud, il sera à propos de dire quelques mots des affleurements à l'W de Yalta, flanc méridional de la chaîne de la Tauride. Les roches éruptives y forment le plus souvent des dykes considérables, mais il y a aussi des intrusions du type laccolithique comme par exemple près d'Aloupka et de Moukhalatka et en quelques points au bord de la mer. Derrière le cap Ai-Todor, au sud, non loin d'Aloupka, on voit des variétés des roches développées sur l'Aïou-dagh, notamment une diorite quartzifère augitique et des variétés porphyritiques; près du cap Kikénéiz, au bord de la mer—de la porphyrite; au-dessus de la station du même nom et vers Liména—des porphyrites claires et foncées; encore plus haut (jusqu'à 900 m.)—un filon de mélaphyre rougeâtre décomposée qui atteignant presque le niveau des calcaires, se termine dans les schistes, au passage Eskibogaz (Kikénéiz-bogaz). Entre Koutchouk-Koi et Moukhalatka le conglomérat est traversé de filons de porphyrite d'un vert

Plus loin à l'est, dans la partie nord du Mégabi, il y a un développement considérable de grès, couverts aux abords de la route d'éboulements argileux à blocailles. Autant qu'on peut le remarquer, un schiste argileux supporte sur toute la montée la couche plus ou moins épaisse de ces éboulis. Le même schiste forme la dépression (700 m. au-dessus du niveau de la mer) qui sépare le Mégabi du Yaïla. Sur la dépression la distance en ligne droite entre le calcaire du Mégabi et le calcaire du Pendikul, joint au Yaïla, est d'environ une verste. La chaussée contourne le Pendikul au sud et derrière la caserne de la chaussée elle s'approche du bord nord-oriental du rocher presque vertical (865 m. au-dessus du niveau de la mer), où l'on a arrangé une petite plate-forme entourée d'un parapet. De là on jouit d'une vue splendide sur les montagnes et la mer. On voit clairement que la partie supérieure escarpée de la pente consiste en un calcaire stratifié, jaune à l'extérieur, avec plongement vers NW, un peu plus fort que la direction locale du bord du Yaïla ne l'aurait exigé, si elle coïncidait avec la direction du calcaire; c'est la raison que les couches sont quelque peu inclinées vers le spectateur.

Derrière le Pendikul la pente devient de plus en plus raide et la chaussée fait de nombreux zigzags en détours très brusques. Les tranchées fraîches de la route permettent de voir que le calcaire stratifié de surface jaunâtre, à cassure d'un gris foncé et parfois brunâtre, est compact et qu'il alterne avec des argiles grises marno-schisteuses. Il est surtout digne d'attention qu'en montant du Pendikul au bord

du Yaïla, on voit à une distance de 2 verstes vers le SSW., au niveau de la route, les rochers blancs et nus de l'Al-Pétri, consistant en calcaire massif dit „marmoréen“ qui n'offre que des fissures (clivage) dans le sens de trois plans entrecroisés, sans aucune trace de stratification. Ce calcaire marmoréen que l'on observe dans la plupart des rochers saillant tant sur le flanc sud du Yaïla que sur son flanc nord. Il est généralement accepté par les excursionnistes en Crimée comme le représentant normal des étages supérieurs du système jurassique; il est cependant que le produit très récent de la désagrégation, de l'érosion et de la spathisation des dépôts jurassiques. Il recouvre comme un stuc les tranches des dépôts stratifiés et dans sa masse principale se consiste en brèche souvent cassée et souvent recimentée par de la chaux à l'instar d'un ancien travertin compact. Ce même phénomène s'observe en ses différentes phases sur beaucoup de points de la Crimée. Les dépôts jurassiques se voient aussi, peu altérés, à proximité de la chaussée au bord même du Yaïla (bien qu'à 100 mètres plus bas se rencontrent des rochers compacts isolés). Là, près du rocher Chichko (864 m. au-dessus du niveau de la mer), est mis à nu un calcaire de couleur jaune sale, à cassure de couleur foncée, alternant avec une argile fine marno-schisteuse. Ces dépôts, dans leur forme la moins altérée, paraissent à 15 verstes de là, vers le NE, dans le col Outch-koch, au-dessus du village Al-Wassil (localité d'accès difficile), notamment le calcaire faible, très argileux d'un gris sale, renfermant de menus

restes organiques (épines de cidérites, branches de coraux, articles crinoïdes) et formant des couches d'un à plusieurs décimètres alternant avec des argiles grises marno-schisteuses. L'érosion des argiles aux escarpements, le brisement et la récimentation du calcaire nous montrent point la possibilité de la présence dans la roche de restes organiques, peu visibles, il est vrai, et difficilement retirables.

A partir du rocher Chichko où se trouve une caserne dite „case de la chaussée d'Al-Pétri“, la route coupe transversalement, dans la direction NW, le plateau du Yaïla, laissant à gauche le sommet Bédéné-khyr (1318 m.) et, trois verstes plus loin, descend en nombreux zigzags du côté droit du long ravin Kourou-ouzen. En quittant le plateau du Yaïla il ne nous sera pas inutile de faire remarquer qu'il y trouve en plusieurs endroits des fragments d'énormes stalactites (d'un mètre de diamètre et même davantage) gardant souvent leur position verticale; ça et là on remarque même la base des grottes mêmes, preuve évidente de la puissante érosion des roches calcaires qui couronnaient autrefois le Yaïla actuel.

En descendant par le rocher Kourou-ouzen, on voit partout, dans les talus coupés récemment de la route, un calcaire jaunâtre (intérieurement gris) alternant avec une argile schisteuse grise et plongeant NW 20—30°. On voit aussi, mais rarement et surtout dans la moitié inférieure de la pente, d'énormes rochers compacts (éboulis et anciennes brèches recimentés par du tuf, ultérieurement spathisés). Ainsi, à la moitié de la descente, à une hauteur d'environ 850 m. au-dessus du niveau de la mer, on trouve dans le calcaire gris de nombreuses épines de cidérites, des coraux, *Ostrea*, *Terebratula* etc.

Quatre verstes plus loin (600 m.) se trouve une source entourée d'une margelle et tout à côté un banc pour s'y reposer. Ici il vaut la peine de s'arrêter pour contempler la belle vue qui s'étend sur la vallée de la petite rivière Kokkoz et, plus loin, sur le Belbek. À gauche, séparé de la chaîne principale par la petite rivière Tchaan-lai

gauche de la petite rivière Kokkoz. A une demi-verste en deçà du village Kokkoz apparaît au jour, dans la berge gauche de la route, des grès gris jaunâtre finement grenu alternant avec une marne argileuse. Ce grès occupe une vaste étendue relativement basse (250—300 m. au-dessus du niveau de la mer). C'est surtout à droite, vers le mont Biouk, qu'il s'étend presque sans interruption en amont de la rivière Belbek, au-delà du village Stilion, en s'élevant sur la pente septentrionale du mont Biouk à plus de 600 mètres, et sur la pente sud des hauteurs d'Aïrgoul à 400 mètres au-dessus du niveau de la mer.

Le village Kokkoz est situé à 42 verstes de Yalta et à 32 de Bakhtchissaraï. On y trouve une hôtellerie tartare pouvant offrir trois chambres.

Maintenant que nous avons terminé la traversée de la principale chaîne des montagnes de la Crimée (le Yaïla) et de la principale zone des dépôts jurassiques, il nous semble à propos de faire remarquer que les nombreuses sources arrosant les pentes, tant la orientale que l'occidentale, jaillissent pour ainsi dire presque exclusivement à la limite inférieure des roches reposant sur le schiste argileux (calcaires, grès, conglomérats), surtout quand ces roches ne sont pas originaires, mais brisées en blocs et fragments. Dans les mêmes conditions d'abondantes sources jaillissent également des roches cristallines. Même le schiste argileux désagrégé peut alimenter des sources, et en ce cas les eaux sont toujours peu abondantes et, en général, non potables.

A une verste environ au nord de Kokkoz et à une demi-verste à l'est de la chaussée, se trouve une petite colline de 30 mètres de hauteur surmontant un affleurement d'une roche cristalline porphyrique, entourée d'une ceinture de schiste argileux. De là au SW, à proximité de la chaussée, il y a un autre affleurement semblable.

Les masses éruptives ne s'y présentent pas en dykes, mais en intrusions évidemment mises à nu par l'action érosive de la rivière Kokkoz. La masse arrondie, à droite de la rivière, consiste en une roche d'un vert foncé, d'apparence fraîche, enfermant d'assez gros cristaux porphyriques de feldspath et en une pâte également d'un vert foncé. Plus la roche est décomposée, plus on y aperçoit distinctement les plagioclases blancs; ils appartiennent à l'oligoclase. Les augites sont entièrement changées en chlorite fibreuse. La pâte (du second temps de consolidation) est formée de plagioclase, d'une petite quantité de magnétite et d'augite chloritisé, quelquefois accompagnés de carbonates, produits de la décomposition, et plus rarement d'épidote. Dans la roche plus décomposée à gauche de la chaussée, au-delà Kokkoz, on rencontre parfois du quartz. Les deux espèces de roches se rapportent aux porphyrites du magne dioritique. C'est le dernier affleurement de roche éruptive que l'on trouve par la route de Yalta à Bakhtchissaraï. Sa hauteur absolue est de 250 mètres. En aval de la rivière Belbek on ne rencontre plus d'affleurement, mais à son cours supérieur (la rivière Kokkoz tombe dans la Belbek), près des villages Koutchouk et Biouk-

Ouzenbach, à l'est du mont Biouka, les schistes sont traversés en altitude de 430 m. par une porphyrite (Weisselbergittypus) qui se présente en dyke et qui ressemble à la porphyrite mentionnée par nous que l'on trouve près Outchan-Sou, du magne mélaphyrogabbriens chimiques. Quant à l'extension et au caractère des roches du flanc nord dans les vallées des rivières Bodrak, Alma, et en d'autres points, nous en avons parlé dans le guide à travers Kara-Dagh. (Append. analyses 4, 20, 21 et 22).

À 4 verstes de la Kokkoz la route traverse la rivière qu'elle suit à droite. La vallée fluviale a ici une largeur d'une verste et est couverte d'une récente alluvion d'argile caillouteuse posée en terrasses. Dans les ravins du lit de la rivière on voit l'alluvion la tête d'un schiste argileux de couleur foncée plongeant de 40—50^m vers le S. Au-delà du village Kourtler, à la 7-me verste de Kokkoz, à droite de la route, affleure, au pied des hauteurs d'ici le grès à grain fin que nous avons signalé comme se trouvant sur le Kokkoz; plus haut dans la pente, à l'est comme à l'ouest de la route, on voit des marnes vertes en bas, rouges (grossièrement crues) en haut, qui s'éboulent facilement, et des conglomérats d'une épaisseur de plus de 150 mètres. En dessus viennent au 100 mètres d'un calcaire dur, marmoréen, avec galets qui sont des rochers gris au-dessus des villages Kokkoulouz, Yanjou et Kar. Le calcaire est recouvert d'un grès jaune rougeâtre à grain inégal, galets intimement liés à des argiles et à un calcaire jaunâtre du crétacé inférieur (à *Belonnites latus*, *Ammonites Astierianus*, *Ostrea Couloni*, *Ancylloceras Duralii*, *Crioceras* sp.). Le calcaire sous-jacent est fortement spathisé et aussi pauvre en fossiles que le calcaire marmoréen de la chaîne principale. Comme il est directement recouvert de l'étage néocomien et qu'il repose sur le conglomérat des marnes stratifiées qui s'élèvent à une hauteur considérable de la chaîne principale (Ouzenbach, Pamboukkaïa etc.), il se rap-

Cette marne faible, légèrement bleuâtre, alternant avec des roches dures et plus calcarifères, forme des éboulements blancs presque pourvus de végétation. Elle contient du silex. Plus haut la marne passe en un calcaire crayeux qui constitue de beaux rochers d'un blanc unâtre au-dessus des villages Albat et Koutchouk-Suiren. L'ensemble des assises de marne et de calcaire est d'une puissance d'environ 400 mètres, le calcaire en occupant $\frac{1}{3}$ et même jusqu'à $\frac{1}{4}$. On rencontre dans le calcaire *Belemnitella mucronata*, *Crania*, *Inoceramus Crispai*, *Terebra vesicularis*, avec coraux et bryozoaires. La partie supérieure du calcaire crétacé forme la crête et les points les plus élevés de la seconde chaîne de montagnes atteignant de 550 à 600 m. au-dessus du niveau de la mer. La crête crétacée s'étend presque sans interruption d'Inkerman à l'ouest, jusqu'au mont Aguermych, près de Stary-Sym, à l'est. Presque partout en Crimée les escarpements crétacés sont percés de nombreuses cryptes (cavernes artificielles), anciennes habitations d'après l'opinion générale, catacombes d'après quelques géologues. Dans la gorge de la rivière Belbek on n'en voit que peu seulement dans la paroi sud. A gauche de la rivière se trouve le petit village Tach-basty, dominé par un rocher élevé où se dresse une vieille tour qui faisait partie des fortifications construites par Justinien pour défendre l'accès de la Crimée montagneuse du côté nord.

A l'extrémité nord-occidentale de la gorge est situé le village Koutchouk-Suiren. Près de là la limite supérieure du calcaire crétacé s'abaisse jusqu'au niveau de la rivière (115—120 m. au-dessus du niveau de la mer). La craie y supporte une marne argileuse nummulitique grise formant une cavité à l'est de Biouk-Suiren et passant plus haut à un calcaire nummulitique. En dehors de quelques espèces de nummulites on y trouve *Orbitolites Fartisii* d'Arch., *Spondylus striatus*, *Ostrea gantea*, *Turitella imbricataria* *Voluta*, *Mitra*. Du côté droit de la rivière Belbek l'étage nummulitique est fortement érodé, mais aux lignes du litage des eaux il atteint souvent une puissance de 80 à 100 mètres. Le bord du calcaire nummulitique s'éloigne ordinairement de la crête crétacée vers le NW à une distance de 2—3 verstes et, rarement, de quelques centaines de mètres; il y a cependant des endroits où sa limite coïncide avec la limite de la craie, par exemple dans la gorge Alma; encore plus loin à l'est, près de Simféropol, l'étage nummulitique refoule pour ainsi dire les assises crétacées supérieure et moyenne, en reposant immédiatement sur le conglomérat néocomien.

A une verste environ au-delà de Biouk-Suiren la chaussée quitte sa direction nord-occidentale pour tourner vers le nord en s'éloignant de la rivière Belbek vers le côté droit et en gravissant la pente occidentale peu inclinée du calcaire nummulitique. Cette pente se recouvre insensiblement d'une couche de plus en plus épaisse de marne blanche souvent très argileuse de l'étage méditerranéen à *Spaniodon Barbotii*. La marne constitue une large vallée longitudinale (à 100 m. environ au-dessus du niveau de la mer) séparant la seconde chaîne de montagnes de la troisième qui s'élève ici jusqu'à 300 m. au-dessus de la mer.

sur le rocher, une vieille église, attachée au monastère Ouspensky (l'Assomption). En face de cette église, sur un rocher inaccessible avant à plus de 100 mètres au-dessus de la vallée et à 400 mètres environ au-dessus du niveau de la mer, se trouvent les ruines originales de l'ancienne forteresse. De nombreuses cryptes s'aperçoivent partout dans les pentes. Le rocher est un calcaire crétacé plongeant ici presque vers l'ouest et remplacé dans la ville par un calcaire nummulitique.

En partant de Bakhtchissaraï, par Karalèze et Choulou, pour Sétopol, il faut d'abord rebrousser chemin vers le faubourg Azis et la rivière Katcha jusqu'à Biouk-Suiren et, à la 3-me verste de la ville, tourner à droite en traversant la rivière Belbek près du village Katcha. De là la route va pendant 8 verstes dans la direction du sud s'élevant doucement sur le calcaire crétacé. À gauche, sur le flanc crétacé, s'élèvent des collines nummulitiques et des rochers échappés à l'érosion, d'abord le Trapan-tépé (260 m.), à deux verstes de là le Koun-tarla (environ 300 m.): à droite du chemin les rochers nummulitiques s'étendent sans interruption jusqu'au delà du hameau Katchy (Grand-Karalèze et plus loin Karalèze-Supérieur) atteignant en cet endroit jusqu'à 350 mètres de hauteur. Ici le bord de l'étage nummulitique tourne vers l'ouest et l'étroite gorge se termine des deux côtés par des roches de calcaire crétacé. Devant les yeux apparaît le village Mangoup-Kalé (ou simplement Mangoup) entouré de tous côtés de profonds ravins et formant comme une île rocheuse. À l'ouest, le NW de sa base, à la 20-me verste de Bakhtchissaraï, se trouve une source, entourée d'une margelle, dite „fontaine“, près de laquelle le chemin dévie vers le village Khodja-sala. Un sentier raide conduit du village au Mangoup, mais l'ascension en est très difficile. Le meilleur chemin à prendre est à l'ouest, par l'ancienne avenue de la forteresse, mais il n'est également praticable qu'à pied ou à cheval.

Le plateau supérieur du Mangoup occupe à peu près une demi-carrée; son point culminant est à 580 m. au-dessus du niveau de la mer et à environ 280 m. au-dessus de la vallée qui y est construite du côté du sud. Au-dessus du bord rocheux de ce plateau, à 60 mètres plus bas que le point culminant, sort une source contenant de bonne eau, à la température, en juillet, de + 9,7° C., fournissant journalièrement 1200 seaux (14400 litres). Dans la pente escarpée latérale du Mangoup il y a beaucoup de cryptes dont quelques-unes renferment des ossements humains. Dans les décombres de la surface du plateau les pluies mettent souvent à jour d'anciennes monnaies. L'origine et l'histoire de la forteresse du Mangoup sont restées très obscures, quoique cette montagne ait joué un grand rôle dans les sort de la Crimée. Lors de l'invasion tartare c'est là seulement que les Russes se maintinrent assez longtemps. À l'extrémité orientale du Mangoup se sont conservées jusqu'à nos jours les ruines du castel et les restes de la forteresse. Aujourd'hui le Mangoup est inhabité. Les derniers habitants (karaïmes-nomades) vus par Pallas, ont émigré en 1800.

côté droit de la vallée à la base d'une marne crétacée que la pente gauche, couverte d'un taillis, se distingue par la couleur rouge jaunâtre des grès néocomiens. Derrière le village apparaît aussi sur le côté droit de la vallée, à proximité de la base, sous le néocomien, un calcaire grès dur, analogue à celui que nous avons vu sous le néocomien à Kokkoulouz. Yanjé, comme nous l'avons dit plus haut, doit être attribué à ce calcaire qui offre ici les traces d'un fort dérangement: des couches de la masse principale, se montrent inclinées dans diverses directions; ils ont tous un aspect lavé et poli et sont constitués par des grès néocomiens superposés qui passent souvent à un calcaire gris. À droite de la route, sur le calcaire gris, s'élève à une dizaine de mètres un rocher original, brèche cimentée par les débris de couches et bordant par couches une caverne triangulaire. La polissage du calcaire est surtout frappante au sud de la route principale sur un espace de plusieurs verstes carrées qui se trouve entre les villages Koutchki, Oupou, Alsou; il fait l'impression d'un marbre qui avait été lavé longtemps par les ondes ou frotté. Parfois le grès néocomien se montre intimement cimenté avec le calcaire. Ces traits mentionnés pourraient au premier abord paraître le résultat du glissement de lourdes masses du grès néocomien habituellement aquifère, sous la pression d'en haut d'une craie non encore érodée. Que la craie ait pris ces formes, cela résulte du glissement des collines considérables des environs des villages Koutchki et Tchorgoun (du côté du gisement des couches) au-dessous du néocomien et même du calcaire poli qui le supporte. Les énormes dislocations dans cette région semblent être en rapport avec la gorge sauvage de la rivière Tchornaja en aval de Bionk-Mouskomia et Tchorgoun. Les relations anormales

De Flawous la route se continue sur 4 verstes vers le SW par la rne crétacée, jusqu'au village Werkhni-Tchorgoun (Nijni-Tchorgoun situé à une verste de là vers le sud-est); au-delà du village elle t un brusque coude à droite, à travers une faible dépression (46 tres au-dessus du niveau de la mer) où affleurent des couches sauses néocomiennes brunes ou grises. Le néocomien s'appuie, ici asi, à un rocher de calcaire gris (invisible du chemin), au sud duquel coule la petite rivière Tchornala. Ce calcaire, caché sous des oulis rouges, forme la pente abrupte boisée du mont Dermen-bafr (environ 200 m.) sur le sommet duquel se trouve le monument italien. La dépression de Tchorgoun s'ouvre vers le NW une vaste vue sur cours inférieur de la Tchornala, appelé Vallée d'Inkerman, connue la bataille sanglante du mois d'octobre 1854. A gauche s'abaisse la vaste pente, bornée au sud-ouest par une arête peu élevée que verse la route de Yalta; au sud-est cette pente s'adosse au Dermen-r, au nord-ouest au Sapoun-gora. La partie inférieure seule est upée par de basses collines de marne crétacée, appelées Hauteurs Fédioukhine. Le reste de l'espace est occupé, sous la couverture du de la surface, par un grès néocomien calcarifère qui n'a pas ici couleur habituelle jaune rougeâtre. Dans la partie supérieure de pente, à 60—100 m. au-dessus du niveau de la mer, apparaissent plusieurs points les roches cristallines, surtout du granite. Les surements des roches cristallines ont peu d'étendue et ne se présentent que sous forme de petits fragments, rarement de blocs.

A l'est de la colline néocomienne traversée par la route (120 m.), ne distance d'environ $\frac{1}{4}$ de verste, on voit dans une des tranchées l'ancien camp sardinien le contact de la roche éruptive avec les glomérats (jurassiques) et le grès. La position de ces roches au- us du conglomérat et au-dessous du néocomien indique qu'elles du même âge que toutes les autres roches éruptives développées Crimée. Les nombreuses variétés des roches qu'on trouve en cet roît appartiennent par le type chimique de leur magne à une même e granito-dioritique (anal. 5 et 6). Presque tout l'espace étant cou- de buissons, il est assez difficile de remarquer les divers affleure- ts, même dans les tranchées. A la 13-me verste, au nord de la ussée, apparaissent au jour de véritables granitites à biotite (granites Michel Lévy) à gros grain, d'un gris clair et rougeâtre, com- és d'orthose perthitique régulièrement réuni au quartz granitique smatite graphique), d'une petite quantité de plagioclase et de bio- brune. Outre la granitite qui apparaît en quantité relativement reinte, on y trouve du granite à amphibole, du porphyre granitique (rogranulite), du granite à augite, de la diorite quartzifère à mica pyroxène, toutes ces roches étant riches en quartz. La microstruc- ne révèle aucun indice de dynamo-métamorphisme.—Plus loin, à la 14-me et la 15-me verste, on rencontre des roches nettement porphy- es, notamment du porphyre quartzifère à dihexaèdres de quartz ondis et corrodés typiques, à mica ou augite, à orthose et parfois

mêlés d'une petite quantité de quartz. Ces sphères ont souvent une structure granophyrique (micropégmatite M. L.) et passent enfin à un mélange panidiomorphe de quartz (poikilitic. Williams). Ces formes de stries sont les moments du passage. — De là vers le nord, à la rivière Tchornaïa, il y a affleurement, entre les hauteurs de Fédioukhine, de diorites quartzifères accompagnées d'une faible quantité de biotite et de mica décrite, composée de quartz et d'orthose (Kastel-Aï).

À l'ouest, dans le Sapoun-gora, le grès néocène du miocène, mais à l'extrémité nord de cette montagne kerman, un calcaire nummulitique, crétacé traversant du-dessous le miocène.

À partir de la dépression de Tchorgoun on a une interruption, à droite de la rivière Tchornaïa, la vallée s'abaissant doucement vers Inkerman. Le néocomien de la dépression, apparaît encore çà et là dans la direction de l'Inkerman, pour se cacher enfin sous les éboulis. Le niveau du néocomien à droite et à gauche de la rivière est à peu près le même 50 mètres. La faille à laquelle nous avons attribué les marais de la vallée d'Inkerman: le côté gauche bute ici contre des coupes d'autres calcaires méables. Ce n'est que dans ces dix dernières années la graduelle des dépôts d'alluvion, amenés dans la vallée par la pluie, a fait reculer le marais plus près de l'embouchure. À la même faille empêchant l'eau de s'écouler dans la vallée a été attribué le résultat favorable de la recherche de l'eau pour les besoins de Sébastopol, entreprise en 1896 par l'ingénieur.

Près d'Inkerman la faille semble disparaître (peut-être en coin); du moins n'y voit-on plus de désaccords.

- 60 m. au-dessus de la mer). S'abaissant vers le NW, le calcaire nummulitique va disparaître sous le niveau de la mer derrière l'embouchure de la Tchornaïa, quelque peu à l'ouest du Nijni-Malak (baie inférieure) où il forme la base de la pente. Le calcaire supporte environ 55 mètres de marne blanche (de l'étage méditerranéen), très susceptible de s'ébouler, supportant à son tour jusqu'à 30 mètres de calcaire sarmatique. A gauche de la Grande-baie (rade) le calcaire nummulitique, plongeant à 6—7° vers N 30° W, disparaît sous le niveau de la mer près du ravin Troïtskaïa, point, appelé Khoutor № 42 par les militaires. Ceci étant en désaccord avec la ligne d'orientation, il faut supposer une cassure des couches et une faille se dirigeant parallèlement à la Grande-baie avec un affaissement de la lèvre nord d'au moins 60—70 mètres. Il mérite d'être mentionné qu'ici le déplacement inverse à celui du néocomien sur la rivière Tchornaïa près des sources Fédioukhine.

Le bord nord de la Grande-baie qui présente de meilleurs affleurements que celui du sud, est découpé par une série de petits golfes (bouchés des ravins) correspondant à des groupes de couches friables, facilement attaquables par l'eau. Le premier de ces petits golfes à l'ouest du phare s'appelle Soukharnaïa; ensuite vient Golandia, et à l'extrémité, Séwernaïa.

Dans le ravin Soukharnaïa et plus loin, vers la petite baie de Golandia, au bas de l'escarpement littoral, on voit à découvert une marne de l'étage méditerranéen avec plongement d'environ 4° vers le NW. On y trouve *Spaniodon Barbotii*, *Pentacrinus Inkermanensis* et autres espèces de poissons. Un horizon de la partie supérieure de la marne est formé en individus des espèces *Helix*, *Planorbis*, *Cyclostoma*.

A mesure que l'on s'éloigne vers l'ouest, l'angle du plongement augmente, bien que d'une manière inégale. Entre les golfes Golandia et Séwernaïa domine le calcaire sarmatique contenant souvent du sable et des cailloux et interstratifié d'argiles également plus ou moins argileuses. On y trouve en profusion: *Mactra podolica*, *Tapes grevillei*, *Erivillia podolica*, *Cardium obsoletum*, *Cardium plicatum*, *Cardium podolicus* etc. Encore plus loin vers l'est, depuis le golfe Séwernaïa jusqu'au rempart Konstantinovsky, il y a prédominance d'argiles, à la surface rouges, marneuses, renfermant des concrétions calcaires, dans les profondeurs souvent grises et gypsifères. A l'est de Golandia la plupart des puits fournissent une eau salée.

(Les dépôts pliocènes caractéristiques à *Dreissenia* ne peuvent être observés qu'à 10 verstes de là, vers le nord, sur la falaise entre les plaines de la Belbek et de la Katcha).

Sébastopol (44° 37' larg. nord, 3° 10' long. est, méridien de Poulou), port militaire et commercial et résidence d'un préfet, est situé sur les mêmes couches sarmatiques faiblement inclinées vers NW qui sont à découvert au bord nord de la Grande-baie (rade). Les principaux hôtels sont: l'Hôtel de Kist, le Grand-Hôtel, l'Hôtel Wetzel; l'Hôtel du Nord et l'hôtel Belle-vue sont à meilleur

escarpement littoral qui laisse voir sous l'assise les roches éruptives les plus récentes et diversement route menant au monastère de St. Georges se tra français et anglais.

Les affleurements près du monastère de St. à 5 verstes vers le NW du cap Phiolente au niveau peu à peu et s'étendant le long de l'escarpement li Karanskala à l'est du cap, ils atteignent une alt mètres. Les roches forment de grands et puissants ticaux, perpendiculaires au contours du rivage (fi

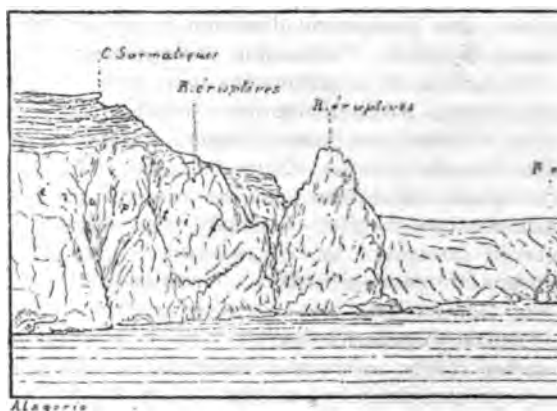


Fig. 2. Le cap Phiolente.

des pierres des mêmes roches émergent dans la m



Fig. 3. Grand dyke éruptif à l'ouest du cap Phiolente.

18) Kératophyre. Monastère de St-Georges.
 brunâtre.

19) Kératophyre. Monastère de St-Georges. I

20) Mélaphyre (Navittypus) de Kobosa sur la

21) Mélaphyre. Rivière Bodrak.

22) Mélaphyre près de Karagatch, entre les
 Alma.

Mélaphyre près de Kektébél (voir l'itinéraire
 Kara-Dagh).

XXXIV

KURZE UEBERSICHT

der Geologie der Umgebung

von

S T. P E T E R S B U R G,

mit Karte

VON

F. S C H M I D T.

In der Umgebung von St. Petersburg haben wir im Wesentlichen zwei Gebiete zu unterscheiden, das silurisch-cámbrische Gebiet im Süden der Stadt, das durch eine deutliche Terrasse, die Fortsetzung des skandinavischen Glints, im Norden begrenzt wird und das Gebiet der Quartär-Bildungen zu beiden Seiten des Newathals und am Ost-Ende des finnischen Meerbusens, in welchem die mächtigen glacialen Bildungen des Blocklehms, die späteren Uferwälle und die Absätze des Newathals allein zur Geltung kommen. Die alten Grundmoränen bedecken allerdings auch das silurische Gebiet, aber nirgends in solcher Mächtigkeit, dass man nicht das silurische Terrain darunter erkennen könnte, während das Quartärgebiet im N auf allen Karten als solches bezeichnet wird, da die tiefer liegenden cambrischen Bildungen nirgends zum Vorschein kommen und nur durch tiefe Bohrlöcher aufgeschlossen werden konnten. Ausser Quartärlagern und der silurisch-cámbrischen Terrasse tritt über letzterer schon in geringer Entfernung von St. Petersburg nach Süden ungleichförmig die Silurbildungen bedeckend die grosse devonische Transgression zur Erscheinung, die den ganzen südlichen Theil der Gouvernements St. Petersburg einnimmt und westlich nach Livland, östlich zum Onega-See hin sich ausbreitet.

Litteratur.

A. Palaeozoische Bildungen

1818. Strangways Geological sketch of the environs of St. Petersburg in Transactions of the Geological Society Vol. 5. Russisch in Труды минералогического общества 1830.
1825. Eichwald, geognostico-zoologicae per Ingriam etc. observationes.
1830. Pander, Beiträge zur Geognosie des Russischen Reichs.
1844. Graf Keyserling, Notiz über den alten rothen Sandstein an der Ischora. Verh. der mineral. Gesellsch. 1844. pag. 25—30.
1845. Murchison, Verneuil and Count Keyserling, The geology of Russia in Europe and the Ural mountains.
1852. Куторга, геогностическая карта. С.-Петербургской губернии (Kutorga, Geognostische Karte des Gouvern. St. Petersburg).
1868. И. Бокъ, Геогностическое описаніе нижнесилурийской и девонской системы С.-Петербургской губернии. Материалы для геологии Россіи (J. Bock, geognostische Beschreibung des untersilurischen und devonischen Systems im Gouv. St. Petersburg, mit Karte).
1881. Кудрявцевъ и Лебедевъ, геологическое описаніе окрестностей Краснаго и Царскаго села, въ Труды С.-Петербургскаго общества естествоиспытателей. Т. 12 (Kudriawzew und Lebedew, geologische Beschreibung der Umgebung von Krasnoe und Zarskoe Sselo).
1881. F. Schmidt, Revision der Ostbáltischen Silurischen Trilobiten. Lief. I (Phacopidae, Chiruridae, Encrinuridae). In der Einleitung ist eine vollständige Uebersicht der ostbáltischen Silurischen Trilobiten gegeben.

eologischen Abtheilung der St. Petersburger Naturforschergesellschaft u. a.

Die Palaeozoischen Bildungen.

Das silurisch-cambrische Gebiet zeigt genau die nämlichen Unterabtheilungen wie ich sie in meinem Führer durch Estland (XII des Führers) angegeben habe, sie reichen aber nicht über den silurischen Echinospaeritenkalk (C_1) hinaus. Wir haben also hier eine ganze cambrische Reihenfolge, den blauen Thon mit dem ihm unterlagernden Sandstein, den Vertreter des schwedischen Fucoidensandsteins, den eigentlichen Solen- oder Ungulitensandstein und den Dictyonemaschiefer. Das silurische System beginnt mit dem Grünsand (B_1), dann folgt der Glau-nitkalk (B_2), die untere Linsenschicht (B_{3a}), der eigentliche Orthoren- oder Vaginatenkalk (B_3) und endlich der Echinospaeritenkalk (B_4). Die höheren Stufen sind in der näheren Umgebung St. Petersburgs nicht entwickelt. Nur südlich von Gostilizy treffen wir auf den Vertreter des estländischen Brandschiefers (C_2), während westlich von Litschina an der baltischen Bahn überall schon die Kegelsche Schicht (D_2) ansteht. Die tiefste zu Tage tretende cambrische Stufe ist der blaue Thon, der überall in den Flusstälern am Fuss der Terrasse zu Tage tritt. Er ist für gewöhnlich undeutlich geschichtet, zerfällt in kleinen in parallelelepipedische Stücke und enthält an zahlreichen Stellen die noch räthselhaften Platysoleniten, kurze gegliederte Stöhrchen, die wahrscheinlich mit Cystideen zusammenhängen. In einer tieferen Stufe desselben hat Pander einen deutlicher geschichteten ättrigen Thon nachgewiesen, den er als phytamorphischen Thon bezeichnet, da die einzelnen Lagen auf ihrer Oberfläche blattartige recht deutlich begrenzte Gebilde zeigen, die Eichwald als *Lamina-tes antiquissimus* beschrieben hat. Dr. V. Rohon, der die Umgebung St. Petersburgs seinerzeit eifrig durchforscht hat, fand diesen Thon auch in Bohrungen, die am Fuss der Terrasse angelegt waren. In der Stadt St. Petersburg ist man bei Anlage artesischer Brunnen erst nach einigen 80 Fuss auf den blauen Thon gekommen. Vorher traf man mächtige Schichten Blocklehm und oben darüber neuere Flusssablagerungen. Von Bohrlöchern in der Stadt sind hauptsächlich zwei bekannt geworden, das vom Akademiker G. v. Helmersen 1865 beschriebene Bohrloch im Hof der Anstalt zur Herstellung der Staats-papiere, in welchem man in einer Tiefe von 657 Fuss nach Durchbohrung eines groben Sandsteins auf Granit stiess und das neuere Bohrloch auf dem Terrain der Kalinkin-Brauerei, bei dessen Anlage man nicht nur wiederum auf den Granit stiess, sondern auch ein cylindrisches Stück desselben, etwa 10 Fuss lang und 3 Zoll dick zu Tage gefördert wurde, das gegenwärtig im geologischen Museum der St. Petersburger Universität aufbewahrt wird. Der Granit entspricht nach Aussage der finnischen Geologen etwa den Formen desselben im östli-

lich von St. Petersburg selbst treffen wir die auf d
genden blauen Thon auflagernden Schichten fast
thälern, wie an der Popowka, der Koschelewka, H
Pulkowka, und auch hier vielfach verworfen und g
sonderen Hügeln wie den sogenannten Duderhofscl
presst, wo wir eine weit über die übrige Gege
Schichtenaufreibung constatiren können, die wie
Faltungen wahrscheinlich auf eine gleitende Bev
lockeren Kalk-, Lehm-, Schiefer- und Sandschicht
schen unteren Thon zur Zeit des Vordringens des
deises zurückzuführen ist. An den aufgetriebenen F
hof lassen sich alle Schichten bis zum Echinosp
verfolgen, doch ist die Ausbeute nicht gross, da d
ren Schichten meist dolomitisch ist und nur wenige
sungen vorhanden sind; nur beim Dorfe Kawelacht
Sselo hat man eine vollständige Reihenfolge vom
hier hat Volborth die *Volborthella tenuis* erhalte
liten sand und den Dictyonemaschiefer bis zum G
obengenannten Flussthäler der Pulkowka, der Popo
bei Koschelewo und Hummalassari zeigen die ganz
Thon bis zum Echinospaeritenkalk hinauf. Das lo
vielen Spalten durchsetzt, wird bei jedem Hochwas
der eifrige Sammler erhält reiche Ausbeute. Seit 7
Pander seine Studien in der Umgegend St. Peter
die Dorfkinden in der Nähe der silurischen Flusstl
unterrichtete, hat sich eine ganze Reihe von Fors
bern mit Hülfe der genannten Dorfkinden in den F
Sammlungen gesetzt, die noch jetzt unsere Museen
Pander, der von 1820 angefangen in dem ganzen G
Innen veranstaltete, die ihm das Material zu den

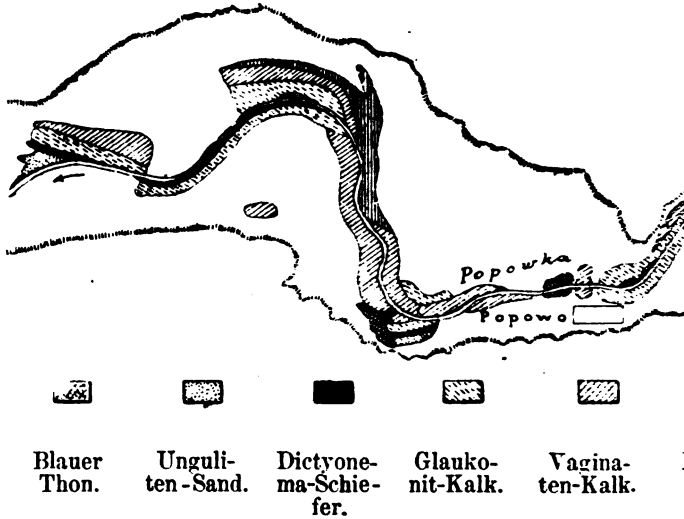
lem aber Dr. A. v. Volborth, der 40 Jahre lang jeden Sommer in Pawlowsk zubrachte und dem das schönste Material von allen Seiten zutragen wurde, besonders von der Popowka, von Katlino und Humalasaari. Die bekannten wichtigen Arbeiten Volborth's über Cysdeen und Triboliten gründen sich alle auf die in Pawlowsk angelegten Sammlungen, die jetzt der Kaiserlichen Akademie der Wissenschaften gehören. Weiter Prof. S. Kutorga, der ebenfalls an der Popowka und Popowka und ausserdem namentlich in der Umgebung von Gatschina gesammelt hat. Seine Sammlungen befinden sich jetzt theilweise im geologischen Museum der St. Petersburger Universität. In der weiteren Umgebung St. Petersburgs sammelte besonders der Stifter der mineralogischen Gesellschaft, Herr Lawrow in Gatschina, wo ihm die tiefern Schichten des Echinospaeritenkalks das Material zu seinen schönen Arbeiten über neue silurische Trilobiten lieferten. Wo die Sammlung Lawrow's geblieben, ist zur Zeit unbekannt. In letzter Zeit ist namentlich Hr. General S. Plautin zu nennen, der im Anfang der 80-er Jahre zwei Sommer in Gostiliza zubrachte und aus den dortigen Kalken, sowohl dem Glauconit- als dem Orthocerenkalk, als namentlich aus dem unteren Echinospaeritenkalk eine ganz ungewöhnlich reiche Sammlung zusammengebracht hat, die für meine Revision der ostbaltischen silurischen Trilobiten von ganz unschätzbarem Werthe gewesen ist. Auch später hat er in der Gegend von Pawlowsk fleissig gesammelt und noch im vorigen Jahre sind wir zusammen am Wolchow gewesen, von wo ich manches werthvolle Stück durch ihn erhalten habe. Der neueste eifrige Sammler und Liebhaber, der ebenfalls namentlich die noch immer unerhöpfliche Umgebung von Pawlowsk und Zarskoje Sselo ausbeutet, ist Hr. Oberst P. S. Schewyrew, von dem noch mancher wichtige Beitrag zu Paläontologie der Umgebung St. Petersburgs zu erwarten ist.

Gehen wir etwas genauer die Hauptlocalitäten durch, wobei ich mich ausser an eigene Beobachtungen vorzüglich an die zwar kurzen aber genauen und übersichtlichen Angaben von Bock halte. Ausserdem benutzte ich die oben angeführte Arbeit von Lebedew und Andrjawzew.

Am häufigsten wird in der Umgebung von St. Petersburg das Thal der Popowka bei Pawlowsk, zwischen den Dörfern Päselewo und Popowa besucht (S. Fig. 1 und 2), wegen der interessanten Unregelmässigkeiten in der Schichtenfolge und der von Pander und Volborth nachgewiesenen so schwierig zu erkennenden Auflagerung von devonischen Mergeln auf silurischen Orthocerenkalk. Die beifolgende Kartenskizze mit Erläuterung soll zur Verdeutlichung der mitgetheilten Beobachtungen dienen. Man beginnt gewöhnlich von der Brücke bei Päselewo, wo, weiter unterhalb, nur der cambrische blaue Thon ansteht, bedeckt von neueren Flussgeröllen. Etwas oberhalb wird der blaue Thon am linken Ufer von Ungulitensandstein und Dictyonemaschiefer überlagert. Dann kommt die hohe Wand am rechten Ufer, wo unten der

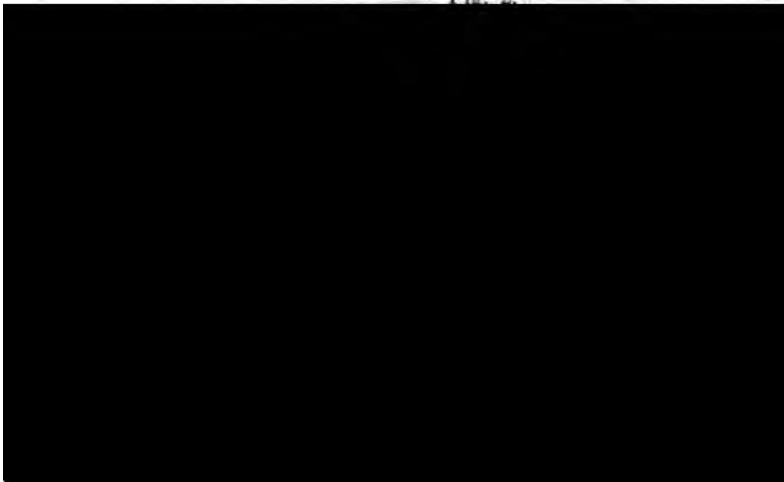
petrefactenleere (Fucoiden—?) Sandstein und darüber der Ungulitensandstein und der Dictyonemaschiefer zu erkennen ist hinauf lässt sich an einigen aus dem Geröll hervorragenden Einsenkungen der Glauconitsand, der Glauconitkalk und der Orthoceras

Fig. 1.



erkennen. Besonderes Interesse bietet die nächste hohe Wand rechten Ufer, an deren Ende man in einer schmalen Schlucht Glauconitkalk (der hier Brachiopoden wie *Orthis parva*, ob *Orthisina plana* und ausserdem nicht selten *Asaphus ex-*

Fig. 2.



schwitz F. Schmidt und dabei Thoneisenlinsen zeigt und daher schon die obere Linsenschicht gerechnet werden muss. Darüber kommt zur Oberfläche ein 3—4 Faden mächtiges Lager vom weissgrauen Mergel, der mit blossen Auge gar keine Spuren von Petreolen erkennen lässt. Der nämliche Mergel bildet in einer abgetrennten Scholle etwas weiter oberhalb an der Nordwendung des Flusslaufes das rechte Ufer. In ihm haben Pander und Volborth reichlich Schlämmen Trochilischen ¹⁾ (die bezeichnend für unser Devon geworden sind) und Fischzähne nachgewiesen, wodurch dieser obere Mergel als devonisch constatirt wird, was ja auch weiter nicht zu verändern ist, da ein ähnlicher Mergel bei Ontolowo an der Slawanka ein silurischer Kalk, diesmal deutlich, auch stratigraphisch geschieden eingelagert und bei Marjino (etwa 4 Werst entfernt) reichliche Schuppen und Zähne devonischer Fische führt. Die Schwierigkeit an der Pampowka liegt nur in der vollkommen concordanten Auflagerung der devonischen Lager auf den silurischen und in der petrographisch schwer erkennenden Grenze zwischen den obersten mergeligen untersilurischen Kalken und den auflagernden devonischen Mergein, woher auch die unteren und später Lebedew die letzteren nicht richtig erkannt haben. Auf dem linken Ufer, gegenüber der devonischen Entblössung steht Orthocerenkalk an. Auf der Umbiegungsstelle erkennt man auf der Höhe der Uferwand eine deutliche Umkipfung der Schichten. Zuoberst liegt Ungulitensand, darunter Dictyonemaschiefer und unter diesem Glauconitkalk. Weiter oberhalb sieht man an beiden Ufern wieder einen Thon. Unter der Brücke haben wir am linken Ufer bei flussaufwärts geneigten Kalkschichten ein schönes Profil, an dem wir zuerst auf eine petrefactenarme rötliche Kalkschicht (den obersten Theil von B₃) blicken, mit seltenen Stücken von *Asaphus pachyophthalmus* F. S., — dann auf den ächten Vaginatenkalk, die untere Linsenschicht mit *Lycopodium nucella* und *Amphion Fischeri*, dann auf die obersten gelblich roth gefleckten Schichten des Glauconitkalks, in welchen u. a. *Asaphus Bröggeri* F. S., *Conularia Buchii* Eichw. und andere Selachien vorkommen und endlich auf den ächten Glauconitkalk B₂ mit reichen Brachiopoden und *Asaphus expansus* (die tiefsten Schichten mit *Megalaspis planilimbata* wurden hier nicht beobachtet). Weiter oberhalb sehen wir am rechten Ufer eine hohe Wand, die eine wellenförmige Schichtenaufreibung zeigt, unten in der Mitte den Dictyonemaschiefer, über dem Glauconitkalk und Vaginatenkalk folgen. Im Flussbett selbst lassen sich eine Menge einzelner kleiner Stufen unterscheiden, an denen sich z. Th. gut sammeln lässt. Es kommen häufig schwache Faltungen vor, indem das Bett bald von Gliedern des Orthocerenkalks, bald von solchen des Glauconitkalks gebildet wird.

¹⁾ Die Trochilischen sind kleine kuglige Körperchen mit gegitterter Oberfläche, die zuerst von Pander für Lycopodiaceensamen erkannt, später von Ehrenberg als *Midiola Panderi* zu den Foraminiferen gebracht wurden und jetzt zu Kalkalgen, den Siphonoceren, gerechnet werden.

Der Echinospaeritenkalk ist an der Popowka in dieser Gegend nicht anstehend nachgewiesen, doch kommen einzelne Exemplare im Geröll vor, die auf seine Anwesenheit schliessen lassen. Auf der Höhe des Ufers, in einer Entfernung von 2 Werst nach N. W. bei Katlino, steht er in flacher Gegend in ausgedehnten Gruben an, aus denen Material zur Wegereparatur gewonnen wird, horizontal an. Er ist hier sehr thonig und locker und liefert reiche Ausbeute an Petrefacten, unter den *Echinospaerites aurantium* besonders häufig ist, ausserdem *Asaphus laevissimus* F. S. (*A. Weissii* Eichw. ex. pt.), *Ptychopyge tecticaudata* u. a. Am Bache bei Hummalassari hat man die ganze Reihenfolge vom Echinospaeritenkalk bis zum Ungulitensand und blauen Thon, wenn auch häufig unterbrochen. Aus dem lockeren leicht zerbröckelnden Gestein wäscht das Wasser oft wohlerhaltene Petrefacten aus, die von den Kindern des Dorfes (jetzt freilich seltener) dem Liebhaber zugetragen werden. In der nächsten Umgebung von Zarskoe Sselo haben wir keine bedeutenden Aufschlüsse: an der Kusminka steht überall blauer Thon an und bei der Eisenbahnstation Alexandrowsk an der Warschauer Bahn geht stellenweise der Ungulitensand und Dictyonemaschiefer zu Tage. Erst weiter im N. W. am Glint, an der Pulkowka, unweit der Sternwarte haben wir wieder eine reichhaltige Entblössung, die schon seit 80 Jahren, seit Strangways, durch ihre eigenthümlichen Faltungen die Aufmerksamkeit der Geologen auf sich gezogen hat. Gegenwärtig sind diese Falten nicht so schön zu sehen als früher, immerhin werden die beigegefügte Kartenskizze von Lebedew und der Durchschnitt von Tschernyschew (S. F. 3 und 4) Interesse erregen. Auffallend ist von vorn herein, dass sowohl oberhalb am Fluss, wenn man vom Observatorium kommt, als unterhalb beim Dorfe Pulkowa nur der blaue Thon im Flussbett ansteht, dazwischen findet sich eine Partie von ein paar hundert Schritten, in der die gefalteten und übergekippten Kalkschichten zu Tage gehen. Hier scheint mir Tschernyschew's Erklärung, dass wir es mit einer Gleitungserscheinung der oben liegenden Kalkschichten auf dem unterliegenden blauen Thon

Thon und weiter oberhalb an den Duderhofschen Bergen von Kawe-
achta nach O, die oberen Schichten, mannigfach gehoben und ver-
worfen, aber ohne so klare Durchschnitte wie wir sie an der Popowka
und Pulkowka haben. Der obere Lauf der Ligowka, die aus den Seen

Fig. 3.

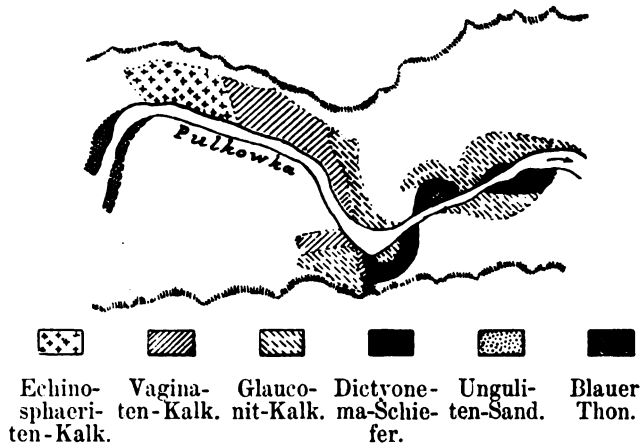
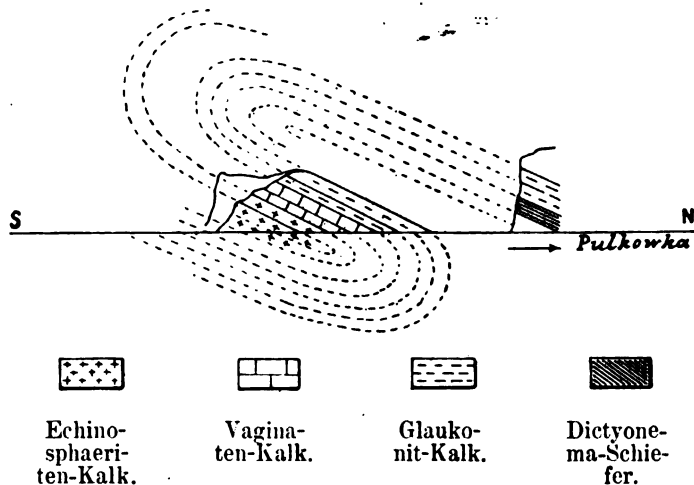


Fig. 4.



■ Duderhof kommt, bildet einen tiefen Einschnitt in den Glintrand,
■ weiter im W. über Schungarowo, Ropscha, Saborodje nach Gosti-
■ y, Lapuchinka und Koporje verläuft ohne irgendwelche Unregel-
■ ssigkeiten. Die Oberfläche der Glinnterrasse ist eben und wird von

den tieferen Schichten des Echinospaeritenkalks gebildet, der meist locker ist und wie schon früher erwähnt reiche Ausbeute an Petrefacten geliefert hat. Die oberen Schichten des Echinospaeritenkalks sind meist dolomitisch und es lassen sich nicht so typische Localitäten anführen wie in Estland, etwa in der Umgegend von Reval. Wir können allenfalls den dolomitischen Steinbruch von Taizy anführen, südlich von Krasnoe Sselo, wo die für dieses Niveau charakteristische *Leptaena oblonga* in Menge vorkommt. Die höheren Stufen, wie der Kuckersche Brandschiefer (C_2) und die Jewesche Schicht sind auch in dieser Gegend nicht so deutlich entwickelt wie in Estland, für C_2 können wir Djatlizy im SO von Gostilizy nennen und für D , etwa Kaskowa; — südlich von Taizy bis über Gatschina hinaus greifen die devonischen Mergel über das Silurgebiet hinaus und südwestlich von Gatschina längs der baltischen Bahn herrscht, wie wir oben an einem andern Ort (s. № XII, den Führer zur Excursion durch Estland) erwähnt haben, auf eine lange Strecke, bis hinter Moloskowizy ein Dolomit vor, der durch reichliche Steinkerne sich als typischen Vertreter der Kegelschen Stufe (D_2) dokumentirt. Unter dieser Stufe steht im Flussbett der Chrewiza 4 Werst westlich von Moloskowizy auch die typische Jewesche Schicht mit *Mastopora concava* Eichwald an.

Die tieferen Glintschichten sind in den tief einschneidenden Flusstälern am Rande des Glints schön zu beobachten, so bei Gostilizy, Lapuchinka und besonders bei Koporje, auch die Conodonten im Grünsand und im Dictyonemaschiefer so wie die Platysoleniten im blauen Thon sind hier vielfach beobachtet worden.

Ebenso wie westlich von Pawlowsk und Zarskoe Sselo finden sich auch östlich davon in den Flusstälern schöne Entblössungen, an denen die ganze Reihenfolge der Schichten vom blauen Thon bis zum Orthocerenkalk studirt werden kann, so namentlich an der Ischora bei Raikolowo (wo auch grosse Steinbrüche) und Kordelewo, an der Torma von Gertowo bis Nikolskoje; die reichsten Localitäten liegen aber

Popowka entstanden, haben wir oben gesehen. Nur durch sorgfältiges Schlämmen der Mergel und demzufolge durch den Nachweis von Fischschuppen und Zähnen sowie Trochiliskien konnte hier das Devon erkannt werden, während das Auge im Flussthal der Popowka nur eine regelmässige silurische Schichtenfolge zu erblicken glaubt.

Hier liegt das Devon auf der höchsten Stufe des Orthocerenkalks, am Wolchow auf Echinospaeritenkalk, weiter im O, direkt auf dem cambrischen blauen Thon, bei Jamburg wie es scheint wieder auf Orthocerenkalk und an der Narowa auf der Wesenbergschen Schicht. Es ist also hier durchaus kein Zusammenhang zwischen silurischen und devonischen Bildungen vorhanden, wie etwa am Dniestr in Galizien, in Böhmen oder in England.

Die neueren Bildungen.

Bestimmend für die Terraingestaltung der Umgebung von St. Petersburg ist zunächst die Fortsetzung des estländischen Glints, der in einer Entfernung von 15—20 Werst südlich vom Ende des finnischen Golfes und von der Nawa, von W nach O sich hinzieht. Er bildet eine circa 100 F. über die Ebene sich erhebende Terrasse, die bei der lockeren Beschaffenheit der sie bildenden Gesteine vielfach von Flussthälern tief eingeschnitten wird, wie von der Tosna, der Ischora, der Slawänka, der Ligowka, deren Thal bei Krasnoe Sselo eine tiefe Einbucht in den Glint bildet, die Bäche von Gostilizy, Lapuchinka u. s. w. Wasserfälle wie bei den härteren Gesteinen Estlands, kommen kaum vor. Manche der Thäler, wie das der Ligowka mögen z. Th. schon präglacial sein. Die Schichten des Glints neigen sich zwar meist etwas nach Süden, es treten aber über der ersten Glinnterrasse landeinwärts, ebenso wie in Estland, noch neue Stufen auf, die auf der vor der Kegelschen Stufe gebildeten Wasserscheide längs der baltischen Bahn und der alten Poststrasse eine Höhe von gegen 500 F. über dem Meere erreichen. Der Glint selbst ist uralte, er mag schon manche geologischen Perioden überdauert haben. Seine Form verdankt er wohl nur z. Th. der Einwirkung des Meeres, das zu spätglacialer Zeit z. Th. bis an seinen Fuss reichte; das meiste hat das Süsswasser der Flüsse und der Atmosphaerilien gethan. Ich vergleiche ihn am besten mit dem Absturz der schwäbischen Alp in Württemberg, über deren Geschichte uns Branco neuerlich so schön belehrt hat.

Die Ablagerungen der Eiszeit, also zunächst der die Grundmoräne bildende Blocklehm, dehnen sich gleichförmig über das ganze Gebiet aus. Der Glint hat ihrer Verbreitung keinerlei Schranken gesetzt, man kann nur sagen, dass unten am Fuss des Glints der Blocklehm mächtiger ist als oben auf dem silurischen Kalkplateau, das stellenweise, westlich von Gatschina, kaum genügend Obererde für die Ackerbau zeigt. Erratische Blöcke liegen aber überall umher. Schrammen sind im Ganzen auf den Kalkflächen nicht viel beobachtet wor-

den, wohl wegen der lockeren Beschaffenheit der Felsschichten. Wo sie gemessen wurden, wie bei Gatschina von Kutorga und östlich von Zarskoe Sselo, hat sich, wie auch in Finland gewöhnlich, eine Richtung NW—SO ergeben. Aechte Åsar, wie in Estland, haben wir in der Umgebung St. Petersburgs nicht. Auf dem hohen Felsterrain westlich von Gatschina (etwa 400—500 F. über dem Meere) finden wir namentlich in der Nähe der Eisenbahnstation Jelisawetino zahlreiche, unregelmässige Gruppen bildende Hügel aus ungeschichteten localen Kalkmaterial aufgehäuft, die etwa den drumlius entsprechen mögen. Aehnliche Hügel z. Th. auch langgestreckt und den schwedischen Cross åsar entsprechend, sind auch in Estland und Livland verbreitet.

Auf dem silurischen Gebiet sind für die Oberflächenbildung des Terrains ausser dem Glint nur die erodirenden Flussläufe und locale Auftreibungen, wie die Duderhofschen Berge, maassgebend. Im Quartärgebiet sind es aber andere Agentien, welche die Oberflächenbildung bedingen. Wir sehen hier längs der Küste eine ziemlich ununterbrochene, anfangs niedrige, Küstenterrasse, die nach W zu ansteigt und ausserdem etwas tiefer im Lande an mehreren Orten inselartig oder auf grössere Strecken zusammenhängend hervorragende aus Blocklehm gebildete Landmassen, die bisweilen wieder deutlich Uferwälle oder ein höheres System von Terrassen zeigen, das von dem erstgenannten verschieden ist. Diese beiderlei Terrassen waren z. Th. schon lange bekannt und wurden früher vielfach mit dem Newathal in Verbindung gebracht. Erst ganz neuerdings durch de Geer sind diese Terrassensysteme in Zusammenhang mit den Uferbänken des spätglacialen und postglacialen Meeres gebracht worden, wie diese neuerdings in Schweden und Finland, namentlich wieder durch de Geer und seine Schüler, genau verfolgt werden, zusammen mit den Linien gleicher Ansteigung des Landes, den Isobasen de Geer's die wir für unser Gebiet nur so weit kennen als de Geer selbst sie aus den neuen mit Niveaulinien versehenen topographischen Karten geschlossén oder durch direkte

im SW von Peterhof mit 30 m. Bei beiderlei Angaben erkennt man das Ansteigen der alten Küstenlinien nach W zu. Ich habe selbst die Strecke von Oranienbäum bis Krasnaja Gorka besucht. Die postglaciale Terrasse ist meist sehr deutlich. Bei Gross-Ischora konnte man an ihr den Durchschnitt der Meeresablagerungen des Yoldiameeres sehen. Der Blätterthon (hvarfvig lera) trat deutlich am Abhang hervor. Von diesem nach S liess sich ein ziemlich ebenes mit spätglacialen Meeresablagerungen bedecktes Terrain bis an den Fuss des hochvorragenden Hügels von Werchnaja Bronnaja verfolgen, der aus Blocklehm besteht und schon zur Zeit des spätglacialen oder Yoldia-Meeres aus diesem hervorgeragt haben muss. Ob als Insel oder Theil des alten Festlandes muss aus den Angaben der neuen Karte bestimmt werden. Ich hatte den Eindruck einer Insel gewonnen, aber de Geer, dessen Erfahrung ich in diesen Dingen gelten lassen muss, giebt in dieser Gegend die Grenze eines alten Festlandes an. Ebenso gehört sein Grenzpunkt des spätglacialen Meeres im SW von Peterhof zu der hervorragenden und weit sichtbaren Landmasse, die unter dem Namen Babyi Gon bekannt ist und auch den Eindruck einer Insel macht. Doch will ich mich gern fügen, zumal die Karte für de Geer's Auffassung spricht. Dem Glint in der Gegend von Gostilizy vorgelagert erscheinen auf der Karte eine Menge von Inseln und Buchten, die ich nicht genauer zu untersuchen Gelegenheit gehabt habe. Man könnte hier an Inseln des Yoldiameeres denken, aber die Höhenangaben auf der Karte, nach denen diese Inseln (grösstentheils bewaldet und ohne deutliche Aufschlüsse), fast die Höhe des Glints erreichen, die bei Gostilizy 60 russische Faden beträgt, machen es wahrscheinlich, dass wir es hier mit Erosionserscheinungen der cambrischen Sande zu thun haben, wie solche auch in Estland vorkommen.

Die grosse Fläche, die St. Petersburg auf der Südseite umgiebt, und bis fast an den Fuss des Glints reicht, ist, wie auch schon de Geer bei ähnlichen Fällen angiebt, ein Ueberrest des spätglacialen Meeres. Hier liegt unfruchtbarer alter Meeressand auf Blocklehm. Erst in der Nähe des Glints wird das Terrain mannigfaltiger, die Sandbedeckung verschwindet und der Anbau beginnt.

Die Landmassen, welche de Geer und Berghell auf der Nordseite des Newathales als grosse Inseln des Yoldia- oder spätglacialen Meeres angeben, sind auch z. Th. durch deutliche Terrassen begrenzt, wie die von de Geer so sehr hervorgehobenen von Poklonnaja Gora über Pargola bis Beloostrow; diese Terrassen begrenzen ein altes Landgebiet, das z. Th. aus Geschiebelehm, z. Th. aus sandigem Moränenmaterial besteht und ein vielfach erodirtes Terrain mit Thälern und Seen darstellt, zu dem das seinerseits als Villenort bei den St. Petersburgern so beliebte Toksowa gehört. Südlich von dieser grossen Insel sieht man auf de Geer's und Berghell's Karte, durch ein niedriges Sumpfland von ihm getrennt, noch eine Insel des Yoldiameeres, die sich ebenfalls durch vielfach coupirtes Terrain als altes Festland do-

kumentirt. Hier hat bei Rasmitewo de Geer die alte Küstenterrass nach der Karte festgestellt.

Südlich von diesen grossen Inseln hat sich nach de Geer an Berghell zur spätglacialen Zeit ein Meeresarm zum Ladoga-See erstreckt und diesen, wie wohl auch den Onega-See und das weisse Meer in Verbindung mit der Ostsee gebracht. Eine ähnliche Auffassung hat wohl auch schon früher geherrscht. Neu ist aber nach de Geer, dass zur Postglacialzeit keine Verbindung durch das Newathal mit dem Ladoga-See stattfand und das jetzige Newathal überhaupt späterer Entstehung sein soll, dagegen haben de Geer und Berghell eine zur Postglacialzeit bestehende Verbindung des finnischen Meeresbusens mit dem Ladoga-See zwischen Wiborg und Kexholm nachgewiesen. Die Ablagerungen des jetzigen Newathals und seiner näheren Umgebung sind noch nicht genügend studirt. Die hier vorkommenden Thone unterscheiden sich deutlich vom typischen Blätterlehm oder hvarfvig lera des spätglacialen Meeres.

Von neueren Bildungen sind in der Umgebung St. Petersburgs noch die Tufflager zu erwähnen, die Kutorga auf seiner Karte besonders hervorgehoben hat. Es sind entweder Ablagerungen von kalkhaltigen Quellen am Abhange des Glints wie bei Ropscha und Gostiliza oder es ist verhärteter Wiesenkalk, wie bei dem Becken von Pudost, nördlich von Gatschina, in welchem stellenweise noch der gewöhnlich zerreibliche Wiesenkalk mit Süswassermuscheln zu Tage tritt, der an anderen Stellen bei reichlichem Vorhandensein von Schilf zu festem Tuff umgewandelt ist, der zu Ornamentzwecken gebrochen ist. Der Wiesenkalk wird dort auch zur Kalkbereitung verwandt.







2100

2100

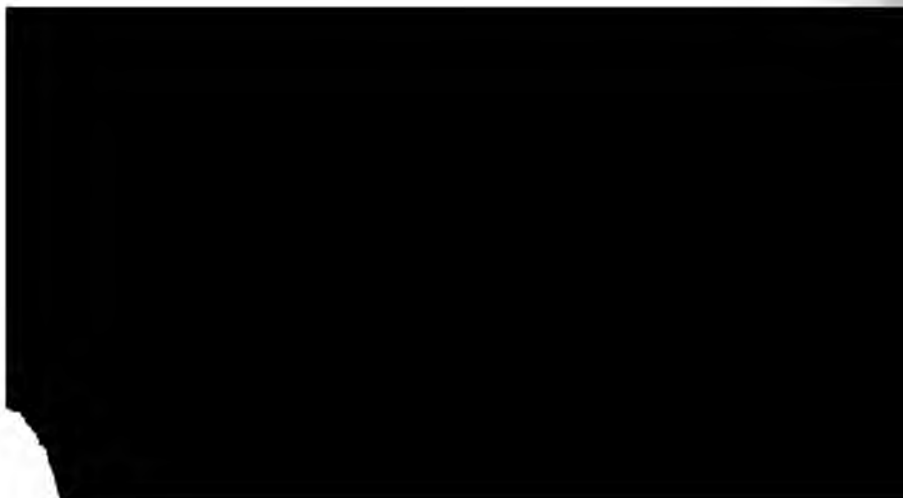
Stanford University Libraries



3 6105 017 154 555

Verify 1 sheet (s)
present

1 sheet 1-31-96

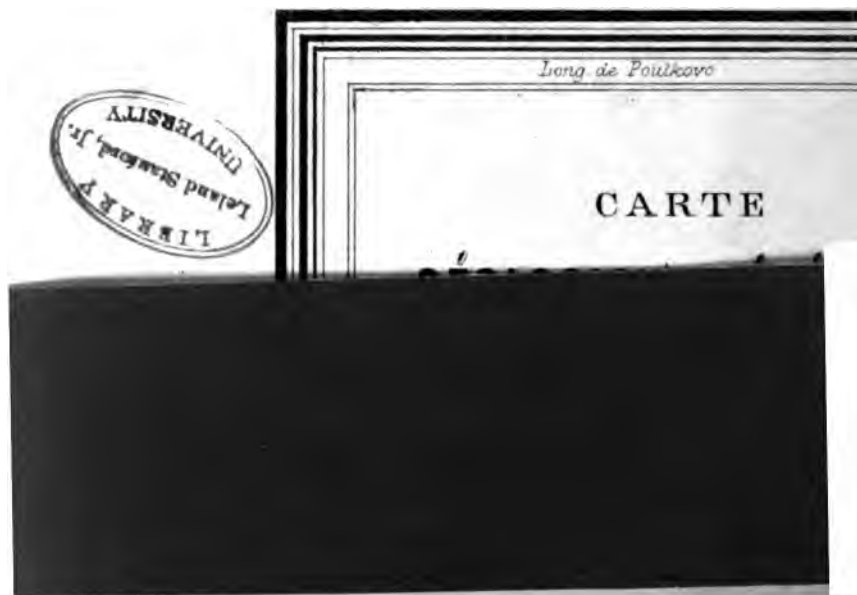




500 ..

76

..



THE UNIVERSITY OF CHICAGO